

Prof. dr inż. Jan Pająk
KOMORA OSCYLACYJNA
CZYLI MAGNES JAKI WZNIESIE NAS DO GWIAZD
(Napęd i akumulator energii dla magnokraftów i UFO)

Monografia naukowa, Dunedin, Nowa Zelandia, 1994 rok,
ISBN 0-9597946-2-X.

Copyright © 1994 by Prof. dr inż. Jan Pająk.

Wszystkie prawa zastrzeżone. Całość ani też żadna z części niniejszej monografii nie może zostać skopiowana, zreprodukowana, przesłana, lub upowszechniona w jakikolwiek sposób (np. komputerowy, elektroniczny, mechaniczny, fotograficzny, nagrania telewizyjnego, itp.) bez uprzedniego otrzymania wyrażonej na piśmie zgody autora lub zgody osoby legalnie upoważnionej do działania w imieniu autora.

Zarejestrowano w Bibliotece Narodowej Nowej Zelandii jako Depozyt Legalny numer PO # 00-036074 z dnia 27 stycznia 1994 roku. Wydano w Nowej Zelandii prywatnym nakładem autora.

Niniejsza monografia stanowi raport naukowy z przebiegu badań autora. Stąd prezentacja wszelkich zawartych w niej materiałów posiadających wartość dowodową lub dokumentacyjną dokonana została według standardów przyjętych dla publikacji (raportów) naukowych. Szczególna uwaga autora skupiona była na wymogu odtwarzalności, t.j. aby każdy naukowiec czy wynalazca pragnący zweryfikować lub pogłębić badania autora był w stanie powtórzyć ich przebieg i dojść przy tym do tych samych wyników.

Monografia ta jest polskojęzyczną adaptacją i poszerzeniem następującej publikacji naukowej oryginalnie wydanej w języku angielskim:

Dr. Jan Pająk: "The Oscillatory Chamber - a breakthrough in the principles of magnetic field production". Treatise, Invercargill, New Zealand, December 1984, ISBN 0-9597698-2-X.

Tłumaczenia i adaptacji z języka angielskiego dokonał jej autor.

Wszelka korespondencja przeznaczona dla autora niniejszej monografii powinna być kierowana albo na jego obecny adres w Malazji (aktualny do maja 1996 roku), t.j.:

Professor Madya Jan Pająk
No. 36D, Lorong Universiti
59100 Kuala Lumpur
Selangor Darul Ehsan
MALAYSIA

(Telefon domowy w Kuala Lumpur: -60 (3) 758-77-31);

albo też na następujący jego stały adres w Nowej Zelandii (ważny w 2010 roku):

P.O. Box 33250, Petone 5046, New Zealand

(Tel. dom. (2010 rok): +64 (3) 56-94-820, email: janpajak@gmail.com).

STRESZCZENIE

Czym będzie "komora oscylacyjna"? Wyobraźmy sobie kryształową kostkę stanowiącą nowe urządzenie do produkcji super-silnego pola magnetycznego. Wyglądałaby ona jak idealnie ukształtowany kryształ jakiegoś przezroczystego minerału, lub jak sześcian wyszlifowany ze szkła i ukazujący swe wnętrze poprzez przezroczyste ścianki. Przy wielkości nie większej od poręcznej kostki Rubika wytwarzałaby ona pole setki tysięcy razy przewyższające pola produkowane dotychczas na Ziemi, włączając w to pola najsilniejszych współczesnych dźwigów magnetycznych czy najpotężniejszych elektromagnesów w laboratoriach naukowych. Gdybyśmy kostkę taką wzięli do ręki, wykazywałaby ona zdumiewające własności. Przykładowo mimo swych niewielkich rozmiarów byłaby ona niezwykle "ciężka" i przy jej przesterowaniu na pełny wydatek magnetyczny nawet najsilniejszy atleta nie byłby w stanie jej udźwignąć. Jej "ciężar" wynikałby z faktu, iż wytwarzane przez nią potężne pole magnetyczne powodowałoby jej przyciąganie w kierunku Ziemi i przez to do jej rzeczywistego ciężaru dodawałaby się wytworzona w ten sposób siła jej oddziaływań magnetycznych z polem ziemskim. Byłaby ona też oporna na nasze próby obracania i podobnie jak igła magnetyczna zawsze starałaby się zwrócić w tym samym kierunku. Gdybyśmy jednak zdołali ją obrócić w położenie dokładnie odwrotne do tego jakie sama starałaby się przyjmować, wtedy ku naszemu zdumieniu zaczęłaby nas unosić w powietrze. Sama jedna mogłaby więc napędzać nasze wehikuły.

Komora oscylacyjna posiada potencjał aby już wkrótce stać się jednym z najważniejszych urządzeń technicznych naszej cywilizacji. Jej zastosowania mogą być wszechstronne. Począwszy od akumulatorów energii o obecnie trudnej do wyobrażenia pojemności (np. komora o wielkości kostki do gry będzie w stanie zaspokoić zapotrzebowanie na energię ogromnych miast czy fabryk), poprzez urządzenia napędowe jakie umożliwią szybowanie w przestrzeni naszych wehikułów, osób, budynków a nawet mebli, a skończywszy na wypełnianiu funkcji prawie wszystkich naszych obecnych urządzeń przetwarzających energię, takich jak latarka, grzejnik, silnik spalinowy, ogniwo termoelektryczne, silnik elektryczny, generator elektryczności, transformator, magnes, oraz wiele innych. Znaczenie komory oscylacyjnej dla naszej sfery technicznej będzie mogło być tylko porównane do znaczenia komputerów dla naszej sfery intelektualnej.

Komora oscylacyjna wynaleziona została w pierwszych godzinach 3 stycznia 1984 roku. Natychmiast po opublikowaniu jej zasady działania, wielu hobbystów z kilku krajów świata rozpoczęło eksperymenty nad jej realizacją. Niestety, jest to urządzenie trudne do zbudowania, stąd hobbyści skompletowali jedynie model komory, ale nie byli w stanie otrzymać użytecznego prototypu. Jednakże ich bezspornym osiągnięciem było niezależne potwierdzenie iż zasada działania komory jest poprawna i daje się zrealizować na drodze technicznej.

Niezależnie od tych prób praktycznego zbudowania komory, autor podjął badania porównawcze mające na celu teoretyczne potwierdzenie poprawności jej konceptu. Badania te zakończyły się całkowitym sukcesem wykazując poprawność idei komory zanim jeszcze program jej praktycznej realizacji na Ziemi zdążył zostać zainicjowany.

Niniejsza monografia zestawia najważniejsze informacje o komorze oscylacyjnej. Omawia więc ona budowę, zasadę działania i postępy w praktycznej realizacji tego urządzenia. Dostarcza krótkiego przeglądu zastosowań komory, koncentrując się wszakże na zastosowaniach w urządzeniach napędowych (które będą stanowiły jedynie mały ułamek wszystkich jej zastosowań). Ujawnia też fakty jakie dokumentują iż urządzenie to zostało już zbudowane i czasami jest/było użytkowane na Ziemi. Monografia ta reprezentuje więc opracowanie źródłowe dla wszystkich tych którzy zechcą zapoznać się z komorą oscylacyjną w celach badawczych, wynalazczych, czy po prostu aby poszerzyć swoje horyzonty.

SPIS TREŚCI

Str: Rozdział:

A-1	A. Wstęp
B-7	B. Prawo Cykliczności technicznym odpowiednikiem Tablicy Mendelejewa
B-8	B1. Trzy generacje magnokraftów
B-9	B2. "Trend omnibusa" a wygląd trzech generacji magnokraftów
C-12	C. Komora oscylacyjna
C-13	C1. Dlaczego niezbędnym jest zastąpienie elektromagnesów przez komorę oscylacyjną
C-15	C2. Zasada działania komory oscylacyjnej
C-15	C2.1. Inercja elektryczna induktora stanowi siłę motoryczną dla oscylacji w tradycyjnym obwodzie oscylacyjnym z iskrownikiem
C-17	C2.2. W zmodyfikowanym obwodzie oscylacyjnym z iskrownikiem inercji elektrycznej dostarczy induktancja iskry elektrycznej
C-19	C2.3. Zestawienie razem dwóch zmodyfikowanych obwodów formuje komorę oscylacyjną wytwarzającą dipolarne pole magnetyczne
C-20	C3. Przyszły wygląd komory oscylacyjnej
C-21	C3.1. Trzy generacje komór oscylacyjnych
C-22	C4. Matematyczny model komory oscylacyjnej
C-23	C4.1. Oporność komory oscylacyjnej
C-23	C4.2. Indukcyjność komory oscylacyjnej
C-24	C4.3. Pojemność komory oscylacyjnej
C-24	C4.4. Współczynnik motoryczny iskiei i jego interpretacja
C-25	C4.5. Warunek zaistnienia oscylacji we wnętrzu komory
C-26	C4.6. Okres pulsowań pola komory oscylacyjnej
C-27	C5. Jak komora oscylacyjna eliminuje wady elektromagnesów
C-27	C5.1. Neutralizacja sił elektromagnetycznych
C-28	C5.2. Niezależność wytwarzanego pola od ciągłości i efektywności dostawy energii
C-29	C5.3. Eliminacja strat energii
C-30	C5.3.1. Czy w komorze całe ciepło iskiei będzie odżykiwalne
C-32	C5.4. Spożytkowanie niszczyielskiego pola elektrycznego
C-33	C5.5. Sterowanie amplifikujące okresu pulsowań pola
C-34	C6. Dodatkowe zalety komory oscylacyjnej ponad elektromagnesami
C-34	C6.1. Formowanie "kapsuły dwukomorowej" zdolnej do sterowania swym wydatkiem magnetycznym bez zmiany ilości zawartej w niej energii
C-37	C6.2. Formowanie "konfiguracji krzyżowej"
C-39	C6.3. Nieprzyciąganie przedmiotów ferromagnetycznych
C-41	C6.4. Wielowymiarowa transformacja energii
C-41	C6.5. Nienawrotne oscylacje - unikalny atrybut komory umożliwiający akumulowanie przez nią nieograniczonych ilości energii

- C-43 C6.6. Funkcjonowanie jako pojemny akumulator energii
- C-43 C6.7. Prostota produkcji
- C-44 C7. Postępy w praktycznym wykonaniu komory oscylacyjnej
- C-45 C7.1. Eksperymentalne urządzenia
- C-47 C7.2. Etapy, cele i metodyka budowy komory oscylacyjnej
- C-53 C7.3. Zaproszenie do współdziałania w rozwoju komory
- C-54 C7.4. Stanowisko autora w sprawie własności komory
- C-55 C8. Przyszłe zastosowania komory oscylacyjnej
- C-59 C9. Monografie autora poświęcone komórce oscylacyjnej

- D-60 D. (Dyskoidalny) magnokraft
- D-61 D1. Konstrukcja magnokraftu pierwszej generacji
- D-63 D2. Loty i manewrowanie magnokraftów pierwszej generacji
- D-64 D2.1. Nazewnictwo biegunowości magnesów
- D-65 D3. Osiągi magnokraftów pierwszej generacji
- D-68 D4. Sprzęganie magnokraftów w złożone konfiguracje latające

- E-69 E. Magnokraft czteropędnikowy
- E-69 E1. Ogólna konstrukcja magnokraftu czteropędnikowego
- E-70 E2. Działanie magnokraftu czteropędnikowego
- E-72 E3. Własności magnokraftu czteropędnikowego
- E-73 E4. Wygląd magnokraftu czteropędnikowego
- E-74 E5. Identyfikacja typu magnokraftu czteropędnikowego

- F-76 F. Magnetyczny napęd osobisty
- F-77 F1. Standardowy kombinezon napędu osobistego
- F-78 F2. Działanie magnetycznego napędu osobistego
- F-79 F3. Kombinezon z pędnikami głównymi w naramiennikach
- F-80 F4. Wersja napędu osobistego z poduszkami wokół bioder
- F-81 F5. Osiągi napędu osobistego
- F-81 F6. Podsumowanie atrybutów magnetycznego napędu osobistego

- G-84 G. Magnokrafty drugiej i trzeciej generacji
- G-85 G1. Efekt telekinetyczny
- G-92 G2. Działanie i własności magnokraftów drugiej generacji zwanych także "wehikułami teleportacyjnymi"
- G-98 G3. Magnokrafty trzeciej generacji (zwane "wehikułami czasu")
- G-102 G4. Trzy generacje magnokraftów i ich identyfikacja

- H-105 H. Dowody że magnokrafto-podobne UFO od wieków odwiedzają Ziemię
- H-105 H1. Formalny dowód że "UFO to już działające magnokrafty"
- H-111 H2. Trwałe ślady działalności UFO na naszej planecie

- I-113 I. Obserwacje komory oscylacyjnej na pokładach UFO
- I-114 I1. Obserwacje i fotografie komór oscylacyjnych używanych w UFO
- I-114 I1.1. Kolumny pola magnetycznego opuszczającego pędniki UFO posiadają kwadratowy przekrój poprzeczny
- I-115 I1.2. Wyloty pędników UFO są kwadratowe i ujawniają żółte wstęgi iskier elektrycznych obiegające ich wnętrza
- I-117 I1.3. Kapsuły dwukomorowe uformowane z dwóch komór są często zauważane u UFO a nawet fotografowane
- I-120 I1.4. Komory oscylacyjne były widziane na pokładach UFO i opisane przez licznych świadków

- I-123 I2. Pośrednie dowody użycia komór oscylacyjnych przez UFO
- I-124 I3. Pozostałości materialne komór oscylacyjnych UFO
- I-124 I4. Mitologiczne opisy komory oscylacyjnej
- I-125 I5. Historyczne opisy komory oscylacyjnej
- I-130 I6. Podsumowując ten rozdział

- J-131 J. Obserwacje UFO czteropędnikowego
- J-131 J1. Klasyczne przypadki obserwacji czteropędnikowego UFO
- J-133 J2. Fotografie czteropędnikowego UFO

- K-135 K. Obserwacje UFOonautów używających magnetyczny napęd osobisty
- K-135 K1. Charakterystyczny wygląd użytkowników napędu osobistego
- K-136 K2. Niezwykłe wyczyny UFOonautów użytkujących napęd osobisty
- K-138 K3. Ślady wypalane przez napęd osobisty UFOonautów
- K-140 K4. Mitologiczne opisy użycia magnetycznego napędu osobistego

- L-146 L. Obserwacje UFO drugiej i trzeciej generacji
- L-146 L1. Obserwacje działania napędu teleportacyjnego
- L-148 L2. Obserwacje potwierdzające istnienie wehikułów czasu

- M-154 M. Podsumowanie

- N-156 N. Literatura uzupełniająca i poszerzająca treść tej monografii

- O-15 O autorze

- P-161 4 Tablice (B1, C1, D1 i E1) oraz 38 Rysunków (C1 do K6)

- Z-203 Z. Załączniki (Urowadzenie Miss Nosbocaj, itp.).

A. Wstęp

Analizując historię rozwoju najważniejszych wehikułów zbudowanych dotychczas na Ziemi, takich przykładowo jak pociągi, samochody, czy rakiety, narzuca się spostrzeżenie jakie możnaby wyrazić w następującym zaleceniu dla wynalazców pracujących nad nieistniejącymi jeszcze urządzeniami napędowymi: "zbuduj najpierw nowy 'silnik', a będziesz w stanie zbudować cały nowy wehikuł".

W powyższym zaleceniu autor użył terminu 'silnik' ponieważ termin ten w popularnej nomenklaturze często używany jest do opisywania urządzenia wytwarzającego ruch w obecnie używanych wehikułach, takich jak przykładowo samochód czy helikopter. Niemniej, jak to zostanie szczegółowiej objaśnione w rozdziale B, w precyzyjnej nomenklaturze technicznej termin ten jest nieprawidłowy, ponieważ urządzenie wytwarzające ruch 'absolutny' całego wehikułu w otaczającym go ośrodku powinno być nazywane 'pędnik' (po angielsku 'propulsor') - przykładowo patrz śruba okrętowa czy dysze wylotowe poduszkowca. Termin 'pędnik' odróżniałby je bowiem od funkcjonalnie odmiennego urządzenia, właśnie nazywanego 'silnik' (po angielsku 'motor'), jakie służy tylko do wytwarzania ruchu 'względny' określonych części jakiegoś urządzenia czy maszyny względem innych części tego samego urządzenia czy maszyny (przykładowo patrz silnik w pralce czy silnik w tokarce). (Czasami silnik może też przekazywać swój ruch pędnikowi, np. silnik samochodu obracający koła.) Stąd też jeśli poprzednie zalecenie wyrazić w uściślonej terminologii niniejszej monografii, będzie ono brzmiało: "zbuduj najpierw nowy pędnik, a będziesz w stanie zbudować cały nowy wehikuł".

Niektórzy z czytelników tej monografii zapewne od jakiegoś już czasu śledzą rozwój teorii dotyczącej wehikułu z napędem magnetycznym wynalezionej przez autora a nazywanego "magnokraft". Magnokraft jest pierwszym nieznanym wcześniej wehikułem kosmicznym jakiego idea, zasada działania i wynikowa konstrukcja w całości narodziły się w Polsce. Ponieważ jego zbudowanie będzie posiadało niewypowiedziane istotne następstwa dla dalszego rozwoju naszej cywilizacji, można więc powiedzieć, że idea tego statku jest intelektualnym wkładem Polski do technicznego rozwoju ludzkości. Do chwili obecnej Teoria Magnokraftu osiągnęła już stopień skryształizowania umożliwiające podjęcie pierwszych wysiłków nad zbudowaniem tego statku. Zachodzi więc pytanie co należałoby uczynić dalej. Odpowiedzi na to pytanie udziela właśnie zalecenie przytoczone na początku tego rozdziału: gdy zaczniemy nasze prace nad zbudowaniem magnokraftu, wtedy najpierw powinniśmy rozpocząć budowę urządzenia reprezentującego pędnik tego statku. Zalecenie to powinno więc stanowić rodzaj drogowskazu dla młodych i ambitnych ludzi rozpoczynających właśnie swe kariery na uczelniach i w przemyśle. Jeśli bowiem rozglądają się oni za "dziewiczym" tematem badawczym jaki równocześnie otworzyłby im perspektywy dołożenia liczącego się wkładu do rozwoju technologicznego całej naszej cywilizacji, oto właśnie taki temat: pędnik magnokraftu.

Aby wyjaśnić pokrótce czym właściwie jest magnokraft, zapoznajmy się z historią wynalezienia tego wehikułu. W 1972 roku autor niniejszej monografii prowadził serię wykładów dla studentów Politechniki Wrocławskiej poświęconych "wybranim zagadnieniom systemów napędowych". W czasie przygotowywania tych wykładów odkrył on, że w zasadach działania dotychczas zbudowanych urządzeń napędowych istnieje zdumiewająca symetryczność, nazwana przez autora "Prawem Cykliczności". Symetryczność tą najlepiej wyrazić za pomocą tzw. "tablicy cykliczności", której pierwszy opis opublikowany został w artykule [1A] "Teoria rozwoju napędów" jaki ukazał się w czasopiśmie Astronautyka, numer 5/1976, str. 16-21. Przykład jej obecnej postaci pokazany został w tablicy B1, zaś jej

sporządzanie streszczone zostało w rozdziale B tej monografii oraz wyjaśnione w publikacjach [1a] i [6] wymienionych we wykazie literatury uzupełniającej treść niniejszej rozprawy.

Tablice cykliczności stanowią odmianę "Tablicy Mendelejewa", tyle tylko że zamiast dla pierwiastków chemicznych opracowywane są one dla urządzeń technicznych. Uwidaczniają one, że kolejne odkrycia tego samego rodzaju urządzeń (np. silników i pędników) układają się w symetryczny i powtarzalny wzór podobny do wzoru wykazywanego przez kolejne pierwiastki chemiczne Tablicy Mendelejewa. Tablice cykliczności dają się sporządzić dla prawie wszystkich rodzajów urządzeń technicznych, nie zaś tylko dla napędów. Z kolei analizując takie uprzednio sporządzone już tablice, możliwym się staje prognozowanie przyszłego rozwoju danego rodzaju urządzeń. Prognozowanie to zezwala nie tylko na przewidywanie jakie dalsze urządzenia danego rodzaju nadal czekają na swego wynalazcę i budowniczego, ale także jaka będzie przyszła zasada działania owych dotychczas jeszcze niewynalezionych urządzeń. Poprzez studiowanie wzajemnych odstępów czasowych pomiędzy datami zbudowania już istniejących urządzeń, tablice cykliczności pozwalają też wnioskować o dynamice działalności wynalazczej dotyczącej urządzeń danego przeznaczenia. To z kolei umożliwia wyznaczanie przybliżonych dat budowy przyszłych generacji tych urządzeń.

Analizując pierwszą opracowaną przez siebie tablicę cykliczności (pokazaną tu jako tablica B1), autor odkrył że wkrótce na naszej planecie powinna zostać zbudowana nowa generacja wehikułów latających, później nazwanych przez niego magnokraftami. Zasada działania tych wehikułów stanowić będzie rozszerzenie działania asynchronicznych silników elektrycznych. Jako swoje pędniki wykorzystywały one będą potężne "magnesy", które formowały będą siły napędowe na wskutek przyciągania i odpychania wytwarzanych przez siebie pól magnetycznych z polami magnetycznymi otoczenia (t.j. polami Ziemi, Słońca lub Galaktyki). Praktycznie więc, pod względem użytej zasady działania magnokrafty stanowiły będą następcę współczesnych silników elektrycznych, tyle tylko że dla wytwarzania ruchu zamiast pola ze stojana wykorzystywały one będą pole magnetyczne swego otoczenia. W 1980 roku autor opublikował pierwsze szczegóły techniczne magnokraftów w artykule [2A] "Budowa i działanie statków kosmicznych z napędem magnetycznym" jaki ukazał się w Przeglądzie Technicznym Innowacje (nr 16/1980, str. 21-23).

Podane powyżej podsumowanie działania magnokraftu wyjaśnia jednocześnie czym właściwie jest pędnik magnetyczny. Postarajmy się więc teraz przytoczyć definicję tego urządzenia wynikającą z działania magnokraftu. Pędnikiem magnetycznym nazywane jest źródło pola magnetycznego ("magnes") którego wydatek przekracza wartość progową zwaną "strumieniem startu". Oczywiście aby zrozumieć treść powyższej definicji konieczna jest też znajomość co właściwie reprezentuje owa stała zwana "strumieniem startu". Przytoczmy tu więc także i jego definicję. Strumieniem startu nazwana jest taka wartość progowa pola magnetycznego wytwarzanego przez niezwykle potężne jego źródło, jaka po odpychającym zorientowaniu tego źródła względem pola magnetycznego otoczenia byłaby w stanie wytworzyć siły magnetycznego odpychania zdolne wznieść je w przestrzeń kosmiczną. Strumień startu jest więc magnetycznym odpowiednikiem drugiej prędkości kosmicznej. Każdy bowiem magnes jaki wytworzy ten strumień, będzie w stanie wznieść się w przestrzeń jeśli tylko ktoś zorientuje go odpychająco względem ziemskiego pola magnetycznego. (Takie zorientowanie odpychające względem pola otoczenia polega na ustawieniu tego magnesu w pozycji dokładnie odwrotnej do pozycji jaką on sam byłby skłonny przyjmować gdyby udzielić mu swobody obrotu podobnej do tej posiadanej przez igły kompasów magnetycznych.) Oczywiście Teoria Magnokraftu umożliwia precyzyjne wyliczenie wartości tego strumienia. Autor dokonał odpowiednich obliczeń i ustalił, iż wyznaczona dla obszaru Polski wartość strumienia startu wynosi $F_s = 3.45 \text{ Wb/kg}$.

Od samego początku swoich prac rozwojowych nad magnokraftem autor był świadom, iż podstawowym wymaganiem nałożonym na źródło pola magnetycznego aby mogło ono zostać użyte jako pędnik magnetyczny, jest przekroczenie przez jego wydatek

wartości strumienia startu. Warunek ten został nawet zaprezentowany matematycznie już w pierwszej [1A] publikacji autora poświęconej jego teoriom napędów magnetycznych. Niestety, w początkowym stadium swych badań nie wiedział on jakie urządzenie byłoby w stanie sprostać temu wymaganiu. Wiadomo bowiem, iż elektromagnesy używane obecnie do produkcji najpotężniejszych z pól magnetycznych dostępnych naszej cywilizacji posiadają wady konstrukcyjne jakie uniemożliwiają nawet zbliżenie się ich wydatku do owego strumienia startu (owe wady omówione zostaną w podrozdziale C1). Dopiero w pierwszych dniach 1984 roku autor zeszyntezował w swym umyśle koncept urządzenia które będzie w stanie wytworzyć wydatek magnetyczny przekraczający strumień startu, nie eksplodując przy tym ani nie rozpadając się w kawałki. Owo niezwykle urządzenie nazwał on "komora oscylacyjna". Jej bardziej szczegółowy opis podany zostanie w rozdziale C.

Historia wynalezienia komory oscylacyjnej jest dosyć interesująca, rzuca ona bowiem światło na sposób w jaki nasze umysły dokonują ukierunkowanej syntezy nowych wynalazków. Istotnym elementem takiej ukierunkowanej (po angielsku "goal oriented") syntezy jest iż produkt końcowy jaki nasz umysł poszukuje jest ściśle zdefiniowany i obłożony licznymi warunkami operacyjnymi. Jest to więc wyższy szczebel działalności wynalazczej, ponieważ w normalnych przypadkach wynalazki polegają na wpadaniu na idee zupełnie niezwiązane z kierunkiem w jakim wynalazca podąża czy rozwiązaniem jakiego on poszukuje (zgodnie z popularnym powiedzeniem "mamy już lekarstwo, poszukajmy teraz odpowiedniej choroby"). Znajomość podłoża tego wynalazku uświadomi też czytelnikowi iż za suchymi opisami technicznymi i bezosobową matematyką rozdziału C kryje się pasjonująca historia ludzkich zmagania i intelektualnego wyzwania rzuconego naturze. Przytoczmy więc tu krótki zarys historii wynalezienia komory oscylacyjnej.

Od pierwszej chwili skryształizowania się konceptu magnokraftu autor był świadom, iż współczesne urządzenia wytwarzające pole magnetyczne nie będą w stanie dostarczyć wydatku przekraczającego strumień startu. Fakt naszej nieznajomości takiego urządzenia był też powodem zaciekłych ataków magnokraftu ze strony wielu jego przeciwników. Stąd dla autora znalezienie konceptu takiego urządzenia stanowiło problem oczekujący najpilniejszego rozwiązania, przemyślał więc on nad nim niemalże bez ustanku. Niedługo przed opuszczeniem Polski, podczas jednego z wypoczynkowych pobytów w Karpaczu, autor zaobserwował obciążoną ciężarówkę jaka z widoczną trudnością wdrapywała się na strome zbocze góry. Obserwacja tej ciężarówki uświadomiła mu, iż działanie poszukiwanego przez niego urządzenia musi być oparte na jakiejś formie zamiany oscylacji w ruch jednostajny (podobnie jak w silniku ciężarówki ruch oscylacyjny tłoka zamieniany jest w jednostajny ruch obrotowy jej kół), nie zaś na ciągłym przepływie energii jak to jest w przypadku elektromagnesów. Nadal jednak jego umysł więziony był panującymi obecnie stereotypami sugerującymi, że urządzenie wytwarzające pole magnetyczne musi mieć formę pierścienia lub okrągłej cewki. Z uwagi na te stereotypy, idei dla swego urządzenia poszukiwał on wśród różnorodnych już istniejących konstrukcji zabezpieczających pierścieniowy obieg ładunków elektrycznych, takich jak przykładowo TOKAMAK. Pracując nad różnymi możliwymi konceptami, autor analizował ogromną liczbę różnorodnych urządzeń technicznych, jakich działanie łączy w sobie drgania elektryczne, plazmę lub iskry, ruch naładowanych cząsteczek, itp. W ten sposób w swoim umyśle stopniowo zgromadził on wszystkie elementy układanki zwanej "komora oscylacyjna", tyle tylko że elementy te ciągle podobne były do wymieszanych ze sobą kawałków obrazkowej łamigłówki. Koniecznym więc był proces jakiegoś ich dopasowania w jedną całość. Dopasowanie to nastąpiło w nocy z 2go na 3ci stycznia 1984 roku, kiedy to autor korzystając z letnich wakacji w Nowej Zelandii wybrał się do Christchurch w celach wypoczynkowych. Mimo zajmowania się innymi sprawami, jego umysł cały czas jednak pracował nad znalezieniem rozwiązania dla nękającego go problemu. Nieco po północy, gdy autor myślał nad swoim problemem leżąc w łóżku w stanie prawie że półsnu, rozwiązanie nagle zostało zeszyntezowane w jego umyśle. Kluczem okazał się fakt, iż poszukiwane urządzenie musi przyjąć formę kostki sześciiennej, nie zaś pierścienia. Autor

dobrze pamięta jak fakt końcowego znalezienia tego długo poszukiwanego rozwiązania okazał się tak podniecający, że mimo wstania z łóżka w celu dokonania natychmiastowych notatek, rysunków i sprawdzeń, autor nie był w stanie utrzymać długopisu w ręce.

Komentując powyższą historię wynalezienia komory oscylacyjnej oraz poprzednio podsumowaną historię wynalezienia magnokraftu powinno tu zostać podkreślone, że oba te urządzenia (jak również liczne inne urządzenia rozpracowane przez autora jakich opisy zawarto w jego monografiach) wynalezione zostały w rezultacie zawodowych zainteresowań autora wynikających z jego pracy wykładowcy na uczelni technicznej. Wszystkie te wynalazki zostały zapracowane ciężkim wysiłkiem i żmudnymi badaniami, wymagały długotrwałych przemyśleń, weryfikacji, modyfikacji i usprawnień, zaś końcowe ich sformułowanie wyniknęło z poziomu poznania obecnej nauki i techniki ziemskiej osiągniętego przez autora na drodze długotrwałego i żmudnego studiowania. Nie jest więc prawdą, jak to niektórzy czytelnicy skłonni byliby wierzyć, iż liczne wynalazki autora pojawiły się od razu w gotowej postaci zainspirowane w jakiś cudowny sposób czy przekazane mu przez jakieś nadrzędne istoty.

Wszystkie urządzenia, zjawiska i prawa opisane w niniejszej monografii, włączając w to magnokraft i komorę oscylacyjną, zostały odkryte, wynalezione i rozpracowane przez pojedynczą osobę, t.j. autora. Ponieważ autor jest tylko człowiekiem, z definicji więc ("człowiek jest istotą omylną") inne osoby zapoznające się z opisami jego wynalazków mogą posądzać, że we wynalazkach tych kryje się jakiś błąd uniemożliwiający ich techniczną realizację. Z kolei nawet najmniejsza niepewność czy urządzenia postulowane przez autora są koncepcyjnie poprawne, spowodować może odsunięcie lub zaniechanie podjęcia ich budowy. Z tego też powodu, aby ich budowa mogła zostać podjęta jak najszybciej, koniecznym jest upewnienie czytelników, iż idea tych urządzeń jest całkowicie poprawna i że może ona zostać zrealizowana na drodze technicznej. Upewnienie to, obok prezentacji samych urządzeń, jest właśnie celem niniejszej monografii. Cel ten autor sformułował więc w sposób następujący:

"Zaprezentować na tyle szczegółowy opis komory oscylacyjnej i magnokraftu, oraz materiału dokumentującego iż urządzenia te dają się zrealizować na drodze technicznej, aby czytelnik niniejszego opracowania był w stanie wyrobić sobie własną opinię odnośnie ich poprawności koncepcyjnej."

Oczywiście osiągnięcie powyższego celu jest tylko możliwe jeśli komora oscylacyjna i magnokraft są faktycznie ideami koncepcyjnie poprawnymi i realizowalnymi na drodze technicznej. Stąd też główna teza niniejszej monografii, która zostanie stopniowo udowodniona treścią kolejnych rozdziałów, musi być jak następuje:

"Zasada działania komory oscylacyjnej oraz magnokraftu jest poprawna koncepcyjnie i realizowalna na drodze technicznej."

Aby możliwe było udowodnienie powyższej tezy głównej, konieczne jest użycie jakiejś metody która umożliwi zweryfikowanie poprawności konceptu komory oscylacyjnej i magnokraftu zanim jeszcze budowa tych urządzeń zostanie podjęta. Autor uważa, iż znalazł taką metodę i postara się ją zaprezentować czytelnikowi. Uwypukleniu jej istnienia i wysokiej użyteczności służy następująca teza pomocnicza niniejszej monografii:

"Istnieje możliwość formalnego udowodnienia poprawności technicznej konceptu komory oscylacyjnej i magnokraftu bez uciekania się do potrzeby budowania tych urządzeń."

Prawdziwość owej pomocniczej tezy zostanie udowodniona w bardzo prosty sposób. Dla każdego urządzenia wynalezione przez autora i opisanego w rozdziałach C, D, E, F i G, w rozdziałach H, I, J, K i L tej monografii wykazane zostanie, iż urządzenie to zostało już zrealizowane przez jakąś bardziej zaawansowaną od nas cywilizację kosmiczną. Z kolei taka możliwość wykazania, iż ktoś już używa urządzenia jakich idee stanowią cel opisów niniejszej monografii, jest równoznaczne z udowodnieniem że koncept tych urządzeń musi być poprawny.

Jeśli więc prawdziwość tezy głównej tej monografii także zostanie udowodniona, wtedy zanim jeszcze budowa komory oscylacyjnej oraz magnokraftu zostanie rozpoczęta, poprawność tych dwóch konceptów technicznych będzie już formalnie dowiedziona. Z kolei w takim przypadku, już na obecnym etapie stworzone zostaną gwarancje, iż ewentualne podjęcie budowy tych urządzeń będzie posiadało znaczne prawdopodobieństwo odniesienia sukcesu. Głównym więc zadaniem pozostawionym dla budowniczych komory oscylacyjnej i magnokraftu, byłoby wtedy znalezienie drogi dla technicznego zrealizowania tych urządzeń, oraz późniejsze doprowadzenie ich budowy do pomyślnego zakończenia.

Czytelnicy zapoznający się z tą monografią zapewne zwrócą uwagę na nieco odmienne od tradycyjnego oznaczanie jej elementów składowych. Poszczególne rozdziały tej monografii oznaczone bowiem zostały kolejnymi literami alfabetu. Tak więc pierwszy (niniejszy) rozdział oznaczony jest jako "A", drugi jako "B", następny jako "C", itp. aż do podsumowania w rozdziale "M" i literatury uzupełniającej w rozdziale "N". Wszystko co dotyczy danego rozdziału, zaczyna się od litery tego rozdziału, po której następuje numer kolejny. I tak przykładowo trzeci wzór z rozdziału "C" będzie nosił numer (C3), pierwszy rysunek z rozdziału "C" będzie nosił numer "rysunek C1", zaś drugi podrozdział w rozdziale "C" będzie oznaczony jako "podrozdział C2". Podobnie oznaczane są też powołania na literaturę źródłową przytaczane zawsze w miejscach gdzie z literatury tej się korzysta po raz pierwszy lub najbardziej istotny. Dla przykładu wszystkie takie powołania zawarte w podrozdziale I1.4 będą oznaczone symbolem [I1.4]. Ponieważ jednak w podrozdziale tym występuje więcej niż jedno powołanie na literaturę źródłową, numer kolejny danego powołania w tym podrozdziale poprzedza numer podrozdziału. I tak symbol [1I1.4] oznacza pierwszą pozycję literaturową powołaną w podrozdziale I1.4, zaś symbol [2I1.4] oznacza drugą pozycję literaturową z tego podrozdziału. Opisany tu system oznaczeń użytych w niniejszej monografii posiada jedną istotną zaletę w stosunku do tradycyjnych systemów, jaka zadecydowała o jego wprowadzeniu przez autora. Umożliwia on mianowicie szybkie odnalezienie tego fragmentu tekstu jaki odnosi się do danego elementu. Przykładowo jeśli zechcemy znaleźć opis rysunku K6, wystarczy abyśmy przeszli do rozdziału K i poszukiwali przy jego końcu.

Aby osiągnąć ambitny cel tej monografii oraz wykazać poprawność jej głównej tezy, autor podzielił jej treść na dwie przeciwstawne części o odmiennych celach. Część pierwsza zaprezentowana została w rozdziałach B, C, D, E, F, G. Nazywana jest ona "Teorią Magnokraftu", zaś jej celem jest możliwie najpełniejsze przedstawienie teorii autora dotyczących różnorodnych aspektów wynalezionego przez niego magnokraftu, z naciskiem wszakże na komorę oscylacyjną stanowiącą pędnik dla tego statku. Warto tu podkreślić iż owa część jest logicznie zamknięta i w normalnych okolicznościach sama jedna powinna wystarczać dla podjęcia budowy zaprezentowanych w niej urządzeń. Z uwagi jednak na ogromne znaczenie jakie dla naszej cywilizacji stanowić będzie zbudowanie komory oscylacyjnej oraz wynikający z tego znaczenia spory opór intelektualny jaki obecnie napotyka upowszechnianie Teorii Magnokraftu, do niniejszej monografii autor zdecydował się też dodać drugą część, zawartą w rozdziałach H, I, J, K, L, jaką możnaby nazwać "Dowiedzenie Poprawności Teorii Magnokraftu". Owa druga część służy właśnie wypełnieniu pomocniczej tezy niniejszej monografii.

Układ treści obu tych części monografii zaprojektowany został w formę logicznego łańcucha. Na początku tego łańcucha (t.j. już w rozdziale B monografii) wykazano, że odkrycia kolejnych urządzeń napędowych budowanych na Ziemi podlegają cyklicznemu porządkowi, przypominającemu porządek ułożenia pierwiastków w Tablicy Mendelejewa. Porządek ten umożliwia nam przewidzenie już dzisiaj, iż następnym z nowych wehikułów zbudowanych na naszej planecie będzie właśnie magnokraft. Ponieważ do zbudowania magnokraftu konieczna jest znajomość konstrukcji i działania urządzenia stanowiącego jego pędnik a opisanego tutaj pod nazwą komora oscylacyjna, w rozdziale C omówione zostaną wszystkie aspekty tej komory, t.j. jej konstrukcja, działanie, wygląd, indukowane zjawiska, wykorzystanie, itp. Kolejne trzy rozdziały (t.j. D, E i F) opiszą trzy podstawowe

rodzaje napędów jakich działanie oparte zostanie na wykorzystaniu różnych konfiguracji komory oscylacyjnej. Napędy te to: dyskoidalny magnokraft, magnokraft czteropędnikowy, oraz magnetyczny napęd osobisty. Następny rozdział G ujawni, iż po magnokraftach pierwszej generacji zbudowane zostaną na Ziemi jeszcze bardziej zaawansowane wehikuly jakie również wykorzystywać będą komorę oscylacyjną. Dalszy rozdział H formalnie udowodni, iż magnokraft został już zbudowany przez jakieś wysoko-zaawansowane cywilizacje kosmiczne jakie wykorzystują ten statek w swoich przylotach na Ziemię. Kolejny rozdział I bazował będzie na tym dowodzie i wykaże on, że komora oscylacyjna jest właśnie urządzeniem napędowym owych wehikułów obcych cywilizacji odwiedzających naszą planetę. Dla podparcia tego wniosku dodatkowym materiałem dokumentacyjnym, dwa następne rozdziały J i K wykażą, iż również pozostałe urządzenia transportowe bazujące na komorze oscylacyjnej, t.j. wehikuł czteropędnikowy oraz magnetyczny napęd osobisty, zbudowane już zostały oraz są aktualnie użytkowane przez owe cywilizacje kosmiczne. Rozdział L wykaże iż nawet bardziej od nich zawansowane wehikuly opisane w rozdziale G też już odwiedzają naszą planetę. Po dostarczeniu powyższych dowodów na prawdziwość głównej tezy niniejszej monografii, w jej ostatnim rozdziale M podsumowane zostaną przytoczone tu rozważania. W podsumowaniu tym ujawnione będą niektóre konsekwencje tej systematycznej prezentacji wykazującej iż idee magnokraftu i komory oscylacyjnej udowodnione już zostały przez autora jako poprawne i technicznie wykonalne.

Rozdział B:**Prawo Cykliczności technicznym odpowiednikiem Tablicy Mendelejewa**

W artykule [1A] opublikowane zostało niezwykle ważne odkrycie autora niniejszej monografii, nazwane później "Prawem Cykliczności" w rozwoju napędów. Prawo Cykliczności wnosi taki sam porządek i symetryczność do rozwoju napędów, jak Tablica Mendelejewa wniosła do naszego poznania budowy materii. Prawo to stwierdza, że "budowanie urządzeń napędowych podlega generalnym regułom symetrii (cykliczności), tak że znając działanie napędów odkrytych w przeszłości możliwym się staje przewidywanie działania nowych napędów jakich zbudowanie nastąpi dopiero w przyszłości". Rozszerzony opis Prawa Cykliczności opublikowany został w monografiach [1a] i [6]. Tablica B1 w niniejszej monografii ilustruje działanie tego prawa.

Odkrycie Prawa Cykliczności nastąpiło gdy autor uświadomił sobie, że wszelkie napędy można podzielić na dwie drastycznie różne klasy które zostały nazwane "silnikami" i "pędnikami". Silniki wytwarzają tylko ruch względny jednych części danej maszyny, względem jej innych części. Ich przykładem może być: silnik w pralce (jaki obraca bęben względem obudowy) czy silnik w tokarce. Silniki nie są w stanie wytworzyć absolutnego ruchu całych obiektów względem otoczenia, chociaż często dostarczają one mechanicznej energii dla urządzeń wytwarzających taki ruch absolutny (np. w samochodzie - koła, a nie silnik, powodują jego jazdę po gruncie, chociaż to silnik dostarcza kołom niezbędnej energii mechanicznej). Zupełnie odmienne od silników są pędniki, które powodują ruch absolutny całych obiektów w otaczającym je ośrodku. Przykładem pędników mogą być: koło samochodowe, śmigło lotnicze, czy dysza raketowa. Pędniki zawsze są w stanie działać w naturalnym ośrodku i stąd należy je odróżniać od "silników liniowych" w których jedna część (np. szyna, prowadnica, itp.) została wydłużona na odpowiednią odległość. Przykładowo koleje żelazne i koleje magnetyczne należy zaliczać do silników liniowych, nie zaś do pędników.

Po dokonaniu podziału napędów na silniki i pędniki autor spostrzegł, że dla każdego rodzaju czynnika roboczego zawsze budowana jest para bliźniaczych urządzeń napędowych, z których pierwsze jest silnikiem, a drugie - pędnikiem (patrz tablica B1). Oba takie bliźniacze urządzenia działają na niemalże identycznej zasadzie, zaś pierwsze ich wersje konstrukcyjne są także ogromnie podobne. Przykładem owych bliźniaczych par mogą być: wiatrak i żagiel, czy silnik spalinowy i rakieta (t.j. jeśli usunie się tłok z cylindra silnika spalinowego wtedy uzyska się dyszę rakiety). Analiza dat zbudowania poszczególnych urządzeń takich par wskazuje też, że odstęp czasowy pomiędzy nimi z reguły nie przekracza 200 lat. Na powyższym spostrzeżeniu oparte zostało uproszczone sformułowanie Prawa Cykliczności które mówi, że "dla każdego silnika w przeciągu do 200 lat budowany jest odpowiadający mu pędnik". Sformułowanie to postuluje, że jeśli istnieje jakiś silnik, który dotychczas nie posiada bliźniaczego pędnika, odpowiadający mu pędnik powinien zostać zbudowany nie później niż około 200 lat od opracowania owego silnika. Wszyscy znamy taki odosobniony silnik. Jest nim zwyczajny silnik elektryczny, zbudowany przez Jacobi'ego około 1836 roku, w którym ruch wytwarzany zostaje przez siły przyciągających i odpychających oddziaływań magnetycznych. Jeśli więc Prawo Cykliczności działa, jeszcze przed rokiem 2036 silnik elektryczny powinien doczekać się zbudowania pędnika magnetycznego, zdolnego napędzać opisane tu magnokrafty.

Po wykryciu istnienia bliźniaczych par silnik-pędnik autor uporządkował je w formę tzw. "tablicy cykliczności" w niniejszej monografii pokazanej jako tablica B1. W tablicy tej dwie pary silnik-pędnik formują jedną generację napędów eksploatujących daną właściwość czynnika roboczego, zaś trzy kolejne takie generacje zamykają pełny cykl wykorzystania danego czynnika roboczego i wyczerpują listę urządzeń napędowych jakie można zbudować w oparciu o ten czynnik. Omawiana tablica ma tą właściwość, że pomiędzy wszystkimi jej elementami występuje wyraźnie dająca się zaobserwować symetryczność.

Symetryczność ta stanowi esencję Prawa Cykliczności, umożliwia ona bowiem przenoszenie (ekstrapolację) cech pomiędzy różnorodnymi urządzeniami napędowymi (podobnie jak to można czynić z pierwiastkami w Tablicy Mendelejewa). Dzięki niej, cechy napędów których zbudowanie nastąpi dopiero w przyszłości mogą zostać ekstrapolowane z cech napędów już istniejących.

Po odkryciu i pełnym rozpracowaniu Prawa Cykliczności, autor podążył za zawartymi w nim regułami symetryczności, i w ten sposób precyzyjnie rozpracował on szczegóły budowy i działania magnokraftu. Stąd opisy z niniejszej monografii, jak również sformułowania wszystkich innych publikacji autora poświęconych zaawansowanym napędom magnetycznym, stanowią jedynie konsekwencję praktycznego wykorzystania wskazówek wynikających z Prawa Cykliczności.

Pełny opis Prawa Cykliczności oraz zasad budowy Tablic Cykliczności jest obszernym tematem jakiego pełne zaprezentowanie wymagałoby napisania oddzielnej monografii o objętości zbliżonej do niniejszego opracowania. W monografii [1a] tylko przedstawienie najistotniejszych aspektów tego prawa zajęło rozdział o objętości 34 stron. Z uwagi więc na konieczność ograniczania objętości niniejszej monografii, omówione tu zostaną jedynie zagadnienia albo posiadające bezpośredni związek z jej główną tezą, albo też pomocne w zrozumieniu przytoczonych później rozważań. Czytelnikom pragnącym zapoznać się z innymi aspektami Prawa Cykliczności, rekomendowane jest przeczytanie monografii autora numer [6] na wykazie z podrozdziału N, lub angielskojęzycznej monografii [1a] (w przyszłości planowane jest też wydanie polskojęzycznej monografii poświęconej temu tematowi).

B1. Trzy generacje magnokraftów

W każdym urządzeniu napędowym obecne muszą być trzy następujące składniki: (1) czynnik roboczy, (2) wymiennik energii, oraz (3) przestrzeń robocza.

Czynnik roboczy jest to "medium" wykorzystywane w danym napędzie, którego funkcją jest absorbowanie jednego rodzaju energii i późniejsze wyzwolenie tej energii w formie oddziaływań siłowych zdolnych do wytworzenia ruchu. Przykładami czynników roboczych są: siły mechanicznej sprężystości (w łuku lub katapulcie), przepływająca woda (w kole młyńskim), para wodna (w silniku parowym), gazy spalinowe (w rakiecie kosmicznej) czy pole magnetyczne (w silniku elektrycznym).

Wymiennik energii jest to przestrzeń lub urządzenie w danym napędzie, w którym następuje wytworzenie czynnika roboczego i w którym czynnik ten absorbuje swoją energię początkową jaka następnie zostanie przez niego wyzwolona w celu wytworzenia określonego typu ruchu. Przykładami wymiennika energii mogą być: kocioł parowy ze silnika parowego, lub cewki zwojów elektromagnesu ze silnika elektrycznego.

Przestrzeń robocza jest to przestrzeń lub urządzenie w danym napędzie, gdzie następuje właściwe wytworzenie ruchu. W przestrzeni tej energia zawarta w czynniku roboczym zamieniona zostaje na pracę dostarczenia ruchu do napędzanego obiektu. Przykładami przestrzeni roboczej mogą być: przestrzeń pomiędzy tłokiem i cylindrem w silniku parowym, dysza rakiety kosmicznej, szczeliny między łopatkami w turbinie parowej, czy szczelina pomiędzy wirnikiem i stojanem w silniku elektrycznym.

Z analiz urządzeń napędowych dotychczas skompletowanych na Ziemi wynika, iż jedynie trzy rodzaje "medium" nadają się do użycia jako czynnik roboczy. Są to: (1) obieg oddziaływań siłowych, (2) obieg masy, oraz (3) obieg linii sił pola magnetycznego. Stąd wszystkie dotychczas istniejące czynniki robocze mogą zostać zakwalifikowane do jednej z tych trzech generalnych kategorii (patrz pierwsza kolumna w tablicy B1), zależnie od tego które z powyższych trzech obiegów one reprezentują. Ponieważ podczas rozwoju naszej cywilizacji, owe trzy kolejne kategorie czynników roboczych były odkrywane we wyszczególnionej powyżej kolejności, możemy więc mówić o trzech erach w historii naszej myśli technicznej, w każdej z których jeden z powyższych czynników roboczych był szczególnie dominujący. I tak w starożytności i średniowieczu panowała era czynników

roboczych bazujących na obiegu siły (np. siły bezwładności i reakcji w kole zamachowym, siły sprężystości w sprężynie zegarowej). Od czasu wynalezienia maszyny parowej (1769 rok) aż do dzisiaj, dominowała era czynników roboczych bazujących na obiegu masy (np. powietrze dla śmigła lotniczego, woda dla śruby okrętowej, gazy spalinowe dla pędnika odrzutowca). Obecnie zaczynamy jednak zbliżyć się do trzeciej ery, w której dominującym zaczyna być obieg linii sił pola magnetycznego. Do chwili obecnej zbudowaliśmy tylko jeden i to najbardziej prymitywny reprezentant tych napędów przyszłości, t.j. silnik elektryczny który wykorzystuje obieg wytwarzanych przez siebie pól magnetycznych. Niemniej już wkrótce cały szereg bardziej zaawansowanych napędów tego typu zostanie urzeczywistnionych (patrz opisy z rozdziałów D, E, F, G tej monografii).

Dla każdego typu czynnika roboczego, aż trzy różne generacje urządzeń napędowych mogą zostać zbudowane - patrz tablica B1. W każdej z nich kolejne atrybuty czynnika roboczego zostają wykorzystane jako nośniki energii. Pierwsza z tych generacji zawsze wykorzystuje jedynie oddziaływania siłowe (np. popychanie, pociąganie, ciśnienie, ssanie, odpychanie, przyciąganie) wytwarzane przez czynnik roboczy. W drugiej generacji, na dodatek do tych oddziaływań siłowych, również inercyjność czynnika roboczego jest wykorzystywana. Trzecia generacja urządzeń napędowych działających na danym czynniku roboczym wykorzystuje nie tylko jego oddziaływania siłowe i inercyjność, ale także wytwarzany przez niego impakt energii wewnętrznej (np. spężystości czy ciepła).

Z tablicy B1 wynika jednoznacznie iż silnik elektryczny i magnokraft reprezentują jedynie pierwszą i najbardziej prymitywną generację napędów bazujących na obiegu linii sił pola magnetycznego. Jedynym bowiem atrybutem pola jaki napędy te wykorzystują to siła odpychania lub siła przyciągania magnetycznego. Stąd po skompletowaniu tej pierwszej generacji magnokraftów i odpowiadających mu urządzeń napędowych pierwszej generacji, nasza cywilizacja przystąpi do kompletowania ich drugiej i trzeciej generacji. W każdej z nich, niezależnie od magnokraftu, aż cztery odmienne urządzenia należące do dwóch kolejnych par silnik-pędnik, zostaną zbudowane. Działanie owych zaawansowanych urządzeń napędowych będzie nie tylko wykorzystywało przyciągające i odpychające oddziaływania magnetyczne, ale także takie złożone zjawiska jak technicznie zaindukowaną telekinezę (jaka wyzwalana jest poprzez magnetyczny odpowiednik inercji - patrz objaśnienia w podrozdziale G1 oraz w monografii [1a]) oraz zmiany w upływie czasu (czas z kolei jest odpowiednikiem energii wewnętrznej pola magnetycznego - patrz podrozdział G3 oraz opisy w monografii [1a]). Stąd razem z magnokraftem pierwszej generacji, w toku rozwoju technicznego nasza cywilizacja dorobi się aż trzech różnych generacji tych wehikułów, napęd drugiej i trzeciej generacji których wywoływał będzie zjawiska telekinezy oraz zjawiska zmian w upływie czasu. Aby wyrazić powyższe w terminologii z niniejszej monografii: druga i trzecia generacja magnokraftów zdolna będzie do działania w, odpowiednio, konwencji telekinetycznej i konwencji podróży w czasie. Następny podrozdział wyjaśni bliżej co należy rozumieć przez owo sformułowanie.

B2. "Trend omnibusa" a wygląd trzech generacji magnokraftów

W potocznym języku jedno ze znaczeń terminu "konwencja" brzmi "jednoznacznie zdefiniowane zachowanie". W niniejszej monografii ów termin zostanie więc przyjęty dla opisanie ściśle zdefiniowanego zachowania się wehikułu latającego. Stąd począwszy od tego miejsca przez wyrażenie "konwencja działania wehikułu" rozumieli będziemy nazwę głównej zasady wykorzystanej w danym momencie przez określony wehikuł dla spowodowania swego lotu. Aby lepiej zrozumieć potrzebę wprowadzenia tego terminu, posłużmy się przykładem nie tak dawno opracowanego na Ziemi promu kosmicznego (np. "Columbia"). Prom taki zaprojektowany został z możliwością lotów na trzech zasadach, t.j.: (1) jako rakieta, (2) jako szybowiec, lub (3) jako bezwładny satelita ziemski. Aby więc precyzyjnie określić którą z tych trzech zasad w danym momencie określony prom wykorzystuje, koniecznym jest właśnie użycie pojęcia konwencji (np. sprecyzowanie "prom ten właśnie leci w konwencji szybowca").

W przypadku wehikułów jakich zbudowanie nastąpi dopiero w przyszłości ich konwencja lotu posiada ogromne znaczenie. Wynika to z generalnego trendu w rozwoju urządzeń napędowych jaki w tym opracowaniu nazwany zostanie "trendem omnibusa". Aby lepiej opisać czym jest ów trend posłużymy się przykładem hipotetycznego samolotu jaki nazwiemy tu "omnibusem". Omnibus przyjmie kształt tuby z otwartymi końcami. Kształt ten umożliwia mu więc połączenie w pojedynczym wehikule działania aż trzech różnych generacji pędników wykorzystujących obieg masy, t.j. szybowca, poduszkowca i odrzutowca. Kiedy więc omnibus leci na dużych wysokościach może on wygasić spalanie paliwa i szybować w powietrzu jak pędniki pierwszej generacji z obiegiem masy (t.j. szybowce). W tablicy B1 pędniki te reprezentowane są przez żagiel. Kiedy omnibus skieruje strumień swoich gazów odrzutowych ku ziemi, zaczyna działać jak poduszkowiec ślizgając się poziomo tuż przy powierzchni gruntu. Podczas takiego działania reprezentuje on więc drugą generację pędników z obiegiem masy. Omnibus może też działać jako odrzutowiec, przecinając powietrze swoim tubiastym korpusem wyrzucającym z tyłu gazy odrzutowe. W tym więc przypadku reprezentuje on trzecią generację pędników z obiegiem masy.

Powyższe ujawnia, iż aby precyzyjnie określić na jakiej zasadzie omnibus działa w określonym momencie czasu, wprowadzenie konwencji staje się konieczne. Po jego wprowadzeniu, z łatwością będziemy mogli opisać zachowanie tego wehikułu mówiąc po prostu iż leci on albo w konwencji szybowca, poduszkowca, albo też odrzutowca. W każdej z nich ten sam omnibus zachowuje się jak całkowicie odmienna generacja napędów z obiegiem masy.

Dotychczas zgromadzone doświadczenia w zakresie użytkowania różnych wehikułów latających wykazują, iż wszystkie trzy kolejne generacje napędów z obiegiem masy nawzajem się uzupełniają. Stąd też obecne pędniki trzeciej generacji, takie jak przykładowo rakiety, nie tylko że nie są w stanie zastąpić pędników pierwszej i drugiej generacji, takich jak szybowiec czy poduszkowiec, ale nawet wprowadzają one zwiększone zapotrzebowanie na równoczesne wykorzystywanie tych niższych od siebie pędników. Jednym z przykładów takiego zapotrzebowania jest już wspomniany poprzednio prom kosmiczny (Columbia) który musi działać zarówno jako rakietę jak i jako szybowiec. Z drugiej strony, nasza rosnąca wiedza na temat systemów napędowych dostarcza nam już obecnie coraz większych możliwości technicznych aby nowobudowane wehikuły równocześnie zaopatrywać w urządzenia napędowe umożliwiające kilka różnych konwencji lotów. Przykładem mogą tu być współczesne samoloty wojskowe, które zaopatrywane są w możliwości lotów odrzutowych, plus równoczesne możliwości pionowego startu (t.j. działania jako poduszkowce), oraz równoczesne możliwości szybowania. Powyższe uświadamia iż budowanie omnibusów jest naturalnym trendem technicznym jaki z czasem będzie się tylko pogłębiał.

Powyższe można wyrazić w formie generalnej zasady o następującej treści: "We wysoko rozwiniętych cywilizacjach trend omnibusu staje się tak dominujący, iż budowanie wyższych generacji wehikułów latających osiągnęte zostaje poprzez dodawanie dalszych konwencji lotu do już istniejących wehikułów niższej generacji wykorzystujących ten sam czynnik roboczy."

Najsilniejszy wpływ na naszą cywilizację trend omnibusu wywrze gdy opracowana zostanie druga i trzecia generacja wehikułów z napędem magnetycznym. Owe dwa wysoko zaawansowane wehikuły nie będą bowiem budowane jako zupełnie nowe i całkowicie odmienne statki, ale raczej jako dodatkowo usprawnione wesje zwykłego magnokraftu. Ich kształt, wygląd zewnętrzny, zagospodarowanie przestrzeni wewnętrznej, a także jedna z konwencji działania (t.j. konwencja lotów magnetycznych) będą identyczne do tych ze zwykłego magnokraftu. Jediną różnicą jaką te zaawansowane wehikuły będą wykazywały w stosunku do zwykłego magnokraftu, to iż niezależnie od lotów w konwencji magnetycznej, gdy zajdzie potrzeba będą one zdolne do lotów w konwencji teleportacyjnej (wehikuły drugiej generacji) lub lotów w konwencjach teleportacyjnej albo podróży w czasie (wehikuły trzeciej generacji). Aby więc podkreślić iż oba te wysoko zaawansowane wehikuły zrodziły się ze zwykłego magnokraftu i mogą ciągle latać w konwencji zwykłego magnokraftu, w niniejszej monografii będą one nazywane magnokraftem drugiej generacji

(t.j. wehikuł zdolny do lotów w konwencji magnetycznej lub konwencji teleportacyjnej) oraz magnokraftem trzeciej generacji (t.j. wehikuł zdolny do lotów w konwencji magnetycznej, konwencji teleportacyjnej, lub konwencji podróży w czasie). Dla przeciwstawienia się tym wehikułom, zwykły magnokraft, jaki zdolny będzie jedynie do lotów w konwencji magnetycznej, będzie tu nazywany magnokraftem pierwszej generacji lub po prostu magnokraftem.

W tym miejscu powinno zostać podkreślone, iż każdy z tych wehikułów wyższej generacji w danej chwili może używać tylko jednej konwencji lotów. Dla przykładu jeśli magnokraft drugiej generacji leci w konwencji magnetycznej, jego zdolności teleportacyjne muszą zostać wyłączone. Gdy jednak włączy on swój napęd teleportacyjny, wtedy jego siły przyciągania i odpychania magnetycznego muszą zostać równocześnie wygaszone.

Komora oscylacyjna

Wyobraźmy sobie małą kryształową kostkę stanowiącą nowe urządzenie do produkcji super-silnego pola magnetycznego. Wyglądałaby ona jak idealnych kształtów kryształ, lub jak ozdobny sześcian precyzyjnie wyszlifowany ze szkła i ukazujący swe fascynujące wnętrze poprzez przezroczyste ścianki. Przy wielkości nie większej od poręcznej kostki Rubika wytwarzałaby ona pole setki tysięcy razy przewyższające pola produkowane dotychczas na Ziemi, włączając w to pola najsilniejszych współczesnych dźwigów magnetycznych czy najpotężniejszych elektromagnesów w laboratoriach naukowych. Gdybyśmy kostkę taką wzięli do ręki, wykazywałaby ona zdumiewające własności. Przykładowo mimo swych niewielkich rozmiarów byłaby ona niezwykle "ciężka" i przy jej przesterowaniu na pełny wydatek magnetyczny nawet najsilniejszy atleta nie byłby w stanie jej udźwignąć. Jej "ciężar" wynikałby z faktu, iż wytwarzane przez nią potężne pole magnetyczne powodowałoby jej przyciąganie w kierunku Ziemi i stąd do jej rzeczywistego ciężaru dodawałaby się wytworzona w ten sposób siła jej oddziaływań magnetycznych z polem ziemskim. Byłaby ona też oporna na nasze próby obracania i podobnie jak igła magnetyczna zawsze starałaby się zwrócić w tym samym kierunku. Gdybyśmy jednak zdołali ją obrócić w położenie dokładnie odwrotne do tego jakie sama skłonna byłaby przyjmować, wtedy ku naszemu zdumieniu zaczęłaby nas unosić w powietrze.

Podczas oglądania z niewielkiej odległości ta kryształowa kostka ukazałaby w swym wnętrzu niezliczone iskry elektryczne zamrożone w bezustannym migotaniu. Przy ich dokładniejszych oględzinach zauważylibyśmy, iż iskry te obiegają kostkę naokoło, "ślizgając" się wzdłuż powierzchni wewnętrznej jej czterech przezroczystych ścianek bocznych. (Pozostałe dwie ścianki czołowe tego sześciennego kryształu stanowiłyby wyloty/bieguny magnetyczne wytwarzanego przez niego pola.) Przeskoki każdej z iskier następowałyby tylko pomiędzy dwoma naprzemianległymi ściankami kostki. Ponieważ części drogi owych niezliczonych iskier wzajemnie nachodziłyby na siebie, w sumie tworzyłyby one rodzaj "iskrowego wiru" jaki niezwykle szybko obiegałby wokół osi magnetycznej urządzenia. Wir ten nie zakreślałby jednak kolistych trajektorii jak to czynią wszystkie normalnie rotujące zjawiska, lecz jego iskry skakałyby wzdłuż obwodu kwadratu. Z kolei rotowanie tego obiegającego po kwadracie wiru iskrowego wytwarzałoby potężne pole magnetyczne w sposób podobny jak to czyni przepływ prądu wzdłuż obwodu selenoidu.

Powyższy opis ujawnił nam wygląd i działanie komory oscylacyjnej która stanowi przedmiot rozważań niniejszego rozdziału. Wynika z niego że nazwa "komora oscylacyjna" (po angielsku "Oscillatory Chamber") przyporządkowana została nieznanemu wcześniej na Ziemi urządzeniu realizującemu całkowicie nową zasadę wytwarzania pól magnetycznych, wynalezioną i rozpracowaną przez autora. Zasada ta wykorzystuje zjawisko rotowania czterosegmentowego łuku elektrycznego naokoło wewnętrznego obwodu czterech ścianek komory sześcienną. Łuk ten uformowany zostaje z dwóch pęków oscylujących iskier elektrycznych skaczących w kierunkach wzajemnie prostopadłych do siebie, których cztery kolejne przeskoki formują cztery boki kwadratu. Przeskoki te następują pomiędzy naprzemianległymi ściankami komory sześcienną o specjalnej konstrukcji, która właśnie z uwagi na swój kształt i zasadę działania nazwana została komorą oscylacyjną.

Komora oscylacyjna realizująca powyższą zasadę działania uformowana będzie jako sześcienna kostka/pudło wykonana z przezroczystego materiału i pusta w środku (t.j. wypełniona jedynie gazem dielektrycznym pod małym ciśnieniem). Jej sześć ścianek wykonane będzie z płytek materiału izolacyjnego (np. szkła) zespolonego na krawędziach. Na dwóch parach przeciwległych jej ścianek wewnętrznych zainstalowane zostaną pakiety elektrod przewodzących. Elektrody te (bez żadnych dodatkowych urządzeń

uzupełniających) pełnić będą funkcję dwóch obwodów oscylacyjnych z iskrownikami. Każdy z obu tych obwodów oscylacyjnych powstanie w wyniku wzajemnego oddziaływania elektrycznego na siebie dwóch pakietów elektrod zamontowanych na przeciwległych ściankach wewnętrznych owej sześcienniej komory oscylacyjnej (t.j. powierzchnia elektrod dostarczy obwodowi wymaganej pojemności elektrycznej, ich wzajemny odstęp służyć będzie jako przerwa iskrowa, zaś iskra elektryczna dostarczy wymaganej indukcyjności).

Realizacja przez komorę oscylacyjną jej unikalnej zasady wytwarzania pola magnetycznego, podsumowana we wielkim skrócie, jest jak następuje. Pakiety elektrod położonych na przeciwstawnych ściankach komory ładowane są przeciwnymi ładunkami elektrycznymi. Ładunki te próbują się wyrównać formując pęki oscylujących iskier. Ponieważ dwa pęki takich oscylujących iskier zmuszane są do naprzemiennie zesynchronizowanych przeskoków wzdłuż wewnętrznych powierzchni czterech ścianek komory oscylacyjnej, ich efektem końcowym będzie uformowanie łuku elektrycznego rotującego po obwodzie kwadratu. Łuk ten wytwarzał będzie wymagane pole magnetyczne. Powyższa realizacja działania komory oscylacyjnej umożliwi osiągnięcie podwójnych korzyści. Z jednej strony eliminuje ona bowiem prawie wszystkie wady wrodzone występujące w konstrukcji elektromagnesów, jakie ograniczają wydatek wytwarzanego przez nie pola magnetycznego. Z drugiej zaś strony dostarcza ona komorze oscylacyjnej dodatkowych zalet jakie są źródłem unikalnych (t.j. nieznanymi wcześniej w żadnym innym urządzeniu budowanym dotychczas na Ziemi) atrybutów operacyjnych tego urządzenia.

Końcowym wynikiem takiego opracowania konstrukcji i działania komory oscylacyjnej jest, iż po zbudowaniu urządzenie to będzie zdolne do zwiększania swego wydatku magnetycznego do teoretycznie nielimitowanego poziomu. Praktycznie oznacza to, że owo źródło potężnego pola magnetycznego będzie pierwszym urządzeniem zbudowanym na Ziemi jakiego wydatek magnetyczny umożliwi mu przekroczenie strumienia startu, a co za tym idzie samoczynne wzniesienie się w powietrze jedynie w efekcie odpychającego oddziaływania wytwarzanego przez siebie pola z polem magnetycznym Ziemi, Słońca lub Galaktyki. Komora oscylacyjna będzie więc naszym pierwszym "magnesem zdolnym do wzlotu".

C1. Dlaczego niezbędnym jest zastąpienie elektromagnesów przez komorę oscylacyjną

Obserwując olśniewające osiągnięcia naszej wiedzy i techniki w jednej dziedzinie, bez zastanowienia zakładamy, że nasz postęp jest równie efektowny we wszystkich kierunkach. Tymczasem istnieją działy techniki gdzie nie nastąpił prawie żaden postęp od prawie dwóch stuleci i gdzie ciągle drepczemy w kółko w tym samym miejscu. Aby uświadomić sobie jeden z najbardziej powszechnie spotykanych przykładów takiego zastoju, zadajmy teraz pytanie: "Jakiż to postęp dokonany został ostatnio w zakresie zasad wytwarzania pól magnetycznych?" Zaskakująco, odpowiedź jest: "żaden". W dobie eksploracji Marsa do wytwarzania pola magnetycznego ciągle wykorzystujemy dokładnie tą samą zasadę jaka wykorzystywana była w tym celu przed ponad 170 lat, t.j. zasadę odkrytą w 1820 roku przez duńskiego profesora Hans'a Oersted'a i polegającą na wykorzystaniu efektów magnetycznych prądu elektrycznego przepływającego przez zwoje przewodnika. Urządzenie wykorzystujące tą zasadę, nazywane "elektromagnesem", jest obecnie jednym z najbardziej archaicznych wynalazków ciągle w powszechnym użyciu z powodu braku lepszego rozwiązania. Aby zrozumieć jak przestarzałe jest działanie elektromagnesu wystarczy posłużyć się następującym przykładem: gdyby nasz postęp w rozwoju urządzeń napędowych równał się postępowi w rozwoju urządzeń do wytwarzania pól magnetycznych, wtedy naszym jedynym wehikulem ciągle pozostawałaby lokomotywa parowa.

Elektromagnesy posiadają cały szereg wad wrodzonych. Wady te uniemożliwiają podniesienie ich wydatku ponad określony, i to stosunkowo niski, poziom. Ich usunięcie nie jest możliwe w żaden sposób, ponieważ wynikają one ze samej zasady działania tych urządzeń. Poniżej dokonany zostanie przegląd najważniejszych z owych nieusuwalnych

wad elektromagnesów. Ich bardziej dokładne omówienie przytoczone jednak będzie w podrozdziale C5 poświęconym prezentacji zasad na jakich każda z nich wyeliminowana została w działaniu komory oscylacyjnej.

#1. Elektromagnesy formują elektromagnetyczne siły odchylające jakie napinają ich zwoje w kierunku promieniowym starając się rozerwać te zwoje na strzępy. Siły te formowane zostają w rezultacie wzajemnego oddziaływania pomiędzy polem magnetycznym wytwarzanym przez dany elektromagnes, a zwojami przewodnika jaki wytworzył to pole. Pole to, zgodnie z działaniem "reguły lewej ręki" często zwanej także "efektem silnika", stara się wypchnąć zwoje wytwarzającego je przewodnika ze swego zasięgu. Elektromagnetyczne siły odchylające uformowane w ten sposób są więc identycznego rodzaju jak te wykorzystywane w zasadzie działania silników elektrycznych. Aby zabezpieczyć elektromagnes przed rozerwaniem na strzępy, owym wewnętrznym elektromagnetycznym siłom odchylającym musi przeciwstawiać się jakaś fizyczna konstrukcja zewnętrzna. Konstrukcja ta balansuje swoją mechaniczną wytrzymałością siły odchylające wynikające z wydatku danego elektromagnesu. Konstrukcja owa oczywiście niezwykle zwiększa wagę każdego silniejszego elektromagnesu. Więcej jednak, jeśli przepływ prądu w elektromagnesie przewyższy określony poziom, wtedy owe siły odchylające wzrastają do takiej wartości, iż żadna fizyczna konstrukcja nie jest już w stanie im się oprzeć, dlatego też powodują one eksplozowanie zwojów danego elektromagnesu. W ten sposób zbyt duże zwiększenie wydatku dowolnego elektromagnesu zwykle kończy się jego samo-zniszczeniem poprzez eksplozowanie. Takie eksplozje elektromagnesów są dosyć częstym zdarzeniem w laboratoriach badawczych, stąd co potężniejsze z owych urządzeń montowane są w specjalnych bunkrach wyciszających ich ewentualną eksplozję.

#2. Wymogiem elektromagnesów jest bezustanne zaopatrywanie w energię elektryczną jeśli produkowane przez nie pola muszą posiadać kontrolowalne parametry (t.j. jeśli parametry ich pola są zmienialne zgodnie z wymaganiami użytkowników). Jeśli takie bezustanne zaopatrywanie w energię elektryczną zostanie nagle odcięte, sterowalność ich pola magnetycznego także ulega zakończeniu. Powyższe wymaganie nałożone na sterowalność pola elektromagnesów powoduje, że podczas produkcji potężnych pól magnetycznych, pojedynczy elektromagnes konsumuje wydatek całej elektrowni.

#3. Elektromagnesy powodują liczące się straty energii. Prąd elektryczny przepływający przez zwoje konwencjonalnego elektromagnesu wyzwała ogromne ilości ciepła (patrz Prawo Joule'a dotyczące nagrzewania prądem elektrycznym). To ciepło nie tylko że pomniejsza efektywność energetyczną produkcji pola, ale także - kiedy energie pola są wysokie, powoduje ono topienie się zwojów elektromagnesu.

Użycie materiałów nadprzewodzących do wykonania zwojów elektromagnesu eliminuje wprawdzie nagrzewanie się jego materiału w efekcie przepływu prądu. Jednakże równocześnie wprowadza ono innego rodzaju straty energii wynikające z konieczności utrzymywania bardzo niskiej temperatury zwojów elektromagnesu nadprzewodzącego. Oczywiście takie utrzymywanie temperatury wiąże się z bezustanną konsumpcją energii jaka zmniejsza efektywność wynikową danego elektromagnesu. Powinno także tu zostać podkreślone, że pole magnetyczne o wysokiej gęstości eliminuje efekt nadprzewodnictwa i stąd przywraca oporność elektryczną do zwojów. Dlatego też elektromagnesy nadprzewodzące są tylko w stanie wytwarzać pola leżące poniżej owej wartości progowej powodującej nawrót ich oporności elektrycznej.

#4. Elektromagnesy są podatne na zużycie elektryczne. Konfiguracja geometryczna elektromagnesów jest tak uformowana, że kierunek największych sił pola elektrycznego nie pokrywa się z ułożeniem przewodnika w zwoje (t.j. siły tego pola starają się powodować przepływ prądu w poprzek uzwojeń, podczas gdy ułożenie warstewek izolacyjnych wymusza ten przepływ wzdłuż zwoi po spirali). To z kolei skierowuje niszczące działanie energii elektrycznej na izolacje zwojów elektromagnesu. Po upływie określonego czasu energia ta powoduje więc przebicie elektryczne izolacji jakie inicjuje zniszczenie całego tego urządzenia (t.j. wywołuje spięcie elektryczne w uzwojeniach elektromagnesu które następnie topi zwoje i niszczy cały elektromagnes).

#5. Elektromagnesy uniemożliwiają sterowanie swoim działaniem za pomocą słabych sygnałów sterujących. Parametry wytwarzanego przez nie pola magnetycznego mogą być zmieniane tylko poprzez zmiany w mocy zasilającego prądu elektrycznego. Dlatego też kontrolowanie elektromagnesu wymaga użycia tych samych mocy jak moce niezbędne do wytwarzania pola magnetycznego.

Jedyną drogą do wyeliminowania pięciu powyższych najistotniejszych wad wrodzonych elektromagnesów jest zastosowanie do wytwarzania pola całkowicie odmiennej zasady działania. Zasada taka, wynaleziona przez autora, zostanie zaprezentowana w dalszych częściach tego rozdziału. Ponieważ zasada ta wykorzystuje mechanizm oscylacyjnych wyładowań elektrycznych następujących we wnętrzu komory sześcienniej, nazwana ona została "komorą oscylacyjną".

Zasada działania komory oscylacyjnej nie posiada powyżej opisanych wad i ograniczeń elektromagnesów uniemożliwiających zwiększanie ich wydatku (sposób eliminacji w niej owych wad opisano w podrozdziale C5). Ponadto, zapewnia ona bardziej proste oraz efektywne wytwarzanie i użytkowanie, długi okres użytkowania bez konieczności dokonywania napraw, niezwykle wysoką wartość stosunku wydatek-dociężaru, oraz szeroki zakres zastosowań komory (np. jako urządzenia napędowego, akumulatora energii, źródła pola magnetycznego, itp. - patrz tablica C1). Wyjaśnienia jakie nastąpią (szczególnie te z podrozdziału C6) opiszą mechanizm umożliwiający osiągnięcie wszystkich tych dodatkowych zalet. Niewystępowanie więc w komorze oscylacyjnej wszystkich wad wrodzonych elektromagnesów, w połączeniu z licznymi zaletami operacyjnymi, uzasadniają celowość szybkiego podjęcia jej budowy, tak aby to niezwykle urządzenie już wkrótce mogło zastąpić obecnie używane elektromagnesy.

C2. Zasada działania komory oscylacyjnej

Prąd elektryczny przepływający przez zwoje przewodnika nie jest jedynym źródłem kontrolowanego pola magnetycznego. Innym dobrze znanym takim źródłem jest iskra elektryczna, t.j. zjawisko reprezentujące energię elektryczną w najczystszej z postaci. Znanych jest wiele sposobów na wytwarzanie iskier elektrycznych, jednakże dla zastosowań opisywanych tutaj najprzydatniejszym jest tzw. "obwód oscylacyjny z iskrownikiem". Unikalną własnością takiego obwodu jest jego zdolność do pochłaniania, sumowania i najefektywniejszego wykorzystywania energii elektrycznej dostarczonej do niego. Energia ta następnie manifestuje się w postaci zwolna zanikającej serii iskier elektrycznych wytwarzanych przez ten obwód.

Wynalezienie obwodu oscylacyjnego z iskrownikiem nastąpiło w roku 1845 przez fizyka amerykańskiego, Joseph'a Henry. Zauważył on, że jeśli rozładować butelkę Leydenską poprzez uzwojenia induktora, wtedy otrzymywało się oscylującą iskrę. W kilka lat potem Lord Kelvin, fizyk i inżynier angielski, dowiódł matematycznie że wyładowanie w tak skonstruowanym obwodzie musi następować w sposób oscylacyjny.

W tym miejscu należy podkreślić że obwód oscylacyjny z iskrownikiem był pierwszym obwodem wynalezionym na naszej planecie jaki wytwarzał drgania elektryczne. Jego zbudowanie wносиło więc równie rewolucyjne konsekwencje jak przykładowo opracowanie pierwszej maszyny parowej. Obwód ten dostarczył bowiem fundamentów poznawczych dla późniejszego uformowania wielu oddzielnych dziedzin nauki bazujących właśnie na drganiach elektrycznych, przykładowo elektroniki czy cybernetyki, zaś na jego zasadzie oparte jest działanie ogromnej ilości dzisiejszych urządzeń, takich jak radia, telewizory, komputery, przyrządy pomiarowe, oraz wiele innych.

C2.1. Inercja elektryczna induktora stanowi siłę motoryczną dla oscylacji w tradycyjnym obwodzie oscylacyjnym z iskrownikiem

Rysunek C1 (a) pokazuje tradycyjną konfigurację obwodu elektrycznego z iskrownikiem, tzn. konfigurację wynalezioną przez Henry'ego. Najbardziej wyróżniającą się cechą tego obwodu jest, iż powstaje on poprzez połączenie razem w jeden obwód zamknięty trzech istotnych elementów, t.j. L, C₁ i E, jakie przyjmują formę oddzielnych części lub urządzeń. Części te to: (1) induktor L, zawierający długi przewód zawinięty we wiele zwojów, który dostarcza obwodowi własności zwanej "indukcyjność"; (2) kondensator C₁, którego własność zwana "pojemnością elektryczną" umożliwia obwodowi gromadzenie ładunków elektrycznych; (3) iskrownik E, którego dwie równoległe elektrody, prawa ER i lewa EL oddzielone od siebie warstewką gazu, wprowadzają przerwę iskrową do obwodu.

Kiedy na płytki PF i PB kondensatora C₁ przyłożone zostają ładunki elektryczne "+q" i "-q", powoduje to przepływ prądu elektrycznego "i" poprzez przerwę iskrową E oraz induktor L. Prąd "i" musi przejawiać się w postaci iskier "S" i musi także wytworzyć strumień magnetyczny "F". Mechanizm kolejnych transformacji energii następujących w induktorze L (jaki niezależnie od niniejszego podrozdziału opisany jest także we wielu książkach z zakresu elektroniki i fizyki) powoduje, iż iskra "S", gdy już raz się pojawi pomiędzy elektrodami E, będzie oscylowała tam tak długo, aż energia obwodu zostanie rozproszona.

Obwód oscylacyjny z iskrownikiem reprezentuje elektryczną wersję wielu istniejących obecnie urządzeń jakie wytwarzają jedno z najbardziej powszechnych w naturze zjawisk, t.j. ruch drgający. Analogią mechaniczną do tego obwodu, znaną doskonale każdemu, jest huśtawka. We wszystkich urządzeniach wytwarzających taki ruch, t.j. zarówno w obwodzie oscylacyjnym jak i huśtawce, pojawienie się oscylacji wywoływane jest działaniem Zasady Zachowania Energii. Zasada ta powoduje, iż energia początkowa dostarczona do takiego urządzenia oscylacyjnego, zostaje następnie w nim uwięziona w procesie nieustannie powtarzających się transformacji w dwie formy: energii potencjalnej i energii kinetycznej. W przypadku obwodu oscylacyjnego z iskrownikiem, "energia potencjalna" reprezentowana jest przez pole elektryczne przeciwstawnych ładunków elektrycznych "+q" i "-q" zgromadzonych na obu okładzinach kondensatora - patrz rysunek C1 (a). Właśnie różnica potencjałów elektrycznych spowodowana obecnością tych ładunków, formuje siłę motoryczną jaka wymusza przepływ prądu "i" poprzez dany obwód. W przypadku huśtawki, ta sama energia potencjalna zostaje wprowadzona na drodze odchylenia jej ramienia, wraz z zamocowanym do niego siedzeniem, od położenia pionowego. W rezultacie, ciężar z danej huśtawki (np. siedzące na niej dziecko) wzniesiony zostanie na określoną wysokość. Energia potencjalna tego ciężaru wymusza później jego przyspieszenie w dół do pozycji równowagi. Druga z form energii, t.j. "energia kinetyczna", w obwodzie oscylacyjnym z iskrownikiem manifestuje się w formie strumienia "F" pola magnetycznego wytwarzanego przez induktor L. W huśtawce, ta sama energia kinetyczna pojawia się w postaci szybkiego ruchu ciężaru przyłożonego do jej siedzenia.

Wzajemne transformowanie się energii potencjalnej w energię kinetyczną, i vice versa, wymaga istnienia rodzaju pośrednika jaki aktywuje mechanizm zamiany tej energii. Ów pośrednik jest wprowadzany przez element odznaczający się własnością zwaną "inercją". Inercja jest więc czynnikiem napędowym niezbędnym dla podtrzymywania oscylacji w dowolnym układzie drgającym. Działa ona jak rodzaj "pompy" jaka wymusza transformacje energii z formy potencjalnej, w formę kinetyczną, a potem znowóż w odwrotną formę potencjalną. Owa "pompa" zawsze stara się odtworzyć początkową ilość energii potencjalnej, istniejącą w chwili rozpoczęcia się danego cyklu oscylacji, pomniejszoną jedynie przez wielkość jej rozproszenia następującego w czasie oscylacji. Stąd też element inercyjny jest najbardziej istotnym składnikiem każdego układu drgającego. W obwodzie oscylacyjnym z iskrownikiem jego funkcję wypełnia induktor L, którego induktancja (wyrażona w jednostkach zwanych "henry") reprezentuje inercję elektryczną. W huśtawce, inercja mechaniczna jest dostarczana przez masę jej ładunku (wyrażoną w kilogramach). Powyższe jest powodem dla którego induktancja w oscylacjach elektrycznych jest uważana za odpowiednik masy w drganiach mechanicznych.

Aby zwiększyć inercję mechaniczną koniecznym jest dołożenie dodatkowej masy do tej już uczestniczącej w transformacjach energii. Natomiast zwiększenie inercji elektrycznej wymaga wydłużenia przewodnika w którym przepływający przez niego prąd elektryczny

wystawiony zostaje na działanie swego własnego pola magnetycznego. Praktycznie jest to uzyskiwane poprzez budowanie induktorów zawierających większą liczbę zwojów tego samego przewodnika, zawiniętych ciasno jeden przy drugim, tak aby każdy z nich znajdował się w zasięgu pola magnetycznego produkowanego przez inne zwoje.

Przeanalizujmy teraz mechanizm wytwarzania drgań elektrycznych w obwodzie oscylacyjnym z iskrownikiem pokazanym na rysunku C1 (a). Załóżmy, że w początkowej chwili czasowej $t=0$ elektrody PB i PF kondensatora C1 posiadają zgromadzone już na nich przeciwstawne ładunki "+q" i "-q", oraz że prąd elektryczny "i" w induktorze L wynosi zero. W owej chwili czasowej cała energia obwodu jest więc przechowywana na okładzinach kondensatora C1 w formie energii potencjalnej. Przeciwstawne ładunki zgromadzone na okładzinach kondensatora C1 wywołują siłę elektromotoryczną jaka inicjuje przepływ prądu "i". Aby ułatwić interpretację zachowania się iskier, w tej publikacji prąd elektryczny zdefiniowany jest jako ruch elektronów od bieguna negatywnego do pozytywnego. Prąd "i" pojawia się na elektrodach E jako iskra elektryczna "S", podczas gdy w induktorze L wytwarza on strumień magnetyczny "F". Podczas gdy różnica ładunków "q" zakumulowanych na okładzinach kondensatora C1 ulega zmniejszeniu, ich energia potencjalna mająca formę pola elektrycznego także ulega zmniejszeniu. Owa energia zostaje przetransformowana w pole magnetyczne jakie pojawia się wokół induktora w efekcie przepływu przez niego prądu "i". Stąd w tej pierwszej fazie oscylacji, jaką możemy nazwać fazą aktywną, pole elektryczne się zmniejsza, pole magnetyczne się zwiększa, zaś energia zostaje transformowana z postaci potencjalnej w postać kinetyczną płynąc od kondensatora C1 do induktora L. Kiedy cały ładunek na kondensatorze C1 zaniknie, pole elektryczne w tym kondensatorze osiągnie zero, zaś energia potencjalna przechowywana w tym polu w całości zostanie przetransformowana w pole magnetyczne "F" induktora L. Siła elektromotoryczna jaka poprzednio powodowała przepływ prądu "i" zostaje więc wyeliminowana. Jednakże prąd w przewodniku kontynuuje transportowanie negatywnych ładunków z płyty PB kondensatora C1 do płyty PF, właśnie z powodu działania inercji elektrycznej. Inercja ta powstrzymuje prąd "i" (a więc także iskłę "S") przed zaniknięciem i utrzymuje jego przepływ kosztem energii kinetycznej zawartej w polu magnetycznym. W tej drugiej więc fazie oscylacji, jaką możemy nazwać fazą inercyjną, energia przepływa już z induktora L z powrotem do kondensatora C1, powodując ponowne odbudowywanie istniejącego tam uprzednio pola elektrycznego. Stopniowo cała energia kinetyczna pola magnetycznego zostaje przetransformowana z powrotem na energię potencjalną kondensatora C1. Po owym odbudowaniu, sytuacja uzyskana w owej chwili $t= T$ podobna będzie do sytuacji początkowej w chwili $t=0$, tyle tylko że kondensator będzie teraz naładowany w odwrotny sposób. W dalszej fazie oscylacji kondensator C1 rozpocznie ponowne rozładowanie, zaś cały opisany powyżej proces powtórzy się ponownie, tym razem w przeciwstawnym kierunku. Po czasie $t=T$ (gdzie "T" jest tzw. "okresem pulsacji" lub "okresem oscylacji" danego obwodu) sytuacja wróci więc do stanu identycznego jak w chwili początkowej $t=0$. Raz więc zastartowane, takie oscylacje będą trwały aż oporność procesu rozproszy wymaganą do jego podtrzymywania energię.

C2.2. W zmodyfikowanym obwodzie oscylacyjnym z iskrownikiem inercji elektrycznej dostarczy induktancja iskry elektrycznej

Wiadomo że iskry elektryczne są nośnikiem bardzo wysokiej inercji elektrycznej. Stąd iskry te posiadają zdolność zastąpienia zwojów induktora w dostarczeniu obwodowi oscylacyjnemu wymaganej induktancji. Istnieją jednak dwa warunki tego zastąpienia, t.j.: (1) iskra musi posiadać odpowiednią długość aktywną, oraz (2) droga iskry musi przebiegać w zasięgu wytwarzanego przez siebie pola magnetycznego. Aby wypełnić obydwie te warunki, niemożliwe jest powtórzenie rozwiązania konstrukcyjnego użytego w induktorze, z prostej przyczyny iż iskra elektryczna będzie opierała się naszym próbom zawijania jej w kilka kolejnych zwojów. Jednakże ten sam efekt może zostać osiągnięty w odmienny sposób. Wymaganej induktancji jest też w stanie dostarczyć cały snop iskier

przeskakujących równocześnie po równoległych trajektoriach, każda z których zastępuje akcję pojedynczego zwoju induktora. Indywidualne iskry w takim pęku będą więc odpowiednikami poszczególnych zwojów induktora. Stąd jeśli ilość iskiei osiągnie wymaganą liczbę, wszystkie razem będą one w stanie dostarczyć obwodowi wymaganej induktancji.

Rysunek C1 (b) ukazuje zmodyfikowaną przez autora wersję obwodu oscylacyjnego z iskrownikiem, jaki wykorzystuje do swego działania właśnie inercję snopa równoległych iskiei. Najbardziej wyróżniającą się cechą tej wersji jest, iż wszystkie trzy niezbędne składniki obwodu Henry'ego, t.j. induktancja L , pojemność $C1$, oraz przerwa iskrowa E , są w nim dostarczane przez pojedyncze urządzenie w postaci pary elektrod. Stąd to jedno urządzenie zastępuje wszystkie trzy składniki tradycyjnego obwodu. Zmodyfikowany przez autora obwód oscylacyjny z iskrownikiem składa się więc z owej pary przewodzących elektrod PF i PB, jakie umocowane zostały do dwóch przeciwstawnych ścian komory sześcienniej wykonanej z materiału izolacyjnego (np. szkła) i wypełnionej gazem dielektrycznym. Każda z tych elektrod została podzielona na wiele małych segmentów odizolowanych nawzajem od siebie. W części (b) rysunku C1 segmenty te oznaczono numerami 1, 2, 3, ..., p. Każda para segmentów ustawionych naprzeciwko siebie tworzy pojedynczy elementarny kondensator. Na rysunku C1 (b) każda taka para segmentów formujących elementarny kondensator oznaczona została tym samym numerem, np. "3" lub "p". Z kolei ów kondensator, po otrzymaniu odpowiedniego ładunku elektrycznego, przekształca się w parę elektrod wymieniających ze sobą pojedynczą iskry elektryczną (np. "S3" lub "Sp"). Stąd obie elektrody PF i PB omawianego obwodu wytwarzają tyle iskiei elektrycznych na ile segmentów zostały one podzielone. Suma owych iskiei przeskakujących w tym samym momencie w formie upakowanego pęku, dostarcza obwodowi wymaganej induktancji elektrycznej.

Podsumujmy teraz istotę modyfikacji obwodu Henry'ego dokonaną przez autora. Trzy oddzielne części/elementy składowe tradycyjnego obwodu oscylacyjnego (t.j. induktor, kondensator i iskrownik), z których każdy wypełniał jedną funkcję, zastąpiono jedną częścią jaka za to wypełnia aż trzy funkcje równocześnie. Ta jedna część/element to para przewodzących elektrod zamocowanych do dwóch przeciwstawnych ścianek komory sześcienniej i podzielonych na małe segmenciki. Każdy z tych indywidualnych segmencików wypełnia funkcję elementarnego kondensatora i iskrownika, zaś formowany przez nie wszystkie pęk równoległych iskiei wypełnia też funkcję induktora.

Jeśli rozpatrzyć zasadę działania zmodyfikowanego w ten sposób obwodu oscylacyjnego, staje się oczywistym że zasada ta jest identyczna jak w przypadku obwodu Henry'ego. Po rozpoczęciu równomiernego nasycania ładunkami elektrycznymi wszystkich segmencików obu elektrod PF i PB, energia potencjalna obwodu zaczyna się zwiększać. Gdy różnica potencjałów pomiędzy elektrodami przekroczy wartość przebicia "U", wyładowanie iskrowe zostaje rozpoczęte. Wyładowanie to przyjmuje formę pęku równoległych iskiei $S1, S2, S3, \dots, Sp$, przeskakujących pomiędzy położonymi naprzeciwko siebie segmencikami obu elektrod. W pierwszej więc, aktywnej fazie cyklu oscylacyjnego pole magnetyczne formowane przez każdą z tych iskiei będzie stopniowo absorbowało energię zgromadzoną początkowo w formie potencjalnej na obu elektrodach. Kiedy potencjały obu elektrod PF i PB się zrównają, inercja elektryczna iskiei będzie kontynuowała przepompowywanie ładunków pomiędzy nimi, transformując energię kinetyczną zawartą w polu magnetycznym z powrotem w energię potencjalną pola elektrycznego. Stąd na końcu drugiej, inercyjnej fazy oscylacji iskiei obie elektrody znowu będą zawierały początkowe ładunki, tyle tylko że odwrotnego znaku. Następnie cały proces zostanie powtórzony w odwrotnym kierunku. Jeśli więc niewielkie rozpraszanie energii zachodzące podczas tego procesu zostanie jakoś uzupełnione, opisany tu proces może powtarzać się bez końca.

Takie działanie zmodyfikowanego obwodu oscylacyjnego uwalnia wszystkie zachodzące w nim zjawiska z więzów materiałowych. W rezultacie więc prąd elektryczny nie musi przepływać przez przewodnik zaś jego natężenie nie jest ograniczane własnościami przewodzącymi materiałów użytych na zwoje. Ponadto zjawiska elektryczne

zostają wyeksponowane na działania sterujące jakie umożliwiają ich ukształtowanie w pożądanym kierunku. Są to bardzo istotne osiągnięcia i jak to zostanie wykazane potem, stanowią one źródło wielu zalet operacyjnych opisywanego tu urządzenia.

Pęki iskier oscylujących w urządzeniu pokazanym na rysunku C1 (b) produkowały będą zmienne pole magnetyczne. Ponieważ snopy te przeskakują po tej samej drodze w obu kierunkach, pole to będzie nosiło charakter wirowy ("vortex") podobny do pola otaczającego odcinek prostego przewodnika (t.j. wszystkie jego linie sił będą formowały obiegi we wzajemnie do siebie równoległych płaszczyznach). Takie pole nie będzie więc wykazywało jednoznacznej biegunowości, ponieważ jego bieguny magnetyczne N i S nie posiadają umiejscowienia. Stąd aby wytworzyć dwubiegunowe pole magnetyczne ze stałą pozycją jego biegunów N i S, koniecznym jest kontynuowanie rozwoju omawianej tu zmodyfikowanej wersji obwodu oscylacyjnego o jeden dalszy krok.

C2.3. Zestawienie razem dwóch zmodyfikowanych obwodów formuje komorę oscylacyjną wytwarzającą dipolarne pole magnetyczne

Końcową postać omawianego tutaj obwodu pokazano na rysunku C1 (c). Jest to właśnie postać jakiej nadano nazwę "komora oscylacyjna". Komora oscylacyjna zostaje uzyskana poprzez złożenie ze sobą dwóch obwodów na rysunku C1 (c) oznaczonych jako C1 and C2. Każdy z tych obwodów jest identyczny do tego omówionego w poprzednim podrozdziale i pokazanego w części (b) rysunku C1. Stąd komora taka składa się z czterech posegmentowanych elektrod, oznaczonych jako PF, PB, PR i PL, t.j. przedniej (po angielsku "front"), tylnej ("back"), prawej ("right") i lewej ("left"). Każda z tych elektrod również podzielona została na taką samą liczbę "p" segmencików oraz ustawiona jest naprzeciwko identycznej elektrody formując z nią razem jeden z obu nawzajem kooperujących obwodów. Oba te obwody produkują cztery pęki iskier na rysunku C1 (c) oznaczonych jako SR-L, SF-B, SL-R, i SB-F, które przeskakują pomiędzy przeciwległymi elektrodami. Pęki te pojawiają się w ściśle zdefiniowanej kolejności, jeden po drugim, posiadając wzajemne przesunięcie fazowe pomiędzy kolejnymi przeskokami wynoszące jedną czwartą okresu T ich całkowitej sekwencji przeskoków (t.j. " T").

Zanim mechanizm wyładowań iskrowych w tej końcowej konfiguracji komory zostanie opisany, powinniśmy przypomnieć sobie tutaj działanie elektromagnetycznych sił odchylających jakie będą starały się wyprzeć iskry ze zasięgu dipolarnego pola magnetycznego. Siły te są tymi samymi siłami jakie powodują eksplozję zwojów w potężnych elektromagnesach (ich omówienia już dokonano w punkcie #1 podrozdziału C1). W przypadku oscylujących iskier siły te będą przypierały ich pęki do lewej elektrody wzdłuż powierzchni której dane wyładowanie następuje. Dla przykładu wszystkie iskry w pęku SR-L skaczące od płyty PR do płyty PL będą dociskane do powierzchni płyty PF (w owym momencie płyta PF zwiększa swój ujemny ładunek). Z tego powodu poszczególne iskry formujące kolejne pęki SR-L, SF-B, SL-R, i SB-F, zamiast przecinać nawzajem drogi innych iskier, będą ugięły własną drogę do powierzchni ścianek komory leżących po ich lewej stronie, wytwarzając w ten sposób rodzaj zgodnie obiegającego, uporządkowanego wiru iskrowego. Warto zauważyć, że płyta wzdłuż powierzchni której iskry w danym momencie czasowym przeskakują, jest zabezpieczona przed ich wniknięciem do jej materiału. Owo zabezpieczenie wynika głównie z uformowania elektrod z dużej liczby małych segmencików (igieł), każdy z których jest odizolowany od innych podobnych segmencików. Stąd oporność dla przepływu prądu w poprzek elektrody nie jest mniejsza od oporności wyładowania poprzez dielektryczny gaz komory.

Załóżmy przez chwilę, że początkowe naładowanie komory oscylacyjnej jest dokonane w ten sposób, iż w chwili $t=0$ jako pierwszy pojawi się pęk iskier oznaczony jako SR-L, zaś po upływie okresu czasu równego $t= T$ - pojawi się pęk SF-B (porównaj rysunek C1 "c" z rysunkiem C3 "a"). Załóżmy także, iż od samego początku tych wyładowań, wzdłuż osi magnetycznej "m" komory panuje produkowany przez to urządzenie strumień magnetyczny "F". Strumień ten odchyła wszystkie iskry dociskając je do ich lewostronnych

ścianek komory. Po początkowym naładowaniu kondensatora C2, w chwili czasowej $t=0$, pojawi się pęk iskier oznaczony jako SR-L, jaki przeskoczy od elektrody PR do elektrody PL. Iskry te wytworzą swoje własne pole magnetyczne o natężeniu "F" wydatek jakiego doda się do całkowitego pola "F" już panującego w tej komorze. Pole "F" zagina drogę wszystkich przeskakujących iskier, przypierając je do powierzchni elektrody PF. W chwili czasowej $t= T$ potencjały elektrod PR i PL wyrównują się, jednakże inercja elektryczna pęku iskier SR-L ciągle kontynuuje transportowanie ładunków od elektrody PR do elektrody PL, kosztem energii kinetycznej zakumulowanej w polu magnetycznym. W tym samym momencie czasowym ($t= T$) rozpoczyna się działanie drugiego obwodu oscylacyjnego, stąd zainicjowany zostaje przeskoczek pęku iskier oznaczonego jako SF-B. Podobnie jak pęk poprzedni, również i ten pęk wytwarza swój strumień magnetyczny "F" jaki dodaje się do całkowitego strumienia "F" komory powodując m.in. przypieranie iskier SF-B do powierzchni elektrody PL. Stąd w przedziale czasu od $t= T$ do $t= T$, dwa pęki iskier, SR-L i SF-B, współistnieją w komorze równocześnie. Pierwszy z nich - inercyjny, przetransformowuje energię z pola magnetycznego do pola elektrycznego, natomiast drugi - aktywny, transformuje energię pola elektrycznego w pole magnetyczne. W chwili czasowej $t= T$ elektrody PL i PR osiągają różnicę potencjałów równą różnicy początkowej (t.j. w chwili $t=0$), jednak ich ładunki są teraz przeciwne niż początkowo. Stąd pęk iskier SR-L zaniknie, podczas gdy zainicjowany zostaje pęk SL-R skaczący z kierunku do nich przeciwnym. Pęk ten przypierany jest do powierzchni elektrody PB przez pole "F". W tej samej chwili czasowej ($t= T$) elektrody PF i PB osiągają stan zrównania się ich potencjałów, stąd pęk iskier SF-B przechodzi w swoją inercyjną fazę. W przedziale czasu od $t= T$ do $t= T$ w komorze znowóż współistnieją aż dwa pęki iskier, t.j. SF-B i SL-R, pierwszy z których - inercyjny, konsumuje pole magnetyczne, podczas gdy drugi - aktywny, wytwarza je. W chwili czasowej $t= T$ iskry SF-B zanikają zaś iskry SB-F zostają wytworzone (przypierane do elektrody PR), podczas gdy iskry SL-R przechodzą do swojej inercyjnej fazy. W momencie czasowym $t=1T$ iskry SL-R również zanikają zaś iskry SR-L zostają wytworzone (przypierane do elektrody PF), podczas gdy iskry SB-F przechodzą do ich inercyjnej fazy. W tym momencie więc cały cykl przeskoczków iskier zostaje zamknięty, zaś sytuacja w czasie $t=1T$ jest identyczna do sytuacji w chwili początkowej $t=0$. Stąd proces przeskoczków jaki nastąpi potem będzie już powtórzeniem procesu właśnie tu opisanego.

Powyższa analiza kolejności pojawień się oraz drogi pęków iskier w komorze oscylacyjnej ujawnia bardzo pożądaną regularność. Owe pęki iskier formują bowiem rodzaj wirującego ciągłego łuku elektrycznego, jakiego kompletny obieg wokół komory złożony zostaje z czterech nakładających się na siebie segmentów. Łuk ten obiega wokół osi magnetycznej komory zawsze w tym samym kierunku. W wyniku tego procesu, zgodnie z teorią elektromagnetyzmu, łuk ten musi produkować silne, pulsujące, dipolarne pole magnetyczne. Uzyskanie takiego pola koronuje więc długą i trudną drogę autora w jego poszukiwaniach nowej zasady wytwarzania pól magnetycznych jaka eliminowałaby wady obecnie używanych w tym celu elektromagnesów.

C3. Przyszły wygląd komory oscylacyjnej

Nie jest trudnym zaspokojenie wymagań komory oscylacyjnej na materiały konstrukcyjne. Urządzenie to może być bowiem wykonane praktycznie z dowolnego materiału, zakładając że jego obudowa jest dobrym izolatorem elektryczności zaś jego elektrody zostały wykonane z dobrych przewodników elektryczności. Oba te materiały muszą też być magnetycznie obojętne, w przypadku bowiem użycia np. stali zostałyby one zniszczone wytwarzanym przez komorę polem magnetycznym. Stąd nawet tak starożytne materiały dostępne już przed tysiącami lat, jak drewno i złoto, wystarczają dla jej zbudowania. Jeśli przypadkiem zbudowana z tych pradawnych materiałów, komora oscylacyjna wyglądałaby jak niepozorna skrzynka czy kostka drewniana. Jej wygląd niczym nie zapowiadałby niezwyklej mocy ukrytej w jej wnętrzu.

Na naszym poziomie rozwoju dostępne są przezroczyste materiały izolacyjne, które również posiadają dużą wytrzymałość mechaniczną oraz są magnetycznie obojętne. Jednym z najpowszechniej występujących ich przykładów jest zwykłe szkło czy pleksiglas. Jeśli więc obudowę (ścianki) komory oscylacyjnej zbudować z takich właśnie przezroczystych izolatorów, wtedy użytkownik mógłby obserwować procesy zachodzące w jej wnętrzu, np. przeskoki iskier elektrycznych, gęstość energii ciągle zawartej w komorze, działanie sterowania, itp. Współczesna elektronika wytworzyła również zapotrzebowanie na przezroczyste przewodniki. Już obecnie takie przewodniki można spotkać w niektórych zegarkach elektronicznych i kalkulatorkach. Jakość tych przezroczystych przewodników z czasem będzie ulegała poprawie, wkrótce więc prawdopodobnie możemy się spodziewać, iż ich własności elektryczne będą porównywalne do tych z dzisiejszych metali. Załóżmy więc, że w chwili zbudowania pierwszych działających komór oscylacyjnych ich budowniczy będą już w stanie wykonać je w całości z owych przezroczystych materiałów (t.j. zarówno izolatorów jak i przewodników). Stąd zaciekawiony obserwator działania takich komór zobaczyłby przed sobą typowy "kryształ", t.j. lśniąca kostkę sześcienną całą wyszlifowaną z przezroczystego materiału - patrz rysunek C2. Wzdłuż wewnętrznych powierzchni tej kryształowej kostki, jasno-żółte oscylujące iskry będą migotały. Iskry te sprawiają wrażenie zamrożonych w tych samych pozycjach, aczkolwiek od czasu do czasu dokonujących nagłych poruszeń jak kłębowisko uspionych ognistych węży. Ich drogi będą ciasno przylegały do wewnętrznych powierzchni ścianek komory, dociskane do nich przez elektromagnetyczne siły odchylające omówione już poprzednio. Wnętrze kostki będzie wypełnione potężnym pulsującym polem magnetycznym oraz rozrzedzonym gazem dielektrycznym. Pole to, gdy obserwowane z kierunku prostopadłego do jego linii sił, będzie pochłaniało światło. Stąd sprawi ono wrażenie gęstego czarnego dymu wypełniającego wnętrze tego przezroczystego kryształu.

Jest łatwe do zauważenia, że iskry elektryczne posiadają jakąś magiczną moc nad ludźmi. Kiedy na wystawie naukowej, albo podczas "dni otwartych" w laboratoriach, demonstrator uruchomi którąś z maszyn wytwarzających iskry, przykładowo cewkę Tesli, cewkę indukcyjną, lub maszynę Van de Graaffa, widzowie nieodparcie przyciągani są ("grawitują") do pokazu. Trzaski wyładowań i błyski iskier zawsze posiadały jakąś tajemniczą, hipnotyczną moc jaka działa na każdego i jaka dostarcza niezapomnianych wrażeń. Potęga emanująca z wnętrza komory oscylacyjnej podobnie będzie przykuwała uwagę i wyobraźnię ludzi patrzących na jej działanie. Przyszli obserwatorzy tego urządzenia będą mieli odczucie patrzenia bardziej na jakieś żyjące stworzenie, zajęte wykonywaniem swoich fascynujących i tajemniczych czynności życiowych, niż na kawałek maszyny zajętej zwykłym procesem swego działania. Ogrom energii złapanej, okiełznanej, i przyczajonej we wnętrzu komory oscylacyjnej będzie fascynował widzów, pozostawiając ich z szeroką gamą żywych odczuć, wpisanych na zawsze do ich pamięci.

Obserwując ten niepozorny przezroczysty kryształ, osoba patrząca będzie prawdopodobnie miała trudności z wyobrażeniem sobie, iż aby osiągnąć moment swojego narodzenia, owo urządzenie, tak przecież proste w kształtach, wymagało gromadzenia ludzkiej wiedzy i doświadczeń przez ponad 2000 lat.

C3.1. Trzy generacje komór oscylacyjnych

Analiza zasady działania komory oscylacyjnej ujawnia, że zrealizowanie tego urządzenia wcale nie wymaga aby jego kształt był dokładnie sześcienny. Dla uproszczenia rozważań, w niniejszej monografii omawiane wszakże są jedynie komory w kształcie sześciennym. W podobny jednak sposób jak w sześciennym, zasada ta może również zostać zrealizowana w kilku innych kształtach. Prawdopodobnie w zbliżonym czasie co komora sześcienna, na naszej planecie zbudowana też zostanie komora o kształcie równoległociąnu z kwadratowym przekrojem poprzecznym. Równoległociąnu taki posiadał będzie cztery identyczne ścianki boczne w kształcie prostokątów, oraz dwie identyczne ścianki czołowe w kształcie kwadratów. Najlepszym przykładem użycia takiego kształtu jest

komora główna (M) w konfiguracji krzyżowej pokazanej na rysunku C7. Z uwagi na fakt, iż komory w kształcie sześcianu i równoległościanu zbudowane zostaną na naszej planecie jako pierwsze, nazywali je będziemy "komorami pierwszej generacji".

Wygląd wszystkich komór pierwszej generacji będzie podobny. Jak to już opisano w poprzednim podrozdziale, będą one sprawiały wrażenie przezroczystych kryształów o przekroju kwadratowym, w środku wypełnionych iskrami zamrożonymi w swoim migotaniu oraz gęstym polem przypominającym czarny dym.

Niestety, na określonym etapie rozwoju naszej cywilizacji, komory pierwszej generacji przestaną wypełniać wszystkie nakładane na nie wymagania. Szczególnie podjęcie budowy wehikułów teleportacyjnych nałoży nowe wymagania dotyczące niezwykle ścisłego sterowania "przebiegiem w czasie" pulsowań wytwarzanego przez nie pola (przez "przebieg w czasie" należy rozumieć matematyczną funkcję $F=f(t)$ wyrażającą zależność zmian pola F od czasu t - np. patrz rysunek C6). Aby sprostać tym wymaganiom budowa nowej, drugiej generacji komór oscylacyjnych musi zostać podjęta. Już obecnie daje się przewidzieć, iż ta druga generacja będzie realizowała swoją zasadę działania w komorze o kształcie równoległościanu ośmiobocznego. Komora taka posiadała więc będzie osiem identycznych ścianek bocznych w kształcie prostokątów, oraz dwie identyczne ścianki czołowe w kształcie ośmioboków równoramiennych. Niestety sterowanie tej komory oraz problemy techniczne związane z jej budową będą wielokrotnie bardziej złożone od sterowania i budowy komór o przekroju kwadratowym. Stąd też jej opracowanie będzie mogło nastąpić dopiero na znacznie wyższym etapie naszego rozwoju, na długo po opanowaniu technologii budowy i sterowania zwykłych komór o przekroju kwadratowym. Jednakże taka komora ośmioboczna dostarczać będzie pola magnetycznego jakiego charakterystyka znacznie przekroczy precyzję pola wytwarzanego przez komorę czworoboczną (sześcienną). Dla przykładu, pole stałe produkowane przez kapsułę dwukomorową złożoną z takich właśnie komór ośmiobocznych będzie wielokrotnie "bardziej stałe" niż pole stałe otrzymane ze zwykłej kapsuły dwukomorowej zawierającej sześcienną komorę (patrz wpływ zwiększonej ilości członów w ciągu Fouriera na wartość wynikową takiego ciągu).

Komory oscylacyjne drugiej generacji z wyglądu będą nieco podobne do komór oscylacyjnych pierwszej generacji, tyle tylko że ich forma zewnętrzna będzie nieco odmienna, t.j. przezroczystego kryształu ośmiobocznego (dziesięciościennego) zamiast kryształu czworobocznego (w kształcie kostki sześciennej). Podobnie jak komory pierwszej generacji, będą one również wypełnione iskrami rotującymi dookoła osi magnetycznej komory (t.j. dookoła obwodu jej ośmiobocznych ścian czołowych).

Po komorach drugiej generacji kolej przyjdzie na budowę komór trzeciej generacji, które także będą wyglądały nieco podobnie. Już obecnie daje się przewidzieć, iż komory trzeciej generacji będą oparte na komorach szesnastobocznych. Ich budowa zostanie zainicjowana z chwilą gdy nasza cywilizacja rozpocznie prace nad wehikułami czasu.

Jak to z powyższego można wywnioskować, kształt zewnętrzny jaki przyjmie dana komora oscylacyjna będzie bezpośrednim wskaźnikiem poziomu zaawansowania technicznego cywilizacji która urządzenie to używa. Stąd też jest istotnym aby znać owe kształty bowiem umożliwi to nam rozpoznawanie poziomu rozwojowego do którego dana cywilizacja należy, a także zasadę lotu używanych przez nią wehikułów magnokraftopodobnych (t.j. czy są to wehikuły magnetyczne, teleportacyjne, czy też wehikuły czasu - patrz podrozdział G4).

C4. Matematyczny model komory oscylacyjnej

Nasza obecna znajomość zjawisk elektrycznych i magnetycznych umożliwia nam wprowadzenie równań wyrażających związki pomiędzy wymaganymi wartościami oporności, indukcyjności i pojemności komory oscylacyjnej. Następne złożenie tych równań ze sobą i ich analiza umożliwi wnioskowanie o zachowaniu się tego urządzenia.

Niniejszy podrozdział opisuje więc komorę oscylacyjną w języku matematyki. Stąd dla przyszłych badaczy tego urządzenia dostarcza on istotnych podstaw interpretacyjnych. Jednakże dla czytelników mniej zorientowanych matematycznie, może on popsuć przyjemność zapoznawania się z tą monografią. Dlatego też tym z czytelników, u których wzory matematyczne wywołują nawrót senności, autor rekomenduje przejście z tego miejsca bezpośrednio do czytania podrozdziału C5.

C4.1. Oporność komory oscylacyjnej

Ogólna postać równania na oporność dowolnego opornika o przekroju poprzecznym "A" i długości "l" jest jak następuje:

$$R = \Omega \frac{l}{A}$$

W równaniu tym " Ω " reprezentuje oporność właściwą materiału z jakiego dany opornik jest wykonany. W naszym przypadku będzie to maksymalna oporność gazu dielektrycznego jaki wypełnia komorę oscylacyjną, wyznaczona dla początkowej chwili wyładowania elektrycznego.

Jeśli w powyższym równaniu zastąpić jego zmienne przez poszczególne wartości wyznaczone dla komory oscylacyjnej, t.j. $l=a$ oraz $A=a$ (porównaj z rysunkiem C1 "b"), wtedy otrzymamy:

$$R = \frac{\Omega}{a} \tag{C1}$$

Otrzymane w ten sposób równanie opisuje oporność elektryczną sześcienną komory oscylacyjnej, jaka jest funkcją wymiarów "a" jej ścianki bocznej.

C4.2. Indukcyjność komory oscylacyjnej

Wyznaczenie indukcyjności komory oscylacyjnej jest niezwykle trudnym i kompleksowym zadaniem. Jego skompletowanie z pełną dokładnością przekracza możliwości autora. Także wszyscy eksperci w tym zakresie jakich autor konsultował nie potrafili dopomóc (być może któryś z czytelników znajdzie sposób jak rozwiązać ten problem - w takim przypadku autor chętnie zapoznałby się z tokiem samego wyprowadzenia i końcowym wynikiem). Nie będąc w stanie znaleźć dokładnego rozwiązania problemu, autor zdecydował się wprowadzić założenie upraszczające. Aby uzasadnić to założenie warto wspomnieć, iż równanie (C2) na indukcyjność komory wyprowadzone w taki uproszczony sposób użyte będzie w dalszej części monografii tylko jednokrotnie, kiedy znaczenie współczynnika "s" (patrz równanie (C5)) jest interpretowane. Stąd przyjęte tu uproszczenie nie wpływa na żadne z istotnych równań niniejszej monografii.

W uproszczonych wyprowadzeniach indukcyjności komory przyjęto założenie, iż jednostkowa induktancja pęku iskier (t.j. induktancja odniesiona do jednostki nominalnej długości iskry) będzie równa induktancji takiego samego odcinka cewki. Owo założenie umożliwia więc wykorzystanie szeroko znanego równania na induktancję selenoidu (patrz książka [1C4.2] pióra David Halliday et al, "Fundamentals of Physics", John Willey & Sons, 1966):

$$L = \mu \cdot n^2 \cdot l \cdot A$$

Kiedy w równaniu tym dokonamy podstawień: $n=p/a$, $l=a$ i $A=a$ (gdzie "p" jest liczbą segmentów w każdej elektrodzie, podczas gdy "a" jest długością boku każdej ze ścian

komory), wtedy uzyskane zostanie uproszczone równanie na induktancję komory oscylacyjnej:

$$L = \mu \cdot p \cdot a \quad (C2)$$

W celu usprawiedliwienia podjętego tu uproszczenia można wykazać teoretycznie, iż jednostkowa inercja elektryczna (induktancja) pęku isker będzie znacznie większa od takiej inercji w odpowiadającym odcinku przewodnika. Poświadczenia tego faktu dostarcza analiza mechanizmu zjawiska inercji. Inercja bowiem ujawnia swoje działanie gdy dany ruch obejmuje odwracalne zjawiska, lub transformowalne substancje, jakie w początkowym stadium rozwoju danego ruchu absorbują energię, aby potem ją wyzwolić w stadium zanikania tego samego ruchu. Im większa liczba takich odwracalnych zjawisk i substancji objęta zostaje danym ruchem, oraz im większa jest pochłaniana przez nie energia, tym wynikowa inercja jest większa. Pęk isker przeskakujących w gazie, w każdym aspekcie wykazuje większy potencjał dla powodowania inercji niż prąd przepływający przez przewodnik. Pierwszą przyczyną dla tego stanu rzeczy jest bardziej efektywna absorpcja oraz uwalnianie energii przez iskry, następujące ponieważ:

(a) Szybkość elektronów w iskrze może być większa niż szybkość elektronów w przewodniku.

(b) Poszczególne iskry danego pęku mogą przeskakiwać w bliższych odległościach od siebie niż zwoje przewodnika w cewce, ponieważ nie będą one wymagały warstewek izolacyjnych do oddzielania ich od siebie.

Druga przyczyna dla tej wysokiej inercji isker w gazie wynika z obejmowania przez nie większej liczby odwracalnych zjawisk - jakie nie występują wcale podczas przepływu prądu przez zwoje przewodnika. Zjawiska te to:

(c) Jonizacja otaczającego gazu. Jonizacja ta, dzięki późniejszemu oddawaniu zaabsorbowanej początkowo energii, dodatkowo zwiększa inercję w momencie zaniku isker.

(d) Powodowanie ruchu ciężkich jonów, jakich masa absorbuje i potem uwalnia energię kinetyczną (znacznie większą od energii lekkich elektronów poruszających się w metalowym przewodniku).

(e) Zainicjowanie zjawisk hydrodynamicznych (np. ciśnienia dynamicznego gazu) jakie także będą powodowały przemieszczanie się ładunków elektrycznych oraz zwrot energii w momencie zaniku isker.

Powyższe przesłanki teoretyczne nie powinny być trudne do praktycznego zweryfikowania za pomocą eksperymentów opisanych w podrozdziale C7.2 (np. etap 1c).

C4.3. Pojemność komory oscylacyjnej

Jeśli użyjemy dobrze znanego równania na pojemność kondensatora płytkowego (o dwóch równoległych elektrodach), o następującej postaci:

$$C = \epsilon \cdot A / l$$

i następnie podstawimy do niego wartości: $A=a$ i $l=a$, da to nam końcowe równanie na pojemność komory oscylacyjnej:

$$C = \epsilon \cdot a \quad (C3)$$

C4.4. Współczynnik motoryczny isker i jego interpretacja

Każda z zależności (C1), (C2) i (C3) opisuje tylko jeden wybrany parametr komory oscylacyjnej. Z drugiej jednak strony, byłoby wysoce użytecznym posiadać pojedynczy

złożony współczynnik jaki byłby w stanie wyrazić jednocześnie wszystkie elektromagnetyczne i konstrukcyjne właściwości danej komory oscylacyjnej. Wprowadźmy teraz taki współczynnik, nazywając go "współczynnikiem motorycznym iskier". Jego równanie definicyjne jest jak następuje:

$$s = p \cdot \frac{R}{2} \cdot \sqrt{\frac{C}{L}} \quad (C4)$$

Proszę zwrócić uwagę, iż zgodnie z powyższym równaniem definiującym, współczynnik "s" jest bezwymiarowy.

Niezależnie od powyższego równania definiującego, współczynnik "s" posiada również opis interpretacyjny. Opis ten może zostać uzyskany gdy w równaniu (C4) zmienne R, L, i C zostaną zastąpione przez wartości wyrażone równaniami (C1), (C2) i (C3). Kiedy to zostanie dokonane, wtedy otrzymane zostanie następujące interpretacyjne równanie na "s":

$$s = \frac{1}{2a} \cdot \Omega \cdot \sqrt{\frac{\epsilon}{\mu}} \quad (C5)$$

Zauważ, że po jego zapisaniu w notacji komputerowej, w której symbol "*" oznacza mnożenie, symbol "/" oznacza dzielenie, zaś symbol "sqrt()" oznacza pierwiastek kwadratowy z argumentu podanego w nawiasie (), owo równanie (C5) przyjmuje następującą postać: $s = (1/(2*a))*\Omega*\text{sqrt}(\epsilon/\mu)$.

Równanie (C5) ujawnia, że współczynnik "s" doskonale reprezentuje aktualny stan wszystkich warunków otoczeniowych w jakich zachodzą wyładowania iskrowe w komorze, a jakie wyznaczają ich przebieg i efektywność. Tak więc opisuje ono rodzaj i konsystencje gazu użytego w komorze jako dielektryk, oraz aktualne parametry pod jakimi gaz ten się znajduje. Również opisuje ono wymiary komory. Stąd współczynnik "s" stanowi doskonały parametr zdolny do dokładnego opisu aktualnej sytuacji roboczej panującej w komorze w danym momencie czasu.

Wartość współczynnika "s" może być sterowana zarówno na etapie konstrukcji komory, jak i na etapie jej eksploatacji. Na etapie konstrukcji jest to uzyskiwane poprzez zmiany we wymiarze boku "a" komory sześcienniej. Natomiast na etapie eksploatacji wymaga to zmian w ciśnieniu gazu dielektrycznego zawartego w komorze, lub zmienienia jego kompozycji. W obu przypadkach taka zmiana ciśnienia lub kompozycji tego gazu wpłynie na wartość stałych ϵ i μ , opisujących jego własności elektryczne.

C4.5. Warunek zaistnienia oscylacji we wnętrzu komory

Z elektrycznego punktu widzenia komora oscylacyjna reprezentuje typowy obwód RLC. Badania dokonane na sieciach elektrycznych (electric networks) wyznaczyły dla takich obwodów warunek jakiego spełnienie jest wymagane aby dany obwód po jednorazowym naładowaniu go elektrycznością, dostarczył oscylacyjnej odpowiedzi (t.j. zareagował poprzez wytworzenie ciągu oscylacji). Warunek ten, matematycznie przedstawiony w książce [1C4.5] pióra Hugh H. Skilling, "Electric Network" (John Willey & Sons, 1974), przyjmuje następującą postać:

$$R < 4 \sqrt{\frac{L}{C}}$$

Jeśli powyższą relację przekształcić i następnie jej zmienne zastąpić równaniem (C4), wtedy przyjmie ona następującą formę końcową:

$$p > s$$

(C6)

Powyższy warunek opisuje więc konstrukcyjne wymaganie na liczbę segmentów "p" wydzieloną w elektrodach komory oscylacyjnej, w odniesieniu do warunków otoczenia "s" panujących w obszarze roboczym tej komory poprzez który dane iskry muszą przeskakiwać. Jeśli ten warunek zostanie wypełniony, wtedy iskry produkowane w komorze oscylacyjnej będą posiadały oscylacyjny charakter.

Aby zinterpretować warunek (C6), możliwy zakres wartości przyjmowanych przez współczynnik "s" powinien zostać rozpatrzony (porównaj w równaniu (C5)).

C4.6. Okres pulsowań pola komory oscylacyjnej

Z obwodów typu RLC wiadomo, iż okres T ich oscylacji wyraża następujące równanie:

$$T = \frac{2 \cdot \Pi}{\sqrt{\frac{1}{L \cdot C} - \left(\frac{R}{2 \cdot L}\right)^2}} = 2 \cdot \Pi \sqrt{\frac{L \cdot C}{1 - \frac{R^2 \cdot C}{4 \cdot L}}}$$

Zauważ, że po jego zapisaniu w notacji komputerowej, w której symbol "-" oznacza odejmowanie, symbol "*" oznacza mnożenie, symbol "/" oznacza dzielenie, symbol "R**2" oznacza "R" podniesione do potęgi "2", zaś symbol "sqrt()" oznacza pierwiastek kwadratowy z argumentu podanego w nawiasie (), powyższe równanie przyjmuje następującą postać: $T = (2 \cdot \Pi) / (\text{sqrt}(1 / (L \cdot C) - (R / (2 \cdot L)) ** 2)) = 2 \cdot \text{sqrt}(L \cdot C / (1 - ((R ** 2) \cdot C) / (4 \cdot L)))$.

Jeśli wielkości definiujące współczynnik "s" z równania (C4) w powyższym równaniu zastąpią kombinację parametrów R, L, i C, podczas gdy równania (C1) i (C3) dostarczą wartości dla R i C, wtedy ów okres pulsacji zostaje opisany następującym równaniem:

$$T = \frac{\Pi \cdot \frac{p}{s} \cdot \Omega \cdot \epsilon}{\sqrt{1 - \left(\frac{s}{p}\right)^2}} \quad (C7)$$

Zauważ, że po jego zapisaniu w notacji komputerowej, w której symbol "-" oznacza odejmowanie, symbol "*" oznacza mnożenie, symbol "/" oznacza dzielenie, symbol "**" oznacza podnoszenie do podanej potęgi, zaś symbol "sqrt()" oznacza pierwiastek kwadratowy z argumentu podanego w nawiasie (), owo równanie (C7) przyjmuje następującą postać: $T = (\Pi * (p/s) * \Omega * \epsilon) / \text{sqrt}(1 - (s/p) ** 2)$.

Końcowe równanie (C7) nie tylko że wyraża od czego w komorze oscylacyjnej zależny jest okres jej pulsowań "T", ale także pokazuje praktycznie w jaki sposób wartość tego okresu "T" może być sterowana. Będzie ono więc wysoce użyteczne dla zrozumienia amplifikującej zasady sterowania komorą opisaną w podrozdziale C5.5.

Znając okres pulsowań "T" pola magnetycznego komory, możliwe jest też łatwe wyznaczenie częstości pulsowań "f" tego pola. Szeroko bowiem znana współzależność pomiędzy tymi wielkościami jest jak następuje:

$$F = 1/T$$

(C8)

Oczywiście zgodnie z powyższym równaniem (C8), sterowanie częstotliwością "f" pulsowań pola w komorze będzie odbywać się poprzez sterowanie okresem "T" tego pola.

C5. Jak komora oscylacyjna eliminuje wady elektromagnesów

Działanie komory oscylacyjnej zostało ukształtowane w taki sposób, że wszystkie wady wrodzone elektromagnesów zostają w niej całkowicie wyeliminowane. Opisy jakie nastąpią w dalszych częściach niniejszego podrozdziału zaprezentują istotę wyeliminowania pięciu najważniejszych wad elektromagnesów, wyszczególnionych i omówionych w punktach #1 do #5 podrozdziału C1.

C5.1. Neutralizacja sił elektromagnetycznych

Jedną z najistotniejszych wad elektromagnesów była siła odchylająca powstająca w ich zwojach (opisana w punkcie #1 podrozdziału C1). Siła ta w efekcie końcowym prowadzi do eksplozji tych urządzeń przy przekroczeniu przez nie określonego wydatku granicznego. W komorze oscylacyjnej ta sama siła zostaje całkowicie zneutralizowana. Unikalna bowiem zasada działania komory powoduje powstanie w niej nie jednej, a aż dwóch nawzajem przeciwstawnych sił, t.j. (1) Coulomb'owskiego przyciągania się przeciwstawnych ścianek, oraz (2) owej elektromagnetycznej siły odchylającej (t.j. tej samej jaka rozrywała elektromagnesy). Obie te siły, działając jedna na drugą, nawzajem się więc zneutralizują. Niniejszy podrozdział prezentuje zasadę na jakiej neutralizacja ta nastąpi.

Siły Coulomb'owskie powstają w efekcie wzajemnego przyciągania się obu ładunków elektrostatycznych "+q" i "-q" o równych wartościach ale przeciwstawnych znakach, zgromadzonych na obu nawzajem przeciwległych sobie ściankach komory. Siły te ściskają komorę dośrodkowo, starając się ją zgnieść. Z kolei siły odchylające wytwarzane są wskutek oddziaływania przeskakujących iskier z polem magnetycznym panującym w komorze. Siły te starają się rozzerwać komorę odśrodkowo. Stąd też możliwym jest takie dobranie konstrukcji i warunków operacyjnych komory aby oba te układy sił nawzajem się znosiły (zerowały). Po takim dobraniu ścianki komory będą z taką samą siłą ściskane dośrodkowo przez siły Coulomb'owskie, jak rozrywane odśrodkowo przez siły odchylające. Ponieważ oba układy sił działają również wzajemnie na siebie, ich wynikowy efekt będzie równy zero, czyli taki sam jaki byłby w przypadku braku jakichkolwiek sił działających w danej komorze. W rezultacie końcowym więc, struktura fizyczna komory będzie uwolniona od konieczności przeciwstawiania się jakimkolwiek siłom elektromagnetycznym.

Rysunek C3 pokazuje mechanizm wzajemnej neutralizacji obu tych układów sił. Dla uproszczenia, wszystkie przebiegi zjawisk zachodzących w komorze pokazane zostały tam jako zjawiska liniowe, niezależnie od tego jak zachodzą one w rzeczywistości. Daje się jednakże wydedukować, że w rzeczywistości zjawiska te muszą być symetryczne. Oznacza to iż jeśli, dla przykładu, prąd w iskrach zmieni się w określony sposób, wtedy również i potencjał na elektrodach musi się zmienić dokładnie w taki sam sposób. Stąd "zmiany w czasie" sił analizowanych tutaj wykazują swoisty wrodzony mechanizm samo-regulacyjny. W mechanizmie tym przebieg (ale nie ilość) jednego zjawiska zawsze podąża za przebiegiem drugiego ze zjawisk. W ten sposób niezależnie jakie są rzeczywiste zmiany w czasie dla omawianych tu zjawisk siłowych, zasada ich wzajemnej neutralizacji omówiona na przykładzie przebiegu liniowego będzie także ważna dla ich rzeczywistych przebiegów.

Część (a) rysunku C3 pokazuje cztery podstawowe fazy formowania pełnego cyklu działania komory. Opis tych faz przedstawiony był już w podrozdziale C2.3 tego rozdziału. Istotnym dla każdej z faz jest, iż jednocześnie współlistnieją w niej dwa pęki iskier, pierwszy z których, na rysunku C3 (a) pokazany linią ciągłą, przekazuje energię z pola elektrycznego do pola magnetycznego (są to więc iskry aktywne). Natomiast drugi z pęków (na rysunku

C3 (a) pokazany za pomocą linii przerywanej) w tym samym czasie konsumuje pole magnetyczne i wytwarza pole elektryczne (iskry inercyjne).

Część (b) rysunku C3 pokazuje odpowiadające tym iskrom zmiany w ładunkach "q" na prawej R (t.j. right), lewej L (t.j. left), przedniej F (t.j. front) i tylnej B (t.j. back) elektrodzie, następujące w każdej z czterech faz działania komory. Owe ładunki wytwarzają siły Coulomb'owskie jakie przyciągają dośrodkowo przeciwległe położone elektrody. W tej części rysunku uwidoczniono iż, podczas gdy jedna para elektrod osiąga maksimum swej różnicy potencjałów - inicjując wyładowanie pomiędzy nimi, równocześnie druga z par jest w równowadze swoich potencjałów. Następnie równocześnie ze wzrostem prądu wyładowania przepływającego pomiędzy pierwszą parą elektrod, przeciwstawne ładunki elektrostatyczne zgromadzone na drugiej parze elektrod również wzrastają. Wiadomo iż siły odchylające jakie rozrywają komorę odśrodkowo rosną wraz ze wzrostem wartości prądu wyładowania. Siły te dla przeskoaku iskry pomiędzy elektrodami jednej pary powodują napór iskier na elektrody drugiej pary. Z drugiej strony siły Coulomb'owskie wzajemnego przyciągania się tej drugiej pary naprzemianległych elektrod także wzrastają. Dzięki temu mechanizmowi oba przeciwstawne sobie rodzaje sił rosną w tym samym tempie.

Część (c) rysunku C3 pokazuje zmiany w elektromagnetycznych siłach odchylających $M=i$ a B , starających się wypchnąć poszczególne pęki iskier ze zasięgu pola komory. Ponieważ siły te są proporcjonalne do produktu prądu iskier "i" oraz gęstości pola magnetycznego " $B=F/(a \cdot a)$ ", maksymalna wielkość wywołanego nimi rozrywania komory wypadnie w momencie czasowym kiedy wyładowujące daną iskry elektrody osiągną równowagę swoich potencjałów. Jednakże właśnie w tym samym momencie czasu druga para elektrod, do których owe iskry są dociskane, osiąga maksimum swojej różnicy potencjałów (porównaj z częścią (b) tego rysunku) a co za tym idzie i maksimum swoich sił Coulomb'owskiego przyciągania. W swoich maksimach oba rodzaje sił także więc nawzajem się kompensują.

W części (d) rysunku C3 pokazano mechanizm wzajemnej neutralizacji sił opisanych uprzednio. Górna połowa wykresu z tej części rysunku pokazuje zmiany w siłach odchylających "T", jakie starają się rozerwać komorę. Siły te wywoływane są przez wzajemne oddziaływanie pola komory i prądu iskier (porównaj z częścią (c) tego rysunku). Dolna połowa wykresu z tej części (d) rysunku C3 pokazuje zmiany w siłach ściskających "C". Siły te są wywoływane przez Coulomb'owskie przyciąganie pomiędzy naprzemianległymi elektrodami jakie akumulują przeciwne ładunki elektrostatyczne "q" (porównaj z częścią (b) rysunku C3). Zauważ, że kiedykolwiek w komorze pojawia się siła rozrywająca "T" (np. z pędu iskier SB-F), zawsze równocześnie formowana jest przeciwdziałająca jej siła ściskająca "C" (np. z Coulomb'owskiego przyciągania ładunków qR-L). Obie te siły działają w przeciwstawnych kierunkach oraz zmieniają się według tych samych przebiegów w czasie. Stąd też obie one neutralizują się nawzajem.

Oczywiście jest zrozumiałe, iż opisana tu neutralizacja sił, od początku wykazująca symetryczność przebiegów siłowych (jak to wykazano już poprzednio), ciągle wymaga dopasowania swych wartości. Stąd też konieczne będą eksperymenty naukowe podczas budowy komory oscylacyjnej jakie pozwolą na dobranie takich parametrów konstrukcyjnych i eksploatacyjnych tego urządzenia jakie spowodują kompletne zrównoważenie się obu tych przeciwstawnych sił. Wynikiem tych badań będzie skompletowanie komory, w której wytwarzanie pola magnetycznego nie będzie ograniczane działaniem żadnego z omawianych tu rodzajów sił. Pole to będzie więc mogło wzrastać do nielimitowanych niczym wartości, wielokrotnie przekraczając nawet "strumień startu".

C5.2. Niezależność wytwarzanego pola od ciągłości i efektywności dostawy energii

_____ Jednym z najbardziej podstawowych atrybutów każdego układu oscylującego jest zdolność do absorbowania energii dostarczanej do niego w sposób nieciągły. Przykładem

takiej nieciągłej dostawy jest dziecko na huśtawce. Huśtawki tej nie musimy wszakże ciągle popychać. Wystarczy iż dodamy jej energii raz na jakiś czas, a mimo to będzie ona kontynuowała swój ruch oscylacyjny w sposób ciągły. Powyższe praktycznie oznacza, że energia raz dostarczona do komory oscylacyjnej zostanie uwięziona w niej na tak długo aż zaistnieją zewnętrzne okoliczności jakie spowodują jej wycofanie. Jak to zaś zostanie wyjaśnione w podrozdziale C5.3.1 takie okoliczności zaistnieją tylko jeśli komora zostanie użyta do wykonywania jakiejś zewnętrznej pracy.

Innym istotnym atrybutem układów oscylujących jest ich zdolność superpozycji czyli możliwość zmiany poziomu zawartej w nich energii na drodze okresowego dodawania dalszych porcji energii do zasobów już w nich zgromadzonych. W poprzednim przykładzie huśtawki, aby spowodować wyniesienie dziecka na określoną wysokość wcale nie jest koniecznym nadanie naraz huśtawce całej wymaganej przez nią energii. Wystarczy bowiem popychać ją po troszeczkę przez dłuższy okres czasu, dodając energii stopniowo. Następstwem tego atrybutu jest, że komora oscylacyjna nie będzie wymagała dostarczenia jej całego zasobu energii w jednym impulsie. Stąd dostawa energii do tego urządzenia może być stopniowa i rozłożona na dłuższy okres czasu.

Oba omawiane atrybuty razem dostarczają nam praktycznej drogi dla dostarczania do komory każdej ilości energii jaka może być wymagana przez produkowane przez nią pole magnetyczne, bez wprowadzania żadnych wymagań czy ograniczeń odnośnie źródła lub linii przesyłowej jakie użyte zostają w celu tego dostarczania.

Aby dopomóc nam w uświadomieniu sobie przewagi powyższego sposobu dostarczania energii do komory oscylacyjnej nad sposobem wymaganym dla elektromagnesów, użyjmy następującego przykładu. Dziecko na huśtawce i potężny atleta oboje starają się wydzwignąć spory ciężar na określoną wysokość. Dziecko czyni to niemalże bez wysiłku poprzez akumulowanie energii wychyłu podczas kolejnych oscylacji. Natomiast atleta musi użyć całej swojej mocy i ciągle cel może okazać się dla niego nieosiągalny.

C5.3. Eliminacja strat energii

Iskry są dobrze znane ze swojej wrodzonej zdolności do rozpraszania energii. Nie ma więc wątpliwości, iż taka intensywna cyrkulacja iskier, jak ta występująca w komorze oscylacyjnej, musi zamieniać dużą ilość elektryczności na ciepło. W zwyczajnym urządzeniu taka zamiana byłaby powodem znacznych strat energii. Jednakże podczas działania komory oscylacyjnej wystąpią unikalne warunki jakie umożliwią powrotną transformację energii cieplnej w elektryczność. Owa transformacja pozwoli na odzyskanie i ponowne zakumulowanie w formie przeciwstawnych ładunków elektrostatycznych całej energii poprzednio rozproszonej w postaci ciepła wydzielanego przez iskry. Tak więc w komorze oscylacyjnej współistnieć będą dwa równoczesne procesy: (1) rozpraszanie energii poprzez zamienianie części energii elektrycznej iskier na ciepło, oraz (2) odzyskiwanie energii poprzez bezpośrednią zamianę energii cieplnej w pole elektrostatyczne. Oba te procesy będą nawzajem neutralizowały efekty swego działania. Stąd bez względu na to ile wyniesie rozpraszanie energii przez poszczególne iskry, komora oscylacyjna jako całość zupełnie wyeliminuje ich straty energetyczne. Jako więc wynik końcowy takiej eliminacji, cała energia dostarczona do tego urządzenia będzie w nim zachowana na zawsze, jeśli oczywiście nie zostanie ona zużyta na wykonywanie przez komorę jakiejś pracy zewnętrznej.

W komorze oscylacyjnej współistnieją aż trzy elementy jakie w takiej samej konfiguracji i wartościach nie występowały jeszcze w żadnym z poprzednio budowanych przez nas urządzeń. Są to: silne pulsujące pole magnetyczne, elektrody, oraz gaz dielektryczny. Na dodatek w czasie działania tego urządzenia elementy te przyjmują stany jakie, zgodnie z teoriami autora opisanymi w monografiach [1a] i [6], wymagane będą do zaistnienia dotychczas jeszcze mało poznanego zjawiska, zwanego "efekt telekinetyczny" - patrz jego skrócony opis przytoczony w podrozdziale G1. Użycie efektu telekinetycznego do

bezpośredniej zamiany ciepła w elektryczność uzależnione jest bowiem właśnie od współistnienia pola magnetycznego jakiego linie sił są przyspieszane i opóźniane, elektrod których ładunki fluktuują, oraz zjonizowanego gazu. Opis dosyć złożonej teorii stojącej za efektem telekinetycznym, sposobów jego technicznego wyzwania, oraz urządzeń energetycznych już zbudowanych na Ziemi jakie wykorzystują go w celach bezpośredniej zamiany energii cieplnej w elektryczność, wymaga długich wyjaśnień których objętość w przybliżeniu odpowiadałaby objętości całej niniejszej monografii. Stąd też czytelnikom zainteresowanym w dokładniejszym poznaniu tego zjawiska autor rekomenduje zapoznanie się z jego monografią [6] całkowicie poświęconą temu tematowi. W tym miejscu jednak autor pragnąłby poinformować, iż już potwierdzone eksperymentalnie działanie efektu telekinetycznego czyni z niego "zjawisko stanowiące odwrotność tarcia". Podobnie bowiem jak tarcie powoduje samoczynne konsumowanie ruchu oraz wytwarzanie ciepła, efekt telekinetyczny powoduje samoczynne konsumowanie ciepła oraz wytwarzanie ruchu. W przypadku więc komory oscylacyjnej będzie on użyty dla transformowania ciepła generowanego przez iskry w ruch ładunków elektrycznych jakie spowodują wzrost potencjałów elektrostatycznych na jej elektrodach.

Zasadę całkowitego odzyskiwania energii cieplnej komory poprzez wykorzystywanie działania efektu telekinetycznego wyjaśniono w podrozdziale G1. Z uwagi jednak na utrzymywanie ciągłości rozważań podsumujemy tą zasadę krótko również i w tym miejscu. Efekt telekinetyczny umożliwi kontrolowane wyzwianie dwóch przeciwstawnych zjawisk termicznych powodujących m.in. naprzemienne emitowanie tzw. "światła pochłaniania" oraz "światła wydzielania". Podczas wyzwania pierwszego z tych zjawisk energia cieplna otoczenia przetransformowana może zostać bezpośrednio w ruch, w drugim zaś zjawisku ruch przetransformowany może zostać bezpośrednio w energię cieplną. Kierunek i intensywność tych transformacji "ciepło/ruch" zależą od kierunku oraz od wartości wektora chwilowych przyspieszeń lub opóźnień linii sił pulsującego pola magnetycznego przenikającego daną objętość komory (a ściślej od wzajemnych relacji i zorientowania tego wektora względem chwilowych wektorów ruchu ładunków elektrycznych w komorze). Przy odpowiednim więc doborze przebiegu krzywych chwilowych pulsowań pola, temperatura komory może być utrzymywana na stałym, niezmiennym i sterowalnym poziomie - patrz też opisy z podrozdziału G1. Zasada tego utrzymywania opiera się na takim sterowaniu przebiegiem krzywej chwilowych zmian pola magnetycznego wytwarzanego w danej komorze, aby poszczególne pół-pulsy tego pola wyzwalały efekt telekinetyczny powodujący odpowiednie przyspieszanie (lub opóźnianie) rotacji ładunków elektrycznych iskier kosztem energii termicznej zawartej w komorze. W ten sposób całe ciepło strat energetycznych zaistniałych w rezultacie przeskoku iskier, zamieniane będzie przez kontrolowalny efekt telekinetyczny w ruch ładunków składających się na owe iskry. W rezultacie więc efekt telekinetyczny przetransformuje ciepło tracone przez iskry elektryczne na kontrolowany ruch ładunków elektrycznych, utrzymując w ten sposób temperaturę komory na stałym i z góry zadany poziom.

Autor zdaje sobie sprawę, iż jego stwierdzenia zawarte w niniejszym podrozdziale zapewne mogą wywołać opozycję ze strony osób dotychczas nieobznajomionych z efektem telekinetycznym. Stąd też dla użytku owych osób, w podrozdziale jaki nastąpi przytoczone zostaną argumenty wykazujące, iż nawet bez znajomości tego efektu współczesna nauka dopuszcza możliwość aby w szczególnych warunkach całość ciepła mogła zostać zamieniona bezpośrednio na energię elektryczną. Tym zaś osobom które ciągle będą argumentować, iż teoretyczne dopuszczenie możliwości takiej zamiany wcale nie oznacza że będziemy w stanie zrealizować ją technicznie, autor pragnąłby rekomendować treść rozdziału I jaki wykazuje, iż komora oscylacyjna już została zrealizowana technicznie. Zgodnie zaś z informacjami świadków obserwujących jej działanie, nie wykazuje ona przy tym zauważalnego nagrzewania dowodząc w ten sposób, iż omawiane tu odzyskiwanie energii cieplnej iskier faktycznie musi mieć w niej miejsce.

C5.3.1. Czy w komorze całe ciepło iskier będzie odzyskiwalne

Jedną ze stereotypowych opinii panujących wśród naukowców jest, że zamiana energii cieplnej w jakąkolwiek inną formę energii zawsze musi wypełniać zasadę Carnot'a dotyczącą termodynamicznej sprawności. Wyznawcy tego poglądu automatycznie przenoszą go na komorę oscylacyjną bez rozważenia unikalności warunków występujących w jej wnętrzu. Takie zaś mechaniczne zastosowanie praw termodynamicznych do tej komory jest ogromnym uproszczeniem, przeaczającym następujące niezwykle istotne czynniki:

1. Tzw. "prawa" termodynamiki nie są wcale prawami, a statystycznymi prognozami wynikowego efektu niezliczonych chaotycznych wydarzeń.

2. Zachowanie się cząsteczek gazu w obecności silnego pola magnetycznego wykazuje porządek, a nie chaos. Stąd też przebieg przemian energetycznych w obrębie komory oscylacyjnej nie może być opisany prawami termodynamiki.

3. Nawet bez rozważenia przyszłego sposobu bezpośredniej zamiany ciepła w elektryczność, opartego na wykorzystaniu efektu telekinetycznego, na naszym obecnym poziomie techniki idealnie sprawne metody są też już znane. Dla przykładu, sama zasada przemiany magneto-hydro-dynamicznej, zapewnia idealną sprawność w odzyskiwaniu energii z ciepła (sprawność tą psuje jednak dzisiejsza realizacja techniczna tej zasady). Stąd też, jeśli zamiana energii pozbawiona zostanie chaotycznego charakteru termodynamicznego, jak to stanie się w przypadku komory oscylacyjnej, wtedy owa idealne sprawność odzysku energii może być osiągnięta.

Ponieważ działanie powyższych trzech czynników jest istotne dla komory oscylacyjnej, zaś niektórzy z czytelników mogą nie być dobrze z nimi obznajomieni, poniżej wyjaśniono ich znaczenie w bardziej szczegółowy sposób.

Ad 1. Statystyczny charakter praw termodynamicznych jest doskonale znany od długiego już czasu. James Clerk Maxwell (1831-1879), autor słynnych równań na fale elektromagnetyczne, przedstawił kiedyś dowód bazujący na działaniu tzw. "Demona Maxwell'a". Dowód ten wykazuje, iż w określonych sytuacjach wyjątkowych, ważność praw termodynamicznych przestaje obowiązywać. Poniżej zacytowane zostało co B.M. Stableford napisał o Drugim Prawie Termodynamiki w swojej książce [1C5.3.1] "The Mysteries of Modern Science" (London 1977, ISBN 0-7100-8697-0, strona 18):

"Zostało wykazane iż owo prawo termodynamiki jest wynikiem statystycznego zgrupowania dużej liczby wydarzeń raczej niż nienaruszalna zasada jaka rządzi światem ze żelazną ręką. ... możemy więc dostrzec iż prawa termodynamiki, aczkolwiek dotychczas zawsze działały one w praktyce, w rzeczywistości mogą kiedyś zostać wyeliminowane poprzez rzadką kombinację warunków - nie jest to więc tak bardzo prawo jak statystyczna prognoza."

(W oryginale angielskojęzycznym: "The law of thermodynamics was shown to be a result of the statistical aggregation of a large number of events rather than an inviolable principle ruling the world with an iron hand. ... we can begin to see that although the law of thermodynamics always works out in practice, it could, in fact, be subverted by an extremely unlikely combination of chance happenings - it is not a law so much as a statistical prediction.")

Ad. 2. Jest już doskonale znanym zjawiskiem, iż silne pole magnetyczne zatrzymuje chaotyczne zachowanie się molekuł i organizuje je w uporządkowany wzór. Jednym ze zastosowań tego zjawiska jest wytwarzanie pojemnych pamięci komputerowych. Znajduje ono też bezpośrednio wykorzystanie w celach eliminowania energii cieplnej podczas tzw. "chłodzenia magnetycznego" ("magnetic cooling") - patrz książka [2C5.3.1] pióra J.L. Threlkeld, "Thermal Environmental Engineering" (Prentice-Hall, Inc., N.J. 1962, strona 152). Stąd też pole magnetyczne jako takie niesie w sobie potencjał spełniania funkcji "Demona Maxwell'a" zdolnego do obalenia ważności praw termodynamicznych. Należy więc się spodziewać, że w obecności potężnych pól magnetycznych, takich jak pola panujące we wnętrzu komory oscylacyjnej, zamiana energii nie będzie podlegała zasadzie Carnot'a.

Ad. 3. Zasada magneto-hydro-dynamicznej zamiany energii nosi właśnie w sobie możliwość pełnego przetransformowania energii cieplnej w elektryczność. Ta możliwość

jest doskonale wyrażona poniższym cytowaniem zaczerpniętym z książki [3C5.3.1] pióra J.P. Holman "Thermodynamics" (McGraw-Hill, Inc., 1980, ISBN 0-07-029625-1, strona 700):

"Z energetycznego punktu widzenia, ruch siły o określoną wartość przemieszczenia (mechaniczna praca) jest zamieniany na elektryczną pracę (przepływ prądu przeciwko różnicy potencjałów) za pomocą zasady elektromagnetycznej indukcji. Jest to praca-na-pracę zamiana energii i nie jest ona ograniczana przez zasadę Carnot'a." (W oryginale angielskojęzycznym: "From an energy point of view, the movement of force through a displacement (mechanical work) is converted to electrical work (current flow against potential difference) by means of the electromagnetic induction principle. This is a work-work energy conversion and is not limited by the Carnot principle.")

Unikalne warunki panujące w komorze oscylacyjnej eliminują termodynamiczny (chaotyczny) czynnik jaki w normalnych przypadkach zmniejszałby sprawność zachodzących tam procesów, pozwalając na osiągnięcie w niej idealnej efektywności przemian energetycznych.

Rozważania przytoczone w tym podrozdziale wykazują, iż istnieją całkiem realistyczne i dobrze podbudowane przesłanki, jakie sygnalizują możliwość całkowitego odzysku energii traconej we wnętrzu komory oscylacyjnej. Wszystko więc co jest wymagane na obecnym etapie, to abyśmy nie zamykali naszych umysłów przed taką możliwością, ale postarali się zrealizować ją technicznie w tym niezwykłym urządzeniu.

Eliminacja strat energii nie jest jedyną zaletą bezpośredniej zamiany ciepła w elektryczność jaka może zostać zrealizowana w komorze oscylacyjnej. Taka zamiana oddaje nam także do ręki bardzo prostą metodę dostarczania energii do tego urządzenia. Aby zwiększyć jego zasoby energii, wystarczy więc jedynie podgrzewać jego gaz dielektryczny. Takie podgrzanie może zostać uzyskane na drodze cyrkulowania tego gazu przez jakiś wymiennik ciepła, albo też poprzez skierowanie na komorę zwykłego promieniowania słonecznego.

Kombinacja braku strat energetycznych oraz niezależności produkcji pola magnetycznego od ciągłości dostaw energii (patrz podrozdział C5.2) nadaje komorze oscylacyjnej właściwości obecnie charakteryzującej jedynie magnesy stałe. Gdy bowiem urządzenie to raz rozpocznie wytwarzanie swego pola magnetycznego, będzie ono kontynuowało produkcję tego pola przez całe wieki. Jedynym sposobem na zmniejszenie lub wyeliminowanie tego pola będzie wyczerpywanie się energii komory na drodze wykonywania przez nią jakiejś pracy zewnętrznej. Oczywiście wobec braku strat wewnętrznych samo działanie komory nie będzie nigdy w stanie spowodować takiego wyczerpywania się jej zasobów energetycznych.

C5.4. Spożytkowanie niszcycielskiego pola elektrycznego

Wyróżniającą się własnością komory oscylacyjnej jest, iż gromadzi ona na dwóch przeciwległych elektrodach ładunki elektryczne o równej wartości ale za to przeciwstawnych znakach (t.j. taką samą liczbę pozytywów co negatywów). W takich więc warunkach linie sił pola elektrycznego formowanego przez przeciwległe elektrody wiążą się ze sobą nawzajem. To z kolei wymusza aby ładunki elektryczne przeskakujące pomiędzy tymi elektrodami wykazywały tendencje do poruszania się po najkrótszych drogach łączących obie elektrody. Stąd w komorze oscylacyjnej tendencja do naturalnego przebiegu ładunków elektrycznych będzie się pokrywała z drogami tych ładunków wymaganymi też i dla prawidłowego działania owego urządzenia. Jako więc wynik końcowy, materiał obudowy komory uwolniony zostanie od niszcycielskiego działania potencjałów elektrycznych, podczas gdy cała siła tych potencjałów będzie skierowana na wytwarzanie pól magnetycznych (zamiast - jak to jest w elektromagnesach - na niszczenie materiałów z jakich to urządzenie zostało zbudowane).

W opisanym powyżej ukierunkowywaniu przepływu energii elektrycznej, komora oscylacyjna całkowicie więc różni się od elektromagnesów. W komorze bowiem owo

ukierunkowywanie odbywa się przez wykorzystanie naturalnych mechanizmów przyciągania elektrostatycznego. Natomiast w elektromagnesach wymuszane ono było sztucznie poprzez odpowiednie ukształtowanie warstewek izolacyjnych jakie wymuszały przepływ prądu wzdłuż zwojów przewodnika, podczas gdy istniejące w nim pole elektryczne starało się przepchnąć ten prąd w poprzek zwojów tego samego przewodnika i poprzez warstwę izolacyjną. Stąd należy się spodziewać, iż komora oscylacyjna będzie wykazywała żywotność nieporównywalnie większą od elektromagnesów, oraz że czas jej używalności nie będzie ograniczany zużyciem elektrycznym materiałów z których została ona wykonana.

Jak niszczące może być takie zużycie elektryczne izolacji elektromagnesu, daje się poznać poprzez analizowanie czasu życia cewek pracujących pod wysokim napięciem. Dobrze znanym ich przykładem jest cewka zapłonowa w samochodach. Izolacja jej zwojów zwykle ulega uszkodzeniu elektrycznemu już po jakichś 7 latach pracy, pomimo iż mechanicznie nie można na niej się dopatrzeć żadnego śladu zużycia. W elektromagnesach niskiego napięcia proces ten jest wolniejszy dlatego czasami może on pozostawać niezauważalnym dla użytkowników. Ale nawet tam sprawa jego wystąpienia jest tylko kwestią czasu.

C5.5. Sterowanie amplifikujące okresu pulsowań pola

Komora oscylacyjna będzie wykazywała bardzo dużą sterowalność. Jak to zostanie szczegółowiej objaśnione w podrozdziale C6.1, kluczem do manipulowania całym jej działaniem będzie okres pulsowań "T" jej pola. Przez zmianę tego okresu przesterowaniu też ulegną wszystkie inne parametry pracy komory. Stąd praktycznie cała działalność sterowania komorą będzie się ograniczała do wpływania na wartość jej okresu pulsowań "T".

Jak łatwo w komorze oscylacyjnej daje się sterować wartością "T" ujawnia równanie (C7) już dyskutowane w podrozdziale C4.6. Na etapie eksploatacji wszystkie czynności sterujące tym urządzeniem można więc ograniczyć jedynie do zmiany wartości jej współczynnika "s". Zmianę tego współczynnika "s" uzyskuje się albo poprzez zmianę ciśnienia gazu wypełniającego komorę albo też poprzez przesterowanie kompozycji tego gazu. Z kolei zmiana "s" wprowadzi zmianę w okresie pulsowań "T" pola komory.

Aby zilustrować istotę tej metody sterowania komorą, warto tu zaznaczyć, że w elektromagnesie jej odpowiednikiem byłaby zmiana parametrów konfiguracyjnych, takich jak oporności obwodów, liczby zwojów oraz geometrycznego wykonania przewodnika. Gdyby te parametry elektromagnesu mogły zostać łatwo zmienione, sterowanie wydatku tego urządzenia posiadałoby przebieg i efekty podobne do tych z komory oscylacyjnej. Tylko więc w takim nierzeczywistym wypadku sterowanie elektromagnesem osiągnięte zostałoby poprzez manipulowanie jego parametrami konfiguracyjnymi, oraz bez konieczności zmiany mocy prądu dostarczanego do jego uzwojeń. Oczywiście w rzeczywistości nie jest możliwym zbudowanie takiego elektromagnesu. To zaś uzmysławia jak nieporównywalnie lepsze jest sterowanie komory w porównaniu ze sterowaniem elektromagnesów.

Efekty takiego sterowania komory są źródłem jej istotnej przewagi nad sposobem sterowania użytym w elektromagnesach. W komorze zmiany stałych gazu dielektrycznego: , i - wywołujące z kolei zmiany we współczynniku "s", nie wymagają manipulowania ilościami energii zawartej w jej polu elektrycznym i polu magnetycznym. Stąd w owym urządzeniu wszystkie czynności sterujące nie wymagają wcale siłowania się z mocą w niej uczajoną. Jako wynik moc urządzeń sterujących nie jest w niej więc zależna od mocy produkowanego pola (t.j. słabe urządzenia sterujące są w stanie zmienić efektywnie parametry potężnych pól magnetycznych). Jest to więc wyraźnym przeciwieństwem elektromagnesów w których zmiana pola wymagała zmiany w prądzie elektrycznym tej samej mocy (w ten sposób sterowanie elektromagnesami wymagało zaprzężenia tych samych mocy co wytwarzane pola).

Oczywiście każda metoda sterowania wprowadza swoje własne ograniczenia i niedogodności. Tak też będzie z systemem opisanym tutaj. Już teraz można przewidzieć, iż

będą występowały ograniczenia w zakresie sterowanych wartości, oraz że będzie ono miało wpływ na intensywność nagrzewania powodowaną zmianami w oporności gazu. Jednakże te niedogodności mogą zostać pokonane technicznie, a także są one nieistotne jeśli porównać je z zaletą uczynienia mocy urządzeń sterujących niezależną od mocy sterowanego przez nie pola.

C6. Dodatkowe zalety komory oscylacyjnej ponad elektromagnesami

Wyeliminowanie wszystkich wad wrodzonych elektromagnesów nie jest jedynym osiągnięciem komory oscylacyjnej. Dodatkowo wprowadza ona bowiem kilka zalet operacyjnych jakie nie cechowały jeszcze żadnego innego dotychczas zbudowanego urządzenia. Dokonajmy więc przeglądu najważniejszych z tych jej dodatkowych zalet.

C6.1. Formowanie "kapsuły dwukomorowej" zdolnej do sterowania swym wydatkiem magnetycznym bez zmiany ilości zawartej w niej energii

Dalsze możliwości sterowania wydatkiem komory oscylacyjnej otwierają się kiedy dwa takie sześciennie urządzenia zostają złożone razem w konfigurację zwaną "kapsuła dwukomorowa" - patrz rysunek C4. Kapsuła taka składa się z jednej małej komory wewnętrznej "I" (t.j. "inner" po angielsku) zawieszona bezdotykowo przy użyciu wyłącznic sił magnetycznych we wnętrzu większej komory zewnętrznej "O" (t.j. "outer"). Aby zapewnić bezdotykowe zawiśnięcie komory wewnętrznej bez niebezpieczeństwa iż dotknie ona i uszkodzi komorę większą, długość boku "a_o" komory zewnętrznej musi być 3 razy większa od długości boku "a_i" komory wewnętrznej, t.j.:

$$a_o = a_i \sqrt{3} \quad (C9)$$

Równanie (C9) wyraża wymóg, iż najdłuższa przekątna komory wewnętrznej nie może przekroczyć najmniejszej odległości pomiędzy dwoma równoległymi ściankami komory zewnętrznej.

Obie komory zostają zestawione w ten sposób, że ich osie centralne pokrywają się z osią magnetyczną "m" wynikowej kapsuły. Jednakże ich biegunowość magnetyczna zostaje nawzajem odwrócona, t.j. określone bieguny magnetyczne komory wewnętrznej zostają zorientowane dokładnie w odwrotnym kierunku niż te same bieguny komory zewnętrznej. Dla przykładu jeśli komora wewnętrzna skierowuje swój biegun "S" (south) ku górze - patrz rysunek C4, wtedy komora zewnętrzna skierowuje ku górze swój biegun "N" (north), i vice versa. Owa przeciwstawna polaryzacja obu komór powoduje, że ich wydatki magnetyczne nawzajem się odejmują (przechwytyją). Efektem tego odejmowania jest, iż wszystkie linie sił pola magnetycznego wytwarzanego przez tą z komór która posiada mniejszy wydatek wcale nie opuszczają kapsuły jako całości, a są przechwytywane przez drugą z komór po czym cyrkulowane przez nią ponownie do komory o mniejszym wydatku. Stąd też pole magnetyczne odprowadzane do otoczenia przez taką kapsułę reprezentuje jedynie algebraiczną różnicę pomiędzy strumieniem magnetycznym produkowanym przez komorę o większym wydatku i strumieniem produkowanym przez komorę o mniejszym wydatku.

W uformowanej w ten sposób kapsule dwukomorowej, odpowiednie sterowanie okresami pulsacji "T" pól magnetycznych wytwarzanych przez składowe komory, umożliwia aby zawartość energetyczna obu komór albo pozostawała na niezmiennym poziomie, albo też przemieszczana była z jednej komory do drugiej. Stąd też obie komory mogą albo wytwarzać taki sam wydatek pola, albo też jedna z nich może produkować wydatek większy od drugiej. Większy z wydatków może być przy tym dostarczany zarówno przez komorę zewnętrzną "O" jak i wewnętrzną "I". Technicznie rzecz biorąc, zrównoważenie lub też przesyłanie energii pomiędzy oboma komorami zależy jedynie od przesunięcia fazowego

między okresami "To" i "Ti" ich pulsacji. (Z kolei, jak to zostało już wyjaśnione w podrozdziale C5.5, owe okresy pulsacji są sterowane wyłącznie poprzez zmianę współczynników "s" gazów dielektrycznych wypełniających te komory - patrz równanie C7.) Generalnie rzecz biorąc, kiedy obie komory pulsują w zgodzie ze sobą, to znaczy kiedy ich przesunięcie fazowe wynosi 0, 90, lub wielokrotność 90, wtedy ich zawartości energetyczne są utrzymywane na tym samym poziomie bez żadnych zmian. Jednakże kiedy wytworzone zostanie niezerowe przesunięcie fazowe pomiędzy ich pulsacjami, wtedy energia magnetyczna zaczyna przepływać pomiędzy obu komorami. Im owo przesunięcie fazowe bardziej odbiega od 0 stopni lub 90 stopni i stąd bardziej zbliża się do ± 45 stopni, tym więcej energii przepływa z jednej komory do drugiej. Kierunek tego przepływu jest od komory której pulsacje pola uzyskały wyprzedzające przesunięcie fazowe (t.j. której okres pulsacji "T" został przyspieszony w stosunku do okresu "T" drugiej z komór) do komory której pulsacje pozostają w tyle.

Aby zilustrować powyższą zasadę przepływu energii pomiędzy obu komorami za pomocą przykładu, wyobraźmy sobie dwoje ludzi na oddzielnych huśtawkach, połączonych ze sobą za pośrednictwem gumowego powroza (obie huśtawki reprezentują komory oscylacyjne danej kapsuły, zaś gumowy powróż reprezentuje łączące je pole magnetyczne). Kiedy oboje huśtają się ze zerowym przesunięciem fazowym (t.j. gdy ich ruchy są identyczne), energia ich oscylacji pozostaje niezmienną. Jednakże kiedy uformują oni przesunięcie fazowe pomiędzy oscylacjami swych huśtawek, wtedy osoba której huśtawka jest w przodzie zacznie pociągać drugą za pośrednictwem gumowego powroza. W ten sposób energia oscylacji będzie przepływać od szybszego huśtacza do wolniejszego.

Kiedy obie komory danej kapsuły dwukomorowej wytwarzają dokładnie takie same wydatki, linie sił pola magnetycznego z komory wewnętrznej "I" formują zamkniętą pętlę z liniami sił pola z komory zewnętrznej "O". Owa pętla z linii sił obu komór jest zamknięta we wnętrzu kapsuły. Stąd też w takim przypadku obie komory mogą produkować pole magnetyczne o niezwykle wysokim wydatku, jednakże pole to w całości "krąży" w obrębie kapsuły i żadna jego część nie wydostaje się na zewnątrz do otoczenia. Pole magnetyczne uwięzione w takiej pętli i hermetycznie zamknięte w obrębie kapsuły jest nazywane "strumieniem krążącym". W ilustracjach z tego rozdziału jest ono oznaczone jako "C" od angielskiego "circulating flux". Strumień krążący wypełnia niezwykle istotną rolę w kapsułach dwukomorowych bowiem wiąże on i zachowuje na potem energię magnetyczną jaka może stanowić źródło energii dla późniejszego jej działania. Stąd strumień krążący w kapsułach dwukomorowych jest odpowiednikiem dla "paliwa" we współczesnych urządzeniach napędowych. Prawdopodobnie w przyszłości budowane więc będą kapsuły których główna i jedyna funkcja polegać będzie właśnie na akumulowaniu energii. Cała energia takich akumulatorów przyszłości zgromadzona będzie w ich strumieniu krążącym, tak że na zewnątrz tych kapsuł nie pojawi się żadne pole magnetyczne.

Jeżeli jednak zawartość energetyczna obu komór kapsuły dwukomorowej jest nierówna (jak to właśnie zilustrowano na rysunku C4), wtedy pole magnetyczne produkowane przez komorę o większym wydatku podzielone zostanie na dwie części: "C" i "R". Część "R", jaką nazywali tu będziemy "strumieniem wynikowym" (po angielsku "resultant flux"), odprowadzana zostaje na zewnątrz kapsuły do otoczenia. Natomiast część "C", nazwana już uprzednio strumieniem krążącym, nadal zamknięta będzie wewnątrz kapsuły. W strumieniu krążącym "C" zawsze więziony będzie cały wydatek komory o mniejszej zawartości energetycznej. Natomiast strumień wynikowy "R" stanowił będzie różnicę algebraiczną wartości wydatków z komory o większej zawartości i komory o mniejszej zawartości energetycznej. Na rysunku C4 większy wydatek jest wytwarzany przez komorę zewnętrzną "O". Stąd to właśnie jej wydatek rozszczepia się na dwa strumienie "C" i "R". Natomiast cały wydatek komory wewnętrznej "I" z tego rysunku jest zaangażowany w strumień krążący. Oczywiście w rzeczywistych kapsułach, zależnie od chwilowej potrzeby, możliwe jest takie nasterowanie ich komór, że dowolna z nich może wytwarzać większy wydatek, t.j. zarówno zewnętrzna "O" jak i wewnętrzna "I". Stąd również dowolna z tych komór może dostarczać strumienia wynikowego.

Z uwagi na możliwość iż większy z wydatków może być wytwarzany zarówno przez zewnętrzną jak i wewnętrzną komorę, kapsuły dwukomorowe mogą się znajdować w dwóch odmiennych trybach pracy jakie tu nazwiemy: (1) z dominacją strumienia WEWNĘTRZNEGO, oraz (2) z dominacją strumienia ZEWNĘTRZNEGO. W trybie dominacji strumienia WEWNĘTRZNEGO, strumień wynikowy "R" wytworzony zostaje właśnie przez komorę wewnętrzną "I", podczas gdy cały wydatek komory zewnętrznej "O" zamknięty zostaje w strumieniu krążącym "C". Natomiast w trybie dominacji strumienia ZEWNĘTRZNEGO, strumień wynikowy "R" jest produkowany przez komorę zewnętrzną "O", natomiast wydatek komory wewnętrznej "I" jest w całości zamknięty w obrębie strumienia krążącego "C". Wzrokowe różnice we wyglądzie kapsuł pracujących w obu tych trybach pokazano na rysunku C5. Różnice te wynikają z faktu, iż pulsujące pole magnetyczne o ogromnych gęstościach jest przezroczyste jedynie dla obserwatora który patrzy na nie wzdłuż linii sił. Dla obserwatora patrzącego z dowolnego innego kierunku pole takie jest nieprzezroczyste i wyglądem przypomina czarny dym. Stąd obserwator patrzący na wylot kapsuły dwukomorowej powinien jedynie zobaczyć wnętrze tej komory która produkuje strumień wynikowy rozprzestrzeniający się w kierunku jego oczu. Natomiast zarys drugiej z komór, która produkuje strumień krążący, przyjmował będzie dla niego wygląd "czarnej dziury" - po więcej szczegółów na temat tego zjawiska patrz podrozdział D3.

Kapsuła dwukomorowa odprowadza do otoczenia jedynie swój strumień wynikowy jaki reprezentuje algebraiczną różnicę z wydatków obu jej komór. Natomiast strumień krążący zawsze pozostaje zamknięty w tej kapsule i nigdy nie osiąga otoczenia. Stąd też owa konfiguracja komór umożliwia niezwykle szybkie i efektywne sterowanie strumieniem wynikowym odprowadzanym do otoczenia. Sterowanie to osiągane zostaje bez żadnej zmiany w całkowitej ilości energii zawartej w kapsule. Energia ta jest jedynie szybko przetrucana z komory zewnętrznej do wewnętrznej lub vice versa. Powyższe praktycznie oznacza, iż wydatek pola odprowadzanego z kapsuły do otoczenia można łatwo zmienić, podczas gdy ilość energii zawartej w kapsule cały czas pozostaje na tym samym poziomie. Aby zdać sobie sprawę z ogromnych możliwości tego typu sterowania, poniżej opisane zostały najważniejsze stany/atrybuty pola magnetycznego odprowadzanego do otoczenia przez taką kapsułę.

(1) Całkowite wygaszenie wydatku kapsuły. Jeśli wewnętrzna i zewnętrzna komora zawierają te same ilości energii magnetycznej i stąd produkują takie same strumienie magnetyczne, ich cały wydatek obiega wewnątrz kapsuły dwukomorowej i nic z ich pola nie wydostaje się do otoczenia. Oczywiście w takim przypadku ogromna energia kapsuły nadal pozostaje uwięziona w jej wnętrzu i w każdej chwili może ona zostać przetrucana na jej zewnątrz poprzez proste przesterowanie okresów pulsowań pola "T" w obu komorach składowych.

(2) Płynna lub skokowa zmiana wydatku magnetycznego kapsuły dokonywana w obrębie zakresu od jej minimalnej (t.j. zera) do maksymalnej wartości. Taka zmiana w polu wynikowym odprowadzanym z kapsuły do otoczenia wymaga jedynie odpowiedniego przemieszczenia energii magnetycznej z jednej komory do drugiej. Maksymalny wydatek kapsuły uzyskiwany zostaje kiedy jedna z jej komór koncentruje w sobie prawie całą energię, podczas gdy zawartość pozostałej komory jest prawie zerowa.

(3) Wytwarzanie pola magnetycznego jakie zwraca określony biegun magnetyczny ku wybranemu końcu kapsuły. Zależnie która z obu komór (zewnętrzna czy wewnętrzna) osiąga dominujący wydatek, biegunowość strumienia wynikowego "R" będzie odzwierciedlała biegunowość owej dominującej komory.

(4) Niemal natychmiastowe odwrócenie biegunowości wydatku danej kapsuły (t.j. zmiana jej bieguna północnego N na południowy S i vice versa). To odwrócenie może zostać zrealizowane za pomocą sterowania kapsułą i poprzez zwykłe przemieszczenie energii magnetycznej pomiędzy komorami (t.j. bez potrzeby mechanicznego obrócenia całej kapsuły).

Kolejną zaletą kapsuły dwukomorowej jest jej zdolność do ścisłego sterowania zmian w czasie (t.j. krzywej) strumienia wynikowego. Na rysunku C6 pokazano przykład takiego

sterowania, ilustrujący uzyskiwanie strumienia wynikowego jakiego zmiany w czasie posiadają przebieg tzw. "krzywej dudnienia". Jeśli częstotści pulsowań pola w obu komorach kapsuły różnią się od siebie (np. kiedy komora wewnętrzna wytwarza strumień "F1" jakiego częstotść pulsowań jest dwukrotnie wyższa od częstotści pulsowań strumienia "Fo" produkowanego przez komorę zewnętrzną), wtedy algebraiczne odejmowanie się obu tych strumieni wytwarza strumień wynikowy "R" jakiego zmiany w czasie następują zgodnie z krzywą dudnienia. W ten sposób można uzyskać szeroką gamę zmian strumienia wynikowego (R) poprzez zwykłe przesterowanie częstotści pulsowań pola w komorze zewnętrznej i wewnętrznej (a ściślej ich okresów "T" które powiązane są z częstotściami "f" poprzez równanie (C8): $f=1/T$). Równie prostym staje się więc wyprodukowanie pulsującego strumienia wynikowego przyjmującego kształt dowolnej z krzywych dudnienia, jak strumienia przemienneo o dowolnym przebiegu. W każdym z tych przypadków okres pulsowań pola wynikowego może być sterowany z wymaganą dokładnością.

Prawdopodobnie najbardziej jednak istotną z opisywanych tu zalet sterowniczych kapsuły dwukomorowej jest uzyskanie przez nią zdolności zezwalającej na wytwarzanie stałego pola magnetycznego. Kiedy bowiem częstotści oscylacji w obu jej komorach są takie same zaś przesunięcie fazowe pomiędzy nimi wynosi zero, wtedy wytwarzane przez nie dwa przeciwstawnie zorientowane strumienie magnetyczne nawzajem eliminują swoje składowe zmienne. Jeśli to zbiega się z identycznością amplitud tych strumieni, wtedy strumień wynikowy (R) staje się nie-oscyłujący (czyli stały w czasie), identyczny w charakterze do pola wytwarzanego przez dzisiejsze magnesy stałe. Zdolność do wytwarzania stałego pola magnetycznego niepomierne powiększy i tak już ogromny zakres zastosowań tej konfiguracji komór oscylacyjnych.

Z uwagi na bezpośrednią zależność pomiędzy częstotścią "f" i okresem "T" pulsowań pola wyrażoną równaniem (C8), całość czynności sterowania krzywą strumienia wynikowego uzyskiwana jest poprzez prostą zmianę współczynnika "s" obu komór, jak to już zostało opisane w podrozdziale C5.5.

Powyższe wyjaśnienia ukazują jak łatwe i różnorodne są zdolności sterownicze kapsuły dwukomorowej. Oczywiście, ta łatwość i uniwersalność sterowania będzie posiadała ogromne znaczenie dla przyszłych zastosowań tych zestawów komór. Jest już obecnie możliwe do przewidzenia, że niemal wszystkie systemy napędowe przyszłości będą wykorzystywały kapsuły dwukomorowe zamiast pojedynczych komór. Ze wszystkich urządzeń napędowych opisanych w niniejszej monografii, takie kapsuły będą wykorzystywane w napędzie magnokraftu (patrz opisy z rozdziału D), oraz w magnetycznym napędzie osobistym (patrz opisy z rozdziału F).

C6.2. Formowanie "konfiguracji krzyżowej"

Kapsuły dwukomorowe nie są jedynymi konfiguracjami w jakie można uformować kilka komór oscylacyjnych w celu zwiększenia sterowalności ich strumienia wynikowego "R". Innym zestawem tych komór, posiadającym nawet jedną więcej możliwość operacyjną niż kapsuły, jest tzw. "konfiguracja krzyżowa" pokazana na rysunku C7. W konfiguracji krzyżowej poszczególne komory zostały zestawione w ten sposób, że jedna z nich, zwana komorą główną (M), otoczona jest przez cztery komory boczne oznaczone literami (U), (V), (W), i (X), przylegające do każdej z jej ścianek bocznych w środku długości tych ścianek. Bieguny magnetyczne każdej z czterech komór bocznych zwrócone są w tym samym kierunku, podczas gdy komora główna posiada swoje bieguny magnetyczne ukierunkowane odwrotnie w stosunku do biegunów komór bocznych. Wymiary i objętość poszczególnych komór konfiguracji krzyżowej muszą wypełniać określone warunki konstrukcyjne, których złożona teoria pominięta zostanie w tym opracowaniu, ale zainteresowani czytelnicy mogą ją znaleźć w rozdziale G monografii [1a]. Mianowicie przekrój poprzeczny każdej z tych pięciu komór, poprowadzony w płaszczyźnie prostopadłej do ich osi magnetycznej, musi być kwadratem o długości boku identycznej jak długość boku pozostałych komór. Objętości oraz wymiary wszystkich komór bocznych (U), (V), (W) i (X) muszą być takie same.

Jednakże objętość (a więc także i długość) komory głównej (M) musi być równa sumie objętości (a więc także i długości) wszystkich czterech komór bocznych.

Konfiguracja krzyżowa stanowi uproszczony model układu napędowego magnokraftu, którego krótki opis zawarty jest w następnym rozdziale tej monografii. Również działanie tej konfiguracji imituje działanie napędu magnokraftu. Stąd też reprezentuje ona swoistą miniaturkę magnokraftu. Podobnie jak napęd magnokraftu, jest ona zdolna do wytwarzania nie tylko wszystkich rodzajów pól magnetycznych produkowanych przez kapsuły dwukomorowe, ale także różnych rodzajów pól wirujących których takie pojedyncze kapsuły nie były w stanie wytworzyć. Z tego też względu konfiguracja krzyżowa będzie jedynym zestawem komór możliwym do zastosowania w tzw. magnokrafcie czteropędnikowym (opisanym w rozdziale E) jakiego napęd wymaga właśnie użycia pędników wytwarzających pole wirujące.

W sensie technologii wytwarzania, konfiguracja krzyżowa jest łatwiejsza do zbudowania od kapsuły dwukomorowej. Przyczyną tego faktu jest, iż w kapsule dwukomorowej istnieją techniczne trudności ze sterowaniem komory wewnętrznej, do której wszystkie sygnały sterujące muszą się przedostać poprzez potężne iskry i pole magnetyczne komory zewnętrznej. Trudności te nie występują w konfiguracji krzyżowej w której dostęp z układami sterującymi jest równie łatwy dla każdej z jej komór. Stąd w pierwszym okresie po zbudowaniu komór oscylacyjnych najprawdopodobniej będziemy w stanie uformować z nich jedynie konfiguracje krzyżowe. Aczkolwiek więc napęd magnokraftu jest znacznie efektywniejszy jeśli wykorzystuje on kapsuły dwukomorowe w swych pędnikach, owe trudności technologiczne ze sterowaniem takich kapsuł mogą powodować, iż pierwsze magnokrafty budowane na Ziemi będą zawierały właśnie konfiguracje krzyżowe w swoich pędnikach.

Powyższe również odnosi się do innych cywilizacji już dysponujących magnokraftami. Po tym jaką konfigurację komór wykorzystują one w pędnikach swoich dyskoidalnych wehikułów magnokrafto-podobnych można więc będzie oceniać jak technologicznie zaawansowana jest dana cywilizacja. W pierwszym okresie bowiem po zbudowaniu komór oscylacyjnych najprawdopodobniej każda cywilizacja będzie używała w swoich magnokraftach konfiguracje krzyżowe, a dopiero potem przeczuci się na trudniejsze technologicznie kapsuły dwukomorowe. W następnym zaś okresie używać już będzie kapsuł dwukomorowych drugiej generacji bazujących na komorach o przekroju ośmiościennym (zamiast łatwiejszych do wytwarzania i sterowania komór o przekroju kwadratowym), aby w końcu przeczucić się na komory trzeciej generacji - patrz podrozdział G4.

Zasada sterowania polem wytwarzanym przez konfigurację krzyżową jest prawie identyczna do zasady sterowania tego pola użytej w kapsule dwukomorowej. W podobny więc sposób konfiguracja ta wytwarza dwa strumienie: krążący (C) i wynikowy (R). Tyle tylko iż oba te strumienie cyrkulowane są poprzez otoczenie, zaś jedyna różnica pomiędzy nimi polega na długości drogi jaką ich linie sił zakreślają w swojej cyrkulacji, oraz na liczbie komór przez jakie te linie się domykają (strumień krążący domyka swój obieg przez dwie komory, natomiast strumień wynikowy tylko przez jedną). Stąd też pole magnetyczne wytwarzane przez konfigurację krzyżową może odznaczać się wszystkimi parametrami jakie opisano już dla kapsuły dwukomorowej. Jedyną dodatkową możliwością konfiguracji krzyżowej nie występującą w kapsule dwukomorowej jest wytwarzanie wirów magnetycznych (t.j. pola magnetycznego jakiego linie sił wirują wokół osi magnetycznej "m" tej konfiguracji). Ponieważ wiry takie stanowią niezwykle istotny atrybut napędu magnokraftu i stąd bardziej szczegółowo muszą one być objaśnione w rozdziale D, powtórne ich omówienie tutaj zostanie pominięte.

Podobnie jak kapsuła dwukomorowa, również konfiguracja krzyżowa może pracować w dwóch odmiennych trybach pracy jakie nazwiemy "z dominacją strumienia wewnętrznego" (tryb ten pokazany został na rysunku C7 - patrz też rysunek C5 "a") oraz "z dominacją strumienia zewnętrznego" (porównaj części "a" i "b" rysunku C5). W przypadku dominacji strumienia wewnętrznego strumień wynikowy (R) całej konfiguracji produkowany jest przez komorę główną (M). Natomiast w trybie dominacji strumienia zewnętrznego

strumień wynikowy (R) całej konfiguracji wytwarzany jest przez komory boczne (U, V, W i X).

Konfiguracja krzyżowa posiada jednak jedną poważną wadę jaka będzie decydowała o jej mniejszym upowszechnieniu od kapsuł dwukomorowych. Wadą tą jest, iż nie daje się w niej całkowicie "wygasić" pola magnetycznego odprowadzanego do otoczenia. Stąd nawet jeśli cały wydatek tej konfiguracji cyrkulowany jest w postaci strumienia krążącego "C", ciągle ów strumień krążący wydostaje się na zewnątrz konfiguracji (nie jest więc zamknięty w jej obrębie tak jak to ma miejsce w kapsułach dwukomorowych). Z tego też względu konfiguracje krzyżowe nie będą się nadawały do wielu zastosowań w których obecność pola magnetycznego jest niewskazana (np. do użytku jako akumulatory energii). Dlatego też, poza krótkim początkowym okresem kiedy to nie potrafili jeszcze będziemy budować kapsuł dwukomorowych, we większości przypadków wykorzystanie konfiguracji krzyżowych ograniczone będzie tylko do urządzeń w których koniecznym jest wytworzenie wirującego pola magnetycznego (np. do napędu magnokraftu czteropędnikowego opisanego w podrozdziale E).

C6.3. Nieprzyciąganie przedmiotów ferromagnetycznych

Przywykliśmy już do faktu, iż każde źródło pola magnetycznego przyciąga do siebie różne obiekty ferromagnetyczne. Stąd też jeśli uświadomimy sobie moc pola wytwarzanego przez każdą komorę oscylacyjną natychmiast przychodzi nam do głowy obraz naszych przyszłych noży, widelców i maszynek do golenia ulatujących w powietrzu do sąsiada tylko ponieważ włączył on właśnie zakupioną przez siebie potężną komorę. W tym miejscu nadszedł więc czas na uspokojenie naszych obaw; jednym z bardziej niezwykłych atrybutów kapsuły dwukomorowej i konfiguracji krzyżowej jest, iż wytwarzały one będą pole jakie wcale nie przyciąga przedmiotów ferromagnetycznych. W sensie więc swojego oddziaływania na otoczenie pole to przypominać będzie rodzaj "antygravitacji" opisywanej przez autorów "science fiction", nie zaś zwykłego pola magnetycznego. Niniejszy podrozdział opisuje dlaczego i jak to jest osiągnęte.

W obwiedzonej części rysunku C8 pokazano przybliżony przebieg krzywej pulsowań typowego pola wytwarzanego przez kapsułę dwukomorową. Pole to zwykle przyjmuje postać tzw. "krzywej dudnienia" (po angielsku "beat-type curve") składającej się ze składowej stałej "Fo" oraz składowej zmiennej "ΔF" (porównaj rysunek C8 z rysunkiem C6). Jest powszechnie wiadomym, że każde źródło stałego pola magnetycznego przyciąga do siebie przedmioty ferromagnetyczne znajdujące się w jego pobliżu. Stąd też jest oczywistym, iż składowa stała "Fo" pola każdej kapsuły będzie powodowała takie właśnie przyciąganie. Niewiele jednakże osób jest wystarczająco obznajomionych z magnetodynamiką aby także wiedzieć, iż pulsujące pole magnetyczne jakiego przebieg w czasie zmienia się z odpowiednio wysoką częstotliwością "f" indukuje we wszystkich przewodnikach elektryczności tzw. prądy wirowe (eddy currents). Prądy te wytwarzają swoje własne pola magnetyczne, jakie - zgodnie z regułą kontradycji obowiązującą w magnetyzmie - odpychają się od pola które spowodowało ich wytworzenie. W wyniku końcowym, pulsujące pola o odpowiednio wysokich częstotliwościach swych zmian w czasie powodują więc odpychanie przedmiotów ferromagnetycznych. Z tego też powodu, zmienna składowa "ΔF" wydatku pola kapsuły będzie powodować odpychanie takich przedmiotów znajdujących się w jej pobliżu. Siła tego odpychania wzrasta ze wzrostem amplitudy "ΔF" a także i ze wzrostem częstotliwości "f" pulsacji danego pola. Stąd też jeśli tak wysterujemy działanie kapsuły dwukomorowej, że będzie ona zmieniała stosunek "ΔF/Fo" wytwarzanego przez siebie pola, jednakże w tym samym czasie utrzyma ona jego częstotliwość "f" na niezmiennym poziomie, wtedy mogą wystąpić aż trzy różne rodzaje oddziaływań siłowych pomiędzy tą kapsułą a przedmiotami ferromagnetycznymi z jej otoczenia. Oddziaływania te zilustrowane są na rysunku C8 w formie trzech różnych obszarów wartości przyjmowanych dla danego "f" przez parametry "ΔF/Fo", mianowicie. **(1)** Jeśli składowa zmienna "ΔF" pola wytwarzanego przez kapsułę przeważa nad składową stałą "Fo" tego pola, wtedy

sumaryczne oddziaływanie pomiędzy kapsułą i przedmiotami ferromagnetycznymi z otoczenia jest odpychające. Na wykresie z rysunku C8 zakres owych oddziaływań odpychających stanowi cały obszar zawarty powyżej "krzywej równowagi". (2) Jeśli jednak składowa stała "Fo" dominuje nad składową zmienną " ΔF ", wtedy sumaryczne oddziaływanie pomiędzy daną kapsułą i jej otoczeniem jest przyciągające. Na wykresie z rysunku C8 zakres tych oddziaływań przyciągających stanowi całe pole zawarte poniżej "krzywej równowagi". (3) W końcu jeśli pole wytwarzane przez kapsułę tak wysterować, iż uzyskana jest równowaga pomiędzy składową stałą "Fo" i składową pulsującą " ΔF ", wtedy przyciąganie całkowicie zneutralizuje odpychanie i vice versa. W takim więc przypadku przedmioty ferromagnetyczne z otoczenia nie będą przez kapsułę ani przyciągane ani też odpychane. Na wykresie z rysunku C8 parametry " ΔF ", "Fo" i "f" pola magnetycznego dla którego nastąpi takie właśnie zneutralizowanie oddziaływań magnetycznych leżą dokładnie na pokazanej tam krzywej. Stąd krzywą tą nazywali będziemy "krzywą równowagi" przyciągających i odpychających oddziaływań magnetycznych.

Krzywa równowagi pomiędzy przyciąganiem i odpychaniem pokazana na rysunku C8 definiuje więc parametry pola magnetycznego jakie w normalnym przypadku wytwarzać będzie każda kapsuła dwukomorowa i konfiguracja krzyżowa. Należy się spodziewać, iż wobec nieszkodliwości tego pola, będzie ono prawie zawsze wytwarzane przez napędy wszystkich wehikułów magnokrafto-podobnych. Pole takie bowiem nie będzie oddziaływać we widoczny sposób na przedmioty ferromagnetyczne zawarte w otoczeniu tych wehikułów, a jednocześnie będzie ono doskonale wypełniało nałożone na nie funkcje napędowe. Z uwagi więc na ową niezwykłą własność tego pola, osoby nieobznajomione z teoriami autora mogą błędnie posądzać, iż pole to jest innego typu niż magnetycznego, np. że stanowi jakieś nieznanne nam jeszcze pole "antygravitacyjne".

W szczególnych jednakże okolicznościach załoga wehikułów magnokrafto-podobnych będzie mogła przesterować własności wytwarzanego przez siebie pola, włączając wybrany rodzaj oddziaływań na przedmioty z otoczenia. Dla przykładu, jeśli militarnie nastawiony magnokraft będzie ścigał jakiś samolot czy raketę w celu jego przechwycenia, wtedy zmieni on swoje pole z neutralnego na przyciągające. W ten sposób z łatwością będzie on mógł zatrzymać, obezwładnić i uprowadzić ścigany przez siebie obiekt. Podobnie, jeśli taki magnetycznie napędzany wehikuł będzie zamierzał uprowadzić np. samochód wraz z jego zawartością, wtedy po prostu zawisnie on nad wybranym przez siebie obiektem i z wolna przeniesie go na swój pokład poprzez odpowiednie sterowanie przyciągającymi oddziaływaniami swoich pędników. Oczywiście wystąpią również różne sytuacje kiedy włączenie odpychających oddziaływań okaże się użyteczne. Dla przykładu podczas lotów tych wehikułów w przestrzeni kosmicznej włączane będzie takie odpychanie. W ten sposób wszystkie niebezpieczne obiekty, takie jak meteoryty (we większości przypadków zawierające żelazo), pył kosmiczny, pociski czy satelity, zostaną odepchnięte i odrzucone z drogi owych wehikułów. Także gdy wehikuł taki przelatywał będzie ponad nieznaną czy wrogą sobie planetą, jakiej mieszkańcy będą znani ze strzelania i wysyłania pocisków do wszystkiego czego nie potrafią rozpoznać, wtedy dla własnego bezpieczeństwa załoga takich wehikułów magnetycznych włączy zapewne właśnie owo pole odpychające. Osłonięci nim będą więc mogli śmiać się z pocisków i raket lokalnych istot, jakie nie potrafią nawet zbliżyć się do ich technicznie wysoko zaawansowanego wehikułu.

Opisana powyżej możliwość użycia odpowiednio nasterowanych komór oscylacyjnych do formowania "pola podnoszącego" zdolnego do pochwytywania, wynoszenia, oraz manipulowania (np. obracania) wybranych przedmiotów metalowych, z czasem prowadziła będzie do budowania wyspecjalizowanych "urządzeń zdalnego oddziaływania". Urządzenia te przejmą funkcję współczesnych wind, dźwigów i podajników w przenoszeniu wybranych obiektów metalowych przykładowo ze ziemi na pokłady wehikułów typu magnokraft, czy załadowywania części i narzędzi przykładowo ze skrzynek do uchyłków maszyn obróbkowych. W przypadku magnokraftów i komór oscylacyjnych pierwszej generacji zasada działania tych urządzeń oparta będzie na opisanej tu zdolności produkowanego przez nie "pola podnoszącego" do formowania wybranego rodzaju

oddziaływania siłowego, zmieniającego się płynnie od odpychania, poprzez działanie neutralne, do przyciągania. Jednakże dla magnokraftów i komór oscylacyjnych drugiej generacji urządzenia te wykorzystywać będą oddziaływania telekinetyczne (po szczegóły patrz opis "promienia podnoszącego" z podrozdziału G1) zaś w magnokraftach i komorach oscylacyjnych trzeciej generacji oparte one będą na zdalnym manipulowaniu upływem czasu.

C6.4. Wielowymiarowa transformacja energii

Energia zawarta w komorze oscylacyjnej współistnieje aż w trzech różnych formach, t.j. jako: (1) pole elektryczne, (2) pole magnetyczne, oraz (3) ciepło (t.j. ciepły gaz dielektryczny wypełniający wnętrze tej komory). Owe trzy formy energii znajdują się w stanie nieustannej transformacji pomiędzy sobą. Ponadto komora jest też w stanie (4) wytwarzać i pochłaniać światło, a także (5) wytwarzać lub konsumować ruch (t.j. energię mechaniczną). W końcu komora może też (6) gromadzić i przechowywać ogromne ilości energii przez dowolnie długie okresy czasu (t.j. działać jako akumulator energii). Taka sytuacja stwarza unikalną możliwość wykorzystywania komory oscylacyjnej na wiele różnych sposobów (nie zaś tylko jako źródła pola magnetycznego), kiedy to jedna z tych form energii jest do niej dostarczana, zaś inna pozyskiwana, zaś okres czasu upływającego pomiędzy tym dostarczeniem i pobraniem może być dowolnie długi. Następujące formy energii mogą zostać albo dostarczone do, albo też pozyskane z, komory oscylacyjnej: (a) elektryczność przekazywana w formie prądu zmiennego, (b) ciepło zakumulowane w gorącym gazie, (c) energia magnetyczna transformowana za pośrednictwem pulsującego pola magnetycznego, (d) energia mechaniczna przekazywana w formie ruchu komory względem innej komory lub ruchu komory względem pola magnetycznego otoczenia, oraz (e) światło które może zarówno zostać pochłonięte przez strumień krążący komory (patrz opis "czarnej dziury" z podrozdziału D3) lub wytworzone po zamienieniu komory w rodzaj żarówki jarzeniowej. Zależnie więc od tego która z owych form energii zostanie dostarczona do komory, a która z niej pozyskana, komora oscylacyjna może wypełniać funkcję prawie każdego dotychczas zbudowanego na Ziemi urządzenia do produkowania i/lub transformowania energii. Dla przykładu może ona działać jako: transformator elektryczności, generator elektryczności, silnik elektryczny, silnik spalinowy, ogniwo termiczne, grzejnik, ogniwo fotoelektryczne, reflektor z własną żarówką i baterią wystarczającą na tysiące lat działania, itp. Tablica C1 zestawia tylko kilka przykładów najużyteczniejszych zastosowań komory oscylacyjnej, wykorzystujących jej zdolność do wielowymiarowej transformacji energii.

C6.5. Nienawrotne oscylacje - unikalny atrybut komory umożliwiający akumulowanie przez nią nieograniczonych ilości energii

Wróćmy teraz do przykładu huśtawki ilustrującej działanie komory oscylacyjnej. Rozważmy co się z nią stanie w przypadku zwiększania dostarczanej do niej energii kinetycznej. W początkowej fazie, każde dodanie huśtawce energii proporcjonalnie zwiększy amplitudę jej oscylacji. W miarę więc jak nasza dostawa energii się zwiększa, jej ramię będzie wlatywało coraz to wyżej i wyżej, proporcjonalnie do aktualnie posiadanej przez nią energii. W określonym momencie jednak, bezustanne zwiększanie energii huśtawki spowoduje oparcie się jej ramienia o poziomą belkę do której huśtawka ta została zamocowana, a jaka ogranicza jej wychyły. Dalsze zwiększenie energii spowoduje katastrofę: ramię huśtawki uderzy w ową poziomą belkę i jedno z nich (t.j. albo belka albo też ramię) musi zostać zniszczone.

Powyższe ograniczenie konstrukcyjne huśtawki na ilość energii kinetycznej jaką może ona zaabsorbować znalazło już techniczne rozwiązanie. Ktoś bowiem wpadł na pomysł aby zbudować huśtawkę jaka nie posiada poziomej belki. Zamiast tej belki jej ramię

zamontowane jest w specjalnej obrotowej osi która umożliwia huśtawce wykonanie pełnych obrotów bez żadnej katastrofy. Jeśli więc zamiast zwykłej, użyjemy huśtawki o takiej specjalnej konstrukcji, wtedy dalsze dodawanie energii kinetycznej ponad energię jaka poprzednio zniszczyła zwykłą huśtawkę, spowoduje wystąpienie zjawiska które możemy nazwać "nienawrotne oscylacje" (po angielsku "perpetual oscillations"). W huśtawkach o nienawrotnych oscylacjach ich siedzenie zamiast wychylać się do przodu i tyłu, zaczyna zataczać pełne kręgi. Dalsze więc zwiększanie ich energii nie powoduje żadnej katastrofy, a jedynie zwiększa szybkość ich ruchu obiegowego. Oczywiście transformacje energii w takich nienawrotnych oscylacjach ciągle istnieją, jednakże wszystkie występujące w nich zjawiska podlegają już odmiennym prawom niż prawa obowiązujące dla zwyczajnych oscylacji. Najważniejszym atrybutem systemów umożliwiających takie nienawrotne oscylacje jest, iż są one w stanie pochłoniąć więcej energii niż wynosi ich pojemność na energię potencjalną.

Jeśli przeanalizujemy konwencjonalny obwód oscylacyjny z iskrownikiem (Henry'ego), wtedy zauważymy iż jest on podobny do zwyczajnej huśtawki z poziomą belką ograniczającą. Gdy bowiem zaczniemy dodawać do niego energii, wtedy nadejdzie taki moment iż jego kondensator ulegnie przebiciu powodując zniszczenie całego obwodu. Jednakże komora oscylacyjna jest właśnie odpowiednikiem usprawnionej huśtawki - bez owej poprzecznej belki ograniczającej. Umożliwia ona więc uzyskanie nienawrotnych oscylacji. Jeśli w komorze dodamy dalszej energii do energii już zawartej w jej pęku iskier (przeskakujących powiedzmy z elektrody PR do PL) wtedy pęk ten nie zaprzestanie przeskoku w chwili gdy przeciwstawna elektroda osiągnie swój potencjał wyładowania "U". Inercja pęku będzie bowiem nadal "pompowała" elektrony z elektrody PR do PL, aż cała zawarta w komorze energia przetransformuje się z pola magnetycznego na pole elektryczne. Jednakże w chwili osiągnięcia potencjału "U" przeciwstawna elektroda rozpocznie wyładowanie w odwrotnym kierunku t.j. od PL do PR, bez oglądania się iż wyładowanie w danym kierunku jeszcze nie zostało zakończone. W ten sposób, jeśli energia komory wejdzie w zakres nienawrotnych oscylacji, w komorze wystąpią przedziały czasu gdy dwa pęki iskier przeskakujące w przeciwstawnych kierunkach zaistnieją równocześnie na tej samej parze elektrod. Pierwszy z tych pęków, nazwijmy go inercyjnym, będzie przeskakował z elektrody PR do PL, podczas gdy drugi z nich, nazwijmy go aktywnym, będzie przeskakował z elektrody PL do PR. Taki więc równoczesny przeskoc iskier pomiędzy tymi samymi elektrodami w obu kierunkach naraz będzie więc elektromagnetycznym odpowiednikiem dla oscylacji nienawrotnych z omówionych wcześniej huśtawek. Należy tu podkreślić, iż wystąpienie tego unikalnego zjawiska jest tylko możliwe jeśli realizujące go urządzenie potrafi spełnić kilka rygorystycznych warunków konstrukcyjnych, stąd też komora oscylacyjna prawdopodobnie będzie naszym pierwszym i jedynym drgającym obwodem elektrycznym zdolnym do jego wytworzenia.

W tym miejscu możemy sformułować ogólną definicję stwierdzającą, że "nienawrotne oscylacje mogą być realizowane jedynie w takich systemach oscylujących jakich zdolność do zaabsorbowania energii kinetycznej przekracza ich pojemność na energię potencjalną". Taka zdolność jest więc atrybutem czysto konstrukcyjnym. Jest ona uwarunkowana przez określone parametry konstrukcyjne urządzenia oraz przez jego strukturę. W przypadku komory oscylacyjnej będzie ona uwarunkowana liczbą iskier jakie dane urządzenie jest w stanie wytworzyć. Z kolei ta liczba zależy od ilości segmentów "p" wydzielonych w każdej elektrodzie. Wyznamy więc teraz minimalną wartość dla "p" wymaganą do zaistnienia w komorze zjawiska nienawrotnych oscylacji.

Jak pamiętamy warunkim tych oscylacji jest, że energia kinetyczna zawarta w polu magnetycznym musi być większa od energii potencjalnej zawartej w polu elektrycznym. Znając równania wyprowadzone dla obwodów oscylacyjnych na ilość ich energii zawartej w obu tych formach, powyższe możemy więc wyrazić w postaci następującej relacji:

$$(\frac{1}{2})L*(U^2/R^2) > (\frac{1}{2})C*U^2$$

Jeśli przekształcimy powyższą relację i zastąpimy otrzymaną w ten sposób kombinację zmiennych przez wartości wyciągnięte z równania (C4), wtedy otrzymamy:

$$p > 2s \quad (C10)$$

Warunek (C10) wyraża liczbę segmentów "p" konieczną do wydzielenia w elektrodach komory oscylacyjnej dla zaistnienia w tym urządzeniu zjawiska nienawrotnych oscylacji.

Jeśli więc potrafimy zbudować i użytkować komorę oscylacyjną w ten sposób, że powyższy warunek zawsze będzie wypełniony, wtedy pojemność tego urządzenia nie będzie wprowadzała żadnego ograniczenia na ilość pochłanianej przez nie energii. Z kolei ta właściwość, w połączeniu z niezależnością komory od ciągłości i efektywności dostawy energii, umożliwi zwiększanie ilości energii zawartej w komorze oscylacyjnej do teoretycznie nieograniczonych wartości.

C6.6. Funkcjonowanie jako pojemny akumulator energii

Zjawisko nienawrotnych oscylacji opisane w poprzednim podrozdziale umożliwia nadanie każdej komorze zdolności do zaabsorbowania teoretycznie nieograniczonych ilości energii. Z kolei ten atrybut, połączony ze zdolnością kapsuły dwukomorowej do całkowitego wygaszenia pola odprowadzanego przez nią do otoczenia (t.j. do zamienienia całej swej energii w strumień krążący - patrz podrozdział C6.1), pozwala kapsule dwukomorowej przekształcić się w ogromnie pojemny akumulator. Obliczenia wykonane przez autora dla magnokraftu mogą być przydatne dla zilustrowania poziomu pojemności jaki urządzenie to może zapewnić. I tak kapsuła dwukomorowa o objętości około jednego metra sześciennego, nie będzie wykazywała większych trudności w zakumulowaniu 1.5 TWh (t.j. Tera-Wato-godziny) energii. Jest to więc odpowiednik dla dwumiesięcznej konsumpcji wszystkich form energii (włączając w to elektryczność, benzynę, gaz ziemny i węgiel) dla całej Nowej Zelandii. Gdyby zaś eksplodować taką jednometrową kapsułę z jej 1.5 TWh zawartością, wtedy wywołane przez jej wybuch zniszczenie byłoby odpowiednikiem eksplozji około jednego miliona ton TNT.

Pole magnetyczne już obecnie doceniane jest jako doskonały czynnik umożliwiający akumulowanie ogromnych ilości energii. Poprzez użycie przewodników nadprzewodzących, nawet współczesne induktry są w stanie przechowywać ogromne ilości energii przez znaczne okresy czasu. Obecnie istnieje sporo projektów badawczych sprawdzających taką możliwość (np. National University in Canberra, Australia, The University of Texas at Austin, USA). Jednym z bardzo poważnie rozpatrywanych zastosowań komercyjnych było zbudowanie ciężkiego elektromagnesu nadprzewodzącego (cryogenicznego) koło Paryża. Jego zadaniem miało być akumulowanie energii elektrycznej w nocy i późniejsze uwalnianie jej w godzinach szczytu.

Zdolność komory oscylacyjnej do akumulowania ogromnych ilości energii całkowicie rozwiązuje problem jej zaopatrzenia w energię podczas działania. Dla większości bowiem zastosowań wystarczy jeśli zostanie ona w pełni naładowana w chwili wyprodukowania, aby potem służyć bez zasilania aż jej energia jest całkowicie zużyta. Ilości energii jakie daje się zakumulować w tych urządzeniach, zezwalają na ich ciągłe użytkowanie przez setki lat bez żadnej potrzeby dalszego doładowania.

C6.7. Prostota produkcji

Komora oscylacyjna prawdopodobnie będzie stanowiła jedno z najbardziej doskonałych urządzeń jakie ludzka technologia kiedykolwiek wytworzy. Jednakże jego doskonałość wyrażać się będzie głównie w ilości wiedzy wymaganej dla jej prawidłowego zaprojektowania, a także w ilości badań koniecznych dla właściwego ukształtowania jej działania. Kiedy jednak technologia jej wytwarzania zostanie raz rozpracowana, urządzenie

to nie będzie wcale trudne do produkcji seryjnej. Z produkcyjnego punktu widzenia składało się ono będzie bowiem z sześciu prostych ścian, które jedynie będą musiały zostać precyzyjnie zwymiarowane, wykonane i zmontowane. Komora nie posiada przecież części ruchomych, skomplikowanych kształtów, czy złożonych obwodów. Praktycznie więc jeśli wiedza o jej konstrukcji byłaby dostępna, powinniśmy być w stanie wyprodukować ją nie tylko w dzisiejszych czasach, ale nawet tysiące lat temu mając do dyspozycji jedynie ówczesne narzędzia, materiały i technologię naszych przodków.

C7. Postępy w praktycznym wykonaniu komory oscylacyjnej

Autor wynalazł komorę oscylacyjną w pierwszych godzinach trzeciego stycznia 1984 roku. Wkrótce potem jej opisy zostały rozpowszechnione we wielu publikacjach napisanych w trzech językach (angielskim, polskim i niemieckim) i dostępnych w czterech różnych krajach, t.j. Nowej Zelandii, Polsce, USA i Niemczech Zachodnich - patrz podrozdział C9. Łatwość dostępu do opisów tego urządzenia spowodowała spore w nim zainteresowanie. Cały szereg indywidualnych amatorów i małych przedsiębiorstw rozpoczęło prace rozwojowe nad zbudowaniem pierwszego prototypu komory oscylacyjnej. Oczywiście jak to zwykle bywa z nowymi ideami, lista zainteresowanych stron nie zawierała nawet jednego reprezentanta instytucji jakie powinny czuć się odpowiedzialne za postęp w urządzeniach do wytwarzania pola magnetycznego, t.j. jakiegokolwiek laboratorium naukowego pracującego nad polami magnetycznymi (na przekór zachęć i literatury dostarczonej przez autora do sporej liczby takich instytucji). Większość amatorów zainteresowanych w budowie komory oscylacyjnej pochodziło z Niemiec Zachodnich, Szwajcarii, Austrii i Polski.

Jak to daje się przewidzieć z opisu komory oscylacyjnej, zbudowanie prototypu tego urządzenia stanowi trudne zadanie. Dlatego też, jeden po drugim, większość początkowych budowniczych pomatu dała za wygraną i wycofała się z projektu. Wśród tych których nie zraziły istniejące trudności i kontynuowali badania, był także polski hobbysta, Ryszard Zudzin (ul. Karpacka 56 m. 75, 85-164 Bydgoszcz). W maju 1987 roku przesłał on autorowi zdjęcie swego modelu komory oscylacyjnej, jakie uchwyciło pęk iskier elektrycznych w ruchu rotującym. Fotografia tego modelu pokazana została na rysunku C9. Oceniając obecnie z perspektywy czasu wkład poszczególnych budowniczych komory, dorobek Zuzdina zdecydowanie przewyższył osiągnięcia wszystkich innych eksperymentatorów i przetał drogę do podjęcia bardziej zaawansowanych projektów realizacyjnych. Gdyby więc kiedyś ktoś sporządzał historyczną listę osób szczególnie zasłużonych dla rozwoju komory oscylacyjnej, nazwisko Ryszarda Zuzdina zasługuje na umieszczenie na jej honorowym miejscu.

Problem który już na samym początku zniechęcił większość początkowych budowniczych komory zilustrowany został na rysunku C10 (a). Podążając bowiem za dostępnymi dla nich opisami komory, w pierwszych jej modelach budowanych przez siebie starali się zastosować płyto-kształtne elektrody, jak to pokazano na rysunku C1 (b). Jednakże gdy takie elektrody zostają użyte, iskry zamiast przeskakiwać grzecznie jak to się od nich spodziewa wzdłuż drogi na rysunku C10 (a) oznaczonej jako S', raczej wolą podążać wzdłuż linii najmniejszego oporu i przeskakiwać wzdłuż drogi oznaczonej tam jako S". Różni badacze starali się rozwiązać ten problem na kilka odmiennych sposobów, zaczynając od umieszczania tych elektrod wewnątrz cel izolacyjnych w kształcie plastra pszczelego, a kończąc na pokrywaniu elektrod warstewką izolacyjną. Dopiero Zuzdin znalazł właściwe rozwiązanie. Poprzez podążanie za wskazówkami autora w niniejszej monografii zaprezentowanymi w rozdziale I5, rozpoczął on studiowanie opisów Arki Przymierza. Wnioskiem końcowym do jakiego doszedł po tych studiach było, iż Arka nie zawierała w swym wnętrzu żadnych płyto-kształtnych elektrod. Jedynie czubki gwoździ były wbite poprzez jej drewniane ścianki i wystawały po ich wewnętrznej stronie. Stąd zdecydował on rozpocząć eksperymenty z igłowymi elektrodami. I to rozwiązanie okazało się działać w praktyce. Takie igły odpychają iskry przeskakujące w ich pobliżu, stąd iskry te nie są w stanie skrócić swojej drogi poprzez wnikanie do materiału elektrod. W ten sposób,

prototyp komory oscylacyjnej jaki wykorzystywał igłowe elektrody zamiast płytek - jak to pokazano na rysunku C10 (b), był pierwszą realizacją zasady komory jaka eksperymentalnie wytworzyła uporządkowane pęki iskier. Prototyp ten dostarczył więc eksperymentalnego potwierdzenia, iż zasada działania komory oscylacyjnej jest możliwa do technicznego zrealizowania w formie działającego urządzenia, konkludując w ten sposób etap zerowy rozwoju komory (patrz podrozdział C7.2).

C7.1. Eksperymentalne urządzenia

Doświadczenia jakie Ryszard Zudzin oraz inni badacze komory oscylacyjnej zgromadzili podczas swoich eksperymentów, przecierają drogę dla bardziej zaawansowanych badań nad rozwojem tego urządzenia. Dla przykładu ich prace określiły składniki stanowiska badawczego jakie powinno zostać zestawione razem w celu dokonywania eksperymentów nad komorą oscylacyjną. Takie stanowisko musi obejmować conajmniej cztery następujące urządzenia: (1) samą badaną komorę, (2) źródło mocy elektrycznej, (3) magnesy trwałe lub elektromagnes używane do odchyłania drogi iskier w kierunku ścianek komory, oraz (4) urządzenia pomiarowe. Najważniejsze szczegóły każdego z tych elementów podsumowano poniżej.

Ad.(1) Komora. Dotychczas przeprowadzone eksperymenty wykazują, iż najoptymalniejszy kształt komory to całkowicie zamknięty sześciąt. Dobór wielkości komory jest zadaniem dosyć trudnym i odpowiedzialnym, ponieważ z jednej strony im jest ona większa tym wykonalniejsza technicznie i łatwiej zaobserwować zachodzące w niej procesy, z drugiej jednak strony większe komory wymagają nieproporcjonalnie większych napięć zasilających, więcej elektrod, drogiego materiału, robocizny, itp. Stąd praktycznie jej wielkość nie powinna przekraczać sześciąt o długości boku około 100 mm, zaś prawdopodobnie najbardziej optymalna jest komora o długości boku jedynie około 30 mm. Według dotychczasowego rozeznania w pierwszej fazie eksperymentów najlepszym materiałem na sześć ścianek komory jest pleksiglas (szkło organiczne), ponieważ umożliwia on łatwą obróbkę mechaniczną. W bardziej zaawansowanych modelach konieczne jest jednak użycie wytrzymalszych materiałów, np. szkła kwarcowego. Gaz dielektryczny używany w prototypach budowanych dotychczas stanowi zwykłe powietrze pod ciśnieniem otoczenia (rodzaj gazu wypełniającego komorę nabierze istotnego znaczenia na bardziej zaawansowanym etapie badań, t.j. podczas dostrajania już działającej komory - patrz etap numer 4 z następnego podrozdziału).

Najbardziej istotnym elementem komory oscylacyjnej są jej elektrody. Muszą one być wykonane z jakiegoś materiału neutralnego magnetycznie, sztywnego, wytrzymałego, oraz odpornego na działanie iskier i ozonu. Powinny one być igło-kształtne - jak to już wyjaśniono poprzednio. Im są one cieńsze tym lepiej, jako iż grubsze igły sprzyjają powstawaniu w nich prądów wirowych. Elektrody te powinny być upakowane tak gęsto jak to tylko możliwe bez ich wzajemnego kontaktowania się ze sobą. Od gęstości ich rozłożenia zależy wszakże większość cech, parametrów pracy i niepożądanych zjawisk komory, takich przykładowo jak indukcyjność snopu iskier, pojemność komory, wielkość prądów Halla, oraz wiele innych. Wzajemne rozmieszczenie igieł jest też niezwykle istotne - wszystkie one powinny być w tych samych odległościach od siebie. Dla wypełnienia tego warunku należy je więc ustawiać w układzie heksagonalnym, t.j. takim w którym każda elektroda znajduje się w centrum sześcioboku równoramiennej, jakiego narożniki tworzone są przez elektrody sąsiednie. Najważniejszą częścią elektrod są ich czubki emitujące iskry. Od kształtu i własności tych czubków zależy powodzenie pierwszych etapów badań eksperymentalnych. Czubki te powinny być zaokrąglone w prawie idealne półkule, jako iż ostre zakończenia powodowałyby prądy ulotowe uniemożliwiające powstanie iskier, zaś płaskie zatępienia wywoływałyby powstawanie niepożądanych zjawisk krawędziowych. Osadzenie igieł w ściankach komory powinno być tak zaprojektowane aby w początkowej fazie eksperymentów umożliwiało łatwą ich wymianę lub regulację wysokości, długości, kształtu, itp.

Ad.(2) Źródło zasilania w energię. W pierwszych dwóch etapach budowy komory powinna ona być zasilana prądem zdolnym wytworzyć iskrę conajmniej o długości równej szerokości samej komory. Z korespondencji Zudzina wynika że takim źródłem energii elektrycznej używanym w jego eksperymentach był wysokonapięciowy generator impulsów prądu stałego, podobny do tego wykorzystywanego w elektronicznym zapłonie samochodów. Produkuje on impulsy prądu stałego, jakich zmiana w czasie w przybliżeniu posiada przebieg prostokątny. Napięcie jego impulsów wynosiło około 300 kV. Należy tu jednak podkreślić, iż po przekroczeniu poza drugi etap budowy komory (jak to zostało opisane w następnym podrozdziale), sposób jej zasilania w energię ulegnie drastycznej zmianie. To z kolei przewartościuje wymagania stawiane zasilaczowi komory. Przykładowo zamiast wysokości wytwarzanego przez niego napięcia oraz kształtu jego impulsów odgrywać w nim rolę zacznie dokładność zesynchronizowania pulsów jego energii z częstością własną komory.

Powinno w tym miejscu zostać dodane, że dobranie lub zbudowanie efektywnego urządzenia do zasilania komory prądem w pierwszych dwóch etapach jej rozwoju może stanowić dosyć trudny i kosztowny problem stanowiska badawczego. Z korespondencji Zudzina z autorem wynika, iż zanim zbudował on dobrze działający generator impulsów prądu stałego wspomniany powyżej, poprzednio budował on aż cztery różne zasilacze prądu zmiennego, włączając w to cewkę Tesli, oraz różne wysokonapięciowe generatory prądu zmiennego. Jednakże każde z tych czterech urządzeń okazało się nieprzydatne do eksperymentów nad komorą. Dla przykładu iskry wytwarzane przez cewkę Tesli wykazały tendencję do przeskakiwania w niekontrolowanych kierunkach i opierały się próbom wprowadzenia do nich porządku, z drugiej zaś strony iskry z wysokonapięciowych generatorów prądu zmiennego utrzymywały swoje kanały jonowe otwarte długo po zaniknięciu iskry, tak że napięcie na elektrodach nie było w stanie już się odbudować.

Autor wszakże uważa, że przy odpowiednim zaprojektowaniu i właściwym poprowadzeniu programu rozwojowego komory (np. tak jak to zostało uczynione w podrozdziale C7.2) do zasilania komory w pierwszych dwóch etapach jej rozwoju całkowicie powinna wystarczyć zwykła maszyna Wimshurst'a, maszyna Van de Graaff'a, lub nawet połączenie samochodowej cewki zapłonowej (albo induktora wysokonapięciowego) z akumulatorkiem lub baterią. Wszakże gdy w 1845 roku Henry dokonywał eksperymentów nad swoim obwodem oscylacyjnym, jedynym znanym sposobem elektryzowania przedmiotów było ich ręczne pocieranie (maszyna elektrostatyczna Wimshursta została wynaleziona dopiero w 1878 roku) - nie powstrzymało go to jednak przed skompletowaniem rewolucyjnego wynalazku. Oczywiście użycie bardziej złożonych generatorów wysokiego napięcia zwiększy komfort badań. Niemniej nie przybliży ono do osiągnięcia celu, który przecież polega na wypracowaniu efektywnie działających rozwiązań dla samej komory, nie zaś dla jej źródła zasilania.

Ad.(3) Elektromagnes (lub układ magnesów stałych) stosowany dla odchylenia iskiek. Podczas eksperymentów komora powinna być ustawiana pomiędzy biegunami N i S silnego pola magnetycznego. Pole to przebiegać powinno wzdłuż jej pionowej osi "m", przypierając iskry w kierunku powierzchni ścian bocznych. Owo przypieranie wymusi rotowanie iskiek w kierunku zgodnym (lub przeciwnym) do ruchu wskazówek zegara. Bez owego początkowego pola magnetycznego przyłożonego wzdłuż osi "m", iskry nie będą rotowały w uporządkowany sposób naokoło ścianek komory, a raczej przeskakiwały chaotycznie we wszystkich możliwych kierunkach. W chwili gdy efektywność działania komory odpowiednio się zwiększy (patrz koniec etapu 3 w następnym podrozdziale), owa odchyłająca funkcja pola zewnętrznego przejęta zostanie przez pole własne wytwarzane przez daną komorę. Dla wytworzenia wymaganego pola zewnętrznego najkorzystniejszym rozwiązaniem byłby silny elektromagnes prądu stałego. Prawdopodobnie jednak możliwe też by było użycie w tym celu obwodu magnetycznego uzyskanego przez nałożenie kilku magnesów stałych na odpowiednio zakrzywiony rdzeń ferromagnetyczny którego oba zaostrome końce nacelowane byłoby na oś magnetyczną komory.

Ad.(4) Urządzenia pomiarowe. Iskry przeskakujące przez komorę oscylacyjną są bardzo szybkim zjawiskiem jakie jest prawie niemożliwe do dokładnego zaobserwowania

gołym okiem i całkowicie opiera się tradycyjnym metodom pomiarowym (począwszy od etapu 3 programu rozwojowego pomiary te nabierają istotnego znaczenia). Z tego powodu stanowisko badawcze powinno obejmować przyrządy pomiarowe dostosowane do obserwacji szybkich przebiegów, dla przykładu oscyloskop, wbudowany aparat lub kamera z wyzwaniem elektrycznym, megnetometry, itp.

Na zakończenie opisów poszczególnych urządzeń, warto przypomnieć generalną zasadę działalności wynalazczej "prostota jest kluczem do sukcesu". Odnosi się to nie tylko do urządzeń ale także i do sposobu wprowadzania kolejnych usprawnień do komory jaki powinien podlegać regule "rozkładaj wielkie zadania na szereg małych kroczków" (wszakże drogi nawet największych podróżników składały się z wielu pojedynczych kroków). Najoptymalniejsze kompletowanie komory powinno więc nieco przypominać budowę dużego domu z małych cegiełek, którą zawsze zaczyna się od położenia fundamentów, zaś potem prowadzi się systematycznie układając każdą kolejną warstwę znaleźsk na wartwie poprzedniej. Patrząc teraz wstecz na dotychczasowy przebieg prac nad rozwojem komory, wszystkich jej początkowych budowniczych wyłożyła właśnie kompleksowość stosowanych przez nich rozwiązań technicznych oraz tendencja do przeskakiwania przez nieistotne ich zdaniem eksperymenty początkowe (np. od razu do etapu 2 "b" lub nawet 3 "b").

C7.2. Etapy, cele i metodyka budowy komory oscylacyjnej

Ponieważ żadne systematyczne badania nad komorą oscylacyjną nie były dotychczas dokonywane, zasadnicza trudność w skompletowaniu tej kryształowej kostki wynika z faktu, iż niemal wszystkie jej szczegóły muszą dopiero zostać odkryte i rozpracowane. Konsekwencją tego jest, że rozwój komory powinien być stopniowy, oraz dokonywany według starannie zaprojektowanego programu (planu). Podstawowym ogniwem tego planu jest etap służący rozpracowaniu określonego, ale zawsze tylko jednego, problemu. Z kolei każdy etap daje się rozłożyć na kilka kroków, z których pierwsze zwykle służą modelowemu (t.j. dokonywanemu na najprostrzym możliwym symulatorze/modelu danego problemu) znalezieniu poszukiwanego rozwiązania, kolejne zaś wypróbowaniu i wdrożeniu tego rozwiązania na rozpracowywanej komorze. W końcu każdy krok, zależnie od użytego sprzętu, napotkanych problemów, oraz uzyskanych wyników, powinien być rozkładany na kilka faz o pojedynczych, jasno zdefiniowanych celach i sposobach ich osiągnięcia.

Po przeanalizowaniu wzajemnych współzależności pomiędzy kolejnymi atrybutami komory oscylacyjnej, jej rozwój daje się rozłożyć na osiem prostych etapów rozwojowych, plus zerowy etap sprawdzający. W przypadku takiego rozłożenia, celem każdego kolejnego etapu rozwojowego jest nadanie wynikowej komorze tylko jednej nowej własności użytkowej. Stąd osiągnięcie celu każdego etapu może być dokonane prostymi środkami i z użyciem przejrzystej metodologii badawczej. Owe etapy optymalnego programu budowy komory są jak następuje:

0. Potwierdzenie poprawności zasady działania komory. Etap ten nie służy budowie komory, a raczej upewnieniu jej budowniczego oraz osób od których zależy finansowanie lub poparcie jego działań, iż inwestują oni we właściwe urządzenie. Jego celem głównym jest wykazanie iż generalna zasada działania komory oscylacyjnej nie stoi w sprzeczności z żadnym z praw elektromagnetyzmu i daje się zrealizować na drodze technicznej. Osiągnięcia tego celu można dokonać na wiele sposobów. Przy obecnym stanie rozwoju komory prawdopodobnie najbardziej racjonalny z nich to podjęcie programu realizacyjnego (t.j. etapów 1 do 3) oraz następnie dodatkowe wykorzystanie dla badań potwierdzających wszelkich zbudowanych w ramach tego programu urządzeń lub modeli komory jakie wytwarzają uporządkowane oscylacje snopów iskier. Cele cząstkowe w takim wypadku obejmowałyby potwierdzenie że owe snopy iskier: (a) odchylają się zawsze ku tej samej ściance komory (t.j. w obecności pola w komorze wykazują one naturalną skłonność do formowania obiegów rotujących wzdłuż jej ścianek), (b) wytwarzają własny strumień magnetyczny podczas takich przeskoków, jaki dodaje się (nie zaś odejmuje!) do strumienia

już panującego w komorze, (c) utrzymują się podczas przeskoków jako pęki niezależnych iskier (t.j. poszczególne iskry nie łączą się z sobą przed osiągnięciem przeciwstawnych elektrod), (d) wnoszą sobą dodatkową inercję magnetyczną (induktancję) do wynikowego obwodu. Należy tu zaznaczyć, że prototypy komory oscylacyjnej dotychczas zbudowane przez Zudzina - patrz rysunek C9, aczkolwiek pozbawione one były rygorów, systematyki oraz ścisłości ukierunkowania wymaganych dla formalnych badań naukowych, już osiągnęły cel główny tego etapu. Oczywiście wszelkie dalsze ewentualne eksperymenty poszerzające, potwierdzające, weryfikujące, lub formalizujące cel główny lub cele cząstkowe tego etapu byłyby też jak najmilej widziane (przykładowo szczególnie pożądane byłoby zbudowanie przez kogoś spektakularnego "modelu komory" z rotującymi iskrami, opisanego w kroku "a" etapu 2).

1. Znalezienie podstawowej konfiguracji komory, zdolnej do wytworzenia snopów samo-oscylicujących iskier. Celem głównym tego etapu jest znalezienie takiej konfiguracji elementów komory, jaka wytworzy oscylacyjne wyładowania elektryczne podobne do tych formowanych przez konwencjonalny obwód z iskrownikiem Henry'ego. Aby ułatwić osiągnięcie niniejszego celu głównego, skompletowanie tego etapu należy dokonać na maksymalnie uproszczonym modelu komory jaki składa się tylko z dwóch płytek imitujących ścianki komory, odseparowywanych od siebie płaską przekładką o łatwej do regulowania grubości i utrzymywanych we wzajemnej odległości przez jakieś urządzenie mocujące (np. zwykle imadło ślusarskie). Model ten powinien posiadać tylko jeden obwód oscylacyjny (t.j. tylko dwa zestawy elektrod igłowych osadzonych w owych dwóch płytkach ustawionych naprzeciwko siebie). Dla ułatwienia, osiągnięcie celu etapu powinno następować stopniowo, w następujących krokach:

(a) Zbudowanie obwodu inicjującego badania. Celem tego kroku jest praktyczne zainicjowanie badań umożliwiające eksperymentatorowi zapoznanie się ze zachowaniem i podstawowymi własnościami obwodów oscylacyjnych z iskrownikiem. Jako pierwszy zbudowany powinien być konwencjonalny obwód drgający z iskrownikiem (t.j. obwód Henry'ego z rysunku C1 "a") w którym jednak zamiast pary konwencjonalnych elektrod Henry'ego użyty będzie opisany powyżej uproszczony model komory. W modelu tym wszystkie igły danej ścianki należy zewrzeć ze sobą i podłączyć do jednej gałęzi obwodu (np. do induktora i jednej okładziny kondensatora). Stąd w tym kroku zasilanie prądem nastąpi do wszystkich elektrod komory naraz. Po zbudowaniu, tak należy manipulować poszczególnymi parametrami/elementami tego obwodu aby po naładowaniu zmusić go do wytwarzania pęków iskier oscylujących pomiędzy elektrodami komory przez możliwie najdłuższy okres czasu. Im dłuższy czas oscylacji tych iskier, tym łatwiejszy do zaobserwowania będzie potem przebieg eksperymentów z komorą. Należy tu podkreślić że powodzenie tego kroku m.in. zależeć będzie od kształtu i własności czubków elektrod igłowych. Znalezienie więc tutaj najkorzystniejsze ich uformowanie stanowić będzie wkład tego inicjującego eksperymentu przenoszony do następnych etapów badań.

(b) Znalezienie konfiguracji elektrod samo-rozprzestrzeniających iskry. W poprzednim kroku (a) impulsy energii zasilającej dostarczone zostały do wszystkich elektrod komory naraz. Jednakże zastosowane w tym celu rozwiązanie jest nieprzydatne w dalszych badaniach jako że wymagało ono zwarcia ze sobą elektrod. Prawdłowo zaprojektowana komora musi więc przekazywać energię pomiędzy elektrodami na odmienniej zasadzie. Musi ona mianowicie posiadać zdolność do samo-rozprzestrzeniania energii swoich oscylacji. Zdolność ta powodować będzie iż nawet jeśli impuls zasilający dostarczony zostanie jedynie do dwóch jej elektrod igłowych (t.j. do jednej elektrody na każdej z obu ścianek komory) wskutek wzajemnej indukcji międzyelektrodowej nastąpi rozprzestrzenienie się oscylacji na wszystkie pozostałe elektrody. Niniejszy krok służy nadaniu badanej konfiguracji komory tej właśnie zdolności. Stąd jego celem jest znalezienie takich geometrycznych i konfiguracyjnych parametrów elektrod, jakie spowodują nadanie komorze zdolności do samo-rozprzestrzeniania się iskier. Aby osiągnąć ten cel, w elektrodach modelu komory wypracowanych w efekcie kroku (a) należy teraz dokonywać dalszych modyfikacji geometrycznych i konfiguracyjnych. Kluczem do sukcesu będzie tu czynna długość elektrod (należy pamiętać że długość całkowita elektrod może być

zwiększana nie tylko w obrębie komory, ale także poza komorą - na jej zewnątrz). Przykładowo należy więc zwiększać stosunek wysokości lub całkowitej długości tych elektrod do wielkości przerwy międzyelektrodowej, stosunek długości elektrod do ich wzajemnej odległości od siebie, itp. Po osiągnięciu atrybutu samo-rozprzestrzeniania się iskier, cel tego kroku zostanie osiągnięty. Po skompletowaniu tego kroku, wynikowy optymalny obwód oscylacyjny należy zachować, ponieważ będzie on jeszcze przydatny w dalszych etapach badań (patrz etapy 2 "a" i 3 "a").

(c) Zastąpienie induktora roboczego z konwencjonalnego obwodu Henry'ego przez indukcyjność pęku iskier. Celem tego kroku jest znalezienie parametrów konstrukcyjnych i geometrycznych elektrod, koniecznych dla wytworzenia wymaganej indukcyjności obwodu oscylacyjnego wyłącznie przez snopy iskier przeskakujących w komorze. Osiągnięcie tego celu polega na takim manipulowaniu kształtem i właściwościami elektrod w badanym modelu komory (np. poprzez dodanie nieprzewodzących kulek na ich czubkach), ich długością aktywną, średnicą, liczbą, wzajemnymi odstępami, oraz sposobem rozstawienia, aby uzyskane zostało zamierzone zwiększenie indukcyjności snopów iskier. Docelowa indukcyjność wymagana dla skompletowania tego kroku, musi umożliwiać wynikowemu obwodowi na wytwarzanie samo-oscylujących iskier nawet jeśli induktor zostanie od niego całkowicie odłączony. Po osiągnięciu celu tego kroku, induktor roboczy należy wyeliminować już na stałe z dalszych prototypów komory, zaś używać jedynie właśnie wypracowanej konfiguracji elektrod przy których to iskry, a nie induktor, dostarczały będą obwodowi wymaganej przez niego indukcyjności własnej.

Oczywiście wyeliminowanie induktora roboczego nie oznacza wcale że wynikowy obwód nie powinien zawierać żadnej cewki. Może bowiem się okazać że istnieje konieczność pozostawienia niewielkiej cewki wypełniającej funkcje sterujące (ale nie funkcje robocze - t.j. funkcje dostarczania obwodowi wymaganej indukcyjności) jaka łączyłaby centralne elektrody/igły obu przeciwległych płyt komory (sukces w zrealizowaniu etapu 2 może nawet zależeć od istnienia takich cewek sterujących). To samo stosuje się też do eliminowania kondensatora roboczego w następnym kroku (d).

(d) Zastąpienie kondensatora roboczego z obwodu Henry'ego przez pojemność własną komory. Celem tego kroku jest wymagane powiększenie pojemności komory poprzez zmianę jej parametrów konfiguracyjnych. W celu skompletowania tego kroku, model komory uzyskany w efekcie kroku (c) należy teraz tak przekształcić poprzez manipulowanie jego parametrami posiadającymi wpływ na pojemność własną, aby po wyeliminowaniu z obwodu także zewnętrznego kondensatora ciągle wytwarzał on samo-oscylujące pęki iskier. Przykładowe wielkości jakie należy zmieniać aby osiągnąć ten cel to: stosunek przerwy międzyelektrodowej (t.j. odległości pomiędzy czubkami elektrod obu przeciwległych ścianek) do odległości poszczególnych elektrod od siebie, stosunek wysokości elektrod do ich wzajemnej odległości, stosunek odsłoniętych do zaizolowanych części elektrod, całkowita liczba elektrod, kształt elektrod, itp. Po dobraniu parametrów jakie umożliwią wytworzenie samo-oscylujących snopów iskier już po odłączeniu zewnętrznego kondensatora, podstawowa konfiguracja komory oscylacyjnej będzie znaleziona. Konfiguracja ta po naładowaniu elektrycznym dwóch jej elektrod będzie wytwarzała snopy oscylujących iskier (t.j. dostarczała "oscylacyjnej odpowiedzi") nie zawierając przy tym ani zewnętrznego induktora roboczego ani też zewnętrznego kondensatora roboczego.

2. Samo-regulacja przesunięcia fazowego pomiędzy dwoma pękami iskier. Kolejnym etapem budowy komory powinno być złożenie razem dwóch końcowych obwodów komory uzyskanych w efekcie zrealizowania etapu 1. Niestety, po złożeniu obwody te - zamiast przeskoków uporządkowanych z wymaganym przesunięciem fazowym wynoszącym 90° , będą raczej wykazywały tendencję do nieskoordynowanych przeskoków iskier. Stąd też celem tego etapu jest wypracowanie takiej konfiguracji (kształtu) komory oraz jej elektrycznych sprzężeń wewnętrznych, aby samo-regulowała i samo-utrzymywała ona 90° przesunięcie fazowe pomiędzy oscylacjami zachodzącymi w jej obu obwodach składowych. Droga do osiągnięcia tego celu wiedzie przez wprowadzenie do konstrukcji komory różnorodnych dodatkowych elementów lub zmian, takich jak przykładowo: zaizolowane płyty dołączone do każdej elektrody jakie bezdotykowo zachodzą na elektrody następnych

ścianek formując w ten sposób pomiędzy nimi dodatkową pojemność wymuszającą wymagane przesunięcia fazowe (patrz rysunek 17); wybrania w elektrodach podobne do tych formujących stacjonarne fale w kuchenkach mikrofalowych; cewki podobne do cewek rozruchowych stosowanych w silnikach elektrycznych; itp. Dla ułatwienia, podobnie jak w etapach poprzednich, osiągnięcie celu tego etapu powinno nastąpić w dwóch krokach:

(a) Modelowe wypracowanie efektywnego systemu samo-regulacji 90 przesunięcia fazowego w dwóch niezależnych obwodach oscylujących. Celem tego kroku byłoby znalezienie, przy wykorzystaniu prostych w budowie i działaniu obwodów Henry'ego, owego efektywnego systemu samo-regulującego.

Dla zrealizowania tego celu, dwa konwencjonalne obwody Henry'ego, poprzednio opisane w kroku 1 (b) lub nawet 1 (a) powinny zostać złożone razem w celu uformowania "modelu komory". W modelu tym dwa układy elektrod zamontowanych na bocznych ściankach komory sześcienniej użyte byłyby jako przerwy iskrowe obu konwencjonalnych obwodów Henry'ego. Obwody te oscylowałyby ze wzajemnym przesunięciem fazowym wynoszącym 90. Stąd przy obecności zewnętrznego pola magnetycznego formowałyby one w modelu komory snopy iskier rotujących po obwodzie kwadratu. Prostym systemem jaki byłby w stanie efektywnie utrzymywać wymagane 90 przesunięcie fazowe w oscylacjach obu tych obwodów, najprawdopodobniej dostarczyłby zasady dla właśnie poszukiwanego systemu samo-regulującego, nadającego się do adaptacji we wynikowej konfiguracji komory. Warto tu dodać, iż powyższy "model komory" powinien już wytwarzać niewielkie pole magnetyczne, stąd sam w sobie byłby on sporym osiągnięciem naukowym i wynalazczym, nadającym się do opublikowania i popularyzacji technicznej.

(b) Praktyczne wdrożenie właśnie wypracowanego systemu samo-regulacji wymaganego przesunięcia fazowego. Celem tego kroku byłoby takie adaptowanie systemu wypracowanego w kroku (a) aby działał on równie efektywnie w aktualnej konfiguracji komory. Właściwie adaptowany system powinien dawać pęki iskier jakie przeskakiwałyby z wymaganym przesunięciem fazowym wynoszącym 90 stopni pomiędzy dwoma parami przeciwległych ścian komory, jeśli zasilanie w energię nastąpiłoby tylko do jednego z jej obwodów oscylujących (t.j. drugi z obwodów powinien samoczynnie zaabsorbować wymaganą przez siebie energię z tego pierwszego obwodu).

3. Zmuszenie komory do zaabsorbowania ilości energii jaka wystarczy na wytworzenie użytecznego pola magnetycznego. Celem tego etapu jest znalezienie i zrealizowanie sposobu (techniki) dowolnego zwiększania poziomu energii zawartej w komorze na drodze zasilania jej impulsami magnetycznymi (nie zaś impulsami elektrycznymi jak w etapach poprzednich). Z kolei zwiększenie poziomu tej energii: (a) wprowadzi możliwość nieograniczonego wydłużania czasu trwania wyładowań oscylacyjnych komory, (b) pozwoli na wyeliminowanie zewnętrznego źródła pola magnetycznego jakie przy krótkich impulsach działania komory niezbędne było dla wymuszenia uporządkowanego obiegu iskier, oraz (c) umożliwi komorze wytworzenie własnego pola magnetycznego odprowadzanego z niej do otoczenia. Główna zasada na jakiej opiera się osiągnięcie celu tego etapu polega na odwróceniu kierunku transformacji energii w komorze (t.j. zamiast jak poprzednio tylko transformować prąd zasilania na własne pole magnetyczne, teraz będzie ona transformować pole zasilania na prąd własny, potem zaś prąd własny na własne pole magnetyczne). Droga do zrealizowania celu tego etapu wiedzie przez: (1) znalezienie warunków najefektywniejszego przepływu energii do komory (np. znalezienie punktu w cyklu oscylacji własnych komory jaki najoptymalniej nadaje się dla dostawy impulsu zasilającego, wzajemnego przesunięcia fazowego pomiędzy ciągiem impulsów zasilających i drganiem własnymi komory, najefektywniejszej różnicy amplitud, itp. - patrz podrozdział C6.1), (2) znalezienie sposobu na automatyczne (elektroniczne) wykrywanie wybranego przez nas punktu w cyklu oscylacji własnych komory (t.j. punktu który najoptymalniej nadaje się na dostarczenie komorze impulsu zasilającego), (3) znalezienie techniki zesynchronizowanego wyzwalań dostawy impulsów energii ze zewnętrznego źródła, następującego dokładnie we wybranym przez nas punkcie cyklu oscylacji własnych komory, (4) zbudowanie urządzenia sterującego jakie efektywnie zrealizuje tą technikę u używanego przez nas zestawu komory i jej źródła zasilania. Jeśli

cel tego etapu zostanie osiągnięty, komora będzie w stanie zaabsorbować i przetransformować na pole magnetyczne każdą wymaganą ilość energii. Z kolei energia ta zezwoli komorze na wytwarzanie pola magnetycznego o wymaganym natężeniu oraz na jej nieprzerwaną pracę przez dowolnie długi okres czasu. Co za tym idzie umożliwi ona praktyczne użytkowanie wytwarzanego przez tą komorę pola magnetycznego. Po zrealizowaniu więc tego etapu, prototyp komory zacznie nadawać się do pierwszych zastosowań praktycznych. Najważniejsze kroki realizacyjne są tu jak następuje:

(a) Modelowe wyznaczenie warunków najefektywniejszego przepływu energii do komory. Celem tego kroku byłoby wyznaczenie: (1) wartości różnicy pomiędzy częstotliwością zewnętrznego źródła zasilającego, a częstotliwością własną/rezonansową komory, jaka spowoduje iż komora zaabsorbuje ze zewnętrznego źródła i przechowa wymaganą ilość energii; (2) optymalnego przesunięcia fazowego pomiędzy pulsowaniami obu tych elementów; (3) technicznego sposobu "dostrajania" się jednego z elementów (t.j. komory albo zewnętrznego źródła energii) do wymaganej częstotliwości i przesunięcia fazowego.

Dla ułatwienia, realizację tego kroku należy dokonać na uproszczonym "modelu kapsuły dwukomorowej" lub "modelu transformatora". Model ten uzyskany byłby poprzez magnetyczne sprzęgnięcie ze sobą dwóch konwencjonalnych obwodów drgających. Sprzęgnięcie to nastąpiłoby na drodze magnetycznej za pośrednictwem ich induktorów. Możliwe są przy tym dwa rozwiązania, jakie z uwagi na charakter przyszłego zastosowania oba muszą bazować na induktorach o rdzeniu powietrznym (t.j. cewkach posiadających prześwit przez swoje centrum). W pierwszym rozwiązaniu użyty byłby "model kapsuły dwukomorowej" poprzez wstawienie mniejszego aktywnego induktora powietrznego do wnętrza drugiego pasywnego (podczas praktycznego wdrażania tego modelu cewka zasilająca komorę w energię wstawiana byłaby do wnętrza tej komory). W drugim rozwiązaniu oba induktory w przybliżeniu tej samej wielkości ustawiane byłyby obok siebie jak uzwojenia pierwotne i wtórne zwykłego transformatora (podczas wdrażania tego modelu cewka zasilająca ustawiana byłaby na przedłużeniu osi magnetycznej komory). Po takim magnetycznym sprzęgnięciu, jeden z tych obwodów (aktywny) zasilalby w energię drugi z obwodów (pasywny) jakim mógłby być konwencjonalny obwód Henry'ego opracowany w efekcie kroku 1 (b) lub nawet kroku 1 (a). W ten sposób zdefiniowane mogłyby zostać warunki (przesunięcie fazowe lub różnica częstotliwości pulsowań) przy jakich przepływ energii od obwodu aktywnego do pasywnego jest najefektywniejszy. Zaletą użycia takiego uproszczonego modelu jest że obwodem aktywnym może wtedy zostać praktycznie dowolny obwód umożliwiający regulowanie częstotliwości swych drgań w zakresie obejmującym częstotliwość własną obwodu pasywnego (nie byłoby więc konieczne budowanie obwodu wysokonapięciowego). Można więc w tym celu wykorzystać gotowe obwody oscylacyjne, np. obwody dostrajające ze starych radioodbiorników. Ponadto po zakończeniu badań obwód badawczy i urządzenie aktywne mogą zostać adaptowane niemalże bez zmian technicznych do zasilania w energię opracowywanej właśnie komory oscylacyjnej.

(b) Modelowe wypróbowanie znalezionej konfiguracji. Celem tego etapu byłoby sprawdzenie w działaniu najprostrzego urządzenia jakie zrealizowałoby wyznaczone poprzednio warunki na optymalnego przekazywania energii do komory. Dla jego osiągnięcia, zbudować należy prototypowy system automatycznie przekazujący energię do obwodu pasywnego. Użyta metodyka realizacji byłaby podobna jak w kroku 3 "a", tyle tylko iż zamiast służyć znalezieniu najoptymalniejszych warunków i sposobów dostawy energii, urządzenie to starałoby się uczynić z nich możliwie najlepszy użytek.

(c) Praktyczne wdrożenie na komorze wyznaczonych warunków i urządzenia gwarantujących efektywny przepływ energii od zasilacza magnetycznego do rozpracowywanej komory oscylacyjnej. Aby dokonać takiego wdrożenia aż trzy współpracujące ze sobą urządzenia muszą zostać zestawione w jeden efektywnie kooperujący zestaw. Są to: (1) komora której elementy (np. czujniki, cewki) oraz żywotność umożliwiają uzupełnianie jej zasobów energii na wypracowanej przez nas drodze, (2) zewnętrzne źródło pulsującej energii magnetycznej (zasilacz), jakie będzie współpracowało z tą komorą w sposób wymagany przez daną technikę, zaopatrując ją efektywnie w energię konieczną do jej ciągłej pracy, oraz (3) urządzenie sterujące jakie będzie koordynowało

uzupełnianie zasobów komory przez to zewnętrzne źródło energii, umożliwiając w ten sposób nieprzerwaną pracę całego zestawu.

Należy tu podkreślić że po zakończeniu tego etapu dalsze zasilanie komory w energię odbywać się już będzie za pomocą wypracowanego tutaj systemu generacji impulsów magnetycznych, zaś zasilacz wysokonapięciowy przestanie być potrzebny. W zasilaniu takim komora oscylacyjna będzie teraz pełnić funkcję jakby uzwojenia wtórnego transformatora, jakiego uzwojeniem pierwotnym jest cewka zasilacza wytwarzająca odpowiednio zesynchronizowane impulsy pola.

4. Sterowanie okresem pulsowań komory. Celem tego etapu jest poznanie sposobu w jaki można sterować okresem pulsowań (częstością) pola komory poprzez odpowiednie dobieranie ciśnienia i kompozycji panującego w niej gazu dielektrycznego. Aby osiągnąć ten cel, musi zostać zbudowane urządzenie sterujące jakie, po dodaniu go do głównej konstrukcji komory, będzie efektywnie sterowało pulsowaniem jej pola.

5. Wyzwolenie zjawisk jakich zadaniem jest odzyskanie ciepła rozpraszanego przez iskry (w ten sposób wyeliminowanie strat energii następujących podczas działania komory). Celem tego etapu jest tak zmienić przebiegi procesów zachodzących w działającej komorze, aby spowodowały one zamianę energii cieplnej zawartej w gorącym gazie dielektrycznym w ładunki elektryczne gromadzące się na elektrodach komory. Aby osiągnąć ten cel całkowite zrozumienie złożonych procesów zachodzących w komorze musi zostać osiągnięte, zaś potem dokonane zostać musi przekształcenie tych zjawisk we wymaganym kierunku tak aby wynikowa komora czyniła użytek z możliwości efektu telekinetycznego (patrz opis tego efektu zawarty w podrozdziale G1).

6. Neutralizacja sił elektromagnetycznych jakie działają na fizyczną konstrukcję (ścianki) komory. Celem tego etapu jest znaleźć taki wzajemny stosunek pomiędzy parametrami konstrukcyjnymi i parametrami pracy komory, że konstrukcja komory zostanie całkowicie uwolniona od akcji sił wytwarzanych podczas jej działania. Droga do osiągnięcia tego celu prowadzi poprzez stopniową zmianę parametrów konstrukcyjnych i operacyjnych komory oraz obserwowanie jaki wpływ wywierają te parametry na działanie sił występujących w komorze. Następnie konieczne będzie wybranie takich optymalnych wartości tych parametrów jakie spełnią cel etapu całkowicie uwalniając konstrukcję komory od działających w niej sił.

7. Zbudowanie konfiguracji krzyżowej lub nawet kapsuły dwukomorowej. Celem tego etapu jest takie zestawienie pojedynczych komór oscylacyjnych, aby razem pracowały one jako konfiguracja krzyżowa lub nawet kapsuła dwukomorowa. Osiągnięcie tego celu wymaga dokonania różnorodnych zmian i dopasowań w sterowaniu komór składowych, jak również w zjawiskach w nich zachodzących, tak że wynikowa konfiguracja będzie pracowała efektywnie jako całość i pozostanie przy tym całkowicie sterowalna.

8. Nieograniczone zwiększanie zasobów energii komory. Celem tego etapu jest eksperymentalne wykrycie i usunięcie wszelkich możliwych przeszkód jakie mogłyby ograniczać ilość energii akumulowanej w zbudowanej poprzednio konfiguracji krzyżowej lub kapsule dwukomorowej. Docelowym poziomem upakowania energii w komorze jaki powinien zostać osiągnięty na tym etapie jest około dziesięciokrotne przekroczenie wartości strumienia startu przez rozpracowywaną konfigurację komór. Osiągnięcie tego celu będzie dosyć trudnym zadaniem, jako iż badania będą wymagały niezwyklej ostrożności i działań zabezpieczających, ponieważ przeładowane energią magnetyczną komory w razie uszkodzenia będą eksplodowały ze siłą potężnych bomb termojądrowych. Dla przykładu kapsuła dwukomorowa o objętości 1 metra sześciennego wypełniona polem magnetycznym o wartości dziesięciokrotnie przewyższającej jej strumień startu może eksplodować ze siłą około 10 megaton TNT. Wywołane przez nią zniszczenie byłoby więc równe prawie połowie zniszczenia od eksplozji tunguskiej na Syberii z 1908 roku, przez fachowców ocenianej na około 30 megaton TNT.

Przeglądając powyższy program budowy komory oscylacyjnej zapewne narzuci się spostrzeżenie iż aż do końca etapu 3 celowo został on posegmentowany na szereg małych kroków, w założeniu autora wystarczająco prostych aby stanowić wykonalne zadanie dla pojedynczego badacza. Stąd też program ten może zostać stopniowo realizowany zarówno

przez indywidualnych hobbystów, jak i przez niewielkie zespoły rozwojowe. Szczególnie zaś nadaje się on do realizacji jako ciąg tematów dyplomowych dla studentów ostatniego roku uczelni lub szkół technicznych o profilu elektrycznym (lub elektronicznym). Dla przykładu etapy 1(a), 1(b), 1(c), 2(a), 3(a) już obecnie stanowią gotowe tematy prac dyplomowych wystarczająco prostych aby być skompletowanych w przeciętnych laboratoriach uczelnianych lub przyszkolnych. (Trochę tu szkoda iż obecna specjalizacja dydaktyczną autora to wykładanie oprogramowania komputerów, gdyby bowiem dotyczyła wykładania inżynierii elektrycznej, wtedy on sam mógłby zrealizować powyższy program budowy. Niestety, na etapie kariery zawodowej na której on się teraz znajduje taka zmiana specjalizacji nie jest już możliwa.)

Na zakończenie tego podrozdziału warto tu podkreślić, iż po skompletowaniu etapu 3 prototypy komory oscylacyjnej zaczną być użyteczne przemysłowo, jako że z powodzeniem będą już wtedy mogły one wygrywać współzawodnictwo w różnorodnych zastosowaniach z ciężkimi i nieporęcznymi elektromagnesami. Dlatego też począwszy od etapu numer 4, rozpracowywana komora oscylacyjna nabędzie zdolności do zarabiania na sobie i w ten sposób opłacania swojego dalszego rozwoju. Również począwszy od etapu 4 urządzenie to szybko rozprzestrzeni się na świecie i przejmie na siebie różnorodne funkcje jakie dotychczas wypełniane są przez inne urządzenia - patrz podrozdział C8.

C7.3. Zaproszenie do współudziału w rozwoju komory oscylacyjnej

Jak to wynika z podrozdziału C7.2 pierwsze trzy etapy budowy komory oscylacyjnej mogą z powodzeniem zostać zrealizowane nawet przez pojedynczego badacza. Z kolei po ich skompletowaniu komora zacznie przynosić dochód, sama więc zacznie finansować swój dalszy rozwój. Stąd przy odrobinie szczęścia i talentu wynalazczego, osoba jaka obecnie zainwestuje w owo urządzenie, być może już wkrótce posiadać klucz do całej energii naszej planety. Jest to niewypowiedzianie duża stawka do wygrania, zaś rodzaj wkładu wymagany na początku aby włączyć się do gry dostępny jest praktycznie dla każdego. Każdy bowiem może gdzieś zdobyć kilka płytek pleksi, paczkę szpilek krawieckich, jakieś kondensatory i cewki, starą maszynę Wimshursta albo cewkę zapłonową z akumulatorkiem. Co na obecnym etapie jest najbardziej potrzebne to dedykacja, dużo zdrowego rozsądku, smykałka wynalazcza, oraz sławna w świecie zdolność Polaków do efektywnej improwizacji. Dlaczegoż więc nie spróbować?

Nawet w przypadku gdy ktoś nie osiągnie głównej wygranej, dołożenie własnego wkładu do tych badań może okazać się doskonałą inwestycją we własną przyszłość. Budowa komory prędzej czy później musi zostać rozpoczęta, jest to bowiem zbyt atrakcyjne urządzenie aby je bez końca ignorować. Z kolei bardziej zaawansowane etapy rozwoju komory oscylacyjnej będą musiały być dokonywane zespołowym trudem i intelektualnym wkładem wielu umysłów. To zaś oznacza, iż owe ostatnie etapy najprawdopodobniej przyjmą formę formalnego projektu badawczego. Projekt taki oczywiście potrzebował będzie badaczy jacy będą już obeznani z problematyką komory, oraz jacy uprzednio dowiedli swoich umiejętności w działaniu. Jest bowiem powszechnie wiadomym, iż osoby zupełnie nowe w danej dziedzinie zawsze potrzebują odpowiedniego okresu studiów (conajmniej kilku lat) aby zapoznać się z jej problematyką. Podczas tego czasu pozostają one bezproduktywne. Stąd też w przypadku rozpoczęcia formalnego projektu budowy komory oscylacyjnej, ci badacze którzy już uprzednio dokonywali jakichś eksperymentów będą najbardziej poszukiwani. Dlatego też każdy badacz jaki obecnie pracuje nad komorą oscylacyjną proszony jest o utrzymywanie kontaktu z autorem, oraz o wymianę informacji na temat swoich najnowszych osiągnięć. Takie utrzymywanie kontaktu oraz wymiana informacji posiadają także dodatkowe zalety, najważniejsze z których są jak następuje:

1. Powtarzanie tych samych błędów może zostać uniknięte. Prace rozwojowe nad komorą oscylacyjną jakie nie są ko-ordynowane, najprawdopodobniej będą prowadziły do powtarzania tych samych błędów przez owych indywidualnych badaczy jacy nie wiedzą o swoich wzajemnych osiągnięciach.

2. Większa liczba różnych aspektów komory oscylacyjnej może być badana równocześnie. To z kolei przyspiesza znacząco proces znalezienia i wdrożenia najwłaściwszych rozwiązań technicznych.

3. Wkład nowych idei zwiększany jest proporcjonalnie do liczby badaczy pracujących równocześnie nad komorą oscylacyjną. W efekcie zmniejsza się okres czasu w jakim ten bardzo oczekiwany wynalazek będzie zbudowany i oddany do użytku naszej cywilizacji.

Powinno tu zostać także dodane, iż taki zbiorowy wysiłek zmniejsza sekretność rozwoju komory oscylacyjnej i stąd daje każdemu taką samą szansę zbudowania tego urządzenia. To z kolei powinno zapobiec powtórzeniu się historii z bombą atomową. Militarne możliwości komory oscylacyjnej są bowiem tak ogromne (patrz podrozdział C8), iż militarystyczny kraj lub organizacja jakie sekretnie wyprzedzą innych w budowie tego urządzenia, mogą je użyć dla podbicia całego naszego świata i do przejęcia całkowitej kontroli nad naszą planetą.

Wiadomo że wszystkie zwycięskie armie składają się z indywidualnych żołnierzy z których każdy na jakimś tam etapie musiał podjąć decyzję przyłączenia się do danej armii. Jeśli więc czytelnik niniejszego ustępu posiadał wewnętrzne przekonanie że zaprezentowane tu idee są poprawne i wykonalne na drodze technicznej, dlaczegoż więc nie przyłączyć się do nas już teraz.

C7.4. Stanowisko autora w sprawie własności komory oscylacyjnej

Praktyczne zbudowanie komory oscylacyjnej wymaga postępu naszej wiedzy w dwóch odmiennych dziedzinach jakie mogą być nazywane (1) zasady działania i (2) technologia. Aby uniknąć możliwego niezrozumienia jaka jest różnica pomiędzy nimi, krótko wyjaśnijmy tutaj ich znaczenie. Zasady działania obejmują całą wiedzę jaka wyjaśnia "jak" i "dlaczego" komora działa. Natomiast technologia opisuje szczegółową wiedzę wymaganą dla faktycznego zbudowania pracującego urządzenia (np. użyte na nie materiały, produkcyjne "know-how", parametry pracy, urządzenia sterujące, oprogramowanie sterujące, itp.). Aby zilustrować powyższe za pomocą przykładu, podrozdziały C1 do C6 niniejszego rozdziału opisują zasadę działania komory, podczas gdy podrozdział C7 jest bardziej nastawiony na objaśnienie technologii wykonania tego urządzenia.

Od momentu wynalezienia komory oscylacyjnej, jako jej właściciel intelektualny autor stoi na stanowisku, iż zasada działania tego urządzenia powinna stać się własnością wszystkich ludzi żyjących na planecie Ziemia. Zgodnie z tym stanowiskiem wynalazca komory: (1) opiera się próbom patentowania czy nałożenia jakichkolwiek innych ograniczeń na upowszechnianie jej zasady działania, (2) ujawnia i publikuje kompletną wiedzę na temat zasady działania komory, oraz (3) udziela pełnej zachęty, rady, oraz pomocy fachowej każdej osobie, instytucji, czy rządowi jaki wykazuje zainteresowanie rozwojem tego urządzenia. Uzasadnienie dla powyższego stanowiska jest jak następuje:

(a) Komora oscylacyjna jest całkowicie nową ideą i nie posiada ona odpowiednika w żadnym urządzeniu dotychczas rozpracowanym na Ziemi (patrz podrozdział C8).

(b) Skompletowanie komory oscylacyjnej będzie stanowiło najbardziej istotny szczebel w rozwoju naszej cywilizacji. Awansuje ono bowiem tą cywilizację z poziomu planetarnego w poziom podróży międzygwiazdnych.

(c) W długoterminowym okresie, dostęp do komory oscylacyjnej będzie istotny dla przeżycia, dostatku, oraz dalszego postępu naszej cywilizacji.

(d) Użycie komory oscylacyjnej jest głównym wymogiem szybkiego postępu we wielu dziedzinach przyszłej nauki i techniki, a także siłą motoryczną dla rewolucyjnych zmian wymaganych w zarządzaniu i produkcji naszych zasobów energii.

(e) W przyszłości komora oscylacyjna będzie składnikiem niemalże każdego wyrobu technicznego (patrz podrozdział C8), włączając w to wyroby jakie obecnie nie akumulują żadnej energii, takie jak domowe urządzenia techniczne, budynki, a nawet meble. Stąd też współwłaścicielstwo i uczestniczenie w rozwoju tego urządzenia powinno zagwarantować

każdemu możliwość osobistego wkładu do właśnie nadchodzącej owej ogromnej zmiany w praktycznie każdej dziedzinie życia przyszłych generacji.

Przeciwnie jednak do zasady komory, która powinna stanowić własność wszystkich ludzi, autor stoi na stanowisku iż jej technologia powinna być wyłączną własnością kraju, instytucji, czy osoby które zainwestowały w to urządzenie. Jest bowiem logicznym, że ogromne korzyści ekonomiczne jakie wynikną z opanowania tej technologii powinny być zbierane przez tych którzy podjęli nad nią prace rozwojowe. Oczywiście nie jest trudnym już obecne przewidzenie, iż owe korzyści będą ogromne i przewyższą wszystko co dotychczas zarządzało ekonomią naszej planety. W ich efekcie prawdopodobnie obecne mocarstwa podupadną, jednocześnie zaś ukształtują się zupełnie inne w rękę których będzie właśnie skupiał się dostęp do technologii komory.

Aby więc zabezpieczyć interesy tych inwestorów którzy przyczynią lub już przyczynili się do badań technologicznych, autor zdecydował iż dla etapów od 1 do 3, jedynie te informacje technologiczne o komorze oscylacyjnej będą przez niego publikowane jakie mogą przyczynić się do szybszego jej zbudowania. Natomiast powyżej etapu 3 żadna informacja technologiczna o tym urządzeniu nie będzie już przez niego publikowana. Oczywiście zasady działania i nowe zjawiska odkryte na dowolnym etapie badań nad tym urządzeniem będą zawsze publikowane. Stąd też wszelkie państwa, instytucje lub osoby jakie nie zainwestują w rozwój komory od samego początku i stąd będą zmuszone do późniejszego nadrabiania zaległości, nie tylko iż utracą rynek wskutek swego opóźnienia, ale także będą musiały powtórzyć te same kosztowne badania jakie skompletował oryginalny zespół rozwojowy.

C8. Przyszłe zastosowania komory oscylacyjnej

Jak dotychczas nie istnieje żaden inny wynalazek jaki zmieniłby stan naszego otoczenia technicznego do tego samego stopnia jak to uczyni skompletowanie komory oscylacyjnej. Impakt jaki to urządzenie będzie posiadało na aspekt materialny naszego życia może być jedynie porównany do efektu w intelektualnej sferze wywołanego wprowadzeniem tam komputerów. Istnieje wysokie prawdopodobieństwo, iż do około 2084 roku (t.j. w sto lat po wynalezieniu komory oscylacyjnej) prawie każde aktywne urządzenie wykorzystywane przez ludzi będzie zawierało jakąś formę komory oscylacyjnej. Wiele obiektów które obecnie są pasywne, takich jak meble, budynki, monumenty, itp., będzie przetransformowane przez komorę oscylacyjną w struktury aktywne, t.j. będą one się poruszały, zmieniały swoje zorientowanie i dopasowywały swoje położenie do zmieniających się wymagań ich użytkowników. Przeglądnijmy więc pokrótce najważniejsze zastosowania komory oscylacyjnej, starając się przewidzieć jaki wpływ to urządzenie będzie posiadało na dany obszar ludzkiej działalności.

Najsilniejszy impakt posiadało będzie wprowadzenie komory oscylacyjnej do energetyki. Praktycznie przetransformuje ona kompletnie obecne metody wytwarzania, przesyłania i konsumowania energii. Ogromna różnorodność odmiennych urządzeń jakie obecnie wykorzystywane są w tym celu, po pojawieniu się komory zastąpiona zostanie przez jeden rodzaj uniwersalnej kapsuły dwukomorowej po odpowiednim przesterowaniu zdolnej do wypełniania setek funkcji. Aby uzmysłwić jak ogromnemu przeobrażeniu ulegnie wówczas obraz naszej planety, wystarczy tu wspomnieć iż przykładowo wszystkie obecne linie przesyłowe (wysokiego i niskiego napięcia) całkowicie znikną ponieważ energia rozprzestrzeniana będzie po upakowaniu jej w "konserwy", t.j. niewielkie, lekkie, poręczne, oraz ponownie ładowalne kapsuły dwukomorowe.

Nowe horyzonty we wytwarzaniu i dostarczaniu energii otworzy wykorzystanie wielowymiarowej transformacji energii zachodzącej w komorze oscylacyjnej. W jej efekcie przewidzieć można zastąpienie układami komór wszelkich obecnych urządzeń jakie służą produkcji lub transformacji energii. I tak obecne silniki spalinowe, generatory, ogniwa foto- lub termo-elektryczne, transformatory, itp., wszystkie one przyjmą formę kapsuł dwukomorowych - patrz tablica C1. Z uwagi na ich wysoką sprawność (t.j. pracę

praktycznie bez strat energii), dostarczą one naszej cywilizacji wymaganej przez nią energii bardziej efektywnie oraz w sposób mniej szkodliwy dla naturalnego środowiska.

Komora oscylacyjna umożliwi też opracowanie i szerokie wprowadzenie nowych, środowiskowo bardziej "czystych" metod wytwarzania energii. Takie urządzenia jak telekinetyczne urządzenia do pozyskiwania energii otoczenia (opisane w monografii [6]) oraz generatory czystej energii (wykorzystujące promieniowanie słoneczne, wiatr, fale oceaniczne, przyływy i odpływy morza, itp.), staną się niezwykle efektywne jeśli oparte zostaną na wykorzystaniu kapsuł dwukomorowych.

Liczne energetyczne zastosowania komory oscylacyjnej wynikną w przyszłości z jej zdolności do akumulowania ogromnych ilości energii. Aby dać nam przedsmak potencjału jaki to urządzenie kryje w sobie, wystarczy wspomnieć iż zapotrzebowania energetyczne współczesnej fabryki, miasta, dużego okrętu czy samolotu, mogą zostać zaspokajane komorą o wielkości główki od szpilki - jeśli tylko będziemy w stanie zbudować ją aż w tak małych wymiarach. Wszystkie więc obecne baterie, akumulatory, oraz generatory awaryjne, zastąpione zostaną przez efektywne i ponownie ładowalne komory oscylacyjne. Budowane jako kapsuły dwukomorowe, w przypadku takiego użycia jako akumulatory energii, nie będą one odprowadzały do otoczenia żadnego pola magnetycznego.

Prawie wszystkie obecne urządzenia transformujące energię, przykładowo latarnie, grzejniki, klimatyzatory powietrza, silniki elektryczne, itp., zastąpione zostaną przez odpowiednie nasterowanie odmiennych funkcji u tych samych kapsuł dwukomorowych.

Dzięki komorze oscylacyjnej transformacja energii w przyszłości zastąpi również obecną transformację ruchu. Stąd przyszłe mechanizmy będą znacznie prostrze i lżejsze, ponieważ zostaną one uwolnione od zawierania w sobie wszystkich tych dodatkowych urządzeń jakie obecnie dostarczają i transformują ruch. W przyszłości ruch będzie wytwarzany w dokładnym miejscu gdzie zachodzi jego spożytkowanie, a także i w dokładnej formie w jakiej jest on wymagany. Dla przykładu, jeśli w przyszłości jakiś hobbysta zechce zbudować kopię naszego dzisiejszego samochodu, wyprodukuje on ruch we wnętrzu kół poprzez wstawienie tam kilku kapsuł dwukomorowych. Stąd cały dzisiejszy silnik, skrzynia biegów, oraz transmisja staną się niepotrzebne.

Unikalne zalety komory oscylacyjnej spowodują, iż to urządzenie całkowicie przejmie obecne funkcje elektromagnesów. Laboratoria badawcze, zdolne do użycia pól magnetycznych o obecnie nieosiągalnej mocy, będą zdolne do wydarcia naturze wielu sekretów, wprowadzając w ten sposób ogromny postęp do naszej nauki i techniki. Przemysł, wykorzystując technologie jakie będą bazowały na wykorzystaniu super-silnych pól magnetycznych, dostarczy ludziom wielu produktów dotychczas jeszcze niemożliwych do wytworzenia. Dla przykładu, przemysł ten wyprodukować może niezniszczalną gumę i odzież, obiekty w całości wykonane z monokryształów, beton silniejszy od stali, itp. Także nowy rodzaj mognetorefleksyjnego materiału, zdolnego do wypełnienia wymagań magnetycznych komory oscylacyjnej, wyprze te znajdujące się w użyciu obecnie.

Komora oscylacyjna nie tylko wyeliminuje elektromagnesy stosowane jako oddzielne urządzenia, ale także te jakie wchodzi w skład innych urządzeń jako ich podzespoły, np. z silników elektrycznych, generatorów elektryczności, itp. Zalety komory, takie jak: wysoki stosunek mocy-do-wymiarów, zdolność do znoszenia długich przerw pomiędzy chwilą dostarczenia energii i czasem użycia tej energii, sterowalność; wynikną w szerokim użyciu tego urządzenia do budowy lekkich wehikułów, pomp i generatorów pracujących daleko od źródeł energii i centrów cywilizacyjnych, silników okrętowych i lotniczych, itp.

Kapsuły dwukomorowe dostarczające stałego pola magnetycznego zastąpią też dzisiejsze magnesy stałe. Stąd przyszłe modele naszych głośników, łożysk, sprzęgieł, chwytaków, szyn, itp., wszystkie one wykorzystywały będą komory oscylacyjne.

Komora oscylacyjna wprowadzi także zupełnie nową modę, jaka w dzisiejszych czasach nie posiada odpowiedniego zabezpieczenia technicznego. Będzie to moda na zawieszanie obiektów w przestrzeni. Należy więc się spodziewać, iż przyszłe meble, urządzenia domowe, maszyny wytwórcze, a nawet całe budynki i elementy architektoniczne, będą wisiały w przestrzeni, podtrzymywane przez niewidzialne linie sił pola magnetycznego. Dla przykładu taki mebel jak dzisiejszy fotel, w przyszłości będzie

szybował po przestrzeni mieszkania, zaś wbudowany w niego komputer będzie analizował ustne polecenia siedzącej na nim osoby, przenosząc tą osobę we wymagane miejsce, zmieniając jej orientację, wysokość i nachylenie, a także adaptując swój kształt do typu postawy wypoczynkowej jaką ta osoba zapragnie w danej chwili przyjąć. Jedną z konsekwencji tej mody na zawieszanie obiektów w przestrzeni będzie całkowite zaniknięcie koła, jako iż obecne ruchy toczące zostaną zastąpione przez szybowanie.

Oczywiście ogromny potencjał kryje się w militarnym użyciu komory oscylacyjnej. Może ona zarówno zwielokrotnić możliwości już istniejących urządzeń i środków bojowych, jak i uformować dotychczas jeszcze nie znane rodzaje broni. Aby zilustrować potencjał komory w zwielokrotnianiu możliwości już istniejących rodzajów broni wystarczy wspomnieć iż ilość energii zakumulowana w kapsule dwukomorowej wielkości kostki do gry wystarcząca będzie aby utrzymywać bombowiec w powietrzu przez całe lata bez konieczności jego lądowania w celu ponownego zatankowania, aby przepłynąć łodzią podwodną w stanie zanurzenia kilkaset razy naokoło naszego globu, czy aby przejechać czołgiem drogę większą od odległości Ziemi od Słońca. Aby ukazać potencjał komory oscylacyjnej w formowaniu nowych rodzajów broni, wystarczy tu wspomnieć iż układ tych urządzeń wytwarzający wirujące pole magnetyczne będzie w stanie uformować zapory i pola minowe jakie w ciągu sekund mogą odparować eksplozywnie każdy obiekt wykonany z dobrego przewodnika elektryczności jaki wejdzie w ich obszar działania. Pociski zawierające układy komór z takim wirującym polem, mogą spowodować natychmiastowe wyparowanie ogromnych konstrukcji wykonanych ze stali, takich jak mosty, fabryki, okręty, samoloty, rakiety, satelity, itp. Z kolei gwałtowne uwolnienie ogromnej energii zgromadzonej w komorze (np. poprzez jej zdetonowanie - patrz monografia [5]) spowoduje eksplozję porównywalną w efektach do użycia bomby termojądrowej. Jediną różnicą będzie, iż po eksplozji komory otoczenie nie zostanie skażone radioaktywnością, stąd będzie się nadawało do natychmiastowego zajęcia i ponownego zasiedlenia. Z uwagi przy tym na niewielkie rozmiary komór, potencjał do formowania zniszczeń odpowiadających wybuchowi sporej bomby termojądrowej uzyska mała kapsuła dwukomorowa mieszcząca się w zwykłym pocisku karabinowym. Oczywiście komory oscylacyjne nie tylko są w stanie niszczyć, ale umożliwiają też osłanianie się przed zostaniem zniszczonym przez przeciwnika. Najprostrza taka osłona polegała będzie na zaopatrzeniu wybranych wehikułów lub obiektów wojskowych w komory oscylacyjne których pola będą formowały odpychające lub przyciągające oddziaływania z obiektami ferromagnetycznymi ze swego otoczenia (patrz rysunek C8). W ten sposób będą one w stanie odepchnąć (lub - w razie konieczności, także przyciągnąć, obezwładnić i przechwycić) dowolne wehikuly i pociski strony przeciwnej. Bardziej niezwykła możliwość komór oscylacyjnych wynika z możliwości formowania przez nie tzw. "soczewki magnetycznej" (opis tej soczewki zawarty został w podrozdziale D3). Osłonięci nią żołnierze, wehikuly, lub obiekty o znaczeniu militarnym staną się całkowicie niewidzialni dla przeciwnika.

Najbardziej jednak zachęcające perspektywy otwiera użycie komory oscylacyjnej do przeznaczenia dla którego jej zasada została oryginalnie wynaleziona, t.j. do celów transportowych. Przy takim jej użyciu, najważniejsze jej zastosowanie polegać będzie na pełnieniu funkcji urządzenia napędowego (t.j. pędnika) dla napędów osobistych, wehikułów latających, oraz statków międzygwiazdnych. Z upływem czasu wypracowane także będzie transportowe użycie komór oscylacyjnych w tzw. "urządzeniach zdalnego oddziaływania", których przykładami może być odpowiednio nasterowane "pole podnoszące" kapsuł dwukomorowych opisane w podrozdziale C6.3, czy tzw. telekinetyczny "promień podnoszący" opisany w podrozdziale G1. Następne rozdziały niniejszej monografii zostaną poświęcone szerszemu omówieniu takich właśnie transportowych zastosowań komory.

Na zakończenie przytoczonego tu przeglądu zastosowań komory warto podkreślić iż wszystkie funkcje opisane w tym podrozdziale wypełniane mogą być przez tą samą kapsułę dwukomorową zaopatrzoną jedynie w odmienny system/program sterowania. Stąd w sensie uniwersalności swych zastosowań komory oscylacyjne przypominać będą współczesne komputery w których jedynie zmiana programu sterującego przekształca je przykładowo z

maszyny do pisania w instrument muzyczny, automatycznego pilota, atlas drogowy, kasyno gier, czy przyrząd pomiarowy.

Niezależnie od zastosowaniowego znaczenia komory oscylacyjnej, zbudowanie tego urządzenia będzie także posiadało znaczenie poznawcze. Komora oscylacyjna będzie bowiem pierwszym "rezonatorem magnetycznym" zbudowanym na naszej planecie jaki efektywnie wytwarzał będzie własne drgania magnetyczne a także posiadał będzie zdolność do reagowania na takie drgania pochodzące z innych źródeł. Aczkolwiek nauka ziemską stoi dopiero na początku swej drogi do poznania możliwości i znaczenia drgań magnetycznych, już obecnie wiadomo iż stanowią one klucz do ogromnej ilości dotychczas nieoponowanych jeszcze zjawisk, do których przykładowo zaliczyć można opisane w rozdziale G podróże w czasie i telekinezę, czy postulowane Konceptem Dipolarnej Grawitacji telepatię, zdalne kontrolowanie psychiki ludzkiej i nastrojów społecznych (po więcej szczegółów patrz podrozdział D4 w monografii [5]), uzdrawianie, transformowanie jednych pierwiastków i substancji w inne, pozyskiwanie energii otoczenia, oraz wiele innych. Stąd w sensie poznawczym komora oscylacyjna stanowić będzie prototyp i poprzednika dla całej gamy nadchodzących po niej urządzeń wytwarzających, przetwarzających, wykrywających i mierzących drgania magnetyczne, przyczyniając się w ten sposób do uformowania w przyszłości całych nowych dziedzin nauki i techniki. Dla dalszych generacji naukowców i inżynierów na Ziemi jej znaczenie poznawcze prawdopodobnie będzie równie przełomowe jak znaczenie obwodu Henry'ego było dla dzisiejszych elektroników czy cybernetyków.

C9. Monografie autora poświęcone komorze oscylacyjnej

Zanim niniejsza praca została opublikowana, komora oscylacyjna była już prezentowana w kilku innych monografiach autora. Poniższy wykaz zestawia najważniejsze z nich (opublikowanych zostało znacznie więcej). Warto tu zaznaczyć że monografie [5C] i [6C] posiadają też swoje polskojęzyczne odpowiedniki (patrz monografie [5] i [6] z rozdziału N, oraz [1H2] i [2H2] z podrozdziału H2).

[1C] "Theory of the Magnocraft". Zawierała ona pierwszy opis komory oscylacyjnej (jeden rozdział). Publikowana ona była w następujących wydaniach:

- (a) Pierwsze wydanie nowozelandzkie, styczeń 1984 roku, ISBN 0-9597698-0-3;
- (b) Pierwsze wydanie USA, czerwiec 1985 roku - opublikowane w USA przez: Energy Unlimited, P.O. Box 35637 Sta. D, Albuquerque, NM 78176.
- (c) Pierwsze wydanie polskojęzyczne, zatytułowane "Teoria Magnokraftu", Invercargill, Nowa Zelandia, marzec 1986, ISBN 0-9597698-5-4; 136 stron, 58 rysunków.
- (d) Drugie wydanie nowozelandzkie - poszerzone, Invercargill, sierpień 1984 roku, ISBN 0-9597698-1-1; 110 stron plus 53 ilustracji.

[2C] "The Oscillatory Chamber - a breakthrough in the principles of magnetic field production". Była to pierwsza monografia w całości poświęcona opisowi komory oscylacyjnej. Niniejsze opracowanie stanowi jej uaktualnioną, poszerzoną i przeredagowaną wersję. Opublikowana ona została w następujących wydaniach:

- (a) Pierwsze wydanie nowozelandzkie, grudzień 1984 roku, ISBN 0-9597698-2-X.
- (b) Pierwsze wydanie USA, opublikowane w magazynie "Energy Unlimited", Issue 19/1985, strony 15 do 43. To specjalne wydanie magazynu (opublikowane przez "Energy Unlimited", P.O. Box 35637, Station D, Albuquerque, NM 87176, USA) przedrukowało całą monografię o komorze oscylacyjnej.
- (c) Pierwsze wydanie zachodnio-niemieckie (w języku niemieckim) zatytułowane, "Die 'Schwingkammer' Energie & Antrieb fur das Weltraumzeitalter", opublikowane przez: Raum & Zeit Verlag, Dammtor 6, D-3007 Gehrden, West Germany; czerwiec 1985 roku, ISBN 3-89005-006-9; 64 strony (włączając 7 rysunków)
- (d) Drugie wydanie nowozelandzkie, przerobione, Invercargill, październik 1985 roku, ISBN 0-9597698-4-6; 115 stron plus 15 ilustracji. Wydanie to zawierało także pierwszą prezentację Konceptu Dipolarnej Grawitacji.

[3C] "The Magnocraft: a soucer-shaped space vehicle propelled by a pulsating magnetic field", Invercargill, Nowa Zelandia, 1986 rok, ISBN 0-9597698-3-8; 300 stron.

[4C] "Advanced Magnetic Propulsion Systems", Treatise, Dunedin, New Zealand, październik 1990 roku, ISBN 0-9597698-9-7, 460 stron (włączając 7 tablic i 163 ilustracji).

[5C] "Tapanui Cataclysm - an explanation for the mysterious explosion in Otago, New Zealand, 1178 A.D.". Dunedin, New Zealand, 1989 rok, ISBN 0-9597698-7-0, a private edition by the author (62 strony włączając 26 ilustracji).

[6C] "The magnetic extraction of energy from the environment". Dunedin, New Zealand, 1990 rok, ISBN 0-9597946-1-1; 38 stron (włączając 14 ilustracji).

Monografie [5C] i [6C] podsumowują opisy komory oscylacyjnej, nie zawierają jednak dokładniejszego wyjaśnienia dla jej konstrukcji i zasady działania.

(Dyskoidalny) magnokraft

Nazwa "magnokraft" nadana została zupełnie nowemu rodzajowi międzygwiazdnych wehikułów latających, napędzanych pulsującym polem magnetycznym. Magnokraft został wynaleziony i rozpracowany przez autora niniejszej monografii. Głównym celem, jaki autor starał się osiągnąć przez ten wynalazek, jest upowszechnienie takiej konstrukcji i zasady działania statku międzygwiazdowego, które umożliwiłyby jego zbudowanie przez niewielkie państwo (takie jak Polska lub Nowa Zelandia) lub nawet większą organizację przemysłową. Jak blisko jesteśmy osiągnięcia tego celu uzmysławia następujący przegląd właściwości magnokraftu:

1. Jego działanie nie wymaga obecności ruchomych części. Teoretycznie więc biorąc, magnokrafty można ukształtować w całości z pojedynczej części (powłoki), formując je jak plastikowe balony. Ich koszt spadnie więc do rzędu małego ułamka kosztów współczesnych wehikułów, czyniąc magnokrafty osiągalnymi dla prawie każdej osoby i rodziny. Dla porównania, najnowszy samolot pasażerski Boeing 747 - 400 zawiera około 4 miliony indywidualnych części, z których każda musi zostać oddzielnie wyprodukowana, zamontowana i wytestowana, a także większość z których może zawieść w powietrzu powodując katastrofę całego samolotu. Natomiast współczesny samochód osobowy Mitsubishi składa się z około 2000 części.

2. Zasoby jego energii są samoodtwarzające się. Praktycznie oznacza to, iż magnokraft, podobnie jak niektóre koleje elektryczne, będzie tracił swą energię magnetyczną podczas przyspieszania oraz odzyskiwał ją z powrotem podczas wyhamowywania. W sumie więc ten statek po powrocie na Ziemię z wieloletniej podróży międzygwiazdowej będzie posiadał prawie tyle samo energii magnetycznej zgromadzonej w swych pędnikach ile miał on w dniu rozpoczęcia tej podróży.

3. Wehikuł ten wykorzystuje tak zaawansowany napęd, iż technicznie, technologicznie i militarnie przewyższa on wszystko co dotychczas zostało zbudowane na Ziemi (np. magnokraft może latać z prędkościami do 70 000 km/godz w atmosferze i bliskimi prędkości światła w próżni kosmicznej; może on latać w próżni, powietrzu, wodzie, a nawet ośrodkach stałych takich, jak skały, budynki i bunkry, wypalając w nich szkliste tunele; może on zamienić metale w materiał wybuchowy; może stać się niewidzialny dla obserwacji wizualnej i radarowej; itp.). Stąd też państwo lub organizacja, które wyprzedzą innych w budowie magnokraftu, uzyskają bezprecedensową dominację nad resztą świata.

4. Zbudowanie magnokraftu może zostać dokonane już przy obecnym poziomie naszej wiedzy.

5. W sposób teoretyczny wszystkie problemy wstrzymujące budowę magnokraftu zostały już rozwiązane (włącznie z zasadą działania jego urządzenia napędowego opisanego tu pod nazwą "komora oscylacyjna").

Magnokraft na wiele różnorodnych sposobów przyczynił się do wynalezienia komory oscylacyjnej oraz do napisania niniejszej monografii. Aby wymienić kilka z nich: (1) wynalezienie magnokraftu upewniło autora co do poprawności tablic cykliczności i ważności wniosków prognostycznych z nich wynikających, (2) znajomość działania magnokraftu umożliwiła przewidzenie atrybutów charakteryzujących urządzenie (t.j. komorę oscylacyjną) użyte do jego napędzania, (3) chęć znalezienia urządzenia spełniającego wszystkie atrybuty wymagane od napędu magnokraftu zmusiła autora do wynalezienia komory oscylacyjnej, itp.

Szczegółowy opis konstrukcji, działania i właściwości magnokraftu stanowi cel oddzielnej monografii [1a] (np. monografia [1a] zawiera wyprowadzenia wszystkich równań opisujących kształt i wymiary magnokraftu, wyjaśnia budowę i zasadę działania komory oscylacyjnej oraz kapsuły dwukomorowej, interpretuje ślady wypalane na ziemi przez

ładujące magnokrafty, opisuje miejsca eksplozji tych wehikułów, itp.). W niniejszym rozdziale jedynie owe aspekty magnokraftu zostaną omówione, które mają znaczenie dla celu i głównej tezy niniejszej monografii (np. zrozumienia zastosowań, użyteczności, właściwości i atrybutów komory oscylacyjnej, zauważenia faktu jej użycia, itp.).

D1. Konstrukcja magnokraftu pierwszej generacji

Wygląd magnokraftu we widoku bocznym pokazano na rysunku D1 "b", zaś jego konstrukcję zilustrowano na rysunku D1 "a". Kształt zewnętrzny tego wehikułu przypomina dysk lub spodek odwrócony do góry dnem. Jego układ napędowy zestawiony jest z urządzeń nazywanych tu pędnikami, jakie po prostu są kapsułami dwukomorowymi "pływającymi" (t.j. zawieszonymi bezdotykowo za pomocą pola magnetycznego i obracanymi sygnałami sterującymi z komputera statku) we wnętrzu kulistych powłok.

Każdy pędnik magnokraftu wytwarza pole magnetyczne o ogromnej długości efektywnej. Autor dokonał odpowiednich obliczeń (opublikowanych w podrozdziale G5.3 monografii [1a]) i wyznaczył, że przykładowo pole pędnika o długości fizycznej 1 metra przyjmie długość efektywną jaka w nawet najniekorzystniejszych warunkach przekroczy odległość 1000 kilometrów (t.j. jednometrowy pędnik w swoim działaniu zachowywał się będzie jak hipotetyczny magnes o tak ogromnej długości). Stąd pole z tego pędnika pokona jednorodność ziemskiego pola magnetycznego i wytworzy liczącą się siłę magnetyczną netto. Siła ta z kolei spowoduje napędzanie magnokraftu w zdefiniowanym przez jego komputer sterujący kierunku.

Magnokraft posiada dwa rodzaje pędników magnetycznych: główny (M) i boczne (U) - patrz rysunek D1 "a". Pojedynczy pędnik główny (M) zawieszony jest w centrum tego wehikułu. Bieguny magnetyczne tego pędnika są tak zorientowane, że odpychają go one od pola magnetycznego otoczenia (którym może być pole Ziemi, Słońca lub Galaktyki). W ten więc sposób pędnik (M) wytwarza siłę nośną - na rysunku D1 "a" oznaczoną jako (R), która wydzwiga i utrzymuje magnokraft w przestrzeni. Oś magnetyczna pędnika (M) jest prawie zawsze utrzymywana w położeniu stycznym do linii sił pola magnetycznego otoczenia istniejącego w obszarze działania tego statku. Stąd najbardziej efektywne zorientowanie magnokraftu w locie jest kiedy jego podstawa ustawiona zostaje prostopadle do lokalnego kierunku ziemskiego pola magnetycznego. Czasami jednakże owo zorientowanie musi zostać nieco zmienione aby wehikuł ten mógł manewrować lub lądować.

Każdy magnokraft posiada także określoną liczbę "n" pędników bocznych (U), umieszczonych w równych odstępach od siebie na obwodzie statku. Bieguny magnetyczne tych pędników są zorientowane tak aby przyciągały one pole magnetyczne otoczenia. W ten sposób pędniki boczne wytwarzają siły przyciągające - na rysunku D1 "a" oznaczone jako (A), które stabilizują ten wehikuł i utrwalają jego orientację w przestrzeni. Dla zwiększenia stabilności tego statku, pędniki boczne są zamontowane nieco poniżej pędnika głównego, tworząc razem z nim rodzaj konfiguracji dzwonowej jaka w fizyce znana jest ze swojej wysokiej stabilności. Wszystkie pędniki boczne zamontowane są w poziomym kołnierzu jaki otacza podstawę magnokraftu. Kołnierz ten, wraz z zawartymi w nim pędnikami, osłonięty jest specjalną soczewko-kształtną owiewką aerodynamiczną wykonaną z materiału przenikalnego przez pole magnetyczne.

Liczba "n" pędników bocznych w magnokrafcie charakteryzuje typ tego statku. Liczba ta zależy od współczynnika konstrukcyjnego zwanego "Krotność" i oznaczanego przez literę "K". Wzajemny związek pomiędzy tą liczbą "n" i współczynnikiem "K" wyraża się następującym wzorem:

$$n=4 \cdot (K-1) \quad (D1)$$

Nazwa "Krotność" dla współczynnika "K" wynika z faktu, że wyraża on stosunek gabarytowej średnicy wehikułu "D" do jego wysokości "H" (patrz część "c" rysunku D1) t.j.:

$$K=D/H \quad (D2)$$

Z uwagi na różnorodne współzależności siłowe i konstrukcyjne występujące w magnokraftach a opisane w artykule [1D1] z "Horyzontów Techniki" nr 5/1985, strony 10-11,

w poszczególnych typach tych statków współczynnik "K" może przyjąć tylko jedną z ośmiu wartości całkowitych leżących w przedziale od $K=3$ do $K=10$. Dlatego też wartość przyjęta przez ten współczynnik zaklasyfikowuje poszczególne magnokrafty do jednego z ośmiu głównych typów, nazywanych K_3 , K_4 , K_5 , K_6 , K_7 , K_8 , K_9 , lub K_{10} . I tak w typie magnokraftów oznaczonym jako K_3 (którego wygląd pokazany został na rysunkach D1 i D3) współczynnik "K" przyjmuje wartość $K=3$ (stąd, zgodnie ze wzorem (D1), liczba pędników bocznych jest w nim równa $n=4(3-1)=8$). Typ K_4 posiada odpowiednio $K=4$ i $n=12$, zaś typ K_{10} : $K=10$ i $n=36$. Wymiary oraz najważniejsze dane konstrukcyjne dla każdego z tych ośmiu głównych typów dyskoidalnego magnokraftu zestawione zostały w tablicy D1.

Współczynnik "K" jest niezwykle istotny dla konstrukcji magnokraftu. Definiuje on bowiem wszystkie parametry konstrukcyjne tego statku, włączając w to jego kształt i wymiary. Dla przykładu średnica gabarytowa "D" magnokraftu również zależy od "K" i wyraża się wzorem:

$$D=0.5486 \cdot 2^K \text{ [metrów]} \quad (D3)$$

(Jednostka długości użyta w powyższym wzorze (D3), równa $C_c=0.5486$ metra, stanowi uniwersalną jednostkę długości nazywaną "Kubitem Kosmicznym"; jednostka ta musi być używana do wymiarowania wehikułów magnokrafto-podobnych przez wszystkie cywilizacje budujące te wehikuły - patrz monografia [1a].) Ponieważ współczynnik "K" jest stosunkowo łatwym do wyznaczenia (nawet za pomocą radaru i programu komputerowego), stanowi on istotny parameter identyfikujący jaki umożliwia załogom innych statków, a także obserwatorom naziemnym, szybkie i niezawodne ustalenie wszystkich szczegółów zaobserwowanego statku. Wyznaczenie "K" ze zdjęcia, obrazu, lub obserwacji danego magnokraftu sprowadza się do wyznaczenia ze wzoru (D2) ile razy wysokość "H" tego wehikułu mieści się w jego średnicy "D". Zasada tego wyznaczania zilustrowana została w części "c" rysunku D1 (na przykładzie magnokraftu typu K_3). Z kolei znając K możliwe jest odczytanie z odpowiedniej tablicy (patrz tablica D1) lub wyliczenie ze stosownych wzorów (patrz wzory pod tablicą D1) wszystkich pozostałych parametrów konstrukcyjnych i użytkowych danego statku.

Pomiędzy pędnikiem głównym (M) i pędnikami bocznymi (U) magnokraftu zawarta jest kabina załogi - patrz (1) na rysunku D1 "a". Przyjmuje ona kształt stożkowatego pierścienia i wygląda jak ścianki boczne spodka odwróconego do góry dnem. Poszycie tej kabiny wykonane jest z materiału nieprzenikalnego dla pola magnetycznego (t.j. wykazującego właściwość zwaną "magnetorefleksyjnością"). Wzdłuż wewnętrznych (nachylonych) ścianek kabiny załogi zamontowane są teleskopowe nogi (2) wehikułu. Nogi te wysuwane są jedynie na czas lądowania.

Powłoka magnokraftu jest to mechanicznie wytrzymała skorupa ochronna z materiału magnetorefleksyjnego, jaka utrzymuje wszystkie urządzenia statku w wymaganych położeniach oraz oddziela wnętrze statku od otaczającej go przestrzeni. Wykonana jest ona z przezroczystego materiału lustro-podobnego, który ma płynnie sterowalny stopień przepuszczalności i odbicia światła. Jednym więc razem (np. podczas przelotów statku w pobliżu słońca) załoga magnokraftu może zmienić tą powłokę w srebrzyście lśniące lustro odbijające całkowicie wszelkie padające na nie światło, innym zaś razem (np. podczas lotów nocnych lub w obszarach o przyziemnym świetle) może uczynić ją całkowicie przezroczystą. W przypadku gdy powłoka ta nasterowana zostaje na działanie jako lustro, w środku statku panuje przyjemny półcień, zaś pomieszczenia statku i jego załoga zakryte są przed oczami zewnętrznego obserwatora. Z kolei w przypadku gdy powłoka ta uczyniona zostaje przezroczystą, postronny obserwator może zobaczyć wewnętrzne podzespoły statku (np. pędniki, fotele załogi, itp.) - jak to pokazano na rysunku D1 "b".

Końcowa konstrukcja magnokraftu obejmuje jego powłokę, system napędowy (pędniki), kabinę załogi, komputer pokładowy, oraz inne podzespoły i urządzenia. Wygląd ogólny tej końcowej konstrukcji pokazano na rysunku D1 "b".

Podstawowa konstrukcja dyskoidalnego magnokraftu opisanego powyżej może następnie zostać zmodyfikowana w celu uzyskania napędów i wehikułów pochodnych.

Dwie najużyteczniejsze takie pochodne od dyskoidalnego magnokraftu to "magnokraft czteropędnikowy" opisany w rozdziale E oraz "napęd osobisty" opisany w rozdziale F. Magnokraft czteropędnikowy uzyskiwany jest poprzez doczepienie do czterech rogów przenośnego pomieszczenia (np. podobnego do domku kempingowego) odpowiednio sporządzonych pędników w kształcie tzw. konfiguracji krzyżowych. Konfiguracje krzyżowe są zestawami komór oscylacyjnych alternatywną do kapsuł dwukomorowych, w których pojedyncza komora centralna otoczona jest czterema komorami bocznymi - patrz podrozdział C6.2. Wynikowy pędnik z wyglądu przypomina więc beczkę, zaś jego działanie stanowi jakby miniaturowy magnokraft pozbawiony kabiny załogi. Gdy cztery takie kapsuły krzyżowe napędzają osadzone pomiędzy nimi pomieszczenie transportowe, efekt przypomina nieco domek kempingowy unoszony na rogach przez cztery miniaturowe magnokrafty. Napęd osobisty jest to magnokraft zbudowany w formie zminiaturyzowanej, w której dwa pędniki główne wmontowane są w podeszwy butów użytkownika, natomiast osiem pędników bocznych w specjalny pas ośmiosegmentowy. Otrzymany w ten sposób napęd pozwala użytkownikowi na loty w powietrzu, chodzenie po suficie lub wodzie, czy skoki na olbrzymie odległości bez użycia widocznego wehikułu.

D2. Loty i manewrowanie magnokraftów pierwszej generacji

Manewrowanie dyskoidalnym magnokraftem (t.j. magnokraftem podstawowej konstrukcji opisywanym od początku tego rozdziału) uzyskiwane zostaje przez wykorzystanie któregoś z trzech następujących działań sterowniczych:

1. Przerobienie wzajemnej proporcji pomiędzy wydatkiem pędników jakie produkują oddziaływania przyciągające (A) i odpychające (R) - patrz rysunek D1 "a". Takie przerobienie - podobnie jak zmiana wyporności balonu - powoduje wzlot, nieruchome zawisanie, lub opadanie magnokraftu.

2. Odchylenie pod kątem (I) osi magnetycznej pędników wehikułu od ich położenia równoległego względem lokalnego przebiegu linii sił pola magnetycznego otoczenia. To wywołuje powstanie południkowej siły napędowej jaka popycha magnokraft w kierunkach z południa na północ lub z północy na południe. Ponad równikiem, gdzie linie sił pola otoczenia są równoległe do powierzchni gruntu, taką południkową siłę napędową uzyskuje się gdy osie magnetyczne pędników statku odchylone zostają z poziomego położenia.

3. Wytworzenie wiru magnetycznego jaki rotuje wokół magnokraftu oraz sterowanie kierunkiem i siłą tego wiru. Uzyskiwany jest on podobnie jak w asynchronicznych silnikach elektrycznych, t.j. poprzez wprowadzenie 90 przesunięcia fazowego do pulsowań pola z kolejnych pędników bocznych statku. Wir ten (na zasadzie podobnej jak rotacja cylindra w "efekcie Magnusa" znanym z hydromechaniki) wytwarza równoleżnikową siłę napędową w kierunku prostopadłym do linii sił ziemskiego pola magnetycznego. Jeśli wir ów rotuje w taki sposób, że lądujący magnokraft na Półkuli Południowej powoduje wyłożenie roślinności przeciwne do kierunku ruchu wskazówek zegara (lub zgodne z ruchem wskazówek zegara na Półkuli Północnej), wtedy równoleżnikowa siła napędowa wytwarzana przez taki wir będzie napędzała magnokraft w kierunkach z zachodu na wschód. Przeciwnie rotujący wir napędza wehikuł w kierunkach ze wschodu na zachód. Warto tu też podkreślić, że opisany tu wir magnetyczny, niezależnie od swej funkcji manewrowej pełni także kilka innych funkcji. Dla przykładu, formowane przez niego siły odśrodkowe odrzucają powietrze od powłoki magnokraftu, wytwarzając lokalny "bąbel próżniowy", osłonięty którym statek może przekraczać barierę cieplną. Wir magnetyczny powoduje też jonizowanie i zawirowywanie otaczającego ośrodka tworząc wokół magnokraftu rodzaj wirującej piły plazmowej która umożliwia jego loty w ośrodkach stałych (np. skałach, budynkach, bunkrach, itp). Po przelocie magnokraftu przez takie ośrodki stałe, pozostają w nich charakterystyczne szkliste tunele o geometrycznych kształtach. Przykłady takich tuneli, odkrytych w Ekwadorze i Australii, omówiono i zilustrowano w monografii [5].

Napęd magnokraftu, który skokowo włącza jeden z trzech działań opisanych powyżej, powoduje magnetyczny lot tego wehikułu o charakterystycznym ruchu szarpanym,

jaki drastycznie różni się od aerodynamicznych (płynnych i jednostajnych) lotów współczesnych samolotów i bezwładnych lotów naszych rakiet. Dla postronnego obserwatora lot tego statku będzie nieco przypominał manewry owada zwanego ważką. Niezależnie od bezgłośnych lotów z olbrzymimi prędkościami (t.j. około 70 000 km/godź w atmosferze i bliskimi prędkości światła w próżni kosmicznej), następujące cechy charakteryzują magnetyczne poruszenia magnokraftów: (a) zawsze przyjmowanie tej samej orientacji wehikułu niezależnie od kierunku w którym się on porusza (t.j. jego podstawa jest zawsze utrzymywana prawie prostopadle do lokalnego przebiegu linii sił ziemskiego pola magnetycznego), (b) loty w większości drogi statku przebiegające wzdłuż linii prostych które w wielu przypadkach pokrywają się z liniami sił pola magnetycznego otoczenia lub z południkami magnetycznymi (loty w kierunkach równoleżnikowych wymagają bowiem włączenia wiru magnetycznego, który czasami jest niepożądany), (c) nieruchome zawisanie kończone gwałtownym przyspieszaniem wzdłuż jednej z powyższych linii prostych, (d) ostre zakręty pod kątem 90° (bez łuku przejściowego), (e) zygzakowanie i ruchy szarpane, (f) obracanie się (rotowanie) wehikułu wokół swej osi centralnej podczas nieruchomego zawisania. Warto tu dodać, że z uwagi na złożone sterowanie tego statku prawie całość lotów i manewrów magnokraftu kontrolowanych musi być przez komputer pokładowy (t.j. automatycznego pilota). Taka komputerowa kontrola oczywiście dodatkowo pogłębi wrażenie dziwności i automatyczności lotu u ewentualnego obserwatora.

W tym miejscu jednakże powinna zostać uwypuklona istotna różnica pomiędzy szarpanym charakterem lotów magnokraftu a przyspieszeniami doznawanymi przez jego załogę. Charakter lotów jest bowiem czysto subiektywnym odczuciem wynikającym z naszego braku przyzwyczajenia do obserwacji raptownych (t.j. magnetycznie indukowanych) zmian orientacji i kierunku lotu tego wehikułu. Natomiast przyspieszenia doznawane przez załogę są wielkością mierzalną i wynikającą z wartości siły napędowej formowanej przez pędniki tego statku. Ponieważ kapsuły dwukomorowe używane w tych pędnikach zezwalają na niezwykle płynne sterowanie swego wydatku magnetycznego (patrz opisy z podrozdziału C6.1) stąd również przyspieszenia oddziaływujące na załogę magnokraftu mogą być ściśle kontrolowane przez komputer pokładowy sterujący tym statkiem i utrzymywane przez niego wewnątrz z góry zaakceptowanego przez załogę zakresu. Dlatego też wielkość przyspieszeń oddziaływujących na załogę magnokraftu na życzenie może być ustawiona nawet na wartość znacznie mniejszą od wartości przyspieszeń oddziaływujących na załogi i pasażerów dzisiejszych samolotów.

Po wylądowaniu, potężne pole magnetyczne magnokraftu działa jak ogromna kuchenka mikrofalowa wypalając charakterystyczny kolisty ślad na glebie zwany "ładowiskiem". Ponieważ w obrębie tego śladu wszystkie mikroorganizmy zostają ugotowane, wysterylizowana w ten sposób gleba sprzyja rozwojowi grzybni. Dzięki temu były lądowiska wszystkich statków magnokrafto-podobnych często ujawniają się jako kręgi grzybowe. Z nominalnych średnic "d" takich kręgów (patrz rysunek D1 "c") możliwe jest wyznaczenie typu "K" magnokraftu który je wypalił. Średnice "d" muszą bowiem spełniać równanie:

$$d = D / \sqrt{2} \quad (D4)$$

które po podstawieniu do niego wartości D wynikających z równania (D3) przyjmuje także postać:

$$d = 0.5486 \cdot 2^K / \sqrt{2} \text{ [metrów]} \quad (D5)$$

Wartości tych średnic nominalnych "d" dla poszczególnych typów magnokraftu zestawiono w tabelach D1 i E1.

D2.1. Nazewnictwo biegunowości magnesów

We współczesnej fizyce przyjęto następującą zasadę nazywania biegunów magnetycznych: "Północny (N) biegun magnetyczny jest to biegun panujący na tym czubku igły kompasu magnetycznego który skierowany jest ku północy." W efekcie tej notacji,

północny biegun magnetyczny Ziemi jest biegunem panującym w pobliżu południowego bieguna geograficznego naszej planety i vice versa.

Być może, że powyższa komplikacja nie posiada poważniejszego znaczenia podczas fizycznej interpretacji elektryczności i magnetyzmu. Jednakże gdyby użyć ją dla oznaczania biegunowości magnokraftu w odniesieniu do położenia geograficznego tego statku, wprowadziłaby ona ogromną liczbę nieporozumień i konfuzji. Dlatego też aby ustandaryzować nasze zrozumienie dla geograficznych i magnetycznych biegunów Ziemi, a także aby wprowadzić racjonalność do opisów polaryzacji magnokraftu w odniesieniu do geograficznego położenia tego statku, autor zdecydował się zreformować definicję biegunowości magnetycznej. Stąd w niniejszej monografii, a także we wszystkich innych publikacjach autora, nazwy biegunów magnetycznych zostały zdefiniowane jak następuje: "Północny (N) biegun magnetyczny jest to biegun ziemskiego pola magnetycznego jaki panuje w pobliżu północnego bieguna geograficznego Ziemi, podczas gdy południowy (S) biegun magnetyczny jest to biegun ziemskiego pola magnetycznego jaki panuje w pobliżu południowego bieguna geograficznego Ziemi." Jednocześnie kod kolorów przyjęty przez autora dla oznaczania biegunowości magnesów odpowiada kolorowi świecenia zjonizowanego powietrza przy wylotach pędników magnokraftu o danej biegunowości, t.j. kolor żółty dla oznaczenia bieguna "N" i kolor zielony dla oznaczenia bieguna "S" (patrz też rysunek H3).

W tym miejscu warto podkreślić, że definicja autora odwraca nazwy biegunów magnetycznych w stosunku do nazw obecnie używanych w podręcznikach fizyki, a także zmienia kolory poprzednio używane do ich oznaczania (t.j. niebieski i czerwony na żółty i zielony). Tak więc na czubku igły kompasu skierowanym ku północy, zgodnie z definicją autora panuje teraz południowy "S" (nie zaś północny jak poprzednio) biegun magnetyczny. Niniejszym autor apeluje więc do naukowców, autorów podręczników, wykładowców, nauczycieli, inżynierów i studentów, aby poszli za jego przykładem i wprowadzili do użytkowania powyższą zreformowaną i bardziej racjonalną definicję biegunowości magnetycznej oraz kod kolorystyczny do jej wyrażania.

D3. Osiągi magnokraftów pierwszej generacji

Nielimitowane możliwości, jakie zbudowanie pierwszego magnokraftu otworzy dla naszej cywilizacji, uzmysławia poniższy przegląd właściwości użytkowych tego wehikułu.

Napęd magnokraftu może pracować w trzech zupełnie odmiennych trybach działania, podczas których pole magnetyczne statku albo pozostaje w stanie (1) stacjonarnym (t.j. stałowartościowym - podobnym do pola wytwarzanego przez magnesy trwałe), albo też przyjmuje ono jeden ze stanów dynamicznych, t.j. (2) pulsowania (t.j. "bicia" jak ludzkie serce), lub (3) wirowania. Załoga magnokraftu w każdej chwili może włączyć dowolny z tych trzech stanów, lub przełączyć płynnie dany stan działania napędu na jeden z dwóch stanów pozostałych. Po pełnym włączeniu danego stanu, magnokraft nabierze właściwości charakterystycznych dla tego stanu, a równocześnie zanikną w nim właściwości charakterystyczne dla pozostałych stanów. Warto jednakże pamiętać, że z uwagi na płynność sterowania polem magnokraftu, podczas przechodzenia z jednego stanu działania na drugi, zawsze będą istniały takie parametry działania napędu, przy których statek posiada atrybuty charakterystyczne dla obu stanów. Powyższe wystąpi szczególnie ostro podczas płynnego przechodzenia pomiędzy stanami pulsującego pola i stacjonarnego pola; kiedy to powłoka magnokraftu będzie częściowo widoczna, jednakże w pobliżu pędników statku występować będzie zjawisko zwane "soczewką magnetyczną" - patrz opis poniżej. Ponieważ właściwości magnokraftu drastycznie różnią się w poszczególnych stanach, każdy z nich omówiony zostanie oddzielnie.

1. Stan stałego pola magnetycznego, zwany także "trybem soczewki magnetycznej". Jest on najbardziej bezpiecznym stanem pola magnokraftu. Bliska obecność statku znajdującego się w tym stanie nie wprowadza poważniejszego zagrożenia dla organizmów żywych, chociaż jego potężne pole magnetyczne może spowodować w nich przypadek

chwilowego paraliżu. Magnokraft w tym stanie może latać jedynie wzdłuż południków magnetycznych, z prędkościami poniżej bariery termicznej, oraz z "bangiem" przekraczania bariery dźwięku. Wokół jego powłoki występuje wtedy zjawisko zwane "soczewką magnetyczną". Soczewka ta czyni statek niewidzialnym dla postronnego obserwatora oraz dla radaru. Jednocześnie uniemożliwia ona też wzrokową (bezinstrumentową) obserwację otoczenia przez załogę statku. Ponieważ teoria omawiająca zjawisko "soczewki magnetycznej" jest stosunkowo złożona, czytelnicy chcący się z nią dokładniej zapoznać powinni sięgnąć do monografii [1a]. Poniżej przytoczono jedynie jej skrótowe omówienie.

Soczewka magnetyczna jest to odpowiednia konfiguracja potężnego, stałego pola magnetycznego, którym magnokrafty mogą się owijać (osłaniać) w celu odchylenia padającego na nie światła. Pole magnokraftu zawiera ogromną ilość energii magnetycznej. Zgrubne obliczenia dokonane przez autora wykazały że najmniejszy z magnokraftów, nazywany typem K3, więzi w swym polu odpowiednik energetyczny dla 1 megatony TNT. Natomiast pojedynczy magnokraft typu K6 więzi ilość energii odpowiadającą eksplozji około 10 megaton TNT. Zgromadzenie całej tej ogromnej energii magnetycznej w niewielkiej przestrzeni bezpośrednio otaczającej magnokraft wprowadza określone następstwa. Zgodnie z relatywistyczną ekwiwalentnością masy i energii, wyrażoną przez słynne równanie Einstein'a: $E=mc^2$ (Ogólna Teoria Względności), ogromna gęstość energii magnetycznej zawartej wokół magnokraftu odpowiada zwiększonej gęstości masy. To z kolei powoduje, iż ośrodki przezroczyste znajdujące się tuż przy powierzchni tego statku (powietrze lub próżnia) zaczynają zachowywać się jakby dodano do nich niewidzialnej substancji (masy), zmieniając w ten sposób ich właściwości optyczne. Z uwagi na izotropową (włóknistą) strukturę linii sił pola magnetycznego, owa niewidzialna masa nabiera cech pęków przezroczystych światłowodów, podobnych do włókien z kabli optycznych. Stąd też włóknista przestrzeń otaczająca magnokraft jest w stanie zmienić przebieg światła przenikającego przez nią, poprzez zaginanie tego światła wzdłuż linii sił pola magnetycznego. W efekcie końcowym, ogromna gęstość linii sił pola magnetycznego wokół magnokraftu wprowadza izotropowe własności (nazywane tu "soczewką magnetyczną") na ośrodek otaczający ten statek. W ośrodku tym światło jest w stanie przenikać jedynie wzdłuż linii sił pola magnetycznego, jednakże nie jest w stanie przeniknąć w poprzek tych linii sił. Sytuacja która w najbardziej drastyczny sposób ujawnia istnienie soczewki magnetycznej zilustrowana została na rysunku D2. Magnokraft osłonięty taką soczewką staje się więc niewidzialny dla postronnego obserwatora. Stąd też wszystkie wehikuły magnokrafto-podobne będą wytwarzały takie soczewki w celu ukrycia się przed niepożądanym zaobserwowaniem lub zarejestrowaniem instrumentami optycznymi czy radarem. Załogi statków magnokrafto-podobnych są więc w stanie bawić się w "kotka i myszkę" z osobami próbującymi je zaobserwować lub sfilmować.

Dla wyeliminowania efektu tej soczewki, pole magnokraftu musi pulsować lub wirować.

2. Stan pulsującego ("bijącego") pola magnetycznego. Magnokraft w tym stanie jest relatywnie bezpieczny oraz wyraźnie widoczny. Jednakże może on latać jedynie wzdłuż południków magnetycznych, z prędkościami poniżej bariery termicznej, oraz z "bangiem" przekraczania bariery dźwięku. W stanie tym wydatek pędników statku pulsuje w sposób naśladujący skurcze i rozprężenia (bicie) serca. Takie pulsujące pole statku przypomina więc pole ze współczesnych transformatorów elektryczności. Indukuje ono prądy w otaczających przewodnikach, powodując np. zadziałanie radio-odbiorników, silników elektrycznych i innych urządzeń elektromagnetycznych odłączonych od zasilania. Powoduje ono też wibrowanie otaczających przedmiotów przewodzących, co z kolei wywołuje ich buczenie zbliżone do dźwięku wzbudzanego przez pracujące stacje transformatorowe. W stanie tym komory oscylacyjne magnokraftu mogą także absorbować energię elektryczną bezpośrednio z linii elektrycznych, działając jak ogromne transformatory. Ponieważ składowa pulsująca (F) pola magnetycznego o przebiegu formowanym przez ten wehikuł (patrz wykres z rysunku C8) odpycha przedmioty ferromagnetyczne z otoczenia, zaś składowa stała (F_0) przyciąga te przedmioty, w stanie "bijącego pola" magnokraft zazwyczaj wytwarza "neutralne" pole magnetyczne jakie

zachowuje się jak "antygravitacja", t.j. zarówno nie przyciąga, jak też i nie odpycha ono przedmiotów ferromagnetycznych.

Jednym z ciekawszych zjawisk optycznych formowanych przez magnokrafty jedynie w stanie "bijącego" pola są tzw. "czarne belki". Belki te formowane są z kolumn wysoko-skocentrowanego, pulsującego pola magnetycznego o ostro wyodrębniających się granicach. Stąd w sensie zasady formowania są one oparte na tym samym zjawisku izotropowości optycznej super-gęstego pola magnetycznego co omówiona poprzednio soczewka magnetyczna. Jednak, z uwagi na szybkozmienność pulsowań pola statku, zamiast uginać światło tak jak owe soczewki, belki te pozwalają światłu wnikać do nich, ale nie zezwalają już na jego wyjście czy przeniknięcie i odbicie z powrotem do obserwatora. Stanowią więc one rodzaj pułapki dla światła w podręcznikach fizyki opisywanej pod nazwą "czarna dziura" (przykładem "czarnej dziury" jest mały otwór w dużej, pustej, nieprzeźroczystej beczce). Czarne belki mogą zostać zauważone tylko w przypadku gdy: (1) obserwator patrzy na nie w przybliżeniu z kierunku prostopadłego do przebiegu linii sił formującego je pola, oraz (2) pole to pulsuje z częstotliwością wyższą niż częstość zmian rejestrowalnych przez oczy tego obserwatora (t.j. powyżej około 20 Hz). Aczkolwiek przy właściwym kącie patrzenia można je zaobserwować prawie na każdym wylocie z pędników stabilizacyjnych magnokraftu (patrz rysunek K1), istnieje kilka konfiguracji sprzęgniętych magnokraftów jakie dostarczają najlepiej wyróżniających się przykładów tych belek. Konfiguracje te charakteryzują się ustawieniem pędników bocznych sprzęganych ze sobą statków w pewnej odległości od siebie ale za to w pozycjach umożliwiających wzajemne przechwytywanie swojego wydatku magnetycznego. Na rysunku D3 przykłady takich konfiguracji to #2 i #3. Niezależnie od wylotu pędników magnokraftu, ten sam efekt obserwowany też może zostać przy kilku innych okazjach, przykładowo czarne obszary widoczne na zarysach kapsuł dwukomorowych (patrz rysunek C5) powstają dokładnie w efekcie tego samego zjawiska, a także czarne wiertła ze statku czteropędnikowego (patrz rysunek E1) są również jego odmianą.

3. Stan wirującego pola, zwany także "trybem wiru magnetycznego". W stanie tym magnokraft jest wysoce niebezpieczny, ponieważ powoduje on ugotowanie (jak kuchenka mikrofalowa) okolicznych organizmów żywych oraz indukcyjne zamienienie w materiał wybuchowy pobliskich przedmiotów przewodzących (np. 17 stycznia 1948 roku, Kapt. Thomas Mantell z Fortu Knox, USA, zginął w efekcie takiej indukcyjnej zamiany metalu w materiał wybuchowy, gdy jego myśliwiec Mustang eksplodował po zbliżeniu się do już działającego wehikułu magnokrafto-podobnego). Atrybuty magnokraftu pracującego w trybie wiru magnetycznego definiowane są przez następujące mechanizmy działania. Wirujące pole magnokraftu powoduje kumulacyjną jonizację otaczającego ośrodka (np. powietrza). To z kolei formuje wir plazmowy, jaki podąża w ślad za wirem magnetycznym. Siły odśrodkowe, działające na każdą cząsteczkę takiego wiru plazmowego, powodują odrzucanie otaczającego ośrodka od powierzchni wehikułu. W konsekwencji magnokraft wytwarza wokół swej powłoki rodzaj lokalnego "bąbla próżniowego" umożliwiającego mu loty bez obecności tarcia. To zezwala magnokraftowi na przekraczanie bariery termicznej i latanie z prędkościami do 70000 km/h w atmosferze, niezależnie od osiągnięcia w próżni kosmicznej prędkości bliskich szybkości światła. Bąbel próżniowy otaczający ten statek chroni go także przed działaniem energii termicznej podczas lotów w rozpalonych cieczach (np. lawie) oraz w gorących gazach. Bezgłośny charakter oddziaływań magnetycznych, w połączeniu z eliminowaniem stożka ciśnienia czołowego przez wir plazmowy, umożliwia magnokraftowi bezgłośność lotów. Wir plazmowy formuje także wokół tego statku rodzaj wirującego palnika tarczowego (piły plazmowej) zdolnego do penetrowania ośrodków stałych. Ów palnik umożliwia loty wehikułu poprzez ośrodki stałe, takie jak skały, budynki, bunkry, wypalając w nich długie, szkliste i geometrycznie ukształtowane tunele (patrz przykłady w monografii [5]). Odśrodkowe działanie wiru plazmowego, wsparte na siłach magnetycznego oddziaływania pomiędzy pędnikami wehikułu, wytwarza rodzaj magnetycznego szkieletu, jaki nadaje magnokraftowi zdolności do zniesienia każdego ciśnienia zewnętrznego. Ten niewidzialny szkielet pozwala na zanurzanie się statku do dowolnej głębokości, umożliwiając mu docieranie nie tylko do dna rowów oceanicznych, ale

także na loty do centrum planet lub nawet gwiazd (bąbel próżniowy chroni ten wehikuł także przed temperaturami panującymi w centrach planet). Wirujące pole magnetyczne wehikułu indukuje silne prądy wirowe w materiałach przewodzących z bliskiego otoczenia statku, zamieniając te przewodniki w materiał wybuchowy. To z kolei formuje wokół magnokraftu rodzaj rozległego pancerza indukcyjnego, jaki niszczy wszelkie obiekty przewodzące które zbliżą się do tego statku wzdłuż trajektorii jego lotu (np. pociski, samoloty, meteoryty, a nawet mosty metalowe, uprząż, czy stojadła kuchenne).

W każdym trybie działania napęd magnokraftu nie wytwarza dźwięku oraz nie zanieczyszcza chemicznie otaczającej go atmosfery.

D4. Sprzęganie magnokraftów w złożone konfiguracje latające

Jednym z najbardziej istotnych cech pędników magnokraftu (wykorzystujących kapsuły dwukomorowe) jest, że pozwalają one na łatwe i całkowite panowanie nad produkowanym przez siebie wydatkiem oraz nad kierunkiem swych biegunów magnetycznych. Stąd, niezależnie od swych funkcji napędowych, mogą one być użyte jako magnetyczne urządzenia sprzęgające, które pozwalają na dołączanie jednego wehikułu do drugiego bez zaburzenia zdolności napędowych żadnego z nich. Po takim dołączeniu cały kompleks magnokraftów może być pilotowany przez pojedynczą osobę, umożliwiając pozostałym pilotom na odpoczynek, czynności socjalne, wizytowanie lub badania naukowe. Z uwagi na ów połączeniowy potencjał magnokraftów, jednym razem wehikuły te będą obserwowane jako pojedyncze, spodko-kształtne statki, innym zaś razem jako latające kompleksy złożone z wielu wehikułów i przyjmujące kształty cygar, kul, choinek, platform, oraz setek innych możliwych kształtów - patrz zestawienie z rysunku D3.

Najprostrze konfiguracje latające otrzymywane są poprzez fizyczne złożenie jakiegoś wehikułu z innym (lub innymi) magnokraftami. Z uwagi na atrybuty owego złożenia, owe najprostrze konfiguracje magnokraftów nazywane są "fizycznymi kompleksami latającymi". Jeden z wielu możliwych ich przykładów pokazano w części #1 rysunku D3. Wśród wielkiej różnorodności istniejących kompleksów fizycznych, jedną z najczęściej formowanych konfiguracji magnokraftów będzie "cygaro posobne". Takie latające cygaro otrzymywane jest poprzez nałożenie wklęsłych podstaw jednych magnokraftów na wypukłe kopuły innych statków. Otrzymywana w efekcie wynikowa konfiguracja przypomina trochę stos talerzy w kuchni poukładanych jeden na wierzchołku drugiego - patrz część #1 na rysunku D3.

Teoria Magnokraftu informuje, że istnieje aż 6 różnych klas konfiguracji w które wehikuły te można formować na czas lotów - jak to pokazano na rysunku D3. Ze wszystkich tych sześciu klas najbardziej interesujące są tzw. "latające klustery", których jeden z wielu możliwych przykładów zilustrowany został w części #6 rysunku D3. Klustery takie są w stanie sprzęgać ze sobą wszystkie inne połączenia magnokraftów w rodzaj ogromnych latających pociągów. Z uwagi na szczególne znaczenie tych właśnie konfiguracji przy formowaniu osławionych niedawno tzw. "kręgów zbożowych" znajdujących w Anglii, ten typ połączenia statków magnokrafto-podobnych omówiony został bardziej szczegółowo w monografii [5].

Magnokraft czteropędnikowy

Niniejszy rozdział zaprezentuje kolejny wehikuł którego napęd wykorzystuje komory oscylacyjne. Statkowi temu przyporządkowano nazwę "magnokraft czteropędnikowy" albo "wehikuł czteropędnikowy". Aby wyraźnie odróżnić go od statku już opisanego w rozdziale D, tamten omówiony poprzednio statek będzie tu określany jako "dyskoidalny magnokraft" lub po prostu "magnokraft". Wehikuł czteropędnikowy, obok dyskoidalnego magnokraftu, reprezentuje drugie podstawowe zastosowanie pędników magnetycznych. Podczas jednak gdy działanie systemu napędowego magnokraftu jest najoptymalniejsze jeśli wykorzystuje ono tzw. "kapsułę dwukomorową", zrealizowanie wehikułu czteropędnikowego bezwzględnie wymaga użycia drugiej z konfiguracji komór oscylacyjnych, zwanej tu "konfiguracją krzyżową" - patrz opis w podrozdziale C6.2 niniejszej monografii. Każdy pędnik magnokraftu czteropędnikowego zawiera w sobie jedną taką konfigurację krzyżową. Pole magnetyczne wytwarzane przez tą konfigurację wykazuje obecność wszystkich atrybutów wymaganych dla lotów i manewrowania statku kosmicznego. To z kolei jest przyczyną dla której magnokraft czteropędnikowy może ograniczyć swój system napędowy do jedynie czterech pędników (w przeciwieństwie do minimum ośmiu pędników bocznych plus jeden pędnik główny wymaganych dla lotów dyskoidalnego magnokraftu). Ponieważ liczba pędników jest najbardziej charakterystycznym elementem wehikułu czteropędnikowego, jego nazwa wyraża sobą tą liczbę. Każdy z czterech pędników tego wehikułu zamocowany jest do jednej z czterech naroży kabiny załogi. Stąd, cztery beczko-podobne pędniki wystające na zewnątrz głównego korpusu tego wehikułu dostarczają dodatkowego szczegółu identyfikacyjnego, bardzo charakterystycznego dla tych statków kosmicznych.

Jeśli chodzi o chronologię budowy poszczególnych magnokraftów, wehikuł czteropędnikowy najprawdopodobniej będzie zbudowany jako trzeci wehikuł wykorzystujący komory oscylacyjne (po dyskoidalnym magnokrafcie bazującym na konfiguracjach krzyżowych, oraz dyskoidalnym magnokrafcie bazującym na kapsułach dwukomorowych - patrz okres 1C klasyfikacji podanej w podrozdziale G4). Przyczyną dla tego stanu rzeczy będzie, iż wehikuł ten wymaga znacznie bardziej wyrafinowanych systemów sterowania niż zwykły magnokraft. Systemy te będą więc mogły zostać opracowane dopiero kiedy w efekcie eksploatacji zwykłego magnokraftu nasza cywilizacja zakumuluje odpowiedni zasób wiedzy o sterowaniu statków z napędem magnetycznym. Aczkolwiek więc konfiguracje krzyżowe stosowane w pędnikach wehikułu czteropędnikowego są prostsze w budowie niż kapsuły dwukomorowe stosowane w pędnikach dyskoidalnego magnokraftu, owe zastrzone wymagania na system sterowniczy spowodują, iż wehikuł ten będzie musiał odczekać nieco na swoją kolejność do zbudowania (patrz podrozdział G4).

E1. Ogólna konstrukcja magnokraftu czteropędnikowego

Ogólna budowa (konstrukcja) i wygląd magnokraftu czteropędnikowego pokazane zostały w części (a) rysunku E1. Wehikuł ten składa się z dwóch zasadniczych podzespołów, t.j.: korpusu (2) i pędników (3).

Korpus główny (2) stanowi zasadniczy element magnokraftu czteropędnikowego. Korpus ten najczęściej przyjmie formę sześciennego lub prostopadłościennego domku. Na wierzch tego domku nałożony zostaje dach (1) w kształcie piramidki, jaki nadaje wynikowej konstrukcji wymaganej aerodynamiczności, a jednocześnie umożliwia już ze znacznej odległości rozpoznanie typu danego wehikułu.

Główny korpus (2) magnokraftu czteropędnikowego zajmowany jest przez jego przestrzeń życiową. Korpus ten jest hermetycznie osłonięty poszyciem wykonanym z materiału nieprzenikalnego dla pola magnetycznego (t.j. odznaczającego się własnością nazywaną "magnetorefleksyjnością"). Stąd wewnątrz wehikułu czteropędnikowego jest zabezpieczone przed dostępem do niego niebezpiecznego pola magnetycznego. Zawarte w tym korpusie pomieszczenia jak kabina załogi, pomieszczenia dla pasażerów, przestrzeń bagażowa; ich wyposażenie, np. komputer pokładowy, urządzenia nawigacyjne i pokładowe, system podtrzymywania życia; oraz zapasy; wszystko to osłonięte jest więc przed niszczycielskim działaniem potężnego pola magnetycznego wytwarzanego przez pędniki wehikułu.

Ściany korpusu wehikułu, oraz osłanianej przez ten korpus przestrzeni życiowej, wykonane są z lustro-podobnego, przezroczystego materiału, którego stopień przezroczystości i odbicia światła może zostać regulowany przez załogę. Stąd podczas lotów w nocy, załoga wehikułu może czynić te ścianki całkowicie przezroczyste, zamieniając swój wehikuł w rodzaj domku ze szkła. Natomiast przy lotach w przestrzeni kosmicznej w pobliżu słońc, załoga może zamieniać ścianki statku w srebrzyste lustra całkowicie odbijające padające na nie światło, tak że we wnętrzu wehikułu będzie wtedy panował przyjemny półcień. W pozostałych przypadkach lotów, ścianki te mogą zostać wysterowane na przyjęcie dowolnego stanu pomiędzy tymi dwoma skrajnościami. Nie istnieje więc potrzeba aby magnokraft czteropędnikowy dodatkowo wyposażać w okna. Niemniej, aby umożliwić załodze i pasażerom wchodzenie na pokład i opuszczanie statku, wehikuł ten musi posiadać drzwi.

Beczko-podobne lub amforo-podobne pędniki (3) magnokraftu czteropędnikowego zajmują wszystkie cztery naroża jego prostopadłościennego lub sześciennego korpusu. Każdy z tych pędników wytwarza swoją własną kolumnę wirującego pola magnetycznego, której rdzeń na rysunku E1 oznaczony został jako (4). Z powodów omówionych w dalszej części tego opracowania (patrz podrozdział E4), kolumny te będą wyraźnie widoczne dla postronnego obserwatora jako rodzaj czarnych, wirujących, ogromnych wiertel.

Ogólna konstrukcja pędnika magnokraftu czteropędnikowego pokazana została w części (b) rysunku E1. Pędnik taki zawiera w sobie pięć komór oscylacyjnych posiadających taki sam, kwadratowy przekrój poprzeczny. Komory te zestawione zostają razem w konfigurację krzyżową już omówioną w podrozdziale C6.2. W konfiguracji tej jedna z komór, nazywana komorą główną (patrz M na rysunkach C7 i E1), umieszczona jest w centrum i następnie otoczona przylegającymi do niej czterema komorami bocznymi (patrz U, V, W i X na rysunkach C7 i E1). Komora główna jest czterokrotnie dłuższa od każdej z komór bocznych, ponieważ jej objętość musi być równa ich sumarycznej objętości. Konfiguracja krzyżowa komór oscylacyjnych z każdego pędnika od zewnątrz okrywana jest owiewką aerodynamiczną wykonaną z materiału przenikalnego przez pole magnetyczne. Owa owiewka aerodynamiczna może nadawać pędnikowi albo kształt beczki - patrz "1" w części (c) rysunku E1, albo też kształt amfory - patrz "2" w części (b) rysunku E1.

E2. Działanie magnokraftu czteropędnikowego

Działanie magnokraftu czteropędnikowego jest nieco odmienne od działania pozostałych napędów magnetycznych omawianych w rozdziałach D i F, t.j. dyskoidalnego magnokraftu oraz napędu osobistego. Z drugiej strony działanie to jest także nieco do nich podobne. We wehikule czteropędnikowym każdy z jego pędników jest bowiem zdolny do samodzielnego lotu i manewrowania. Stąd korpus główny tego wehikułu jest unoszony w przestrzeni jakby przez cztery dołączone do niego ale nawzajem niezależne dyskoidalne magnokrafty, lecące po równoległych trajektoriach. Każdy z pędników tego wehikułu wytwarza też własną kolumnę wirującego pola magnetycznego.

Zestawienie komór oscylacyjnych pędnika wehikułu czteropędnikowego w konfigurację zwaną "konfiguracja krzyżowa" nadaje mu szereg unikalnych cech jakie poprzednio zapewniane były tylko przez układ napędowy całego dyskoidalnego

magnokraftu - porównaj podrozdziały C6.2 i D2. Przykładowo jeden taki pędnik jest zdolny do samodzielnego produkowania wirującego pola magnetycznego którego wszystkie parametry mogą być ściśle kontrolowane. Stąd nawet jeśli działając w odosobnieniu od pozostałych pędników danego wehikułu, ciągle byłby on zdolny do kontrolowania swego lotu i manewrów. We wielkim uproszczeniu możnaby więc powiedzieć, że latanie magnokraftem czteropędnikowym polega na ko-ordynowaniu pracy wszystkich czterech jego pędników zachowujących się jak niezależne wehikuły, tak aby wynikowy efekt ich działania powodował popychanie korpusu statku w pożądanym kierunku. Niemniej, jak to prawdopodobnie czytelnik uświadomi sobie z treści niniejszego rozdziału, sterowanie wehikułem czteropędnikowym jest wielokrotnie bardziej złożone niż sterowanie dyskoidalnym magnokraftem.

Pędniki wehikułu czteropędnikowego są w stanie wytworzyć dwa rodzaje wirów magnetycznych: własny i wehikułu. Wir własny jest bezustannie wytwarzany przez każdy z pędników i polega on na wprowadzaniu pola magnetycznego produkowanego przez ten pędnik w lokalny ruch wirujący następujący wokół jego osi magnetycznej "m". Na rysunku E1 takie cztery wiry własne pędników oznaczone zostały jako kolumny (4) wirującego pola magnetycznego. Wir wehikułu włączany jest jedynie w szczególnych przypadkach (np. szybkich lotów na dużych wysokościach lub w próżni kosmicznej) i powstaje on gdy wszystkie cztery pędniki statku ko-operują ze sobą (t.j. pulsują z wzajemnym 90 przesunięciem fazowym) formując wynikowe zawirowanie pola magnetycznego jakie w swym ruchu obiegowym wiruje naokoło korpusu statku. Jednakże zasada formowania owego wynikowego zawirowania pola we wehikule czteropędnikowym jest odmienna niż zasada formowania wiru magnetycznego w dyskoidalnym magnokrafcie. Wytwarza ona bowiem zjawisko wyporu magnetycznego zamiast zjawiska rotowania obwodów magnetycznych. Ponadto wirowanie linii sił pola tego statku następuje wzdłuż odmiennych trajektorii. Stąd wynikowy wir wehikułu czteropędnikowego nie jest tak efektywny jak wir formowany przez dyskoidalny magnokraft. Z ledwością wystarcza więc on do uformowania pancerza indukcyjnego jaki osłania ten statek przed obiektami materialnymi kierowanymi w niego (pociskami, meteorytami), ale jest niewystarczający dla wytworzenia efektywnego bąbla próżniowego. Z tego też powodu, jak to zostanie podkreślone w dalszej części tego opracowania, wehikuł czteropędnikowy nie będzie się odznaczał żadnymi z własności jakich powstanie uzależnione jest od zaistnienia bąbla próżniowego.

Wszystkie pędniki magnokraftu czteropędnikowego wytwarzają niezwykle potężne pole magnetyczne. Jednocześnie, bieguny jednoimienne tych pędników zwrócone są w tym samym kierunku (np. biegun N każdego pędnika ku dachowi wehikułu). Stąd, gdyby ich wydatek pozostawał niewirującym, wtedy musiałyby one nawzajem się odpychać z ogromnymi siłami. Jednakże ponieważ ich wydatek wiruje, wytwarzają one relatywistyczne zjawisko opisane poniżej jakie neutralizuje siły ich wzajemnego odpychania się od siebie. W ten sposób, siłowa stabilność magnokraftu czteropędnikowego uzyskiwana jest na drodze dynamicznej (nie zaś statycznej jak w dyskoidalnym magnokrafcie). Podstawowym więc wymogiem wzajemnej neutralizacji odpychania magnetycznego pomiędzy poszczególnymi pędnikami tego statku jest, iż pole magnetyczne produkowane przez każdy z jego pędników musi nieustannie wirować, nawet jeśli cały wehikuł zawisa bez ruchu.

Relatywistyczne zjawisko wykorzystane do neutralizacji oddziaływań pomiędzy pędnikami statku czteropędnikowego jest dosyć dobrze znane osobom obznajomionym z magnetyzmem. Polega ono na powiększaniu się efektywnej długości magnesu w przypadku szybkiego wirowania jego linii sił wokół ich osi magnetycznej - patrz podrozdział G5.3 w [1a]. Jeśli owe linie sił pola magnetycznego wirują wystarczająco szybko wokół osi centralnej takiego magnesu, ich zakrzywienie zaczyna zacieśniać (kurczyć) się dośrodkowo ku tej osi, zaś w wyniku końcowym wydatek magnesu zostaje stopniowo ograniczony do niewielkiego obszaru rozciągającego się wzdłuż tej osi magnesu. To z kolei przemienia początkowo krótki magnes o szeroko rozbiegającym się polu, w magnes którego pole jest bardzo długie ale zawężone w formę cienkiego pręta. Oczywiście nie jest możliwym mechaniczne zawirowanie pędników do szybkości wystarczająco wysokich aby wytwarzane przez nie pole zawężyło się do słupów o grubości mniejszej od szerokości omawianego tu

statku kosmicznego. Jednakże konfiguracja krzyżowa z pędników wehikułu czteropędnikowego symuluje takie wirowanie za pośrednictwem formowania rotującej fali magnetycznej, podobnej do fali wytwarzanej przez pędniki boczne dyskoidalnego magnokraftu (patrz opisy w podrozdziałach D2 i C6.2). Owa fala wiruje wokół centralnej osi magnetycznej "m" każdego pędnika. Ponieważ zdolna jest ona do osiągnięcia każdej wymaganej prędkości kątowej, jej sterowanie powoduje kontrolowane formowanie opisanego tu zjawiska relatywistycznego jakie utrzymuje wehikuł czteropędnikowy w dynamicznej stabilności siłowej.

E3. Własności magnokraftu czteropędnikowego

Różnice w działaniu wehikułu czteropędnikowego w porównaniu z działaniem dyskoidalnego magnokraftu, powodują powstanie różnic we własnościach obu tych statków. Generalnie rzecz biorąc, wehikuł czteropędnikowy nie jest w stanie wytworzyć efektywnego bąbla próżniowego wokół swej powierzchni (patrz podrozdział D3). Stąd wszystkie własności związane z istnieniem tego bąbla nie wystąpią w tym wehikule. Dla przykładu jego loty będą się łączyły z tarciami o atmosferę oraz z efektami dźwiękowymi formowanymi przez takie tarcie (przykładowo z głośnym "bangiem" podczas przechodzenia przez barierę dźwięku). Stąd szybkość wehikułu w atmosferze będzie także ograniczana przez barierę cieplną. Jednakże w przestrzeni kosmicznej szybkość tego wehikułu może być zbliżona do szybkości światła. Nieobecność bąbla próżniowego osłaniającego statek będzie też czynić niemożliwymi jego loty poprzez przedmioty stałe (takie jak skały czy budynki). Manewrowość wehikułu czteropędnikowego będzie na zbliżonym poziomie jak manewrowość dyskoidalnego magnokraftu. Natomiast jego zdolność do jonizowania otaczającego powietrza będzie mniejsza, stąd również jego obraz jonowy będzie posiadał znacznie inny kształt i elementy charakterystyczne. Przykładowo podczas wznoszenia się wehikułu ów obraz będzie zawierał cztery bardzo wyróżniające się kolumny zjonizowanego powietrza formowane przez cztery pędniki statku. Kolumny te dostawione będą do obwodu wynikowego wiru wehikułu, jaki domko-kształtny korpus statku otoczy zaokrągloną chmurą wirującej plazmy (patrz rysunek J3). Owa domko-kształtna chmura wirującej plazmy będzie mniej intensywna niż cztery zjonizowane kolumny odchodzące od pędników, ponieważ natężenie wytwarzającego ją pola jest też mniejsze. Podczas opadania wehikułu czteropędnikowego, słupy zjonizowanego powietrza wytwarzane przez wiry własne jego pędników mogą zaniknąć, stąd jedynie wynikowa, chatko-kształtna chmura otaczająca cały wehikuł może pozostać widoczna.

Kilka wehikułów czteropędnikowych jest w stanie łączyć się z innymi statkami magnetycznymi, formując w ten sposób wiele różnorodnych konfiguracji latających znanych już z opisów dyskoidalnego magnokraftu. Przykładowo para (dwa) lub więcej tych wehikułów może połączyć się razem formując odpowiednik cygaro-kształtnego kompleksu latającego (patrz część #1 rysunku D3), lub odpowiednik kompleksu kulistego (patrz rysunek H2). Również grupa cygar uformowanych w ten sposób może łączyć się dalej w którąś z konfiguracji wyższego rzędu, reprezentujących odpowiednik dla latającego systemu lub latającego klustera dyskoidalnych magnokraftów (patrz części #5 i #6 rysunku D3).

Wehikuły czteropędnikowe mogą również łączyć się z dyskoidalnymi magnokraftami w różnorodne konfiguracje latające. W połączeniach takich przywierają one do tych statków w sposób zapewniający, iż wyloty z ich pędników ustawiają się precyzyjnie na wylotach z bocznych pędników dyskoidalnych magnokraftów. Aby umożliwić takie ustawienie, wehikuły czteropędnikowe będą budowane jedynie we wielkościach jakie odpowiadają wymiarom poszczególnych typów dyskoidalnych magnokraftów (t.j. jakie umożliwiają ułożenie się osi pędników danego wehikułu z osiami pędników odpowiadającego mu typu dyskoidalnego magnokraftu). Z tego też powodu również opracowanych zostanie tylko osiem podstawowych typów wehikułu czteropędnikowego. Wymiary dla tych typów zestawiono w tablicy E1. Poszczególne typy tego wehikułu oznakowane zostały jako T3, ..., do T10.

Każdy z nich posiada rozstaw osi magnetycznych swych pędników rozłożony dokładnie wzdłuż obwodu okręgu o średnicy nominalnej "d" jaka precyzyjnie pokrywa się z rozstawem pędników bocznych u takiego samego typu dyskoidalnego magnokraftu. Przykładowo typ T3 wehikułu czteropędnikowego posiada swe pędniki ustawione dokładnie na wylotach pędników bocznych w typie K3 dyskoidalnego magnokraftu, typ T4 - w typie K4, itd.

Podobnie jak dyskoidalny magnokraft, również magnokraft czteropędnikowy podczas lądowania wypali w glebie charakterystyczne ślady zwane "lądowiskami". Lądowiska te składać się będą z czterech kolistych wypaleń na ziemi, spowodowanych przez każdy z czterech pędników tego wehikułu - patrz (6) na rysunku E1. Rozłożenie tych wypaleń odpowiadać powinno w przybliżeniu narożnikom czworoboku o wymiarach nieco większych od wymiarów danego statku (t.j. wymiary statku powinny dać się wpisać w obręb uformowanych przez niego śladów). Jednakże z uwagi na fakt że wehikuł czteropędnikowy zwykle zawisa nieco nachylony, a także że osie magnetyczne jego poszczególnych pędników nie są dokładnie równoległe do siebie (np. aby kompensować reakcyjny moment obrotowy od wiru wehikułu), wzajemne położenie śladów wypalonych w glebie może znacznie odbiegać od kształtu idealnego kwadratu lub prostokąta. Stąd w rzeczywistości ślady pozostawione przez wehikuł czteropędnikowy zwykle przyjmowały będą postać czterech podobnych wypaleń formujących narożniki czworokąta nierównobocznego (t.j. czworokąta którego każdy z boków posiada inną długość). Jeśli chodzi o kształt poszczególnych wypaleń pozostawianych przez cztery pędniki tego wehikułu, to zależał on będzie od trybu pracy użytych w nich konfiguracji krzyżowych. Przy ich trybie pracy z "dominacją strumienia wewnętrznego" (patrz opis w podrozdziale C6.2), wypalane zostaną w glebie charakterystyczne ślady składające się ze silnie zaznaczonego centralnego wypalenia i mniej wyraźnej pierścieniowatej obwódki. Takie właśnie ślady zilustrowano na rysunku E1 (wskazano je tam odnośnikiem "6"). W przypadku trybu pracy pędników z "dominacją strumienia zewnętrznego", każdy z nich uformuje ślad w kształcie silnie wypalonego pierścienia (obwódki) z mniej wypalonym centralnym obszarem. Warto tu też dodać, że teoretycznie rzecz biorąc część pędników (np. dwa) wehikułu czteropędnikowego mogłaby pracować w dominacji strumienia wewnętrznego, część zaś (np. pozostałe dwa) w dominacji strumienia zewnętrznego. W takim przypadku wypalenia formowane przez nie w glebie mogłyby przyjąć postać mieszaniny obu powyżej omówionych śladów. Niemniej w praktyce tak duża elastyczność działania pędników jest prawdopodobnie niemożliwa z uwagi na niepomiarowo większą złożoność komputerowych programów sterujących danym wehikułem wymaganą dla jej realizacji (programy takie musiałyby być wielokrotnie obszerniejsze i bardziej uniwersalne od programów sterujących zezwalających wszystkim pędnikom jedynie na pracę w tym samym trybie). Stąd też prawdopodobnie takie mieszane ślady nie będą formowane w praktyce.

E4. Wygląd magnokraftu czteropędnikowego

Wygląd magnokraftu czteropędnikowego pokazany został w części (a) rysunku E1. Z uwagi na dynamiczne neutralizowanie w nim międzypędnikowych oddziaływań magnetycznych, kształt i wymiary przestrzeni życiowej wehikułu czteropędnikowego nie są ograniczane warunkami stabilności (jak to było w przypadku dyskoidalnego magnokraftu - patrz podrozdział G4.2 w [1a]). Stąd, głównymi kryteriami w projektowaniu kształtu tego wehikułu pozostają: (1) zezwolenie na magnetyczne sprzęganie tych wehikułów z dyskoidalnymi magnokraftami w latające konfiguracje; (2) zapewnienie możliwie najszybszej i najłatwiejszej identyfikacji typu danego wehikułu; (3) dostarczenie możliwie najwyższego komfortu lotu dla załogi i pasażerów; (4) zabezpieczenie najłatwiejszego lądowania; (5) wspomaganie możliwie najłatwiejszego załadunku, przenoszenia i rozładunku transportowanego bagażu, itp.

Powyższe kryteria konstrukcyjne zezwalają na określoną swobodę w projektowaniu kształtu korpusu wehikułu czteropędnikowego. Z uwagi jednak na najwyższą przydatność kształtu sześciennego do transportowania ludzi i bagażu, wehikuł ten najczęściej będzie

przyjmował właśnie kształt kostki sześcienniej (po angielsku "cubicle") z daszkiem przypominającym małą piramidkę - taki jak pokazany na rysunku E1 (a). W niektórych przypadkach może on też przyjąć formę prostopadłościennego domku (chatki) również z piramidkowym dachem. Oczywiście w szczególnych przypadkach dowolne inne kształty mogą też zostać użyte, dla przykładu kuliste, rakieto-podobne, czy stożkowe (ponieważ te odmienne kształty będą używane raczej rzadko, omówienie i ilustracja ich charakterystyk użytkowych zostały pominięte w niniejszym rozdziale).

Kryteria numer (1) i (2) wymienione powyżej narzucają szereg warunków matematycznych na wymiary wehikułu czteropędnikowego. Aby usatysfakcjonować owe warunki wymiary te muszą spełniać różne współzależności i równania jakich wyprowadzenie zostanie tu pominięte, jakie jednak przytoczone zostały u spodu tablicy E1. Z uwagi na owe współzależności, wymiary poszczególnych typów wehikułów czteropędnikowych będą więc ściśle zdefiniowane. Ich wartości zestawione zostały w tablicy E1. Posiadanie owej tablicy umożliwia aby w przypadku ustalenia wartości jakiejś jednej wielkości dotyczącej danego wehikułu czteropędnikowego (np. liczby członków jego załogi), natychmiast stało się też możliwe odczytanie pozostałych danych opisujących ten wehikuł, takich jak jego wymiary, pędniki, waga, itp.

Istotnym elementem wyglądu wehikułu czteropędnikowego są długie, cienkie kolumny wirującego pola magnetycznego produkowanego przez każdy z jego pędników. Ponieważ kolumny te posiadają wyraźnie zaznaczające się granice, zaś formujące je pole o ogromnej koncentracji jest zawsze szybko-pulsujące, stąd będą one stanowiły rodzaj pułapki dla światła (patrz opis "czarnych belek" z podrozdziału D3 tej monografii i G3.4 monografii [1a]). Podczas dnia dla przypadkowego obserwatora będą więc one wyglądały jakby zostały wykonane z czarnego materiału lub dymu. Ich ciągły ruch wirowy na przypadkowym obserwatorze może sprawiać wrażenie oglądania układu czterech czarnych wiertel wirujących z ogromnymi szybkościami.

Zupełnie odmienny wygląd te kolumny pola przyjmą jeśli będą one oglądane w nocy. Ponieważ jonizują one powietrze, ich wygląd na tle czarnego otoczenia będzie wtedy przypominał tzw. "biały szum" oglądany na ekranie telewizora (biały szum - po angielsku "white noise" jest to obraz złożony z białych i czarnych kropek jaki ukazuje się na ekranie telewizora jeśli telewizor ten pozostaje włączony ale nie odbiera żadnej stacji).

W każdej kolumnie pola odprowadzanego do otoczenia z pędników wehikułu czteropędnikowego daje się wyróżnić dwa obszary, t.j. ciemny rdzeń (4) i jaśniejszą otoczkę (5) w przypadku pracy tych pędników w trybie dominacji strumienia wewnętrznego - patrz część (a) na rysunku E1, lub jaśniejszy rdzeń i ciemną otoczkę w przypadku pracy tych pędników w trybie dominacji strumienia zewnętrznego. Rdzeń (4) uformowany zostaje w efekcie wirowania wokół własnej osi magnetycznej "m" wydatku z głównej komory osylacyjnej (na rysunku E1 oznaczonej jako M) konfiguracji krzyżowej danego pędnika. Natomiast cztery ramiona otoczki (5) formowane są w efekcie wirowania wokół rdzenia (4) wydatków z czterech bocznych komór oscylacyjnych (na rysunkach E1 i C7 oznaczonych jako U, V, W i X) danej konfiguracji krzyżowej. Wydatki tych komór bocznych przylegają do rdzenia i wirują wraz z nim w podobny sposób jak pióra wiertła przylegają i wirują wraz z rdzeniem tego wiertła.

Jak to już wyjaśniono powyżej, podczas dnia dla zewnętrznego obserwatora wygląd owych dwóch części wirującej kolumny pola pędnika czyni to pole niezwykle podobne do wirującego czarnego wiertła. Owo wiertło z kolei nie jest zbyt odległe we wyglądzie od czarnego śmigła helikopterowego, tyle tylko iż zamiast być płaskim i szerokim jest ono wąskie i długie. To, razem z kanciastym, helikoptero-podobnym kształtem samego wehikułu, może spowodować u niektórych - mniej obznajomionych z techniką lotniczą widzów, iż niekiedy będą oni mylić wehikuł czteropędnikowy z dwu- lub cztero-rotorowym helikopterem pozbawionym znaków rozpoznawczych (symboli rejestracyjnych).

Aby umożliwić innym podróżnikom przestrzeni kosmicznej szybkie identyfikowanie typu napotkanego przez nich magnokraftu czteropędnikowego, najważniejsze elementy geometryczne tego wehikułu budowane będą w odpowiednich proporcjach. W ten sposób identyfikowanie typu danego wehikułu stanie się niezwykle łatwe i stąd może być dokonywane nawet przez komputer. Identyfikowanie to wymaga jedynie wyznaczenia wzajemnej proporcji pomiędzy najważniejszymi wymiarami wehikułu. Z kolei, znajomość tych proporcji wskaże współczynnik typu "T" danego wehikułu czteropędnikowego. Wartość owego współczynnika typu jest równa stosunkowi gabarytowej wysokości "H" danego wehikułu do wysokości "Z" jego piramidkowego dachu (patrz rysunek E1):

$$T = H/Z \quad (E1)$$

Kiedy z proporcji wymiarowych danego wehikułu czteropędnikowego poznany zostanie jego współczynnik T, wszystkie pozostałe dane o tym wehikule mogą albo zostać odczytane z odpowiednich tablic (patrz tablica E1), albo też wyznaczone z odpowiednich współzależności matematycznych obowiązujących dla tych statków (patrz wzory zestawione pod tablicą E1).

Magnetyczny napęd osobisty

Prawie każdy z nas śnił kiedyś o lataniu. Przypomnijmy więc sobie jak ono wyglądało. Nasz mózg nabrzmiewał decyzją wzniesienia się w powietrze, zaś ciało posłuszenie i bezważko podążało za zleceniem woli. Nie musieliśmy wymachiwać rękami czy przebierać nogami. Wszystko co pomyśleliśmy zostało natychmiast wykonane.

Ciekawe skąd się bierze owa rozbieżność naszych snów z logiką która przecież podpowiada, iż latanie zawsze powinno wymagać wymachiwań (wszakże ptaki machaniem skrzydłami ciężko zapracowują na swoje loty). Autor uważa, że nasza intuicja już obecnie wie co nadejdzie w dalekiej przyszłości. Bezwysiłkowe sny naszego latania prawdopodobnie są więc intuicyjnymi obrazami urządzeń jakich zbudowanie ma dopiero nastąpić.

Jak nasi odlegli potomkowie odbywać będą latanie w powietrzu już obecnie daje się wydedukować na podstawie działania dyskoidalnego magnokraftu unoszącego się w pozycji odwróconej (jaką, dla odróżnienia od pozycji "stojącej" pokazanej na rysunku D1, możnaby nazwać pozycją "wiszącą"). Przypominając to działanie we wielkim uproszczeniu, urządzenia napędowe magnokraftu przyjmują formę potężnych źródeł pola ("magnesów") nazywanych tu pędnikami. Pole wytwarzane przez osiem pędników bocznych (patrz U, V, W, X na rysunku D1) odpycha wehikuł od pola magnetycznego Ziemi, wynosząc go w przestrzeń. Równocześnie pojedynczy pędnik główny (patrz M) umieszczony w centrum statku przyciągany jest przez pole ziemskie formując siłę stabilizacyjną jaka utwierdza zorientowanie statku w przestrzeni oraz kontroluje jego wzlot, zawisanie, lub opadanie.

Łatwo przewidzieć, że pędniki magnokraftu pewnego dnia zostaną zminiaturyzowane do kilkunastomilimetrowych rozmiarów i następnie zabudowane do elementów odpowiednio adaptowanej garderoby. W ten sposób otrzymany zostanie nowy rodzaj napędu, jaki autor nazywa "magnetycznym napędem osobistym". Urządzenie wykorzystujące ów nowy napęd zastosowane zostanie do powodowania lotów osób bez użycia żadnego widocznego wehikułu, lub do wspomaganie tradycyjnych sposobów poruszania się tych osób (np. do chodzenia po powierzchni wody lub po suficie, do wskakiwania na dachy najwyższych budynków, itp.)

Podobnie jak to jest z najmniejszym magnokraftem typu K3, napęd osobisty wykorzystywał będzie osiem pędników bocznych (oznaczonych U, V, W i X). Jednakże w przeciwieństwie do magnokraftu posiadał on będzie nie jeden, ale aż dwa pędniki główne (oznaczone ML i MR). Obie te grupy pędników zamocowane zostaną do ciała użytkownika za pośrednictwem jednoczęściowego kombinezonu, tworząc w ten sposób wysoce efektywny system napędowy. Ciało użytkownika wypełni w nim funkcję "konstrukcji nośnej" lub "ramy". Każdy pędnik takiego systemu, podobnie jak pędnik magnokraftu, zawiera w sobie jedną zminiaturyzowaną kapsułę dwukomorową wielkości zaledwie kilkunastu milimetrów, jaka zamontowana zostaje we wnętrzu odpowiedniej kulistej obudowy. Owa kapsuła oraz jej obudowa są podobnej konstrukcji i działania jak te użyte w magnokrafcie, tyle tylko że zostały one odpowiednio zminiaturyzowane. Dlatego też pędniki napędu osobistego mogą być budowane we wielkościach pozwalających na ich zamontowywanie do wnętrza części garderoby (np. butów i pasa) bez powodowania zauważalnego zwiększenia niewygody, czy ciężaru i wielkości tej garderoby. Z drugiej strony, pozostając prawie że niezauważalnymi, pędniki te dostarczą ich użytkownikom zdolności do latania w powietrzu lub przestrzeni kosmicznej z prędkościami limitowanymi jedynie wykonywaniem czynności fizjologicznych (przykładowo oddychania), z ogromną siłą fizyczną, z niewidzialnością, z odpornością na działanie broni palnej i każdej innej broni jaka mogłaby być przeciwko nim użyta, oraz z wieloma innymi równie pożądanymi, aczkolwiek niezwykłymi, możliwościami.

Jeśli chodzi o kolejność budowy poszczególnych napędów magnetycznych na Ziemi, to magnetyczny napęd osobisty zbudowany zostanie jako czwarty rodzaj napędu wykorzystującego komory oscylacyjne (patrz okres 1D z klasyfikacji podanej w podrozdziale G4). Przyczyną tego stanu rzeczy będą początkowe trudności technologiczne z miniaturyzacją kapsuł dwukomorowych do rozmiarów na tyle niewielkich jakie wymagane będą dla tego napędu.

F1. Standardowy kombinezon napędu osobistego

Wygląd standardowego kombinezonu napędu osobistego pokazany został na rysunku F1. Wszystkie części tego kombinezonu przypominają typowe elementy ubioru ludzkiego, tyle tylko że niezależnie od funkcji ubiorczych dodatkowo dostosowane są one do wykonywania funkcji transportowych. Dla nieorientowanego obserwatora nie będzie więc możliwym wzrokowe wykrycie istnienia takiego napędu, jako że jego wygląd przypominał będzie zwykły strój sportowy, zaś jego istnienie stanie się zauważalne dopiero po ujawnieniu się wywołanych przez niego efektów napędowych (np. wzniesieniu się jego użytkownika w powietrze). Na kombinezon napędu osobistego składają się następujące elementy: jednoczęściowy kostium (3) z kapturem osłaniającym (5) oraz rękawicami (4), buty (1) zawierające miniaturowe "pędniki główne" zamontowane w ich podszewkach, oraz specjalny ośmiosegmentowy pas (2) utrzymujący wbudowane w niego osiem miniaturowych "pędników bocznych". Kaptur (5), rękawice (4), i buty (1) są tak zaprojektowane aby hermetycznie łączyły się one z kostiumem (3), formując w ten sposób jednoczęściowy kombinezon szczelnie osłaniający całe ciało użytkownika. Z tyłu kołnierza tego kombinezonu wbudowany zostanie komputer sterujący napędem oraz czujniki jakie odczytywać będą sygnały sterownicze bezpośrednio z podstawy czaszki użytkownika.

Wszystkie elementy ubiorcze omawianego kombinezonu wykonywane będą ze specjalnego materiału magnetorefleksyjnego. Materiał taki odbija pole magnetyczne w sposób podobny jak lustro odbija światło. Dzięki tej własności, materiał magnetorefleksyjny zabezpieczy ciało użytkownika przed niszczącym działaniem silnego, pulsującego pola magnetycznego wytwarzanego przez pędniki napędu osobistego. Aczkolwiek twarz pozostanie odsłonięta, pole magnetyczne również nie będzie w stanie przez nią wnikać do mózgu, ponieważ działanie tego pola ogranicza się tylko do obszarów gdzie jego linie sił są w stanie formować obwody zamknięte (kształt magnetorefleksyjnego kaptura czyni niemożliwym takie domykanie się obwodów poprzez głowę użytkownika). Dla dodatkowego zabezpieczenia skóry twarzy przed silnym polem magnetycznym niekiedy koniecznym się stanie dodatkowe ubranie specjalnej maski, podobnej do masek zakładanych przez rabusiów bankowych lub przez "spiderman", "batman", i "superheroes" z filmów amerykańskich. W przypadku gdy maska taka okazałaby się niestosowna, możliwe jest też użycie kremu wykonanego na bazie grafitu (stwierdzono, że grafit jest jednym z najlepszych naturalnych materiałów magnetorefleksyjnych). Oczywiście ów krem nie tylko że będzie zabezpieczał twarz przed polem magnetycznym, ale także nada skórze użytkownika niezwykłego, metalicznego kolorytu.

Specjalne rękawice (4) uzupełniające magnetyczny napęd osobisty zostały tak zaprojektowane aby nie tylko zabezpieczać palce przed wpływem silnego pola magnetycznego, ale także przed indukowanymi przez to pole siłami elektrostatycznymi. Jak można się bowiem spodziewać, pulsujące pole magnetyczne pędników zawartych w pasie musi powodować wytwarzanie silnych ładunków elektrycznych wokół bioder użytkownika. Z kolei ładunki te stopniowo zgromadzą się na palcach użytkownika. Siły wzajemnego odpychania się tych jednoimiennych ładunków będą usiłowały rozchyłać palce użytkownika na podobnej zasadzie jak czynią to z listkami elektroskopu. Aczkolwiek owe rozchylające działanie ładunków będzie zbyt słabe aby zaszkodzić użytkownikowi, przy długotrwałym jego działaniu może ono jednak spowodować nieprzyjemne naciąganie skóry i ból mięśni. Stąd użycie błono-podobnych łączników pomiędzy palcami rękawic (4), podobnych do błon na nogach kaczki, zabezpieczy użytkownika przed owymi nieprzyjemnymi następstwami.

Jeśli użytkownik napędu osobistego zamierzał będzie wykonać ciężką pracę fizyczną, wykorzysta on dodatkowe pędniki wspomagające. Pędniki te zakładane będą na oba nadgarstki jak zegarki ręczne (patrz 3 na rysunku F3 "a"). Poprzez magnetyczne oddziaływania siłowe z innymi pędnikami napędu osobistego, pędniki wspomagające uformują rodzaj bezdotykowego dźwigu nadającego użytkownikowi niezwyklej siły fizycznej. Stąd osoba w nie wyposażona zdolna będzie do podnoszenia głazów ważących wiele ton, do przełamywania potężnych konstrukcji, powalania budynków, wrywania drzew z korzeniami, itp.

F2. Działanie magnetycznego napędu osobistego

Zasada działania magnetycznego napędu osobistego zilustrowana została na rysunku F2. Lewa sylwetka tego rysunku pokazuje siły zewnętrznego oddziaływania napędu osobistego z polem magnetycznym otoczenia, t.j. z polem ziemskim, słonecznym lub galaktycznym. Osiem pędników bocznych zamontowanych w pasie napędu osobistego, zorientowanych zostaje w sposób powodujący ich odpychanie od pola magnetycznego otoczenia. W ten sposób pędniki boczne wytwarzają siły nośne "R" jakie unoszą użytkownika. Miniaturowe pędniki główne zamontowane w podeszwach butów zorientowane są przyciągająco względem pola magnetycznego otoczenia. Dzięki temu formują one dwie siły stabilizujące "A" (t.j. prawą "AR" i lewą "AL") jakie wyznaczają położenie wymagane przez użytkownika w czasie jego lotu. Odpowiednie wyważenie wartości sił "R" i "A" powoduje wznoszenie (wzlot), nieruchome zawisanie, lub opadanie użytkownika. Dla przykładu wzlot użytkownika w górę nastąpi gdy wartość sił nośnych "R" przekroczy wartość sił stabilizacyjnych "A". Im większa będzie nadwyżka sił podnoszących "R" nad siłami obniżającymi "A" tym wzlot użytkownika będzie szybszy.

Obie grupy sił "R" i "A" są pochodzenia zewnętrznego, ponieważ powstają one gdy pole magnetyczne otoczenia (np. pole Ziemi) odpycha lub przyciąga pole wytwarzane przez pędniki główne i boczne napędu osobistego. Stąd siły produkowane we wyniku tego oddziaływania z otoczeniem mogą być nazywane "siłami zewnętrznymi". Niezależnie od nich, w napędzie osobistym występuje też i drugi rodzaj sił, jakie mogą zostać nazwane "siłami wewnętrznymi". Są one formowane we wyniku wzajemnych oddziaływań pomiędzy poszczególnymi pędnikami napędu osobistego. Owe "siły wewnętrzne" pokazane zostały na prawej sylwetce z rysunku F2. Składają się na nie:

B - Siły wzajemnego odpychania się pędnika głównego z podeszwy jednego buta od pędnika głównego z drugiego buta. Siły odpychające "B" wytwarzane są ponieważ bieguny magnetyczne (N, S) w obu pędnikach głównych muszą być zorientowane w tym samym kierunku.

E - Siły wzajemnego odpychania się każdego pędnika bocznego z pasa od innych pędników zawartych w tym samym ośmio-segmentowym pasie. Siły "E" powodować będą odśrodkowe rozprężanie się i napinanie pasa.

Q - Siły wzajemnego przyciągania się pomiędzy każdym z pędników głównych w butach i każdym pędnikiem bocznym w pasie. Owe siły "Q" wytwarzane będą ponieważ bieguny magnetyczne w obu pędnikach głównych muszą zostać zorientowane w kierunku przeciwnym niż bieguny magnetyczne wszystkich pędników bocznych.

Warto zauważyć, że istnieje ściśle podobieństwo pomiędzy siłami "zewnętrznymi" i "wewnętrznymi" panującymi w napędzie osobistym, a podobnymi siłami panującymi w konstrukcji magnokraftu - patrz [1D1] lub opis w podrozdziale G4.3 oraz ilustracja z rysunku G20 monografii [1a].

Obecność zewnętrznego i wewnętrznego układu sił jest korzystna dla użytkownika napędu osobistego. Oba układy łączą bowiem poszczególne elementy tego napędu w jeden współdziałający zespół. Działanie tego zespołu jest tak dobrane, że przeciwstawne sobie siły nawzajem się balansują. Dla przykładu, kiedy siła nośna "R" i stabilizacyjna "A" starają się rozerwać użytkownika, jednocześnie siły "Q" starają się ścisnąć go wzdłuż tego samego kierunku. W ten sposób ciało użytkownika nie jest ani ścisłane ani też rozciągane

siłami magnetycznymi. Równocześnie napięty układ wzajemnie przeciwstawnych sobie sił otaczających ciało użytkownika formuje rodzaj "magnetycznego szkieletu" jaki otacza i unosi daną osobę w sposób podobny jak współczesny samochód jest chroniony i unoszony przez jego ramę. Istnieje jednak warunek nałożony na wzajemne balansowanie się sił "R/A" i "Q". Warunek ten stwierdza, że użytkownik nie może zginać nóg, ponieważ ich zgięcie dostarczyłoby natychmiastowej przewagi siłom "Q" nad siłami "R/A". (Wartość sił Q wzrasta wykładniczo ze zmniejszaniem się odległości pomiędzy pędnikami z butów i pasa.) Jeśli więc użytkownik złamie ten warunek, raz zgięte nogi będą musiały pozostawać unieruchomione w pozycji kucającej przez resztę lotu. Stąd latanie w pozycji kucania z nogami skrzyżowanymi będzie jedną z dwóch charakterystycznych postaw użytkowników napędu osobistego (druga postawa to nogi wyprostowane i w rozkroku - jej opis nastąpi). Ciekawe, że latanie z takim właśnie skrzyżowaniem podwiniętych nóg jest często ilustrowane jako typowe zachowanie się średniowiecznych "diabłów".

Innym warunkiem nałożonym na napęd osobisty to balansowanie sił rozpierających "B" panujących pomiędzy obu pędnikami głównymi zamontowanymi w butach. Siły te utrzymują nogi użytkownika w rozkroku przez cały czas użytkowania napędu osobistego. Wypełnienie więc tego drugiego warunku dostarcza jeszcze jednej postawy charakterystycznej jaka będzie umożliwiała identyfikowanie i odróżnianie użytkowników napędu osobistego. Ich nogi muszą być bowiem trzymane w rozkroku nie tylko podczas lotów ale także podczas wspomagania tradycyjnych metod poruszania się, takich jak chodzenie, pływanie, itp. Warto zauważyć, że chociaż taki ciągły rozkrok może wyglądać nieco dziwnie i niezgrabnie, przy bliższym kontakcie zapewne zaimponuje on przypadkowemu obserwatorowi niezwykłą efektywnością i zręcznością.

Niezależnie od oddziaływań siłowych, napęd osobisty wytwarzał też będzie oddziaływania dynamiczne. Oddziaływania te wywoływane będą wirami magnetycznym formowanym wokół pasa użytkownika poprzez 90 przesunięcia fazowe w pulsowaniach pola wytwarzanego przez kolejne pędniki boczne. Wir ten podobny będzie do rotującego pola magnetycznego formowanego przez współczesne silniki asynchroniczne. Dostarczy on napędowi osobistemu szeregu korzystnych atrybutów, przykładowo uformuje on wokół użytkownika rodzaj "pancerza indukcyjnego" jaki spowoduje eksplozyjne odparowanie pocisków wystrzelonych w jego kierunku.

Kolejną grupę oddziaływań w napędzie osobistym stanowią oddziaływania konfiguracyjne. Wynikają one z faktu otaczania użytkownika polem magnetycznym o odpowiednim kształcie przestrzennym. Przy właściwym doborze tego kształtu napęd osobisty wytworzy soczewkę magnetyczną jaka odchyli promieniowanie świetlne czyniąc użytkownika niewidzialnym (patrz opis z podrödziału D3).

Dla sterowania działaniem napędu osobistego specjalne mikro-komputery będą używane. Komputery te odczytywać będą bio-prądy u postawy czaszki z tyłu szyi użytkownika i tłumaczyć je na sygnały wykonawcze. Stąd wystarczy jedynie pomyśleć o wzlocie do góry, opadaniu czy określonym manewrze, aby zamierzony przez użytkownika rodzaj przemieszczenia został natychmiast zrealizowany bez konieczności wykonywania jakichkolwiek ruchów przez odpowiednie części ciała. Zasady sterowania napędem osobistym będą przy tym podobne do tych wykorzystywanych w magnokracie. Także metoda wytwarzania wiru magnetycznego będzie taka sama. Jedynie częstotliwość rotowania wiru magnetycznego będzie znacznie wyższa, aby uczynić niemożliwym wytwarzanie wiru plazmowego (jaki mógłby upalić ręce użytkownika). Jednak nawet gdy prędkość kątowna rotacji wiru magnetycznego będzie zbyt wielka dla zabrania i przyspieszania cząsteczek zjonizowanego powietrza, dysze wylotowe pędników mogą zjonizować powietrze lokalnie. Stąd wydzielanie się świecenia powinno być zauważalne w nocy wokół pasa i butów tego napędu. Także obce substancje jakie normalnie mogłyby przylegać do kombinezonu (np. błoto czy kurz) w napędzie osobistym będą odrzucane przez odśrodkową akcję wiru magnetycznego.

W podstawowej wersji napędu osobistego opisanej wcześniej pędniki główne wbudowane są w podeszwy butów. Rozwiązanie to wykazuje jednakże poważną wadę jaką jest zbiór sił "B" (patrz prawa część na rysunku F2). Siły te, działając pomiędzy nogami użytkownika, powodują rozpieranie tych nóg w pozycję trwałego rozkroku. W ich więc wyniku ruchy użytkownika muszą odbywać się przy utrzymaniu stałego rozkroku, co w efekcie uniemożliwia osiągnięcie pełnej swobody i wygody (nie wspominając już że wygląda nieco niezgrabnie, dziwacznie i po prostu śmiesznie).

Aby wyeliminować owe siły "B", inna wersja kombinezonu napędu osobistego może zostać zaprojektowana. Pokazano ją na rysunku F3 (a). We wersji tej pędniki główne zostały usunięte z podeszw butów i umieszczone w epoletach (1) na ramionach użytkownika. Z punktu widzenia zasady działania napędu takie przemieszczenie pędników nie wprowadza większej zmiany. Jednakże dla użytkownika oznacza to uwolnienie nóg od niepożądanych sił i umożliwienie ich swobodnych ruchów. Stąd owa wersja kombinezonu będzie stosowana w każdej sytuacji wymagającej użycia nóg. Jej wadą będzie jednak bliskość do głowy źródeł silnego pola magnetycznego (t.j. obu pędników głównych). Stąd twarz i głowa użytkownika w tej wersji muszą zostać osłonięte szczególnie dobrze. W przypadku więc gdy zachodzi niebezpieczeństwo, że warstewka kremu ochraniającego skórę twarzy może zostać starta (np. we wyniku wykonywanej pracy), koniecznym się staje ubieranie przez użytkownika specjalnej maski, opisanej już przy końcu podrozdziału F1.

Z powodu tendencji tego napędu do poszerzania ramion użytkownika przez nawzajem odpychające się pędniki główne umieszczone w epoletach (patrz siły "B" w prawej części rysunku F2), ta wersja napędu osobistego nada użytkownikowi charakterystycznego trójkątnego (barczystego) kształtu.

W przypadkach gdy wykonanie ciężkich prac fizycznych jest wymagane, omawiana tu wersja napędu może również zostać wzmocniona poprzez dołożenie dodatkowych bransolet z pędnikami wspomagającymi. Na rysunku F3 (a) bransoletki takie oznaczono przez (3).

Niekiedy epolety zawierające pędniki główne mogą zostać połączone z pasem za pośrednictwem specjalnych szelek (patrz rysunek K4). Takie skrzyżowane szelki powodują, iż wzajemne położenie pędników głównych i bocznych jest bardziej stabilne i niezawodne. Eliminują one także tendencję do poszerzania ramion użytkownika wspomnianą poprzednio.

F4. Wersja napędu osobistego z poduszkami wokół bioder

Kombinezony napędu osobistego mogą zostać poddane dalszym różnorodnym modyfikacjom, dostarczającym im wymaganych zalet operacyjnych. Kolejna z takich zmodyfikowanych wersji pokazana została na rysunku F3 (b). We wersji tej, dłonie użytkownika osłonięte są przed działaniem silnego pola magnetycznego za pomocą specjalnego ekranu. Stąd wersja ta pozwala na wyeliminowanie rękawic używanych w kombinezonie standardowym. To z kolei umożliwia precyzyjniejsze działania ręczne (np. w celu zmontowania jakiegoś skomplikowanego urządzenia) bez konieczności wyłączenia działania pędników napędu.

W opisywanej tu modyfikacji kombinezonu, odpowiednie poduszki osłaniające (1) zostają dołączone wokół ośmio-segmentowego pasa (3). Poduszki te wypełnione są helem, t.j. gazem jaki wykazuje najwyższą oporność na zjonizowanie (t.j. jaki posiada najwyższy potencjał elektryczny jonizacji). Powierzchnia wewnętrzna obwodu tych poduszek posiada wbudowaną osłonę magnetorefleksyjną (2). Z uwagi na tą osłonę, pole magnetyczne wytwarzane w pędnikach z pasa nie może działać tak silnie na ręce użytkownika jak by ono działało w przypadku użycia kombinezonu standardowego. Stąd we wersji tej ręce nie muszą być osłaniane za pomocą rękawic. Poduszki (1) podzielone są przegrodami (4) na osiem oddzielnych komór podobnych do komór z kołnierza bocznego magnokraftu. Każdy więc pędnik z pasa (3) utrzymywany jest w oddzielnej komorze. To z kolei czyni

niemożliwym wytwarzanie wiru plazmowego jaki podążałby za wirem magnetycznym wytwarzanym przez pędniki w pasie. Stąd wyeliminowane jest niebezpieczeństwo upalenia rąk użytkownika. Jednakże kombinezon z poduszkami wokół bioder wygląda bardzo niezwykle, jako że czyni on użytkownika podobnym do gruszki.

Część (b) rysunku F3 pokazuje także alternatywną osłonę głowy użytkownika napędu osobistego. Jest nim przeźroczysty i magnetycznie nieprzenikalny hełm (5) jaki w niektórych modyfikacjach może zastępować kaptur i krem grafitowy z kombinezonu standardowego. Powinno tu być podkreślone, że hełm taki może zostać użyty praktycznie z każdą wersją napędu osobistego, nie tylko z wersją z poduszkami wokół bioder.

F5. Osiągi napędu osobistego

Najważniejszym osiągiem napędu osobistego jest, iż pozwoli on użytkownikowi na latanie w powietrzu bez konieczności odwoływania się do użycia jakiegoś widocznego wehikułu. W ten sposób, będąc jedynie wyposażony w odpowiedni kombinezon który i tak we większości sytuacji musiałby on przywdziewać w celach ubiorczych, użytkownik w każdej chwili może wznieść się w powietrze i przelecieć na dowolny dystans ze szybkością ograniczaną jedynie koniecznością oddychania.

Napęd osobisty umożliwia też wspomaganie tradycyjnych sposobów poruszania się (np. skakania, chodzenia, pływania), zwiększając ich zasięg i szybkość, czyniąc je efektywniejszymi niż normalnie, oraz powodując ich funkcjonalne poszerzenie. Dla przykładu pozwala on na: wskakiwanie z poziomu ulicy bezpośrednio na dachy najwyższych budynków, doganianie w biegu najszybszych samochodów, chodzenie po powierzchni wody, chodzenie po suficie z głową skierowaną w dół, czy wchodzenie na pionowe ściany z poziomym położeniem ciała.

Napęd osobisty posiada też możliwość potęgowania i zwielokrotniania siły fizycznej użytkownika. Możliwość taka rodzi się z użycia pędników wspomagających zamocowywanych jak zegarki na przegubach obu rąk. Wyposażony w nie użytkownik będzie w stanie wywracać całe budynki, wrywać drzewa z korzeniami, podnosić ogromne głazy, oraz dokonywać wszelkich innych prac wymagających ponadludzkiej siły.

Napęd osobisty dostarczy też swojemu użytkownikowi wielu niezwykle zdolności nieosiągalnych innym sposobem. Jednym z przykładów takich zdolności jest odporność na kule i pociski uzyskiwana dzięki otoczeniu użytkownika wirującym polem magnetycznym formującym rodzaj "pancerza indukcyjnego". Innym niezwykle atrybutem napędu osobistego jest możliwość uczynienia użytkownika niewidzialnym. Niewidzialność taka uzyskiwana jest poprzez uformowanie z pola magnetycznego odpowiedniej soczewki magnetycznej. Soczewka taka odchyła drogę promieniowania świetlnego, czyniąc obecność użytkownika tego napędu niezauważalną dla postronnego obserwatora.

F6. Podsumowanie atrybutów magnetycznego napędu osobistego

Dla cywilizacji tak nisko zaawansowanej jak nasza, która jeszcze nie dorobiła się ani magnokraftu, ani też jego personalizowanej wersji w postaci napędu osobistego, istotna jest znajomość atrybutów napędu osobistego. Jeśli bowiem przedstawiciele jakiejś zaawansowanej cywilizacji kosmicznej odwiedzą naszą planetę, będą oni wyposażeni w taki właśnie napęd. Z tego też powodu istotnym jest abyśmy nauczyli się rozpoznawać fakt użycia takiego napędu, a także byli w stanie identyfikować i rozumieć pochodzenie i możliwości jego najważniejszych atrybutów.

Magnetyczny napęd personalny dostarcza wykorzystującym go osobom szeregu unikalnych i niezwykle użytecznych cech. Większość z nich podobna jest w efektach do atrybutów magnokraftu, aczkolwiek istnieją też i cechy jakie wystąpią jedynie w przypadku użycia napędu osobistego. Najważniejsze atrybuty magnetycznego napędu osobistego, jakie umożliwiają zidentyfikowanie faktu jego użycia, są jak następuje:

#1. Konieczność ubierania przez użytkowników specjalnego kombinezonu. Kombinezon ten niewiele się różni od ubrań noszonych współcześnie (aczkolwiek nieco przypomina uniformy noszone przez mnichów i zakonnice). Na kombinezon ten składają się:

- a) Buty, których podeszwy zawierają wbudowane miniaturowe pędniki główne. Niekiedy pędniki te mogą zostać przeniesione z butów do naramienników.
- b) Ośmio-segmentowy pas zawierający pędniki boczne.
- c) (Niekiedy) Dwie bransoletki zakładane na nadgarstki (lub nawet zamocowywane do zewnętrznych powierzchni rękawic przywdziewanych na dłonie) a zawierające pędniki wspomagające jakie dopomagają w ciężkich pracach fizycznych. Owe pędniki wspomagające nie są wykorzystywane podczas lotów, stąd są one zakładane tylko jeśli wymagane jest zwiększenie siły fizycznej użytkownika.
- d) Komputer sterujący zamontowywany w tylnej części szyi.
- e) Jednoczęściowy kombinezon obejmujący także kaptur lub hełm.

f) (Niekiedy) Pelerynę przyszytą do rękawów i strony grzbietowej kombinezonu. W przypadku lotów w powietrzu, po rozpostarciu jak skrzydła peleryna ta dostarczy użytkownikowi dodatkowych atrybutów aerodynamicznych (podobnych to tych wytwarzanych przez dzisiejsze lotnie) jakie zwiększą płynność jego manewrów. Równocześnie jednak nada mu nieco odpychającego wyglądu błoniastego nietoperza.

- g) Rękawice z błono-podobnymi łącznikami pomiędzy palcami.
- h) Krem na bazie grafitu do pokrywania fragmentów skóry użytkownika wystawionej na działanie silnego pola magnetycznego (np. jego twarzy). W niektórych wypadkach krem ten może zostać zastąpiony maską ochronną na twarz podobną do masek używanych przez rabusiów bankowych.

#2. Konieczność przyjmowania przez ciało szczególnej postawy charakteryzowanej przez: wyprostowane nogi utrzymywane w ciągłym rozkroku (lub zakrzywione w pozycję kuczającą), dłonie odepchnięte daleko od pasa, palce rozcapierzone, itp. Ponadto, wszystkie włosy "stojące dęba" z powodu działania ładunków elektrycznych gromadzących się na powierzchni użytkownika. Powyższe czyni postawę i ruchy użytkownika napędu osobistego wyglądające bardzo nienaturalnie i niezręcznie (aczkolwiek w akcji mogące zadziwić swą efektywnością i zręcznością).

#3. Powodowanie jarzenia się oczu użytkownika. Silne fluorescencyjne świecenie się tych oczu jest powodowane przez oddziaływanie na nie potężnego pola magnetycznego (podobnie jak niektóre odmiany niewidzialnego promieniowania elektromagnetycznego powodują jarzenie się oczu u oświetlonych nim zwierząt). Z kolei takie silne jarzenie się oczu, często akompaniowane przez świecenie się kombinezonu napędu osobistego, nadaje użytkownikowi tego napędu bardzo niezwykłego, "nadprzyrodzonego" wyglądu.

#4. Zdolność osoby ubierającej taki napęd do bezgłośnego latania w powietrzu, połączonego z możliwością przyjmowania dowolnej orientacji ciała niezależnej od panujących sił przyciągania grawitacyjnego (np. oprócz zwykłego stania na podłodze, także możliwości zwisania ze sufitu, poziomego stania na ścianach, pochylania się pod dowolnym kątem, itp.). Sterowanie pozycją zajmowaną przez ciało nie wymaga dokonywania żadnego ruchu, bowiem odbywa się poprzez przetwarzanie przez komputer kontrolujący bioprądów pobieranych bezpośrednio ze szyi użytkownika.

#5. Zdolność do wspomagania normalnych sposobów poruszania się (np. chodzenia, pływania). Takie wspomaganie czyni możliwym dokonywanie działań jakie zdają się zaprzeczać naszemu obecnemu rozumieniu praw natury, dla przykładu:

- a) Spacerowania po suficie w pozycji do góry nogami.
- b) Kroczenia w górę lub dół pionowych ścian z ciałem przymującym pozycję poziomą (t.j. w sposób jak to czynią owady).
- c) Dokonywania skoków na ogromne wysokości i odległości (np. wskakiwanie z chodników bezpośrednio na dachy okolicznych budynków).
- d) Spacerowanie po powierzchni wody.

#6. Niezwykłe zdolności nabywane przez nosicieli napędu osobistego. Wymieńmy niektóre z nich:

a) Odporność na kule wynikająca z zabezpieczającego działania "pancerza indukcyjnego".

b) Czynienie się niewidzialnym poprzez włączenie działania "soczewki magnetycznej" jaka ugina drogę światła.

c) Poruszanie się (chodzenie lub latanie) z prędkościami ograniczonymi jedynie przez funkcje fizjologiczne ciał użytkowników (głównie przez możliwość oddychania). Takie szybkie poruszanie się nie wymaga przy tym użycia żadnego widocznego wehikułu.

d) Niezwykła siła fizyczna uzyskiwana dzięki akcji pędników wspomagających. Siła ta pozwala na wywracanie budynków, wrywanie drzew z korzeniami, podnoszenie ogromnych skał, oraz wykonywanie innych prac jakie na obecnym poziomie naszej wiedzy wyglądają jako wymagające sił nadprzyrodzonych.

e) Biologiczna sterylizacja otoczenia poprzez zabijanie mikroorganizmów jakie znajdują się w zasięgu potężnego pola napędu (sterylizacja ta z kolei może spowodować różnorodne konsekwencje biologiczne).

#7. Wymuszanie magnetycznych zmian w otoczeniu, podobnych do zmian powodowanych przez napęd magnokraftu. Ich przykłady będą obejmować: magnetyczne wypalanie śladów pod podeszwami butów zaopatrzonych w pędniki, odrzucanie od kombinezonu substancji i obiektów z otoczenia (np. błota i kurzu), elektryzowanie materiałów izolacyjnych (np. włosów), jonizowanie powietrza (jakie przy przyciemnionym świetle może się nawet jarzyć w okolicach pasa i butów), produkcja aktywnego ozonu którego zapach będzie towarzyszył użytkownikowi tego napędu (zapach ten przez osoby nieorientowane może zostać pomyłony ze zapachem siarki), itp.

* * *

W uzupełnieniu do powyższych informacji warto tu uwypuklić, iż użytkownicy magnetycznego napędu osobistego pierwszej generacji uzyskują wszystkie swoje nadzwyczajne zdolności tylko w przypadku gdy ubierają oni kombinezon tego napędu oraz gdy jego pędniki pozostają włączone. Praktyczna (i jedyna) więc metoda obezwładniania użytkowników tego napędu polegałaby na radzeniu sobie z nimi tylko w chwili gdy z jakiegoś tam powodu nieopatrznie zdjęli oni ten kombinezon (np. dla zażycia kąpieli). Oczywiście po jego zdjęciu użytkownicy ci stają się tak samo podatni na wszelkie niebezpieczeństwa jak wszyscy inni śmiertelnicy, zaś ich jedyną obronę zaczyna stanowić zwykła siła, sprawność i trening fizyczny oraz posiadana inteligencja.

Magnokrafty drugiej i trzeciej generacji

W rozdziale B niniejszej monografii opisano odkryte przez autora prawo rządzące rozwojem napędów ziemskich, nazywane przez niego "Prawem Cykliczności". Jak to tam podkreślano, działanie Prawa Cykliczności nie ogranicza się tylko do ukazania budowy magnokraftu. Postuluje ono, że po magnokrafcie przyjdą dwa jeszcze bardziej zaawansowane statki których napęd wykorzystywał będzie obieg linii sił pola magnetycznego (patrz dwa najwyższe wiersze w tablicy B1). Ich zasada działania oparta zostanie na jeszcze nierozpracowanych przez ziemską naukę właściwościach pól magnetycznych, stanowiących magnetyczne odpowiedniki dla inercji (bezwładności) i energii wewnętrznej (np. deformacji, sprężystości, czy ciepła) odkrytych, opisanych i dobrze dotychczas poznanych tylko u substancji fizycznych. Dla przewidzenia działania i właściwości tych dwóch wyższych generacji magnokraftów koniecznym jest więc odpowiedzenie na pytanie "czym właściwie są magnetyczne odpowiedniki inercji i energii wewnętrznej". Odpowiedzi na to pytanie udzieliła zupełnie odrębna teoria zwana "Konceptem Dipolarnej Grawitacji", opublikowana w [1a], [6] i [1] (najważniejsze jej stwierdzenia zawarto też w artykule [1G] autora "Gravitation als Dipolare Felder", opublikowanym w zachodnio-niemieckim czasopiśmie Raum & Zeit, Nr. 34, Juni/Juli 1988, strony 57 do 69). Zgodnie z tym konceptem magnetyczny odpowiednik inercji wykorzystywany jest podczas wywoływania ruchów telekinetycznych, natomiast magnetyczny odpowiednik energii wewnętrznej zezwala na manipulowanie czasem.

Ponieważ dwa statki zbudowane po magnokrafcie stanowiąc będą jedynie bardziej zaawansowane wersje magnokraftu których pędniki zdolne będą do wytwarzania dodatkowych zjawisk, zostały one nazwane magnokraftami drugiej i trzeciej generacji. Razem więc z magnokraftem pierwszej generacji opisanym już w rozdziale D, nasza cywilizacja zbuduje aż trzy generacje tego statku, w każdej następnej z nich wykorzystując coraz bardziej kompleksowe właściwości pól magnetycznych. Z pośród wszystkich tych trzech zaawansowanych wehikułów najpierw na naszej planecie zbudowany zostanie magnokraft pierwszej generacji, zwany tu także dyskoidalnym magnokraftem lub po prostu magnokraftem. Dla celów napędowych wykorzystywane będą w nim jedynie odpychające i przyciągające oddziaływania pól magnetycznych. Oddziaływania te stanowią więc odpowiednik mechanicznych oddziaływań siłowych wykorzystywanych w kole samochodowym, czy woporu gazu wykorzystywanego przy działaniu balonów. Magnokraft drugiej generacji nie był jeszcze omawiany w tej monografii. Wykorzystywał on będzie dodatkowo magnetyczny odpowiednik inercji. Ponieważ Koncept Dipolarnej Grawitacji stwierdza, że na takiej magnetycznej inercji oparty jest tzw. "efekt telekinetyczny", stąd magnokraft drugiej generacji będzie latał wykorzystując dokładnie tą samą zasadę jaka powoduje ruchy telekinetyczne. W ten sposób działanie tego statku upodobni się do innych znanych napędów, których zasada oparta została na wykorzystaniu zjawiska inercji, np. poduszkowca czy śmigła lotniczego. Natomiast magnokraft trzeciej generacji (także jeszcze tu nie omawiany) wykorzystywał będzie aż trzy właściwości pól magnetycznych, t.j. siły wzajemnych oddziaływań, inercję i energię wewnętrzną. Ponieważ opanowanie energii wewnętrznej pól magnetycznych pozwoli na manipulowanie czasem, magnokraft trzeciej generacji będzie posiadał możliwości podróży w czasie.

W tym miejscu jeszcze raz z naciskiem powinno zostać podkreślone, że dla niezorientowanej osoby wygląd zewnętrzny magnokraftów drugiej i trzeciej generacji będzie identyczny do wyglądu magnokraftów pierwszej generacji. Będą one bowiem posiadały dokładnie takie same kształty, wymiary, oraz zbudowane zostaną z materiałów o podobnej charakterystyce wizualnej. Na czas lotu będą też formowały te same rodzaje połączeń, jak to pokazano na rysunku D3. Wzajemne podobieństwo tych statków dodatkowo zostanie

jeszcze wzmocnione faktem iż magnokrafty drugiej i trzeciej generacji mogą również latać w konwencji magnetycznej, indukując podczas takich lotów wszystkie zjawiska wywoływane przez magnokrafty pierwszej generacji. Istniejące różnice pomiędzy tymi wehikułami ujawnią się dopiero gdy włączą one swoje bardziej zaawansowane konwencje lotu, indukując przy tym zjawiska charakterystyczne dla owych konwencji. Zrozumienie tych zjawisk wymaga znajomości teorii których opis właśnie nastąpi.

G1. Efekt telekinetyczny

W 1924 roku wielki fizyk francuzki, Louis DeBroglie, opublikował swoje niezwykle ważne odkrycie jakie czasami nazywane jest "zasada symetryczności natury". Zgodnie z tą zasadą, w naturze wszystko jest symetryczne na wiele różnorodnych sposobów. Zasada symetryczności DeBrogliego dostarczyła podstaw filozoficznych i naukowych dla wielu istotnych odkryć i urządzeń. Dla przykładu Tablica Mendelejewa uzmysławia symetryczność istniejącą w budowie i własnościach pierwiastków; istnienie lustrzanego duplikatu dla każdej cząsteczki elementarnej oraz analogie pomiędzy budową atomów i układów słonecznych odzwierciedlają symetryczność w budowie materii; podobieństwo pomiędzy równaniami matematycznymi opisującymi zupełnie odmienne zjawiska fizyczne (np. równanie Navier-Stokes'a opisujące przepływ płynów oraz równanie Laplace'a opisujące przewodzenie ciepła) wyraża symetryczność w prawach natury; zaś podobieństwo pomiędzy pompami i silnikami pneumatycznymi czy generatorami i silnikami elektrycznymi wyraża symetryczność w działaniu urządzeń technicznych.

Jednym z istotniejszych następstw symetryczności DeBrogliego, bezpośrednio dotyczących tematu niniejszego rozdziału, jest postulat że "każde zjawisko musi posiadać odpowiadające mu przeciw-zjawisko". Do chwili obecnej odkrytych już zostało dziesiątki zjawisk i przeciw-zjawisk jakie potwierdzają poprawność tego postulatu. Dla przykładu: zjawisko luminescencji elektrycznej wykorzystywane w żarówkach dla zamiany prądu elektrycznego w światło, posiada przeciw-zjawisko w postaci efektu fotoelektrycznego jaki transformuje światło na prąd elektryczny; z kolei tzw. reguła lewej ręki, zwana także regułą silnika, która opisuje zjawiska wykorzystywane do zamiany elektryczności na ruch, posiada swoje przeciwieństwo w Flemingowskiej zasadzie prawej ręki, zwanej także regułą generatora, która transformuje ruch w prąd elektryczny; efekt Seebeck'a, jaki powoduje przepływ elektronów poprzez podgrzewane złącze dwóch przewodników, posiada przeciw-zjawisko w postaci efektu Peltier'a który wywołuje chłodzenie i podgrzewanie metali takiego złącza, jeśli przepuszczono przez nie prąd; itp.

Współcześni naukowcy twierdzą wszakże, że istnieje wyjątek od powyższej reguły. Jako wyjątek ten wskazują oni tarcie. Zgodnie z dotychczasowym stanem naszej wiedzy, tarcie uważa się za nieodwracalne zjawisko, które jakoby nie posiada odpowiadającego mu przeciw-zjawiska. Jednakże w 1985 roku autor niniejszego opracowania odkrył odwrotność tarcia. W taki sam sposób jak tarcie samoczynnie zamienia ruch na ciepło, owo nowo odkryte zjawisko zamienia ciepło na ruch. Ponieważ w naturalnej formie manifestowane jest ono podczas pracy telekinetycznej, autor nazwał je "efektem telekinetycznym". W niedługim czasie po odkryciu efektu telekinetycznego, autor znalazł także sposób jego technicznego wyzwalania (t.j. poprzez przyspieszanie lub opóźnianie pól magnetycznych).

Istnienie efektu telekinetycznego odkryte zostało dzięki teorii opracowanej przez autora a zwanej "Konceptem Dipolarnej Grawitacji" (szczegółowo przedstawionej w monografii [1a] a częściowo także i monografiach [1] i [6]). Teoria ta zrodziła się z ustalenia dokonanego przez autora w 1985 roku, że wszystkie cechy wykazywane przez pole grawitacyjne występują jedynie w tzw. polach dipolarnych których przykładami mogą być pole magnetyczne czy pole formowane przez przepływ strumienia jakiegoś medium (np. płynu czy gazu). Grawitacja nie wykazuje natomiast żadnego z typowych atrybutów pól monopolarnych, których przykładem może być pole elektryczne czy pole ciśnień. Jednakże współczesna nauka błędnie (aczkolwiek uparcie) kwalifikuje pole grawitacyjne do właśnie owej sprzecznej z jego własnościami grupy pól monopolarnych. Jeśli więc naprawić błąd

współczesnej nauki i przekwalifikować grawitację do grupy pól dipolarnych, wtedy nagle fundamentalne stwierdzenia naszej fizyki o budowie i działaniu wszechświata i materii przestają być ważne i wymagają przededefiniowania. Dla przykładu akceptując, że pole grawitacyjne jest dipolarne jak pole magnetyczne, t.j. posiada ono dwa przeciwstawne bieguny, musimy też uznać że świat materialny poznawalny przez nasze zmysły jest jedynie połową wszechświata w której panuje jedynie jeden biegun tego koncentrycznego pola. Natomiast drugi biegun grawitacji musi zniknąć gdzieś poza nieprzenikalną barierą i wylaniać się w drugiej połowie wszechświata niedostępnej dla naszych zmysłów. Z kolei przy takim zdefiniowaniu budowy wszechświata, zaistnienie wielu zjawisk niemożliwych do wyjaśnienia czy zaakceptowania na bazie starego konceptu monopolarnej grawitacji nagle staje się możliwym i całkiem naturalnym. Jednym z nich jest formowanie efektu telekinetycznego.

Przejdźmy teraz do wyjaśnienia działania efektu telekinetycznego. Koncept Dipolarnej Grawitacji postuluje, że wszechświat musi się składać aż z dwóch równoległych światów (t.j. naszego świata i przeciw-świata) których własności mają się do siebie jak własności przestrzeni panujących przy odmiennych biegunach dipola magnetycznego. Światy te oddzielone są od siebie nieprzenikalną barierą, zaś do każdego z nich wylania się przeciwstawny biegun pola grawitacyjnego. Z uwagi na naturę grawitacji która wymaga aby to pole łączyło ze sobą jakieś zgrupowania substancji, wszystkie dipole grawitacyjne zachowują się jak rodzaj "więzów małżeńskich" łączących ze sobą w symetryczne pary podobne cząsteczki substancji panujących na obu końcach danego dipola, t.j. w obu ze światów. W rezultacie dla każdego obiektu istniejącego w jednym ze światów pole grawitacyjne formuje identyczny duplikat pojawiający się w drugim z tych światów. Jednym z głównych odkryć Konceptu Dipolarnej Grawitacji jest więc postulat, że wszystkie obiekty muszą posiadać aż dwa identyczne duplikaty współistniejące w obu oddzielnych światach. Wzajemna relacja pomiędzy obiektem materialnym istniejącym w naszym układzie wymiarów (świecie) i jego przeciw-materialnym duplikatem istniejącym w równoległym układzie wymiarów (przeciw-świecie) może zostać opisana analogią do przedmiotu i jego lustrzanego odbicia, do komputerowego hardware i software, czy do idei 'ciała' i 'duszy' postulowanej przez różne religie. Podobnie bowiem jak związek pomiędzy obiektem i jego lustrzanym odbiciem, obie części obiektu stanowią wierne odbicia swej przeciwstawnej kopii, a także dokładnie naśladują wzajemne poruszenia. Zarówno obiekt materialny jak i jego przeciw-materialna kopia mogą też być niezależnie od siebie uchwycone i przemieszczone w przestrzeni. Jednakże z powodu połączenia obu części dipolami grawitacyjnymi, niezależnie która z tych części zostanie najpierw uchwycona i przemieszczona, druga część musi dokładnie odwzorowywać jej ruchy. Z tego też względu, zależnie która z obu części obiektu zostaje uchwycona jako pierwsza i najpierw przemieszczona w przestrzeni, Koncept Dipolarnej Grawitacji postuluje istnienie aż dwóch odrębnych rodzajów ruchu, zwanych ruchem fizycznym i ruchem telekinetycznym. Ruch fizyczny następuje, gdy najpierw przemieszczona zostaje materialna część obiektu, natomiast jego przeciw-materialna kopia podąża w ślad za nią unoszona siłami oddziaływań grawitacyjnych. Natomiast ruch telekinetyczny następuje, kiedy najpierw jest przemieszczona część przeciw-materialna danego obiektu, natomiast jego część materialna podąża za nią unoszona siłami oddziaływań grawitacyjnych. Aby zilustrować powyższe na przykładzie, ruch telekinetyczny postulowany Konceptem Dipolarnej Grawitacji jest jak wymuszanie poruszeń przedmiotów materialnych, poprzez powodowanie przemieszczania się w lustrze odbić tych przedmiotów. Oczywiście, aby przykład ten działał w rzeczywistości, światło musiałoby zachowywać się jak siły grawitacyjne. Inne, bardziej obrazowe wyjaśnienie dla ruchu telekinetycznego byłoby iż jest to "poruszanie obiektami poprzez przemieszczanie ich 'duszy'".

Z powyższego wyjaśnienia ruchu telekinetycznego wywodzi się też definicja stwierdzająca że: "efekt telekinetyczny jest zjawiskiem pośredniej manipulacji materialną częścią danego obiektu poprzez oddziaływanie na przeciw-materialną część tego obiektu". Efekt telekinetyczny m.in. jest więc źródłem ruchu telekinetycznego, podobnie jak siła fizyczna jest źródłem ruchu fizycznego. Istnieją wszakże istotne różnice pomiędzy siłą

fizyczną i efektem telekinetycznym. Najważniejsze z nich to: (1) efekt telekinetyczny nie oddaje reakcji siłowej skierowanej na swego wyzwoliciela (sprawcę) - to zaś oznacza, że zwiększanie wydajności urządzenia wyzwalamy ten efekt nie powoduje zwiększania konsumpcji energii przez to urządzenie; oraz (2) Zasada Zachowania Energii wypełniana jest w efekcie telekinetycznym przez manipulowane nim obiekty na drodze samoczynnego absorbowania przez nie energii otoczenia - to z kolei prowadzi do ochładzania otoczenie tych obiektów podczas odbywania przez nie przemieszczeń telekinetycznych, połączonego z emisją tzw. "jarzenia pochłaniania".

Właśnie powyższa zdolność efektu telekinetycznego do wyzwalamy samoczynnej absorpcji ciepła otoczenia przez obiekty wykonywujące pracę telekinetyczną (np. przemieszczane w sposób telekinetyczny) czyni z niego odwrotność zjawiska tarcia. Podobnie bowiem jak tarcie zamienia ruch na ciepło, efekt telekinetyczny może powodować samoczynną zamianę ciepła na ruch.

Podczas gdy sam fakt absorpcji energii cieplnej w pełni objaśnia przyczyny i mechanizm zmian temperatury otoczenia wywołanych wykonaniem pracy telekinetycznej, to mechanizm wytwarzania jarzenia pochłaniania wymaga tu dodatkowego wyjaśnienia. Jeśli gwałtownie pochłoniąć energię zawartą w atomie, jego elektrony muszą spaść z orbit wyższych na niższe. To zaś, zgodnie z fizyką kwantową, musi z kolei wywołać emisję fotonów. Stąd raptowne pochłonięcie ciepła z materii otaczającej obiekt przemieszczany telekinetycznie musi być związane z emisją światła przez tą materię. Emisja taka powinna być rejestrowalna jako białe świecenie, otaczające powierzchnię obiektu przemieszczanego telekinetycznie, a nazywane przez autora "świeceniem pochłaniania" lub "jarzeniem pochłaniania". Intensywność tego świecenia będzie zależała od ilości energii termicznej zaabsorbowanej w efekcie danej pracy telekinetycznej. Ponieważ w przypadkach telekinetyki biologicznej ilość ta jest niewielka, świecenie pochłaniania zwykle nie będzie widoczne dla nieuzbrojonego oka, a jedynie da się zarejestrować na czułej kliszy fotograficznej. W celu jego wykrycia najlepiej więc będzie wykonać fotografie obiektu przemieszczanego w sposób telekinetyczny. Jednakże dla obiektów wykonujących technicznie indukowaną pracę telekinetyczną, np. dla wehikułów napędzanych pędnikami telekinetycznymi, świecenie to zacznie stawać się widoczne nawet nieuzbrojonym okiem. Dla postronnego obserwatora będzie wtedy ono sprawiało wrażenie, jakby powierzchnia tego urządzenia "naoliwiona została białym światłem". Pojawieniu się jarzenia pochłaniania zawsze będzie też towarzyszył spadek temperatury otoczenia (t.j. jego raptowne oziębienie).

Niezależnie od jarzenia pochłaniania, efekt telekinetyczny będzie też powodował powstanie zupełnie odrotnego zjawiska, jakie nazwiemy tu "jarzeniem wydzielania". Powstaje ono gdy telekinetycznie manipulowane obiekty produkują energię cieplną, nie zaś pochłaniają ją (np. rozważ przypadek hamowania rozpędzonych wehikułów teleportacyjnych). Zasada emisji jarzenia wydzielania jest taka sama jak dla jarzenia pochłaniania. Ponieważ jednak kierunek przepływu energii powodującej jego powstanie faworyzuje emisję fotonów przez elektrony z określonych orbit atomowych, jarzenie wydzielania będzie produkowało światło z wyraźnym zabarwieniem kolorem zielonym. Pojawieniu się jarzenia wydzielania zawsze też towarzyszył będzie wzrost temperatury otoczenia (t.j. jego raptowne ocieplenie).

Warto tu też dodać, iż w celach praktycznych możliwe jest złożenie razem obu powyższych zjawisk w celu uzyskania systemów oświetleniowych dających niezwykle przyjemne światło. Światło to bowiem wydzielane jest nie przez punktowe źródło (np. żarówkę) a przez całą objętość powietrza (przestrzeni) zawartego w danym pomieszczeniu. W ten sposób nie jest ono rażące dla oczu, nie rzuca cieni, oraz zapewnia doskonałą widoczność każdego szczegółu. Aby uzyskać wyprodukowanie tego światła wystarczy w pomieszczeniu spowodować stojącą falę magnetyczną, jakiej przebieg pulsowań pola spowoduje cykliczne wywoływanie telekinetycznego przyspieszania i wyhamowywania cząsteczek powietrza. Cząsteczki te więc na przemian wyemitują światło pochłaniania oraz światło wydzielania. Ciekawostką może tu też być iż ten sam system oświetleniowy, po zaopatrzeniu go w czujnik temperatury, może równocześnie pełnić funkcję klimatyzatora, utrzymując temperaturę pomieszczenia na stałym i z góry określonym poziomie. Istnieją

różnorodne źródła jakie sugerują iż ten typ oświetlenia był już (i ciągle jest) używany na Ziemi. Jednym z nich jest książka [1G1] pióra Alec'a MacLellan, "The Lost World of Agharti, The Mystery of Vril Power", Souvenir Press, London 1982, ISBN 0-62521-7. Zawiera ona opisy takiego właśnie zielonkawego światła powodowanego przez zjawisko (oraz przez substancję) zwane "vril" i używane przez mieszkańców "Agharti". Opisy vrilu zawarte w omawianej książce [1G1] pokrywają się z efektem telekinetycznym oraz z cechami substancji zawartej w przeciw-świecie jaka realizuje działanie tego efektu. Autor prowadził też kiedyś niedokończoną dyskusję z przypadkowo spotkanym obierzyświatem który zaczął opowiadać mu o wizytowaniu którejs z mniej znanych piramid egipskich gdzie lokalny przewodnik pokazał mu ukrytą salę oświetloną tajemniczym zielonkawym światłem nie rzucającym cieni i pochodzącym niewiadomo skąd, powstawania którego naukowcy podobno nie potrafią wyjaśnić. Oczywiście natychmiast po tej rozmowie autor rozpoczął usilne poszukiwania w literaturze dotyczącej piramid, niestety nie spotkał tam żadnej wzmianki o takiej komorze ani o jej tajemniczym zielonym świetle niewyjaśnialnym dla współczesnej nauki. (Gdyby ktoś z czytelników znał źródło literaturowe gdzie można znaleźć opisy takiej sali lub owego tajemniczego zielonkawego światła, autor byłby wdzięczny za danie mu znać.)

Wyjaśniona powyżej zasada kontrolowanego wyzwalania szeregu zjawisk termicznych powodujących m.in. naprzemienne emitowanie światła pochłaniania oraz światła wydzielania może też być wykorzystana we wielu innych celach niż jedynie oświetleniowym. Jednym z jej najważniejszych zastosowań posiadających bezpośredni związek z tematem niniejszej monografii będzie utrzymywanie temperatury komory oscylacyjnej na stałym, niezmiennym i sterowalnym poziomie - patrz opisy z podrozdziału C5.3. Zasada tego utrzymywania stałej temperatury komory opierać się będzie na takim sterowaniu przebiegiem pulsowań pola magnetycznego wytwarzanego przez daną komorę, aby poszczególne pulsy tego pola wyzwały efekt telekinetyczny powodujący przyspieszenie rotacji ładunków elektrycznych iskier kosztem energii termicznej zawartej w komorze. W ten sposób ciepło strat energetycznych zaistniałych w rezultacie przeskoku iskier, zamieniane następnie będzie przez kontrolowalny efekt telekinetyczny w ruch obiegowy ładunków składających się na owe iskry. W rezultacie więc odzyskiwane będzie całe ciepło tracone w komorze przez iskry elektryczne.

Aczkolwiek w niniejszej monografii głównie uwypuklane jest wykorzystanie efektu telekinetycznego do wytwarzania ruchu, zjawisko to umożliwia również dokonywanie wszelkich innych manipulacji obiektami, np. zmianę kształtu, konsystencji, składu, stanu, poziomu energetycznego, struktury jądrowej, atrybutów, itp. Chociaż przy manipulacjach takich dane obiekty mogą zarówno absorbować ciepło otoczenia (np. podczas telekinetycznego przyspieszenia wehikułów), lub też wydzielać ciepło do otoczenia (np. podczas telekinetycznego hamowania wehikułów teleportacyjnych), ich dokonywanie jest tym łatwiejsze, im mniejsze jest ich zapotrzebowanie na wymianę ciepła z otoczeniem. Najłatwiejsze więc do przeprowadzenia są przemiany samobalansujące się energetycznie, t.j. jakie ani nie absorbują, ani też nie wytwarzają ciepła. Jedną z najbardziej niezwykłych przemian inicjowanych efektem telekinetycznym, jaka właśnie zdaje się zachodzić tylko w przypadku gdy dobór składników wyjściowych oraz produktów końcowych umożliwia takie samobalansowanie się energetyczne, to zdolność do transformacji jednych pierwiastków w inne.

Faktyczne zachodzenie transformacji jednych pierwiastków w inne zdaje się być już potwierdzone przez sporą liczbę faktów, obserwacji empirycznych, oraz eksperymentów. Przykładowo w rejonie Bretanii, gdzie w glebie istnieje znaczny niedobór wapna ale za to powszechnie występuje tam mika, kury ciągle znoszą jajka z twardą skorupką. Zainspirowany tą empiryczną obserwacją francuzki chemik o nazwisku Louis Nicolas Vauquelin przeprowadził eksperyment w którym karmił on kury z wyraźnym niedoborem wapna ale za to dając im do dziobania płytki miki. Kury te ciągle znosiły jajka z twardą skorupką dokładnie jak to czynią gdy mają one wapna pod dostatkiem. Jeśli jednak te same eksperymentalne kury pozbawione zostały zarówno wapna jak i miki, wtedy zaczynały znosić jajka ze skorupką całkowicie miękką. Mika jest złożonym minerałem zwykle

zawierającym potas, aluminium, krzem, tlen i wodór; dla przykładu wzór chemiczny na podstawową odmianę miki zwaną "muscowite" jest jak następuje: $K_2Al_4(Al_2Si_6O_{20})(OH)_4$. Wygląda więc na to że jeden z pierwiastków obecnych w micy ale nieobecnych w otoczeniu, np. potas, razem z jakimś dodatkowym i bliżej jeszcze nieokreślonym pierwiastkiem, jest przez wersja biologiczną efektu telekinetycznego indukowanego przez kury zamieniany na wapno oraz jakiś inny, dotychczas jeszcze nieustalony pierwiastek. Eksperymenty Vauquelin'a opisane są w dwóch książkach: [2G1] pióra Peter'a Tompkins & Christopher'a Bird, "The secret life of plants" (Penguin Book Australia Ltd., ISBN 0 14 00,3930 9, 1973), strona 243, rozdział "Alchemists in the Garden"; oraz [3G1] pióra Layall'a Watson, "Supernature: the natural history of the supernatural", Hodder and Stoughton, London 1973, ISBN 0340173688). Wapno zdaje się też być wytwarzane w byłych lądowiskach UFO drugiej i trzeciej generacji. Przykładowo badania UFOlogów amerykańskich opisane na stronie 131 książki [4G1] pióra Allan'a Hendry (Foreword by Professor J. Allen Hynek), "The UFO Handbook" (Sphere Books Limited, London, England, 1980), ujawniają że w niektórych lądowiskach UFO zawartość wapna była ponad siedmiokrotnie wyższa niż zawartość tego pierwiastka w glebie sąsiadującej z danym lądowiskiem. Ponieważ przemieszczenie wapna w glebie byłoby zjawiskiem fizycznie niezwykle trudnym do zrealizowania, prawie że jedynym wyjaśnieniem dla tej zwiększonej koncentracji tego pierwiastka w niektórych lądowiskach UFO jest iż wapno zostało tam zesyntezowane przez efekt telekinetyczny napędu tych wehikułów. Efekt telekinetyczny zdaje się też być zdolny do wytwarzania innych pierwiastków. Badania miejsc eksplozji wehikułów których rozpadające się pędniki wyzwoliły techniczną wersję efektu telekinetycznego sugerują również iż nastąpiło tam wytworzenie złota i jakiegoś innego pierwiastka najprawdopodobniej z krzemu oraz jakiegoś dodatkowego pierwiastka. Dotychczasowe znaleziska zdają się sugerować, iż stąd właśnie pochodzi "złote runo" zalegające obszary byłych eksplozji statków telekinetycznych, np. starożytną Kolchidę, Tapanui w Nowej Zelandii, czy Tunguską na Syberii. Po więcej danych na ten temat należy sięgnąć do monografii [5] i [6]. Oczywiście wielu dzisiejszych naukowców oślepionych obecnym poziomem naszej fizyki jądrowej zamyka umysły na empirycznie ustalone już fakty i próbuje korygować naturę swymi stereotypowymi deklaracjami iż transformacja jednych pierwiastków w inne nie jest jakoby możliwa. Przy kolejnym skonfrontowaniu takich osób warto im jednak przypomnieć iż nawet Albert Einstein był w błędzie gdy w 1932 roku zadeklarował on publicznie iż, cytując: "Nie istnieje nawet najmniejsza przesłanka, że energia atomowa kiedykolwiek będzie mogła zostać wyzwolona. Oznaczałoby to bowiem, że możliwe jest rozbitcie atomu na życzenie" (patrz książka [5G1] pióra Christopher'a Cerf i Victor'a Navasky, "The Experts Speak", Pantheon 1984).

Jednym z największych osiągnięć Konceptu Dipolarnej Grawitacji jest, że - wyjaśniając istnienie efektu telekinetycznego, jednocześnie postuluje on dwie różne metody jego wytwarzania. Są to: (1) metoda biologiczna, oraz (2) metoda techniczna. W metodzie biologicznej efekt telekinetyczny wytwarzany jest poprzez wykorzystywanie naturalnych zdolności mózgu a ściślej jego części zwanej "pineal gland" (t.j. szyszynki). Istnieje wiele wersji efektu wyzwalanego biologicznie przez mózg ludzki (np. pole formowane przez uzdrowicieli, telekinetyczne zginanie łyżek), większość z nich opisana została w monografii [6]. Jeden z bardziej widowiskowych przykładów takiej biologicznie wyzwalaney telekinezy ludzkiej znany jest pod popularną nazwą "psychokineza". Inne powszechnie znane przykłady obejmują lewitację oraz różdżkarstwo (t.j. telekinetyczne uginanie różdżek radiestezyjnych). Jedną z form biologicznej telekinezy, polegającą na psychokinetycznym wyzwaniu ogromnych ilości ciepła w momencie doznania szoku, jest też tzw. samospalanie się ludzi (po angielsku "Spontaneous Human Combustion"). Teoretycznie rzecz biorąc najprawdopodobniej niektóre zwierzęta również są w stanie wytworzyć ten efekt wykorzystując go do usprawniania różnych witalnych funkcji życiowych (np. wspomniane powyżej kury dla uzupełniania swego niedoboru wapna). W metodzie technicznej efekt telekinetyczny wyzwany jest poprzez przyspieszanie lub opóźnianie linii sił pola magnetycznego, zaś jego działanie obejmuje wszystkie obiekty zawarte w obrębie przyspieszanego pola. Ponieważ obszar objęty działaniem efektu telekinetycznego sam też

jest rodzajem wysoce aktywnego pola oddziałującego na wszystkie zawarte w nim przedmioty i organizmy, w niniejszej monografii obszar ten czasami nazywany jest "polem telekinetycznym". Z uwagi na tematykę niniejszego rozdziału, rozważona w nim zostanie głównie techniczna wersja efektu telekinetycznego. Jednakże wiele ustaleń o naturze i efektach tej wersji odnosi się także do telekinezy biologicznej.

Odkrycie autora, że efekt telekinetyczny stanowi rodzaj "odwrotności tarcia", oraz następne znalezienie metody technicznego wyzwalania tego efektu, dostarczyły zasad działania dla podejmowania budowy magnokraftów drugiej i trzeciej generacji. Zgodnie z tymi zasadami, droga do wykorzystania efektu telekinetycznego dla celów transportowych wiedzie przez następujące etapy: (1) budowę pędnika magnetycznego który na drodze technicznej wyzwala działanie efektu telekinetycznego, (2) takie wysterowanie tego efektu, jakie spowoduje wytworzenie ciągu zdolnego do napędzenia wehikułu latającego, (3) odpowiednie ukierunkowanie tego ciągu tak aby mógł on być eksploatowany w kontrolowalnym systemie napędowym.

Z uwagi na wzajemne usytuowanie urządzenia wytwarzającego efekt telekinetyczny względem transportowanego obiektu, możliwe jest budowanie aż dwóch podstawowych klas środków transportowych działających na podobnej zasadzie. Są to: (1) promień podnoszący, oraz (2) magnokraft drugiej (i trzeciej) generacji.

Ad. 1. Promień podnoszący wywodzi się z możliwości ukierunkowywania działania impulsów telekinetycznych poprzez przesyłanie pulsującego pola magnetycznego wzdłuż wiązki silnego światła (np. promienia laserowego). W takim przypadku wiązka światła pełni rolę swoistego "magnetowodu". Tak ukierunkowany efekt telekinetyczny zezwoli na zdalne i szybkie transportowanie obiektów i ludzi wzdłuż kanału telekinetycznego uformowanego przez światło. Ponieważ wiązka światła po angielsku nazywana jest "beam", stąd ten sposób transportowania został nazwany przez futurystów "beaming up". Jego przyszłościowe wykorzystanie już obecnie ilustrują niektóre filmy futurystyczne. Zgodnie z działaniem efektu telekinetycznego, reakcje wyzwalane podczas transportowania wewnątrz wiązki świetlnej nie będą przenoszone na urządzenie wytwarzające ten efekt. To z kolei umożliwi urządzeniom wielkości latarki kieszonkowej trzymanym w ręku dziecka dźwiganie całych budynków czy ogromnych maszyn. Ponieważ dla tej formy transportu dystans nie będzie odgrywał poważniejszej roli, promień telekinetyczny wysyłany ze stacji satelitarnych, pozwoli wybierać i przenosić na orbitę dowolne obiekty lub osoby znajdujące się na Ziemi.

Ad. 2. Magnokrafty drugiej generacji staną się rzeczywistością gdy nasza technologia osiągnie wystarczająco wysoki poziom aby pędniki zwykłego magnokraftu pierwszej generacji (zilustrowanego na rysunkach D1 do D3) zmodyfikować na tyle, że oprócz oddziaływania czysto magnetycznego (t.j. przyciągania i odpychania magnetycznego) wytworzyły one także ciąg telekinetyczny. Ponieważ otrzymany w ten sposób statek stanowił będzie jedynie bardziej zaawansowaną wersję magnokraftu, stąd nazwany on został magnokraftem drugiej generacji. Jego kształt będzie identyczny do kształtu zwykłego magnokraftu, a także będzie on w stanie uformować wszystkie połączenia zilustrowane na rysunku D3. Z uwagi jednakże na swe niezwykle możliwości, magnokraft drugiej generacji będzie tu też nazywany "wehikułem teleportacyjnym". Magnokraft drugiej generacji, niezależnie od lotów czysto magnetycznych (takich jak te realizowane przez magnokraft pierwszej generacji) zdolny także będzie do lotów w konwencji telekinetycznej. Ponieważ wehikuł teleportacyjny całkowicie zrewolucjonizuje nasze przemieszanie się w przestrzeni, w dalszej części niniejszego rozdziału dokonane zostanie krótkie podsumowanie działania i właściwości tego niezwykle statku.

Przed zakończeniem tego podrozdziału należy podkreślić też uboczne oddziaływanie pola (efektu) telekinetycznego na środowisko naturalne oraz poddanych jego działaniu ludzi, zwierząt i roślin. W miejscach bowiem gdzie wylądują wehikuły napędzane pędnikami telekinetycznymi, a także w ewentualnych miejscach gdzie pędniki takie eksplodują, wszystko zostanie skażone (omiecione) potężnym błyskiem tego pola. Z kolei takie pole telekinetyczne, z uwagi na swoją wysoką aktywność, musi spowodować określone zmiany w organizmach i substancjach znajdujących się w napromieniowanym nim obszarze. Wszakże efekt telekinetyczny wyzwalany przez wehikuły teleportacyjne stanowi jedynie

techniczną odmianę tego samego efektu jaki przez uzdrowicieli używany jest do leczenia chorób niekiedy uznawanych za medycznie nieuleczalne, zaś przez osoby obdarzone zdolnościami paranormalnymi używany jest do łamania łyżek, zmieniania struktury różnych materiałów, wyginania różdżek radiestezyjnych, itp. Poznajmy więc teraz kilka nietypowych zmian i zjawisk jakie pole telekinetyczne może spowodować w objętym nim obszarze. Ponieważ pełne ojaśnienie mechanizmu działania tych zjawisk wymaga dosyć szerokiej podbudowy teoretycznej na jaką brak jest miejsca w niniejszej skondensowanej monografii, zostaną więc one tutaj tylko wyliczone, zaś po ich wyjaśnienie zainteresowani czytelnicy odsyłani są do opisów Konceptu Dipolarnej Grawitacji zawartych w monografiach [1a], [6] i [1] wyszczególnionych w rozdziale N.

Wystąpienie większości ze zjawisk ubocznych w obszarze omiecionym polem telekinetycznym wynika z ogólnej zasady, że efekt telekinetyczny reprezentujący sobą odwrotność tarcia wykazuje właśnie tendencję do odwracania prawie wszystkich procesów fizyko-chemicznych w kierunku "linii największego oporu". W przypadku różnych substancji chemicznych kierunek ten możnaby też zdefiniować jako "przejście ze stanów energetycznie niższych w stany energetycznie wyższe", lub zachodzenie przemian w kierunku "od chaosu do porządku". Ponieważ w przypadku większości organizmów żywych i substancji powyższy kierunek zmian oznacza przejście z podporządkowania i degeneracji w stan wzrostu i trwałości, efekt telekinetyczny wykazuje więc niezwykle aktywność biologiczną, chemiczną i strukturalną, objawiającą się na następujące sposoby:

1. Wszelkie organizmy żywe (t.j. rośliny, zwierzęta i ludzie) naświetlone polem telekinetycznym będą wykazywały przyspieszony i zwielokrotniony wzrost. W miejscach lądowania lub eksplozji wehikułów napędzanych polem telekinetycznym w ekstremalnych przypadkach roślinność może więc rosnać nawet do 12 razy szybciej i bujniej. Z kolei zwierzęta i ludzie objęci polem takich lądujących lub eksplodujących statków mogą osiągnąć niespotykany u innych wzrost i siłę. Powyższe wskazuje więc na możliwość budowy telekinetycznych "stymulatorów wzrostu" czyli urządzeń wywołujących taką właśnie intensyfikację wzrostu w sposób zamierzony i kontrolowany.

2. Uszkodzone lub chore części ciał roślin, osób i zwierząt znajdujących się w zasięgu efektu telekinetycznego mogą zostać zregenerowane lub uzdrowione. Stąd pojawia się możliwość budowy telekinetycznych "maszyn uzdrawiających" o wynikach działania podobnych do uzdrowicieli (m.in. funkcję takiej maszyny będzie też sprawował opisany w tej monografii "psychokinetyczny kryształ" czyli przeźroczysta kapsuła dwukomorowa drugiej generacji zdolna do wytwarzania leczniczego efektu telekinetycznego).

3. Potężniejsze dozy promieniowania telekinetycznego mogą spowodować trwałą zmianę struktur genetycznych, wytwarzając w ten sposób nowe mutacje organizmów żywych.

4. U osób poddanych działaniu pola telekinetycznego mogą pojawić się niezauważone wcześniej zdolności ESP (np. zdolność do uzdrawiania, przewidywania przyszłości, zgadywania myśli innych, itp.), jako że szyszynka u tych osób zostanie "przeczyszczona i wyskalowana" polem do wytwarzania którego oryginalnie powinna ona służyć.

5. Różnorodne substancje normalnie trudne do uzyskania mogą zostać wyprodukowane w strefie działania tego efektu (np. wytwarzanie ozonu, dysocjacja wody na wodór i tlen, itp).

6. Pod wpływem efektu telekinetycznego ciepło może przepływać z obiektów lub stref o niższej temperaturze do obiektów lub stref o temperaturze wyższej.

7. Energia uwięziona w stanach lub formach bardziej trwałych może też być w nich przetransformowana, produkując stany lub formy bardziej nietrwale (np. niektóre trwałe stany krystaliczne wiążące energię mogą zostać zmienione na inne uwalniając w ten sposób ciepło - patrz telekinetyczne zginanie łyżek).

8. Struktury krystaliczne i związki organiczne mogą zostać "udoskonalone" poprzez wyeliminowanie naturalnych dla nich wakantów atomowych, załamań, płaszczyzn poślizgu, rzadzisz strukturalnych, itp. W ten sposób przykładowo opony samochodowe naświetlone

polem wehikułu teleportacyjnego mogą stać się całkowicie odporne na ścieranie, stał przestanie korodować, itp.

9. Przedmioty przemieszczane polem telekinetycznym mogą penetrować (przenikać) inne obiekty stałe bez spowodowania uszkodzeń w tych obiektach lub w sobie.

10. Części obiektów stałych w chwili poddania ich działaniu silnego efektu telekinetycznego mogą stawać się przezroczyste, jakby wykonane z energii a nie z materii. Ich przezroczystość jednak ustąpi po usunięciu pola telekinetycznego.

Jeśli chodzi o najważniejsze atrybuty skażenia polem telekinetycznym to pokrywają się one z atrybutami skażenia polem magnetycznym. Dla przykładu intensywność tego skażenia rośnie z wydatkiem energetycznym źródła danego pola (np. wielkością/typem wehikułu jaki wylądował na danym miejscu), czasem działania tego pola, oraz odległością skażonego obiektu od źródła pola; skażenie zwiększa się też kilkasetkrotnie gdy dany obiekt znajdzie się na trajektorii obwodów magnetycznych danego wehikułu (patrz rysunek H5); zaś aktywność skażenia zmniejsza się z upływem czasu zgodnie z krzywą tzw. "połowicznego zaniku". Warto tu też dodać, że wystąpienie wszystkich wymienionych powyżej zjawisk i następstw zostało już zaobserwowane w miejscach lądowań wehikułów teleportacyjnych, w okolicach miejsc eksplozji takich wehikułów, lub przez znanych autorowi badaczy eksperymentujących nad efektem telekinetycznym.

G2. Działanie i własności magnokraftów drugiej generacji zwanych także "wehikułami teleportacyjnymi"

Działanie magnokraftów drugiej generacji oparte będzie na wykorzystaniu efektu telekinetycznego opisanego w poprzednim podrozdziale. Objasnienie tego działania należy zacząć od przypomnienia, że pędniki każdego magnokraftu produkują pulsujące pole magnetyczne. Oczywiście sama natura pulsowania jest taka że poddane niemu pole musi ulegać chwilowemu przyspieszaniu i opóźnianiu. Stąd też pulsowanie pola każdego magnokraftu wytwarza jakiś ciąg telekinetyczny, jednakże w magnokraftach pierwszej generacji ciąg ten jest niewielki i niewłaściwie ukierunkowany. Jeśli jednak owo przyspieszanie i opóźnianie pola magnokraftu odpowiednio wysterować, można nim spowodować telekinetyczne wypieranie wehikułu zawartego w jego obrębie. Oczywiście aby możliwe było aż tak precyzyjne sterowanie przebiegami w czasie pulsowań pola magnokraftów drugiej generacji, wehikuły te muszą używać już bardziej zaawansowanych komór oscylacyjnych o ośmiobocznym (octagonal) kształcie, w podrozdziale C3.1 nazywanych komorami drugiej generacji.

Zależnie od polaryzacji względem pola otoczenia (t.j. względem pola ziemskiego, słonecznego lub galaktycznego), pędniki każdego magnokraftu można podzielić na dwa rodzaje - patrz rysunek D1 "a": pierwszy z nich (M) zorientowany jest odpychająco względem otoczenia, drugi zaś (U) - przyciągająco. Pędniki zorientowane przyciągająco względem pola otoczenia nazywaliśmy wcześniej pędnikami stabilizacyjnymi. Z magnetyzmu wiadomo, że każde przyciągające się nawzajem źródła pola magnetycznego muszą utworzyć wspólne obwody magnetyczne. W obwodach tych te same linie sił będą przebiegać przez wszystkie źródła pola (patrz rysunek H5). Stąd również niektóre linie sił pola magnetycznego wytwarzanego przez pędniki stabilizacyjne magnokraftu muszą stanowić przedłużenie linii sił pola otoczenia. To z kolei oznacza, że lecący magnokraft "owinięty" zostaje w pole magnetyczne otoczenia którego linie sił przebiegają przez pędniki tego wehikułu. Jeśli więc odpowiednio przesterować zmianę w czasie krzywych pulsowań pola magnetycznego wytwarzanego przez pędniki takiego magnokraftu, wtedy pulsy tego pola muszą też wywołać i pulsowanie pola otoczenia w które "owinięty" został dany statek. Pulsowanie pola otoczenia wytworzy wektory przyspieszeń chwilowych wymierzone w korpus statku. Wektory te z kolei wytworzą efekt telekinetyczny jakiego napór będzie popychał statek w pożądanym kierunku.

Powyżej opisany mechanizm wytwarzania ciągu telekinetycznego przez magnokrafty drugiej generacji uświadamia więc, że ciąg ten jest formowany przez wymuszanie

odpowiednich pulsowań pola otaczającego statek (t.j. pola ziemskiego, słonecznego lub galaktycznego). Pole magnetyczne samego statku jest jedynie wykorzystywane jako czynnik wymuszający pulsowanie pola otoczenia, nie zaś jako czynnik wytwarzający napór nośny. To z kolei posiada kilka istotnych konsekwencji dla pola magnetycznego wytwarzanego przez pędniki wehikułów teleportacyjnych. Najważniejszą z tych konsekwencji jest że średnie natężenie pola tych wehikułów wcale nie musi odbiegać od natężenia pola ziemskiego. Dla naszych instrumentów badawczych pole magnetyczne takich wehikułów może więc pozostawać niewykrywalne. Stąd na obecnym poziomie techniki najprawdopodobniej nie posiadamy urządzeń zdolnych do niezawodnego i efektywnego wykrywania istnienia takich wehikułów w naszej bliskości (aczkolwiek zidentyfikowane już zostały pierwsze urządzenia reagujące na ich pojawianie się - patrz podrozdział P2 monografii [3]).

Inną istotną konsekwencją jest, że z uwagi na niewielkie natężenie i szczególną charakterystykę pola magnetycznego wytwarzanego przez pędniki wehikułów teleportacyjnych, pole to jest nieszkodliwe dla zdrowia osób i organizmów żywych znajdujących się w jego zasięgu (a wręcz przeciwnie, jako bowiem nośnik efektu telekinetycznego będzie ono stymulowało poprawę zdrowia i samopoczucia tych organizmów). Z uwagi więc na ową nieszkodliwość, zminiaturyzowane komputerki kontrolujące oraz pędniki takich wehikułów w przyszłości mogą być osadzone chirurgicznie bezpośrednio do ciał swych użytkowników. W efekcie osoby mające zainstalowane takie pędniki będą w stanie latać w powietrzu (wydzielając przy tym wspomniane wcześniej "świecenie pochłaniania"), przechodzić przez mury i stalowe ścianki, chodzić po sufitach i wodzie, znikać z pola widzenia na życzenie i dokonywać wielu innych akcji jakie obecnie nazywalibyśmy nadprzyrodzonymi. Z uwagi na osadzenie tych pędników w ciele użytkownika, te niezwykle zdolności zostałyby utrzymane nawet jeśli dany użytkownik telekinetycznego napędu osobistego pozbawiony zostałby swego kombinezonu i wyposażenia.

Niskie natężenie pola wytwarzanego przez magnokrafty drugiej generacji, w połączeniu ze zdolnością telekinetycznego składnika tego pola do wywoływania stymulacji biologicznej gleby, powoduje że lądowiska magnokraftów drugiej (a także trzeciej) generacji będą się nieco różniły od lądowisk magnokraftów pierwszej generacji. Zasadnicza z tych różnic polegać będzie na fakcie że magnokrafty drugiej (i trzeciej) generacji lądujące w swoich zaawansowanych konwencjach lotu zwykle nie spowodują wypalania i sterylizacji gleby w obszarach jej długotrwałego naświetlenia polem statku. Wręcz przeciwnie, w miejscach gdzie gleba ta poddana zostanie długotrwałemu działaniu ich pola nastąpi jej wysoka stymulacja biologiczna. W efekcie tej stymulacji wszelkie rośliny (a także inne organizmy żywe) rosnące w obszarze naświetlonym polem telekinetycznym danego statku nagle doznają eksplozywnego zwiększenia szybkości i wysokości wzrostu. Ponadto uzdrawiające atrybuty pola telekinetycznego zamrożonego w glebie będą działały jak magnes na chore zwierzęta z okolicy które wykażą instynktowną tendencję do poprawy swego zdrowia poprzez wylegiwanie się na takim telekinetycznym lądowisku. W końcu gleba takich lądowisk wykazywać może inne proporcje pierwiastków składowych niż sąsiadująca gleba (np. kilkakrotnie większą zawartość wapna). Powyższe zjawiska nastąpią w efekcie działania czynników już omówionych pod koniec podrozdziału G1. Stymulacja biologiczna lądowiska może osiągnąć wartości powodujące nawet do dwunastokrotnego zwiększenia szybkości i wysokości wzrostu u roślin z obszaru naświetlonego telekinetycznym polem statku, w stosunku do wzrostu tego samego typu roślin rosnących w sąsiednim obszarze. Z uwagi na podwyższone zdrowie tych roślin, również ich kolor będzie bardziej żywy (zdrowy) w stosunku do podobnych roślin z otaczającego obszaru. Stąd też były lądowiska magnokraftów drugiej (a także trzeciej) generacji dadzą się rozpoznać w postaci pierścieni na glebie (podobnych w kształcie do pierścieni wypalanych przez pole magnokraftów pierwszej generacji) w których rośliny rosną wielokrotnie bujniej oraz posiadają bardziej żywy (zdrowy) kolor niż sąsiadujące rośliny. W miarę upływu czasu zdolność stymulacyjna tego obszaru będzie się zmniejszała zgodnie z krzywą połowicznego zaniku.

W uzupełnieniu do zjawisk indukowanych przez zwykłe magnokrafty i już omówionych przy końcu podrozdziału D3, wehikuły teleportacyjne w czasie swego lotu będą indukowały dodatkowe zjawiska jakie są znamienne dla lotu w konwencji telekinetycznej. Dla większości z tych zjawisk Koncept Dipolarnej Grawitacji już na obecnym poziomie naszej wiedzy pozwala przewidzieć ich przebieg i efekty końcowe. Szczegółowo zostały one wyjaśnione w monografii [1a]. Z uwagi na szczupłość miejsca, w niniejszym opracowaniu przytoczone będą jedynie opisy kilku najznamienniejszych z nich.

Kluczem do zrozumienia niezwykłych zdolności wehikułów teleportacyjnych jest znajomość unikalnego stanu materii poddanej ruchowi telekinetycznemu, zwanego tu "stanem telekinetycznym". Stan telekinetyczny dowolnego obiektu materialnego (np. wehikułu lub osoby) jest odwróceniem stanu fizycznego tego obiektu, zaś pojawia się on jedynie na czasokres trwania przemieszczenia telekinetycznego. Ogólnie rzecz biorąc stan ten wynika z unikalnego mechanizmu ruchu telekinetycznego (a ściślej: ze sposobu w jaki podczas ruchu telekinetycznego przeciw-materialne duplikaty ciągną za sobą swoje materialne odpowiedniki - patrz opis tego ruchu w podrozdziale G1). Stąd każdy obiekt przemieszczany w sposób telekinetyczny pozostaje w stanie fizycznym przed i po zakończeniu tego przemieszczenia, natomiast transformuje się on w stan telekinetyczny na czas trwania tego ruchu. Po zastosowaniu powyższego do wehikułu teleportacyjnego, stan telekinetyczny wystąpi w czasie gdy wehikuł ten poruszał się będzie w konwencji teleportacyjnej, natomiast zaniknie on (lub raczej wcale nie wystąpi) gdy wehikuł ten działał będzie w konwencji magnetycznej. Oczywiście stan ten występuje również podczas telekinezy biologicznej aczkolwiek jego atrybuty nie są wtedy aż tak rzucające się w oczy. Przykładowo jednym z jego przejawów jest utrwalana na niektórych fotografiach wykonanych w trakcie przemieszczeń psychokinetycznych przezroczystość przedmiotów poddanych temu ruchowi - np. patrz fotografie stołów unoszonych psychokinetycznie w 1903 roku przez angielskie medium o nazwisku Eusapia Palladino, opublikowanych w [1G2] czasopiśmie "The Unexplained", Vol. 4, Issue 41, strona 801 (patrz też [1a] rys. D6).

Podczas przechodzenia przez stan telekinetyczny materialny komponent każdego obiektu (t.j. wehikułu, osoby, wirnika w silniku telekinetycznym, przedmiotu przemieszczanego w efekcie ludzkiej psychokinezy, itp.) doświadcza następujących trzech transformacji:

(1) Dekompozycja z formy materialnej (hardwarowej) w formę niematerialną (softwarową). Forma niematerialna (softwarowa) może zostać wyjaśniona jako rodzaj energetycznego wzoru czy modelu całkowicie pozbawionego cech fizycznych takich jak masa, gęstość, inercja, własności optyczne, itp.

(2) Przemieszczenie się do odmiennej lokacji określonej przez ruch telekinetyczny jakiemu dany obiekt został poddany. Podczas takiego przemieszczenia materialna część tego obiektu istnieje jedynie w swojej nie-materialnej (softwarowej) formie jako rodzaj wzoru energetycznego.

(3) Rekompozycja z powrotem do początkowej, materialnej formy. Gdy owa rekompozycja zostaje zakończona, materialny komponent danego obiektu zaczyna ponownie istnieć w swojej fizycznej (hardwarowej) formie. Wszystkie jego własności powracają więc dokładnie do tej samej postaci jaką przyjmowały one przed rozpoczęciem danego przemieszczenia telekinetycznego.

Powinno tu zostać podkreślone, że transformacje następujące podczas stanu telekinetycznego nie zmieniają poziomu energii zakumulowanej w danym obiekcie. Stąd każda praca jaka zostanie wykonana w tym stanie musi być towarzyszona samoczynnym zaabsorbowaniem energii termicznej z otoczenia danego obiektu połączonym z wydzielaniem światła pochłaniania.

Trzy transformacje opisane powyżej są źródłem niezwykłych własności obiektów przechodzących stan telekinetyczny. Obiekty takie tracą wiele z atrybutów i ograniczeń charakterystycznych dla stanu fizycznego materii, a jednocześnie zyskują one inny zbiór atrybutów charakterystycznych dla form nie-materialnych, takich jak algorytmy, idee, informacje, itp. Nowe własności takich przekształconych w stan telekinetyczny obiektów, są jak następuje:

(a) Zdolność do penetrowania innych przedmiotów materialnych bez spowodowania jakichkolwiek uszkodzeń u siebie czy u tych przedmiotów.

(b) Zdolność do bycia penetrowanym przez inne przedmioty materialne bez odnoszenia samemu jakichkolwiek uszkodzeń, czy powodowania takich uszkodzeń u tych przedmiotów.

(c) Utrata podstawowych własności fizycznych takich jak inercja, gęstość, waga, tarcie, itp.

(d) Nie pochłanianie oraz nie odbijanie światła, stąd stanie się całkowicie przezroczystym.

(e) Wymienianie energii cieplnej z otoczeniem. Ilość tej energii jest dokładnym odpowiednikiem zużycia (lub wydzielenia) energii następującego podczas danego przemieszczenia telekinetycznego (patrz podrozdział G1).

(f) Emitowanie białego światła zwanego tu jarzeniem pochłaniania, lub białego światła z lekkim zielonkawym odcieniem zwanego tu jarzeniem wydzielania. Intensywność tej emisji jest proporcjonalna do konsumpcji (lub produkcji) energii termicznej spowodowanej przez daną pracę telekinetyczną. Obszar owej emisji dokładnie odzwierciedla zarys obiektu.

Powinno tu być podkreślone, iż we wehikule teleportacyjnym wszystkie powyższe własności wystąpią tylko gdy działa on w konwencji telekinetycznej.

Trzy podstawowe transformacje składające się na stan telekinetyczny (t.j. dekompozycja, przesunięcie, rekomozycja) skompletowane zostają w przeciągu wyjątkowo krótkiego pulsu czasowego. Każdy z takich pulsów najprawdopodobniej zużywa jedynie trzy oddzielne polecenia egzekucyjne wydane przez softwarowy duplikat obiektu poruszanego na drodze telekinetycznej. Z interpretacji czasu w koncepcji Dipolarnej Grawitacji (patrz podrozdział G3) wiadomo iż pojedyncze polecenie egzekucyjne stanowi elementarną jednostkę czasu dla obiektu poddanego temu poleceniu. Stąd też pojedynczy puls stanu telekinetycznego rozciągał się będzie w niezwykle krótkim przedziale czasu, zbyt krótkim aby nawet zostać zarejestrowanym przez nasze obecne instrumenty ale jednocześnie wystarczająco długim aby światło przeniknęło przez przestrzeń poprzednio zajmowaną przez dany obiekt fizyczny.

Złożone manewry wehikułu teleportacyjnego nie zawsze mogą zostać osiągnięte w pojedynczym pulsie stanu telekinetycznego. Z tego powodu pędniki teleportacyjne będą utrzymywały ciągle powtórzenia takich pojedynczych pulsów, rozciągając w ten sposób swój stan telekinetyczny na dowolnie długi przedział czasu. Istnieją dwa sposoby powtarzania pulsów stanu telekinetycznego, t.j. postępowy i oscylacyjny. Sposób postępowy polega na poddawaniu napędzanego obiektu szeregowi przemieszczeń telekinetycznych posiadających kontrolowany zasięg. Sposób ten będzie więc używany gdy od wehikułu telekinetycznego wymagany będzie przelot po określonej trajektorii z określoną prędkością. Sposób oscylacyjny polega na powtarzalnym przemieszczeniu (oscylowaniu) napędzanego obiektu pomiędzy dwoma niezwykle bliskimi sobie położeniami. Sposób ten używany będzie kiedy wehikuł teleportacyjny powinien zawisnąć nieruchomo ponad tym samym miejscem. Długotrwałe okresy stanu telekinetycznego, uzyskiwane poprzez takie ciągle powtarzanie pojedynczych pulsów tego stanu, nazywane tu będą "podtrzymywanym stanem telekinetycznym".

Charakterystyczną cechą podtrzymywanego stanu telekinetycznego jest iż poddany mu obiekt (np. wehikuł) naprzemiennie pojawia się w dwóch przeciwstawnych stanach, t.j. fizycznym i telekinetycznym. Stan telekinetyczny występuje gdy zachodzą pojedyncze pulse ruchu telekinetycznego. Natomiast stan fizyczny występuje w przedziałach czasu upływających pomiędzy owymi pulsami. Stąd zależnie od częstotliwości z jakimi owe elementarne pulsy są powtarzane, długości odcinków czasu w jakich dany obiekt istnieje w swej formie fizycznej będą się zmniejszać. Ponieważ w obu tych stanach własności optyczne przedmiotu są przeciwstawne (t.j. w stanie telekinetycznym obiekt jest całkowicie przezroczysty a stąd też niewidzialny, natomiast w stanie fizycznym obiekt ten jest wyraźnie widoczny), stąd po przekroczeniu określonej granicznej częstości pulsów obiekt stanie się niewidoczny dla postronnego obserwatora. Owa graniczna częstość pulsowania przy jakiej

wehikuly telekinetyczne znikną dla ludzkiego oka jest nam już dobrze znana dzięki wynalazkowi filmu ruchomego. W taki sam sposób jak przy przemieszczaniu klatek filmu z częstością równą 24 klatki na sekundę fakt ich przeskakiwania przestaje być zauważalny dla ludzkiego oka, również po przekroczeniu przez wehikuly teleportacyjne tej samej szybkości migotania fakt ich istnienia w danym miejscu stopniowo przestanie być zauważalny dla zewnętrznego obserwatora. Dzięki tej możliwości "migotania" widzialność wehikulu lub obiektu poddanego podtrzymywanemu stanowi telekinetycznemu może podlegać płynnej zmianie, od całkowitej widzialności, poprzez częściową niewidzialność (t.j. jakby bycie wykonanym z mgły), aż do kompletnej niewidzialności. Stopień przeźroczystości jest przy tym regulowany częstotliwością powtarzania elementarnych pulsów stanu telekinetycznego. Powyższe uświadamia więc że wehikuly telekinetyczne mogą stawać się niewidzialne aż na dwa różne sposoby. Pierwszym z nich jest zjawisko "soczewki magnetycznej" możliwej do włączenia przez magnokrafty wszystkich generacji. Soczewką tą w razie potrzeby omawiane wehikuly mogą osłaniać się kiedy konieczne jest uzyskanie niewidzialności bez włączania stanu telekinetycznego. Drugą z nich jest szybkie "migotanie" ze stanu telekinetycznego w stan materialny i z powrotem, jakie umożliwia im stanie się całkowicie niewidzialnymi, częściowo niewidzialnymi, czy też stopniowe znikanie z widoku podczas ruchu lub nieruchomego zawisania w tym samym miejscu.

Umiejętność znikania poprzez szybkie migotanie, w połączeniu z możliwością przenikania przez objekty stałe, nadaje wehikulom teleportacyjnym niezwyklej zdolności. Mogą one mianowicie wlatywać wprost do naszych mieszkań nie będąc przy tym wcale zauważane. W ten sposób w danym domu oprócz jego mebli i mieszkańców równocześnie może znajdować się cały statek kosmiczny wraz ze załogą, wyposażeniem, urządzeniami badawczymi oraz instrumentami medycznymi i wcale nie zostanie on przez nikogo zauważony. Jedyнным znakiem jego obecności prawdopodobnie odnotowywalnym tylko przez osoby uczulone na objawy działania tych wehikulów może być odczucie nieco większego chłodu niż zwykle, oraz fakt że niektóre z urządzeń elektronicznych niespodziewanie mogą zacząć zachowywać się w dosyć dziwny sposób. Gdyby jednak w takim przypadku ktoś z mieszkańców wpadł na pomysł wykonania zdjęcia, wtedy po jego wywołaniu mógłby doznać szoku patrząc na utrwalony na nim obraz (aczkolwiek ludzie zapewne wykazywaliby tendencję do racjonalnego tłumaczenia takich fotografii jako pomyłkowego nałożenia się dwóch nieostrych obrazów na jednej klatce).

Zdolność do stopniowego znikania nabiera też szczególnego znaczenia jeśli zastosowana zostaje do teleportacyjnych napędów osobistych. Z łatwością możemy sobie wyobrazić zaskoczenie i konfuzję doświadczone przez kogoś nic nie wiedzącego na temat opisanych w tym rozdziale wehikulów, skonfrontowanego nagle przez zaawansowanego w rozwoju wizytatora używającego telekinetycznego napędu osobistego. Taki przybysz zdolny byłby do zawisania w powietrzu, do przechodzenia przez ściany czy sufit, zaś jego ciało zdawałoby się być przeźroczystym sprawiając wrażenie jakby mgły. Zabójcze przedmioty (kule, noże, szpady, topory, itp.) wystrzelone lub rzucone w tego przybysza przenikałyby jego ciało nie czyniąc mu najmniejszej krzywdy.

Z mechanizmu formowania stanu telekinetycznego wynikają dwa dalsze ważne atrybuty napędu teleportacyjnego, t.j. zasięg pojedynczego elementarnego przesunięcia, oraz szybkość ruchu wynikowego. Zasięg elementarnego przesunięcia jest to odległość na jaką dany obiekt (np. wehikul) przesunięty zostaje w efekcie pojedynczego pulsu ruchu telekinetycznego. Jego doskonała ilustracja pokazana została w części (e) rysunku I1. Stąd maksymalna wartość tego zasięgu zależała będzie od wydatku magnetycznego (t.j. magnetycznej energii startu) biorącego udział we wytwarzaniu danego efektu telekinetycznego, a także od wielkości (masy) przemieszczanego obiektu. Im potężniejsze pole zaangażowane zostaje we wytworzenie takiego pulsu, tym większy zasięg wynikającego z niego przesunięcia. Z kolei im mniejsze są objekty jakie przenosi pędnik o danej (stałej) energii startu, tym dalsza jest odległość ich elementarnego przesunięcia.

Jak to zostało już wyjaśnione, długość czasu zajmowanego przez pojedynczy puls stanu telekinetycznego jest niezmiernie krótka. Stąd dla elementarnego przesunięcia następującego podczas takiego pojedynczego pulsu obecny koncept szybkości traci

ważność. Powodem tego jest, iż elementarne przesunięcie, niezależnie od swojego zasięgu, w naszym obecnym rozumieniu czasu skompletowane będzie natychmiastowo. Stąd jeśli stanie się technicznie wykonalnym budowa pędników teleportacyjnych o wydatkach energetycznych wystarczająco dużych aby ich elementarne przesunięcia rozciągały się do odległości międzygwiazdnych, wtedy pędniki takie będą w stanie natychmiastowo przenieść wehikuł teleportacyjny z jednej gwiazdy na drugą. Oczywiście szybkość takiego natychmiastowego przeniesienia na inną gwiazdę nie będzie mogła zostać opisana matematycznie, ponieważ osiągałaby ona wartość nieskończenie wielką. Należy tu jednak podkreślić iż powyższe odnosi się tylko do pojedynczego pulsu ruchu telekinetycznego.

Obecny koncept szybkości, opracowany dla ruchów fizycznych, może jednak zostać wykorzystywany do opisu powolnych lotów wehikułów teleportacyjnych odbywających się w podtrzymywanym stanie telekinetycznym. Aczkolwiek podczas takich lotów wszystkie pojedyncze pulsy skompletowane zostaną natychmiastowo, niemniej pomiędzy tymi pulsami wystąpią krótkie czasy postoju (przerwy) podczas których dany wehikuł znajduje się w stanie fizycznym (dwie takie przerwy uchwycono na zdjęciu z części (e) rysunku I1). Stąd podzielenie zasięgu elementarnych przesunięć przez długość owych przerw międzypulsowych daje wartość szybkości wynikowego ruchu w podtrzymywanym stanie telekinetycznym. Powyższe wyjaśnia więc w jaki sposób wehikuły teleportacyjne, niezależnie od prawie natychmiastowego przenoszenia się na odległe gwiazdy, będą mogły także lecieć ponad powierzchnią planety ze ściśle określoną prędkością, a nawet zawisać nieruchomo ponad tym samym miejscem.

Podsumujmy teraz najważniejsze cechy napędów i wehikułów działających w konwencji teleportacyjnej. Wszystkie obiekty transportowane w tej konwencji będą w stanie natychmiastowo przenieść się do dowolnego punktu docelowego leżącego w obrębie zasięgu ich pędników teleportacyjnych. Na dodatek do tego będą one także w stanie dokonywać wolnych lotów z wybraną przez siebie prędkością, lub nawet zawisać nieruchomo ponad tym samym miejscem. Pędniki teleportacyjne dostarczą im zdolności do penetrowania obiektów stałych, takich jak meble, mury, budynki, góry czy planety, bez czynienia jakichkolwiek uszkodzeń u siebie ani też u przenikanych w ten sposób obiektów. (Warto tu zauważyć iż zwykły magnokraft podczas lotów w obiektach stałych wypalał w nich będzie szkliste tunele - patrz podrozdział D3.) W ten sposób będą one mogły latać np. w lasach, kiedy ich korpusy przenikały będą przez napotkane drzewa i krzewy nie czyniąc im żadnej szkody. Kiedy wehikuły te znajdują się w stanie telekinetycznym, odwrotna sytuacja także może wystąpić, t.j. ich konstrukcja (materia) może być przenikana bez żadnej szkody przez inne obiekty stałe takie jak pociski, kule, noże, ludzi, zwierzęta, itp. Podczas działania w konwencji teleportacyjnej magnokrafty drugiej generacji będą także zdolne do samoczynnego absorbowania z otoczenia zawartej w nim energii cieplnej. Zdolność ta powodować będzie nagłe oziębianie się otoczenia wehikułów teleportacyjnych, jakie zorientowanym osobom umożliwi wykrywanie ich obecności przez monitorowanie poczucia zimna, mimo zdolności tych statków do uczynienia się całkowicie przezroczystymi (t.j. jakby wykonanymi z energii czy "mgły" nie zaś ze substancji). Dzięki niej zaden z wehikułów telekinetycznych nie będzie wymagał zaopatrywania w energię podczas swych lotów, zaś zamiast tego zaopatrywania jego napęd powodował będzie samoczynne absorbowanie wymaganej energii z ciepła zawartego w otoczeniu - po więcej szczegółów patrz opisy z monografii [6]. (Nie należy tu mylić konsumpcji energii podczas lotu z nadaniem wehikułowi tzw. "energii startu", które to nadanie musi nastąpić zanim uzyska on swoje zdolności do powodowania ruchów telekinetycznych - patrz opisy w rozdziale G5.5 monografii [1a].) Z kolei pochłanianie przez napędy telekinetyczne energii cieplnej z otoczenia indukować będzie białe "świecenie pochłaniania" rozpościerające się cieniutką warstwą tuż przy powierzchni ścianek statku lub przy powierzchni ciał użytkowników napędu osobistego (w podaniach ludowych taki rodzaj białego światła określa się jako posiadający "nadprzyrodzone" pochodzenie). Świecenie to nada wehikułowi teleportacyjnemu wygląd jakby "naoliwionego światłem". Wygląd ów jest jednym z czynników umożliwiających łatwe i szybkie identyfikowanie wehikułów teleportacyjnych oraz odróżnianie ich od magnokraftów

pierwszej generacji (porównaj części "d" i "e" rysunku I1). (Magnokrafty pierwszej generacji świecą bowiem światłem kolorowym jakie formuje rodzaj grubościennej aury lub chmury która szczelnie otacza te statki.)

G3. Magnokrafty trzeciej generacji (zwane "wehikulami czasu")

Omawiając tutaj magnokrafty drugiej generacji warto także wspomnieć, że rozwój naszych statków magnetycznych nie zakończy się na wehikule teleportacyjnym. Tablica Cykliczności opracowana dla napędów ziemskich (patrz tablica B1) ujawnia bowiem, że w około 200 lat po magnokraftach drugiej generacji nasza cywilizacja dorobi się jeszcze bardziej zaawansowanego statku, który można nazwać wehikulą czasu albo też magnokraftem trzeciej generacji. Tablica B1 ujawnia że podróżowanie w czasie tych najdoskonalszych z magnokraftów oparte będzie na efektach zniekształcenia przestrzeni czasowej powodowanych "deformowaniem" pól magnetycznych. Oprócz wprowadzania zmian do upływu czasu, magnokrafty trzeciej generacji będą też w stanie dokonywać lotów telekinetycznych wykorzystując dokładnie tą samą zasadę działania co omówione poprzednio wehikule teleportacyjne.

Obecny poziom naszej wiedzy na temat "deformacji" pól magnetycznych uniemożliwia dokładne przewidzenie wszystkich cech i właściwości magnokraftów trzeciej generacji. Jednakże już obecnie można wnioskować, że statki te będą zdolne do: raptownego znikania z danego miejsca poprzez przenoszenie się do innego punktu własnej przestrzeni czasowej, a także do zmiany "normalnego" upływu czasu. Gdy obserwowane w locie, otoczone będą idealnie okrągłą kulą przestrzeni (o średnicy około podwójnej średnicy samego statku) w jakiej wewnętrzna energia magnetyczna została silnie wzbudzona poprzez wprowadzoną deformację. Kula ta, zależnie od dokonywanej deformacji pola, najczęściej będzie emitowała pomarańczowo/złote lub niebiesko-zielone światło (teoretycznie rzecz biorąc niekiedy może też emitować białe światło). Z uwagi więc na wygląd tej kuli (otoczony którą wehikulą czasu z reguły będzie pozostawał niezauważony), obserwatorzy magnokraftów trzeciej generacji łatwo mogą je pomylić z dużymi piorunami kulistymi. Podobnie jak to jest z wehikulami teleportacyjnymi, także wehikule czasu mogą zostać budowane w formie zminiaturyzowanych napędów osobistych wstawianych chirurgicznie do ciała ich użytkowników. Takie urządzenia osobiste pozwolą użytkownikom na podróż w czasie bez użycia jakiegokolwiek statku widocznego na zewnątrz.

Dla cywilizacji takiej jak nasza - która nie dorobiła się jeszcze własnych wehikulów czasu, niezwykle istotna jest umiejętność wykrywania działalności tego typu statków budowanych przez inne cywilizacje. Koncept Dipolarnej Grawitacji (patrz [1a]) już na obecnym poziomie naszej wiedzy umożliwia przewidzenie kilku zjawisk których zarejestrowanie przez postronnego obserwatora świadczy o pobliskim użyciu wehikulu czasu. Trzy najdobitniej zauważalne z tych zjawisk to: (1) "stan zawieszony filmu" (po angielsku: "state of suspended animation"), (2) "podróż w jedną stronę" ("one way trip"), oraz (3) "efekt zdublowania czasu".

"Stan zawieszony filmu" można obrazowo wytłumaczyć na hipotetycznym przykładzie centrum dowodzenia jakiejś armii odwiedzonego przez wysłannika strony przeciwnej wykorzystującego wehikulą czasu. Wysłannik ten przybył aby zapoznać się z tajnymi planami danej armii, nie chciał jednak zostać zauważonym w trakcie swojej wizyty. Dlatego też użył on swój wehikulą czasu w ten sposób, że spowodował on przyspieszenie upływu własnego czasu w stosunku do czasu upływającego dla personelu danego centrum. Gdy więc personelowi upłynęła zaledwie jedna tysięczna sekundy, u przybysza upłynął odpowiednik około pół godziny. Miał on więc wystarczająco dużo czasu aby zapoznać się z planami strony przeciwnej, jednakże dla personelu tej strony upłynęło zbyt mało czasu aby zauważyć wizytatora. Jeśli jednak przypadkowo któryś z członków personelu danego centrum znalazł się zbyt blisko wizytującego podczas zmiany przez niego szybkości upływu swego czasu, czas owego obserwatora również zostałby przyspieszony. W takim

przypadku ów postronny świadek działania wehikułu czasu ze zaskoczeniem ujrzałby widok, jaki przypominałby mu film zatrzymany nagle na pojedynczej klatce. Wszyscy jego koledzy i przełożeni zamrożeni zostaliby w najdziwniejszych pozycjach jakie zajmowali w danej chwili. Nalewana woda zatrzymałaby się w połowie drogi pomiędzy czajnikiem a szklanką. Kulka papieru rzucona przez kogoś wisiałaby nieruchomo w powietrzu. Panowałaby absolutna cisza. Takie zamrożenie wszelkich ruchów panowałoby aż do chwili gdy wizytor dokonałby odlotu. W tym momencie zamrożone ruchy przywrócone zostałyby do swojej kontynuacji. Ludzie zaczęliby wyglądać i działać jakby nic w międzyczasie się nie stało. Jedynie pamięć postronnego obserwatora oraz jego zegarek przesunięty do przodu, byłyby jedynymi dowodami, że cokolwiek wogóle się przydarzyło. W sposób podobny do wyżej opisanego, wehikuły czasu mogą też powodować "stany przyspieszonego filmu", gdy upływ czasu u wizytującego zostaje opóźniony w stosunku do upływu czasu w jego otoczeniu.

Omówiony powyżej stan zawieszonoego filmu ujawnia że magnokrafty trzeciej generacji mają do swojej dyspozycji aż trzy różne metody stawania się niewidzialnymi. Oprócz bowiem "soczewki magnetycznej" którą mogą one włączyć po przestawieniu swego napędu na konwencję magnetyczną, oraz "migotania telekinetycznego" możliwego do włączenia przy przestawieniu napędu na konwencję telekinetyczną, dodatkowo mogą one używać różnych form manipulacji czasem aby pozostawać niewidzialnymi podczas fizycznej obecności w danym miejscu. Oczywiście "stan zawieszonoego filmu" jest tylko pierwszą z wielu różnorodnych takich możliwości stwarzanych przez odmienne sposoby manipulowania czasem (np. inne takie możliwości stwarzane są przez manipulację jaką możnaby nazwać "migotaniem pomiędzy dwoma punktami czasowymi", oraz manipulację polegającą na czasowym przesunięciu fazowym w którym wehikuł pojawia się w danym miejscu dopiero ułamek sekundy po tym jak światło przeniknęło już przez to miejsce).

"Podróż w jedną stronę" jest kolejną niezwykłą możliwością stwarzaną przez wehikuły czasu. Polega ona na ograniczeniu fizycznego podróżowania do przebycia drogi tylko w jednym kierunku, t.j. do docierania na miejsce przeznaczenia, podczas gdy droga powrotna do punktu wyjściowego podróży następuje poprzez cofnięcie czasu (nie zaś poprzez fizyczne podróżowanie). Wyrażając powyższe prostymi słowami, "podróż w jedną stronę" polega na przemieszczeniu fizycznym podróżnego tylko w kierunku docelowym, zaś na manipulowaniu (cofaniu) jego czasu w drodze powrotnej do punktu początkowego w którym dane podróżowanie zostało rozpoczęte.

Aby zrozumieć zasadę takiego "podróżowania w jedną stronę", konieczna jest znajomość definicji czasu w Konceptie Dipolarnej Gravitacji. Definicja ta stwierdza co następuje (patrz [1a]). "Czas jest to przepływ sterowania wykonawczego poprzez softwarowe duplikaty przeciw-materialne danego obiektu." Zrozumienie powyższej definicji przychodzi znacznie łatwiej, jeśli czytający świadom jest podobieństwa naszych duplikatów przeciw-materialnych zawartych w innym, równoległym świecie zwanym "przeciw-światem" do programów komputerowych pracujących w tzw. "czasie rzeczywistym" (real-time). Jak wiadomo programy takie składają się z ciągów pojedynczych akcji (instrukcji, kroków realizacyjnych), które realizowane są przez komputer kolejno jedna po drugiej. Wybór przez system sterujący komputera kolejnej akcji (instrukcji) mającej zostać zrealizowaną w danym momencie nazywany jest "kontrolą wykonawczą" (po angielsku "execution control"). Jak to wyjaśnia Koncept Dipolarnej Gravitacji, upływ czasu może być właśnie porównany do ruchu kontroli wykonawczej poprzez kolejne kroki realizacyjne takich programów. W koncepcie tym program komputerowy reprezentuje bowiem nieruchomą przestrzeń czasową, natomiast kontrola wykonawcza egzekwująca realizację tego programu i stąd przesuująca się poprzez kolejne jego akcje (instrukcje) reprezentuje upływ czasu. Zgodnie więc z powyższą analogią wynikającą z Konceptu Dipolarnej Gravitacji, czas jest nieruchomy podczas gdy to my poruszamy się poprzez niego (a ściślej sterowanie wykonawcze z naszych duplikatów przeciw-materialnych przemierza przestrzeń czasową). W tym względzie dipolarne pojęcie czasu jest odwrotne do powszechnie dzisiaj przyjętego, jako że w obecnie akceptowanym rozumieniu czasu my стоимy w miejscu podczas gdy to czas "płyynie" wokół nas. Jedną z najważniejszych konsekwencji dipolarnego rozumienia

czasu jest iż wskazuje ona sposób podróżowania w czasie. Aczkolwiek Koncept Dipolarnej Grawitacji stwierdza iż w naszym układzie wymiarów czas postępuje tylko w jednym kierunku (stąd w tym wymiarze nie jest możliwa zmiana jego upływu), w innym układzie wymiarów (t.j. przeciw-świecie) możliwe staje się manipulowanie czasem w każdym kierunku, t.j. jego cofanie do tyłu, przemieszczanie do przodu, przyspieszanie, a także opóźnianie.

Zgodnie z Konceptem Dipolarnej Grawitacji, podróżowanie w czasie technicznie sprowadza się do przemieszczenia kontroli wykonawczej do uprzednio "zaetykietowanego" punktu. W zrozumieniu zasady takiego przemieszczenia znowu przydatne staje się podobieństwo naszych przeciw-materialnych duplikatów do programów komputerowych. Jak wiadomo, w programach komputerowych możliwe jest umieszczenie "etykiety" (label) na początku danej sekwencji instrukcji oraz późniejsze powrót do tego "zaetykietowanego" punktu poprzez proste dokonanie skoku bezwarunkowego do owej etykiety. Dokładnie to samo następuje w wehikułach czasu. Umieszczają one "etykietę" w sekwencji kontroli egzekucyjnej duplikatu przeciw-materialnego danej osoby (t.j. w określonym punkcie czasowym tej osoby) i następnie dokonują przeskoku kontroli egzekucyjnej do owej etykiety. Osoba której duplikat softwarowy poddany zostaje takiemu procesowi odbiera go jako cofnięcie się czasu do tyłu (może też zostać dokonany skok czasowy do przodu). Dlatego też jeśli przedstawiciele jakiejś zaawansowanej cywilizacji która dorobiła się już wehikułów czasu zechcą zabrać daną osobę ze sobą w podróż, przed rozpoczęciem tej podróży doczepią oni "etykietę" do sekwencji egzekucyjnej tej osoby, zaś po zakończeniu tej podróży - zamiast podróżować z powrotem z tą osobą, po prostu cofną oni jej kontrolę egzekucyjną do owej etykiety. W efekcie końcowym osoba odbywająca taką podróż pamiętała będzie jedynie przebieg jej drogi w jednym kierunku (droga z powrotem już bowiem nie następuje), a także po powrocie ze zdumieniem odkryje iż aktualna godzina jest wcześniejsza niż dokładna godzina w której nastąpiło wyruszenie w daną podróż.

"Podróżowanie w jednym kierunku" z użyciem wehikułów czasu umożliwia dokonywanie uprowadzeń jakie nie posiadają swego "czasu trwania". W uprowadzeniach tych wybrana osoba wzięta może zostać w podróż która, niezależnie od swej długości, kończy się dokładnie w chwili w której się zaczęła. Gdyby więc w czasie takiego uprowadzenia ktoś nieustannie obserwował zabieraną osobę, lub nawet trzymał je za rękę, nie byłby w stanie odnotować faktu jej chwilowej nieobecności, ponieważ dla wzroku i zmysłów tego obserwatora dana osoba kontynuowałaby swoją obecność poprzez punkt czasowy w którym uprowadzenie to nastąpiło. Stąd też zaistnienie takich uprowadzeń będzie aktywnie zaprzeczane przez współczesnych badaczy, ponieważ ich uznanie podważałoby poprawność najbardziej fundamentalnych teorii współczesnej nauki (które stwierdzają że "czas płynie" my zaś stoimy nieruchomo w jego strumieniu stąd nasze poruszanie się w czasie nie jest możliwe). Autor w swoich badaniach miał już okazję spotkania się z kilkoma raportami z takich właśnie uprowadzeń, niestety żadne z nich nie doczekało się wyjaśnienia czy choćby tylko zrozumienia przez innych badaczy. Dodatkowym utrudnieniem wprowadzanym do badań owych przypadków jest, iż zaawansowane istoty zabierające daną osobę w taką podróż z reguły hipnotycznie wymazują potem pamięć uprowadzonego. Stąd do naszej wiedzy docierają tylko te nieliczne przypadki dla których owe wymazywanie pamięci okazało się niedokładne lub zawodne. Jednakże nawet w owych rzadkich przypadkach, prawie nikt nie jest skłonny uwierzyć w opowiadanie że ktoś odwiedził planety leżące w innych systemach gwiazdnych, przeszedł różnorodne testy, zwiedził kilka miast innych cywilizacji, zaś cała wizyta ukończona została o czasie nawet nieco wcześniejszym niż czas wyruszenia w tą podróż. Szczególnie że osoba relacjonująca takie niezwykle przygody potrafi z detalami opowiedzieć podróż w jedną stronę, nie jest jednak w stanie sobie przypomnieć jak właściwie nastąpiła podróż z powrotem.

Gdyby drzewa były najbardziej zaawansowaną formą życia na Ziemi i rozwinęły w sobie inteligencję, wtedy najprawdopodobniej spekulowałyby one nad możliwościami dokonywania zwyczajnych podróży w przestrzeni. Jednakże bez znajomości praw rządzących przemieszczaniem się z miejsca na miejsce, ich spekulacje nie posiadałyby

granic i stąd prawdopodobnie byłyby pełne paradoksów i nieprawdziwych idei. Studiując owe spekulacje ktoś prawdopodobnie mógłby się dowiedzieć, że drzewo podróżujące na drugą półkulę musi umrzeć, ponieważ jego korzenie będą skierowane w powietrze podczas gdy liście zostałyby zanurzone w glebę, albo że przekroczenie szybkości dźwięku nie jest możliwe bowiem szybkość ta stanowi stałą natury, czy też że drzewo jakie przemieści się do innego miejsca musi równocześnie istnieć aż w dwóch rzeczywistościach (t.j. starej i nowej). To samo dzieje się z naszymi obecnymi ideami podróżowania w czasie. Ponieważ nie znamy jeszcze praw i ograniczeń jakie obowiązują dla tego rodzaju podróżowania, nie nakładamy hamulców dla naszej wyobraźni i nasze spekulacje w tym zakresie nie posiadają granic. W ten sposób entuzjastyczni twórcy nawprowadzali wiele błędnych idei, jak np. "paradoks dziadka" czy "równoległe rzeczywistości", które komplikują i wypaczają nasze zrozumienie podróży w czasie. (Paradoks dziadka rozpatruje sytuację podróżnika w czasie który zabił własnego dziadka, stąd po powrocie do swojego czasu znajduje siebie samego już nie istniejącym. Natomiast idea równoległych rzeczywistości sugeruje iż każda akcja podjęta podczas podróży w czasie musi zainicjować odmienną rzeczywistość w której przebieg zdarzeń musi się różnić od tych następujących w rzeczywistościach już istniejących.) W tym miejscu musi jednak zostać podkreślone, że definicja czasu z Konceptu Dipolarnej Grawitacji (czas jest nieruchomy zaś to my poruszamy się w jego obrębie) oraz techniczne ograniczenia podróżowania w czasie całkowicie eliminują paradoksy i dylematy jak te opisane powyżej. Aby zrozumieć działanie tych ograniczeń, wystarczy odnieść do podróżowania w czasie analogię przemieszczania kontroli egzekucyjnej do określonej etykiety w naszych duplikatach przeciw-materialnych. Podobnie bowiem jak zmiana w kontroli wykonawczej programu komputerowego nie jest w stanie zmienić operacji (instrukcji) składających się na ten program (choć może wpłynąć na wynikowe wartości danych przetwarzanych przez ten program), również podróżowanie w czasie nie jest w stanie zmienić zawartości nieruchomej przestrzeni czasowej (choć może ono zmienić losy/drogę danej osoby poruszającej się przez tę przestrzeń). Efektem owych ograniczeń jest więc całkowite wyeliminowanie szansy na równoległe rzeczywistości czy na paradoks dziadka. Powyższa analogia ujawnia bowiem że "interakcyjne podróże w czasie" (t.j. podróże których uczestnik może brać osobisty udział w obserwowanych przez siebie wydarzeniach) możliwe są jedynie pomiędzy punktami czasowymi przez które dana osoba przeszła już w swoim "normalnym" życiu. Aby wyjaśnić to ograniczenie, przeskok czasowy wymaga założenia odpowiedniej "etykiety" w określonym punkcie czasowym danej osoby. Stąd aby założyć taką etykietę, koniecznym jest aby osoba ta żyła już w danym punkcie czasowym. To z kolei uniemożliwia przemieszczenie tej osoby poza obręb jej czasu życia, a także zezwala na podróżowanie w czasie jedynie pomiędzy punktami które zostały już osiągnięte w poprzednich częściach jej życia i które zostały "zaetykietowane" jako punkty docelowe przyszłych podróży w czasie.

W tym miejscu warto jednak dodać, że Koncept Dipolarnej Grawitacji ujawnia także możliwość odbywania innego rodzaju podróży w czasie, jakie możnaby nazwać "pasywnym przegrywaniem czasowo odległych zdarzeń". Ten rodzaj podróżowania nie nakłada żadnych ograniczeń na odległość czasu do którego dany obserwator się przenosi, jednakże limituje on podróżnika tylko do roli obserwatora (widza). W podanej poprzednio analogii programu komputerowego, ten inny rodzaj podróży możnaby przyrównać do powtórnego uruchomienia wycinka jakiegoś programu przez inne programy. W podróżowaniu tego typu dana osoba może jedynie obserwować przebieg zdarzeń jakie zaszły (lub zajądą), nie jest ona jednak w stanie ani uczestniczyć w nich ani też wpłynąć na ich końcowe efekty. Praktycznie takie "pasywne przegrywanie czasowo odległych zdarzeń" umożliwiłoby więc jedynie zaobserwowanie własnego dziadka w działaniu, jednakże niemożliwością byłoby ono zabicie tego dziadka.

Opisane powyżej zasady podróżowania w czasie odnoszą się do sytuacji gdy przestrzeń czasowa pozostaje nieruchoma zaś aktywny podróżnik przemierza tą przestrzeń. Możliwy jest jednak także inny sposób podróżowania polegający na "zafalowaniu" przestrzeni czasowej podczas gdy podróżnik pozostaje nieruchomy. Jego przykładem będą zjawiska występujące podczas eksplozji czy zastartowania wehikułów

czasu. Jednym z częściej występujących tego typu zjawisk jest tzw. "efekt zdublowania czasu". Efekt ten najłatwiej zilustrować analogią wehikułu czasu do motorówki nieruchomo stojącej na jeziorze i potem nagle ruszającej (woda tego jeziora reprezentuje przestrzeń czasową). Motorówka taka wzbudziłaby zafalowanie otaczającej wody, które to zafalowanie objęłoby także i postronnego obserwatora płynącego w jej pobliżu. Jeśli więc ruszający wehikuł czasu nagle dokona "deformacji" przestrzeni czasowej, wtedy znajdujący się w jego pobliżu postronny obserwator objęty zostanie zafalowaniami tej przestrzeni. Dla obserwatora zafalowania owe będą odbierane jako więcej niż jednokrotne powtarzanie się tych samych zdarzeń. Dla przykładu jeśli obserwator słyszał w radiu jakiś komunikat i piosenkę, po chwili powtórzy się ponownie dokładnie ten sam komunikat i piosenka. Jeśli w danej chwili obserwator wyglądał przez okno i zaobserwował przejeżdżający samochód, po chwili zaobserwuje on dokładnie ten sam samochód przejeżdżający dokładnie w taki sam sposób. Warto tu też dodać, że z uwagi na zasadę działania wehikułów czasu które wywołują swoje efekty przez "deformowanie" pola magnetycznego otoczenia, użycie tych statków objawia się w obrębie całej strefy objętej wzbudzeniem przez ich obwody magnetyczne (równiej co najmniej podwójnej średnicy samych statków). Stąd też oba opisane powyżej efekty wystąpią gdy wehikuł czasu znajduje się koło postronnego obserwatora w odległości nieco mniejszej od owej strefy. Dla przypadku użycia osobistych wehikułów czasu (t.j. osadzanych chirurgicznie w ciało ich użytkownika) strefa obserwowania takich wpływów czasowych będzie rozciągać się co najmniej do około 4 metrów od użytkownika danego napędu.

Zbudowanie magnokraftu trzeciej generacji zakończy rozwój kolejnych wehikułów których działanie wykorzystywać będzie różnorodne własności pól magnetycznych. Niniejsze podsumowanie możliwości tych wehikułów uświadamia, że nasza obecna wiedza o zjawisku jakie nazywamy "polem magnetycznym" może być porównywana do dotykania w ciemności wierzchołka góry złota i nie zdawania sobie sprawy że w zasięgu ręki zawarte jest niewysłowione bogactwo czekające cierpliwie aż je odkryjemy.

G4. Trzy generacje magnokraftów i ich identyfikacja

Podsumowując rozdział D oraz rozdziały E, F i G, razem z magnokraftem pierwszej generacji, nasza cywilizacja zbuduje aż trzy identycznie ukształtowane wersje tego statku, w każdej następnej z nich wykorzystując coraz bardziej kompleksowe właściwości pól magnetycznych. W magnokrafcie pierwszej generacji, pokazanym na rysunkach D1 do D3, do celów napędowych wykorzystywane będą jedynie odpychające i przyciągające oddziaływania pól magnetycznych. Magnokraft drugiej generacji w swej zasadzie działania wykorzystywał będzie dodatkowo efekt telekinetyczny (inercję magnetyczną) wyzwalany poprzez przyspieszanie i opóźnianie linii sił pola magnetycznego otoczenia jakie zamyka w swym obrębie korpus statku. Natomiast magnokraft trzeciej generacji wykorzystywał będzie aż trzy właściwości pól magnetycznych, t.j. (1) siły wzajemnych oddziaływań, (2) inercję magnetyczną wyzwalaną poprzez przyspieszanie i opóźnianie pól, oraz (3) energię wewnętrzną wyzwalaną poprzez deformację pól, a pozwalającą na manipulowanie czasem.

Każda z trzech generacji tych statków budowana może być aż w czterech wydaniach, t.j. (A) jako dyskoidalny (podstawowy) wehikuł, (B) jako wehikuł czteropędnikowy, (C) jako napęd osobisty, lub też (D) jako urządzenie zdalnego oddziaływania. Dla pierwszej generacji magnokraftów napęd osobisty przyjmie kształt odpowiedniego kombinezonu ubieranego przez użytkownika, natomiast dla drugiej i trzeciej generacji napęd osobisty posiadać formę zminiaturyzowanych urządzeń wstawianych chirurgicznie w ciało użytkownika i współpracujących z systemem jego nerwów i mięśni.

W archeologii przyjęty został sposób klasyfikowania poszczególnych cywilizacji w zależności od poziomu technologicznego jaki one osiągnęły. I tak przykładowo opisujemy określoną cywilizację iż jest ona na poziomie kamienia łupanego, brązu czy żelaza. Również budowanie kolejnych z omawianych tu napędów wymaga aby technologia danej

cywilizacji kosmicznej osiągała coraz to wyższy poziom. Rodzaj napędów jakie znajdują się w dyspozycji określonej cywilizacji stanowi więc jeden z najlepszych wskaźników poziomu technologicznego jaki ona osiągnęła. Dlatego możliwe jest wprowadzenie bardzo obiektywnej klasyfikacji poszczególnych cywilizacji bazującej właśnie na rodzaju posiadanych przez te cywilizacje napędów. Jeśli więc poklasyfikować w ten sposób opoki/okresy w rozwoju poszczególnych cywilizacji, okresy te będą układały się jak następuje.

0. Okres napędów konwencjonalnych bazujących na obiegu siły oraz na obiegu masy (patrz tablica B1). Cywilizacje, jak przykładowo obecnie nasza, które ciągle znajdują się w tym okresie, praktycznie ograniczone są do operowania w obrębie własnej planety, stąd można go też nazywać okresem cywilizacji planetarnych. Okres ten daje się dalej podzielić na conajmniej sześć szczebli rozwojowych w których do użytku wprowadzane są coraz bardziej zaawansowane generacje napędów, jak to zilustrowano w tablicy B1.

1. Okres magnokraftów pierwszej generacji, bazujących na czworobocznej komorze oscylacyjnej o kwadratowym przekroju. Ponieważ po osiągnięciu tego okresu dana cywilizacja nabywa zdolności do operowania we wymiarach międzygwiazdnych, stąd można go też nazywać pierwszym okresem cywilizacji międzygwiazdnych. W okresie tym wyróżnić się daje następujące szczeble rozwojowe.

1A. Magnokrafty dyskoidalne bazujące na konfiguracji krzyżowej.

1B. Magnokrafty dyskoidalne bazujące na kapsule dwukomorowej.

1C. Magnokrafty czteropędnikowe.

1D. Magnetyczne napędy osobiste (we formie kombinezonów).

2. Okres napędów teleportacyjnych (magnokraftów drugiej generacji) bazujących na ośmiobocznej komorze oscylacyjnej. Jego szczeble:

2A. Dyskoidalne wehikuły teleportacyjne.

2B. Czteropędnikowe wehikuły teleportacyjne.

2C. Teleportacyjne napędy osobiste wstawiane chirurgicznie do ciał użytkowników i niezauważalne dla postronnego obserwatora.

2D. Urządzenia wytwarzające telekinetyczny promień podnoszący ("beaming").

3. Okres wehikułów czasu (magnokraftów trzeciej generacji), bazujących na szesnastobocznej komorze oscylacyjnej. Jego szczeble:

3A. Dyskoidalne wehikuły czasu.

3B. Czteropędnikowe wehikuły czasu.

3C. Osobiste wehikuły czasu wbudowywane chirurgicznie w ciała swych użytkowników i niezauważalne dla postronnego obserwatora.

3D. Promień czasowy czyli zdolność do zmieniania czasu na odległość.

Należy tu podkreślić, że cywilizacja jaka w danej chwili znajduje się powiedzmy na szczeblu 3A swojego rozwoju (przykładowo tak jak to ma miejsce z cywilizacją która uprowadziła Miss Nosbocaj - patrz załącznik Z), posiada już w swej dyspozycji wszystkie napędy jakich zbudowanie nastąpiło w okresach poprzednich, np. telekinetyczny promień podnoszący (okres 2D), teleportacyjny napęd osobisty (okres 2C), itp. Nie posiada ona jedynie napędów ze szczebli rozwoju leżących powyżej szczebla aktualnie przez nią osiągniętego, np. czteropędnikowych wehikułów czasu czy osobistych wehikułów czasu.

Nasza cywilizacja nie dorobiła się jeszcze żadnego z omawianych tutaj magnokraftów. Istnieje jednakże ogromny materiał dowodowy, że Ziemia od dawna wizytowana jest przez wiele odmiennych cywilizacji kosmicznych o różniących się poziomach rozwoju, które już posiadają działające magnokrafty. Dlatego też istotnym jest aby badacze i obserwatorzy tych wehikułów nauczyli się rozpoznawać z jaką generacją napędów mają oni w danej sytuacji do czynienia. Określenie bowiem tej generacji z jednej strony umożliwi im przewidzenie rodzaju zjawisk z jakimi mogą zostać skonfrontowani, z drugiej zaś strony pozwoli na zgrubne oszacowanie szczebla rozwoju na jakim dana cywilizacja się znajduje. Istnieje kilka kluczy do rozpoznania z którą generacją napędów mamy w danym momencie do czynienia. Wymieńmy tu i podsumujmy pokrótce dwa najważniejsze z nich:

(a) Zjawiska indukowane podczas pracy danego napędu. Zjawiska te omówione już zostały przy okazji opisywania każdej z generacji omawianych tu wehikułów. Aby wskazać przykłady kilku najistotniejszych z nich: tworzenie chmury plazmowej i zjawisk elektromagnetycznych dla magnokraftów pierwszej generacji; przenikanie przez mury, budynki i meble istot oraz wehikułów których powierzchnia jarzy się białym ("nadprzyrodzonym") światłem pochłaniania dla napędów drugiej generacji; czy nagłe i niewytłumaczalne znikanie, "stany zawieszonoego filmu", "efekty zdublowania czasu", a także różnorodne inne zjawiska czasowe towarzyszące aktywności wehikułów czasu.

(b) Kształt komory oscylacyjnej. Dla wehikułów pierwszej generacji komora ta będzie posiadała kwadratowy przekrój poprzeczny, dla wehikułów drugiej generacji będzie ona ośmioboczna w przekroju, zaś wehikuły czasu będą wykorzystywały komory szesnastoboczne (należy zauważyć, iż przy tak dużej ilości boków, podczas niezbyt dokładnych oględzin komory te mogą sprawić wrażenie patrzenia na niemal okrągły wałek z kryształu).

W tym miejscu autor proponuje czytelnikom przeprowadzenie bardzo interesującego doświadczenia. Kiedy czytali oni będą następny artykuł opisujący jakieś uprowadzenie czy niezwykle doświadczenia określonego bohatera, aby spróbowali przeanalizować cechy opisywanych zjawisk i napędów, a następnie na tej podstawie postarali się określić do jakiej generacji i szczebla należą napędy wywołujące opisywane tam zdarzenia, oraz jakiego rodzaju napędy zostały tam użyte (t.j. dyskoidalne wehikuły, czteropędnikowe wehikuły, napęd osobisty, czy też urządzenia zdalnego oddziaływania takie jak np. promień podnoszący).

Rozdział H:**Dowody że magnokrafto-podobne UFO od wieków odwiedzają Ziemię**

Magnokraft stanowi całkowicie "ziemską" konstrukcję, t.j. został on wynaleziony, rozpracowany i jest przewidziany do zbudowania na Ziemi. Jednakże, mając w pamięci unikalne atrybuty tego wehikulu, wystarczy jedynie spojrzeć na nagłówki współczesnych gazet, aby uświadomić sobie, że wehikuly identyczne do magnokraftu zdają się być obserwowane na Ziemi od dłuższego już czasu. Owe zaobserwowane już wehikuly magnokrafto-podobne opisywane są zwykle pod nazwą UFO.

Autor wynalazł i rozpracował magnokraft wyłącznie na podstawie swoich zawodowych zainteresowań w systemach napędowych, t.j. bez żadnej inspiracji czy wpływu ze strony UFO. Na początku tych prac zakładał on, iż magnokraft stanowił będzie tylko latającego następcę dla silnika elektrycznego. To bowiem sugerowały analogie i symetrie wyrażone Tablicą Cykliczności (patrz tablica B1). W owej początkowej fazie rozwoju tego wehikulu autor wcale nie zdawał sobie sprawy z podobieństwa istniejącego pomiędzy magnokraftem i UFO. Podobieństwo to stało się oczywiste dopiero gdy pełna konstrukcja i właściwości omawianego statku zostały wydedukowane. Prawdę mówiąc, to na podobieństwo to zwrócili dopiero uwagę czytelnicy artykułów autora twierdzący że na własne oczy widzieli oni już działające magnokrafty, tyle tylko że określali je mianem "UFO". W trakcie naukowego weryfikowania i sprawdzania twierdzeń tych czytelników, autor zgromadził ogromny materiał dokumentujący że faktycznie na naszej planecie już operują nieznane statki popularnie zwane UFO, jakie wykazują się posiadaniem wszystkich atrybutów przewidywanych dla magnokraftu. W konsekwencji formalny dowód, iż "UFO są już działającymi magnokraftami" został opracowany i opublikowany. Pierwsza wersja tego dowodu ukazała się w artykule [1H] "Konstrukcja prosto z nieba" jaki opublikowany był polskim czasopiśmie "Przegląd Techniczny Innowacje" nr 13/1981, str. 21-23. Niestety, w owej pierwszej prezentacji z jakichś tam nieznanych powodów redakcja Przeglądu Technicznego pominęła opublikowanie dołączonych do niego zdjęć i rysunków (podobnych do zdjęć i rysunków ilustrujących niniejszy rozdział). Z uwagi na szczupłość miejsca, zdjęć tych nie dało się też przedstawić gdy publikacja z Przeglądu została następnie omówiona w artykule [2H] "Jak dowiedziono istnienia UFO", opublikowanym w Kurierze Polskim, nr 119/1981, str. 5. Stąd kompletna wersja tego dowodu (z pełną dokumentacją fotograficzną, materialną i faktologiczną) mogła zostać opublikowana dopiero w Nowej Zelandii, np. w monografii [1a] oraz kilku monografiach ją poprzedzających poświęconych tej samej tematyce. Dla użytku czytelników z Polski zostanie ona zaprezentowana w monografii [1p] przewidzianej do opublikowania już w najbliższym czasie.

Formalny dowód że "UFO to już działające magnokrafty" jest istotnym ogniwem w łańcuchu logicznym składającym się na treść niniejszej monografii (to jest więc powodem dla którego w następnym podrozdziale podsumowano jego metodologię i najważniejszy materiał faktologiczny). Uświadamia on bowiem, że nasza planeta od wieków jest nieprzerwanie odwiedzana przez przedstawicieli pozaziemskich cywilizacji posiadających działające magnokrafty (UFO) w swojej dyspozycji. To z kolei w namacalny i ilustracyjny sposób wykazuje, iż idea magnokraftu może zostać zrealizowana na drodze technicznej (jeśli bowiem mogły ją zrealizować inne cywilizacje, gdy tylko zechcemy także i my powinniśmy być zdolni do jej urzeczywistnienia). Poprzez skompletowanie owego dowodu, jednocześnie dowiedziona więc zostaje poprawność tezy głównej niniejszej monografii.

Osoby śledzące najnowsze osiągnięcia w nauce i technice prawdopodobnie ze zadowoleniem przyjmą wiadomość, że formalny dowód na istnienie UFO już został opracowany i opublikowany. Dowód ten stwierdza że "UFO istnieją i stanowią one już działające magnokrafty zbudowane przez jakąś wysoko-zaawansowaną cywilizację kosmiczną". Bazuje on na sprawdzonej w działaniu i niezawodnej metodologii naukowej i został już opublikowany w kilku artykułach oraz monografiach. Jako że dotąd nikt nie zdołał obalić tego dowodu, stąd obecnie jest on w mocy obowiązującej i teoretycznie rzecz biorąc każdy powinien respektować jego istnienie. Niniejszy podrozdział służy zapoznaniu czytelników ze szczegółami tego dowodu, oraz wskazaniu im literatury źródłowej na wypadek gdyby zechcieli oni powołać się na niego w swoich publikacjach czy włączyć go do systemu swojej wiedzy, horyzontów światopoglądowych, zasad filozoficznych i sposobu myślenia.

Formalny dowód że "UFO to już działające magnokrafty" bazuje na bardzo starej i nierzadko używanej ilości razy sprawdzonej w działaniu metodologii adoptowanej przez współczesną naukę i nazywanej "metoda porównywania atrybutów" (po angielsku "the methodology of matching the attributes"). W metodologii tej dwa niezależne od siebie zbiory atrybutów, jakie opisują dwa różne obiekty, są ze sobą porównywane w celu udowodnienia że obiekty które one opisują są identyczne. Najstarszym przykładem użycia tej metodologii byłby myśliwy który przymierza (porównuje) atrybuty śladu na śniegu z cechami znanych mu zwierząt w celu ustalenia które z tych zwierząt pozostawiło dany ślad. Metodologia ta jest jedną z najbardziej niezawodnych, efektywnych, i najczęściej używanych sposobów identyfikowania niezanych obiektów. Jest ona używana w większości procedur identyfikacyjnych, włączając w to śledztwa kryminalne (porównywanie dowodów rzeczowych na miejscu zbrodni z osobą podejrzanego), medycynę (porównywanie symptomów z chorobą), rozpoznanie wojskowe, itp. Aby udowodnić z użyciem tej metodologii, że magnokraft i UFO są identycznymi wehikułami, całkowite podobieństwo pomiędzy wydedukowanymi atrybutami magnokraftu i zaobserwowanymi atrybutami UFO musi zostać wykazane. Stąd też, omawiany tu dowód został sformułowany jako łańcuch logiczny składający się z następujących 4 kroków:

1. Zaproponowanie tezy roboczej stwierdzającej że "UFO są już działającymi magnokraftami" oraz zdefiniowanie sposobu udowodnienia prawdziwości tej tezy.

2. Zidentyfikowanie atrybutów magnokraftu jakie zostaną poddane procesowi porównywania. Poprzez wykorzystanie Teorii Magnokraftu 12 klas najbardziej reprezentacyjnych atrybutów które charakteryzują działający magnokraft zostało zidentyfikowanych teoretycznie i użytych dla omawianego dowodzenia. Przyczyną dla której, w dowodzie omawianym tutaj, użyto tylko 12 klas atrybutów (zamiast, powiedzmy, 13 czy 24) jest, że z punktu widzenia rachunku prawdopodobieństwa 12 atrybutów całkowicie wystarcza dla tego celu (patrz uzasadnienie przytoczone poniżej). Jednakże kompleksowość magnokraftu zezwala na zidentyfikowanie i opisanie ogromnej ilości dalszych atrybutów, nie rozpatrywanych w początkowym dowodzie. Stąd, prawie każda wymagana liczba atrybutów magnokraftu może zostać włączona do tego dowodu później, jeśli z jakichś tam powodów okaże się to niezbędne czy wskazane.

3. Udokumentowanie istnienia u UFO podobnych 12 klas atrybutów, z których każda pokrywa się z odpowiadającą jej klasą atrybutów wydedukowanych dla magnokraftu. Poprzez analizę różnorodnych fotografii UFO, obserwacji wizualnych tych obiektów, oraz dowodów materialnych aktywności UFO pozostawionych na naszej planecie, odpowiadające klas 12 atrybutów przyporządkowanych UFO zostało ujawnionych i udokumentowanych.

4. Porównywanie każdego atrybutu teoretycznie wydedukowanego dla magnokraftu z odpowiadającym mu atrybutem zaobserwowanym na UFO. Ponieważ, jak to wykazano w toku przeprowadzonego dowodzenia, takie porównanie wykazuje całkowitą zgodność (identyczność) obu grup atrybutów, jego pozytywny wynik konstytuuje formalny dowód że "UFO to już działające magnokrafty".

Wynikiem opisanego obu wehikułów aż przez 12 klas głównych atrybutów jest, że wszystkie możliwe różnice pomiędzy magnokraftem i UFO mogą zostać wyszczególnione z

niezwykłą precyzją. Ogromny potencjał różnicowania pomiędzy dwoma obiektami które opisane zostały aż 12 atrybutami, ilustruje poniższy hipotetyczny przykład budowania serii drastycznie odmiennych wehikułów latających. Seria ta w założeniu zawierałaby jedynie wehikuły jakie różnią się od tych zbudowanych już poprzednio przez conajmniej jeden z dwunastu opisujących je klas atrybutów. Dokonane obliczenia wykazują, że taka seria powinna zawierać pomiędzy $2^{12}=4096$ a $12! = 4.79 \cdot 10^8$ różniących się wehikułów latających (zależnie jak wiele odmian każdy z owych 12 atrybutów może przyjmować). Powyższe oznacza praktycznie, że jeśli każdego roku zbudowalibyśmy jeden taki wehikuł latający, poczynając od chwili zaczęcia się naszej cywilizacji, do teraz nie byłibyśmy w stanie skompletować pełnej serii tych wehikułów (dla porównania nasza cywilizacja buduje latające wehikuły zaledwie przez dwa wieki i podczas tego czasu zbudowała jedynie trzy nowe ich rodzaje - t.j. balony, samoloty oraz rakiety kosmiczne). Powyższy przykład ilustruje, że czysto przypadkowe pokrycie się atrybutów magnokraftów i UFO we wszystkich 12 klasach jest niemożliwe. Stąd, z punktu widzenia prawdopodobieństwa matematycznego, potwierdzenie że takie pełne pokrycie się atrybutów obu tych wehikułów rzeczywiście następuje, wystarcza jako formalny dowód że "UFO to już działające magnokrafty".

Omawiany formalny dowód w monografii [1a] zajmuje 22 strony opisów i wykorzystuje około 34 fotografii UFO. Jego główny segment odnosi się do magnokraftów i UFO pierwszej generacji. Jednakże w oddzielnych rozdziałach segment ten zostaje następnie rozszerzony do magnokraftów i UFO drugiej oraz trzeciej generacji (w niniejszym rozdziale też podsumowano jedynie segment referujący do magnokraftów i UFO pierwszej generacji, zaś drugą i trzecią generację tych wehikułów przedyskutowano w rozdziale L). Omawiany tu dowód został tak opracowany, aby jego przeprowadzenie możliwe było prawie wyłącznie na podstawie obiektywnych fotografii UFO (t.j. bez konieczności opierania dowodzenia na relacjach świadków które dla osób próbujących podważyć zasadność tego dowodu dostarczyłyby argumentu o rzekomej "subiektywności" materiału dokumentacyjnego). Poniżej przytoczono przykłady 12 klas atrybutów przewidzianych teoretycznie dla magnokraftu i porównanych następnie z tymi zaobserwowanymi na rzeczywistych UFO, użytych w ostatnio-opublikowanej wersji omawianego dowodu (warto zauważyć, że z uwagi na istnienie ogromnej ilości unikalnych cech charakteryzujących oba porównywane do siebie wehikuły, w poprzednich oraz dalszych wersjach tego dowodu użyte mogą być inne klasy atrybutów). Klasy te obejmują:

1. Spodko-podobny kształt geometryczny pojedynczych wehikułów. Dla magnokraftu kształt ten został precyzyjnie zdefiniowany układem równań matematycznych zaprezentowanych w podrozdziale D1 i podsumowanych u spodu tablicy D1. Analiza geometryczna fotografii UFO ujawnia, że dla każdego z ośmiu istniejących typów UFO i magnokraftu (oznaczonych jako typy K3 do K10) ich kształt zewnętrzny pokrywa się w sposób absolutnie dokładny - patrz przykład z rysunku H1 (porównaj także wszystkie ilustracje z tej monografii prezentujące zdjęcia UFO z rysunkami pokazującymi magnokrafty tych samych typów).

2. Konfiguracje sprzęgniętych wehikułów. Dokumentacja fotograficzna UFO zgromadzona dotychczas ujawnia, że wszystkie konfiguracje przewidywane teoretycznie dla magnokraftu (patrz rysunek D3) w rzeczywistości są już formowane przez UFO. Jako przykłady patrz: kompleks kulisty uformowany z UFO typu K6 pokazany na rysunku H2, czy latający kluster pokazany w części C rysunku H5.

3. Rozlokowanie pędników w wehikułach. Teoria Magnokraftu stwierdza że statek ten posiada pojedynczy pędnik główny zamontowany w jego centrum, oraz $n=4(K-1)$ pędników bocznych zamontowanych w poziomym kołnierzu obiegającym podstawę statku. Ogromna liczba istniejących fotografii UFO potwierdza takie właśnie rozlokowanie pędników w tych pozaziemskich wehikułach - patrz rysunek H3 (pośrednio to samo potwierdzają również rysunki H1 do H5).

4. Wykorzystanie pulsującego pola magnetycznego do wytwarzania sił napędowych. Dla przykładu rysunek H4 udowadnia, że pędniki UFO wytwarzają pulsujące pole

magnetyczne o charakterystyce identycznej do pola przewidzianego teoretycznie dla magnokraftu.

5. Tworzenie obwodów magnetycznych łączących dany biegun N/S (wylot) każdego pędnika, z przeciwstawnym biegunem magnetycznym tego samego, lub innego, pędnika. Istnienie takich obwodów u UFO zostało doskonale zilustrowane zdjęciami pokazanymi na rysunku H5.

6. Formowanie wiru magnetycznego. Wir taki powstaje w efekcie rotowania obwodów magnetycznych wokół centralnej osi statku. Jego wystąpienie u UFO zilustrowano w części D rysunku H5.

7. Indukowanie prądów elektrycznych. Jednym z następstw tego indukowania jest wytwarzanie niszczycielskiej chmury plazmowej jaka wiruje wokół powłoki tych statków. UFO wykorzystuje tą wirującą plazmę jako ogromną piłę tarczową zdolną do wcinania się w skały i żłobienia w nich szklitych tuneli, których przykłady pokazano w monografii [5].

8. Możliwość łatwej zmiany trybu pracy na jeden z trzech trybów przewidzianych dla magnokraftów i opisanych w podrozdziale D3. Również pozaziemskie UFO mogą działać w każdym z tych trzech trybów pracy, t.j.: (1) w trybie soczewki magnetycznej, kiedy to UFO stają się zupełnie niewidoczne zarówno dla nieuzbrojonego oka jak i dla aparatu fotograficznego - patrz rysunek I5; (2) w trybie pulsującego (bijącego) pola kiedy to ich powłoka może zostać łatwo zaobserwowana (patrz rysunek H1); albo też (3) w trybie wiru magnetycznego kiedy ich powłoka otoczona jest chmurą plazmową (patrz rysunek H5 D).

9. Odchylające oddziaływanie na promieniowanie elektromagnetyczne. Najbardziej spektakularna manifestacja tego oddziaływania jest formowanie soczewki magnetycznej, wyjaśnionej na rysunku D2 i zilustrowanej na rysunku I5. Inne oddziaływania obejmują tworzenie tzw. "czarnych belek" opisanych w podrozdziale D3 i zilustrowanych na rysunkach I1 i I2.

10. Zależność pomiędzy kolorem świecenia zjonizowanego powietrza a biegunem magnetycznym pędnika statku jaki dokonał tej jonizacji. UFO i magnokrafty na przeciwstawnych wylotach swoich pędników muszą wzbudzać emisję światła o dwu przeciwnych kolorach (t.j. zielono-niebieskim przy biegunie S lub żółto-pomarańczowym przy biegunie N danego pędnika). Okoliczności obserwowania tych światła omówiono w części (a) rysunku H3. Kolorowe fotografie UFO potwierdzają opisany Teorią Magnokraftu związek pomiędzy biegunowością pola statku, a kolorem światła indukowanego na wylotach z pędników UFO o danej biegunowości.

11. Gotujący efekt "kuchenki mikrofalowej". Powstaje on w rezultacie oddziaływania pulsującego pola magnetycznego wehikułu. Jednym z jego przejawów jest pojawianie się charakterystycznego kolistego zniszczenia w miejscach lądowania tych wehikułów. Przykład takiego zniszczenia pokazano na rysunku I3.

12. Magnetyczny charakter lotu. Teoria Magnokraftu stwierdza, że loty tych wehikułów muszą podlegać prawom magnetyzmu zaś zaprzeczać prawom hydromechaniki. Stąd ich poruszanie się będzie przypominać szarpany lot ważki, jaki drastycznie różni się od płynnych aerodynamicznych lotów współczesnych samolotów i inercyjnych lotów naszych rakiet. Analiza nocnych zdjęć utrwalających trajektorię UFO (a także raportów z wizualnych obserwacji tych obiektów) wykazuje, że wszystkie atrybuty charakterystyczne dla magnetycznych lotów magnokraftu (wymienione w podrozdziale D2) występują także podczas lotów UFO. Ponadto, unikalna symetria lądowisk UFO w stosunku do południków magnetycznych, tak rzucająca się w oczy ich badaczowi, dodatkowo potwierdza magnetyczny charakter lotu tych wehikułów.

Kilka przykładów fotografii UFO, zaprezentowanych na rysunkach H1 do H5 dla ilustracji powyższych 12 atrybutów, stanowi jedynie niewielki ułamek całkowitej ilości istniejących fotografii UFO jakie ujawniają różnorodne cechy tych pozaziemskich statków. Cały ten ogromny materiał dowodowy zaobserwowany na UFO wykazuje doskonałą zgodność z teoretycznymi cechami wydedukowanymi dla magnokraftu. Stąd, zgodnie z metodologią naukową wyjaśnioną w poprzedniej części tego podrozdziału, uzyskanie takiej doskonałej zgodności konstituuje formalny dowód że "UFO to już zbudowane magnokrafty".

Skompletowanie formalnego dowodu, że "UFO to już działające magnokrafty" wprowadza cały szereg istotnych następstw, najważniejsze z których są jak następuje:

(A) Dowód ten równocześnie konstytuuje cały szereg dowodów cząstkowych, stwierdzających że: "UFO istnieją" (t.j. UFO są materialne, stąd muszą istnieć obiektywnie), "UFO są wehikułami", "UFO muszą być budowane i pilotowane przez jakieś istoty inteligentne", oraz "Cywilizacje jakie wysyłają UFO na Ziemię muszą być pochodzenia kosmicznego", bowiem na naszej planecie żaden z narodów nie osiągnął dotąd jeszcze poziomu nauki i technologii koniecznego dla zbudowania tych zaawansowanych wehikułów.

(B) Dowód ten potwierdza poprawność Teorii Magnokraftu. Z punktu widzenia ważności stwierdzeń tej teorii, formalne dowiedzenie istnienia wehikułu jaki już obecnie wykorzystuje zasadę działania użytą w napędzie magnokraftu stanowi niemalże równorzędnik zaprezentowania działającego prototypu tego przyszłościowego wehikułu.

(C) Dowód ten uwypukla wagę badań UFO. Naukowa analiza obserwacji UFO stanowi najistotniejszy czynnik pozwalający na szybkie skompletowanie naszych magnokraftów. Stąd popularyzowanie obserwowania UFO jest niezwykle istotnym składnikiem szybkiego osiągnięcia przez naszą cywilizację zdolności do odbywania podróży międzygwiazdnych.

Metodologia "porównywania atrybutów" zastosowana w dowodzie opisanym powyżej dostarcza także dodatkowej korzyści. Pozwala ona bowiem na wprowadzenie niezwykle istotnego "postulatu zamienności pomiędzy UFO i magnokraftami". Postulat ten stwierdza, że: każdy poprawny wzór matematyczny, reguła i fakt opracowany dla magnokraftów, musi równie poprawnie odnosić się też i do UFO, a także każdy fakt zaobserwowany na UFO musi również sprawdzać się dla magnokraftów. Praktyczne wykorzystanie tego postulatu z jednej strony zezwala na szybsze zbudowanie ziemskich magnokraftów przez wykorzystanie w nich gotowych rozwiązań technicznych zaobserwowanych u UFO, z drugiej zaś strony umożliwia szybsze rozwikłanie tajemnic UFO przez zastosowanie do nich teorii opracowanych dla magnokraftów. Jednym więc z istotniejszych następstw tego postulatu dla treści niniejszej monografii jest iż Tablica D1 zawiera także dokładne i kompletne dane konstrukcyjne dla wszystkich ośmiu typów dyskooidalnych UFO, nie zaś jedynie dane konstrukcyjne dla kolejnych typów magnokraftu. Jeśli więc zechcemy poznać więcej szczegółów technicznych o którymś z typów UFO, wystarczy tylko zaglądnąć do owej tablicy. Ponadto wszystkie wzory matematyczne zestawione w tej monografii dla magnokraftu muszą się spełniać również i w odniesieniu do wehikułów UFO.

W przeszłości kilkakrotnie już wystąpiły, a także prawdopodobnie nastąpią też i w przyszłości, różnorodne próby obalenia ważności dowodu przedstawionego w tym podrozdziale (patrz [1H1] OMNI, luty 1984, Vol. 6, nr 5, strona 87). Jednakże, na przekór wielokrotnym atakom ze strony przeciwników magnokraftu, dotychczas nikt nie zdołał obalić teorii tego statku, czy podważyć dowodu bazującego na tej teorii. Każde z zastrzeżeń wniesionych dotychczas przeciwko temu wehikułowi, przeaczało jakieś istotne rozwiązanie czy szczegół, już postulowane Teorią Magnokraftu. Z drugiej zaś strony, sukcesy w budowie urządzeń postulowanych teorią tego statku, takich jak komora oscylacyjna, czy siłownie telekinetyczne, utwierdzają poprawność jego fundamentów naukowych.

Dowód bazujący na metodologii "porównywania atrybutów" z definicji pozwala na nielimitowaną liczbę porównań (t.j. każdy empiryczny fakt pozyskany z obserwacji UFO może zostać porównany do odpowiedniego faktu wydedukowanego teoretycznie z Teorii Magnokraftu). Stąd też, ten rodzaj dowodu pozostaje ważnym nawet jeśli niektóre z indywidualnych atrybutów UFO na jakich się on opiera, nie mogą zostać potwierdzone z jakichś tam obiektywnych powodów. Powyższa charakterystyka omawianego dowodu całkowicie neutralizuje dotychczasową strategię "obalenia dowodów" stosowaną przez tzw. "UFO sceptyków". Wiadomo, że wszystkie poprzednie próby dowiedzenia istnienia UFO opierane były na pojedynczych faktach (np. na pojedynczej obserwacji lub zdjęciu, pojedynczym przypadku uprowadzenia, czy pojedynczym dowodzie rzeczowym). Z drugiej jednak strony, nie istnieje taki fakt jaki nie mógłby zostać poddany w wątpliwość przez odpowiednio nastawionych naukowców. Stąd, poprzez adoptowanie strategii bezustannego podważania kolejnych faktów dotyczących UFO, tzw. sceptycy zdołali unieważnić każdy

dowód na istnienie UFO jaki dotychczas został wysunięty. Na szczęście, w stosunku do dowodu przedstawionego powyżej, omówiona strategia sceptyków po prostu traci swoją ważność. Aby bowiem unieważnić ten dowód musieliby oni bezspornie wykazać, że cały dotychczas zgromadzony materiał dowodowy na temat UFO jest nie-istniejący lub nieważny (filozoficznie rzecz biorąc jest to niemożliwe). Z tego też powodu, struktura przedstawionego tu dowodu na istnienie UFO jest "odporna na sceptyków" (tzn. sceptycy nie są w stanie podważyć jej poprawności).

Jak to zwykle bywa ze zaakceptowaniem istotnych ustaleń naukowych, uznanie formalnego dowodu autora że "UFO to już działające magnokrafty" postępuje bardzo wolno. Prawdopodobnie nawet gdy już pierwsze zbudowane na Ziemi magnokrafty wyniosą naszych celników na pokłady UFO zbliżających się do naszej planety, ciągle będą istniały osoby które odmówią zaakceptowania faktu istnienia UFO (podobnie jak członkowie słynnego "Towarzystwa płaskiej Ziemi" nawet obecnie ciągle odmawiają przyznania że nasza planeta jest kulista). Jednakże na przekór obecności takich osób, magnokraft nieprzerwanie zyskuje zwolenników w rosnącej liczbie krajów. Obecnie jest on już dobrze przyjęty w takich krajach jak Niemcy, Nowa Zelandia, Polska, Szwajcaria, USA, oraz Związek Radziecki. Dalsi badacze z następnych krajów wykazują rosnące zainteresowanie tym wehikułem, a także przełomowymi ideami jakie on sobą wprowadza.

Dane historyczne dotyczące naukowego uznania meteorytów wykazują, że popularne uznanie diskutowanego tu dowodu, dokonujące się bez przyspieszających go kroków, może zająć co najmniej 30 lat. Dane te wykazują, że dowód na istnienie meteorytów podlegał dokładnie tym samym kolejom losu jakie obecnie stały się udziałem dowodu na istnienie UFO. Stąd poprzez przestudiowanie tej historycznej analogii, możliwe jest uzyskanie dość dobrego rozeznania, jakie będą przyszłe losy naukowego uznania istnienia UFO, jeśli nie wyciągniemy obecnie wniosków z przeszłości i nie podejmiemy kroków przyspieszających to uznanie.

Jednym bowiem z najważniejszych wniosków rzucających się w oczy w czasie zapoznawania się z przytoczonym poniżej podsumowaniem historii uznania meteorytów jest, że niepomijalnym warunkiem rozpoczęcia powszechnie zaakceptowanych badań UFO będzie podjęcie jakichś kroków formalnych włączających te wehikuly w strefę oficjalnych zainteresowań nauki. Przykładem takiego kroku byłoby podjęcie ogólnopolskiej uchwały o "formalnym uznaniu magnokraftu jako technicznego konceptu wyjaśniającego budowę, działanie i atrybuty UFO". Uchwała taka dostarczyłaby bowiem oczekiwanego przez wszystkich precedensu formalnego i legalnego, bez względu na to przez kogo po raz pierwszy zostałaby ona podjęta. Praktycznie mogłaby więc ona zostać uchwalona przez dowolną grupę zainteresowanych osób, przykładowo zarówno przez hobbystów zainteresowanych w badaniach UFO (np. uczestników jakiegoś zjazdu UFOlogicznego), przez zebranie reprezentantów jakiejś instytucji odpowiedzialnej za generalny stan nauki (np. Akademię Nauk), czy nawet przez zwykłe zgromadzenie uczni szkół średnich. Po jej podjęciu bowiem sformułowany zostałby fundament legalny i formalny na jakim osoby zainteresowane w popchnięciu do przodu badań UFO mogłyby zacząć opierać swoje pierwsze posunięcia i późniejsze akcje. Z uwagi na fakt wynalezienia magnokraftu właśnie w Polsce, moralna odpowiedzialność (a także i honor) podjęcia takich pierwszych kroków formalnego uznania UFO spoczywa na naszym kraju.

Zapoznajmy się teraz ze streszczeniem historii naukowego uznania meteorytów. Historia ta ujawnia, że różnorodny materiał dowodowy stwierdzający o "kamieniach spadających z nieba" kolekcjonowany był od najdawniejszych czasów. Naukowcy jednakże odmawiali przyjęcia go do wiadomości, ponieważ podobnoż zaprzeczał on panującemu wówczas naukowemu wyjaśnieniu dla struktury wszechświata. Stąd też oficjalnie zaadoptowana postawa stwierdzała, że meteoryty muszą być manifestacją przesądów i ludowej (wybujałej) wyobraźni. W osiemnastym wieku fakty zgromadzone na temat "kamieni spadających z nieba" były tak ogromne, że środowisko naukowe zmuszone zostało do uciekania się do represji administracyjnych i autorytatywnego nacisku w celu utrzymywania swojej poprzedniej (negującej) pozycji. W owym czasie "anty-meteorytowa" histeria osiągnęła poziom obecnej "anty-UFO" kampanii, kiedy to badacze i obserwatorzy

UFO są publicznie piętnowani, wyszydzani, a nawet tracą zajmowane posady ponieważ władze sądzą że osoby takie nie zasługują na zaufanie. Po ogromnym deszczu meteorytów, jaki dnia 26 kwietnia 1803 roku spadł w francuskiej wsi L'Aigle, naukowiec Jean-Baptiste Biot przygotował dokument w którym zaprezentował on formalny dowód, że "kamienie faktycznie spadają z nieba". Dowód ten wkrótce został zaaprobowany przez francuską Akademię Nauk. Gdy więc po zaaprobowaniu dowód Biot'a został oficjalnie upowszechniony przez dokumentację tej Akademii, całe środowisko naukowe stopniowo zmieniło swoje stanowisko w sprawie meteorytów. Jednakże zmiana ta była bardzo wolna i zajęła wiele lat. Dla przykładu cztery lata po L'Aigle Prezydent USA Thomas Jefferson reagujący na inicjatywę dwóch profesorów chcących podążyć za przykładem francuskim i zbadać ogromny meteoryt jaki spadł w 1807 we Weston (Connecticut), grzmiał publicznie: "Panowie, raczej uwierzyłbym że tych dwóch Yankee profesorów kłamię, niż uwierzyłbym że kamienie mogą spadać z nieba" (cytowane z książki [2H1] H.H. Nininger, "Find a falling star", Paul S. Eriksson, New York 1972, ISBN 0-8397-2229-X, strona 4). Włosy jeży fakt, że Prezydent Jefferson podobno uważany był za jednego z bardziej wykształconych ludzi swoich czasów, a także że zgniótł on inicjatywę przebadania meteorytu z Weston "w imię dobra nauki" (przypadek ten nasuwa więc pytanie jakiegoż to łamania inicjatyw "w imię nauki" dopuszczają się zapewne współcześni luminarze.) Trzeba było aż ogromnego deszczu meteorytowego z 12 listopada 1833 roku, widzialnego w całej Północnej Ameryce i dotyczącego znaczną część populacji, aby przyspieszyć w USA formalne uznanie dowodu Biot'a. Obecnie "kamienie spadające z nieba" stanowią źródło ogromnie istotnych informacji i rozwój wielu dziedzin współczesnej nauki zależy od ich badania.

Oczywiście podczas ekstrapolacji powyższej analogii meteorytowej do UFO, niektóre osoby będą skłonne argumentować, że przecież nasza wiedza posunęła się nieco naprzód od 1803 roku. Jednakże w takich przypadkach warto jest również zadać pytanie, czy natura ludzka także posunęła się naprzód od owego czasu.

H2. Trwałe ślady działalności UFO na naszej planecie

Jedną z istotniejszych konsekwencji formalnego dowiedzenia, że "UFO istnieją i stanowią już działające magnokrafty" jest wykazanie, że te pozaziemskie wehikuly muszą pozostawiać na naszej planecie jakieś trwałe dowody swojej aktywności. Z pomocą Teorii Magnokraftu, autorowi udało się zidentyfikować i udokumentować kilka kategorii takich dowodów. Najłatwiej i stosunkowo najczęściej dostępne z tych kategorii obejmują: (1) miejsca eksplozji UFO, aż dwa z których zostały już zidentyfikowane i dosyć szczegółowo opisane, t.j. Tapanui w Nowej Zelandii i Tunguska na Syberii - patrz [5], (2) podziemne tunele wytopione przez UFO, (3) lądowiska UFO, (4) różnorodne substancje porzucane przez UFO.

Niezależnie od powyższych kategorii, powszechnie dostępny rodzaj trwałego śladu działalności UFO na naszej planecie można też znaleźć w zupełnie niespodziewanym miejscu, t.j. na nogach niektórych osób. Ślad ten to niewielka blizna cechująca tzw. "UFO abductees" czyli osoby zapraszone na pokład UFO (zwykle bez ich wiedzy i zgody). Przy odrobinie więc szczęścia, być może nawet czytelnik tego ustępu posiada ową bliznę na własnym ciele, lub też ktoś z najbliższego otoczenia należy do tej wyróżnianej przez UFO grupy ziemian. Ponieważ szczegółowym opisom owej blizny poświęcony został obszerny rozdział P w oddzielnej monografii [3] jej powtórne omówienie tutaj zostanie pominięte.

W tym miejscu warto wspomnieć, że wszystkie wymienione tutaj ślady posiadają trwały charakter, stąd też mogą one zostać poddane badaniom naukowym bez konieczności zmiany tradycyjnych metodologii badawczych (np. wypalone ślady pozostawiane przez UFO w miejscach lądowania, czy miejsca eksplozji tych statków, nie są w stanie zniknąć kiedy naukowcy zbliżą się do nich). Stąd też stanowią one materiał faktologiczny jaki umożliwia włączenie UFO w obręb tradycyjnych badań naukowych.

Trwałym śladom działalności UFO na Ziemi poświęcona też została cała oddzielna monografia autora jakiej dwa kolejne wydania polskojęzyczne już są dostępne dla

czytelników z naszego kraju. Pierwsze z tych wydań [1H2] posiada następujące dane edytorskie: "Kataklyzm koło Tapanui 1178 A.D. - nowozelandzki odpowiednik eksplozji tunguskiej" (Monografia, Dunedin, Nowa Zelandia, 1989, 76 stron - w tym 30 rysunków). Natomiast drugie z nich [2H2] posiada następujące dane wydawnicze: "Eksplozja UFO w Nowej Zelandii 1178 A.D. która pochylała ziemię" (Monografia, Dunedin, Nowa Zelandia, 1993, ISBN 0-9597946-8-9, 148 stron - w tym 37 ilustracji). Obecnie opracowywane jest już trzecie znacznie poszerzone i usprawnione wydanie owej monografii - patrz [5] na wykazie publikacji z rozdziału N. (W trakcie pisania niniejszej monografii kilka przedpublikacyjnych kopii tego trzeciego wydania [5] wysłanych już zostało do Polski.) Z tego też względu powtórne omówienie tych trwałych śladów działalności UFO zostanie tutaj pominięte. Czytelnikom których zainteresuje treść niniejszej monografii, zapoznanie się także z monografią [5] (lub w przypadku jej niedostępności - z nieco starszą monografią [2H2]) byłoby szczególnie rekomendowane. Warto tu podkreślić, iż aczkolwiek monografia [5] głównie koncentruje się na omówieniu miejsca eksplozji UFO koło Tapanui w Nowej Zelandii, jej treść włącza także cały rozdział poświęcony dokładnemu omówieniu eksplozji UFO w Tunguskiej na Syberii, dwa rozdziały omawiające inne możliwe miejsca eksplozji tych wehikułów (Kolchida, Ukraina, Atlantyda, Libia, Sodomia i Australia), a ponadto obszerny rozdział w całości poświęcony innym trwałym śladom działalności UFO na naszej planecie, włączając w to: (1) lądowiska tych statków - np. patrz rysunek I3; (2) tunele wytopione przez nie w skale - np. patrz artykuł [3H2] "W poszukiwaniu UFO-tuneli", "Nie z tej Ziemi" (ul. Wronia 23, 00-840 Warszawa), sierpień 1992, numer 8 (24), strony 42 i 43; oraz (3) różnorodne substancje porzucane przez UFO na ziemi - np. patrz "anielskie włosy" czy "węgiel warstwowy" opisane w artykule [4H2] "UFO bez tajemnic", Morze i Ziemia (pl. Hołdu Pruskiego 8, 70-550 Szczecin), 30 września 1992, nr 39(512), strona 11; oraz pokazane w części (b) rysunku H2.

Obserwacje komory oscylacyjnej na pokładach UFO

W niniejszej monografii dwie grupy przesłanek zostały skonfrontowane. Z jednej strony w rozdziałach D do G przytoczone zostały teoretyczne przesłanki podkreślające ogromne znaczenie komory oscylacyjnej dla wszystkich wehikułów magnokraftopodobnych. Jednym z ich przykładów może być podrozdział D1 wykazujący iż komora oscylacyjna przylega do wszystkich pomieszczeń tego wehikułu (stąd też musi być z nich widoczna). Z drugiej strony monografia ta także ujawnia różnorodne ustalenia empiryczne jakie wykazują iż nasza planeta nieustannie i od dawna wizytowana jest przez przedstawicieli jakichś zaawansowanych cywilizacji kosmicznych już posiadających działający magnokraft w swojej dyspozycji. Ich przykładem jest formalny dowód omówiony w rozdziale H jaki wykazuje iż UFO są już zrealizowanymi magnokraftami. Zestawienie razem tych dwóch grup przesłanek prowadzi do sformułowania następującej tezy niniejszego rozdziału, która bezpośrednio podpira tezę główną tej monografii: "Komora oscylacyjna jest już wykorzystywana przez UFO jako ich napęd (pędnik) oraz akumulator energii". Rozważania jakie nastąpią w tym rozdziale służyć więc będą dowiedzeniu tej tezy.

Dowiedzenie pierwszej części tezy tego rozdziału (że UFO wykorzystują komory oscylacyjne jako swój napęd) jest stosunkowo proste pod względem logicznym. Polega ono bowiem na przedstawieniu, zgodnie z metodologią porównywania atrybutów już objaśnioną w rozdziale H, materiału dowodowego wykazującego użycie komory oscylacyjnej we wehikułach UFO. Podrozdziały jakie nastąpią dostarczą dostatecznej ilości tego materiału.

Nieco bardziej trudne jest jednak udowodnienie iż UFO nie używają paliwa w swoim działaniu, zaś ich cały zasób energii jest przechowywany w formie pola magnetycznego (t.j. "strumienia krążącego") w konfiguracjach komór oscylacyjnych zwanych tu kapsułami dwukomorowymi. Aby wykazać prawdziwość także i tej drugiej części tezy niniejszego rozdziału koniecznym jest przedstawienie dowodów, że komory oscylacyjne UFO faktycznie zestawione zostały w kapsuły dwukomorowe jakich strumień krążący umożliwia przechowywanie ogromnych ilości energii (stąd że w UFO właśnie ów strumień krążący stanowi odpowiednik dla "paliwa" z naszych dzisiejszych wehikułów). Na szczęście, autor zdołał znaleźć sporo materiału dokumentacyjnego jaki dowodzi także i tego faktu (włączając w to ustne potwierdzenia wypowiedziane przez samych UFOautów, że ich komory wypełniają także funkcje akumulatorów energii).

Aby udowodnić tezę niniejszego rozdziału, autor skompletował szerokie badania ukierunkowane na odnalezienie wymaganego materiału dowodowego. W rezultacie, ustalił on wiele faktów jakie wskazują na długotrwałe i nieprzerwane użycie komór oscylacyjnych na Ziemi przez jakieś zaawansowane cywilizacje kosmiczne. Fakty te mogą zostać poklasyfikowane do następujących kategorii:

1. Współczesne obserwacje i fotografie komór oscylacyjnych używanych w pędnikach UFO.
2. Ślady materialne pozostawione na Ziemi jakie pochodzą z komór oscylacyjnych UFO.
3. Mitologiczne wzmianki urządzeń przypominających komory oscylacyjne.
4. Historyczne opisy urządzeń jakie zdają się stanowić starożytne wersje komory oscylacyjnej.

Kolejne podrozdziały prezentują materiał dowodowy należący do poszczególnych z tych kategorii. Ostatni podrozdział przedstawia wnioski wynikające z tych prezentacji.

11. Obserwacje i fotografie komór oscylacyjnych używanych w UFO

Zgodnie z poprzednio omówionym dowodem z rozdziału H, jaki wykazuje iż UFO są już zrealizowanymi magnokraftami, najbardziej rzucający się w oczy podzespół każdego UFO powinny być konfiguracje komór oscylacyjnych. Konfiguracje te powinny być widziane przez każdą osobę wizytującą UFO, a także przez przypadkowych obserwatorów przelatującego takiego wehikułu. Więcej, pole magnetyczne wytwarzane przez komory oscylacyjne tych statków powinno oddziaływać na otoczenie w sposób jaki jest unikalny dla takich kwadratowych urządzeń. Z powyższego wynikają więc cztery oddzielne kategorie materiału dowodowego jakich prezentacja zajmie cztery kolejne sekcje tego podrozdziału. Należy zauważyć iż w niniejszym podrozdziale ograniczono się tylko do omówienia konfiguracji komór oscylacyjnych obserwowanych w dyskoidalnych UFO. Innego rodzaju konfiguracje, charakterystyczne głównie dla UFO czteropędnikowych omówiono w rozdziale J.

11.1. Kolumny pola magnetycznego opuszczającego pędniki UFO posiadają kwadratowy przekrój poprzeczny

Kolumny pola magnetycznego wyprodukowanego w pędnikach UFO muszą odzwierciedlać kształt urządzenia jakie wytworzyło to pole. Jeśli więc kolumny te zostały wytworzone przez komorę oscylacyjną, ich przekrój musi być kwadratowy. W ten sposób będą one się drastycznie różniły od okrągłych kolumn pola jakie musiałyby zostać uformowane przez dowolne inne urządzenia (np. elektromagnesy). Ponieważ jest stosunkowo łatwym zadaniem odróżnienie kształtu pola magnetycznego odprowadzanego do otoczenia z pędników UFO, powyższe stwarza więc pierwszą możliwość sprawdzenia czy owe statki pozaziemskie faktycznie wykorzystują komory oscylacyjne.

Najłatwiejszym sposobem poznania kształtu kolumn pola wydzielanego przez pędniki UFO jest obserwacja tzw. "czarnych belek" formowanych z niewirującego pola statku. Ich wytwarzanie dyskutowane już było w kilku podrozdziałach niniejszej monografii (np. D3, E4). Belki owe muszą dokładnie odzwierciedlać kształt kolumn pola statku, stąd w przypadku użycia komór oscylacyjnych powinny one być kwadratowe w przekroju poprzecznym. Najlepszą konfiguracją UFO dla zaobserwowania takich belek są tzw. zestawy niezespalone i zestawy semizespalone - patrz konfiguracje #3 i #4 na rysunku D3. Opublikowanych już zostało wiele fotografii pokazujących owe konfiguracje UFO, dwa przykłady z których pokazano na rysunku I1. Jedne z najbardziej wyraźnych z nich to seria kolorowych fotografii UFO lecącego na niewielkiej wysokości, wykonanych dnia 16 czerwca 1963 roku przez Paul'a Villa z Alberquerque, New Mexico, USA. Najlepsza reprodukcja tych zdjęć opublikowana była w jednym z wsześniejszych wydań OMNI (najprawdopodobniej z 1979 roku). Niektóre z nich były też zreprodukowane w czasopiśmie [111.1] "The Unexplained", Vol 1, No 1, 1980, strona 10 (w kolorze); w książce [211.1] pióra Allan'a Hendry (Foreword by Professor J. Allen Hynek): "The UFO Handbook" (Sphere Books Limited, London, England, 1980) strona 210; oraz w książce [311.1] pióra David'a C. Knight: "UFOs: A Pictorial History from Antiquity to the Present" (McGraw-Hill Book Company, 1221 Avenue of the Americas, New York, NY 10020, USA, New York-St.Louis-San Francisco, 1980, ISBN 0-07-035103-1) strony 110-111. UFO uchwycone na zdjęciach Villa stanowi konfigurację niezespaloną utworzoną z dwóch wehikułów typu K7. Zarysy dolnego wehikułu, lecącego w pozycji odwróconej, zawinięte zostały polem soczewki magnetycznej stąd można je zobaczyć tylko częściowo. Na wysokiej jakości kopiach tych zdjęć doskonale jest widoczne jedenaście "czarnych belek" łączących wyloty pędników bocznych dolnego i górnego wehikułu. Kształt tych belek niestety jest trudny do określenia ze zdjęć Villa. Inny przykład fotografii (oryginalnie w kolorze) dwóch UFO typu K7, tyle iż tym razem lecących w konwencji telekinetycznej, opublikowany został w czasopiśmie [411.1] "The Unexplained. Mysteries of Mind, Space & Time", Volume 1, Issue 1, 1980, strona 4. Oba wehikuły także sprzęgnięte są ze sobą w zestaw niezespalonej.

We większości wizualnych obserwacji UFO kształt czarnych belek rozprzestrzeniających się od wylotów pędników nie został dokładnie odnotowany. Jednakże istnieje kilka obserwacji w których dokonujące je osoby z jakichś tam względów zwróciły szczególną uwagę na ten kształt i zachowały go dobrze w pamięci. We wszystkich tych przypadkach kształt ten opisywany jest jako kwadratowy. Dokonajmy teraz przeglądu najbardziej reprezentacyjnych z takich przypadków, na jakie autor natrafił w swoich badaniach.

Dnia 12 czerwca 1981 roku, małżeństwo Thew (250 King Street, Temuka near Timaru, New Zealand) zaobserwowali dwa UFO zawisające ponad ich domem. Wehikuly te sprzęgnięte były ze sobą właśnie w układ niezespolony. Zgodnie z opowiadaniem tych świadków, z wyglądu przypominały one konfiguracje pokazane na rysunku I1, aczkolwiek z powodu innego kąta obserwacji tego UFO, dolny wehikul zaobserwowany w Temuka pozostawał doskonale widoczny (nie został więc owinięty w soczewkę magnetyczną tak jak wehikuly na rysunku I1). Małżeństwo Thew widziało wyraźnie "czarne belki" łączące wyloty ich pędników bocznych i odnotowało w pamięci iż ich kształt z całą pewnością był kwadratowy w przekroju poprzecznym.

W książce [5I1.1] Joshua Strickland: "There are aliens on earth! Encounters" (Grosset & Dunlop, New York, 1979, ISBN 0-448-15078-6) strona 11, opublikowany został rysunek semi-zespolonego kompleksu latającego dwóch UFO, jakie uprowadziło brazylijskiego żołnierza o nazwisku José Antonio da Silva - patrz rysunek I2. Czarne belki zaobserwowane na tym wehikule zostały wyraźnie zaznaczone jako kwadratowe w przekroju poprzecznym.

Jednym z najbardziej obiektywnych dowodów na kwadratowy przekrój kolumn pola magnetycznego wydzielanego przez pędniki UFO są popalone ślady pozostawiane na ziemi w miejscach lądowania tych wehikulów. Ślady takie, w niniejszej monografii zwane "lądowiskami UFO", zwykle przyjmują formę wypalonego pierścienia z pojedynczym wypaleniem w swoim centrum (bardziej dokładne referencje do tych lądowisk przedstawione zostały w podrozdziałach D4 i H2). Kiedy UFO lądują w pozycji "wiszącej", wylot ich pędnika głównego niemalże dotyka ziemi. W takim przypadku, gdy pole statku nie wiruje, centralny ślad wypalony na ziemi przez ten pędnik musi odpowiadać kształtowi kolumny pola wytwarzanego przez jego kapsułę dwukomorową. Autor badał sporo śladów wynikających z takich lądowań UFO i faktycznie w niektórych z nich występowały wyraźnie wypalone centralne ślady w formie kwadratu. Przykład jednego z takich śladów pokazany został na rysunku I3 (porównaj kwadratowy wypalony ślad z tego rysunku z wyglądem kapsuły dwukomorowej pokazanej na rysunku C5 "b" oraz na fotografii z rysunku I5). Istnienie owych trwale wypalonych śladów w lądowiskach UFO dostarcza istotnego materiału dowodowego potwierdzającego poprawność tezy niniejszego rozdziału.

11.2. Wyloty pędników UFO są kwadratowe i ujawniają żółte wstęgi iskier elektrycznych obiegające ich wnętrza

Kształt kolumn pola magnetycznego wytwarzanego przez pędniki UFO daje się też rozpoznać z obserwacji warstewek powietrza zjonizowanego na wylotach z tych pędników, lub ze zaobserwowanych zarysów tych pędników. Podany poniżej materiał dowodowy dokumentuje ten aspekt.

Najbardziej obiektywne źródło informacji o wyglądzie warstewek powietrza zjonizowanego na wylocie pędników UFO są fotografie tych wehikulów wykonane w okolicznościach szczególnie sprzyjających ujawnieniu świecenia zjonizowanego powietrza: t.j. przy fotografowaniu od spodu, przy niepełnym świetle dziennym (np. wieczorem), przy wilgotnym (np. tropikalnym) powietrzu sprzyjającym jonizacji, oraz w przypadku gdy pole UFO nie wiruje. Kilka takich fotografii zostało już opublikowanych. Najlepszą z nich jest zdjęcie UFO typu K3 jakie dnia 3 stycznia 1979 roku zawisło nieruchomo nad Butterworth w Malazji. Jego fotografię opublikowano w gazecie [1I1.2] National Echo, z Penang, Malazja, wydanie z 4 stycznia 1979 roku. Następnie zreprodukowano je w czasopiśmie [2I1.2] Mufon

UFO Journal, wydanie z lutego 1980 roku, strona 8. Oryginalna odbitka tego zdjęcia okazała się niemożliwa do zdobycia, stąd w niniejszej monografii autor przytoczył jedynie jego gazetową reprodukcję - patrz rysunek H3. Niestety z owej reprodukcji nie daje się ustalić jaki dokładnie kształt posiadają wyloty pędników UFO (pole statku zapewne wirowało w czasie fotografowania).

Znacznie lepsze dla ustalenia tego kształtu okazało się zdjęcie jakie wykonał rybak o nazwisku Norman Neilson (Motunau Beach, North Canterbury, New Zealand). W październiku 1979 roku, fotografował on swój nowo zakupiony kuter, zaś przez przypadek, na jego zdjęciu typu przeźrocze uchwycone też zostało UFO typu K5. Na wylotach z pędników bocznych tego wehikułu silnie świecące obszary zjonizowanego powietrza zostały wyraźnie ukazane. Jego fotografia jest podobna nieco do zdjęcia z rysunku H3, tyle tylko iż wykonana została pod nieco większym kątem. Były ekspert fotografii lotniczych, śp Fred Dickenson z Timaru, Nowa Zelandia, dokonał badań owej fotografii UFO z Motunau Beach. Jego powiększenia ujawniły iż kolumny pola magnetycznego odprowadzane z pędników tego wehikułu wykazują szczegóły wskazujące na ich kwadratowy przekrój. Omawiana tu fotografia oraz jej powiększenie opublikowane były w czasopiśmie [311.2] "Xenolog UFO Magazine" (Nowa Zelandia), no 122, January/March 1980, strony 10-12.

W książce [411.2] David Wallechinsky and Irving Wallace, "The People's Almanac #2", A Bantam Book, Inc., New York 1978, ISBN 0-553-01137-5, strona 599 zawarty jest opis UFO jakie nocą wylądowało na lotnisku w Marignane (Francja). Opis ten wykonany został przez celownika tego lotniska, Gabriel'a Gachignard, który osobiście zaobserwował wehikuł z niewielkiej odległości. Odnotował on na nim kwadratowe kształty jakichś elementów które wziął za okna, ale które faktycznie były warstewkami powietrza zjonizowanego pulsującym polem magnetycznym na wylotach z pędników tego wehikułu. Oto odpowiednie cytowanie z [411.2], jakie raportuje o obserwacji Gachignard'a:

"Miało ono kształt piłki do rugby, przypominał sobie świadek, ze spiczastymi końcami. Wymiary obiektu oszacowałbym na jakieś 3 stopy wysoki i 15 stóp długi {t.j. około 0.9 metra i 4.5 metrów}. Spód obiektu krył się w ciemności, ale za to na jego górnej powierzchni widoczny był rząd czterech kwadratowych okien, z których emanowało pulsujące światło, niezemskie i miękkie, jakie zmieniało kolory od niebieskiego do zielonkawego w jednostajnym trzepotliwym ciągu." (W oryginale angielskojęzycznym: "It had the shape of a football, he recalls, with very pointed ends. He estimated the object's dimensions to be 3 ft. high and 15 ft. long (i.e. around 0.9 and 4.5 metres). The underside was in a shadow, but along the top was a row of four SQUARE windows, from which emanated a pulsating light, ghostly and soft, which changed colours from bluish to greenish in a sort of throbbing pattern.")

Warto w tym miejscu podkreślić, iż dokonywanie tłumaczeń cytatów podobnych do tych przytoczonych w niniejszym rozdziale jest zadaniem ogromnie trudnym, jako iż musi ono uwzględniać szerszy kontekst z którego dany tekst został zaczerpnięty, dodatkowe objaśnienia ustne lub rysunkowe towarzyszące danym tekstom, zwyczajnie językowe ich autorów, itp. We wielu więc przypadkach dokonane tłumaczenie może być też przedmiotem innych interpretacji. Aby więc umożliwić taką indywidualną interpretację dokonaną przez samych czytelników, w odniesieniu do tekstów o większym znaczeniu dowodowym lub naukowym, niezależnie od swojego ich tłumaczenia autor zawsze stara się też przytoczyć ich oryginalne brzmienie. Należy zauważyć że w nawiasach klamrowych {jak te} włączane są do tych tłumaczeń komentarze autora ułatwiające interpretację oryginalnego tekstu.

Aby powyższe cytowanie uczynić bardziej zrozumiałym, być może przydatne się okaże jego zinterpretowanie dokonane na bazie Teorii Magnokraftu. Z przytoczonego opisu wynika że w panujących ciemnościach Gachignard dostrzegł jedynie powierzchnię górną złożonych ze sobą kołnierzy kulistego kompleksu UFO uformowanego poprzez sprzęgnięcie razem dwóch przeźroczystych wehikułów typu K3. (Sposób takiego sprzęgnięcia zilustrowany został na rysunku H2, podczas gdy dokładny kształt pojedynczych wehikułów typu K3 pokazany jest na rysunku D1.) Kompleks ten był nieco nachylony w kierunku obserwatora, aby dostosować ustawienie pędników do lokalnego przebiegu pola magnetycznego. Dzięki temu pochyleniu zarys kołnierzy przyjął owalny

przebieg, podobny do piłki dla rugby. Przeźrocyste korpusy pozostałych części wehikułów, włączając w to dwie kopuły osłaniające kabiny załogi, zakryte były ciemnością przed dostrzeżeniem. Zorientowanie wehikułu umożliwiało więc świadkowi zobaczenie wylotów czterech pędników bocznych (wyloty z pozostałych czterech pędników kryły się bowiem poza niewidoczną dla świadka kabiną załogi górnego wehikułu).

Dnia 20 stycznia 1982 roku, Wayne Lockwood z Wanganui, Nowa Zelandia, został oślepiiony smugą ostrego światła rzuconą przez UFO zawisającą ponad jego głową. Teoria Magnokraftu wyjaśnia iż we wehikułach pierwszej generacji wytwarzanie takiego światła odbywa się poprzez wpompowanie do komory oscylacyjnej odpowiednio fluoryzującego gazu dielektrycznego, jaki nie zmienia własności jej dielektryka ale za to zamienia komorę w rodzaj jarzeniówki. Stąd zarysy wylotu urządzenia jakie produkuje taką smugę światła, przy oglądaniu go od spodu powinny być wyraźnie kwadratowe. Mr Lockwood popatrzył do góry na oślepiające go źródło światła i dokładnie odnotował iż było ono kwadratowego kształtu.

Dnia 23 lipca 1981 roku o 10:30 wieczorem James L. McCabe (49 Highland Avenue, Dover, New Jersey, USA) obserwował przez około 20 sekund metaliczne UFO jakie zbliżało się do jego domu na wysokości około 500 metrów. Na górnej powierzchni tego obiektu dostrzegł on jakieś prostokątne formy które przypominały mu okna wykonane ze soczewek powiększających. Były one cofnięte od powierzchni wehikułu w dwóch stopniach jakby teleskopowo wsuniętych jeden do drugiego. Lewa z tych form posiadała nieregularną wstęgę żółtego światła biegnącą naokoło swojego wewnętrznego prostokąta wzdłuż całej jego głębokości. Opis tej obserwacji McCabe'go wraz z odpowiednim rysunkiem opublikowany został w [511.2] "CUFOS Associate Newsletter", wydanie z kwietnia-maja 1983 roku, strony 4 to 5. Jeśli przeanalizować co właściwie zostało zaobserwowane, opisane formy doskonale odpowiadają czołowym krawędziom kapsuł dwukomorowych z pędników bocznych UFO, działających w trybie dominacji strumienia wewnętrznego - patrz rysunek C5 (a). Wrażenie powiększenia i odsunięcia przy tym kącie patrzenia najprawdopodobniej wywołane zostało dzięki uginaniu światła przez strumień krążący wytwarzany przez komorę zewnętrzną.

11.3. Kapsuły dwukomorowe uformowane z dwóch komór oscylacyjnych są często zauważane u UFO a nawet fotografowane

Centralny obwód magnetyczny wznoszącego się dyskoidalnego UFO wytwarza unikalny efekt soczewki magnetycznej jaki ułatwia zauważenie kapsuły dwukomorowej z pędnika głównego tych wehikułów. Efekt ten umożliwił całemu szeregowi postronnych świadków zaobserwowanie i precyzyjne opisanie kapsuł dwukomorowych z UFO, a w kilku przypadkach nawet sfotografowanie tych kapsuł (patrz rysunek I5). Mechanizm powodujący wytworzenie takiego efektu soczewki magnetycznej opisany został w podrozdziale D3. Z uwagi jednak na jego znaczenie dowodowe dla niniejszego podrozdziału zostanie on tutaj dodatkowo streszczony.

We wznoszących się UFO moc pola magnetycznego z centralnego obwodu magnetycznego wielokrotnie przewyższa moc pola z obwodów głównego i bocznych. Z tego też powodu linie sił centralnego obwodu magnetycznego hermetycznie otaczają nie tylko że cały korpus wznoszącego się statku, ale także jego główny i boczne obwody magnetyczne. Wszystkie one zostają zawinięte w rodzaj magnetycznego obwarzanka (donut) w kształcie toroidu. Tworzenie tego obwarzanka zilustrowane zostało na rysunku D2. Jak to już wyjaśniono w podrozdziale D3, wysoko-skocentrowane pole magnetyczne UFO odchyła drogę światła. Generalnie rzecz biorąc odchylenie to polega na pozwalaniu światłu na łatwe przechodzenie wzdłuż linii sił pola, jednakże uginaniu drogi światła próbującego przejść w poprzek tych linii. Wspomniany więc obwarzanek magnetyczny formowany wokół wznoszącego się UFO oznacza, iż aby dostać się do powierzchni statku światło musiałoby przeniknąć właśnie w poprzek linii sił pola magnetycznego otaczającego ten statek. Natomiast aby dotrzeć do pędnika głównego światło to szłoby tylko wzdłuż tych

linii. Z tego też powodu, zewnętrzny obserwator który patrzy od spodu na takie wznoszące się UFO z łatwością zauważa kapsułę dwukomorową z pędnika głównego, jednakże nie jest w stanie zaobserwować żadnego z fragmentów korpusu wehikułu.

Stanisław Masłowski z Wrocławia był pierwszym obserwatorem UFO który zwrócił uwagę autora na to zjawisko. Patrzył on na UFO jakie wzniosło się z powierzchni ziemi. Podczas obserwowania jego wlotu zauważył ku swemu zdumieniu, iż na jego oczach cały korpus statku z wolna znika (rozpływa się) z widoku, natomiast w centrum byłego kształtu wehikułu zaczyna być widoczne małe romboidalne urządzenie (t.j. kapsuła dwukomorowa z pędnika głównego obserwowana pod kątem od strony jej narożnika). Poniżej przytoczony został opis jego obserwacji.

Dnia 29 sierpnia 1979 roku około 7 wieczorem, 9-letni wówczas Stanisław Masłowski, napotkał UFO typu K3 w Parku Popowickim we Wrocławiu. Wehikuł wisiał zawieszony na wysokości około pół metra nad ziemią, zaś dwóch z trzech członków jego załogi opuściło pokład. Świadek podszedł do wehikułu na odległość około 6 metrów, zbliżając się do najbliższego UFO nauty na odległość około 2 metrów. Całe spotkanie zajęło około 10 minut i dostarczyło licznych szczegółów technicznych statku i jego załogi. Po jego zakończeniu, Stanisław obserwował wznoszące się UFO. Kiedy wehikuł zwiększył swoją wysokość, jego korpus zaczął z wolna się rozmywać z widoku, aczkolwiek UFO było ciągle zbyt blisko Stanisława aby stracić swoją widoczność z powodu odległości. Równocześnie, dokładnie w centrum przedniego korpusu tego wznoszącego się wehikułu pojawiło się znacznie mniejsze urządzenie emanujące silne, żółto-czerwone światło. Stanisław opisał to urządzenie jako przypominające mu romb widziany przez niego na kartach do gry ("dzwonek"), t.j. kształt jaki powstaje podczas oglądania kwadratu pod kątem od strony jednego z jego naroży.

Po tym jak Stanisław Masłowski uzmysłowił istnienie efektu soczewki magnetycznej, autor rozpoczął zbieranie innych materiałów dowodowych. Analiza takiego materiału zgromadzonego już do dzisiaj sugeruje, iż większość świadków którzy opisują kwadratowe, prostokątne lub romboidalne UFO jakie emanuje ze swego wnętrza silne żółte lub złote światło (czasami także i iskry), faktycznie zaobserwowała jedynie główną kapsułę dwukomorową ze znacznie większego wehikułu pozostającego niewidocznym dla tych świadków. Dodatkowym potwierdzeniem iż obserwowana jest jedynie kapsuła nie zaś cały wehikuł (np. nie całe czteropędnikowe UFO opisane w rozdziale J) jest owo unikalne jarzenie się złotych iskr elektrycznych zawsze wydzielane z wnętrza tej kapsuły.

Doskonałym przykładem typowej obserwacji kapsuły dwukomorowej z pędnika głównego takiego wznoszącego się wehikułu, jest spotkanie z UFO raportowane autorowi przez Wayne Hill z Invercargill w Nowej Zelandii. Wygląd urządzenia dostrzeżonego przez Wayne Hill pokazany został na rysunku I4. Oto jak opisuje on swoją obserwację:

"Było to około 11:30 wieczorem, dnia 20 grudnia 1978 roku, krótko po zachodzie słońca. Właśnie odbywałem samotny spacer wzdłuż drogi około 7 kilometrów na południe od Nelson w Nowej Zelandii. Droga w tym miejscu biegnie dokładnie z południa ku północy. Ja szedłem ku północy. Nagle, nieprzyjemne uczucie bycia obserwowanym zmusiło mnie do spojrzenia w górę. Ponad moją głowę, na wysokości około 30 metrów, oświetlony wylot w kształcie rombu o boku około 10 metrów przemieszczał się bezszelestnie w powietrzu. Lecił on z południa ku północy. Następnie zatrzymał on swój lot i przez chwilę zawisł dokładnie nademną. Zauważyłem krawędzie zewnętrznego sześcianu, oświetlone przez jakiś rodzaj jarzenia się. W centrum owego oświetlonego sześcianu, czołowa ściana drugiego czarnego sześcianu była widoczna. Pomiędzy krawędziami obu sześcianów zauważyłem silne żółte jarzenie się jakie zdawało się być bardziej skoncentrowane w narożnikach rombu. Miałem wrażenie iż jarzenie to pochodzi z kwadratowego włókna żarówki. Pozostała, nie jarząca się przestrzeń pomiędzy oboma sześcianami była szarego koloru. Na zewnątrz krawędzi zewnętrznego sześcianu nie zauważyłem żadnego śladu jakiegokolwiek wehikułu. Moja obserwacja trwała przez około 20 sekund. Po tym czasie wehikuł rozpoczął ostre wznoszenie i szybko zniknął w chmurze z moich oczu."

Odnotowanie kapsuły dwukomorowej pędnika głównego tak wznoszącego się wehikułu następuje w sporej liczbie obserwacji UFO. Dla przykładu kapsuła taka była

dyskutowana w [111.3] magazynie OMNI, wydanie z lutego (February) 1982 roku (Vol. 4 No. 5), strona 93. Była ona także opisana w książce [211.3] pióra Raymond E. Fowler: "Casebook of a UFO investigator, a personal memoir" (Prentice-Hall, Inc., Englewood Cliffs, New Jersey, 1981, ISBN 0-13-117432-0). Oto przykład opisu tej kaspusty zawarty na stronie 133 książki [211.3]. Dyskutowany tam incydent miał miejsce w South Hampton, New Hampshire, Massachusetts, USA.

"Dnia 6 czerwca 1974 roku, Vivian (47 lat), jej syn Richard (11), córka Barbara (10) oraz kuzynka Helen (30) jechali samochodem do domu ze zebrania PTA w Amesbury, Massachusetts. Richard i Barbara zwrócili ich uwagę na ostre źródło światła wyglądające jak latarnia zawieszona w powietrzu kilka mil przed nimi. Kiedy przejeżdżali przez przyległą polanę w lesie Helen zwolniła swoją furgonetkę Volkswagen spodziewając się zobaczyć jakąś latarnię na wieży lub wierzchołku wysokiego dźwigu. Jednak ku ich zaskoczeniu wielka iluminowana na czerwono kopuła zawisała nieruchomo ponad krawędzią polany. Pod tą kopułą widać było jarzący się prostokątny otwór z czymś w rodzaju szabel wirujących w jego wnętrzu. Owe wirujące szable zdawały się też częściowo wystawać na zewnątrz. We wnętrzu tego oświetlonego prostokąta wypośrodkowany był czarny prostokąt, wyglądający jakby zaciemnione okno. Z jarzącego się otworu buchały białe, niebieskie i żółte pęki iskier w równoczesnych podwójnych strumieniach przemieszczonych o 180 stopni względem siebie."

(W oryginale angielskojęzycznym: "On June 6, 1974, Vivian (47), her son Richard (11), daughter Barbara (10) and niece Helen (30), were driving home from a PTA meeting at Amesbury, Massachusetts. Richard and Barbara called attention to a bright red beacon-like light in the sky a few miles ahead. As they passed an open area, Helen slowed the Volkswagen stationwagon, fully expecting to see a beacon on a tower or tall crane. To their amazement, a large red illuminated dome was hovering over the edge of the clearing. Beneath the dome was a bright rectangular opening with something like "blades spinning around inside". The whirling blades seemed to protrude outside as well. Within this lighted rectangle was centred a dark square, like a darkened window. From the bright opening emanated white, blue, and yellow sparks in simultaneous double bursts, 180 degrees apart.")

Aby wyjaśnić co właściwie świadkowie ci zaobserwowali, prostokątny otwór pod kopułą UFO był wylotem z kapsuły dwukomorowej pędnika głównego. Kapsuła ta pracowała w trybie dominacji strumienia zewnętrznego, stąd jej wewnętrzna komora wyglądała jak zaciemnione okno. Dwa wirujące obwody magnetyczne charakterystyczne dla UFO typu K3 wybiegały z pędnika głównego do pędników bocznych wyglądając jak szable wirujące w środku tej kapsuły i wystające z niej na zewnątrz (porównaj część D rysunku H5). Jonizacja powietrza następująca w obrębie tych obwodów sprawiała wrażenie buchających pęków kolorowych iskier rozstawionych co 180 .

Najbardziej obiektywna dokumentacja kapsuł dwukomorowych z tak wznoszących się UFO dostarczona jest za pośrednictwem ich fotografii. Sporo takich fotografii zostało już wykonanych, aczkolwiek ich autorzy ani też większość osób oglądających te zdjęcia nie zdają sobie sprawy co one ukazują. Dwa ich przykłady pokazane zostały na rysunku I5. Pierwszy z nich, stanowiący jedno z najlepszych kolorowych fotografii kapsuły dwukomorowej UFO działającej w trybie "dominacji strumienia wewnętrznego" utrwalonej w świetle dziennym, zostało wykonane przez nauczyciela na Hawajach. Opublikowane jest ono w książce [311.3] "Into the Unknown", Reader's Digest, Sydney, Australia, 1982, ISBN 0-909486-92-1, strona 315. Na wyższej jakości odbitkach stożek pola magnetycznego pod komorą wewnętrzną jest dobrze widoczny. Stożek ten przesłania zarysy dwóch tylnych krawędzi kapsuły. Pole przechwycone w strumień krążący działa jak "czarna dziura" wytwarzając widoczną na zdjęciu czarną przestrzeń. Z uwagi na działanie soczewki magnetycznej, opisanej w tym podrozdziale, oprócz kapsuły dwukomorowej z pędnika głównego oczywiście cała reszta tego UFO pozostaje niewidoczna. Istnieje też nocna fotografia kapsuły dwukomorowej UFO pracującej w trybie "dominacji strumienia zewnętrznego". Została ona wykonana dnia 23 stycznia 1976 roku ponad Clovis, New Mexico, USA, przez dziennikarza. Opublikowano ją w książce [511.1] strona 49. Na

fotografii tej strumień wynikowy jest odprowadzany do otoczenia przez komorę zewnętrzną. Strumień ten jonizuje powietrze, stąd na fotografii jest on widoczny jako wycinek świetlistego rombu (druga połowa rombu promieniuje swoje światło wzdłuż linii sił pola rozprzestrzeniających się w innym kierunku, stąd nie została ona uchwycona na tej fotografii). Komora wewnętrzna produkuje strumień krążący jaki pojawia się w formie czarnego kwadratu zlewającego się z czarnym otoczeniem.

Aby prawidłowo zinterpretować znaczenie takich fotografii koniecznym jest znajomość opisanego tu działania soczewki magnetycznej UFO, a także znajomość charakterystyki kapsuły dwukomorowej w jej trybie pracy z dominacją strumienia wewnętrznego i zewnętrznego (opisanego w podrozdziale C6.1 i zilustrowanego na rysunku C5). Oczywiście dla badacza zorientowanego w powyższych zjawiskach, fotografie kapsuł dwukomorowych są źródłem wielu danych umożliwiających zweryfikowanie poprawności Teorii Magnokraftu. Dla przykładu oba zdjęcia pokazane na rysunku I5 dokumentują że wzór (C9): $a_o = a_i \cdot 3$ jest całkowicie poprawny, zaś wyrażone nim proporcje wymiarowe komór oscylacyjnych spełniane są w kapsułach dwukomorowych UFO.

11.4. Komory oscylacyjne były widziane na pokładach UFO i opisane przez licznych świadków

Prawdopodobnie najbardziej istotne źródło materiału dowodzącego iż UFO już obecnie wykorzystują komory oscylacyjne, pochodzi z bezpośrednich relacji osób uprowadzanych na pokład tych wehikułów (właściwie to najczęściej grzecznie "zapraszanych" do ich wnętrza, chociaż zawsze jest to "propozycja nie do odrzucenia"). Osoby te mają tam okazję zaobserwowania dwóch różnych rodzajów komór oscylacyjnych, t.j.: (1) w formie kapsuł dwukomorowych użytych jako różnorodne narzędzia, lub (2) kapsuł użytych jako pędniki danego UFO.

Duża proporcja osób uprowadzonych do UFO opisuje zaobserwowane tam telekinetyczne kapsuły dwukomorowe używane przez UFOautów jako różnorodne narzędzia. Najlepszy przypadek z jakim autor zetknął się w swoich dotychczasowych badaniach dotyczy Nowo-Zelandczyka o inicjałach R.B. (wyraził on życzenie aby jego nazwisko pozostawić nieujawnione) któremu w pomieszczeniu jakie my byśmy nazywali "gabinetem lekarskim" zademonstrowano duży regał cały wypełniony dziesiątkami kapsuł dwukomorowych podobnych do semi-przeźroczystych kryształów o wielkości średniego trzonka do śrubokręta. Każda z nich reprezentowała jakieś narzędzie medyczne o odmiennym przeznaczeniu. Po wzięciu do ręki, sprawiały one wrażenie ciężkich kryształów o doskonałych, regularnych, symetrycznych kształtach, gładkiej powierzchni i przyjemnym, chłodnym dotyku. Uruchamianie ich działania następowało poprzez naciskanie powierzchni bocznych. Gdy ściśnięte emitowały one na czołe promień telekinetyczny o zdolności do prawie natychmiastowego wywoływania określonych działań uzdrawiających (niektóre produkowały przy tym też silne światło). Uprowadzonemu R.B. tak zaimponowała demonstracja ich błyskawicznych efektów uzdrawiających, że później wypełnił on swoje mieszkanie zwykłymi kryształami (t.j. z ziemskich minerałów) z jakich teraz próbuje wydusić podobne właściwości lecznicze.

W efekcie dotychczasowych poszukiwań autor zdołał również zgromadzić kilka opisów komór oscylacyjnych użytych jako pędniki statku. Każdy z nich pochodzi od innej osoby, dokonującej obserwacji zupełnie niezależnie. Jednakże wszystkie one opisują to samo urządzenie jakiego atrybuty dokładnie odpowiadają przewidywanemu wyglądowi i działaniu komory oscylacyjnej. Przeglądnijmy teraz kluczowe informacje z tych obserwacji.

Największe szczęście do zaobserwowania komory oscylacyjnej z pędnika UFO miała dziewięcioletnia Gaynor Sunderland, która widziała to urządzenie aż dwa razy w życiu: raz jako zewnętrzny obserwator UFO po wylądowaniu, drugim zaś razem po uprowadzeniu na pokład UFO. Opis obu komór jakie zauważyła zawarty jest w książce [111.4] J. Randles & P. Whetnall, "Alien Contact", Neville Spearman Ltd., Suffolk, Great Britain, 1981, ISBN 85435-444-1, strony 9 do 13, i 76.

Pierwszy ze wspomnianych spotkań z UFO miał miejsce w Oakenholt koło Flint, North Wales, Anglia, popołudniem jednej soboty w czerwcu 1976 roku. Dziewczynka obserwowała UFO po wylądowaniu (prawdopodobnie typu K4) z odległości około 30 metrów. W górnej części tego wehikułu zauważyła ona sześciennie urządzenie widoczne poprzez przezroczystą kopułę (patrz rysunek D1). Jego atrybuty i lokacja sugerują iż była to właśnie kapsuła dwukomorowa z pędnika głównego tego wehikułu. Poniżej zacytowano opis Gaynor dla tego wehikułu oraz jego tajemniczego urządzenia (patrz [111.4] strona 9):

"Obiekt był płaski na spodzie z rodzajem kołnierza otaczającego jego podstawę. Połyskiwał on srebrzyście w słońcu jakby wykonany z metalu lub folii aluminiowej. Rozciągał się na około trzydzieści stóp {9 metrów} od jednej krawędzi do drugiej, wznosząc swoją kopułę na około dziesięć stóp {3 metry}. Na wierzchu miał on małą, sześcienną skrzynkę - ciemno czerwonego koloru." (W oryginale angielskojęzycznym: "The object was flat at the bottom with a kind of rim surrounding it. It glinted silvery in the sunshine as if made of metal or tinfoil, and stretched about thirty feet (9 metres) from rim to rim, rising to a shallow dome of about ten feet (3 metres). On top was a small, square box - dull red in colour.")

Cztery strony dalej (t.j. na stronie 13) UFO przygotowuje się do odlotu. Sześciennie urządzenie wspomniane jest znowu:

"Natychmiast czerwona skrzynka zaczęła silnie błyskać, włączając i wyłączając swoje światło. Było oczywiste iż zaczęły się przygotowania do odlotu." (W oryginale angielskojęzycznym: "Immediately the red box on top of the dome began to flash brightly, on and off. It was apparent that preparations for departure were being made.")

W tym miejscu warto napomknąć że opis sześciennej kapsuły dwukomorowej UFO, niemalże identyczny do podanego powyżej, przesłała też autorowi Mrs. Christa de Vries (Eichendorffstra e 2, D-2903 Bad-Zwischenahn, GERMANY - Europe) w swym prywatnym liście datowanym 10 marca 1992 roku. W 1979 roku podczas samotnej jazdy po odludnej drodze akompaniowana ona była przez UFO jakie dosyć spory odcinek drogi leciało wzdłuż pobocza szosy po trajektorii dokładnie kopiującej poruszenia jej samochodu. Podczas tego incydentu miała ona okazję dobrze przyglądać się towarzyszącemu jej wehikułowi. Jednym ze szczegółów widocznych poprzez przezroczystą powłokę tego UFO była fascynująca sześcienna kostka emitująca błyski, jaka wyglądała jakby więziła w sobie wirujący płomień. Zamontowanie tej kostki w centrum kopuły wehikułu, oraz jej wygląd, sugerują iż była to kapsuła dwukomorowa z pędnika głównego statku.

Wracając jednak do książki [111.4], na jej stronie 76 zawarty jest raport Gaynor z jej uprowadzenia na pokład UFO jakie nastąpiło we wrześniu 1979 roku. Znowu widziała ona kapsułę dwukomorową zajmującą centrum kabiny załogi. Oto jej opis:

"W centrum podłogi ... stał oktagonalny obiekt w obudowie. Wyglądał jak kryształ z przewodami i połączeniami wiodącymi od niego do jednego z końców ściany. Powiedziano jej że kryształ ten generował siłę konieczną dla lotu obiektu, aczkolwiek nie wyjaśniono w jaki sposób." (W oryginale angielskojęzycznym: "In the centre of the floor ... stood an octagonal object in a box. It looked like a crystal with plug sockets and wires leading from it into one end of the wall. She was told that this crystal generated the power needed by the object to move, although how was not explained.")

Warto tu podkreślić iż jest to jeden z bardzo nielicznych istniejących opisów oktagonalnych (t.j. ośmiobocznych) komór oscylacyjnych drugiej generacji. Najprawdopodobniej więc Gaynor uprowadzona została na pokład UFO drugiej generacji (t.j. wehikułu teleportacyjnego). W rogu zaś kabiny do którego zbiegały się kable, zawarty był komputer pokładowy sterujący lotem tego UFO.

W grudniu 1980 roku mieszkanka Nowej Zelandii zabrana została na pokład UFO gdzie poddano ją eksperymentowi genetycznemu. Osoba ta prosiła autora aby nie ujawniał jej prawdziwego nazwiska, referujemy więc do niej jako do Miss Nosbocaj. Po zakończeniu eksperymentu, jak zwykle w takich przypadkach, lekarz pokładowy UFO zaproponował jej oprowadzenie po wnętrzu wehikułu. Jedną z wielu niezwykłości oglądanych podczas tego obchodu było fascynujące urządzenie kształtem przypominające ogromny kamień, blok, lub kryształ. Świeciło się ono silnie i emitowało niezliczone błyski iskiei. Widok na to urządzenie

zapewniony był z każdego pomieszczenia statku. W dwa lata po uprowadzeniu Miss Nosbocaj zdała szczegółowy raport ze swoich obserwacji. Pełna treść tego raportu przytoczona została w załączniku Z. Oto opis owego tajemniczego urządzenia w kształcie kostki, powtórzony z ustępu N-90 zawartego w załączniku Z, cytuję:

"... jest tam też ogromny cylinder biegnący w dół w środku statku; wygląda on jak wykonany z kryształu czy czegoś podobnego ale jestem pewna iż zawiera on jakiś duży jarzący się blok {w oryginale użyto niewyraźnego słowa "rock" - t.j. kamień albo minerał, lub "block" - t.j. kostka albo blok} czy coś w tym rodzaju. Ma to coś do czynienia z mocą, błyskawicami, czy czymś tego rodzaju." (W oryginale angielskojęzycznym: "... there's a big cylinder going right down the middle of the spaceship; it looks like it's made out of crystal or something but I'm sure there's some big white glowing block or something in there. That's got something to do with power, lightning or something.")

W następnym etapie obchodzenia statku UFOauta wyjaśnił uprowadzonej (patrz ustęp N-98 w załączniku Z), cytując: "Cały wszechświat działa na zasadzie pozytywów i negatywów, z tego pochodzi nasza moc, to umożliwia nam loty, wykorzystując pozytywy i negatywy..." (W oryginale angielskojęzycznym: "The whole universe revolves on the positive and negative, that is, that is our power, that is how we fly, using the positive and negative ...").

Podczas czytania powyższego opisu, trudno sobie wyobrazić lepsze zilustrowanie centralnego cylindra UFO ze znajdującą się w nim kapsułą dwukomorową pędnika głównego (patrz M na rysunku D1) oraz dokładniejsze wyjaśnienie zasady działania komory oscylacyjnej dostarczone przez technicznie nieszkolonego obserwatora.

W styczniu 1985 roku autor spotkał się z Miss Nosbocaj i ustalił wiele dalszych szczegółów komory oscylacyjnej oraz wizytowanego przez nią statku. Podczas tego spotkania uprowadzona potwierdziła ponownie iż urządzenie jakie widziała zawieszone w pionowym cylindrze przebiegającym przez centrum UFO wykorzystywane było jako napęd i akumulator energii tego wehikułu. Miało ono kształt jakby precyzyjnie oszlifowanego kryształu o płaskich powierzchniach i idealnie regularnych kształtach. Wewnątrz tego kryształu zygzakowały poziomo pasma złocistych migoczących iskier wyraźnie widocznych poprzez jego przezroczyste ściany boczne. Grubość tych iskier oraz ich posplatane przebiegi przypominały obserwatorce "układ żył na rękach spracowanego człowieka".

Prawdopodobnie jedna z najbardziej dowodowych i informacyjnych obserwacji komory oscylacyjnej UFO zawarta jest na stronie 69 książki [211.4] pióra Raymond'a E. Fowler, "The Andreasson Affair, Phase Two", Prentice Hall, Inc., Englewood Cliffs, New Jersey 07632, USA, 1982, ISBN 0-13-036624-2. Obserwacja ta jest częścią raportu niejakiego Robert'a Luca z jego przeglądu medycznego dokonanego na pokładzie UFO. Oto jak opisał on swoją obserwację (opis ten oraz towarzyszący mu rysunek zostały tu zreprodukowane za osobistym zezwoleniem Betty A. Luca, właścicielki praw copyright):

"Potem tam jest ta kostka na drugiej stronie za owym wzniesieniem w podłodze i po wstaniu mogę ją oglądać. Wygląda jak sześcienna skrzynka ze szkła i fascynuje mnie ponieważ jest wypełniona jakby czarnym dymem. Wygląda przy tym iż zawiera błyskawice w swym wnętrzu czy coś złotego. Przypomina to przeplatające się przez nią złote włókna - błyszczące się jasne złoto. Jest ona w kształcie sześcienu, być może jeden yard szerokości. Nie, jest mniej niż trzy stopy i zawiera wszystkie te błyskawice w swoim wnętrzu. Jest cała czarna z tymi obiegającymi ją złotymi żyłkami (rysunek 13). Wygląda to jakby błyskawica została zamrożona w chwili uderzenia." (W oryginale angielskojęzycznym: "Then there's a box on the other side that's behind this bench and I can see from standing. It looks like a glass cube and it fascinates me 'cause it's filled with, looks like black smoke. It looks like there's lightning inside it or something gold. Looks like it has streaks of gold running all through it - a bright, bright gold. It's a cube, maybe not a yard square. No, it's less than three feet and it's got all little lightning bolts inside it. It's all black with these gold streaks running through it (Figure 13). It looks like the lightning has been frozen right in its path.")

Rysunek 13 z książki [211.4] pokazuje także rekonstrukcję wyglądu tej kostki, sporządzoną przez Betty A Luca. Rekonstrukcja ta została pokazana też i w niniejszej

monografii na rysunku I6. Odpowiada ona w sposób doskonały naszym obecnym wyobrażeniom przyszłego wyglądu komory oscylacyjnej (porównaj rysunki I6 i C2). Należy zauważyć, że chociaż wehikuly UFO wykorzystują kapsuły dwukomorowe zamiast pojedynczych komór, z uwagi na tryb w jakim owa kapsuła działała (t.j. dominacji strumienia wewnętrznego), zarysy komory wewnętrznej pozostawały niezauważalne dla świadka poza zasłoną z czarnego pola magnetycznego (patrz też rysunek C5).

W odpowiedzi na zapytanie autora jak bardzo zbliżony jest przewidywany wygląd komory oscylacyjnej (pokazany tu narysunku C2) do wyglądu kostki zaobserwowanej na pokładzie UFO, Robert Luca odpowiedział:

"Tak! Pański rysunek {C2} wygląda dokładnie jak to co zostało zaobserwowane". ("Yes! Your Fig. illustration looks very much like what was seen.")

Jego żona, Betty A. Luca, w swoim liście do autora datowanym 4 marca 1985 roku uzupełniła powyższe informacje następującym opisem:

"Istnieje też druga książka {[311.4]} zatytułowana "The Andreasson Affair". Opisuje ona wprowadzenie z 1947 roku. Widziałam wtedy skrzynkę (kwadratową ze zaokrąglonymi rogami) jaka wytwarzała wiatr i błyskawice. Sprawiała ona wrażenie zawieszonyj w spowolnionych ruchach. Był to ich akumulator energii. Na dnie (po tym jak wiatr i błyskawice zostały wybrane) widziałam cztery cewki i jeden pusty cylinder. W obrębie tej skrzynki (wystającej ze zakrzywionej ściany statku) widziałam też jeszcze jedno takie sześciennie urządzenie częściowo odsunięte od jej ścianki. Jego zewnętrzna krawędź była jak plaster miodu. Wewnątrz zawierało ono cienkie wystające igielki z maleńkimi szklistymi kropelkami na końcach. Były tam też zgrupowania igłowych drutów sterczących ku zewnątrz." (W oryginale: "There is a second book called, "The Andreasson Affair". This pertains to my 1947 encounter. I did see a hatch (square with rounded corners) that had wind and lightning coming out of it. It appeared to be in suspended animation. This was their stored energy. At the bottom (after the wind and lightning was withdrawn) I saw four coils and one hollow cylinder. At the other end of the hatch (coming from the curved wall) I then saw the square like device pulled partially out of the wall. The outer edge was sort of honeycombed. Inside had thin protruding stems with tiny glass droplets on the end. There were also clusters of needle wires pointing outward.")

W tym miejscu nasuwa się refleksja: czyż można by spodziewać się jeszcze precyzyjniejszego opisu kapsuły dwukomorowej od kogoś nietreowanego technicznie, kto nigdy przedtem nie oglądał tego urządzenia ani kto nie zna jego teorii.

12. Pośrednie dowody użycia komór oscylacyjnych przez UFO

Podczas poszukiwań bezpośrednich dowodów na użycie komór oscylacyjnych przez UFO, autor napotkał też wiele pośrednich dowodów przemawiających za tym samym. Jednakże ten pośredni materiał dowodowy nie jest konklusywny i jego przytoczenie tutaj wymagałoby dokonywania logicznych dedukcji. Ponieważ to z kolei wystawiałoby przedstawiany materiał na niepotrzebną krytykę (wszakże poprzednio przedstawione dowody bezpośrednie całkowicie wystarczają dla udowodnienia tezy tego rozdziału), zaprezentowanie owych pośrednich dowodów zostanie więc tu pominięte. Jednakże aby dać czytelnikom jakiś pogląd co do rodzaju tych faktów, poniżej wymieniono ich główne kategorie. Są one jak następuje:

(1) Obserwacje iż pole magnetyczne UFO nie przyciąga ani nie odpycha przedmiotów ferromagnetycznych. Jak to zostało wyjaśnione w podrozdziale C6.3, jedynie odpowiednie zestawienie komór oscylacyjnych jest w stanie wytworzyć takie neutralne pole magnetyczne.

(2) Nikt nigdy dotychczas nie zaobserwował produktów "spalania" jakie w przypadku wytwarzania przez UFO energii z jakiegoś paliwa najprawdopodobniej musiałyby zostać wyprodukowane. Nikt też nigdy nie widział w UFO jakiegokolwiek urządzenia jakie mogłoby służyć do spalania paliwa i wytwarzania z niego energii. Oznacza to więc że zasoby energii

tych statków akumulowane są w formie strumienia krążącego ich kapsuł dwukomorowych, nie zaś przewożone w formie paliwa.

(3) Załogi UFO nigdy nie wspominają iż ich statki wymagają jakiegokolwiek paliwa, czy że wytwarzają one energię podczas lotu w efekcie spalania paliwa. Jednocześnie te same załogi dosyć często wspominają że sześcienne urządzenia (kapsuły dwukomorowe uformowane z komór oscylacyjnych) widoczne na ich wehikułach akumulują ich zapasy energii - patrz podrozdział I1.4.

I3. Pozostałości materialne komór oscylacyjnych UFO

Materiał dowodowy przedstawiony w podrozdziale I1 możnaby nazwać "typu sądowego" bowiem podobne do niego ustalenia we wielu przypadkach decydują o życiu oskarżonego w naszych sądach, jednakże nie bardzo można je byłoby przebadać w laboratoriach naukowych. Istnieje jednakże również i materiał "typu laboratoryjnego", a więc nadający się do laboratoryjnego przebadania, jaki także wykazuje na użycie komór oscylacyjnych przez UFO. Materiał ten przyjmuje jedną z dwóch form. Pierwszą z nich są kwadratowe ślady powypalane przez pędniki UFO w miejscach lądowania tych wehikułów. Ślady takie były już dyskutowane w podrozdziale I1.1 i zilustrowane na rysunku I3. Druga forma to fragmenty komór oscylacyjnych zużyte w trakcie eksploatacji i porzucone przez załogi UFO po ich wymienieniu na nowe.

Przykładem takich zużytych części komory oscylacyjnej UFO są igłowe elektrody znalezione w ZSSR. Obecność takich igłowych elektrod we wnętrzu komory oscylacyjnej UFO po raz pierwszy raportowana była przez Betty A. Luca, w jej liście do autora cytowanym w podrozdziale I1.4. Waga jej obserwacji najprawdopodobniej pozostawałaby jednak niedoceniona gdyby nie Ryszard Zudzin z Bydgoszczy, kto odkrył podczas swoich eksperymentów iż dla zadziałania komory koniecznym jest właśnie zastosowanie igłowych elektrod (patrz rysunki C9 i C10). Raport Mrs. Luca oraz odkrycie Zudzina wzmacniają się nawzajem, w ten sposób umożliwiając ustalenie iż komory oscylacyjne UFO wykorzystują przewodzące igły na swoje elektrody. Z kolei ustalenie tego faktu uczuliło autora na materiał dowodowy wskazujący na związek pomiędzy UFO i przewodzącymi igłami. Znalazł on taki właśnie materiał w książce [113] Jack'a Stoneley, "Tunguska: Cauldron of Hell" (A Star Book, A Howard and Wyndham company, 123 King Street, London 1977, ISBN 0-352-39619-9) strona 148. Oto odpowiednie cytowanie:

"Zigel opowiada o innych 'pozostałościach' z UFO znalezionych w Tambov, na południe od Moskwy, przez geofizyka Alexandra Zayekin. Nazywa on je 'kosmiczne kłębowisko' i twierdzi iż zawierało ono 'posplatane igły metalowe każda o długości około pięciu do ośmiu centymetrów i średnicy około pół milimetra'. 'Igły,' twierdził znalazca, 'były z nieznanego łamliwego metalu koloru szarego.'" (W oryginale angielskojęzycznym: "Zigel talks of another form of UFO 'left-over' found by geophysicist Alexander Zayekin at Tambov, south of Moscow. He calls it 'space tumbleweed' and claims it contained 'intertwining metal needles each about five to eight centimetres long and a half a millimetre in diameter'. 'The needles,' he goes on, 'were of an unknown brittle, grey-coloured metal'.")

Wygląda na to iż w Tambov załoga UFO zmuszona została do wymienienia uszkodzonych lub zużytych igieł z komory oscylacyjnej swojego wehikułu, zaś po tej wymianie wyrzuciła ona lub po prostu zapomniała posplatane pakiety starych, nieprzydatnych już elektrod.

I4. Mitologiczne opisy komory oscylacyjnej

Niezależnie od współczesnego materiału dowodowego na użycie komory oscylacyjnej przez UFO, istnieją dane sugerujące iż urządzenie to używane było na Ziemi również w dawnych czasach. Dane te wywodzą się z dwóch jakościowo odmiennych

źródeł, t.j. mitologii oraz zapisów historycznych. Jeśli pochodzenie określonych opisów obecnie nie może już zostać zdefiniowane, zaś ich utrwalenie nastąpiło poprzez ustne przekazywanie z pokolenia na pokolenie, wtedy zaklasyfikowane one tu są jako mitologia. Natomiast jeśli dane te pochodzą ze źródeł pisanych których autorstwo lub pochodzenie daje się zdefiniować, wtedy zaklasyfikowane one tu są jako dane historyczne. Niniejszy podrozdział ma na celu pokazanie przykładu opisu komory oscylacyjnej wywodzącego się właśnie ze źródeł mitologicznych.

Mitologia wielu krajów zawiera legendy i przekazy ustne które opisują magiczne urządzenie w kształcie sześcienu dające się zinterpretować jako komora oscylacyjna. Jedna z najlepszych takich legend z jakimi autor dotychczas się zetknął zawarta jest w mitologii chińskiej. Próbuje ona wyjaśnić przyczyny dla serii wielkich potopów morskich które w 13 wieku nawiedziły południowo-wschodnie wybrzeża Chin. Dokładniejszemu omówieniu tych potopów poświęcona została oddzielna monografia autora - patrz [5]. Referowaną tu legendę opowiedziała Mrs. Lee Kong Fah (279 Lorong Setia Tujuh, Air Keroh Heights, 75450 Melaka, West Malaysia), matka chrzestna jednego ze studentów autora w Malazji, oraz potwierdziła jego matka, Mrs. Tan Siew Lan (294 Jalan Tan Sri Manickavasagam, 70200 Seremban, Negeri Sembilan, West Malaysia). Poniżej przytoczono jej streszczenie.

"Rybak o nazwisku Yeang Xiang-Ji oddał cały swój dzienny połów aby przekupić i uspokoić bandę huliganów którzy rzucali kamieniami w cudownego żółwia jakiego pancierz błyskał na obrzeżu pięcioma kolorami: czerwonym, błękitnym, zimno-zielonym, złotym i brązowym. {Ciekawe że opis tego żółwia dokładnie odpowiada wyglądowi typowego UFO.} Jako wyraz wdzięczności za jego szlachetny czyn, ze żółwia wyszła niezwykle piękna panienka która przedstawiła się jako córka władcy mórz i zaprosiła go do odwiedzenia pałacu swego ojca. {W opisie z tej legendy chińskiej, władca mórz nieco przypomina nasze opowiadania o Neptunie.} Rybak ujęty niezwykle urodą tej panienki oczywiście się zgodził. Po wsiadnięciu do żółwia zanurkowali pod wodę i po jakimś czasie dotarli do pięknego pałacu. {Interesujące że sam pałac władcy mórz, jak i dotarcie do niego, w opisie z omawianej legendy znowu blisko przypominały raport z odwiedzin we wnętrzu podwodnego UFO.} Władca mórz po bliższym poznaniu rybaka zaproponował mu pozostanie na zawsze i ożenie się ze swoją piękną córką. Rybak oczywiście się zgodził. Zastrzeżeniem jednak małżeństwa i pobytu w pałacu było że rybak nigdy nie otworzy magicznej skrzynki szczęśliwej zawartej w środku pałacu. Ze skrzynki tej jakoby miały wywodzić się wszystkie magiczne moce władcy mórz. {Ciekawe że zarówno wyglądem jak i miejscem umieszczenia w centrum pałacu skrzynka ta przypominała komorę oscylacyjną zawartą w pędniku głównym magnokraftów i UFO - patrz opisy z podrozdziału D1 tej monografii.} Oczywiście nierozważny rybak nie oparł się pokusie otwarcia tej skrzynki, w efekcie sprowadzając na Ziemię wielki potop morski który uśmiercił ogromną liczbę ludzi, włączając w to i samego Yeang Xiang-Ji."

Gdyby więc treść legendy Mrs. Lee przetłumaczyć na współczesny język, wielki potop morski w Chinach spowodowany został przypadkowym i wysoce nierozważnym uwolnieniem energii zawartej w komorze oscylacyjnej UFO. Przy takiej interpretacji przyczyna omawianego tu potopu byłaby więc dokładnie tą samą co przyczyna opisana teorią z monografii [5].

15. Historyczne opisy komory oscylacyjnej

Obserwacje wehikułów znanych obecnie jako UFO dokonywane były na Ziemi nieustannie od najbardziej zamierzczłych czasów. Właściwie jeśli bliżej zapoznać się z materiałem faktologicznym na ten temat, wynika z niego iż im dawniejsze czasy, tym żywsze były kontakty przedstawicieli pozaziemskich cywilizacji ze ziemianami. W zupełnie starożytnych czasach przedstawiciele ci zdawali się nawet próbować przekazywania ziemianom swoich technologii (przykładowo ucząc ich jak zbudować komorę

oscylacyjną...). Nic więc dziwnego iż opisy komory oscylacyjnej zawarte są nie tylko w najnowszych książkach, ale także i w różnych starych opracowaniach. Jedynym powodem dla którego nie rzucają się one w oczy, to że im dawniejsze dane opisy, tym użyta w nich terminologia jest bardziej myląca. Aby więc możliwe było zrozumienie co właściwie opisy te sobą reprezentują, konieczne jest uprzednie "przetłumaczenie" ich na obecnie używany język. Aby podać tu przykład takiego opisu wywodzącego się z dzisiaj już historycznego źródła, zawarty jest on w klasycznym obecnie i szeroko znanym dziele [115] Jonathan'a Swift'a "Gulliver's Travels" (t.j. "Podróże Guliwera"). W rozdziale III tego dzieła, opisującym podróż do Laputa, przedstawione zostało wewnątrz "latającej wyspy" Laputanów (t.j. UFO). Urządzeniem powodującym lot tej okrągłej wyspy był kamień magnetyczny (t.j. komora oscylacyjna) ustawiony w jej centrum, jakiego wychylenie powodowało zmiany kierunku lotu.

W nieprecyzyjnej terminologii dawnych czasów słowo "kamień" używane było do nazywania przedmiotu jaki dzisiaj określilibyśmy raczej z użyciem terminu "kryształ". Zresztą wiele osób uprowadzanych obecnie na pokład UFO faktycznie referuje do komory oscylacyjnej jako do oglądanego tam "kryształu" (zapewne z uwagi na jej przezroczystość oraz na płaskie połyskujące ścianki formujące kształt przypominający kryształy niektórych minerałów). W różnych starych źródłach zawarty jest sporo historycznych opisów jeszcze jednego "kamienia", jaki z uwagi na swoje niezwykle własności w rzeczywistości mógł być komorą oscylacyjną wytwarzającą efekt telekinetyczny. Jest to słynny "kamień filozoficzny", do zbioru niezwykłych mocy którego m.in. zaliczała się zdolność do zamieniania piasku w złoto. Ciekawe że z zupełnie niezwiązanych z tym kamieniem danych empirycznych wynika iż efekt telekinetyczny najprawdopodobniej jest właśnie w stanie przetransformować niektóre pierwiastki w inne; być może zaliczając w to krzem (zawarty w piasku) oraz jakiś inny pierwiastek (np. żelazo) zamieniane w złoto oraz jakiś inny pierwiastek (np. siarkę) - patrz podrozdział G1. Miejsca zdające się potwierdzać wystąpienie takiej właśnie transformacji zachodzącej na ogromną skalę to starożytna Kolchida, Tapanui w Nowej Zelandii, oraz Tunguska na Syberii - patrz opisy z monografii [5]. Jako że w każdej legendzie kryje się ziarno prawdy, być może więc iż idea kamienia filozoficznego została zrodzona gdy jakiś zaawansowany wizytator z gwiazd zademonstrował rzeszom ziemian możliwości posiadanej przez siebie telekinetycznej komory oscylacyjnej. Oczywiście dzisiejsi obserwatorzy biorący udział w podobnym pokazie publicznym i słuchający wyjaśnień towarzyszących, do opisanego oglądanego przez siebie obiektu użyliby raczej terminu "kryształ psychokinetyczny" zamiast terminu "kamień filozoficzny". Podobnie jak kilka stuleci temu, również i teraz opowiadania tych uczestników potwierdzone przez rzesze naocznych świadków, prawdopodobnie natychmiast zainicjowałyby u wielu chemików próby znalezienia składników umożliwiających wyhodowanie kryształu odznaczającego się tak niezwykłymi właściwościami. Wszakże podobne demonstracje, tyle że leczniczych właściwości komory telekinetycznej (o właściwościach tych wspomniano pod koniec podrozdziału G1 i w podrozdziale I1.4), opisywane obecnie dosyć często przez osoby uprowadzane na pokład UFO, już spowodowały na Ziemi rozpoczęcie usilnych poszukiwań ukierunkowanych na znalezienie receptury na "lecznicze wykorzystanie wibracji kryształów". Ukazały się nawet całe książki poświęcone różnym kryształom i ich "leczniczym wibracjom", zaś na Zachodzie otwarto nawet specjalne sklepy sprzedające kryształy dla celów leczniczych. Jedyne co ów odradzający się trend neo-alchemizmu przeacza, to że "kryształy" powodujące niemal natychmiastowe efekty lecznicze muszą być precyzyjnie montowane przez inżynierów w fabrykach jak dzisiejsze komputery, nie zaś hodowane przez chemików w próbkach jak błyskotki dla nastolatków.

Liczne starożytne źródła zawierają również opisy tajemniczych urządzeń które można interpretować jako pradawne wersje komór oscylacyjnych zbudowanych na Ziemi. Najbardziej szerokie opisy tych urządzeń zdają się zawierać stare dokumenty Buddystów Tybetańskich - patrz rysunek I7. W tradycji chrześcijańskiej także znane jest podobne urządzenie przedstawiane nam pod nazwą "Arka Przymierza".

Niezależnie od Biblii, Arka Przymierza jest także opisywana w kilku innych księgach, włączając w to kabalistyczną księgę Izraelitów "Zohar", epikę z Etiopii "Kebra Nagast", oraz

kilka epik z Indii np. "Mahabharata" i "Ramayana". Kilku już naukowców w naszej historii starało się odsłonić sekrety Arki Przymierza i określić jakiego rodzaju urządzeniem ona była. Różni badacze dochodzili do różnych wniosków, przy jednej okazji opisując Arkę jako "wysoce kompleksowy system przyrządów elektrycznych" - "a fairly complete system of electrical instruments" (filozof i matematyk Niemiecki, Lazarus Bendavid), zaś przy innej jako "maszyna do wytwarzania manny" ("manna machine") - patrz książka [215] "The Manna Machine", pióra George Sassoon and Rodney Dale, London 1978). Przegląd wniosków osiągniętych przez różnych badaczy tego zagadnienia zawarty jest w książce [315] pióra Erich'a von Däniken, "Signs of the Gods?", Souvenir Press, London, 1980, ISBN 0-285-62435-0 (First published in Germany by Econ-Verlag under the title "Prophet der Vergangenheit").

W 1984 roku, kiedy opublikowana już została pierwsza monografia o komorze oscylacyjnej, wielu czytelników zwróciło uwagę autora iż atrybuty jego komory ściśle odpowiadają tym wykazywanym przez Arkę Przymierza. Autor podążył za tymi sugestiami, zaś wyniki jego późniejszych ustaleń przedstawione są w niniejszym podrozdziale.

Z materiału zgromadzonego do dzisiaj nie może oczywiście zostać bezspornie dowiedzione iż Arka Przymierza faktycznie była komorą oscylacyjną. Jednakże materiał ten sugeruje iż istnieje niezwykle wysokie prawdopodobieństwo iż Arka ta była w całości taką komorą, lub zawierała komorę jako jeden z jej istotnych składników. Oto materiał dowodowy jaki podpira taki wniosek:

#1. Prostota budowy Arki odpowiada prostocie konstrukcji komory oscylacyjnej. Mojżeszowi dostarczone zostały jedynie opisy i plany Arki oraz zademonstrowane działanie jej już istniejącego modelu, jednakże zbudowanie na Ziemi tego urządzenia nastąpiło własnoręcznie przez Izraelickich rzemieślników z dostępnych im materiałów. Stąd Arka nie mogła wymagać umiejętności, narzędzi, czy materiałów (np. radioaktywnych izotopów) dostępnych jedynie dla społeczeństw dysponujących już zaawansowanymi technologiami. Komora oscylacyjna, przeciwnie niż przykładowo reaktor jądrowy czy instalacja do syntezy termonuklearnej, jest właśnie takim prostym urządzeniem - wystarczająco łatwym do zbudowania aby bez trudności zostać sporządzonym już kilka tysięcy lat temu, jeśli oczywiście instrukcje wykonawcze zostały sporządzone przez kogoś posiadającego wymaganą znajomość tego urządzenia.

#2. Kształt, struktura, oraz materiały Arki Przymierza były identyczne do tych wymaganych dla komory oscylacyjnej. Arka również posiadała formę komory, pustej w środku i kwadratowej w jednym ze swoich przekroji. Stosunek jej wymiarów (szerokość : wysokość : długość) wynosił 1 : 1 : 1.75. Podobnie jak komora, skrzynia Arki wykonana została z izolatora elektryczności (t.j. drzewa akacjowego) w który wkomponowane zostały jakieś elementy przewodzące (t.j. złote płyty i gwoździe). Oba materiały Arki były obojętne magnetycznie.

#3. Arka bez wątplenia była źródłem jakiegoś potężnego pola, posiadającego naturę identyczną do pola magnetycznego. Pole to powodowało chorobę bardzo podobną do dzisiejszej choroby popromiennej (np. patrz tragiczna choroba filistynów (po angielsku: Philistines) opisana w księdze "Samuel I" 5:6 z Biblii). Lewici upoważnieni do przenoszenia Arki musieli nawet nosić specjalny ubiór ochronny osłaniający ich przed tym polem, jaki później stał się prototypem dla dzisiejszego ubioru mnichów. Moc emanująca z Arki po angielsku konsystentnie nazywana jest "the Ancient of Days" (jej najszerszy opis dokonany został w księdze "Zohar"). W języku polskim posiada ona jednak kilka różnych interpretacji z jakich prawdopodobnie najbardziej popularna jest "Starowieczny" (patrz "Daniel" 7:13 w Biblii z 1821 roku opartej na Edycji Biblii Gdańskiej z 1632 roku). Inne polskojęzyczne interpretacje tej samej nazwy obejmują "Starodawny" (patrz Biblia wydanie z 1855 roku drukiem Goffo, Bartha i spółki) oraz "Sędziwy" (patrz wydanie Biblii z 1979 i 1985 roku opracowane przez Komisję Przekładu Pisma Świętego nakładem Brytyjskiego i Zagranicznego Towarzystwa Biblijnego w Warszawie).

Dokładniejsza analiza znaczenia nazwy "the Ancient of Days" sugeruje iż istnieje rzucające się podobieństwo pomiędzy dzisiejszym konceptem "pola magnetycznego" a

owym starożytnym konceptem "Starowiecznego". Podobieństwo to rozciąga się do wszystkich interpretacji jakie również tradycja chrześcijańska przyporządkowuje "Starowiecznemu". Z większą dokładnością zostały one przeanalizowane w monografii [1a]. Tutaj zaś, dla podania ich przykładów, kilka powszechnie znanych własności pola magnetycznego (') zostanie porównanych z niektórymi pradawnymi interpretacjami dla "Starowiecznego".

(') Niektóre lepiej znane atrybuty pola magnetycznego obejmują: niewidzialność, wzbudzanie jarzeniowego świecenia, bezgłośnie oddziaływanie, pokrewieństwo ze światłem, niezmierną szybkość.

(") W tradycji chrześcijańskiej "Starowieczny" jest interpretowany jako nazwa dla tajemniczej mocy emanującej z Arki Przymierza. Przykłady takich interpretacji są zawarte w następujących hymnach ciągle do dziś używanych w kościołach Prezbiteriańskich (patrz [415]: Hymns 32 and 35, "The Psalms and Church Hymnary", Oxford University Press, London 1973):

W swobodnym tłumaczeniu autora:

32: "Nieśmiertelny, niewidzialny, Bóg go tylko rozumie,
Niedostrzegalny w świetle, zakryty przed naszych oczu
Błogosławiony, wychwalany, "Starowieczny"

... Niestrudzony, niedościgły, bezgłośnie jak światło
... Wielki ojciec zorzy, czysty ojciec światła ..."

35: "O wiaro w świetlistego króla
... Nasz pancerz i obrońca, "Starowieczny"
Zamknięty w komorze i ze czcią obnoszony ...".

W oryginale angielskojęzycznym:

32: "Immortal, invisible, God only wise
In light inaccessible hid from our eyes
Most blessed, most glorious, the Ancient of Days
... Unresting, unhasting, and silent as light
... Great Father of Glory, pure Father of light ..."

35: "O worship the King all glorious above;
... Our Shield and Defender, the Ancient of Days,
Pavilioned in splendour and girded with praise ...".

Warto tu zauważyć iż Hymn 32 wyjaśnia atrybuty "Starowiecznego", podczas gdy Hymn 35 łączy "Starowiecznego" z Arką Przymierza i sugeruje że niezwykle moce Arki wywodzą się z własności "Starowiecznego". Oba hymny podkreślają jednakże, że "Ancient of Days" wcale nie jest tożsamy z pojęciem boga, podobnie jak dzisiaj wyraźnie odróżniamy boga od silnego pola magnetycznego. (Należy tu dodać iż "Starowieczny" występuje także w Biblii - patrz "Daniel" 7:13, jednakże analiza jego biblijnej interpretacji wymagałaby pełnej wersji Konceptu Dipolarnej Grawitacji jaki został omówiony w oddzielnej monografii [1a].)

Aby lepiej zrozumieć identyczne znaczenie obu konceptów (t.j. współczesnego konceptu "pola magnetycznego" i starodawnego "Starowiecznego") warto przez chwilę się zastanowić jak osoba właśnie czytająca niniejsze opisy przeniesiona nagle do Izraela kilka tysięcy lat temu, wyjaśniłaby ówczesnym Izraelitom czym właściwie jest "pole magnetyczne". We wyjaśnieniu tym użyte powinny zostać jedynie terminy i zjawiska znane wówczas i zrozumiałe dla tych ludzi. Następnie warto też się zastanowić co z owych wyjaśnień pozostałoby po upływie kilku tysięcy lat.

#4. Arka indukowała prądy elektryczne na swoich zewnętrznych częściach metalowych i prawdopodobnie także w pobliskich przedmiotach przewodzących. Osoby które dotknęły jej zewnętrznych złotych części zostawały zabite porażeniem elektrycznym (np. śmierć Uzzy - patrz Biblia, "Samuel II", 6:3-7). Kiedy transportowana z Izraela do Etiopii zniszczyła ona szereg przedmiotów w Egipcie, prawdopodobnie poprzez zaindukowanie w nich silnych prądów elektrycznych (porównaj opisy z "Kebra Nagast" przytoczone w [315] z działaniem "pancerza indukcyjnego" formowanego przez magnokraft).

#5. Arka wytwarzała siły zewnętrzne jakie oddziaływały na jej przenosicieli. W tym zakresie Arka zachowywała się więc identycznie jak komora oscylacyjna, której potężne

pole także będzie wytwarzało siły oddziaływania z polem magnetycznym Ziemi, zdolne unieść lub obrócić osoby próbujące przemieścić tą komorę. Dla przenoszenia niewielkiej Arki (lub, być może, raczej dla zabezpieczenia jej przed wzleciem w powietrze), koniecznym była siła aż sześciu Lewitów (nie wspominając już o tym iż nazwa owych osób "Lewici" została później przeniesiona na zjawisko unoszenia się w powietrzu czyli "lewitacji"). W książce Etiopskiej "Kebra Nagast" (rozdział 52), stwierdzone zostało iż Arka wznosiła w powietrze ludzi, ładunki i zwierzęta.

#6. Arka wytwarzała siły typu magnetycznego oddziaływujące na otoczenie. Siły te mogą zostać objaśnione jako oddziaływania pomiędzy polem magnetycznym Arki i przedmiotami z jej otoczenia. Przykładem takich sił może być zniszczenie murów Jericho. Także słynne utworzenie kanału w morzu czerwonym mogłoby zostać wyjaśnione przez zasadę oddziaływania pomiędzy silnym pulsującym polem magnetycznym i cząsteczkami otaczającej wody morskiej. Dostyc podobny efekt odpychania tej wody jest czasami też obserwowany u UFO wnikających pod powierzchnię morza.

#7. Istotny składnik Arki mógł zostać ukradziony, podczas gdy sama Arka pozostała nienaruszona. Epika "Kebra Nagast" twierdzi iż Etiopski bohater nazywający się "Bayna-lehkiem" ukradł Arkę i przewiózł ją do Etiopii - patrz opisy w [315], strona 39. Epika ta wyjaśnia dokładnie szczegóły jak owa kradzież nastąpiła. Bohater najpierw więc sporządził identyczną replikę Arki, używając do tego oryginalne instrukcje jej budowy otrzymane od Salomona. Potem zestawiał razem oba urządzenia, zabierając w ten sposób "moc" oryginalnej Arki. Jednakże twierdzenie Etiopczyków o tej kradzieży jest zaprzeczane przez Izraelskie źródła, które - chociaż potwierdzają samą kradzież, jednocześnie dokumentują iż działająca Arka ciągle pozostawała w posiadaniu swych prawowitych właścicieli już po zajściu kradzieży. Powyższa (pozorna) sprzeczność twierdzeń może więc oznaczać, że nie konstrukcja Arki, ale właśnie część drogocennej energii magnetycznej w niej zawartej została ukradzioną przez etiopskiego bohatera. Aby wywieźć tą energię użył on dokładnej repliki Arki. Natomiast pozostała część tej energii, wraz z oryginalną Arką ciągle pozostała w Izraelu. Stąd też Izraelici poczuli się dotknięci ponieważ "Bayna-lehkiem" ukradł nieodtwarzalną w owym czasie energię magnetyczną Arki, nie zaś samą Arkę.

#8. Sama nazwa "Arka" sugeruje "wehikul lub urządzenie transportujące", nie wspominając iż "Arka Przymierza" może oznaczać "urządzenie transportowe udostępnione dla zapoczątkowania współpracy i wymiany technologicznej". Jako taka doskonale więc odzwierciedla przeznaczenie komory oscylacyjnej wyrażone w ograniczonej terminologii starożytnego języka.

Niektórzy czytelnicy być może w tym miejscu zaczynają zadawać sobie pytanie dlaczego autor stara się ustalić czy Arka Przymierza faktycznie była starożytną wersją niedawno wynalezionej komory oscylacyjnej. Otóż uzasadnienie dla tych prób kryje się w możliwości skorzystania ze starych instrukcji budowy Arki Przymierza. Dokładne opisy Arki Przymierza zawarte są bowiem we wielu starożytnych manuskryptach, kilka z których wymienionych zostało na początku tego podrozdziału. Dla przykładu Izraelski "Zohar" poświęca im prawie 50 stron. Stąd też jeśli faktycznie Arka była komorą oscylacyjną, wtedy dokumentacja opisująca jak ją wykonać za pomocą najprostrzych narzędzi i materiałów czeka gotowa na ponowne wykorzystanie - patrz rysunek 17. Ponieważ narzędzia, materiały, oraz wiedza dostępne dla każdego dzisiejszego hobbysty, są bez porównania bardziej nadrzędne od tych dostępnych starożytnym rzemieślnikom, nie powinno być problemów ze skonstruowaniem tego urządzenia. Wszystko co nam potrzeba to dokładnie podążać za starożytnymi instrukcjami.

Powyższe założenie już potwierdziło swoje działanie w praktyce. Ryszard Zudzin z Bydgoszczy, który zbudował pierwszy model komory oscylacyjnej, oparł swoje urządzenie właśnie na starożytnych opisach Arki Przymierza (zdjęcie jego urządzenia pokazane zostało na rysunku C9). Jednym z istotnych rozwiązań jakie adoptował on z tych starożytnych opisów to igło-kształtne elektrody - patrz rysunek C10. Pomysł użycia tych elektrod zaczerpnął on z opisów złotych gwoździ wbijanych w drewniane ścianki Arki.

16. Podsumowując ten rozdział

Ogromna ilość materiału dowodowego zaprezentowana w niniejszym rozdziale jednoznacznie potwierdza prawdziwość tezy tego rozdziału zaproponowanej na jego początku. Począwszy od tego miejsca można więc uważać za formalnie dowiedzione, iż UFO już obecnie wykorzystują komory oscylacyjne jako urządzenia napędowe i akumulatory energii.

Dowiedzenie iż UFO już obecnie wykorzystują komory oscylacyjne wprowadza różnorodne konsekwencje. Pierwszą i najważniejszą z nich jest potwierdzenie iż idea komory oscylacyjnej jest poprawna i wykonalna. Potwierdzenie dokonane w ten szczególny sposób jest przecież niemalże równoznaczne ze zademonstrowaniem pracującego prototypu takiej komory. Inną konsekwencją jest praktyczne ukazanie iż naukowe obserwacje UFO mogą dostarczyć sposobu na szybsze i mniej kosztowne skompletowanie komory oscylacyjnej na Ziemi, na drodze bezpośredniego wykorzystania gotowych rozwiązań technicznych zaobserwowanych na tych wehikułach cywilizacji pozaziemskich.

Jako końcową refleksję tego rozdziału warto podkreślić iż dopóki autor tej monografii nie wynalazł komory oscylacyjnej, wszystkie raporty z obserwacji UFO jakie opisywały przezroczystą kostkę z iskrami w środku widzianą na pokładach tych wehikułów pozostawały prawie że niezauważone. Wygląda więc na to że "ludzie odnotowują i rozpoznają jedynie te obiekty jakich znaczenie jest im znane już poprzednio". Obecnie jednak każdy ma okazję zapoznać się z ukrytym znaczeniem niepozornej przezroczystej kostki zamykającej błyskawice w swoim wnętrzu. Stąd też od teraz zaczyna już być naszą zbiorową odpowiedzialnością staranne uwypuklenie i zabezpieczenie każdego faktu jaki może się przyczynić do szybszego skompletowania tego urządzenia na naszej planecie.

Obserwacje UFO czteropędnikowego

Z chwilą gdy formalnie zostało udowodnione iż UFO są magnokraftami już zrealizowanymi przez jakąś zaawansowaną cywilizację kosmiczną (patrz rozdział H), ważność wszystkich stwierdzeń Teorii Magnokraftu zaczyna być sprawdzalna poprzez obserwowanie wehikułów UFO. Jak dotychczas, w rozdziałach H i I, realność technicznego zrealizowania magnokraftu oraz jego pędnika została już potwierdzona. W rozważaniach z tego rozdziału czas więc na zweryfikowanie ważności teorii stojącej za wehikułem czteropędnikowym, opisanym w rozdziale E.

Ponieważ napęd wehikułu czteropędnikowego wykorzystuje konfigurację krzyżową komór oscylacyjnych, ich kształt i własności drastycznie muszą różnić się od kształtu i własności pędników dyskoidalnego magnokraftu bazujących na kapsule dwukomorowej. Również ogólny kształt samego wehikułu jest odmienny. Z tego też względu atrybuty czteropędnikowych UFO powinny być łatwo odróżnialne od atrybutów dyskoidalnych UFO. Autor szczegółowo przeanalizował dostępne mu opisy obserwacji UFO i znalazł kilka przypadków jakie wyraźnie wskazują iż zaobserwowano w nich właśnie czteropędnikowe UFO. Najbardziej reprezentacyjne z tych przypadków zostaną omówione w tym rozdziale.

J1. Klasyczne przypadki obserwacji czteropędnikowego UFO

Prawdopodobnie najlepiej udokumentowany i przebadany przypadek zaobserwowania czteropędnikowego UFO stanowi uprowadzenie na pokład tego statku rolnika z małej wioski Emilcin koło Opola Lubelskiego, śp Jana Wolskiego, jakie nastąpiło dnia 10 maja 1978 roku (adres tego rolnika był jak następuje: Jan Wolski, Emilcin koło Opola Lubelskiego, 24-325 Skoków). Oto streszczenie relacji z jego uprowadzenia, wraz z opisem samego wehikułu.

"Wczesnym rankiem dnia 10 maja 1978 roku, Wolski jechał furmanką poprzez drogę leśną w pobliżu swojej wioski. Zauważył on dwoje małych humanoidów (około 1.4 do 1.5 metra wysokich) ubranych w obcisłe czarne kombinezony z kapturami, idących tą samą drogą. Poruszali się oni w dziwnie niezgrabny sposób, utrzymując swoje nogi w rozkroku. Kiedy Wolski zaczął ich wyprzedzać, wskoczyli oni z obu stron na jego furmankę, zaskakując go przy tym swoją niespodziewaną zwinnością. W tym momencie wóz doznał szarpnięcia w sposób zwiastujący nieproporcjonalnie duże zwiększenie ładunku (pędniki napędu osobistego). Siedząc po obu stronach Wolskiego, żywo dyskutowali ze sobą jakiś problem, używając "diabelskiego" typu języka, składającego się z wielu ostrych i piskliwych dźwięków podobnych do gruchania gołębii i chichotów hieny. To wzbudziło w nim podejrzenia iż nie są oni ludźmi. Kiedy w końcu furmanka wyjechała na małą leśną polankę, Wolski zauważył niezwykley wehikuł zawieszony około 4 do 5 metrów ponad powierzchnią ziemi - patrz rysunek J1.

Wehikuł posiadał kształt małej prostokątnej chatki z 'dachem jak stodoła' (t.j. w kształcie piramidki). Jego prostokątny korpus z grubsza przypominał mu dwu-rotorowy helikopter. Wehikuł nie posiadał okien, a jedynie otwarte drzwi położone na środku przedniej ściany. Framuga tych drzwi ujawniła grubość ścianek wehikułu ocenianą przez Wolskiego na około 20 cm. UFO nie posiadało żadnego kołnierza, skrzydeł, nóg czy kół. Jedynymi elementami wystającymi z jego korpusu były cztery beczko-kształtne urządzenia (pędniki) ustawione w każdym narożu. Z każdej z tych beczek odchodziło ku ziemi czarne, wirujące, pionowe "wiertło". Wiertła te sprawiały wrażenie wykonanych z czarnej materii stałej, niemniej penetrowały one pod ziemię bez widocznego powodowania uszkodzenia lub naruszenia gleby. Wszystkie cztery wiertła wirowały ogromnie szybko, chociaż nie

powodowały one żadnego zauważalnego ruchu powietrza. Podczas wirowania wydawały słaby dźwięk buczący, nieco zbliżony do dźwięku wydawanego przez trzmiela.

Z drzwi tego UFO obniżyła się mała platforma przymocowana do czterech lin. Jeden z humanoidów wstąpił na nią i gestami zaprosił Wolskiego do podążenia za sobą. Platforma czuła się sztywna i zdumiewająco pewna pod stopami, chociaż wyglądała ona niestabilnie i delikatnie. Wydzwignęła ona Wolskiego z jednym humanoidem do wehikułu, gdzie oczekiwało już na nich dalszych dwóch humanoidów. Czwarty z nich dołączył do reszty po drugim obniżeniu się platformy. Wewnątrz wehikułu znajdował się pojedynczy prostokątny pokój. Jedynym źródłem światła był otwór drzwiowy. Drzwi były zawinięte w rodzaj pionowej tuby znajdującej się po ich lewej framudze. Podłoga, ściany, i płaski sufit wyglądały jak odlane z twardego w dotyku materiału podobnego do szkła. Pokój był pusty, bez żadnych mebli, zawierał jedynie pod czterema ścianami małe czarne ławeczki przymocowane do ściany linkami (po dwie linki na jedno siedzenie). Było kilkanaście ławeczek. W jednej ze ścian były dwa małe otwory, w których jeden z osobników manipulował czarną pałeczką.

Po krótkim przeglądzie medycznym Wolskiego, oraz działaniach jakie przypominały jego obfotografowywanie, humanoidzi zwolnili świadka. Kiedy umykał do domu, nie odnotował on chwili odlotu wehikułu. Jednak podczas przelotu na niewielkiej wysokości ponad Emilcinem, takie samo UFO zostało zaobserwowane przez innego świadka jaki określił je jako "latający autobus". Wkrótce po przelocie nad wioską wehikuł przyspieszył, wytworzył głośny "bang" soniczny i zniknął z widoku. Oględziny miejsca zdarzenia ujawniły ślady pozostawione przez załogę UFO, w postaci smug po przejściu przez pokrytą rosą trawę dwóch istot obok siebie, a także w kilku miejscach odcisków obuwia nietypowego kształtu (trapez zbliżony do prostokąta). Zauważono także ślady mogące wskazywać na pobieranie próbek ziemi. Obszar aktywności humanoidów koncentrował się wokół miejsca w którym ukryty był znajdujący się wówczas pod ziemią niezwykły "diabelski kamień" jaki zdawał się być głównym przedmiotem wizyty tych UFOautów."

Wszystkie własności UFO Wolskiego dokładnie odpowiadają tym przewidzianym dla wehikułu czteropędnikowego. Wygląd i działanie jego beczko-podobnych pędników również odpowiadają w każdym szczególe konfiguracji krzyżowej. Wszystko to czyni przypadek Wolskiego jedną z najlepiej udokumentowanych obserwacji czteropędnikowego UFO.

Czteropędnikowe UFO było też zaobserwowane na przedmieściu Roseneath koło Dunedin, Nowa Zelandia, przez lokalnego mieszkańca A.J.H. który życzył sobie aby jego nazwisko i adres pozostawały anonimowe. Obserwacja miała miejsce podczas czystej jesiennej nocy, kiedy silne światło księżyca zwiększało widoczność. Dostarczyła ona doskonałego potwierdzenia dla przewidywanej konfiguracji jonizujących powietrze obwodów magnetycznych u tego typu UFO. Rysunek J2 ilustruje zaobserwowane kształty i szczegóły. Oto raport świadka tej obserwacji:

"Zdarzyło się to o 2:56 nad ranem dnia 23 marca 1989 roku. Obudzony zostałem przez głośny bang soniczny podobny do tego jaki wytwarzają ponaddzwiękowe samoloty przekraczające barierę dźwięku (pamiętam że podobny bang zbudził mnie też jakieś 4 miesiące wcześniej). Zdecydowałem się wyglądnać przez okno. Na zewnątrz była czysta noc z silnym księżycem rozsiewającym światło na okolicę. Zauważyłem wehikuł zawisający ponad kępą krzaków na przeciwległej stronie doliny, odległej około 1 kilometra od mojego domu. Wisiał on nieruchomo, około 10 metrów ponad powierzchnią gleby, nad niezamieszkałą częścią góry lokalnie nazywanej "Blue Skin Hill" (t.j. "Niebieskoskóra góra"), nieco na prawo od zbiornika wodnego z Sawyers Bay. Położenie wehikułu było w przybliżeniu na tej samej wysokości co mój dom i zorientowane w kierunku NNW od mojego okna, t.j. na azymucie magnetycznym 330 . UFO było wyraźnie widoczne na tle otoczenia oświetlonego światłem księżyca, z uwagi na wstęgi niebiesko-białego ciągłego światła jakie otaczały jego kadłub. Było ono w kształcie przezroczystej, sześcienniej kostki, pokrytej piramidkowym dachem. Długość jego kwadratowych ścian szacuję na około 9 metrów. Z naroży wehikułu cztery kolumny biało-niebieskiego iskrzącego się, ziarnistego światła odchodziły ku dołowi. Swym wyglądem i zachowaniem ziarna iskier w tych kolumnach przypominały migotanie "białego szumu" widocznego na ekranach telewizorów kiedy nie przechwytyują one żadnej stacji. Każda ze ścian bocznych wehikułu przekreślona była

paszami stałego (t.j. nie migoczącego) niebiesko-białego światła. Pasma światła pojawiające się z tyłu wehikułu były także widoczne poprzez jego przezroczyste ścianki.

Po obserwowaniu wehikułu przez kilka minut zaprzetałem patrzenia i położyłem się do łóżka. Jednakże niezwykle widok nie dawał mi zasnąć. Po około 10 minutach wstałem więc aby ponownie popatrzeć. Wehikuł ciągle zawisał nad tym samym miejscem. Po krótkiej obserwacji znowu zaprzetałem oglądania. Około 3:15 popatrzyłem ponownie ale wehikułu już tam nie było. Cztery dni później przygotowałem rysunek ze swojej obserwacji, jaki załączam z tym raportem."

Wizja lokalna dokonana przez autora potwierdziła iż zaobserwowana geometria i wzajemny stosunek wymiarów tego UFO odpowiadają dokładnie tym opisanym równaniami zawartymi w rozdziale E. Ponadto umożliwiła ona ustalenie kilku dodatkowych szczegółów. Przykładowo zostało stwierdzone iż wehikuł podczas zawisania przyjmował pozycję przy której jego tylna ściana skierowana była ku magnetycznej północy. Ponadto zawisał on wychylony o około 20° z pozycji pionowej, tak iż cztery kolumny jego migoczącego światła z pędników ustawione były równoległe do linii sił lokalnego pola magnetycznego. (Kąt inklinacji magnetycznej dla Dunedin wynosi około $I=70^\circ$.) Wszystkie te znaleziska potwierdzają iż napęd tego UFO wykorzystywał ziemskie pole magnetyczne i że z tego właśnie powodu wehikuł musiał zawisnąć pochylony pod opisanym kątem aby dostosować się do lokalnego przebiegu tego pola.

Inną klasyczną obserwacją czteropędnikowego UFO było uprowadzenie Carl'a Higdon dnia 25 października 1974 roku, jakie zostanie opisane w podrozdziale L2 (przypadek 3) oraz zilustrowane na rysunku K4 (patrz książki [1L2] strona 171, [511.1] strona 16). UFO jakie uprowadziło Higdon'a także posiadało kształt kostki sześcienniej. Na nieszczęście dostępne autorowi opisy bardziej koncentrują się na zdarzeniach niż na wehikule, stąd w chwili obecnej nie jest możliwe ustalenie czy Higdon faktycznie zauważył jakieś beczko-kształtne pędniki wystające z naroży tego statku.

J2. Fotografie czteropędnikowego UFO

Opublikowanych także zostało kilka fotografii czteropędnikowego UFO. Najlepszym ich przykładem jest fotografia wykonana o 11:30 wieczorem dnia 23 marca 1974 roku koło Albiosc w górach Vosges w Francji, przez lokalnego lekarza który życzył sobie pozostać anonimowym - patrz rysunek J3. Jej kolorowa reprodukcja opublikowana była w książce [1J2] pióra Adolf'a Schneider i Hubert'a Malthaner: "Das Geheimnis der unbeakantten Flugobjekte" (znaczy: "Sekret niezidentyfikowanych obiektów latających"). Hermann Bauer Verlag KG - Freiburg im Breisgau, West Germany, 1976, ISBN 3-7626-0197-6, strona 223. Ukazuje ona taki właśnie wehikuł czteropędnikowy wznoszący się w górę w trybie wiru magnetycznego. Jego kabina załogi otoczona jest chmurą zjonizowanego powietrza świecąca czerwonym kolorem. Należy zauważyć że w Nowej Zelandii (półkula południowa) to czerwone świecenie zastąpione zostaje przez niebieski kolor - patrz rysunek J2. To z kolei dokładnie odpowiada kolorystyce świecenia powietrza spodziewanej w zasięgu biegunów magnetycznych wehikułu (t.j. czerwony kolor koło bieguna N oraz niebieski koło bieguna S - patrz też rysunek H3). W czterech narożach UFO pokazanego na rysunku J3 widoczne są białe, świecące kolumny wirującego powietrza zjonizowanego polem magnetycznym pędników. Wytworzenie takich wirujących kolumn pola może tylko nastąpić przez pędniki jakie wykorzystują konfiguracje krzyżowe. Wzajemne zorientowanie tych kolumn na fotografii z Albiosc, a także wzajemne proporcje wymiarowe, wykazują iż uchwycony tam wehikuł stanowi właśnie UFO czteropędnikowe, podobne do wehikułu pokazanego na rysunku E1.

* * *

Aczkolwiek niniejszy rozdział, jeśli porównany z rozdziałami H, I i K, pokazuje odmianę UFO ukazującą się niezmiernie rzadko, ciągle dodaje on dalszego materiału dowodowego do już i tak ogromnego materiału potwierdzającego ważność fragmentów Teorii Magnokraftu zaprezentowanych w tej monografii. Materiał ten konsekwentnie

upewnia, iż różne wehikuly znane nam pod nazwą UFO: (1) istnieją obiektywnie, (2) są wyjaśnialne na naszym poziomie wiedzy, (3) udowadniają istnienie już zrealizowanych urządzeń jakich opracowanie na Ziemi zaproponowane zostało w niniejszej monografii, oraz (4) powinny być starannie badane jako że ich ewentualne kopiowanie w ziemskich urządzeniach napędowych może zaoszczędzić nam cennego czasu oraz uchronić nas od wielu niepotrzebnych badań i wydatków.

Rozdział K:**Obserwacje UFOonautów używających magnetyczny napęd osobisty**

Dokonane w ostatnich czasach obserwacje UFOonautów dostarczają silnych dowodów, iż owe pozaziemskie istoty już obecnie użytkują rodzaj napędu osobistego, jakiego atrybuty pod każdym względem odpowiadają tym wyszczególnionym w podrozdziale F6. Najbardziej reprezentacyjne przypadki z tego materiału, z jakimi autor zdołał się zetknąć w czasie swoich dotychczasowych badań, zostały zaprezentowane w niniejszym rozdziale. Niestety, konieczność utrzymywania objętości tej monografii na możliwie najniższym poziomie nie pozwala na skomentowanie wielu dalszych szeroko znanych obserwacji w jakich atrybuty napędu osobistego UFOonautów zostały ujawnione. Jednakże opisane tutaj przypadki dostarczają zasad interpretacyjnych, jakie z łatwością dadzą się potem zastosować do innych przypadków z którymi czytelnicy już się zetknęli, lub mogą się zetknąć dopiero w przyszłości.

Większość faktów i obserwacji podpierających rozważania niniejszego rozdziału wybrana została z najbardziej klasycznych przypadków UFOlogii. Z tego też powodu szczegółowe opisy wielu z nich dostępne są w licznych książkach. W celu umożliwienia bardziej dogłębnego zapoznania się z nimi, dla każdego z tych klasycznych przypadków diskutowanych tutaj autor dostarczył także powołanie na odpowiedni materiał źródłowy.

Materiał dowodowy zaprezentowany w niniejszym rozdziale stanowi jedynie maleńki ułamek ogromnego oceanu faktów przepelniających dokumentację organizacji badających UFO oraz zbiory indywidualnych badaczy. Jeśli ktoś dokona analizy tego oceanu faktów, podobnej do analizy z niniejszego rozdziału, wtedy zaczyna być ewidentnym iż wszystkie wykazują one doskonałą zgodność z przewidywanymi cechami napędu osobistego (patrz podrozdział F6). Logiczne zaś ustalenie istnienia takiej pełnej zgodności stanowi formalny dowód iż UFOnauci już obecnie użytkują kombinezony magnetycznego napędu osobistego.

K1. Charakterystyczny wygląd użytkowników napędu osobistego

We większości raportów opisujących UFOonautów, wszystkie elementy kombinezonu napędu osobistego są łatwo zauważalne. Kombinezony noszone przez UFOonautów z reguły zaprojektowane są jako jedno-częściowe (zwykle srebrzyste, szare, lub zielonego koloru), czyli skutecznie eliminujące możliwość domykania się obwodów magnetycznych napędu poprzez ciało użytkownika. Ponadto, prawie zawsze kombinezony te obejmują też ciężki pas, buty z grubymi podeszwami (lub zauważalne epolety), oraz kaptur lub hełm. (Jeden z lepiej przebadanych przez autora przypadków spotkań z UFOonautami posiadającymi dokładnie taki pas i buty to incydent Stanisława Masłowskiego z Wrocławia - patrz rysunek K1; szczegóły spotkania Masłowskiego podane zostały w podrozdziale I1.3.) Często owe buty i pas są odmiennego koloru (np. czerwonego) od reszty kombinezonu. Wielu obserwatorów potwierdza także iż przy słabym oświetleniu zauważyć się daje jarzenie się pasa i butów (lub pasa i epoletów). Jeden z wielu przykładów takiego jarzenia pokazano na rysunku K2.

Aby używać napędu osobistego z pędnikami w butach, UFOnauci muszą przyjmować bardzo charakterystyczne pozycje ciała. Pierwsza z dwóch możliwych takich pozycji wymaga aby nogi utrzymywane były w ciągłym rozkroku - patrz opisy z podrozdziału F2. Fotografia z rysunku K3 ukazuje UFOonautę właśnie w takiej pozycji. Fotografia ta jest jedną z czterech zdjęć wykonanych z użyciem lampy błyskowej około godziny 10 wieczorem dnia 17 października 1973 roku przez oficera policji Jeff'a Greenhaw z Falkville, Alabama, USA - patrz książka [1K1] Nigel Blundell, Roger Boar: "The World's Greatest UFO Mysteries" (Octopus Books Limited, London 1983, ISBN 0-7064-1770-4) strona 116.

Policjant zrelacjonował iż przemieszczanie się tego UFO nauty następowało "szybciej niż ktoregokolwiek z ludzi widzianych przezemnie poprzednio" ("faster than any human I ever saw"). Jednak na przekór tej niezwyklej szybkości, na wszystkich czterech fotografiach istota ta posiadała nogi unieruchomione w rozkroku. Taki rozkrok w czasie szybkiego ruchu wskazuje więc na: (1) lot w powietrzu zamiast zwykłego biegnięcia, oraz (2) działanie sił "B" wzajemnego odpychania się od siebie pędników umieszczonych w podeszwach butów tej istoty (patrz rysunek F2).

Druga postawa możliwa do przyjęcia przez użytkowników napędu osobistego z pędnikami w butach polega na utrzymywaniu nóg w pozycji podkucniętej. Postawa ta spowodowana jest zachwianiem równowagi pomiędzy siłami "Q" oraz siłami "R" i "A" - porównaj rysunek F2. W takim przypadku siły przyciągające "Q" zaczynają dominować ponad siłami "R" i "A", podwijając nogi użytkownika ku pasowi. Górny UFO nauta z rysunku K1 przyjmował właśnie taką charakterystyczną postawę.

Użycie napędu osobistego powoduje zaindukowanie ładunków elektrycznych na wszystkich nieprzewodzących materiałach znajdujących się w pobliżu. Stąd też przykładowo włosy na odkrytych częściach twarzy, głów i rąk będą stawały dęba. Carl Higdon spotkał UFO nautę z takimi właśnie postawionymi włosami - patrz rysunek K4. Spotkanie to odbyło się krótko po 4:15 po południu, dnia 25 października 1974 roku, na północnym skraju lasu zwanego Medicine Bow National Forest (south of Rawlings), Wyoming, USA - patrz opis w [1L2] strona 171 i [5I1.1] strona 15. Więcej danych na temat tego spotkania podano w podrozdziale L2 (punkt Ad. 3). Również Stanisław Masłowski podczas swego spotkania we Wrocławiu, zilustrowanego na rysunku K1, był zaskoczony i ubawiony spostrzeżeniem iż krwisto-czerwone włosy na twarzy i rękach najbliższej niego stojącego UFO nauty stały dęba.

K2. Niezwykłe możliwości UFO nautów użytkujących napęd osobisty

Najbardziej wyróżniająca się cecha UFO nautów używających napędu osobistego jest iż są oni zdolni do bezgłośnych lotów w przestrzeni. Owa zdolność została potwierdzona przez zeznania wielu naocznych świadków którzy faktycznie widzieli UFO nautów lecących w powietrzu.

Jednym z lepiej znanych przypadków "latających" UFO nautów jest incydent z Hopkinsville diskutowany w dalszej części tego podrozdziału. Przykładowo kiedy jedna z tych istot została zestrzelona z dachu kuchni przeleciała ona wysoko w powietrzu na odległość około 12 metrów - patrz opisy w [1L2] strona 191.

Małżeństwo Thew z Temuka w Nowej Zelandii, których obserwacja opisana została w podrozdziale I1.1, z wyraźną emocją i poczuciem niezwykłości swych spostrzeżeń opowiadali autorowi, iż z prawej strony ich układu niezespolonego, kilka metrów przed krawędzią statku, wisiała nieruchomo w powietrzu bez żadnego podparcia czy fizycznego połączenia z UFO mała istotka podobna do dziecka ubranego w kombinezon kosmiczny.

Istnieją również opisy spotkań kiedy latający UFO nauta jest głównym bohaterem całego zdarzenia. Przykładami mogą być: latająca istota człeko-podobna, lokalnie znana jako "człowiek ćma" ("mothman"), która w latach 1966/67 terroryzowała mieszkańców Point Pleasant w West Virginia, USA; czy też "duży ptak" ("big bird") o kształcie istoty ludzkiej jaki w 1976 roku wielokrotnie zostawał zaobserwowany w Rio Grande Valley, Texas, USA - patrz książka [1L2] strona 236; oraz książka [1K2] pióra Milt'a Machlin i Tim'a Beckley: "UFO" (Quick Fox, New York, 1981, ISBN 0-8256-3182-3) strona 117. Również UFO nautci pokazani na rysunku K1 zostali zaobserwowani podczas unoszenia się (nie zaś stania) około pół metra ponad powierzchnią gleby. Trawa pod ich stopami falowała energicznie wskazując na działanie wirującego pola magnetycznego z podeszw ich butów.

Doskonałej obserwacji lecącego w powietrzu UFO nauty dokonał Wojciech Godziszewski (ul. Szczecińska 2c, 72-003 Dobra Szczecińska). Pokazał on potem autorowi samo miejsce zdarzenia jak i zrelacjonował dokładnie jego przebieg. Kiedy 18 marca 1978 roku tuż po godzinie 21 jadąc samochodem wraz z żoną zaobserwował on cztery

pomarańczowo i żółto świecące kule (wehikuly czasu) manewrujące nad lasem 3 kilometry za miejscowością Stolec, bez namysłu pognął aby dokonać obserwacji z bliższej odległości. Około 500 metrów przed miejscem zawisu tych UFO dostrzegł on dziwną istotę o wzroście około 1 metra zawisającą nieruchomo ponad środkiem szosy. Istota ta ubrana była w ciemno-brązowy, obcisły, jednoczęściowy kombinezon, w kolorze i konsystencji przypominający futro foki lub grubościenny strój płetwonurka. Kombinezon ten kończył się kapturem jaki ciasno otaczał całą głowę ukazując jedynie mały fragment białej twarzy z dużymi okrągłymi oczami. Istota posiadała też jasny pas o szerokości około 10 cm jaki jarzył się silnym fosforycznym światłem. Takie samo jarzenie wydzielano się spod jej kończyn. Z tyłu miała ona jakby plecak - kwadratowe wypuklenie o pojemności dwóch cegieł. Istota zawisała na wysokości około pół metra ponad szosą, zorientowana w ukośnej pozycji ciała jak "siedzący pies". Kończyny odchylone były na zewnątrz pod 45°. Głowa zadarta była do góry tak iż istota patrzyła w kierunku nadjeżdżającego samochodu. Na jego widok zawróciła ona jednak do tyłu i raptownie przyspieszyła utrzymując stały dystans około 50 metrów od Godziszewskiego. W czasie lotu wolno przebiegała nogami i rękami jakby dla balansu. Godziszewski przyspieszył więc aby podjechać bliżej i lepiej oglądnąć niezwykłego przybysza. Jednak po wyciśnięciu gazu do dechy i osiągnięciu najwyższej szybkości na jaką stać było malucha, istota ciągle utrzymywała ten sam dystans od samochodu. Przez więc około pół kilometra, wzdłuż bezludnej leśnej szosy przemieszczała się ta niezwykła para, lecący w powietrzu UFOauta i ścigający go na pełnej szybkości maluch. W pewnym momencie istota nagle skręciła w boczną drogę leśną, zmieniając raptownie swój kierunek lotu pod kątem prostym bez zwolnienia szybkości. Oczywiście maluch nie był aż tak zwrotny, zajęło mu więc kilkadziesiąt metrów wyhamowanie swej szybkości (przez Godziszewskiego szacowanej w tym momencie na około 120 km/godź). Po wycofaniu malucha i wjechaniu na ową drogę leśną, istoty już nie było widać. Jednakże jakieś 15 metrów od szosy samochód wypełniło poczucie paraliżu i grozy jakby przekazanych na drodze telepatycznej. Paraliż ten uniemożliwił dalszą jazdę i wymusił powrót Godziszewskiego do domu.

Napęd osobisty nadaje też UFOautom zdolności do wykonywania różnorodnych innych ruchów jakie zaprzeczają naszemu zrozumieniu praw natury. Ich przykładem może być UFOauta który przekroczył pionową ścianę w sposób "zarezerwowany" dla owadów a pokazany na rysunku K5 - patrz opis w [5I1.1] strona 14.

Chyba najbardziej niezwykłą cechą UFOautów jest ich odporność na działanie naszych kul wystrzelonych w ich kierunku. Najlepszy przykład tej odporności zawarty jest w incydencie z Hopkinsville, Kentucky, USA, t.j. obszaru gdzie "najpierw się strzela, potem zaś zadaje pytania" ("shoot first, then ask questions"). Nastąpił on dnia 21 sierpnia 1965 roku - patrz [1L2] strona 190 i [1K1] strona 108. Oto jego krótkie streszczenie.

Rodzina Langfords z Sutton Farm (ośmiu dorosłych i troje dzieci) zauważyła silnie świecący obiekt jaki osiadł na ziemi za ich oborą. Istota około metrowego wzrostu, ubrana w srebrzysty kombinezon, wyszła w ich kierunku. Dwóch mężczyzn złapało strzelbę dwunastkę i pistolet kaliber 22 i wypaliło z bliskiej odległości do przybysza. Istota została powalona na ziemię siłą uderzenia - jednakże ku zdumieniu patrzących szybko podskoczyła na nogi i pokłusowała z powrotem. Zaszokowana rodzina zabarykadowała się w domu. Potem jedna z kobiet wyrzała przez okno z kuchni i zobaczyła twarz podglądającej ją istoty ze szerokimi podłużnymi oczami okrytymi wziernikiem hełmu. Mężczyźni przybiegli do kuchni i wypalili do istoty, jednakże znowu UFOauta - aczkolwiek trafiony, uciekł bez widocznego uszczerbku. W sumie około 50 naboju zostało wystrzelonych w przeciągu następnych 20 minut, jednakże żaden z nich nie uczynił szkody przybyszom. Kiedykolwiek któraś z istot została trafiona, odlatywała ona w powietrzu lub uciekała ze zasięgu pocisków. Wszystkie kule jakie dosięgnęły przybyszy wydawały dźwięk jakby uderzały w cynowe wiadro. Same istoty nie wydawały żadnego dźwięku. Wprawdzie podłoże szeleściło gdy po nim przechodzili, jednakże nie było słyhać odgłosów kroczenia. Sprawiały one też wrażenie nieważkich, jako iż zwolna spływały z drzew zamiast spadać z nich.

Cały incydent w Hopkinsville jest doskonałym potwierdzeniem wytwarzania "pancerza indukcyjnego" przez kombinezony napędu osobistego UFOautów.

Kolejną elektromagnetyczną manifestacją działania napędu osobistego jest jego zdolność do indukowania prądów elektrycznych w obwodach zamkniętych, szczególnie jeśli obwody te posiadają transformator na swoim wejściu. W ten sposób telewizory lub radioodbiorniki zaczynają emitować dźwięki w zupełnie niespodziewanym momencie lub nawet ulegają przepaleniu, odkurzacze i sokowirówki mogą samoczynnie zacząć pracować chociaż odłączone są one od sieci, itp. Przykładem incydentu jaki spowodował wystąpienie niektórych z tych efektów elektromagnetycznych jest łańcuch zdarzeń z Broadhaven, Anglia, pierwszy z których nastąpił we wczesnych godzinach nocnych, 24 kwietnia 1977 roku - patrz [1K1] strona 140.

Koło 1 w nocy Billy i Pauline Coombs siedzieli w swoim pokoju wejściowym kiedy Pauline nagle obróciła się aby wyglądnać przez okno. Zastłone ono jednak było przez wysoką, przerażającą figurę ubraną w srebrzysty kombinezon. Billy obrócił się w swoim fotelu i także dostrzegł niezwykle zarysy. Istota przywdziewała hełm z jakimś rodzajem świecącego się wziernika. Wąż przebiegał z jego ust do tyłu głowy. Jakby jarzeniowe światło (jarzenie pochłaniania?) promieniowało z całej tej postaci, zaś kiedy dotknęła ona okna cała framuga zaczęła hałasować jakby podczas najsilniejszego sztormu - aczkolwiek wcale nie było wiatru tej nocy. Rodzinie pozostały dwie pamiątki z tego spotkania: przepalony telewizor oraz niezaleczalnie popalany krzak róży jaki rósł pod wspomnianym oknem. Przez cały rok po tym incydencie życie rodziny stało się piekłem. Ich dzieci często widziały jasne światła lądujące na ich posiadłości i znajdowały powypalane ślady następnego poranka. Podczas podróży na wybrzeże do pobliskiego St. Bride's Bay, rodzina dostrzegła dwie osoby w srebrzystych kombinezonach oraz latający dysk jak wnikały one do wnętrza skały (patrz podrozdział L1). Dwoje z ich dzieci zostało silnie poparzone w jakiś niezwykle sposób. Pięć telewizorów i osiem ich samochodów zostało tajemniczo poprzepalane. Potem zaś, tak samo nagle jak się zaczęły, wszystkie te dziwne zdarzenia zanikły (naukowa ekspedycja UFOonautów odleciała na swoją planetę?).

Istnieją również dosyć częste obserwacje UFOonautów w których ich zdolność do stania się niewidzialnymi zostaje ujawniona. Klasycznym przykładem takich obserwacji są wielokrotne incydenty z rodziną LeBel (następujące w Nowej Anglii, USA, podczas lat 1977 do 1978 - patrz [2I1.3] strona 157) oraz z rodziną Andreasson'ów (opisane w książce [2I1.4]). Istnienie takich przypadków potwierdza iż wysoko efektywna soczewka magnetyczna może być formowana przez napęd osobisty UFOonautów.

K3. Ślady wypalane przez napęd osobisty UFOonautów

Jak to zostało już uświadomione w poprzednim podrozdziale, pędniki magnetyczne zamontowane w napędzie osobistym UFOonautów są w stanie dokonać dosyć sporych zniszczeń otoczenia. Jednym z bardziej charakterystycznych takich zniszczeń jest wypalanie śladów w masie organicznej przez pędniki zamontowane w podszewkach butów. Rozłożenie tych śladów będzie bowiem posiadało charakterystyczny wzór kroczący, bezspornie wykazujący iż pędniki muszą być właśnie zamontowane w butach. Oczywiście poszczególne wypalenia składające się na takie ślady będą posiadały wszystkie cechy wypaleń magnetycznych, a więc będą bardzo podobne do wypaleń pozostawianych przez pędniki wehikułów UFO (patrz opisy z podrozdziału H2). Najlepiej przebadany przez autora przypadek wystąpienia śladów powypalonych przez napęd osobisty UFOonautów dotyczy przypadku Jerzego Wasilewskiego z Wrocławia. Oto jego opis.

Dnia 4 września 1979 roku, około godziny 9:30 rano, mieszkanie Jerzego Wasilewskiego (ul. Kruszwicka 53/9, Wrocław), położone na czwartym (najwyższym) piętrze budynku, zostało odwiedzone przez UFOonautę przywdziewającego napęd osobisty. Istota dostała się do mieszkania przez otwarte okno w kuchni upalając przy tym swym napędem łańcuszek grzybów suszących się w tym oknie. Jak to potem zostało odtworzone z pozostawionych śladów, po wleceniu do kuchni istota przebadła mieszkanie przelatując całą jego długość. Po dotarciu do drzwi wejściowych, UFOnauta opadł na podłogę, po czym z wolna pomaszerował z powrotem do kuchni gdzie odbił się od podłogi i odleciał. Podczas

przemarszu wzdłuż korytarzyka i kuchni pozostawił on na wyścielających je płytkach PCW (Poli-Chlorek Winyłu) 17 magnetycznie popalonych śladów ułożonych w charakterystyczny wzór kroczący. Każdy z tych śladów posiadał kształt okręgu o średnicy około 13 milimetrów - patrz rysunek K6. Oznacza to więc, że dla zabezpieczenia UFOauty przed ewentualnym niespodziewanym postrzałem, pole magnetyczne z jego napędu cały czas wirowało wytwarzając efektywny "pancerz indukcyjny" (nieruchome pole uformowałoby bowiem kwadratowe wypalenia). Średnia odległość pomiędzy poszczególnymi śladami wynosiła około 0.4 metra.

Płytki PCW zawierające owe ślady zostały szczegółowo przeanalizowane przez naukowców z Instytutu Chemii Nieorganicznej Politechniki Wrocławskiej. Poniżej zestawiono cechy tych śladów, jakich ustalenie nastąpiło we wyniku dokonanych analiz:

1. Materiał płytek w obrębie wypaleń ciągle posiadał swoją oryginalną strukturę.
2. Powierzchnia śladów nie wykazywała mechanicznego zgniecenia czy deformacji.
3. Żadnych obcych substancji (nawet w ilościach śladowych) nie wykryto w rodzimym materiale śladów. (Substancje takie musiałyby tam być obecne gdyby ślady zostały wypalone jakąkolwiek metodą chemiczną.)
4. Nie znaleziono śladów spalonego PWC. Materiał ten uległby spaleniowi gdyby płytki wystawione zostały na temperaturę przewyższającą 130 C.
5. Monotropiczny, pofalowany, czarny wzór widoczny na powierzchni śladów posiadał grubość kilku mikronów. Unikalna kompozycja chemiczna tego wzoru wskazywała iż jego pochodzenie musiało zostać wywołane działaniem aktywnego ozonu atakującego cząsteczki Poli-Chloroku Winyłu.

6. Płytki zostały silnie odbarwione w obszarze śladów. Oznacza to iż musiał na nie działać bardzo silny czynnik o wysokiej energii (np. potężne pole magnetyczne).

Powyższe własności śladów powypalanych w płytkach PCW umożliwiły ustalenie iż następujące ewentualne przyczyny ich powstania mogą zostać definitywnie wyeliminowane:

- a) Wypalenie w efekcie dotyku gorącego przedmiotu.
- b) Wypalenie strumieniem gorącego gazu, plazmy lub elektronów.
- c) Mechaniczne zatarcie lub odbicie.
- d) Uderzenie rozprężającym się strumieniem zimnego gazu lub płynu.

W konkluzji badań, jako jedyna możliwa przyczyna dla spowodowania tych śladów pozostawało więc działanie niezwykle silnego, pulsującego pola magnetycznego, towarzyszone równoczesnym działaniem chemicznym na powierzchnię płytek cząstek zjonizowanego przez to pole powietrza (szczególnie zaś aktywnego ozonu). Niestety, obecna technika ziemna nie jest jeszcze w stanie wytworzyć pól magnetycznych wystarczająco silnych aby eksperymentalnie dowieść absolutnej poprawności tej konkluzji (t.j. wykonać identyczne ślady za pomocą naszego pola magnetycznego).

W dniu swego pojawienia się, ślady UFOauty posiadały bardzo intensywny, kredowo-biały kolor jaki doskonale kontrastował z niebiesko-szarym kolorem pozostałych części płytek PCW. Białość tego koloru była tak silna, iż zgodnie z opowiadaniem właściciela mieszkania początkowo sprawiała ona wrażenie jakby któryś z robotników z pobliskiej budowy włamał się do mieszkania i porzucił po nim ślady wapna ze swoich butów. Jednakże w miarę upływu czasu, intensywność bieli tych śladów stopniowo zaczęła się zmniejszać. Nawrót naturalnego koloru płytek następował przy tym według "krzywej połowicznego zaniku" o długości okresu przepołowienia wynoszącej około 120 dni. Kiedy w 1982 roku, tuż przed odlotem z Polski, autor po raz ostatni oglądał owe płytki, kolor śladów był już nieodróżnialny od koloru reszty ich powierzchni. Jednakże czarny wzór ozonowy ciągle pozostawał niezmienny.

Warto tu dodać że w tym samym czasie jak omawiane płytki, także szereg innych podobnych śladów wytworzonych zostało we Wrocławiu. Na nieszczęście owe inne ślady nie zostały zachowane do badań. W jednym przypadku wełniany dywan, w jakim znaleziono krokowo porozstawiane dziury, został po prostu wyrzucony na śmieci zanim właściciele się zorientowali jakiego rodzaju materiał dowodowy on sobą reprezentuje. W innym przypadku, następującym już po tym jak płytki Wasilewskiego zostały rozstawione ogólnokrajowym programem telewizyjnym, niezidentyfikowani prywatni kolekcjonerzy

pozabierali płytki PCW zawierające następny układ podobnych śladów, zanim grupa badaczy UFO zdołała do nich dotrzeć. Wszystkie te trzy incydenty następujące w stosunkowo niedługich odstępach czasu od siebie, ujawniają iż przypadki pozostawiania przez UFOonautów powypalanych śladów są dosyć częste, tyle tylko że brak wiedzy co one przedstawiają, a czasami prawdopodobnie także i obawa przed zostaniem wyśmianym, powstrzymuje ludzi przed ich podawaniem do publicznej wiadomości.

K4. Mitologiczne opisy użycia magnetycznego napędu osobistego

Jeśli przeglądnać dokładniej mitologię dowolnego kraju, wtedy natychmiast rzuca się w oczy iż jest ona pełna istot jakie w dzisiejszych czasach nazwalibyśmy UFOonautami, ale jakie w zależności od światopoglądu swych obserwatorów w dawniejszych czasach zwane były przy użyciu wielu innych nazw. Przykładowo w mitologii ludowej z terenów Polski owe nadprzyrodzone istoty nazywane były m.in. krasnoludkami, sokubami, zmorami, syrenami, nimfami, skarbnikami, a we wielu przypadkach także diabłami i diabolicami. Natomiast w mitologii angielskiej ich popularne nazwy obejmują m.in.: fairies, elfs, mist people, dwarfs, ogres, mermaids, sirens, nymphs, harpies, gnomes, etc. Jeśli rozważyć najbardziej charakterystyczne cechy owych istot, prawie pod każdym względem wykazywały one podobieństwo do dzisiejszych UFOonautów. Przykładowo następujące cechy w obu przypadkach są wspólne:

1. Podobnie jak to ma miejsce z dzisiejszymi UFOonautami, istoty te przynależały do innej niż ziemianie kategorii bytów (np. w mitologiach klasyfikowano ich jako bogów, dzieci władcy mórz (Neptuna), nieśmiertelnych, istot z nieba, diabłów, itp.), oraz zamieszkiwały odmienne światy (np. niebo).

2. Podobnie jak wielu z odwiedzających nas obecnie "nocturnal" UFOonautów którzy przeciwnie niż ziemianie prawdopodobnie wyewoluowali ze stworzenia aktywnego w nocy, we wielu przypadkach istoty te prowadziły życie nocne, t.j. nie lubiły naszego światła słonecznego zaś w swym działaniu preferowały obecność poświaty księżyca.

3. Podobnie jak UFOnauca istoty te posiadały dwie odmienne płci, męską i żeńską, oraz analogiczne do ludzkich organy seksualne odpowiednie dla danych płci. Z chęcią też uprawiały stosunki seksualne ze ziemianami, zaś we wielu przypadkach stosunki te owocowały urodzeniem się dzieci.

4. Analogicznie do obecnych UFOonautów istoty te wykazywały wysokie standardy moralne, społeczne, filozoficzne i edukacyjne. Przykładowo zawsze mówiły prawdę, rzetelnie wywiązywały się z podjętych umów, dotrzymywały danego słowa, wykazywały wysoką odpowiedzialność za swoje działania, respektowały życzenia innych, w postępowaniu kierowały się rozumem i logiką nie zaś uczuciami, przykładaly ogromną wagę do uczenia się i zdobywania wiedzy, były niezwykle biegłe w sztukach i naukach, gdy tylko miały okazję uczyły ludzi nieznanym im rzemiosł i umiejętności, itp.

Szukające wyniki daje też analiza osobowości diabłów z ludowych legend. Aczkolwiek bowiem diabły te powinny być nosicielami złego, faktycznie w prawie każdym opowiadaniu ludowym wykazują one wyższe standardy moralne, obowiązkowość i poczucie prawości niż ludzie z którymi przychodzi im obcować. Praktycznie więc piekło dawno już powinno zbankrutować zatrudniając tak niekompetentnych kusicieli w zachowaniu których trudno się dopatrzeć czegokolwiek złego.

5. Telepatyczne zdolności. Podobnie jak obecni UFOnauca istoty te również znały imiona napotkanych osób zanim osoby te zdążyły rozpocząć rozmowę, potrafiły odczytywać myśli swego rozmówcy, zawsze potrafiły trafnie zgadnąć jego/jej życzenia, itp.

6. Wykazywane przez nie nadprzyrodzone moce nie miały swego źródła w samej naturze tych istot, a zawsze pochodziły z technologicznie wysoko zaawansowanego ekwipunku (w mitologii opisywanego z użyciem terminu "magiczny") jakie istoty te posiadały w swojej dyspozycji, np. ubrania (t.j. kombinezonu napędu osobistego), różdżki (t.j. prawdopodobnie wydłużonej komory telekinetycznej), niewidzialnego magicznego oleju

trzymanego w kwadratowym szklanym słoju (t.j. prawdopodobnie pola magnetycznego przechowywanego w kapsule dwukomorowej), itp.

7. Analogicznie do UFOautów istoty te wykazywały też wszelkie cechy charakterystyczne dla użycia opisanego w tej monografii napędu osobistego. Przykładowo były one w stanie latać w powietrzu, znikać z widoku na życzenie (stawać się niewidzialne), posiadały niezwykłą siłę fizyczną, odporność na działanie naszej broni, szybkość, niezrozumiałą dla dawnych ludzi możliwość komunikowania się na odległość, oraz wiele innych atrybutów jakie w dzisiejszych czasach łatwo wyjaśnić po prostu zaawansowaną technologią używanego przez nich kombinezonu i wyposażenia napędu osobistego.

Ponieważ jednym z twierdzeń szczególnie uwypuklanych w tej monografii (patrz np. podrozdział I5) jest że nasza planeta od tysięcy już lat wizytowana jest przez kilka zaawansowanych cywilizacji pozaziemskich, naturalną więc konsekwencją tego twierdzenia będzie iż ziemianie musieli na przestrzeni wieków obserwować przedstawicieli tych cywilizacji w chwili użytkowania przez nich napędu osobistego. Stąd też rodzi się teza niniejszego podrozdziału stwierdzająca iż "nadprzyrodzone istoty jakie na przestrzeni wieków opisywane są w ludowym folklorze pod różnorodnymi nazwami reprezentują po prostu dawne obserwacje różnych UFOautów używających napęd osobisty". W przypadku wykazania prawdy tej tezy, uzyskany zostanie nie tylko dodatkowy materiał obserwacyjny potwierdzający użycie napędu osobistego przez UFOautów, ale także nastąpi otwarcie interpretacyjne niezwykle bogatego źródła szczegółowych danych o UFOautach umożliwiającego wykorzystanie wielowiekowej akumulacji doświadczeń empirycznych naszej cywilizacji dotyczących różnorodności ras i typów odwiedzających nas istot, cech ich charakterów, ich zachowań, wyglądu, atrybutów, posiadanego ekwipunku, itp. Przykładowo daje się łatwo wydedukować, iż tzw. "diabły" z ludowych opowieści, we wszelkich swych cechach odpowiadają charakterystyce karłowatych (t.j. 90 do 120 cm wzrostu) "nocturnal" humanoidów, przybywających na Ziemię z gwiazdy przez nas nazywanej Zeta Reticuli, a znajdujących się obecnie na etapie 1D swego rozwoju (patrz klasyfikacja z podrozdziału G4). Humanoidzi ci m.in. odpowiedzialni są za uprowadzenie ś.p. Jana Wolskiego - patrz podrozdział J1. Stąd poprzez studiowanie ludowych opisów diabłów można wyrobić sobie doskonały obraz owych humanoidów, włączając w to nawet ich profil psychologiczny i socjalny.

Treść niniejszej monografii, a ściślej jej podrozdział F6, dostarcza doskonałej możliwości przetestowania prawdy zaproponowanej tu tezy przy użyciu tzw. "metody rozstrzygającego dowodu" (po angielsku: "Conclusive Evidence Method").

Metoda rozstrzygającego dowodu jest równie starą i niezawodną metodą dowodzenia prawdy określonej tezy jak metoda "porównywania atrybutów" opisana w podrozdziale H1. Jest ona szeroko używana w sądach (np. dla dowiedzenia winy oskarżonego) oraz przez naukowców (dla dowiedzenia poprawności nowych teorii naukowych). Generalnie rzecz biorąc sprowadza się ona do zrealizowania dwóch działań dowodzących, które niekoniecznie muszą być dokonywane w podanej tu kolejności. Pierwszym z nich jest teoretyczne zidentyfikowanie rodzaju tzw. "rozstrzygającego dowodu" jaki zadecydowałby o poprawności danej tezy. Owym "rozstrzygającym dowodem" musi być jakiś fakt który nie wystąpiłby w przypadku gdyby dana teza była nieprawdziwa i który jednocześnie nie mógłby zostać spowodowany przez żaden inny czynnik niż prawdziwość tej tezy. Przykładowo w przypadku dowodzenia winy oskarżonego takim "rozstrzygającym dowodem" mógłby być film uwieczniający przebieg przestępstwa dokonywanego przez danego oskarżonego. Drugim działaniem dowodzącym w tej metodzie jest empiryczne wykazanie iż "rozstrzygający dowód" faktycznie istnieje dla rozważanej tezy. Przykładowo gdyby udowadniana była naukowa teza że "antymateria istnieje" rozstrzygającym dowodem m.in. mogłoby być zaprezentowanie kawałka tej substancji.

W przypadku udowadniania z użyciem metody rozstrzygającego dowodu prawdy tezy niniejszego podrozdziału, doskonały rozstrzygający materiał dowodowy wskazuje postulat zawarty w ostatnim ustępie z podrozdziału F6 o "zaniku atrybutów napędu osobistego z chwilą zdjęcia kombinezonu tego napędu". Istoty bowiem naprawdę nadprzyrodzone (np. aniołowie w religijnym sensie tej nazwy) powinny zachowywać swoje

atrybuty nadprzyrodzoności nawet w przypadku gdy pozbawieni zostaną posiadanego kombinezonu (ich atrybuty wynikają wszakże z tego czym oni są nie zaś z ekwipunku jaki ubierają). Natomiast UFOnauci używający magnetycznego napędu osobistego pierwszej generacji utracą swoje atrybuty nadprzyrodzoności z chwilą gdy tylko pozbawieni zostaną swojego kombinezonu (należy zauważyć iż powyższe niestety traci swą ważność dla napędu drugiej i trzeciej generacji wstawianego chirurgicznie w ciała swych użytkowników). Kierowany powyższym autor dokonał więc przeglądu mitologii różnych narodów aby sprawdzić czy istnieją w nich jakieś legendy dotyczące nadprzyrodzonych istot tracących magiczne atrybuty po zdjęciu swego ubioru.

Ku swemu zdumieniu odkrył on iż w mitologii prawie każdego narodu istnieją legendy na ten temat. W książce [1K4] pióra Katherine M. Briggs, "The Vanishing People (a study of traditional fairy beliefs)" B.T. Batsford Ltd., London 1978, ISBN 0-7134-12-40-2, strona 39, przytoczona jest nawet naukowa analiza niektórych takich legend. Generalnie rzecz biorąc, większość z nich sprowadza się do opisanie sposobu w jaki ziemski mężczyzna wchodził w posiadanie nadprzyrodzonej piękności (poprzez zarekwirowanie jej ubioru) którą potem zmuszał gwałtem albo przekonywał perswazją aby została jego żoną. Nienawykłe jednak do trudów i niewygód życia na Ziemi piękności niestety szybko miały dosyć i wracały do nieba. Ich powrót zwykle następował zaraz po urodzeniu dziecka poczętego w ich pierwszych uniesieniach miłosnych ze ziemianem. Chyba najbardziej reprezentacyjna z tej grupy legend opisana jest mitologią koreańską. Jej doskonały przykład opublikowany został pod tytułem "The Woodcutter and the Heavenly Maiden" (t.j. "Drwal i dziewczica z niebios") w książce [2K4] pióra Suzanne Crowder Han, "Korean Folk & Fairy Tales" Hollym Corporation, USA, 1991, ISBN 0-930878-03-5, strony 101 - 106. Inna, nieco zubożona wersja tej samej legendy opublikowana jest też w książce [3K4] pióra Zong In-Sob, "Folk Tales from Korea", 3rd edition, Hollym International Corp. (18 Donqald Place, New Jersey 07208, USA) 1982, ISBN 0-930878-26-4, strony 16-18. Oto jej streszczenie.

"Samotny młody drwal dowiedział się o odosobnionym jeziorze w górach gdzie kąpały się niebiańskie panienki. Ponieważ był on zbyt ubogi aby nabyć sobie ziemską żonę, postanowił podstępem zdobyć właśnie jedną z owych niebiańskich piękności. Ukrył się więc w chaszczach, zaś gdy niebiańskie panny zleciały na ziemię aby zażyć kąpieli, ukraść i ukrył strój najpiękniejszej z nich. Gdy więc nadszedł czas odlotu, biedna piękność nie miała jak powrócić do nieba. Drwal wyszedł więc z chaszczy i wyperswadował bezbronnej panience aby została jego żoną. Nie mając innego wyboru, dziewczyna musiała się zgodzić. Przez kilka następnych lat posłusznie więc gotowała mu ryż, zamiatała jego chatkę, cerowała jego ubrania i rodziła mu dzieci. Przez cały czas bardzo jednak tęskniła do swojego niebiańskiego domu i rodziny. Gdy więc po urodzeniu drwalowi trzeciego dziecka kolejny raz poprosiła aby oddał jej cudowny strój, drwal sądząc iż jest już szczęśliwa jako jego żona, nieopatrznie uległ jej namowom. Piękność szybko włożyła strój na siebie. Natychmiast nad ich chatką pojawiła się czarna wirująca chmura. Wtedy niebiańska kobieta wzięła jedno dziecko do jednej ręki, drugie dziecko do drugiej ręki, zaś trzecie dziecko pomiędzy swe nogi, pomachała mężowi na pożegnanie i zniknęła na zawsze w tej chmurze."

Podobne legendy można znaleźć w mitologii wielu narodów. Aby podać tu ich przykład ze zupełnie innej części świata, w książce [4K4] pióra Edith Fowke, "Tales told in Canada", Doubleday Canada Ltd., Toronto 1986, ISBN 0-385-25041-X, strony 102 - 104, przytoczona jest legenda pochodząca z Wysp Szetlandzkich. Jej tytuł "The Seal-Woman" (t.j. "Kobieta-Foka"). Opowiada ona o samotnym rybaku który miał szczęście natrafienia na plażę gdzie jakieś nadprzyrodzone foki pozdejmowały swoje futra po czym już w ludzkiej postaci odbywały one taniec. Oczywiście tłumacząc powyższe na współczesny język, prawdopodobnie zobaczył on plażę gdzie grupa UFOnautów ubranych w kombinezony podobne do futra fok (np. patrz ubiór UFOnauty zaobserwowanego w locie przez Wojciecha Godziszewskiego z Dobrej Szczecińskiej opisany w podrozdziale K2) rozebrała się dla zażycia kąpieli po czym dla relaksu grała sobie np. w jakiś ichni odpowiednik naszych gier plażowych (przez obserwatora z innej epoki niektóre z naszych obecnych gier plażowych również prawdopodobnie odebrane byłyby jako niezwykle taniec rytualny). Sprytny rybak

szybko dopatrył się iż jedna z nich była piękną kobietą. Ponieważ właśnie rozglądał się za żoną, natychmiast zdecydował więc aby ukryć jej foczy kombinezon. Gdy nadszedł czas powrotu, biedna foka nie znalazła swego futra. Rybak więc bez większych trudności zdołał jej wyperswadować aby została jego żoną. Nie mając innego wyjścia, focza piękność oczywiście się zgodziła. Po urodzeniu mu kilku dzieci, poprosiła o zwrot swego kombinezonu. Rybak myśląc iż przywykła już do bycia jego żoną nieopatrznie oddał jej futro. Wtedy ona szybko założyła je na siebie, nakazała aby dobrze opiekował się ich dziećmi, poczym zniknęła na zawsze.

Szkocka rodzina MacCodrum'ów twierdzi iż wywodzi się właśnie od takiej nadprzyrodzonej kobiety. Ich rodzinny mit opisany jest pod tytułem "MacCodrum of the Seals" na stronach 1 do 7 książki [5K4] pióra Barbary Ker Wilson, "Scottish Folk-Tales and Legends", Oxford University Press, London 1969. Oto jego streszczenie. "Kilka pokoleń temu ich przodek, Roderic MacCodrum, żyjący samotnie na Wyspie Bernerary (Outer Hebrides) przy wybrzeżach Szkocji, zobaczył kiedyś 'dzieci władcy mórz' jak uprawiały sport w słońcu na osłoniętej plaży. Bardzo spodobały mu się ich kombinezony z niezwykle pięknego jedwabistego materiału rozłożone na pobliskich kamieniach. Wziął więc sobie jeden na pamiątkę i ukrył go we wnęce ponad drzwiami swej chatki. Wieczorem gdy zrobiło się zimno, do jego chatki zapukała naga dziewczyna o niezwykle urodzie. Poprosiła aby zezwolił jej się schronić przez noc bo zgubiła gdzieś swoje ubranie. Aczkolwiek rybak natychmiast skojarzył piękność z ukrytym nad drzwiami jedwabistym kombinezonem, nie mógł się oprzeć przyjemności nieujawniania przez jakiś czas iż to on posiada jej ubranie. Spędził więc całą noc pocieszając ją w biedzie i ani się oglądając gdy została jego żoną. Urodziła mu wiele dzieci, ale bezustannie tęskniła za swoją rodziną. Gdy pewnego razu rybak był w morzu, wiatr wyrwał drzwi i odstąpił jej kombinezon. Piękność przykazała dzieciom aby pożegnały od niej tatusia i zniknęła na zawsze. Zaś jej potomkowie wywodzili potem swe pochodzenie od córki władcy mórz."

Bardzo realistyczna, a w niektórych miejscach nawet zabawna, legenda istnieje w folklorze Północnego Laosu. Jest ona opublikowana pod tytułem "The Bird Maiden" (co luźno można tłumaczyć jako "Dziewica ptak") w książce [6K4] pióra Kristina Lindell, "Folk Tales from Kammu", Craftsman Press, Bangkok, 1980, ISBN 0-7007-0131-1, strony 43 do 49. Opowiada ona o niewielkim, ale za to kochliwym i ambitnym zawalidrodze z Laosu, który polując na ptaki dostrzegł iż w jednym z jezior górskich kąpią się piękne boginie przylatujące z nieba. Zapragnął więc spróbować miłości jednej z nich. Ponieważ słyszał o ich nienaturalnych mocach, do swego czynu przygotował się niezwykle starannie gotując sobie specjalny magiczny posiłek i zapoznając się z lokalnymi rytuałami dodającymi mu sił magicznych. Swoje działanie rozpoczął od zarekwirowania skrzydeł jakie boginka z nieba odpięła przed kąpielą. Po zakończeniu kąpieli, gdy boginka starała się odzyskać swe skrzydła, spróbował ją zniewolić. Niestety, widać wysportowana i dobrze odkarmiona boginka miała przewagę fizyczną nad swym maleńkim zniewolicielem żyjącym wyłącznie na ryżu. Zmagania bowiem trwały prawie przez całą noc. W tym czasie bohater kilka razy przerywał aby zażyć swego magicznego posiłku i odprawić rytuał dodający mu sił magicznych. Jego zachowanie tak widać ubawiło boginkę, że nad ranem, prawdopodobnie bardziej ze śmiechu niż z braku sił, boginka uległa. Potem, zamiast jak to czynili inni ziemianie, zaproponować jej małżeństwo i postawić ją na piedestał, jej partner po prostu oddał jej skrzydła i próbował odesłać ją do nieba. Boginka jednak prawdopodobnie zdawała sobie sprawę, że jej chwila słabości wyniknie w ciąży, bo nie dała się tak szybko pozbyć i ochotniczyła aby zostać jego żoną. Chłopak miał już jednak jedną żonę, aby więc uniknąć rywalizacji pomiędzy obu kobietami, zakwaterował ją w domu swego wujka. Przed upływem roku boginka urodziła mu dziecko. Cały czas miała ona swoje skrzydła i w czasie ciąży regularnie przywdziewała je aby odbywać swoje loty {prawdopodobnie dla poddania się w niebie regularnym przeglądowi medycznemu i zażycia uzupełnień witaminowych}. Zawsze jednak wracała na ziemię. Wujenka bohatera obserwując jej loty też uszyła sobie identyczne skrzydła, tyle tylko że z ziemskich materiałów. Gdy wyskoczyła potem z okna na piętrze aby spróbować ich działania biedna o mało co się przy tym nie zabiła. W okolicy wszyscy wyśmiewali się jednak że chociaż to boginka i może latać, na Ziemi została tylko

drugorzędną żoną. Zaraz po urodzeniu dziecka boginka miała więc już tak dosyć tych kpin, że odleciała do nieba na zawsze. W jakiś czas potem mąż z dzieckiem poleciał do niej na krótkie odwiedziny. Po powrocie stwierdził ze zdumieniem iż jego chatka cała obrosła zaroślami bowiem na Ziemi w międzyczasie upłynęło wiele lat chociaż w jego odczuciu ich nieobecność trwała jedynie krótką chwilę.

Inna podobnie realistyczna legenda nosząca tytuł "The man who married a girl from heaven" (t.j. "Mężczyzna który ożenił się z dziewczyną z nieba") zawarta jest w książce [7K4] pióra Albert'a Koutsoukis, "Indonesian Folk Tales", Rigby Limited, Djakarta 1970, SBN 85179-001-1, strony 40-44. Młody mężczyzna z Indonezji zobaczył w nocy grupę siedmiu ptaków przylatujących nad brzeg jeziora. Gdy się zbliżyły ze zdumieniem dostrzegł że są to piękne latające kobiety. Gdy się rozebrały zabrał i schował ubranie jednej z nich. Po kąpieli wybrana przez niego piękność bez swego ubrania nie mogła odlecieć. Zaproponował więc jej spędzenie nocy w swej chatce. Tam zdołał ją przekonać aby została jego żoną. Przed upływem roku urodziła mu chłopca. Była z niej jednak niezwykle kiepska kucharka i gdy kolejny raz przypaliła mu obiad zdenerwował się, oddał jej magiczne ubranie i odesłał ją z powrotem do nieba.

W legendach przedstawionych powyżej autor skoncentrował swą uwagę na kombinezonie (ubiorze) jako źródle nadprzyrodzonych zdolności transportowych (np. zdolności do latania w powietrzu) u mitologicznych istot. Powodem tego skupienia uwagi tylko na jednym rodzaju ekwipunku była opisana na początku technika testowania prawdy dla tezy zaproponowanej w tym podrozdziale (oparta na "rozstrzygającym materiale dowodowym"). Niemniej jeśli uważnie przestudiować legendy różnych narodów, istoty nadprzyrodzone z mitologii ludowej zawsze uzyskiwały wszystkie swe magiczne moce z posiadanego przez siebie ekwipunku. Gdy tylko traciły one dany ekwipunek, również zanikała u nich wynikająca z niego "magiczna" moc. Powyższe upoważnia więc do wyciągnięcia wniosku że nadprzyrodzoność istot z ludowej mitologii posiadała swe źródło w zaawansowanej technologii jakie miały one do swojej dyspozycji, nie zaś z pochodzenia czy samej natury tych istot.

Również w Polsce znane są różne legendy o niezwykłych istotach których nadprzyrodzoność brała się jedynie z posiadanych przez nie urządzeń technicznych. Aczkolwiek w tej chwili, z powodu braku dostępu do naszych bibliotek, autor nie jest w stanie przytoczyć odpowiednich powołań literaturowych (być może ktoś z czytelników mógłby pomóc w tym zakresie) z czasów swego dzieciństwa ciągle pamięta on esencję starych ludowych opowiadań o dobrych wrózkach. Jeśli przeanalizować pochodzenie ich nadprzyrodzonych możliwości, nie wynikało ono wcale z faktu iż wróżki te przynależały do nadprzyrodzonego bytu, a ze zwykłego faktu posiadania przez nie specjalnej "rózdzki" o magicznych mocach spełniającej każde ich życzenie (t.j. najprawdopodobniej komory oscylacyjnej w kształcie długiego pręta wytwarzającej efekt telekinetyczny czy nawet zmiany w upływie czasu).

Jeśli się dobrze zastanowić, niezwykłym jest już fakt że istoty nadprzyrodzone z legend ludowych posiadają płeć i organy seksualne, zaś ich związki z ludźmi odmiennej płci prowadzą do rodzenia się dzieci. Zdumiewające też iż ową cechę rozmnażania się na ludzki sposób wykazują nawet diabły z ludowych legend (np. patrz legenda "The Girl who Married the Devil" - t.j. "Dziewczyna która wyszła za diabła", z książki [8K4] pióra Kurt'a Ranke, "Folktales of Germany", Routledge & Kegan Paul, Chicago 1966, strony 42-44). Jeszcze bardziej jednak zaskakuje iż przez zabranie ekwipunku tych istot można je pozbawić nadprzyrodzonych atrybutów. Aby uzmysłwić jak bardzo ten koncept "technologicznej nadprzyrodzoności" koliduje z całą ideą istot nadprzyrodzonych, zastanówmy się przez chwilę jaka byłaby nasza reakcja gdyby ktoś próbował nas przekonać iż przykładowo poprzez odebranie Bogu jego berła człowiek nagle mógłby nabrać boskich mocy, podczas gdy sam Bóg pozbawiony tego berła stałby się równie bezmocny jak zwykły śmiertelnik.

Istnienie legend powyższego typu ujawnia zdumiewającą sprzeczność w idei istot nadprzyrodzonych. Zgodnie z nią takie istoty opisywane ludowym folklorem wcale nie posiadają nadprzyrodzonej natury, a jedynie uzyskują swe niezwykle atrybuty z

posiadanego przez siebie ekwipunku (zwykle kombinezonu). Jeśli zaś pozbawione w jakiś sposób tego kombinezonu/ekwipunku, nagle stają się bezbronne i łatwe do obozwładnienia, posiadnięcia, czy nawet zmuszenia do rodzenia dzieci swoim ziemskim uprowadzicielom. Ponieważ sprzeczność taka nie posiada ani oparcia (źródła) ani też wytłumaczenia na bazie ogólnie zaakceptowanego konceptu istot nadprzyrodzonych, jednocześnie zaś jest ona całkowicie zgodna z teoriami zaprezentowanymi w niniejszej monografii, powyższe stanowi rozstrzygający argument udowadniający prawdę tezy tego podrozdziału iż różne nadprzyrodzone istoty opisywane w mitologii ludowej są po prostu czasowo odległymi obserwacjami UFOautów używających napęd osobisty.

Obserwacje UFO drugiej i trzeciej generacji

Materiał dowodowy potwierdzający iż nasza planeta odwiedzana jest także przez wehikuly UFO należące do drugiej i trzeciej generacji, daje się poklasyfikować do trzech następujących kategorii:

1. Obserwacje komór oscylacyjnych w kształcie ośmiobocznym (lub szesnastobocznym). Ogromne technologiczne trudności czekające na pokonanie przy wykonywaniu takich komór uzasadniają ich użycie jedynie jako napędu do wysokozaawansowanych wehikułów drugiej (lub trzeciej) generacji.

2. Obserwacje wehikułów UFO i napędu osobistego UFOonautów, jakich możliwości pokrywają się z przewidywanymi atrybutami operacyjnymi wehikułów teleportacyjnych.

3. Obserwacje zjawisk indukowanych w obecności UFO lub UFOonautów jakie pokrywają się ze zjawiskami przewidywanymi do wystąpienia podczas działania wehikułów czasu.

Przykład obserwacji należącej do pierwszej kategorii podano już w podrozdziale I1.4. W niniejszym rozdziale omówiony więc zostanie tylko materiał dowodowy należący do dwóch pozostałych kategorii.

Istnieje też znaczna liczba już dokonanych obserwacji, które opisują szczegółowo "beaming" ludzi na pokład UFO. Jednym z efektów tego "beaming" jest, że osoby poddane temu procesowi przeżywają znaczną utratę ciepła, manifestującą się przez poczucie zimna, szczykanie zębów, mrówki w ciele, itp. (patrz załącznik Z). Stąd zjawisko wykorzystane przez UFOonautów dla dokonania owego "beaming" zgadza się z własnościami promienia podnoszącego omówionego w podrozdziale G1. Z drugiej strony, wszelkie inne efekty towarzyszące takiemu przenoszeniu na pokład UFO, np. wydzielanie silnego "światła pochłaniania", "przeżycia paranormalne", przenikanie poprzez objekty stałe, itp.; dokładnie odpowiadają użyciu zaawansowanych systemów napędowych bazujących na technicznej wersji efektu telekinetycznego. Powyższe potwierdza, że urządzenia transportowe wykorzystujące promień podnoszący również są już obecnie użytkowane przez niektóre zaawansowane cywilizacje kosmiczne.

L1. Obserwacje działania napędu teleportacyjnego

Teoria autora o nazwie "Koncept Dipolarnej Grawitacji" (patrz monografia [6]) wskazuje dokładnie jakie są dwa najistotniejsze atrybuty napędu wykorzystującego efekt telekinetyczny. Atrybuty te mogą więc zostać wykorzystane do bezpośredniej identyfikacji wehikułów teleportacyjnych i ich odróżnienia od wszystkich innych rodzajów napędu UFO, szczególnie zaś od napędu magnetycznego pierwszej generacji. Są to:

1. Jarzenie pochłaniania. Powoduje ono iż powierzchnia wehikułów teleportacyjnych oraz powierzchnia ubrań istot wykorzystujących telekinetyczny napęd osobisty musi być pokryta cieniutką warstewką wydzielającą białe, nieziemskie, jakby jarzeniowe światło, nazywane przez autora "jarzeniem pochłaniania". Jarzenie to, kiedyś uważane za znak "nadprzyrodzoności", nadaje wszystkim użytkownikom działającego napędu telekinetycznego wygląd jakby zostali oni "naoliwieni światłem".

2. Przenikanie przez przedmioty stałe bez powodowania jakiegokolwiek uszkodzenia zarówno u tych przedmiotów jak i u przenikającego je wehikułu lub napędu teleportacyjnego.

Należałoby tu dodać, że istnieją też różnorodne atrybuty napędu telekinetycznego jakie umożliwiają pośrednią identyfikację faktu jego użycia. Aby podać tu przykład jednego z takich atrybutów, to należy do niego wysoka aktywność biologiczna efektu

telekinetycznego jaka powoduje różnorodne następstwa długoterminowe, np. eksplozyjne zwiększenie szybkości wzrostu u roślin, pojawianie się zdolności paranormalnych u ludzi, itp. Ujawnianie się tych zjawisk po uprzednio zaobserwowanym zbliżeniu się UFO dokumentowane jest obszernym materiałem obserwacyjnym, jednakże z uwagi na jego pośrednie znaczenie dowodowe, omówienie tego materiału zostanie pominięte w niniejszej monografii.

Istnieje znaczna liczba obserwacji UFO i UFOonautów w których potwierdzone zostało wystąpienie wymienionych powyżej dwóch najważniejszych atrybutów identyfikujących wehikuly teleportacyjne. Dokonajmy teraz krótkiego przeglądu kilku ich przykładów.

Obecność jarzenia pochłaniania jakie "naoliwia" powierzchnię UFO cieniutką warstewką białego światła typu jarzeniowego jest jednym z najczęściej odnotowanych atrybutów teleportacyjnych UFO. Istnieją nawet fotografie tych wehikulów na których ów szczególny rodzaj świecenia został utrwalony - patrz przykład pokazany na rysunku I1 (e).

Teleportacyjny napęd osobisty emitujący jarzenie pochłaniania został również zaobserwowany wielokrotnie. Poniżej przytoczony będzie opis naoczego świadka, jaki nie tylko że zawiera ten szczegół identyfikacyjny, ale także i drugi z unikalnych atrybutów napędu teleportacyjnego - t.j. przenikanie przez obiekty stałe. Opisanej tu obserwacji dokonała Jock Laing (7 Smith St., Roxburgh, Central Otago, New Zealand). Zaprezentowany incydent zdarzył się jednego weekendu, w grudniu 1958 roku, gdy obserwująca go dziewczynka miała około 9 lat (zadziwiające jak wiele cennych obserwacji UFO dokonywanych jest przez dziewięcio-latków).

"Leżałam na łóżku w swoim pokoju i czytałam książkę. Łóżko było ciężkiej konstrukcji, wykonane z mosiądzu, z trzema grubymi poziomymi sztabami mosiężnymi w jego nogach. Poza nogami łóżka znajdowało się okno, zamknięte tego dnia, przez które widać było gałęzie ogromnej jabłoni. Z jakiegoś powodu podniosłam swoje oczy znad książki i ujrzałam trzy małe istoty wysokie na około 85 cm, ubrane w błyszczące kombinezony promieniujące białym światłem. Wisiały one nieruchomo w powietrzu w nogach mojego łóżka, dokładnie w miejscu gdzie przebiegały trzy poziome sztaby mosiężne. Ze zdziwieniem odnotowałam iż metal tych sztab penetruje przez ich ciała. Zarysy istot także były niezwykle. Całą bowiem powierzchnia ich ciał i ubrania pokryta była cieniutką warstewką białego światła. Światło to czyniło ich zarysy nieco rozmazane. Istoty nie były straszne. Czułam emanujące od nich uczucie spokoju i przyjaźni. Komunikowali się ze mną bez dźwięku - poprzez przekazanie słów i myśli bezpośrednio do mojej głowy. Kiedy zakończyli swoją bezgłośną rozmowę, odpłynęli raptownie, cały czas zwróceniu twarzami w moją stronę. Przyspieszali przy tym do tyłu, w prostej linii, przenikając przez szyby zamkniętego okna oraz przez grube gałęzie jabłoni rosnącej za oknem. Po ich odlocie i zniknięciu z mojego widoku, przystąpiłam do oglądnięcia zniszczeń. Jednakże mosiądz mojego łóżka nie wykazywał nawet najmniejszych śladów uszkodzeń czy zmian. Także szkło w oknie pozostawało nienaruszone. Kiedy opowiedziałam zdarzenie mojej rodzinie, zaczęli śmiać się ze mnie. Uważali iż jestem już zbyt duża aby ciągle widywać krasnoludki (fairies). Zaś o UFOonautach nikt jeszcze nie słyszał w tamtych czasach."

Powyższy opis prezentuje jeden z lepszych przypadków obserwacji UFOonautów w której wystąpienie aż obu atrybutów telekinetycznego napędu osobistego zostało odnotowane. Zauważone więc zostało zarówno jarzenie pochłaniania na powierzchni ubrań i ciał UFOonautów, jak i zdolność napędu tych istot do powodowania ich przenikania przez przedmioty z materii stałej (w tym przypadku mosiężnych sztab, okien ze szybami, oraz gałęzi jabłoni).

W tym miejscu prawdopodobnie warto wzmiankować iż w 1987 roku autor dokonywał badań lądowisk UFO w okolicach Roxburgh. Kilka przedmiotów jego badań pokazanych zostało w monografii [5]. Na zboczach grzbietu górskiego jaki przebiega poza ogrodem ówczesnego domu Miss Laing, autor znalazł wiele (nie zaś tylko jedno) starych lądowisk UFO typu K4, jakich podwyższona aktywność biologiczna sugerowała iż pochodziły one od wehikulów teleportacyjnych. Szacując ich wiek, autor doszedł do wniosku iż lądowiska te mogły zostać wypalone właśnie w 1958 roku.

Bardzo podobne atrybuty napędu osobistego UFOonautów zostały też ujawnione w polskim przypadku obserwacji takiego napędu znanym autorowi. W nocy 29 maja 1983 roku, około 1:30 nad ranem, Witold Rusek (ul. Wiktorska, Warszawa) uprowadzony został przez dwóch UFOonautów na pokład sferycznego kompleksu UFO (podobnego do kompleksu pokazanego na rysunku H2 "a"). Poddany on tam został badaniom medycznym. Oto wyjątki z jego pisanego raportu relacjonującego przebieg wydarzeń (tłumaczone z języka angielskiego):

"... stałem niedaleko okna mojego mieszkania i obserwowałem tę ogromną kulę, z dwoma czarnymi poziomymi kołnierzami obiegającymi ją w środku wysokości, jaka falowała z lekka zawisając nad ziemią i emanując brązowo-czerwony kolor. ... Nagle ze ściany koło mojego okna wyszły dwie istoty około 2-metrowego wzrostu, ubrane w białe jarzące się kombinezony. ... Złapały mnie za przeguby ręki i zaczęły ciągnąć do ściany. Przeraziło mnie to ponieważ bałem się utknąć w ścianie. Kiedy jednak o tym pomyślałem, przybysze wystali mi, prawdopodobnie telepatyczne, uczucie ubawienia jakie usunęło moje opory. ... Wewnątrz statku było kwadratowe pomieszczenie, sufit którego na jednej stronie zakrzywił się w ścianę. ... Z jednej ze ścian wystawało coś co wyglądało mi na kwadratowe okno. Próbowałem przez nie wyjrzeć ale nie mogłem niczego zobaczyć. ...". (W oryginale: "... I stayed near the window in my room and observed this huge sphere, with two black horizontal flanges fastened round the middle of it, which gently hovered above the ground, emanating a brown-red color. ... Rapidly from the wall near my window emerged two beings about 2 metres high, dressed in white glowing garments. ... They grabbed my wrists and began to pull me in the direction of the wall. It terrified me because I could become stuck inside the wall. But when I thought this, they sent back to me, probably telepathically, the feeling of their amusement and this relaxed my resistance. ... Inside the spaceship there was a square room, the ceiling of which curved on one side into a wall. ... On one of the walls protruded something that appeared to me to be like a square window. I tried to look through it but I could not see anything. ...".)

Ostatnie dwa zdania tego raportu dotyczą obserwacji komory oscylacyjnej. Szkoda iż wzrok tego świadka był nastawiony na dalekie oglądanie, bowiem gdyby nastawił się on emocjonalnie iż owo kwadratowe urządzenie nie jest oknem, wtedy być może mielibyśmy także polską obserwację ośmiobocznej (a może nawet szesnastobocznej) komory oscylacyjnej.

Istnieją również sprawozdania z odwrotnych sytuacji, t.j. kiedy UFOnauci pozostają bez ruchu, zaś obiekty materialne (np. ludzie) przemieszczają się przez nich. Wysoce ewidencyjna obserwacja, jaka jasno potwierdza taką zdolność napędu telekinetycznego UFOonautów, została dokonana w Starr Hill, Warminster, Anglia i opisana w książce [1K1] strona 132. W owym incydencie udział brała cała grupa ośmiu obserwatorów. Grupa ta włączała Sally Pike, która opisała całe wydarzenie, oraz jej męża Neil. Widzowie zaobserwowali dwa wysoko lecące UFO. Jednocześnie poczuli oni jak powietrze stało się cieplejsze (porównaj oddawanie energii cieplnej podczas hamowania telekinetycznego jako przeciwieństwo do pochłaniania tej energii podczas przyspieszania telekinetycznego - podrozdział G1). Potem pojawiło się dwóch UFOonautów. Byli około 2 metrowego wzrostu i wyglądali jakby wykonani byli z mgły. Obserwująca grupa mogła widzieć ich zarysy do pasa, poniżej którego stopniowo stawali się oni niewidzialni. Kiedy Neil próbował do nich podejść, w pewnym momencie wyglądał jakby zlewał się z nimi w jedną całość. Kiedy bowiem podszedł do nich bliżej, dla niego przestali oni być widoczni. Jednakże grupa obserwujących go osób widziała iż maszeruje on dokładnie przez te figury i na ich drugą stronę. UFOnauci pozostawali w tym samym miejscu przez około pół godziny, po czym zniknęli.

L2. Obserwacje potwierdzające istnienie wehikułów czasu

Różnorodne obserwacje dostarczyły także znacznego materiału dowodowego jaki potwierdza iż niektóre UFO posiadają i wykazują możliwość operowania jako wehikuły czasu. Materiał ten może zostać podzielony na następujące klasy:

1. Stwierdzenia samych UFOonautów. Wielu uprowadzonych na pokład UFO twierdzi iż UFOnauci opowiadają o zdolnościach ich wehikułów do podróżowania w czasie, a niekiedy nawet wyjaśniają na jakiej zasadzie podróżowanie to się odbywa.

2. Udokumentowane przypadki przyspieszania lub opóźniania czasu na zegarkach osób jakie uczestniczyły w bliskich spotkaniach z UFO lub UFOonautami (t.j. zegarki te pokazują czas jaki został znacznie przyspieszony lub opóźniony w stosunku do czasu pokazywanego przez inne zegary).

3. Przypadki uprowadzeń jakie należą do kategorii "podróży w jedną stronę" i stąd nie posiadają swego czasu trwania - patrz opis ich teorii w podrozdziale G3 (t.j. jakie zajęły nieporównanie mniej czasu niż suma czasów trwania indywidualnych działań dokonywanych podczas tych uprowadzeń).

4. Odnotowywanie przypadków zaobserwowania "efektu zdublowania czasu" opisanego w podrozdziale G3.

5. Opisy zaobserwowania "stanu zawieszonoego filmu" jaki opisany został w podrozdziale G3 (stan ten może zostać wywołany jedynie w efekcie pobliskiego działania wehikułu czasu).

Poniżej dokonano przeglądu przykładów najbardziej reprezentacyjnego materiału dowodowego należącego do każdej z tych klas.

Ad. 1. Przykład oświadczenia UFOauty stwierdzającego zdolność ich wehikułów do podróżowania w czasie powtórzony został przez mieszkankę Nowej Zelandii, nazywaną tu "Miss Nosbocaj", która w grudniu 1980 roku uprowadzona była na pokład UFO gdzie dokonano na niej bliżej niezdefiniowanych eksperymentów genetycznych (przypadek ten był także omawiany w podrozdziale I1.4). Cytowane poniżej fragmenty jej raportu udzielonego pod hipnozą ograniczają się jedynie do stwierdzeń które dotyczą podróży w czasie (patrz też ustępy N-126 do N-132, N-140 i N-162 ze załącznika Z z kompletną treścią tego raportu). Uprowadzona określa swojego UFOautę przy pomocy zwrotu "ON".

"ON opowiedział mi także o czasie, że czas faktycznie nie płynie a to my poruszamy się przez niego, tak że MY możemy się spotkać raz w życiu lub zejść razem raz w życiu, a potem możemy powtórzyć to spotkanie wiele razy. Stąd ON może faktycznie spotkać mnie także i w przyszłości jeśli zechce, tak iż czasami mam wrażenie że właśnie byłam w nocy aby z NIM się ponownie spotkać czy coś w tym rodzaju chociaż faktycznie wystarczy abym spotkała GO tylko raz i abyśmy zeszli się razem tylko jednorazowo w tym punkcie czasowym, jednak, jednak ponieważ czas nie płynie ON może, ON może; oh jak ja powinnam to wyjaśnić. Ale te punkty czasowe naszego spotkania istnieją dla NIEGO w przestrzeni czasowej tak aby mógł tam czekać ponownie gdy ja przez nie przechodzę, stąd to jest przyczyną dla której czasami mam wrażenie iż ON spotkał się tam ze mną ponownie. ... ON opowiedział mi tak wiele na temat, czy przekazał mi sposób w jaki działa czas i przestrzeń i inne rzeczy ale ja, mi po prostu brakuje teraz słów. ... ale ICH nawigacja jest taka, jest tak odmienna ponieważ ONI faktycznie, ONI przemieszczają się we więcej niż trzech wymiarach, to jest w pięciu, sześciu, siedmiu, to jest ponieważ ONI przenikają przez przestrzeń i przez czas, przez nieciągłości przestrzeni tam i z powrotem ...". (W oryginale: "He told me about time too, that time - actually doesn't move but we move over time, so that he can actually meet me once - or come together once, but we can meet many times. So he can actually meet me in the future as well, so sometimes when I get the feeling that I've been to see him at night or something I only have met him once but, and we come together once at that point or that's, but, but you see because time doesn't move he can, he can, oh how can I explain this. But those points are there for him to be at when I pass through them, and that's why I sometimes get the impression that he's there again. ... He told me so much about, or showed me the way time works and space and things but I, I just haven't got the words. ... He showed me but he, their navigating is so, is so different because they actually, they're operating more on, on more than three dimensional, it's five,

six, seven, it's, it's because they're going through space and through time, and through holes and up ...".)

Ad. 2. Przypadek przyspieszenia czasu pokazywanego przez zegarek po bliskim spotkaniu z UFO jest dobrze uwidoczniiony w tzw. "uprowadzeniu z Kentucky" ("Kentucky abduction") jakie miało miejsce dnia 31 stycznia 1976 roku. Uprowadzenie to dotyczyło trzech kobiet: Louise Smith, Mona Stafford i Elaine Thomas. Poniżej zacytowane jest jedno zdanie z raportu jaki opisuje ów przypadek (patrz [1L2], strona 193):

"Przed umyciem swych rąk Loise zdjęła swój zegarek i została zaskoczona iż jego wskazówki poruszały się w sposób przyspieszony, minutowa wskazówka przemieszczając się ze szybkością sekundowej, podczas gdy godzinowa poruszała się w sposób wyraźnie zauważalny." (W oryginale: "Prior to washing her hands, Louise had taken off her watch and was startled to see that the hands of her watch were moving at an accelerated rate of speed, the minute hand moving at the speed of a second hand, and the hour hand was moving also.").

Ad. 3. Przykładem uprowadzenia jakie nie posiadało swego czasu trwania jest przypadek Carl'a Higdon jaki nastąpił dnia 25 października 1974 roku. Przypadek ten opisany został w książce [1L2] Ronald'a D. Story (editor): "The Encyclopedia of UFOs". New English Library, London 1980, ISBN 0-450-04118-2, strona 171; oraz w książce [5I1.1], strona 16. Streszczenie przebiegu zdarzeń podczas uprowadzenia Higdon'a jest jak następuje (porównaj przytoczony tu opis z rysunkiem K4):

Około 4:15 po południu rozpoczął on swe polowanie na jelenie na północnym skraju puszczy zwanej Medicine Bow National Forest, na południe od Rawlings w Wyoming, USA. "Przeszedłem przez to wzgórze i zobaczyłem pięć jeleni. Podniosłem sztucer i wypaliłem, jednakże pocisk przeleciał jedynie około pięćdziesiąt stóp i opadł w dół." Kiedy podnosił swój pocisk zauważył on mężczyznę stojącego w pobliżu. Jego wygląd zilustrowano na rysunku K4. Nazywał on siebie "Ausso". Ausso dał Higdon'owi tabletkę o której powiedział że zaspokoi jego głód na cztery dni. Potem zabrał go do przeźroczystego sześcianu "cubicle" (t.j. UFO czteropędnikowego - patrz rysunek J2). Wewnątrz wehikułu czekała inna podobna istota. Gdy wystartowali, Higdon ujrzał podobny do piłki obiekt szybko zapadający się w dół pod przeźroczystą podłogą ich sześcianu, jaki uznał on za Ziemię. Ausso powiedział że podróżowali 163,000 "mil świetlnych". Wylądowali koło dziwnej wieży z jasnym, oślepiającym światłem na szczycie. Wokoło było pięć istot podobnych do ludzi. Ausso zabrał go do tej wieży i poddał zabiegowi przypominającemu nasze prześwietlenie Roentgenowskie. Potem zawyrokował iż Higdon nie jest tym czego oni potrzebowali i że zabiorą go z powrotem. Znowu posadzili Higdon'a w siedzeniu sześcianu i Ausso przestawił jakąś dźwignię sterującą. Natychmiast, bez żadnego zauważalnego podróżowania, Higdon znalazł się w dokładnie tym samym miejscu gdzie podnosił on swój pocisk, przed tym zanim nastąpiły jego niezwykle przygody. Czas zdawał się przesunąć do tyłu do początku jego spotkania. W owym momencie Higdon stał się tak skołowany iż zatracił poczucie kim jest oraz gdzie się aktualnie znajduje. Zaczął błądzić wokoło, przechodząc jakąś milę poza swoją ciężarówkę. Jego błądzenie oszacowano na zajmujące conajmniej około 2 godzin. Potem powrócił do ciężarówki i około 6:30 po południu zaczął wzywać pomocy przez swoją CB radiostację. Zabrano go do szpitala gdzie nie miał apetytu przez następne 3 dni. Wykazywał też symptomy jakby wystawienia na jakiś rodzaj promieniowania.

Według naszych pomiarów czasu, całe uprowadzenie Higdon'a nie mogło zająć więcej niż około 2 godzin, ponieważ zaczął on swe polowanie o 4:15 po południu, zaś wezwał pomocy o 6:30 tego popołudnia. Jeśli jednak odjąć czas odszukania jeleni i końcowego błądzenia po lesie, całe uprowadzenie praktycznie skończyło się wcześniej niż się rozpoczęło - nie posiadało ono więc swego czasu trwania. Niemniej podczas owego uprowadzenia bez czasu trwania, Higdon odwiedził planetę swoich uprowadzicieli, został przebadany medycznie i powrócił z powrotem na Ziemię. Nawet więc gdyby szybkość wehikułu przybyszy była setki razy wyższa od szybkości światła, osiągnięcie planety z odległej gwiazdy i przejście badań lekarskich w tak krótkim czasie nie byłoby możliwe. Z drugiej zaś strony, wszystkie inne elementy opowiadania Higdon'a, włączając w to napęd osobisty Ausso - patrz rysunek K4, zostały potwierdzone przez materiał dokumentacyjny.

Nie ma więc uzasadnienia aby nie przyjmować także jego raportu o wizytowaniu odległej planety za poprawny. Niemniej aby to było możliwe, koniecznym jest jakiś rodzaj podróżowania w czasie (w tym przypadku - odwrócenie przebiegu czasu do tyłu). Stąd przypadek uprowadzenia Carl'a Higdon dostarcza kolejnego dowodu iż niektóre UFO są zdolne do podróżowania w czasie.

Warto tu dodać, że uprowadzenie nowozelandki Miss Nosbocaj, wspomiane już w Ad. 1 niniejszego podrozdziału, poprzednio omawiane w podrozdziale I1.4, oraz opisane w załączniku Z, również posiadało charakter "podróży w jedną stronę".

Ad. 4. Jeden z najciekawszych opisów wielokrotnego zaobserwowania "efektu zdublowania czasu" jaki autor napotkał w swoich dotychczasowych badaniach, dostarczył nowozelandczyk o inicjałach J.W. (zastrzegł on aby nie publikować jego pełnego nazwiska ani adresu) mieszkający samotnie w odosobnionym domku nad brzegiem morza na przedmieściu Dunedin. Trawnik rosnący naokoło jego domku bezustannie pokrywany jest dosłownie dziesiątkami aktywnych biologicznie, coraz nowszych lądowisk UFO. (Aby lądowisko było aktywne biologicznie musi ono być wykonane przez UFO trzeciej lub drugiej generacji - patrz biologiczne działanie efektu telekinetycznego podsumowane w podrozdziale G1.) Po szczegółowszych badaniach okazało się iż J.W. jest systematycznie uprowadzany na pokład UFO. Niestety jego pamięć po tych uprowadzeniach jest zawsze bardzo efektywnie "wymazywana". Niemniej ma on świadomość tego systematycznego zabierania i nawet uważa iż zna ich cel (eksperymenty genetyczne). Po każdym uprowadzeniu jest on "wstawiany" z powrotem do swego domku w pozycji stojącej, podczas gdy ciągle jeszcze znajduje się on w stanie snu hipnotycznego. Następnie wysyłany jest impuls budzący. Gdy J.W. zostaje zbudzony, niewidzialne UFO ciągle pozostaje w jego pobliżu przez kilka następnych minut, zapewne aby się upewnić iż jest on O.K. (Ów dowód troskliwości o jego zdrowie nieustannie demonstrowany przez UFO niezwykle imponuje J.W., który podczas każdej rozmowy z autorem podkreśla ten fakt dodając komentarz w rodzaju "czasami mam żal do nich że nie pytają mnie o zgodę na swoje eksperymenty, ale muszę przyznać iż wykazują niezwykłą przyzwoitość w upewnianiu się zawsze przed odlotem że wszystko ze mną jest w porządku".) Potem zaś niewidzialne UFO odlatuje. W momencie jego odlotu J.W. zawsze doświadcza "efektu zdublowania czasu". Cokolwiek by nie robił w takiej chwili, czegokolwiek by nie słuchał lub oglądał, zawsze powtórzy się to dwukrotnie, z idealną zgodnością co do najdrobniejszego szczegółu. Powtórzeniu ulega jedynie krótki odcinek czasu, około 15 sekund. Warto tu nadmienić dwie ciekawostki z badań tego przypadku. Pierwsza z nich to że J.W. posiada charakterystyczną bliznę z prawej strony swej prawej nogi (w połowie wysokości pomiędzy kolanem i kostką). Blizny takie posiada znaczna większość osób systematycznie uprowadzanych na pokład UFO (kobiety z lewej strony ich lewej nogi). Druga to że uprowadzenia te następują w tak regularnych odstępach iż J.W. zna ich następną datę i czas. Kilkakrotnie więc gdy nadchodził odpowiedni termin, autor, uzbrojony w odpowiednie wyposażenie, czekał w jego domku. UFO jednak nigdy nie dokonywało uprowadzenia aż do momentu gdy autor dawał za wygraną i definitywnie odjeżdżał.

Ad. 5. Doskonała obserwacja "stanu zawieszzonego filmu" została powtórzona autorowi przez mężczyznę używającego pseudonimu Richard Williams (na życzenie tego świadka jego prawdziwe nazwisko nie zostaje tu ujawnione) z Dunedin w Nowej Zelandii. Oto jak on sam opisał swój przypadek.

"Zdarzenie jakie mam zamiar opowiedzieć miało miejsce jednego dnia roboczego w lipcu 1975 roku (najprawdopodobniej we wtorek, 12 lipca 1975 roku), około godziny 12:50 tuż po południu. Niezależnie odemnie, współuczestniczyło w nim i zaobserwowało jego przebieg troje moich przyjaciół, t.j. Pat S., Nancy T., i Ross K. Ponieważ wszyscy oni są osobami dobrze znanymi w Dunedin, nie ujawnię tu ich pełnych nazwisk. Owego dnia czworo nas jadło razem lunch w kawiarni zwanej "Stewarts", położonej na południowej stronie Dunedin'owego Octagonu {"Octagon" jest czymś w rodzaju ośmiobocznego rynku Dunedin}. Lunch ten był jednym z wielu jakie nasza czwórka jadła razem w tej samej kawiarni, jako iż nasze codzienne tam spotkania były już długotrwałą tradycją. W owym dniu nasza konwersacja jakoś się nie kleiła, ponieważ pogoda była zimna i wilgotna, Pat

miała grypę, Nancy miała migrenę, Ross zaciął sobie czubek palca, zaś ja miałem ból głowy. Siedzieliśmy więc przy stole położonym naprzeciwko schodów i w milczeniu jedliśmy swoje lunches. Nagle czas się zatrzymał. Zawsze chałaśliwa i ruchliwa kawiarnia zajmowana przez około 80 ludzi niespodziewanie przekształciła się w absolutnie ciche miejsce gdzie wszystko zatrzymało się w ruchu. Wyglądało to dosłownie jak pojedyncza klatka z filmu nagle zatrzymanego w swoim ruchu. Ludzie stali poskręcani w dziwnych pozycjach, zamrożeni w ruchu w połowie wykonywanych przez siebie czynności. Ich ciała wyglądały komicznie zaś ich pozycje zdawały się bardzo niestateczne. Pamiętam wyraziście kłęb pary zawieszony bez ruchu w dynamicznej konfiguracji ponad ekspresem do kawy. Pamiętam także kelnerkę wyciągającą palące z gorąca ciastka z piecyka i wytrzymującą ich żar w unieruchomionych rękach. W całej kawiarni jedynie nas czworo pozostawało niezamrożonych, mając w ten sposób okazję zaobserwowania co właściwie się przydarzyło.

Na wierzchołku schodów jakie wiodły do kawiarni z poziomu ulicy, pojawił się niezwykle mężczyzna. Był on około 1.75 metra wysoki i wyglądał na około 19 lat. Był on ciemny, szczupły, z oliwkową skórą i czarnymi włosami. {Rysy jego twarzy nadawały mu wygląd bliźniaka dla łamacza łyżek Juri Gellera lub dla magika David'a Copperfield'a ze słynnej niedawno serii telewizyjnej.} Jego ubranie wyglądało normalnie, aczkolwiek wykazywało dobry gust i elegancję. Wszystko w tym mężczyźnie wyglądało uderzająco doskonale. Otoczony był on przez niezwykle białe jarzeniowe światło, szczególnie wokół swej głowy i piersi. Światło zdawało się być wydzielane nie przez niego, a przez powietrze go otaczające. Spłynął on w dół schodów bez poruszania przy tym nogami. Faktycznie szybował on w powietrzu nieco powyżej powierzchni schodów. Potem podszedł do bufetu i stanął jako pierwszy w kolejce. Zaraz po tym jak ustawił się w tej kolejce, wszystko w kawiarni przywróciło się do normalnego przebiegu. Ludzie kontynuowali swoje działania od punktu w którym zostali oni zawieszeni w ruchu. Para kontynuowała uchożenie z ekspresu zaś kelnerka szybko przemieściła gorące ciastka. Wszystko wyglądało jakby nic się nie przydarzyło. Stojąc na czele kolejki mężczyzna został zaraz obsłużony, nie zauważyłem przy tym jednak aby zapłacił on za swoje zamówienie. Wziął szklankę soku owocowego i usiadł na ostatnim wolnym krześle przy 12-osobowym stole. Potwierdził nasze zainteresowanie uśmiechem. Chcieliśmy z nim porozmawiać i dowiedzieć się więcej na temat jego niezwykłego przybycia, ale nie było dojścia do tego krzesła. Zdecydowaliśmy więc opuścić kawiarnię i czekać na niego na zewnątrz przy jedynym z niej wyjściu. Po jakichś 5 minutach czekania i nie zauważenia jego przejścia, zeszedłem z powrotem na dół i stwierdziłem iż tajemniczy mężczyzna zniknął. Nie istnieje inne wyjście z tej kawiarni. Tego dnia nasze niespodzianki nie skończyły się tylko na tym, bowiem grypa Pat i migrena Nancy gdzieś zniknęły bez śladu, ja nie miałem już więcej bólu głowy, zaś koniec palca Ross'a wyglądał jakby nigdy tam nie było żadnego nacięcia.

W nadchodzące dni rozmawialiśmy o tej przygodzie niemalże bez ustanku, spekulując kim był ów niezwykle mężczyzna i wypowiadając życzenia aby spotkać go ponownie. Około sześć tygodni później nasze życzenia zostały spełnione. Stał on znowu na wierzchołku schodów zamierzając wejść do kawiarni. Poruszył głowę w naszym kierunku w rodzaju pozdrowienia. Jego ubranie było takie same, tyle tylko iż tym razem był on otoczony przez nikłe zielone światło (nie zaś białe jak poprzednio). Kiedy się pojawił nic szczególnego się nie zdarzyło. Zeszedł w dół schodów jak czynią to normalni ludzie (jego kroki jednak wydawały się znacznie lżejsze od naszych) niezauważony przez innych gości kawiarni. Ponownie zamówił szklankę soku i ponownie siadł przy tym samym stole. Kilka razy potwierdził nasze zainteresowanie poprzez przyjacielskie spojrzenie w naszym kierunku. Tym razem zdecydowaliśmy się podejść do niego i dowiedzieć kim on właściwie jest. Chcieliśmy wstać ze swych miejsc i zbliżyć się do niego, ale żadne z nas nie mogło się poruszyć. Kiedy w końcu jakoś zdołaliśmy stanąć na nogach, jakaś siła zmusiła nas do opuszczenia kawiarni, definitywnie wbrew naszej woli. Pat desperacko próbowała zawrócić z powrotem do niego, jednakże jej wysiłki okazały się daremne. Natychmiast po wymuszonym wyjściu z kawiarni, Pat zdecydowała wejść tam ponownie. Tajemniczego mężczyzny jednak już tam nie było. Nigdy też nie spotkaliśmy go ponownie. Owo zdarzenie

głęboko wstrząsnęło naszymi losami i do dzisiaj pozostaje dla nas najdziwniejszą tajemnicą."

Powyższa tajemnica została rozwiązana 1 października 1988 roku, kiedy Richard opowiedział autorowi owe niezwykle wydarzenia. Pod wpływem impulsu chwili, autor przeczytał mu ustęp ze swojej monografii jaki zawierał angielskojęzyczny odpowiednik opisów "stanu zawieszzonego filmu" zaprezentowanego tutaj w podrozdziale G3. Przed usłyszeniem opowiadania Richard'a autor bowiem opublikował już w swoich monografiach teoretyczną możliwość zaistnienia takich zdarzeń, opierając się wyłącznie na swoich dociekaniach dotyczących wehikułów czasu a wynikających z Konceptu Dipolarnej Grawitacji. Stąd Richard był pierwszą osobą poznaną przez autora jaka faktycznie zaobserwowała taki stan bez uprzedniej znajomości teorii wyjaśniającej jego powstanie. Raport Richarda stanowi cenne potwierdzenie, iż wehikuły czasu już obecnie istnieją.

W marcu 1989 roku autor dyskutował "stan zawieszzonego filmu" z niejakim Mac X. z Waikouaiti koło Dunedin. Podczas tej dyskusji Mac przyznał się iż on także był świadkiem takiego zdarzenia. Niestety, z uwagi na różnorodne naciski ze strony swojej rodziny (głównie zaś sceptycznie nastawionej do UFO żony), odmówił on złożenia autorowi formalnego (t.j. pisemnego lub nagranego na taśmie) raportu ze swoich doświadczeń. Z tego co jednak opowiedział podczas wspomnianej dyskusji, jego obserwacja była bardzo podobna do dokonanej przez Richard'a. Nastąpiła ona około 11 przed południem, kiedyś pomiędzy czerwcem i sierpniem 1976 roku, gdy oczekując na "wywiad" przyszłego pracodawcy w sprawie złożonego przez siebie podania o pracę zdecydował uprzyjemnić czas oczekiwania wypiciem "małej czarnej". Podczas wydarzenia Mac siedział przy stole najbliższym do schodów w tej samej kawiarni "Stewarts" z Dunedin i popijał kawę (cechą więc wspólną dla obu opisanych tu przypadków nie zostania zamrożonym razem z innymi gośćmi tej kawiarni było iż obserwatorzy siedzieli przy jedynym stoliku znajdującym się nie dalej niż 4 metry od przybysza włączającego właśnie swój wehikuł czasu). Jego uwaga została zaalarmowana gdy niezwykle cisza zapanowała w całej kawiarni. Zobaczył wtedy jak wszyscy ludzie z kawiarni, za wyjątkiem siebie samego, zamrożeni zostali bez ruchu przez około 4 minuty w niezwykle niewygodnych pozycjach. Całe wydarzenie tak nim wstrząsnęło i wytrąciło z równowagi iż podczas następującego po nim wywiadu w sprawie pracy nie był w stanie wydusić ze siebie ani jednego słowa. Jego potencjalny pracodawca uznał go więc za niezbyt roztropnego kandydata i odesłał do domu z pustymi rękami. Warto tu dodać iż Richard i Mac X. nigdy nie spotkali jeden drugiego i nie byli świadomi swojej niezależnej obserwacji podobnie niezwykle zdarzeń następujących w tej samej kawiarni.

* * *

Materiał dowodowy przytoczony w niniejszym rozdziale ujawnia więc bezspornie iż niektórzy odwiedzający naszą planetę UFO-nauci już obecnie używają wehikułów teleportacyjnych i wehikułów czasu. Z kolei własności tych wehikułów dają się już przewidzieć i opisać z dużą dokładnością przez teorię autora zwaną Konceptem Dipolarnej Grawitacji.

M. Podsumowanie

W poprzednich rozdziałach tej monografii zaprezentowany został cały szereg teoretycznych dedukcji, technicznych analiz, dowodów materialnych, oraz zaobserwowanych faktów, które podpierają główną tezę niniejszej monografii stwierdzającą, że "zasada działania komory oscylacyjnej oraz magnokraftu jest porawna koncepcyjnie i realizowalna na drodze technicznej." Wspólne cechy tych prezentacji są jak następuje:

1. Ukazują one materiał dowodowy jaki zarówno przez metodologie badawcze jak i w świetle prawa uznawany jest za najbardziej obiektywny, np. obejmują one: (a) pozostałości materialne, (b) obserwowalne, powtarzalne i rejestrowalne fotograficznie zjawiska, (c) opisy i raporty naocznych świadków.

2. Pochodzą one z wielu różnych źródeł niezależnych od siebie a jednocześnie wykazujących niezwykle zgodność swojej treści.

3. Dokumentują one niezwykle szeroką gamę materiałów i faktów.

4. Reprezentują one jedynie niewielką część ogromnego materiału dowodowego którego identyfikowanie, zestawianie i opisywanie (dokumentowanie) dopiero się rozpoczęło.

5. Wszystkie one zgodnie wskazują na poprawność głównej tezy niniejszej monografii.

Analizując owe wspólne cechy, każdy naukowiec musi przyznać, że wiele powszechnie uznawanych obecnie teorii opartych jest na znacznie mniejszej liczbie danych, których zróżnicowania i jakości nie można nawet porównywać do tych zaprezentowanych w niniejszej monografii.

Kiedy szereg niezależnych faktów zestawionych razem w logiczną dedukcję prowadzi do potwierdzenia pojedynczej tezy, fakty te reprezentują formalny dowód. Ponieważ wszystkie dedukcje i fakty z tej monografii konsekwentnie potwierdzają jej główną tezę, począwszy od tego miejsca prawdę owej tezy należy uznawać za formalnie dowiedzioną.

Formalne udowodnienie koncepcyjnej poprawności i technicznej wykonalności komory oscylacyjnej oraz magnokraftu posiada szereg istotnych konsekwencji. Najważniejsze z nich są jak następuje:

- Dostarcza to motywacji do zainicjowania programu budowy komór oscylacyjnych i magnokraftów. Tak długo jak nie byliśmy pewni poprawności koncepcyjnej tych urządzeń, nasza niepewność mogła wstrzymywać nas przed zainwestowaniem swego czasu, energii i nadziei w ich zrealizowanie. Teraz jednak nic już nie powinno stać na przeszkodzie przed zakasaniem rękawów i zabraniem się do ich budowy.

- Umożliwia nam rozpoznanie gdy inne cywilizacje użyją tych urządzeń w naszej obecności. Wygląda bowiem na to, iż dopóki jakiś obiekt nie jest nam dobrze znany, dopóty nie jesteśmy w stanie go dostrzec i zidentyfikować. Stąd w przeszłości wiele osób zapewne widziało komorę oscylacyjną ale wzięło ją za niezbyt użyteczne okno, czy widziało magnokraft ale wzięło go za nowy rodzaj balonu. Gdy jednak znaczenie tych urządzeń stanie się nam bardziej znane, podczas następnego ich dostrzeżenia będziemy świadomi ich znaczenia i z większą już dokładnością odnotujemy wszystkie powiązane z nimi fakty.

Profesor Tom Stonier w swojej książce [1M] "The Wealth of Information", (Thames Methuen (11 New Fetter Lane, London EC4P4EE), London 1983, ISBN 0-423-00800-5 Pbk, strona 12) napisał, cytując:

"Odwrotnie niż to było w dawniejszych czasach, kiedy praktyczne odkrycia wiodły do formowania nowej wiedzy teoretycznej, w dzisiejszych czasach kierunek przepływu informacji został odwrócony. Dla przykładu, w dziewiętnastym wieku praktyczne

doświadczenia z lokomotywą parową wiodły do uformowania teorii termodynamicznych. Jednakże w połowie dwudziestego wieku stało się przeciwnie: praktyczny rozwój tranzystora wynikał z teoretycznych postępów w fizyce ciała stałego dokonanych kilka dekad wcześniej." (W oryginale angielskojęzycznym: "Unlike earlier times when practical experience laid the foundation for new science, the flow of information is now generally in the opposite direction. For example, in the nineteenth century, the experience with the steam engine led to the science of thermodynamics. In contrast, the development of the transistor in the middle of the twentieth century was dependent on the solid-state physics conducted decades earlier.")

Powyższe stwierdzenie bardzo precyzyjnie oddaje rewolucję jaką obserwujemy obecnie w rozwoju myśli technicznej. Począwszy od teraz nasze wynalazki zaczynają być tak złożone i tak wyrafinowane technicznie, iż nie istnieje już możliwość aby wpaść na nie przypadkowo podczas dokonywania jakichś innych eksperymentów. Za każdym urządzeniem zbudowanym obecnie stoi jakaś skomplikowana teoria która jest wynikiem zakumulowania ogromnej ilości wiedzy. Musimy też zaakceptować, że proces ten będzie się pogłębiał w przyszłości. Stąd też czas, kiedy spodziewaliśmy się od wynalazcy iż zakasze on rękawy i przedstawi działający prototyp swojego urządzenia, przeminął już bezpowrotnie. Począwszy od teraz wynalazki najpierw będą przedstawiane na papierze - jak komora oscylacyjna i magnokraft w niniejszej monografii. Dopiero potem nadejdzie czasochłonne, kosztowne, oraz trudne zadanie ich budowania, wymagające skoordynowanego wysiłku wielu ludzi.

Owa nowa sytuacja wymaga także opracowania zupełnie nowych metod dla oceny poprawności danych wynalazków zanim ich praktyczna realizacja zostanie podjęta. Metody takie powinny być w stanie wykazać czy wynalazek jest poprawny, użyteczny i wykonalny, podczas gdy jest on ciągle na papierze zaprezentowany jedynie w formie teoretycznej.

W niniejszej monografii właśnie jedna z takich metod została praktycznie wypróbowana w potwierdzaniu poprawności wynalazków autora. Metoda ta przyjmuje formę łańcucha logicznych dedukcji i podpierającego je materiału dokumentacyjnego, jakie dowodzą iż urządzenia wynalezione przez autora są już używane na naszej planecie przez różne pozaziemskie cywilizacje. W momencie więc gdy fakt użycia tych urządzeń został dowiedziony, stanowi to jednoczesny dowód iż skompletowanie komory oscylacyjnej i magnokraftu jest technicznie możliwe. W końcu prawa naszego wszechświata pracują w taki sam sposób dla każdego. Nieważne więc kto już zbudował dany wynalazek, jego zasada działania zawsze musi pozostawać taka sama. Jeśli zasada ta pracuje dla innych cywilizacji, musi ona także pracować i dla nas. Stąd więc dowiedzenie, iż urządzenia wynalezione przez autora są już używane przez cywilizacje pozaziemskie, jest równoznaczne ze zaprezentowaniem już działającego prototypu tych urządzeń. Oczywiście ponieważ prototyp ten został "zaimportowany", nasza cywilizacja ciągle stoi przed zadaniem jego skompletowania. Jednakże cel tego zadania został jasno sprecyzowany, końcowy sukces został zagwarantowany, zaś procedura wykonawcza zdefiniowana. Wszystko co nam więc teraz pozostało to zakasać rękawy i zabrać się do realizacji. Odniesienie sukcesów na tym realizacyjnym etapie autor jednak pozostawia kolejnej generacji badaczy. Być może osoba właśnie czytająca niniejsze słowa stanie się jednym z nich.

Rozdział N:**N. Literatura uzupełniająca i poszerzająca treść tej monografii**

Aby zminimalizować objętość niniejszej monografii (wszakże jej kopie wysyłane będą do Polski z drugiego końca świata) autor z konieczności zmuszony był do dokonywania nieustannego wyboru co włączyć do jej treści, co zaś z niej wyeliminować. Stąd przedstawiony tu materiał ogranicza się tylko do rozważań bezpośrednio podpierających jej cel i główną tezę. Tym więc z czytelników których zainteresowały wyniki badań autora rekomendowane jest dodatkowe zapoznanie się z wskazanymi tutaj innymi jego (polskojęzycznymi) monografiami, szczególnie tymi które w chwili ukończenia niniejszej publikacji były dopiero w trakcie opracowywania (na poniższej liście oznaczonymi przez *). Indeksy: e, w = napisana w języku angielskim, włoskim; B, C = tematyczna odmiana B lub C danej publikacji, /2 = drugie wydanie, /3 = trzecie wydanie, /4 = czwarte wydanie, /5 = piąte wydanie. Dane bibliograficzne tych monografii są jak następuje:

[1] Pająk J.: "Teoria Magnokraftu - monografia o dyskoidalnym statku kosmicznym napędzonym pulsującym polem magnetycznym". Wydanie I, polskojęzyczne. Marzec 1986, Invercargill, Nowa Zelandia, ISBN 0-9597698-5-4; 136 stron, 58 rysunków.

[1e] Pająk J.: "Advanced magnetic propulsion systems" (Monograph, Dunedin, New Zealand, 1990, ISBN 0-9597698-9-7, objętość 460 stron, w tym 163 rysunków i 7 tablic).

[1w] "I Sistemi Avanzati di Propulsione - il Magnocraft" (tj. "Magnokraft i zaawansowane napędy magnetyczne"), Associazione Culturale Aquarius, Palermo 1998, Volume I - 337 stron, Volume II (Tavole, disegni e fotografie) 118 stron - w tym około 120 ilustracji (jest to wersja książkowa monografii [1a] wydana w języku włoskim w Palermo na Sycylii), nakład 1606 egzemplarzy; konsultacje w sprawie nabycia lub dystrybucji: Mr. Antonio Giannone, Via S. Sonnino 13, I-90124 Palermo - Sicily, Italy; Tel: +39 (91) 447663.

[1/2] Pająk J.: "Zaawansowane napędy magnetyczne", Monografia, Dunedin, New Zealand, 1998, ISBN 0-9583380-2-7, około 1200 stron tekstu w tym 120 ilustracji i 7 tablic (w 7 tomach).

[1/3] Pająk J.: "Zaawansowane urządzenia magnetyczne", Monografia, Dunedin, Nowa Zelandia, 1998, ISBN 0-9583727-5-6, około 1400 stron - w tym około 120 ilustracji i 7 tablic, w 9 tomach.

[1/4] Pająk J.: "Zaawansowane urządzenia magnetyczne", czwarte wydanie, Monografia, Wellington, Nowa Zelandia, 2004*, ISBN 0-9583727-5-6, około 1800 stron - w tym około 120 ilustracji i 7 tablic, w 18 tomach.

[1/4e] Pająk J.: "Advanced Magnetic Devices", 4th edition, Monograph, Wellington New Zealand, 2003, ISBN 0-9583727-5-6, around 1800 pages, in this around 120 illustrations and 7 tables, in 18 volumes (the English language version of monograph [1/4]).

[1/5] Pająk J.: "Zaawansowane urządzenia magnetyczne", piąte wydanie, Monografia, Wellington, Nowa Zelandia, 2007, ISBN 978-1-877458-01-9, około 2000 stron - w tym około 130 ilustracji i 7 tablic, w 18 tomach.

[1/5e] Pająk J.: "Advanced Magnetic Devices", 5th edition, Monograph, Wellington New Zealand, 2007, ISBN 978-1-877458-81-1, around 2000 pages, in this around 130 illustrations and 7 tables, in 18 volumes (the English language version of monograph [1/5]).

[2] Pająk J.: "Komora Oscylacyjna czyli magnes jaki wzniesie nas do gwiazd". Monografia, Dunedin, Nowa Zelandia, 1994, ISBN 0-9597946-2-X, 184 strony (w tym 4 tablice i 39 ilustracji).

[2e] Pająk J.: "The Oscillatory Chamber, arkway to the stars". Monograph, Dunedin, New Zealand, September 1994, ISBN 0-9583380-0-0, (objętość 365 stron tekstu plus 104 ilustracji i 7 tablic).

[3] Pająk J.: "Badania osób z nieuświadomianymi przeżyciami (UFO abductees)". Monografia, Dunedin, Nowa Zelandia, styczeń 1996, ISBN 0-9583380-9-4, 410 stron (w tym 56 rysunków i 5 tablic).

- [3/2] Pająk J.: "Badania osób z nieuświadomianymi przeżyciami", 2-gie wyd., Dunedin 1997, ISBN 0-9583380-1-9, 550 s. (5 tab, 56 rys).
- [3B] Domała A., Pająk J.: "Kosmiczna układanka", Traktat, Dunedin, Nowa Zelandia, 1998 rok, ISBN 0-9583727-6-4, około 100 stron; konsultacje w sprawie nabycia: Andrzej Domała, ul. Kolejowa 3 m. 29, 05-120 Legionowo.
- [4] Pająk J.: "Kręgi zbożowe i inne lądowiska UFO z Nowej Zelandii", Monografia, Dunedin, Nowa Zelandia, 2014*, około 200 s. i 50 rys. (monografia narazie tylko planowana).
- [4B] Jan Pająk i Kazimierz Pańszczyk: "Tunele NOL spod Babiej Góry", Traktat, Dunedin, Nowa Zelandia, 1998 rok, ISBN 0-9583380-7-8, około 100 stron tekstu i 13 rysunków.
- [4C] Pająk J., Wróbel A.: "Interpretacje zdjęć UFO w świetle Teorii Magnokraftu", Traktat, Timaru 2004, ok. 150 stron i ok. 200 zdjęć UFO (prototyp tego traktatu już obecnie wystawiony jest w Internecie).
- [5] Pająk J.: "Kataklyzm koło Tapanui 1178 A.D. - nowozelandzki odpowiednik eksplozji tunguskiej", Dunedin 1989, ISBN 0-9597698-8-9, 74s.
- [5e] Pająk J.: "Tapanui Cataclysm - an explanation for the mysterious explosion in Otago, New Zealand, 1178 A.D.", Dunedin, 8 June 1989, ISBN 0-9597698-7-0, 74 pages.
- [5/2] Pająk J.: "Eksplozja UFO w Nowej Zelandii 1178 A.D. która pochyliła Ziemię", Dunedin 1993, ISBN 0-9597946-8-9, 148 stron (w tym 37 rysunków).
- [5/2e] Pająk J.: "UFO explosion in New Zealand 1178 A.D. which tilted the Earth", Dunedin, New Zealand, 1992, ISBN 0-9597946-7-0, 78 stron, (włączając w to 31 ilustracji).
- [5/3] Pająk J.: "Eksplozja UFO w Nowej Zelandii 1178 A.D. która obróciła Ziemię", trzecie wydanie, Dunedin, Nowa Zelandia, 2 lipca 1996, ISBN 0-9583380-8-6, około 300 stron - w tym 38 ilustracji.
- [5/3e] Pająk J.: "The New Zealand explosion of 1178 AD which tilted the Earth", third edition, Dunedin 1992, ISBN 0-9597946-7-0, 150 pages, (in this 32 illustrations).
- [5/4] Pająk J.: "Eksplozja UFO w Tapanui z roku 1178 AD, która przemieściła kontynenty", czwarte wydanie, Wellington, 2009*, ISBN 0-9583380-6-X, około 400 stron plus 40 rysunków.
- [6] Pająk J.: "Magnetyczne pozyskiwanie energii otoczenia"; Dunedin, Nowa Zelandia, 1990 rok, ISBN 0-9597946-0-3, 36 stron.
- [6e] Pająk J.: "The magnetic extraction of energy from the environment" (Monograph, Dunedin, New Zealand 1990, ISBN 0-9597946-1-1, 20 stron plus 2 tablice i 14 rysunków).
- [6/2] Pająk J.: "Telekinetyczne pozyskiwanie energii otoczenia", Monografia, Dunedin, New Zealand, maj 1992, ISBN 0-9597946-3-8, 68 stron (włączając w to 2 tablice i 22 rysunki).
- [6/2e] Pająk J.: "Telekinetic extraction of energy", Monograph, Dunedin, New Zealand, maj 1992, 68 stron (włączając w to 2 tablice i 22 rysunki).
- [7] Giordano D. i Pająk J.: "Losy jednej piramidy". Traktat, Dunedin, Nowa Zelandia, 1995, ISBN 0-9583380-3-5, 52 str. (w tym 2 ilustracje).
- [7e] Giordano D. i Pająk J.: "Story of one pyramid". Treatise, Dunedin, New Zealand, 1995, ISBN 0-9597946-5-4, 50 stron (w tym 2 ilustracje). Jest to angielskojęzyczne wydanie traktatu [7].
- [7w] Giordano D. i Pająk J.: "Storia di una piramide". Trattato, Dunedin, Nuova Zelanda, 1996, ISBN 0-9597946-4-6, 53 strony (w tym 2 ilustracje). Jest to włoskojęzyczne wydanie traktatu [7].
- [7/2] Giordano D. i Pająk J.: "Piramida myśli". Traktat, Timaru, New Zealand, 2000, ISBN 0-9583380-4-3, 200 stron (w tym 12 ilustracji).
- [7e/2] Giordano D. and Pająk J.: "Pyramid of thoughts". Traktat, Timaru, New Zealand, 2000, ISBN 0-9583727-1-3, 190 pages – in this number 12 illustrations (in English). This is the second edition of treatise [7e].
- [7B] Pająk J., Szewczyk W.: "Urządzenie do ujawniania niewidzialnych obiektów ukrytych w stanie migotania telekinetycznego" (planowano w 2 tomach, wydano tylko 1

tom), Traktat, Dunedin, Nowa Zelandia, 1998 rok, ISBN 0-9583727-8-0, tom 1 około 70 stron (w tym 4 ilustracje).

[8] Pajak J.: "Totalizm", Monografia, Wellington, Nowa Zelandia, 2003, ISBN 0-9583727-3-X, około 800 stron i 16 ilustracji.

[8e] Pajak J.: "Totalizm", Monograph, Wellington, New Zealand, 2003, ISBN 0-9583727-2-1, w 8 tomach, około 800 stron i 16 ilustracji (angielskojęzyczna wersja niniejszej monografii).

[8/2] Pajak J.: "Totalizm", drugie wydanie, Monografia, Wellington, Nowa Zelandia, 2009, ISBN 978-1-877458-00-2, w 8 tomach, około 600 stron i 10 ilustracji. Jest to niniejsza monografia, czyli drugie wydanie monografii [8].

[8e/2] Pajak J.: "Totalizm", second edition, Monograph, New Zealand, 2009, 978-1-877458-80-4, in 8 volumes, around 600 pages and 10 illustrations - this is the second edition of [8e] (in English).

[9] Pajak Cz. i Pajak J.: "Przysłowia wschodu oraz z innych stron świata – proverbs of the orient and from other corners of the world", wydawnictwo poznańskie (ul. Fredry 8, 61-701 Poznań, Polska), 2003 rok, ISBN 83-7177-273-4, 551 stron, zawiera ponad 2700 przysłów.

O AUTORZE

Prof. dr inż. Jan Pająk urodził się 25 maja 1946 roku we Wszewilkach koło Milicza, Polska. Pierwsze 36 lat swego życia spędził w Polsce, gdzie zdobył edukację i doświadczenie naukowe. W 1982 roku opuścił Polskę i przybył do Nowej Zelandii. Od 28 sierpnia 1985 roku posiada on obywatelstwo nowozelandzkie.

Prof. Pająk rozpoczął swą edukację w Miliczu, gdzie uczęszczał do Liceum Ogólnokształcącego. Po zdaniu matury w 1964 roku rozpoczął studia na Wydziale Mechanicznym Politechniki Wrocławskiej. Studia te ukończył w 1970 roku, otrzymując tytuł "magistra inżyniera". Swą karierę zawodową rozpoczął wykładami na Politechnice Wrocławskiej. W 1974 roku obronił rozprawę doktorską ze wspomaganego komputerowo projektowania maszyn (CAD), otrzymując tytuł "doktora nauk technicznych". W tym samym roku został też awansowany z pozycji starszego asystenta na pozycję adiunkta. Równoległe z obowiązkami wykładowcy na Politechnice Wrocławskiej, Prof. Pająk zatrudniony był w latach 1975-1977 na półetatowo jako doradca naukowy do spraw oprogramowania inżynierskiego w Zakładach Komputerowych MERA-ELWRO. Natomiast od 1978 roku aż do opuszczenia Polski pracował jako konsultant naukowy do spraw wspomaganego komputerowo projektowania i produkcji (CAD/CAM) w Jelczańskich Zakładach Samochodowych POLMO-JELCZ.



W 1982 roku Prof. Pająk podjął jednoroczne po-doktorskie stypendium naukowe na Wydziale Mechanicznym Uniwersytetu Canterbury w Christchurch, Nowa Zelandia. Po ukończeniu tego stypendium w 1983 roku rozpoczął on pracę wykładowcy z oprogramowania komputerów na Politechnice w Invercargill. W lutym 1988 zrezygnował z tej posady i podjął pozycję starszego wykładowcy (Senior Lecturer) z oprogramowania inżynierskiego i inteligentnych systemów komputerowych (Software Engineering and Artificial Intelligence) na Wydziale Informatyki i Studiów Komputerowych w Otago University, Nowa Zelandia. Z pozycji tej złożył wypowiedzenie wchodzące w życie od 1 lutego 1992 roku. Dnia 1 września 1992 roku podjął on swoją pierwszą w życiu profesurę, zajmując stanowisko Associate Professora (t.j. odpowiednika profesora nadzwyczajnego w Polsce) w Studiach Komputerowych na Wydziale Matematyki z Eastern Mediterranean University (Famagusta, North Cyprus, Mersin 10, Turkey). W chwili pisania niniejszej monografii (styczeń 1994 roku) był on w trakcie swej drugiej w życiu profesury, zatrudniony jako Associate Professor na Wydziale Mechanicznym Uniwersytetu Malaya w Kuala Lumpur.

Życiowe osiągnięcie Prof. Pająka stanowi rozpracowany przez niego system magnetycznego napędu wehikułów latających. W 1972 roku, wykładając studentom Politechniki Wrocławskiej na temat wybranych zagadnień systemów napędowych, Prof. Pająk odkrył niezwykle istotną regularność (nazwaną później "Tablica Cykliczności") rządzącą rozwojem kolejnych urządzeń napędowych budowanych na Ziemi. Regularność tą zilustrowano i opisano w treści niniejszej monografii. Jej znaczenie można wyrazić jako "Tablica Mendelejewa dla urządzeń napędowych". Pierwsza opracowana przez niego taka

tablica postuluje, że silnik elektryczny zbudowany przez Jacobie'go około roku 1836, jeszcze przed rokiem 2036 otrzyma bliźniaczego następcę przyjmującego postać pędnika napędzającego wehikuł kosmiczny zwany "magnokraftem", którego zasada działania także będzie eksploatowała przyciągające i odpychające oddziaływania silnych pól magnetycznych. Po opublikowaniu Tablicy Cykliczności w Astronautyce, nr 5/1976, str. 16-21, Prof. Pająk rozpoczął intensywne badania nad opracowaniem konstrukcji i działania magnokraftu. Badania te zaowocowały artykułem w czasopiśmie Przegląd Techniczny Innowacje, nr 16/1980, str. 21-23, w którym podano szczegóły techniczne tego wehikułu. Napęd magnokraftu stanowi rodzaj "magnesu" (nazywanego "komorą oscylacyjną") na tyle silnego, iż zdolny jest on unieść siebie (i masę dołączonego do niego wehikułu) na wskutek odpychającego oddziaływania pola wytwarzanego przez siebie, z polem magnetycznym Ziemi, Słońca, lub Galaktyki. Niniejsza monografia poświęcona została właśnie opisowi owej komory oscylacyjnej.

Tablica C1. Wykorzystanie komory oscylacyjnej. Zestawiono tu kilka przykładów obecnych urządzeń energetycznych, które w przyszłości zastąpione zostaną przez komorę oscylacyjną z uwagi na jej zdolność do wielo-wymiarowej transformacji energii. (Zauważ, że przykłady wielu dalszych urządzeń jakie zapewne też zastąpione kiedyś będą przez komory oscylacyjne omówiono w podrozdziale C9.)

Nr	Urządzenie zastępowane przez komorę	Rodzaj energii		zastępujących dany rodzaj urządzenia
		Dostarczonej	Uzyskanej	
1.	Elektromagnes	Prąd elektryczny	Pole magnetyczne	Energia elektryczna dostarczona do komory przetransformowana zostaje na pole magnetyczne.
2.	Grzejnik elektryczny	Prąd elektryczny	Ciepło	Gorący gaz dielektryczny z komory zostaje przepompowywany poprzez wymiennik ciepła.
3.	Silnik elektryczny	Prąd elektryczny	Ruch mechaniczny	Fale sterowanego pola magnetycznego wytwarzanego przez układ komór oscylacyjnych stojana powodują ruch mechaniczny przewodzącego wirnika.
4.	Transformator	Prąd elektryczny	Prąd elektryczny o innych parametrach	Dwie komory o różniących się parametrach pracy wymieniają energię za pośrednictwem pola magnetycznego (tj. sterując przesunięciem fazowym wytwarzanego przez siebie pola).
5.	Silnik spalinowy	Ciepło	Ruch mechaniczny	Podgrzewanie gazu dielektrycznego dostarcza komorze energii wykorzystywanej do produkcji ruchu mechanicznego jak w silniku elektrycznym.
6.	Ogniwo termoelektryczne	Ciepło	Prąd elektryczny	Podgrzewanie gazu dielektrycznego zwiększa energię komory. Energia ta, przetransformowana przez komorę na ładunki elektryczne, może być z niej podjęta w postaci prądu elektrycznego.
7.	Generator elektryczności	Ruch mechaniczny	Prąd elektryczny	Przemieszczanie jednej komory w zasięgu pola innej wytwarza energię oddziaływania pól jaka potem może zostać podjęta w postaci prądu.

Tablica D1. Najważniejsze dane konstrukcyjne wszystkich ośmiu typów magnokraftów załogowych. Interpretacja niektórych symboli pokazana została na rysunku D1(c). Wymiary poszczególnych wehikułów wyznaczono z warunku iż ich zewnętrzna średnica gabarytowa "D" musi spełniać następujące równanie (D3): $D = 0.5486 \cdot 2^K$ [metrów]. Dane wymiarowe zawarte w tej tabelicy wyrażone zostały w metrach.

Nr	Typ	Dane typu		Wymiary gabarytowe statku				Rozłożenie i wymiary pędników bocznych				Ułożenie i wymiar pędnika głównego			Liczba nóg	Założoga	Waga statku
		K	n	D	H	L	Gs	d	Arc	Ds	as	h	DM	aM			
-	-	-	-	m	m	m	m	m	m	m	m	m	m	m	-	-	ton
1.	K3	3	8	4.39	1.46	0.64	0.43	3.10	1.22	0.43	0.25	1.03	0.86	0.49	4	3	1
2.	K4	4	12	8.78	2.19	1.28	0.72	6.20	1.63	0.56	0.32	1.55	1.28	0.74	3	4	8
3.	K5	5	16	17.56	3.51	2.57	1.13	12.41	2.44	0.75	0.43	2.48	1.88	1.09	4	5	54
4.	K6	6	20	35.11	5.85	5.14	2.17	24.82	3.90	1.26	0.73	4.14	3.43	1.98	4	6	360
5.	K7	7	24	70.22	10.03	10.28	3.84	49.65	6.50	2.04	1.18	7.09	5.88	3.39	3 lub 4	7	2 472
6.	K8	8	28	140.44	17.56	20.57	6.78	99.30	11.14	3.33	1.92	12.41	10.11	5.84	4	8	17 317
7.	K9	9	32	280.88	31.21	41.14	12.52	198.61	19.50	5.76	3.32	22.07	18.28	10.56	4	9	123 113
8.	K10	10	36	561.76	56.18	82.28	22.94	397.22	34.66	9.97	5.75	39.72	32.91	19.00	3 lub 4	10	886 448

Oto równania wyrażające związki matematyczne pomiędzy poszczególnymi wielkościami z tej tabelicy:

$$H=D/K \quad K=D/H \quad n=4(K-1) \quad \text{Arc}=\pi d/n \quad D_M=H(2-\sqrt{2}) \quad a_M=D_M/\sqrt{3} \quad as=D_s/\sqrt{3}$$

$$h=d/K \quad K=d/h \quad L=(D-d)/2 \quad d=D/\sqrt{2} \quad G_s=D_M-D_s \quad D_s=D_M^3/\sqrt{n} \quad \text{Waga}=0.05 \cdot D^2 \cdot H$$

Tablica E1. Najważniejsze dane konstrukcyjne wszystkich ośmiu typów magnokraftów czteropędnikowych. Interpretacja użytych symboli pokazana została na rysunku D1. Wymiary poszczególnych wehikułów wyznaczono z warunku ich sprzęgalności z dyskoidalnymi magnokraftami, (tj. w wehikułach sześciennych dla których $l=l_b=l_w$, odległość "l" pomiędzy osiami ich pędników musi spełniać następujące równanie: $l = 0.5486 \cdot 2^{(T-1)}$ [metrów]). Wszystkie wymiary liniowe z tej tablicy wyrażone zostały w metrach.

Nr	Typ	Odpow. typ dysk.	Wymiary gabarytowe korpusu wehikułu dla statków sześciennych				Rozstawienie pędników wehikułu					Wymiary pędników		Za- ło- ga	Waga stat- ku
							d (prze- kątna)	Statki prostokątne		sześć.	h				
			W	G	Z	H		ANG	l _w			l _b	l=l _w ,b		
-	-	-	m	m	m	m	m	deg	m	m	m	m	m	-	ton
1.	T3	K3	2.01	1.46	0.73	2.19	3.10	22.5	2.86	1.19	2.19	0.73	0.18	3	0.5
2.	T4	K4	4.11	3.29	1.09	4.38	6.20	30	5.37	3.10	4.39	1.09	0.27	4	4
3.	T5	K5	8.35	7.02	1.76	8.78	12.41	33.75	10.32	6.89	8.78	1.76	0.43	5	33
4.	T6	K6	16.82	14.64	2.93	17.55	24.82	27	15.64	7.97	17.56	2.93	0.73	6	270
5.	T7	K7	33.86	30.09	5.02	35.11	49.65	30	43.00	24.82	35.11	5.02	1.25	7	2 164
6.	T8	K8	68.02	61.44	8.78	70.22	99.30	32.14	59.46	37.36	70.22	8.78	2.20	8	17 312
7.	T9	K9	136.54	124.84	15.60	140.44	198.61	28.125	123.86	66.20	140.44	15.60	3.90	9	138 497
8.	T10	K10	273.86	252.79	28.09	280.88	397.22	30	344.00	198.61	280.88	28.09	7.02	10	1107981

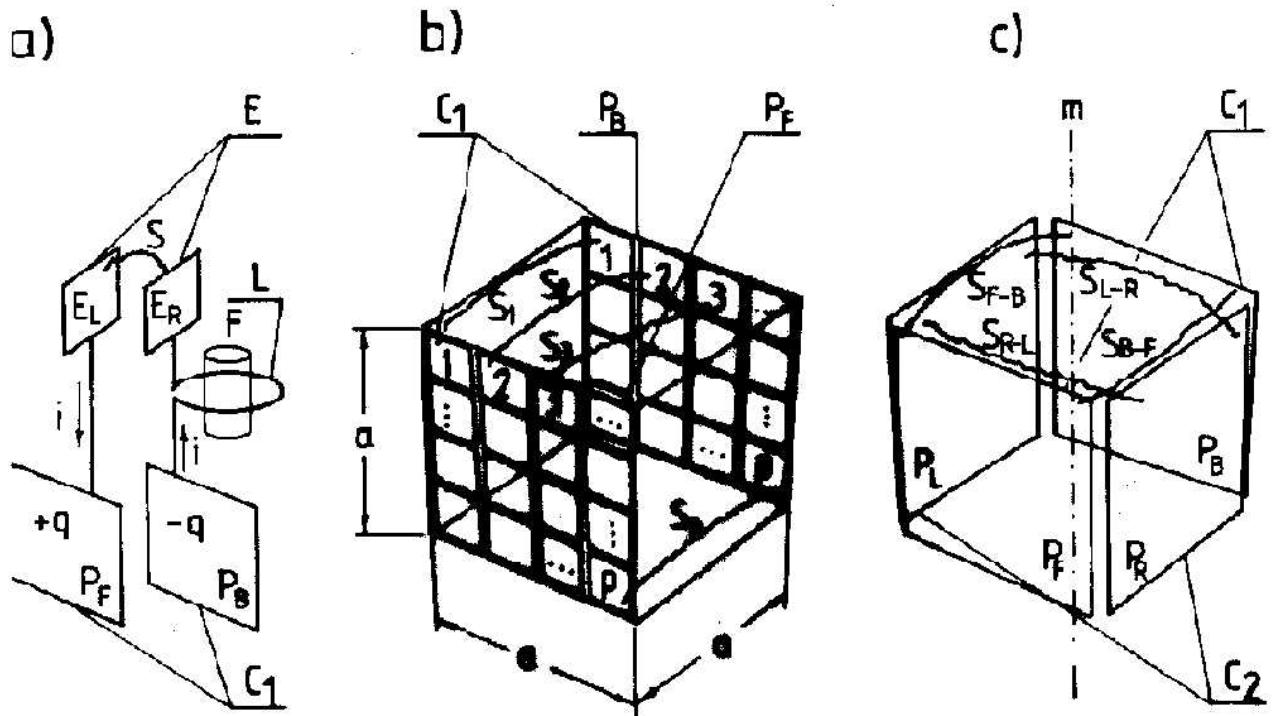
Oto równania wyrażające związki matematyczne pomiędzy poszczególnymi wielkościami z tej tablicy:

$$T=H/Z \quad T=K \quad Z=h \quad d=l/2 \quad a=h/4 \quad d^2=l_w^2+l_b^2=2 \cdot l^2 \quad l=0.5486 \cdot 2^{(T-1)} \text{ [m]}$$

$$Z=H/T \quad H=l \quad Z=l/T \quad \text{ANG}=\arctan(l_b/l_w) \quad h=l/T \quad \text{Waga}=0.05 \cdot l^2 \cdot H$$

Kierunek upływu czasu (kierunek udoskonaleń napędów spowodowany upływem czasu)									
3.	Napędy z obiegiem pola magnetyczn.	3.	Energia wewn.	?	wehikuł czasu:2300	?	?	 Przy- łość V	
		2.	Inercja pola	silnik teleki:2036	magnokr.telek:2200	?	?		
		1.	Siła pola	silnik elektr:1836	magnokraft:ok.2036	silnik pulsarowy	statek gwiazdzysty		
.....									
2.	Napędy z obiegiem masy	3.	Energia wewn.	silnik parowy:1769	odrzutowiec: 1939	sil. spalinow:1867	rakieta: 1942	 Teraż- niej- szość V	
		2.	Inercja masy	silnik pneuma:1860	poduszkowiec: 1959	masz. atmosf:1712	śmigło: 1903		
		1.	Siła ciśnienia	wiatrak: 1191	żagiel: około 1390	puszka Vidi: 1860	balon: 1863		
1.	Napędy z obiegiem siły mechaniczn.	3.	Sprężystość	wiertło inercyjne	katapulta	sprężyna	piłka	 V	
		2.	Inercja	koło garncarskie	taran bitewny	koło zamchowe	proca		
		1.	Oddział. siłowe	korba napędowa	tyczka flisarska	kierat	koło		
E r a	Rodzaj czynnika roboczego	Ge ne ra cja	Nośnik energii	Napędy	silniki 1 pary (ruch względny)	pędniki 1 pary (ruch absolutny)	silniki 2 pary (ruch względny)	pędniki 2 pary (ruch absolutny)	 Postęp
			Rozwiązania techniczne	Pierwsza para silnik-pędnik (przestrz. robocza oddzielona od wytwornika)	Druga para silnik-pędnik (przestrzeń robocza w wytworniku czynnika robocz.)				

Tablica B1. Tablica Cykliczności sporządzana dla napędów ziemskich. Stanowi ona rodzaj "Tablicy Mendelejewa", tyle tylko że obowiązującej dla urządzeń napędowych zamiast dla pierwiastków chemicznych. Jej sformułowanie ujawnia że budowa kolejnych napędów ziemskich podlega prawom generalnej (DeBroglie'wskiej) symetrii, których działanie zezwala na przenoszenie (ekstrapolację) istotnych cech pomiędzy poszczególnymi urządzeniami. To z kolei umożliwia przewidzenie zasad działania, cech oraz przybliżonych dat uruchamiania urządzeń napędowych dotychczas jeszcze nie zbudowanych na Ziemi. Tablica ta powstała poprzez odłożenie na jej pionowej osi wszystkich czynników roboczych wykorzystywanych w działaniu poszczególnych generacji urządzeń napędowych, zaś na jej poziomej osi wszystkich możliwych urządzeń napędowych budowanych dla danego czynnika roboczego. Jej pole robocze przyporządkowuje więc kolejne rodzaje dotychczas zbudowanych urządzeń napędowych do odpowiedniego czynnika roboczego (tj. do wiersza tablicy) oraz do odpowiedniej kategorii napędów (tj. do kolumny tablicy). Wzajemne uszeregowanie poszczególnych generacji napędów następuje według kompleksowości eksploatowanych atrybutów danego czynnika (tj. pierwsza generacja (1) eksploatuje tylko oddziaływania siłowe, druga (2) - oddziaływania siłowe i inercję, trzecia (3) zaś - oddziaływania siłowe, inercję i energię wewnętrzną). W obrębie każdej generacji wyróżniono dwie pary bliźniaczych urządzeń zwanych silnikiem i pędnikiem, eksploatujących te same cechy danego czynnika roboczego. Należy zwrócić uwagę, że w przypadkach gdy dane urządzenie budowane jest w wielu wersjach konstrukcyjnych, odmianach lub zastosowaniach, tylko pierwszą lub najbardziej reprezentacyjną jego wersję ujęto w tablicy (np. silnik parowy, turbina parowa, czy turbina gazowa wykorzystują te same atrybuty czynnika roboczego, stąd należą one do tego samego etapu rozwojowego). Jeszcze jedna "Tablica Cykliczności" pokazana jest jako tablica K1.

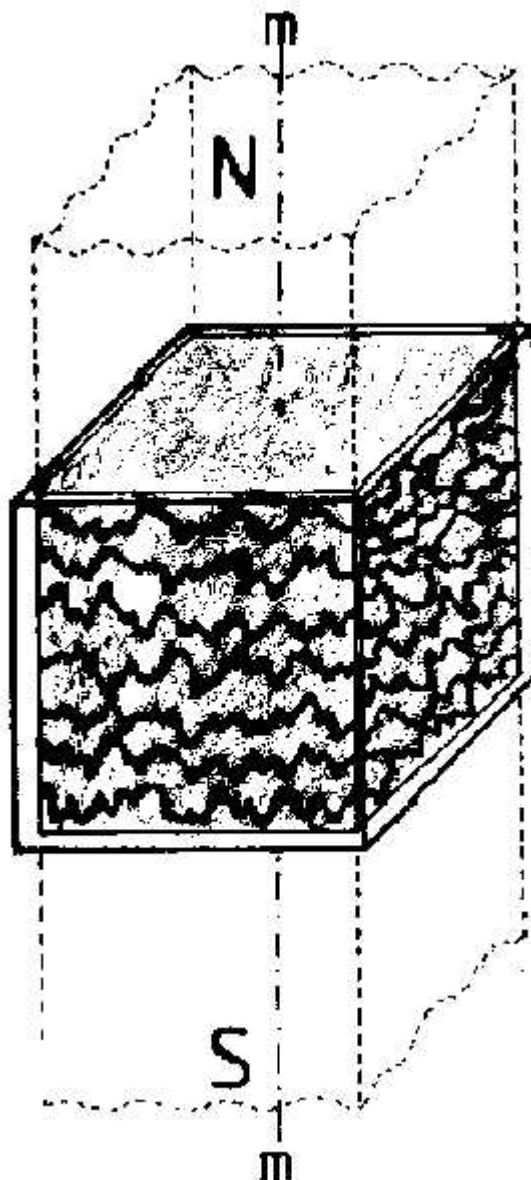


Rys. C1. Formowanie komory oscylacyjnej. Trzy części tego rysunku pokazują trzy kolejne etapy przekształcania konwencjonalnego obwodu oscylacyjnego z iskrownikiem w komorę oscylacyjną.

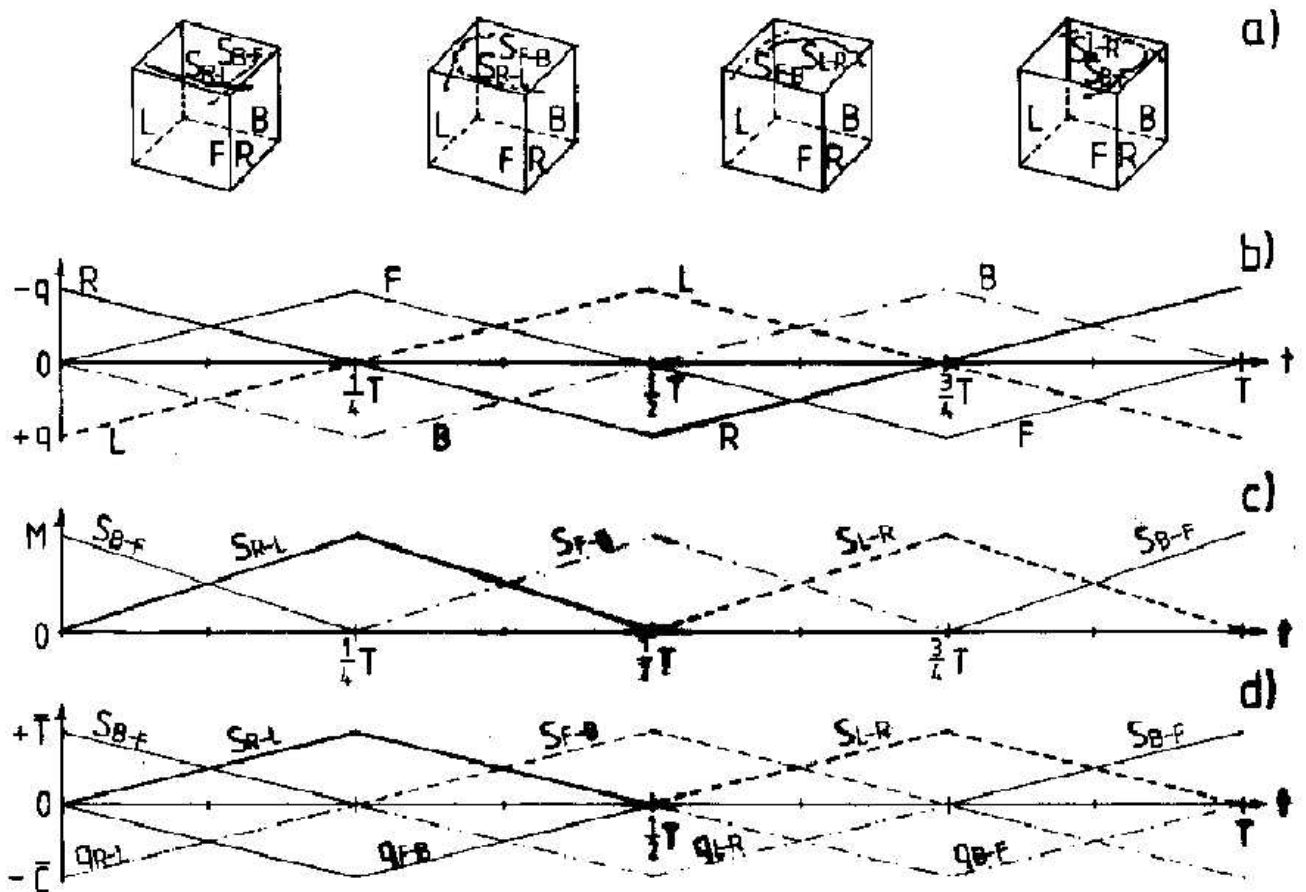
(a) Tradycyjna postać obwodu oscylacyjnego z iskrownikiem, jaka wynaleziona została przez J. Henry'ego w 1845 roku. Trzy istotne składowe tego obwodu (t.j. pojemność " C_1 ", indukcyjność " L " i przerwa iskrowa " E ") dostarczane są przez trzy oddzielne urządzenia.

(b) Zmodyfikowana wersja obwodu oscylacyjnego " C_1 " z iskrownikiem. Wszystkie trzy jego istotne składowe zostały tu skoncentrowane w jednym urządzeniu, t.j. układzie dwóch przewodzących elektrod " PF " i " PB " przymocowanych do dwóch przeciwstawnych ścianek komory sześcienniej wykonanej z materiału izolacyjnego. Obie elektrody " PF " i " PB " podzielone z kolei zostały na kilka poddzielanych od siebie segmentów oznaczonych numerami " $1, 2, \dots, p$ ". Długość boku wynikowej komory sześcienniej z owymi elektrodami w środku oznaczona została przez " a ".

(c) Komora oscylacyjna uformowana poprzez zestawienie razem dwóch zmodyfikowanych obwodów " C_1 " i " C_2 " identycznych do obwodu pokazanego w części (b) tego rysunku. Kolejne pojawianie się pęków isker oznaczonych przez " $SR-L$ ", " $SF-B$ ", " $SL-R$ ", " $SB-F$ " jakie zawsze przeskakują wzdłuż powierzchni bocznych ścianek komory leżących po ich lewych stronach, powoduje wytworzenie rodzaju łuku elektrycznego rotującego naokoło obwodu komory i wytwarzającego potężne pole magnetyczne.



Rys. C2. Przewidywany wygląd komory oscylacyjnej - patrz też rysunek I6. Będzie ona przyjmowała postać niepozornej kostki szklanej podobnej do regularnego kryształu. Pasma jasnych, migoczących iskier koloru złocistego będą przebiegały poziomo wokół obwodu wewnętrznego jej ścianek bocznych. Iskry te będą jakby zamrożone w tych samych pozycjach, aczkolwiek od czasu do czasu będą one raptownie przemieszczały swój przebieg jak kłębowisko węży owiniętych wokół swojej zdobyczy. Stąd działająca komora oscylacyjna będzie sprawiała wrażenie jakiejś żyjącej istoty zajętej swoimi tajemniczymi czynnościami życiowymi. Przerwane linie zaznaczają przebieg kolumny pola magnetycznego wytwarzanego przez tą kryształową kostkę, jaka rozciąga się wzdłuż jej osi magnetycznej "m". Jeśli komora oglądana będzie z kierunku prostopadłego do linii sił tego pola (t.j. dokładnie jak została ona przedstawiona na tym rysunku) owa kolumna będzie przechwytywała światło i stąd powinna być widziana przez nieuzbrojone oko jako kwadratowa w przekroju czarna belka rozprzestrzeniająca się z komory w obu kierunkach - patrz opisy takich belek przedstawione w podrozdziale D3. Pole to powinno także czynić wnętrze komory nieprzeźroczystym. Stąd oglądana z boku powinna ona wyglądać jak wypełniona czarnym dymem. Gdy jednak oglądana wzdłuż linii sił pola magnetycznego, prześwit przez komorę powinien być przeźroczysty, za wyjątkiem przypadków pokazanych na rysunku C5.



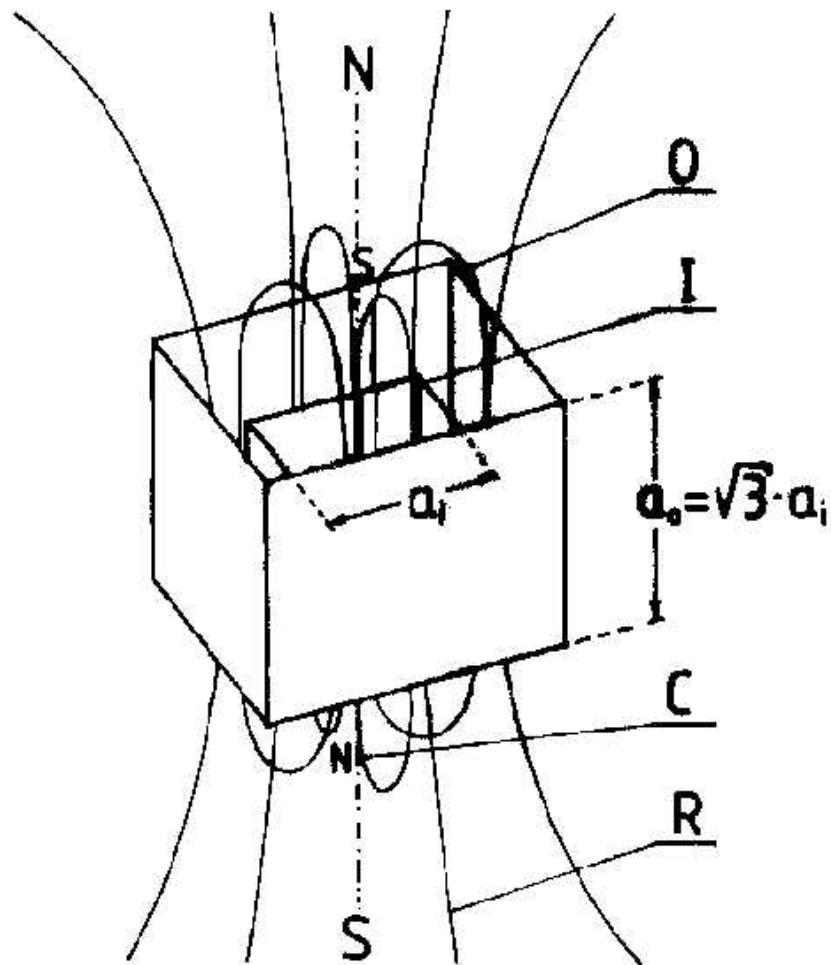
Rys. C3. Neutralizacja sił elektro-magnetycznych w komorze oscylacyjnej. Jej mechanizm wykorzystuje przeciwieństwo kierunków działania dwóch sił, t.j. Coulomb'owskiego ściskania i elektromagnetycznego rozrywania, aby spowodować ich wzajemne zneutralizowanie się.

(a) Cztery główne stadia działania komory oscylacyjnej. Symbole: R, L, F, B - prawa, lewa, przednia i tylna (t.j. right, left, front, back) elektrody komory jakie razem formują dwa współdziałające ze sobą obwody oscylacyjne; SR-L, SF-B, SL-R, SB-F - cztery pęki iskier elektrycznych jakie pojawiają się kolejno po sobie podczas pojedynczego cyklu jej działania, formując w ten sposób jeden całkowity obieg łuku elektrycznego po kwadracie (iskry aktywne zaznaczono linią ciągłą, zaś iskry inercyjne linią przerywaną).

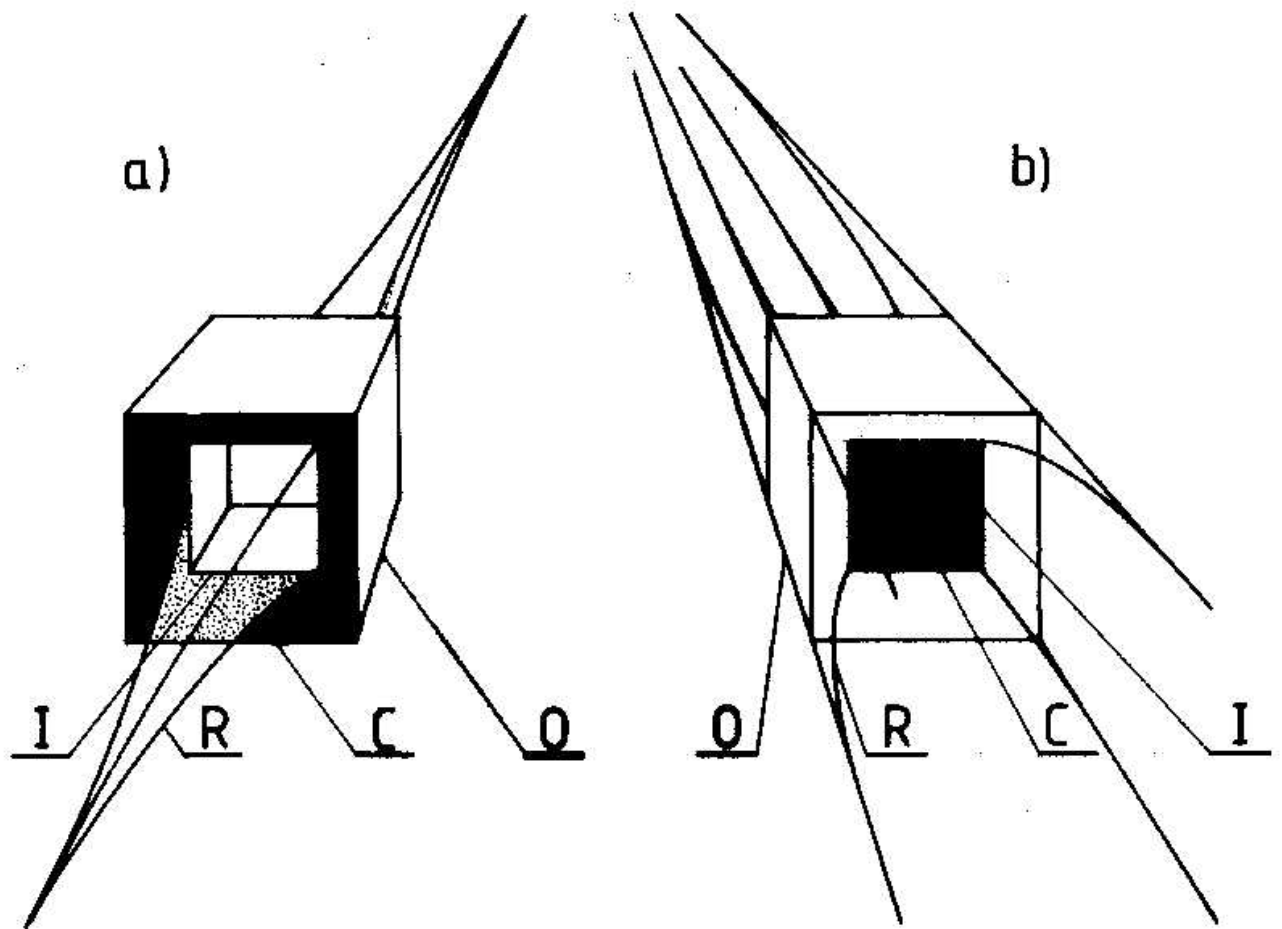
(b) Zmiany w potencjale elektrod podczas pełnego cyklu działania komory. Symbole: T - okres pulsowań komory; t - czas; +q, -q - dodatnie i ujemne ładunki elektryczne akumulujące się na elektrodach. Wzajemne przyciąganie się odwrotnych ładunków zgromadzonych na przeciwstawnych ściankach wywołują siły Coulomb'a ściskające komorę ku wewnątrz.

(c) Zmiany we wartości elektromagnetycznych sił odchylających (M) działających na kolejne iskry elektryczne. Siły te starają się rozerwać komorę ku zewnątrz, podobnie jak to czynią z elektromagnesami.

(d) Zmiany w siłach rozrywających "T" (tensing) komorę oraz siłach ściskających "C" (compressing) jakich działanie neutralizuje się nawzajem. Siły rozrywające "T" produkowane są przez elektromagnetyczne oddziaływania odchylające zachodzące pomiędzy iskrami i polem magnetycznym wypełniającym komorę. Siły ściskające "C" wywoływane są wzajemnym Coulomb'owskim przyciąganiem się przeciwstawnych ładunków elektrycznych zakumulowanych na przeciwległych elektrodach komory. Zauważ, iż obie te grupy sił muszą przyjmować symetryczny przebieg, ale przeciwstawne wartości. Stąd są one w stanie nawzajem znieść swoje działanie.



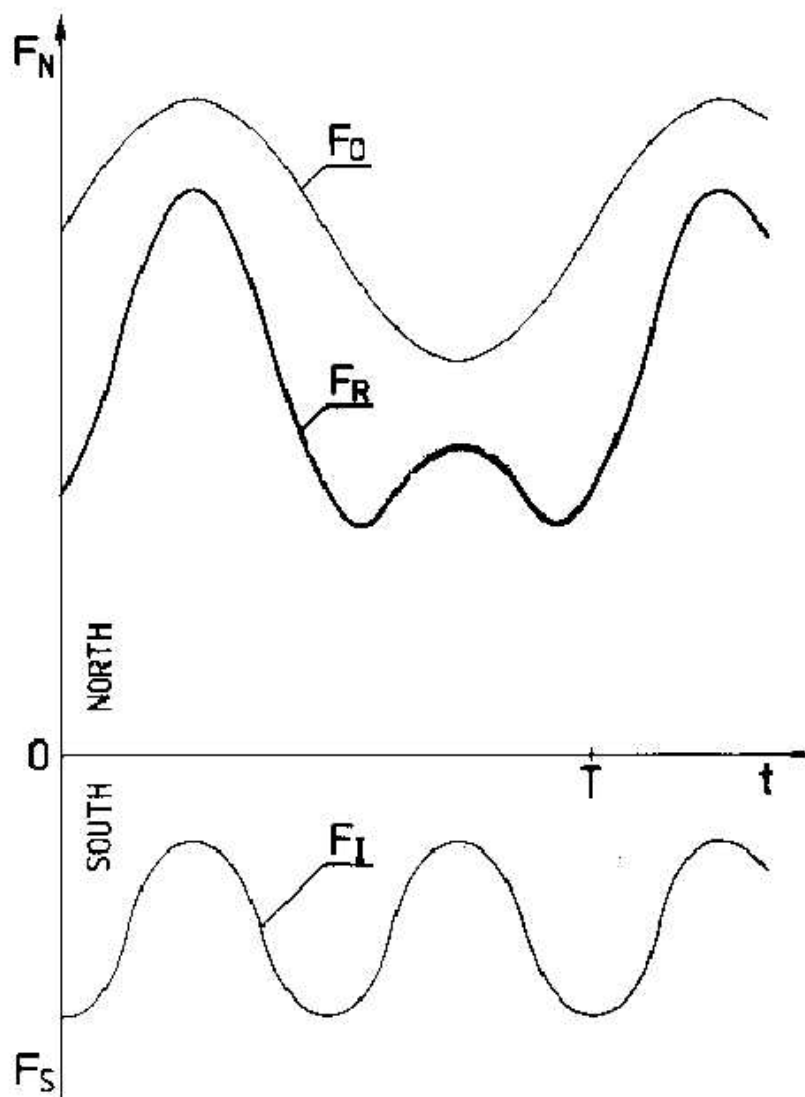
Rys. C4. Kapsuła dwukomorowa. Jest to podstawowa konfiguracja dwóch komór oscylacyjnych, formowana w celu zwiększenia ich sterowalności. Powstaje ona poprzez osadzenie dwóch przeciwstawnie zorientowanych komór oscylacyjnych, jedna we wnętrzu drugiej. Z uwagi na potrzebę swobodnego "pływania" komory wewnętrznej (I) zawieszonej w środku komory zewnętrznej (O), boki "a" obu tych komór muszą wypełniać równanie (C9): $a_o = a_i \cdot \sqrt{3}$. Z powodu przeciwstawnego zorientowania biegunów magnetycznych obu komór kapsuły, wynikowe pole magnetyczne (R) odprowadzane z tej konfiguracji do otoczenia, stanowi algebraiczną różnicę pomiędzy wydatkami jej komór składowych. Zasada formowania takiego strumienia wynikowego została zilustrowana na rysunku C6. Kapsuły dwukomorowe umożliwiają łatwe sterowanie wszystkimi atrybutami wytwarzanego przez nie pola. Przedmiotem tego sterowania są następujące własności strumienia wynikowego (R): (1) moc pola - regulowana płynnie od zera do maksimum; (2) okres pulsowań (T) lub częstość pulsowań (f); (3) stosunek amplitudy pulsowań pola do jego składowej stałej (F/Fo - patrz rysunek C8); (4) charakter pola, t.j. czy jest ono stałe, pulsujące, czy przemienne; (5) krzywa zmian w czasie $F=f(t)$, np. czy jest to pole liniowe, sinusoidalne, czy zmieniane według "krzywej dudnienia"; (6) biegunowość (t.j. z której strony kapsuły panuje biegun N lub biegun S). Symbole: O - komora zewnętrzna (outer), I - komora wewnętrzna (inner), C - strumień krążący (circulating flux) uwięziony we wnętrzu kapsuły, R - strumień wynikowy (resultant flux) odprowadzany z kapsuły do otoczenia.



Rys. C5. Wygląd kapsuł dwukomorowych w obu trybach pracy. Zilustrowano tu różnice we wyglądzie zewnętrznym kapsuł działających w dwóch przeciwnych trybach pracy, t.j.: (a) dominacji strumienia WEWNĘTRZNEGO, oraz (b) dominacji strumienia ZEWNĘTRZNEGO. Ponieważ potężne pulsujące pole magnetyczne panujące w takich kapsułach jest przezroczyste tylko jeśli patrzeć na nie wzdłuż jego linii sił, zakrzywione linie sił strumienia krążącego "C" muszą być nieprzezroczyste dla postronnego obserwatora, i stąd będą one widoczne jako obszary czerni albo "czarne dziury" (porównaj opis z podrozdziału D3 z rysunkiem C4).

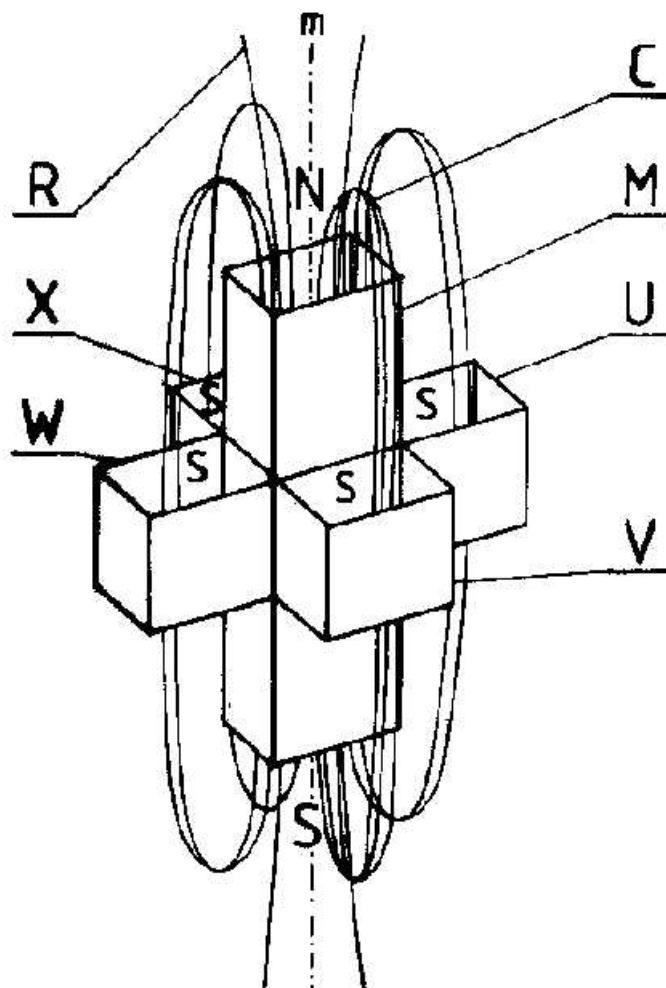
(a) Kapsuła z dominacją strumienia wewnętrznego. Strumień wynikowy "R" zostaje w niej wytwarzany przez komorę wewnętrzną "I", podczas gdy cały wydatek komory zewnętrznej "O" zamieniany zostaje w strumień krążący "C". Stąd w kapsule takiej przestrzeń pomiędzy komorą wewnętrzną i zewnętrzną jest nieprzenikalna dla światła i wygląda jak obszar całkowicie zaczerwiony.

(b) Kapsuła z dominacją strumienia zewnętrznego. Strumień wynikowy "R" jest w niej wytwarzany przez komorę zewnętrzną "O". Komora wewnętrzna "I" dostarcza jedynie strumienia krążącego "C" jaki w swym obiegu po opuszczeniu komory wewnętrznej w całości zakrzywia się z powrotem do komory zewnętrznej. Stąd w tej kapsule przekrój poprzeczny komory wewnętrznej "I" wygląda jak całkowicie zaczerwiony.

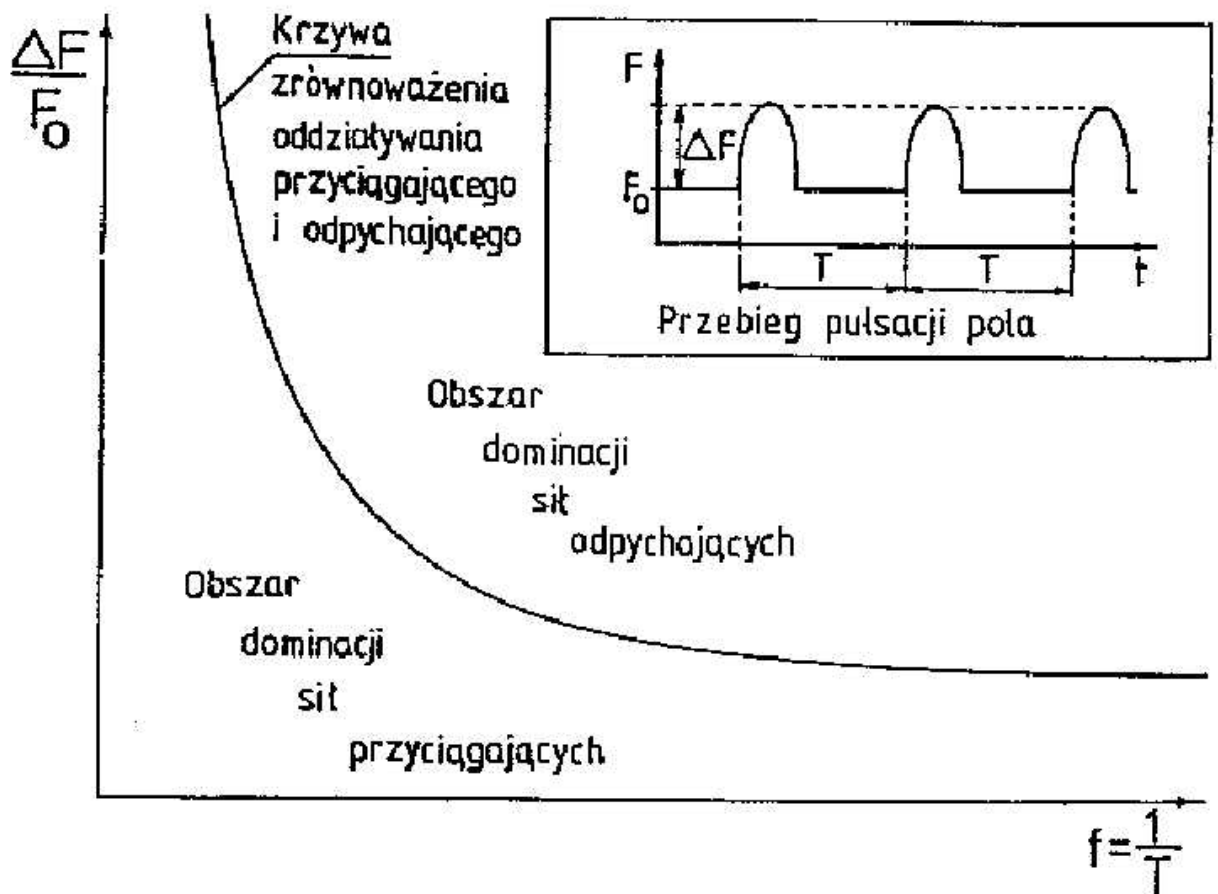


Rys. C6. Zasada formowania strumienia wynikowego "FR" w kapsule dwukomorowej z rysunku C4. Zilustrowano przypadek składania razem wydatków z obu komór "O" i "I" takiej kapsuły w celu otrzymania strumienia wynikowego "FR" jakiego zmiany w czasie odpowiadają tzw. "krzywej dudnienia". Komora zewnętrzna "O" produkuje większy wydatek "FN" jakiego zmiany w czasie (opisane na jego północnym biegunie "NORTH") reprezentowane są na tym wykresie przy pomocy krzywej "Fo". Natomiast komora wewnętrzna "I" posiada przeciwnie zorientowane bieguny - patrz rysunek C4 i część (b) na rysunku C5. Stąd w kierunku w którym panuje północny "NORTH" biegun komory zewnętrznej, w komorze wewnętrznej skierowany jest biegun południowy "SOUTH". Zmiany w czasie wydatku "FS" z komory wewnętrznej "I", reprezentowane są przez krzywą "FI". Jeśli oba wydatki "Fo" i "FI" o przeciwnych biegunach zostają zestawione razem, wynikowy strumień "FR" musi reprezentować algebraiczną różnicę ich wartości $FR = Fo - FI$. Różnica ta odprowadzana jest na zewnątrz kapsuły dwukomorowej w postaci właśnie strumienia wynikowego "FR". Cały zaś wydatek "FI" komory wewnętrznej "I" pozostaje uwięziony we wnętrzu kapsuły w postaci strumienia krążącego "C" jaki cyrkuluje wewnętrznie pomiędzy komorą wewnętrzną i komorą zewnętrzną. Zauważ, iż w dalszych rozważaniach kształt wynikowej krzywej dudnienia "FR" będzie w przybliżeniu reprezentowany przez krzywą zawierającą składową stałą "Fo" i składową pulsującą "F" - patrz rysunki C8 i H4.

Zauważ, że konfiguracja krzyżowa (rysunek C7) wytwarza strumień wynikowy w sposób niemalże identyczny do zilustrowanego powyżej.



Rys. C7. Konfiguracja krzyżowa. Jej najważniejszym zastosowaniem będzie pędnik magnokraftu czteropędnikowego - patrz rysunek E1. (W początkowym okresie po zbudowaniu komór oscylacyjnych może ona także być stosowana w pędnikach dyskoidalnego magnokraftu.) Jest ona uformowana z pięciu komór oscylacyjnych posiadających taki sam przekrój poprzeczny. Cztery sześciennie komór boczne (oznaczone jako U, V, W i X) otaczają przeciwstawnie do nich zorientowaną komorę główną (oznaczoną M) jaka jest od nich cztery razy dłuższa. Całkowita objętość wszystkich komór bocznych musi być równa objętości komory głównej. Konfiguracja krzyżowa stanowi uproszczony model układu napędowego magnokraftu. Wynikowy strumień magnetyczny (R) cyrkulowany z niej do otoczenia otrzymuje się jako różnicę pomiędzy wydatkami komory głównej i przeciwstawnie do niej zorientowanych komór bocznych. Zasada formowania tego strumienia wynikowego jest podobna do tej zilustrowanej na rysunku C6. Strumień krążący (C) jest zawsze formowany z wydatku tych komór które wytwarzają mniejszy strumień magnetyczny (w pokazanym na tym rysunku przypadku - z wydatku wszystkich komór bocznych). Linie sił pola w strumieniu krążącym zawsze zamykają swój obieg poprzez dwie komory. Konfiguracja krzyżowa, podobnie jak kapsuła dwukomorowa, także umożliwia pełne sterowanie wszystkich parametrów wytwarzanego przez nią pola. Jednakże na dodatek do sterowania osiąganego w kapsule dwukomorowej, będzie ona ponadto zdolna do zawirowywania swego pola wokół osi magnetycznej (m), formując w ten sposób własny wir magnetyczny. Jej wadą w porównaniu z kapsułą dwukomorową będzie jednak brak możliwości całkowitego "wygaszenia" pola magnetycznego odprowadzanego przez tą konfigurację do otoczenia (t.j. nawet jeśli cały jej wydatek uwięziony zostaje w strumieniu krążącym C, strumień ten ciągle cyrkuluje poprzez otoczenie).



Rys. C8. "Krzywa równowagi" oddziaływań pomiędzy polem magnetycznym wytwarzanym przez kapsułę dwukomorową lub konfigurację krzyżową, a przedmiotami ferromagnetycznymi zawartymi w ich otoczeniu. Jak to powszechnie wiadomo, stałe pole magnetyczne przyciąga przedmioty ferromagnetyczne. Stąd też wszystkie pola w jakich składowa stała (F_0) dominuje nad składową pulsującą (F) muszą przyciągać przedmioty ferromagnetyczne. Parametry pola w którym ta składowa stała przewyższa składową zmienną znajdują się poniżej krzywej z tego wykresu (t.j. w obszarze dominacji sił przyciągających). Eksperymenty z polami dynamicznymi ustaliły, że pulsujące pole magnetyczne wypycha ze swego zasięgu wszystkie przedmioty przewodzące (w więc także ferromagnetyki). Stąd też wydatki kapsuły dla których składowa pulsująca (F) dominuje nad składową stałą (F_0) będą powodować odpychanie wszystkich przedmiotów ferromagnetycznych. Pola magnetyczne w których składowa pulsująca (F) dominuje nad składową stałą (F_0) leżą ponad krzywą z tego wykresu (t.j. w obszarze dominacji sił odpychających). Natomiast dla parametrów pola magnetycznego w którym obie składowe balansują swoje działanie, t.j. leżących dokładnie na pokazanej tu krzywej równowagi, przyciąganie i odpychanie nawzajem się zrównoważą. Stąd pole jakie oznacza się takimi parametrami nie będzie ani przyciągało ani też odpychało przedmiotów ferromagnetycznych zawartych w jego zasięgu. Pole takie będzie więc się zachowywało jak rodzaj jakiejś "antygravitacji" raczej niż pola magnetycznego.

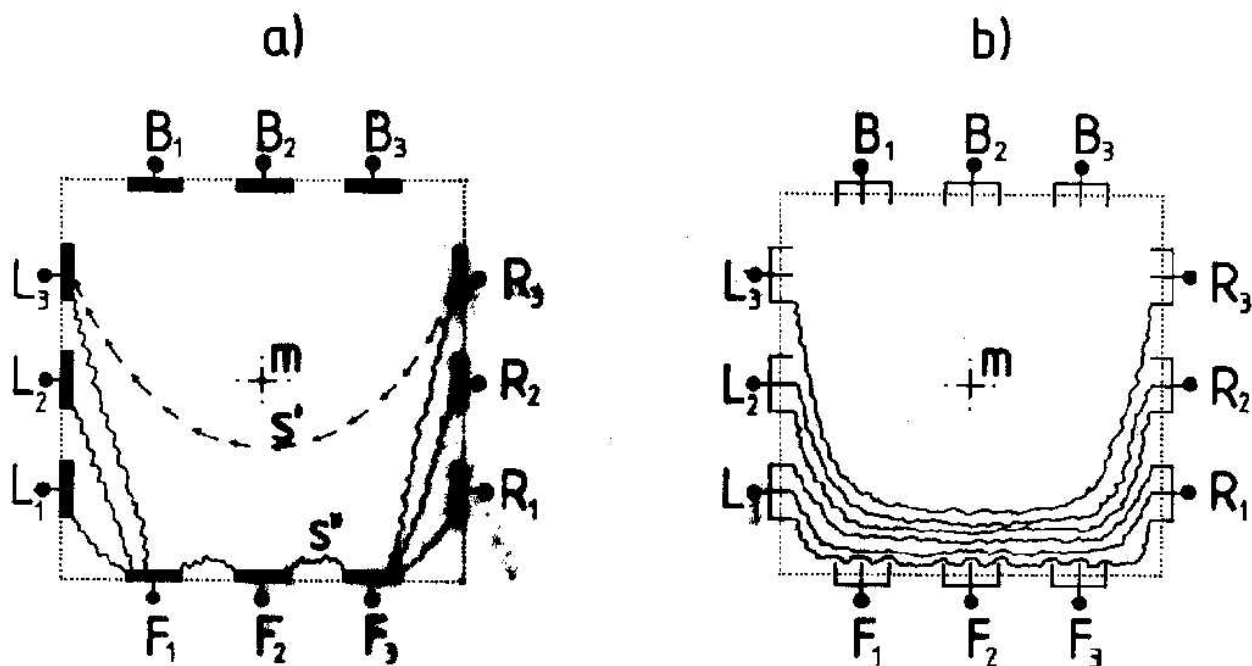
Obramowanie zawiera interpretację wszystkich dyskutowanych parametrów pulsującego pola objaśnianego na tym rysunku.



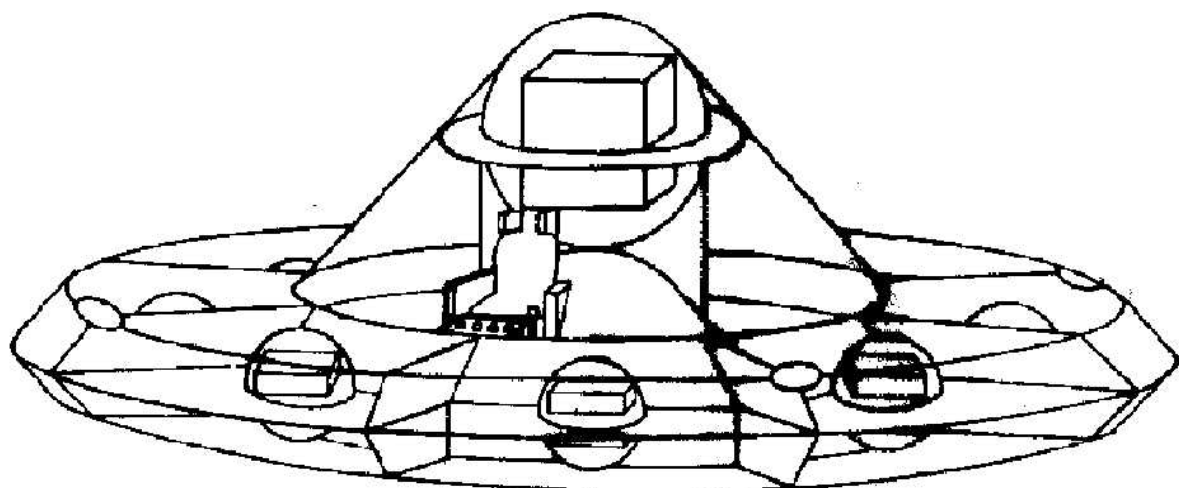
Rys. C9. Fotografie eksperymentalnych urządzeń Ryszarda Zudzina. Prototypy jego komór ciągle wymagają wielu udoskonaleń zanim wytworzą one liczące się pole magnetyczne i stąd nadadzą się do pierwszych zastosowań komercyjnych. Jednakże ich bezspornym osiągnięciem jest eksperymentalne potwierdzenie że zasada działania komory oscylacyjnej jest poprawna i realizowalna na drodze technicznej, oraz przetarcie drogi dla bardziej zaawansowanych badań. Sekret sukcesu Zudzina leży we wprowadzeniu elektrod igłowych jakie zastąpiły kwadratowe elektrody pokazane na rysunku C1 "b" - patrz także rysunek C10, oraz w odpowiednim ukształtowaniu impulsów elektrycznych które wytwarzają iskry. Zudzin znalazł ideę takich igło-kształtnych elektrod w starych opisach złotych gwoździ wbijanych poprzez drewniane ścianki Arki Przymierza.

(a) Model Zudzina sfotografowany w ciemności. Ukazuje on fascynujący wygląd pęków rotujących iskier. Fotografia ta wykonana została w maju 1987 roku.

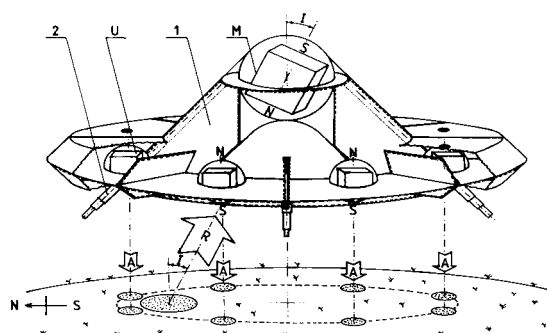
(b) Ryszard Zudzin z Bydgoszczy oraz jego eksperymentalne stanowisko badawcze składające się z: jednego z jego prototypów komory, generatora impulsów (także jego konstrukcji) jaki dostarcza komorze jej mocy elektrycznej, elektromagnesu odchylającego, oraz urządzeń pomiarowych. Sfotografowano w sierpniu 1989 roku.



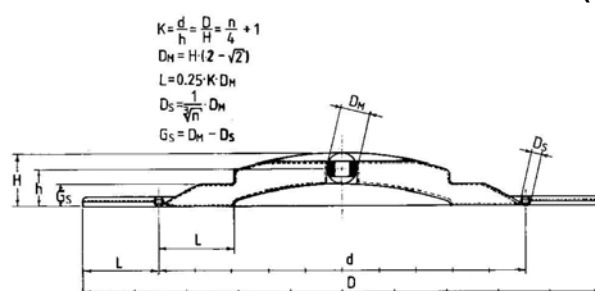
Rys. C10. Uzasadnienie użycia igło-kształtnych elektrod. Rysunek pokazuje odgórny widok dwóch wersji komory oscylacyjnej podczas ich działania. W obu wersjach pęki isker pokazane zostały w procesie przeskakiwania z elektrod oznaczonych jako "R" (t.j. prawych - "right") do elektrod oznaczonych jako "L" (lewych - "left"). Ponieważ we wnętrzu komory, wzdłuż jej pionowej osi "m" panuje silne pole magnetyczne, skaczące iskry zostają przyparte ku powierzchni elektrody oznaczonej jako "F" (t.j. przedniej - "front"). To przypieranie powoduje, iż lewa komora (a) wykorzystująca płyto-kształtne elektrody, zamiast pożądanego przebiegu (s') swoich isker, uzyskuje ten przebieg wzdłuż linii najmniejszego oporu (s) prowadzącego przez materiał przednich płyt "F1", "F2", "F3". Jednakże takie przeskoki "na skróty" nie są możliwe w komorze prawej (b) z igło-kształtnymi elektrodami, gdzie ostre końce elektrod igłowych odpychają iskry czyniąc niemożliwym ich wnikanie do materiału elektrod "F".



(b)



(c)

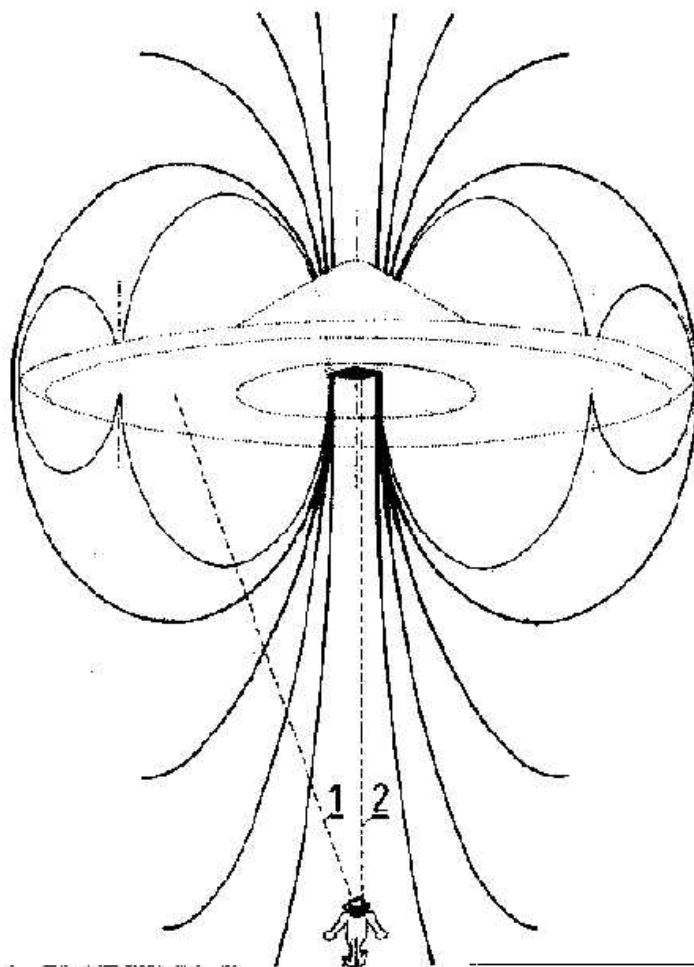


Rys. D1. Dyskoidalny magnokraft. Rysunek ukazuje konstrukcję i działanie magnokraftu najmniejszego typu, który z uwagi na wartość jaką przyjmuje jego współczynnik krotności $K=D/H=3$, nazywany jest typem K3.

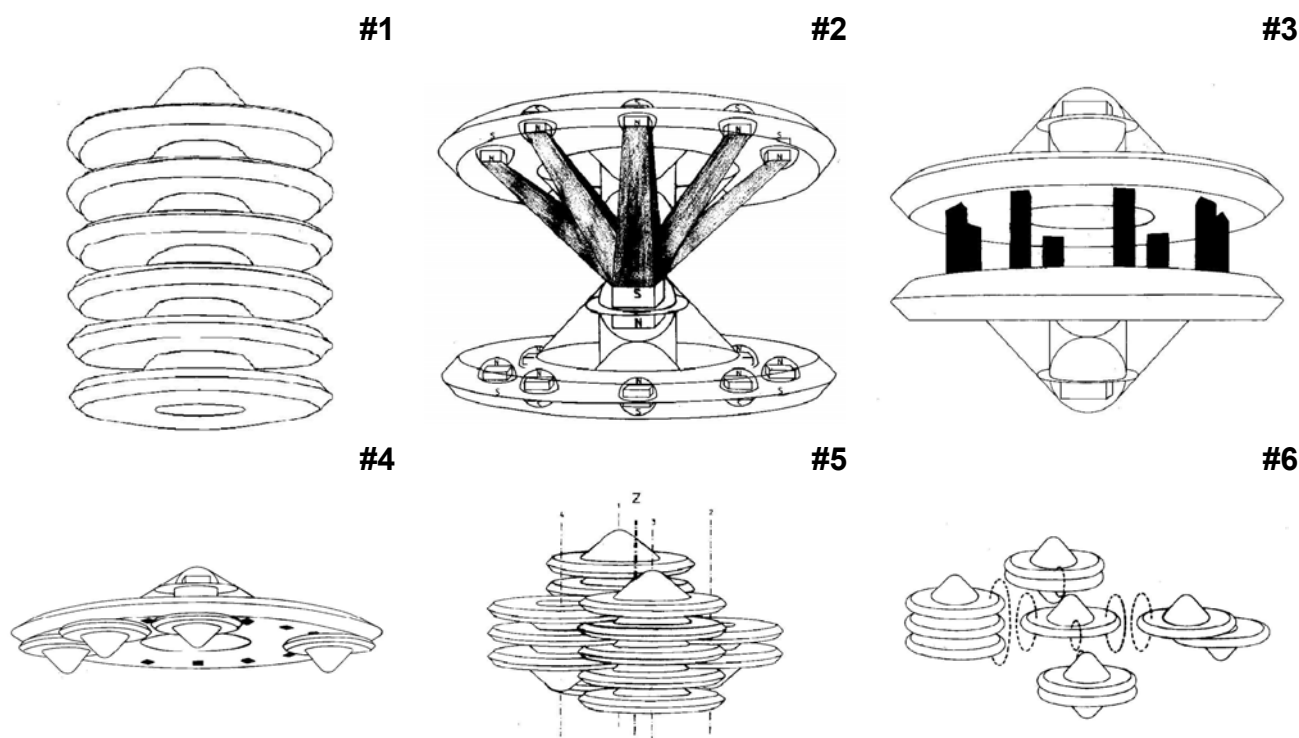
(a = góra) Wygląd magnokraftu typu K3. W pozycji "stojącej" zilustrowanej na tym rysunku, statek ten przypomina odwrócony do góry dnem talerz, w którego centrum umieszczony jest pojedynczy pędnik główny (nośny), zaś na obrzeżu osiem pędników bocznych (stabilizacyjnych). Kształt i wymiary tego statku są ściśle zdefiniowane zestawem równań (patrz wzory (D1) do (D4) w podrozdziale D1) wyprowadzonych w [1a] i [1] a wynikających z warunków operacyjnych i konstrukcyjnych. Pierścieniowata kabina załogi (patrz "1" w części (a) tego rysunku) z uwidocznionym tu fotelem pilota, wciśnięta jest pomiędzy pędnik główny i pędniki boczne. Należy zwrócić uwagę iż pędniki boczne osadzone są w poziomym pierścieniu separacyjnym, wykonanym - podobnie jak poszycie kabiny załogi, z materiału nieprzenikalnego dla pola magnetycznego. Pierścień ten odseparowuje bieguny magnetyczne każdego pędnika, zmuszając jego pole do cyrkulowania poprzez otoczenie. Każdy pędnik boczny oddzielony jest też od pędników sąsiednich za pośrednictwem pionowych przegród separacyjnych, wykonanych z tego samego materiału magnetorefleksyjnego.

(b = dół - lewy) Konstrukcja i główne podzespoły magnokraftu. Wycięcie w aerodynamicznej osłonie kołnierza bocznego służy ukazaniu jego wewnętrznej budowy. Krawędzie wszystkich ścianek wykonanych z materiału nieprzenikalnego dla pola magnetycznego na rysunku obwiedzione zostały przerywaną linią. Pozostałe ścianki (t.j. powłoki aerodynamiczne wszystkich pędników) wykonane są z materiału przenikalnego dla pola. Z uwagi na swą zasadę działania, magnokraft lata z podstawą ustawioną prostopadle do linii sił pola magnetycznego otoczenia. Jednakże podczas manewru lądowania, zilustrowanego na powyższym rysunku, statek ten ustawia swą podstawę równoległe do powierzchni gruntu oraz wysuwa teleskopowe nogi "2". Pędniki "M, U" lądującego magnokraftu typu K3 pozostawiają na ziemi wypalony magnetycznie (jakby promieniowaniem kuchenki mikrofalowej) pierścień roślinności o nominalnej średnicy $d=D/\sqrt{2}=3.1$ metrów (patrz kolumna "d" z tablicy D1). Pędnik główny "M" oddziałuje odpychająco z polem magnetycznym otoczenia (którym może być pole ziemskie, słoneczne, lub pole galaktyczne). W ten sposób wytwarza on siłę nośną "R". Natomiast $n=8$ pędników bocznych "U" oddziałuje przyciągająco z polem otoczenia wytwarzając siły stabilizacyjne "A".

(c = dół - prawy) Najważniejsze wymiary dyskoidalnego magnokraftu (patrz też tablica D1).



Rys. D2. Wyjaśnienie dla efektu "soczewki magnetycznej". Efekt taki może zostać wytworzony na życzenie przez wszystkie wehikuly magnokrafto-podobne. Obserwator który śledzi (lub fotografuje) taki wehikuł gdy ów efekt został włączony, w najbardziej korzystnym przypadku może jedynie zarejestrować prostokątną komorę oscylacyjną z pędnika głównego, podczas gdy cała powłoka statku pozostaje dla niego niewidzialna (patrz rysunek I5). Aby wytworzyć taką soczewkę magnetyczną, dany wehikuł otacza się stałym polem magnetycznym. Konfiguracja tego pola jest tak wysterowana, aby moc uwięziona w centralnym obwodzie magnetycznym (t.j. obwodzie którego linie sił przebiegają jedynie przez pędnik główny) przewyższała wielokrotnie moc krążącą w głównych i bocznych obwodach magnetycznych (t.j. obwodach których linie sił przebiegają przez pędnik główny i pędniki boczne). Stąd ów centralny obwód magnetyczny hermetycznie zawija w sobie nie tylko że cały korpus statku, ale także jego pozostałe dwa obwody. Linie sił skoncentrowanego pola magnetycznego tego obwodu centralnego zachowują się jak wiązka włókien optycznych oddziaływujących na światło odbite do obserwatora. Ich oddziaływanie manifestuje się na dwa następujące sposoby: (1) powoduje ono zakrzywienie światła którego droga powinna przebiegać w poprzek linii sił pola magnetycznego (t.j. światło odbite od korpusu statku zostaje tak ugięte że nie dociera ono do osoby obserwującej), ale (2) umożliwia ono swobodne przejście światła którego droga przebiega wzdłuż linii sił pola magnetycznego (t.j. tylko światło pochodzące z pędnika głównego może bez przeszkód dosięgnąć obserwatora stojącego dokładnie pod statkiem). Stąd najkorzystniej ustawiona osoba która patrzy na taki magnokraft dokładnie spod spodu (t.j. wzdłuż linii sił obwodu centralnego), może jedynie zobaczyć kwadratowy lub romboidalny kształt kapsuły dwukomorowej z pędnika głównego, podczas gdy cała reszta statku - hermetycznie zawinięta w linie sił pola magnetycznego, nie jest dla niej widoczna. Dla wszystkich innych osób, które patrzą na statek pod znacznie większymi kątami, cały wehikuł staje się niewidzialny. Oznaczenia: 1 - droga po której światło nie jest w stanie się przedostać, 2 - droga po której światło bez przeszkód dociera do obserwatora.



Rys. D3. Sześć podstawowych klas konfiguracji magnokraftów. Każda z tych klas powstaje w efekcie magnetycznego sprzężenia kilku dyskoidalnych wehikułów (zilustrowano głównie magnokrafty typu K3). Różnice pomiędzy poszczególnymi klasami wynikają z: odmienności pędników w obu statkach które przywierają do siebie (t.j. główny do głównego, główny do bocznego, boczny do bocznego), typu oddziaływań magnetycznych pomiędzy tymi pędnikami (t.j. przyciąganie czy odpychanie), oraz zróżnicowanego kontaktu pomiędzy wehikułami (t.j. trwały, chwilowy, czy brak kontaktu). Zilustrowano:

#1. Fizyczne kompleksy latające. Otrzymywane gdy sprzęgane wehikuły pozostają ze sobą w trwałym (stabilnym) kontakcie mechanicznym (połączeniu), podczas gdy ich równorzędne pędniki przyciągają się nawzajem. Powyżej pokazany został kompleks w kształcie cygara posobnego powstały gdy kilka identycznych spodko-kształtnych statków przywiera wklęsłościami swych podstaw do kopuł swych poprzedników (t.j. jak stos talerzy w kuchni). Oprócz niego do klasy #1 należą: kompleks kulisty (powstały gdy dwa statki zwierają się podstawami - patrz rysunek H2), cygarno przeciwobne (powstałe gdy dwa cygara posobne zwierają się ze sobą podstawami jakby w kompleks kulisty), oraz formacja jodełkowa (czyli cygarno uformowane ze statków różnych typów i średnic).

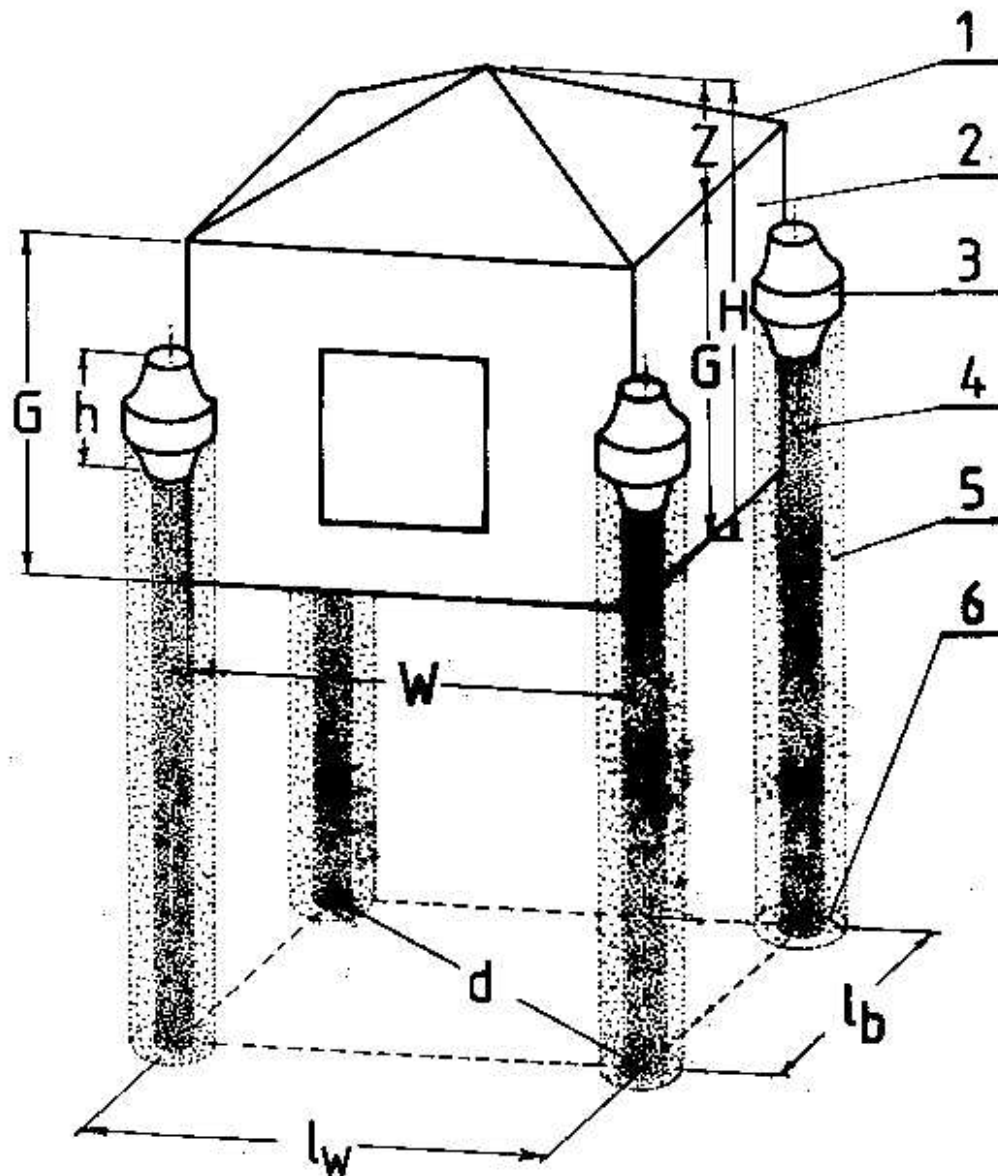
#2. Zestawy semizespalone. Otrzymywane gdy mechaniczny kontakt pomiędzy wehikułami jest punktowy (nietrwały), np. uzyskiwany poprzez wzajemne złożenie dwóch kopuł kulistych, zaś pędniki boczne obu statków odpychają się nawzajem. Na przekór temu kontaktowi, siły magnetyczne wyzwolane przez pędniki łączonych statków nadają stabilności ich połączeniu. Warto tu odnotować, że słupy wysoko skoncentrowanego pola magnetycznego łączącego wyloty nawzajem przyciągających się pędników przyjmują wygląd "czarnych belek" (t.j. pochłaniają światło jak hipotetyczna "czarna dziura" z optyki).

#3. Zestawy niezespalone. Otrzymywane gdy wehikuły sprzęgane są magnetycznie jednakże fizycznie wcale nie stykają się ze sobą (t.j. oddzielone są od siebie wolną przestrzenią). Linie sił pola magnetycznego z pędników bocznych przyciągających się nawzajem formują widoczne tu "czarne belki". Pędniki główne odpychają się nawzajem.

#4. Układy podwieszane - gdy małe typy wehikułów doczepiane są do pędników bocznych większego "statku matki" (pokazano 4 statki K3 doczepione do matki typu K5).

#5. Systemy latające - formowane gdy kilka cygar posobnych (klasa #1) zazębia się ze sobą za pośrednictwem swoich pędników bocznych.

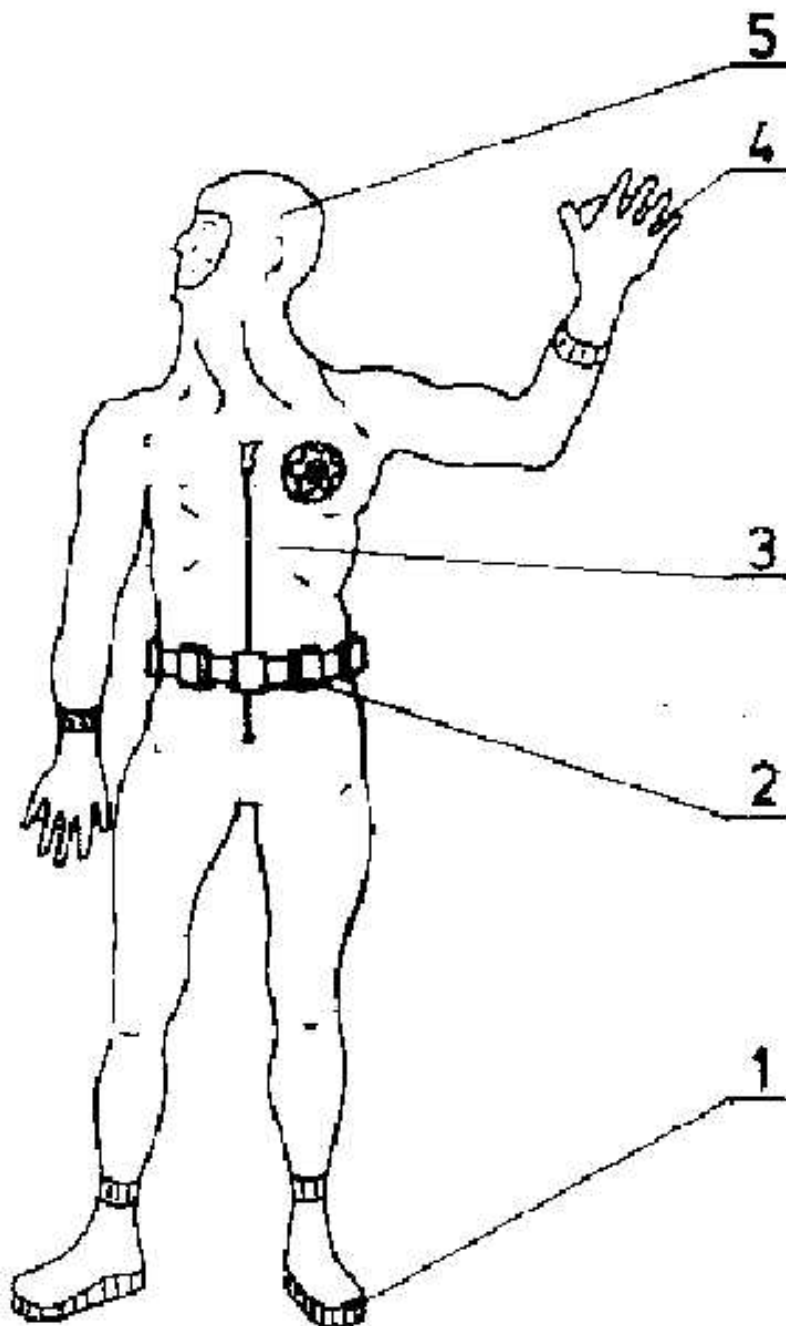
#6. Latający kluster. Otrzymywany jest on poprzez bezdotykowe sprzężenie bokami kilku poprzednio pokazanych konfiguracji magnokraftów i/lub pojedynczych wehikułów w rodzaj napowietrznego łańcucha lub pociągu. Rysunek ilustruje "latający krzyż". Linie przerywane pokazują przebieg obwodów magnetycznych separujących (odpychających) poszczególne wehikuły. Owe nieliczne obwody separujące zawsze otoczone są wieloma obwodami sprzęgającymi - nie zaznaczonymi powyżej ale omówionymi w [5].



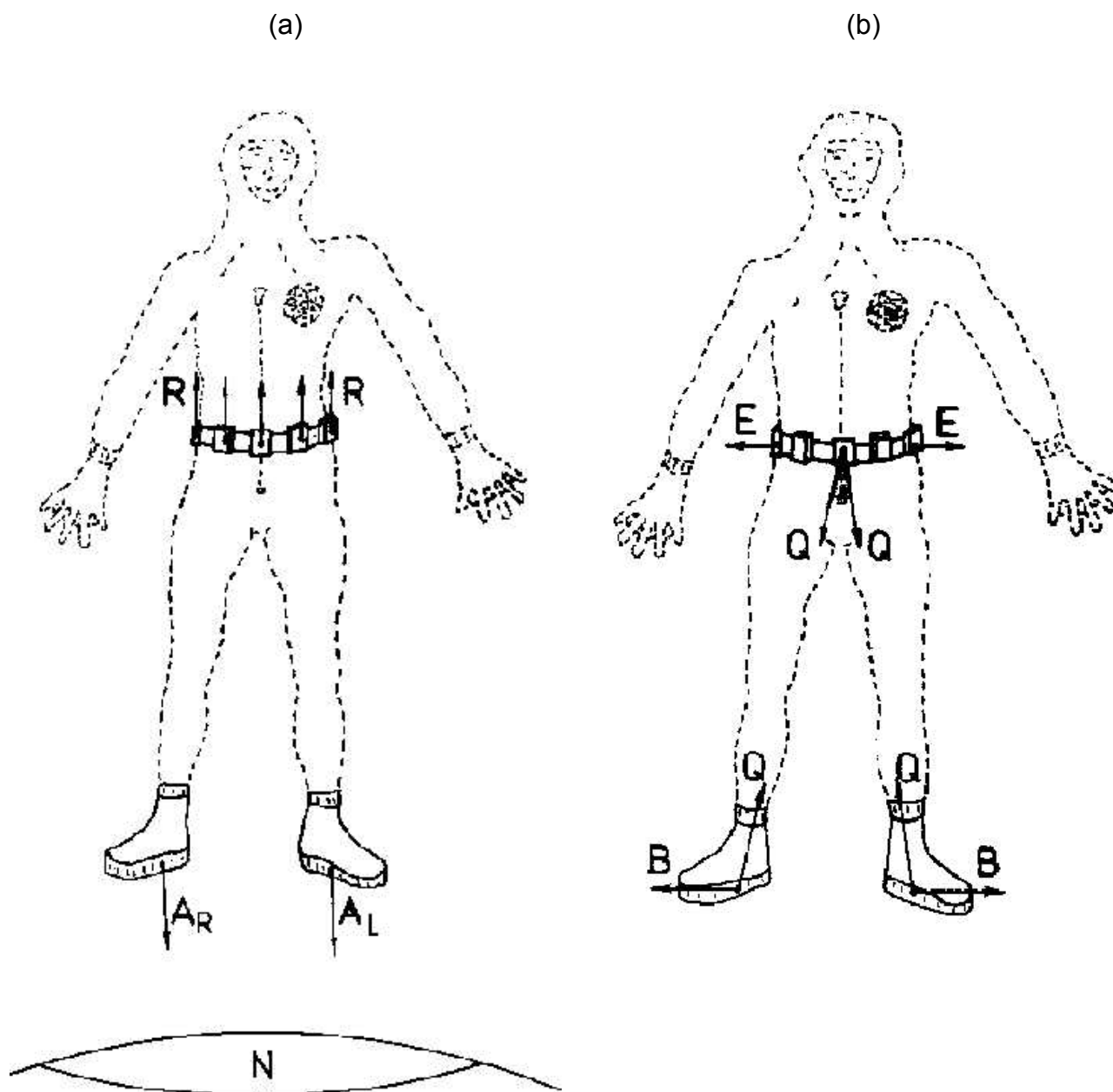
Rys. E1. Wehikuł czteropędnikowy. Statek ten, razem z dyskoidalnym magnokraftem oraz magnetycznym napędem osobistym, reprezentuje jedno z trzech podstawowych zastosowań pędników magnetycznych wykorzystujących komorę oscylacyjną.

Rysunek pokazuje wygląd ogólny wehikułu czteropędnikowego. zilustrowane zostały: kształt, podzespoły, oraz najważniejsze wymiary tego wehikułu. Symbole: 1 - dach w kształcie piramidki; 2 - sześcienny korpus główny statku zawierający jego przestrzeń życiową (t.j. kabinę załogi, kabiny pasażerów, powietrze, zapasy, komputer pokładowy, itp.); 3 - jeden z czterech pędników; 4 - rdzeń słupa pola magnetycznego wydzielanego przez każdy z pędników tego wehikułu (rdzeń ten formowany jest z pola produkowanego przez główną "M" komorę oscylacyjną); 5 - otoczka z wirujących segmentów pola magnetycznego wydzielanego z komór bocznych U, V, W, X każdego pędnika; 6 - jeden z czterech wypalonych śladów pozostawianych na powierzchni gruntu przez taki nisko zawisający statek. Wymiary: H, Z, G, W - opisują rozmiary prostokątnej lub sześcienniej kabiny załogi (reprezentują one: wysokość gabarytową, wysokość dachu, wysokość ścian, oraz szerokość statku); d, l, l_w , l_b (dla sześciangu $l_w=l_b=l$) - opisują rozstaw osi magnetycznych wehikułu (rozstaw ten musi być zgodny z rozstawem pędników bocznych dyskoidalnego magnokraftu tego samego typu); h - opisuje wysokość pędników wehikułu.

Odnotuj pędniki amforo-kształtne tego wehikułu. Jego wygląd, wymiary, oraz podzespoły składowe wynikają z budowy i działania "konfiguracji krzyżowej" komór oscylacyjnych pokazanej na "rys. C7". Wszakże zawiera on w sobie taką "konfigurację krzyżową" (po szczegóły patrz ów rysunek C7). Symbole: M - komora główna danej konfiguracji krzyżowej; U, V, W, X - cztery komory boczne danej konfiguracji krzyżowej przyjmujące kształty sześciątów (zauważ że przekrój poprzeczny komór U, V, W, X musi się równać przekrojowi poprzecznemu komory M, jednak ich długość musi być czterokrotnie mniejsza); 2 - amforo-kształtna owiewka aerodynamiczna jaka przykrywa i osłania komory pędnika (zauważ że owiewka ta może też przyjąć inne kształty); a - wymiar boczny sześcienniej komory oscylacyjnej; N, S - zorientowanie biegunów magnetycznych w poszczególnych komorach oscylacyjnych; m - oś magnetyczna pędnika.



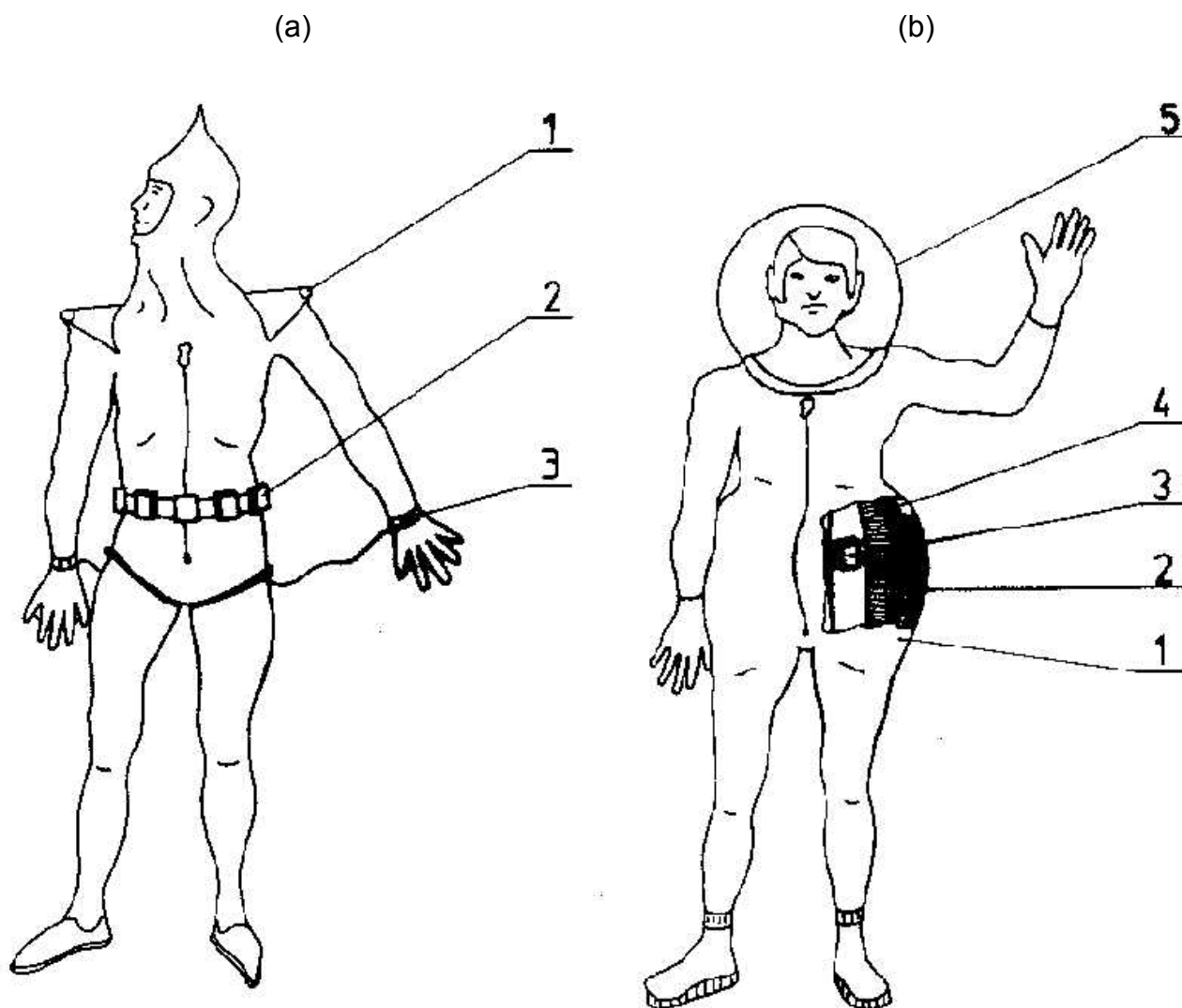
Rys. F1. Standardowy kombinezon napędu osobistego. Pokazano jego ogólny wygląd i elementy składowe. Użytkownicy takiego napędu będą w stanie bezgłośnie latać w powietrzu, spacerować po powierzchni wody, wykazywać odporność na działanie broni palnej, stawać się niewidzialnymi, itp. Na kombinezon ten składają się: (1) buty których podeszwy zawierają wmontowane pędniki główne; (2) ośmio-segmentowy pas zawierający pędniki boczne; (3) jednoczęściowy kostium wykonany z materiału magnetorefleksyjnego, jaki obejmuje także kaptur (5) lub hełm; (4) rękawice z błonopodobnymi łącznikami międzypalcowymi. Wszystko to uzupełnione jest kremem na bazie grafitu jaki okrywa odsłonięte części skóry dla zabezpieczenie ich przed działaniem silnego pola magnetycznego, oraz komputer kontrolny zamocowywany z tyłu szyi, jaki odczytuje bioprądy użytkownika i zamienia je na działania napędowe. Kiedy cięższa praca musi zostać wykonana, dodatkowe bransoletki zawierające pędniki wspomagające mogą być nakładane na przeguby rąk (pokazane jako (3) na rysunku F3 "a"). Pędniki te ko-operują z pędnikami z pasa i butów, dostarczając użytkownikowi napędu "nadprzyrodzonej" siły fizycznej, np. umożliwiającej mu wrywanie dębów z korzeniami, unoszenie ogromnych głazów, powalanie budynków, itp.



Rys. F2. Siły magnetyczne formowane przez napęd osobisty. Pokazano układ sił zewnętrznych (patrz lewa sylwetka) i wewnętrznych (patrz prawa sylwetka). Należy zauważyć że oba te układy sił neutralizują się nawzajem. Podczas gdy siły "R" i "A" działające w przeciwnych kierunkach rozciągają ciało użytkownika, siły "Q" równocześnie je ściskają. Jedyne siły "B" pozostają niezrównoważone, utrzymując nogi użytkownika w ciągłym rozkroku ułatwiającym identyfikację faktu użycia tego napędu.

(lewa sylwetka) Układ sił zewnętrznych formowany wskutek oddziaływania pędników napędu personalnego z polem magnetycznym otoczenia. Siły te obejmują: R - siłę nośną wytwarzaną we wyniku oddziaływań odpychających z polem otoczenia; A - siły stabilizacyjne wytwarzane w efekcie oddziaływań przyciągających. Indeksy: R - (right) prawa, L - (left) lewa.

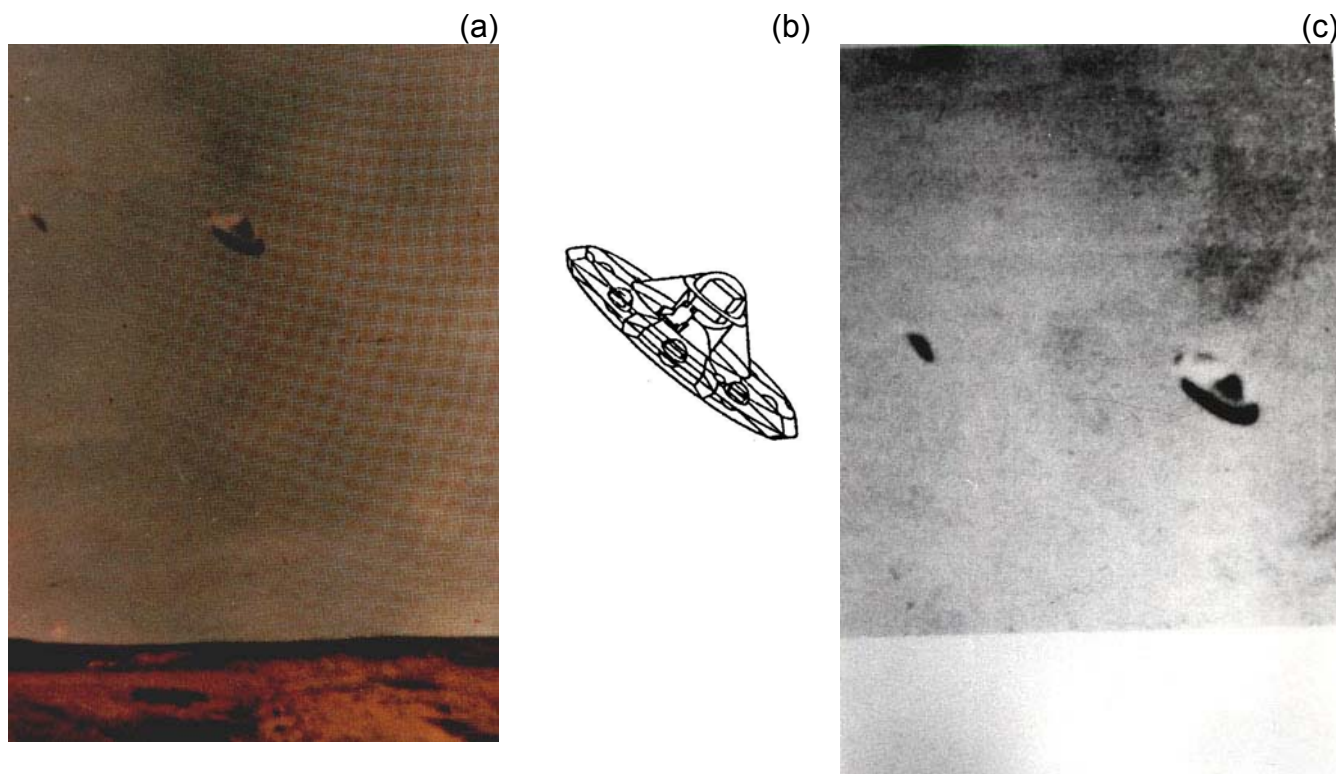
(prawa sylwetka) Układ sił wewnętrznych formowanych we wyniku oddziaływania pędników magnetycznych pomiędzy sobą. Siły te obejmują: B - siły wzajemnego odpychania się od siebie obu pędników głównych (powodują one stałe odseparowanie (rozkrok) nóg użytkownika); E - siły wzajemnego odpychania się od siebie pędników bocznych (powodują one rozprężanie się pasa); Q - siły wzajemnego przyciągania powstające pomiędzy każdym pędnikiem głównym i każdym pędnikiem bocznym (jeśli wytracone z równowagi poprzez zgięcie nóg, siły te powodują latanie użytkownika w pozycji przykucniętej ze skrzyżowanymi nogami).



Rys. F3. Modyfikacje standardowego napędu osobistego. Pokazane tu przykłady dwóch takich modyfikacji w rzeczywistych napędach wcale nie muszą zostać użyte w dokładnie takim zestawie.

(lewo) Wersja napędu osobistego z pędnikami głównymi zamontowanymi w epoletach. Pokazane zostały: (1) jeden z dwóch pędników głównych; (2) ośmiosegmentowy pas zawierający pędniki boczne; (3) jedna z dwóch bransoletek wspomagających zakładanych na przeguby rąk (niekiedy mogą one też przyjmować formę kwadratowych płytek naszywanych na górnej powierzchni rękawic użytkownika). Bransoletki te zawierają dodatkowe pędniki wspomagające (nie używane do lotów) jakie zwielokrotniają siłę fizyczną użytkownika gdy musi on/ona dokonywać jakiejś pracy fizycznej. Rysunek ukazuje też skrzydłopodobną pelerynę przyszytą do skafandra wzdłuż kręgosłupa i rękawów, jaka aerodynamicznie powiększa płynność lotów (jak współczesna lotnia). Dla zwiększenia wytrzymałości i stateczności tego kombinezonu, czasami dwie skrzyżowane szelki wzmacniające będą dodatkowo łączyły pas z epoletami (patrz rysunek K4).

(prawo) Wersja napędu osobistego z kaskiem oraz ochronną poduszką wokół bioder. Pokazane zostały: (1) poduszki otaczające biodra jakie chronią ręce użytkownika napędu przed działaniem silnego pola magnetycznego i elektrycznego; (2) magnetycznie nieprzenikalny ekran oraz przeciw-elektrostatyczna izolacja montowane na zewnętrznych powierzchniach poduszek; (3) jeden ze segmentów ośmio-segmentowego pasa zawierającego pędniki boczne; (4) jedna z przedziałek jaka dzieli poduszkę na osiem oddzielnych komór (każda z tych komór izoluje jeden pędnik boczny); (5) magnetycznie nieprzenikalny hełm osłaniający głowę.



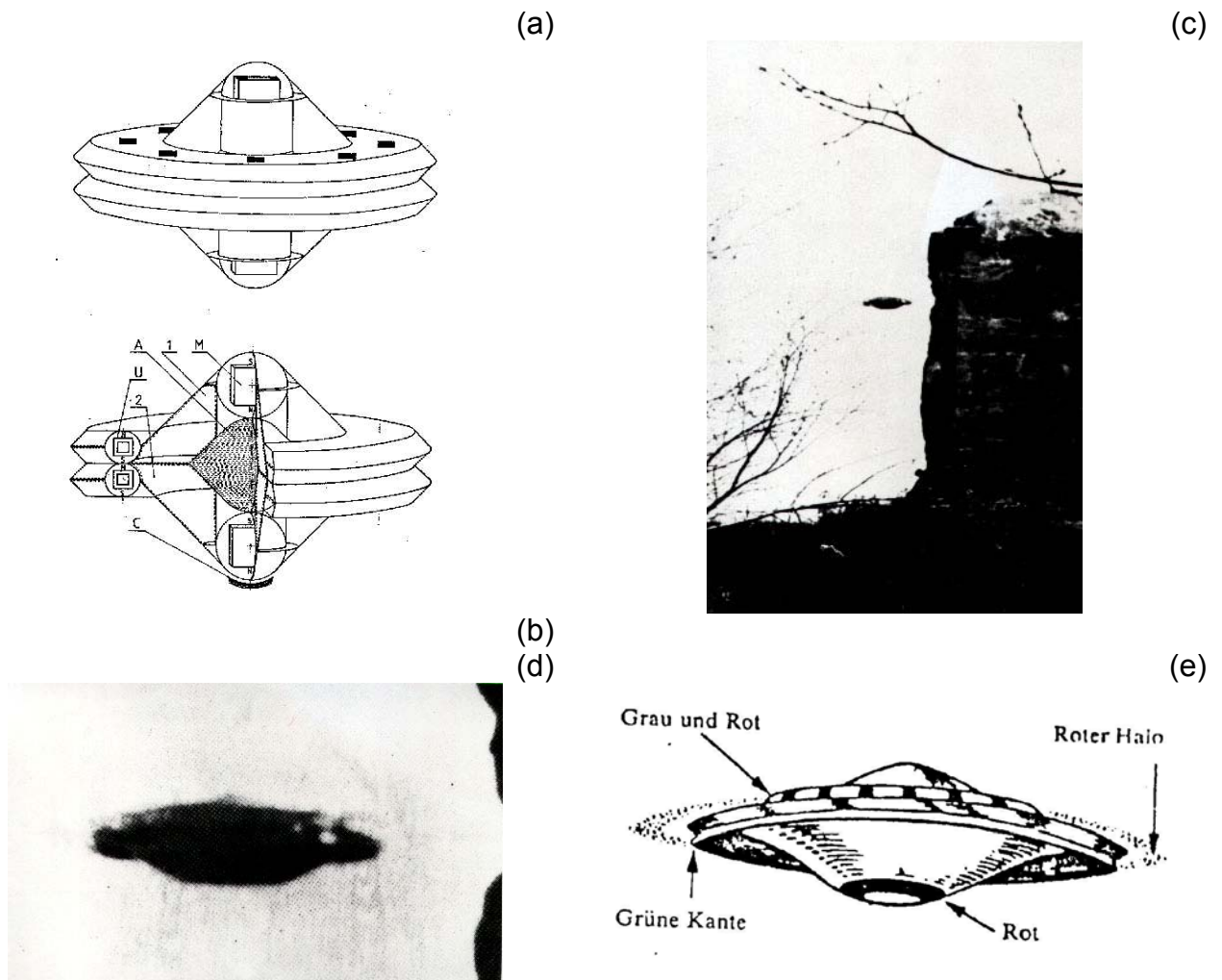
Rys. H1. Podobieństwo wyglądu UFO i magnokraftów. Fotografia ta została zaczerpnięta ze sekwencji czterech kolorowych zdjęć wykonanych przez Augusto Arranda koło Yungay, Peru, w marcu 1967 roku - patrz książka [1L2] Ronald'a D. Story (editor): "The Encyclopedia of UFOs", New English Library, London 1980, ISBN 0-450-04118-2, strona 39. Cała sekwencja zdjęć Arrandy ukazuje dwa UFO typu K3 uchwycione w kolejnych stadiach rozdzielania się z kompleksu kulistego i odlotu w przeciwnych kierunkach (przed rozpoczęciem fotografowania oba wehikuly leciały zespolone ze sobą w kompleks kulisty podobny do zilustrowanego na rysunku H2 "a"). Oba wehikuly znajdują się w trybie pulsującego (bijącego) pola (t.j. kiedy ich pędniki nie wytwarzają wiru magnetycznego) stąd ich powłoka i kształty pozostają doskonale widoczne. Analiza geometryczna ujawnia uderzające podobieństwo tego UFO do zarysów magnokraftu typu K3 - patrz rysunek w prawej części objęty w ramkę. Ogólny zarys tego UFO przypomina odwrócony spodek którego podstawa ustawiona jest prostopadle do lokalnego przebiegu linii sił ziemskiego pola magnetycznego. W centrum tego statku doskonale widoczna jest stożkowata kabina załogi przykryta półkulistą kopułą (w kopule takiej magnokraft ukrywa centralną przestrzeń napędową zawierającą pędnik główny). UFO to posiada także soczewkkształtny kołnierz boczny, który przy podstawie statku opasuje jego kabinę załogi (w magnokrafcie typu K3 kołnierz taki zawiera $n=8$ pędników bocznych).

(a) Reprodukacja oryginalnej (kolorowej) fotografii Arranda.

(b) Wygląd zewnętrzny magnokraftu typu K3, narysowany tak aby spełniał on zestaw równań matematycznych (wyprowadzonych w [1a], skomentowanych w podrozdziale D1 i zestawionych pod tablicą D1) precyzyjnie definiujących jego kształt, konstrukcję i wymiary - patrz też rysunek D1 i tablica D1.

(c) Czarn-białe powiększenie wehikułów UFO ujętych fotografią Arranda.

Warto w tym miejscu podkreślić, iż w następstwie formalnego dowiedzenia że "UFO to już zbudowane magnokrafty" (patrz konkluzje podrozdziału H1), wszystkie rysunki i tablice tej monografii pokazujące magnokrafty ilustrują także odpowiadające tym magnokraftom wehikuly UFO.



Rys. H2. Kompleks kulisty UFO sprzęgnięty z dwóch wehikułów typu K6, sfotografowany nad Szwecją przez Lars'a Thorn'a, dnia 6 maja 1971 roku.

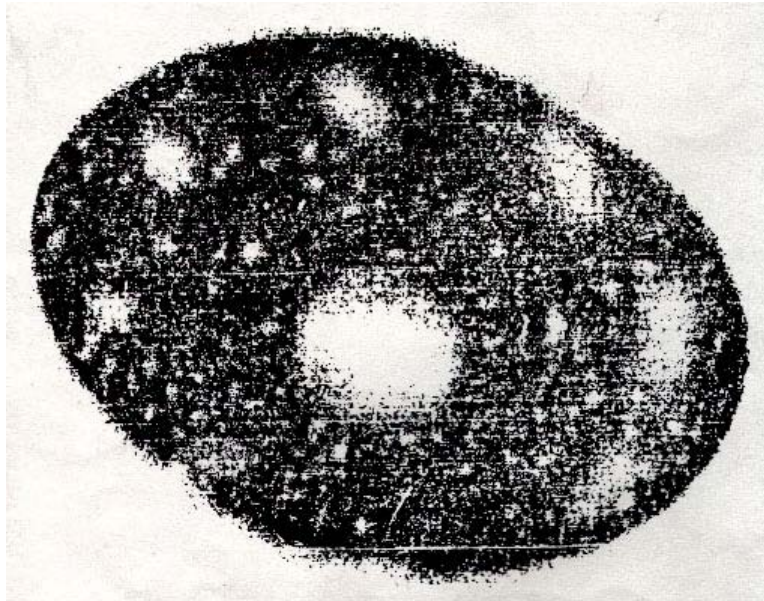
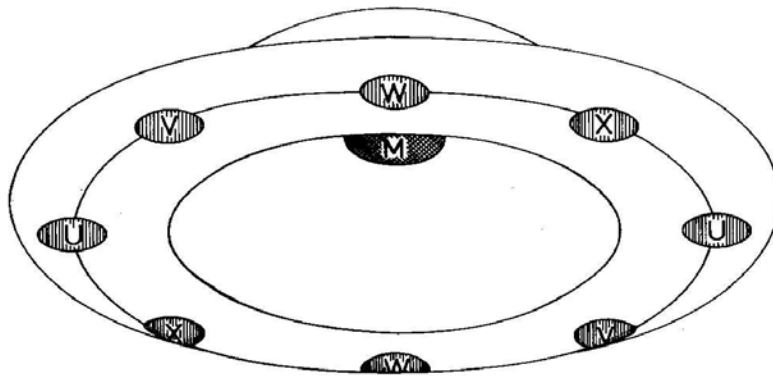
(a) Przewidywany wygląd boczny kompleksu kulistego, tyle że uformowanego z dwóch magnokraftów typu K3 a nie dwóch UFO typu K6 pokazanych na fotografii (c).

(b) Wykrój w kompleksie kulistym magnokraftów typu K3 ukazujący teoretyczną zasadę jego formowania. Uwidocznione zostało: zorientowanie biegunów (N, S) w pędniku głównym (M) i poszczególnych pędnikach bocznych (U); wzajemne położenie kabin załogi (1, 2) obu statków; "węgiel warstwowy" (C) jaki w szczególnych warunkach osadza się na wylocie (N) pędnika głównego; oraz tzw. "anielskie włosy" (A) które są galaretowatą substancją hydrauliczną (podobną do białka z jajka lub galaretki z "zimnych nóżek") wprowadzaną pomiędzy oba wehikuły w celu zneutralizowania sił wzajemnego przyciągania się ich pędników głównych. Węgiel warstwowy odrywa się od UFO podczas lądowania. Natomiast anielskie włosy opadają na ziemię po rozdzieleniu się tych wehikułów zaś ich ciągliwe bryły i pasma często mogą zostać przypadkowo zaobserwowane gdy leżą na polach lub zwisają z drzew zanim zdążą się rozłożyć i wyparować.

(c) Cała fotografia Thorn'a pokazująca nieruchomo zawiesznięte UFO na tle krajobrazu. Z badań autora wynika, że załoga takich wehikułów typu K6 składa się z naukowców wyspecjalizowanych w badaniach geologicznych (stąd wehikuły i lądowiska UFO typu K6 obserwowane są przy kamieniach, skałach, interesujących pęknięciach gleby, itp.). Warto zauważyć że na powyższym zdjęciu UFO właśnie zdaje się analizować otaczające je struktury geologiczne.

(d) Powiększenie obiektu z fotografii pokazanej w części (c). Na powiększeniu tym daje się sprawdzić poprawność wzoru (D2) na współczynnik krotności (wzór ten dla kulistych kompleksów latających przyjmuje postać (D2'): $K=2D/H$ - patrz Horyzonty Techniki, nr 4/1982, str. 45-46). Dla UFO i magnokraftów typu K6 współczynnik ten posiada wartość $K=6$.

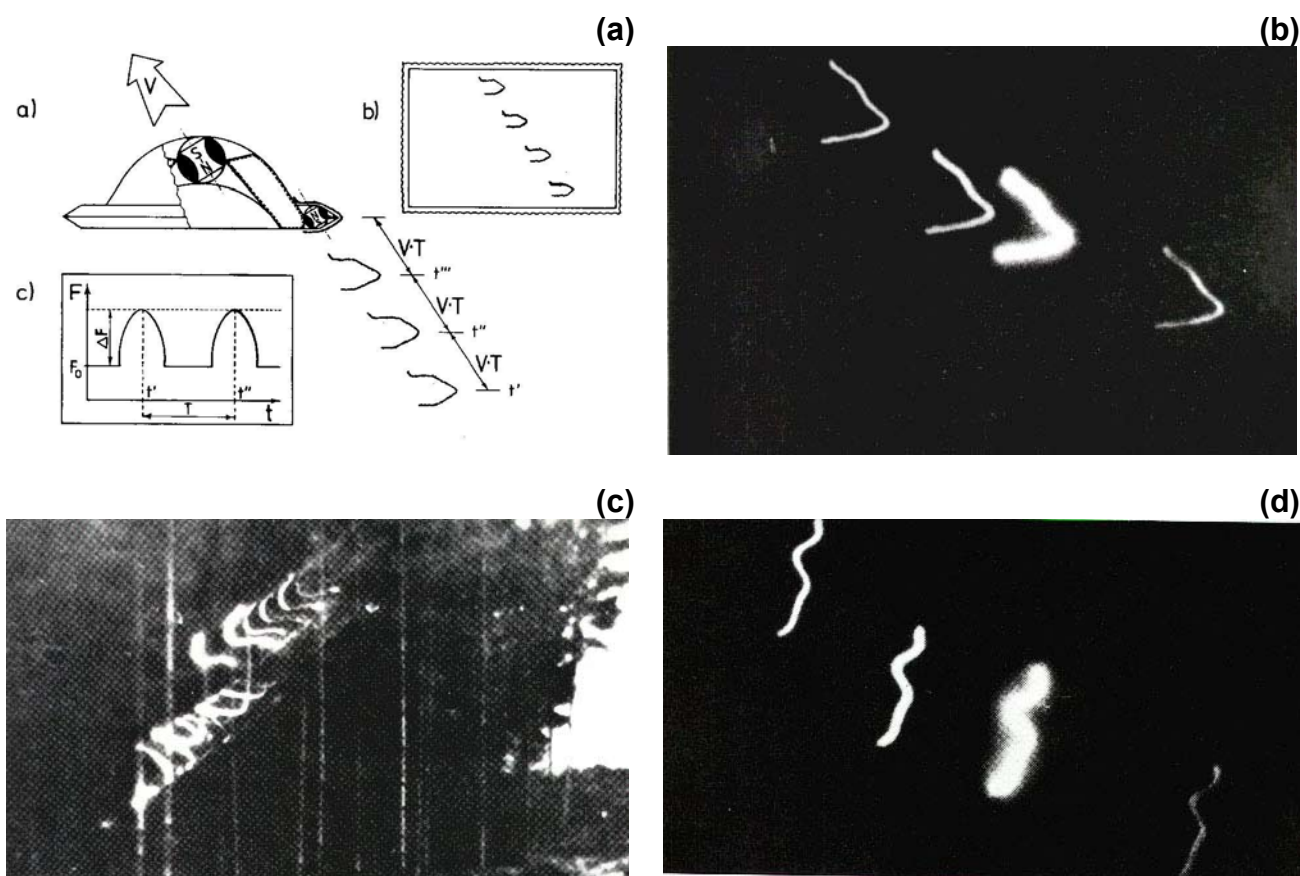
(e) Rekonstrukcja kształtu i wyglądu kulistego kompleksu wehikułów z tej fotografii, sporządzona na podstawie komputerowej analizy zdjęcia Thorn'a przez sztokholmską grupę badawczą GICOFF. Rekonstrukcja owa, razem z powyższymi fotografiami opublikowana została w książce [1J2] Adolfa Schneidera i Huberta Malthanera: "Das Geheimnis der unbeakantnen Flugobjekte" (t.j. "Sekret niezidentyfikowanych obiektów latających"), Hermann Bauer Verlag KG - Freiburg im Breisgau, West Germany, 1976, ISBN 3-7626-0197-6, strona 81. Bardzo wyraźnie ujawnia ona podwójny kołnierz opasujący wynikowy kompleks w połowie jego wysokości, a powstały przez złożenie ze sobą dwóch soczewkowsk kształtnych kołnierzy bocznych obu statków. W dolnym wehikule widoczny jest wylot pędnika głównego. W górnym wehikule widoczne są czarne słupy/cienie na wylotach z pędników bocznych.



Rys. H3. Rozłożenie pędników UFO. Fotografia ta dokumentuje że pędniki magnokraftu i UFO położone są w identyczny sposób.

(Góra) Rysunek magnokraftu typu K3 oglądanego od spodu, który ilustruje położenie i wygląd jego pędników podczas szczególnych warunków atmosferycznych (t.j. wieczór, przyciemnione światło, wilgotne powietrze). Położenie pędników zdradza wtedy świecenie powietrza jonizowanego potężnym polem na ich wylotach. Przy słabym oświetleniu takie plamy zjonizowanego powietrza są łatwo zauważalne. Jeśli magnokraft leci w pozycji "stojącej" ponad półkulą południową, dolne wyloty pędników bocznych (oznaczonych U, V, W, X) powinny emitować żółte lub pomarańczowe światło ponieważ ich północny "N" biegun magnetyczny zwrócony jest ku obserwatorowi. Pędnik główny (oznaczony M) emituje wtedy zielone światło ponieważ jego biegun "S" zwrócony jest w dół ku obserwatorowi. Kolory te ulegną odwróceniu (tzn. żółty zastąpi zielony, i vice versa) gdy magnokraft zmieni półkulę, przeleci ponad biegunem Ziemi, lub przekoziołkuje swoją pozycję ze "stojącej" na "wiszącej" skierowując półkulistą kopułę ku dołowi. Ten sam wehikuł widziany od góry ukaże też kolory odwrotne do tych oglądanych od dołu, ponieważ na obu przeciwstawnych wylotach poszczególnych pędników panuje pole o odwrotnej biegunowości.

(Dół) UFO typu K3 sfotografowane od spodu. Dnia 3 stycznia 1979 roku zawisło ono nieruchomo nad Butterworth w Malazji. Powyższą fotografię opublikowano w gazecie [111.2] National Echo, z Penang, Malazja, wydanie z 4 stycznia 1979 roku, oraz zreproduковано w czasopiśmie [211.2] Mufon UFO Journal, wydanie z lutego 1980 roku, strona 8. Oryginalna odbitka tego zdjęcia okazała się niemożliwa do zdobycia, stąd autor pokazuje jedynie jego gazetową reprodukcję. Widoczne są świecące obszary pojawiające się na wylotach z pędników wehikułu (aczkolwiek najniższy z pędników bocznych nie jonizował powietrza w chwili wykonania zdjęcia, na jego istnienie w tym UFO wskazuje okupowana przez niego wolna przestrzeń). Zdjęcie to umożliwia wyznaczenie dokładnego położenia pędników w konstrukcji UFO. Okazuje się że ich rozmieszczenie względem obrzeża wehikułu, ilość (tzn. jeden pędnik główny w centrum statku, otoczony przez $n=8$ pędników bocznych), oraz zorientowanie, dokładnie odpowiadają pędnikom z magnokraftu typu K3 pokazanego w części (A). Warto wspomnieć, że spora ilość podobnych fotografii pokazuje pędniki UFO z innych kątów lub przy innym trybie pracy (np. gdy w chwili wykonania zdjęcia powietrze jest jonizowane tylko pod kilkoma pędnikami).



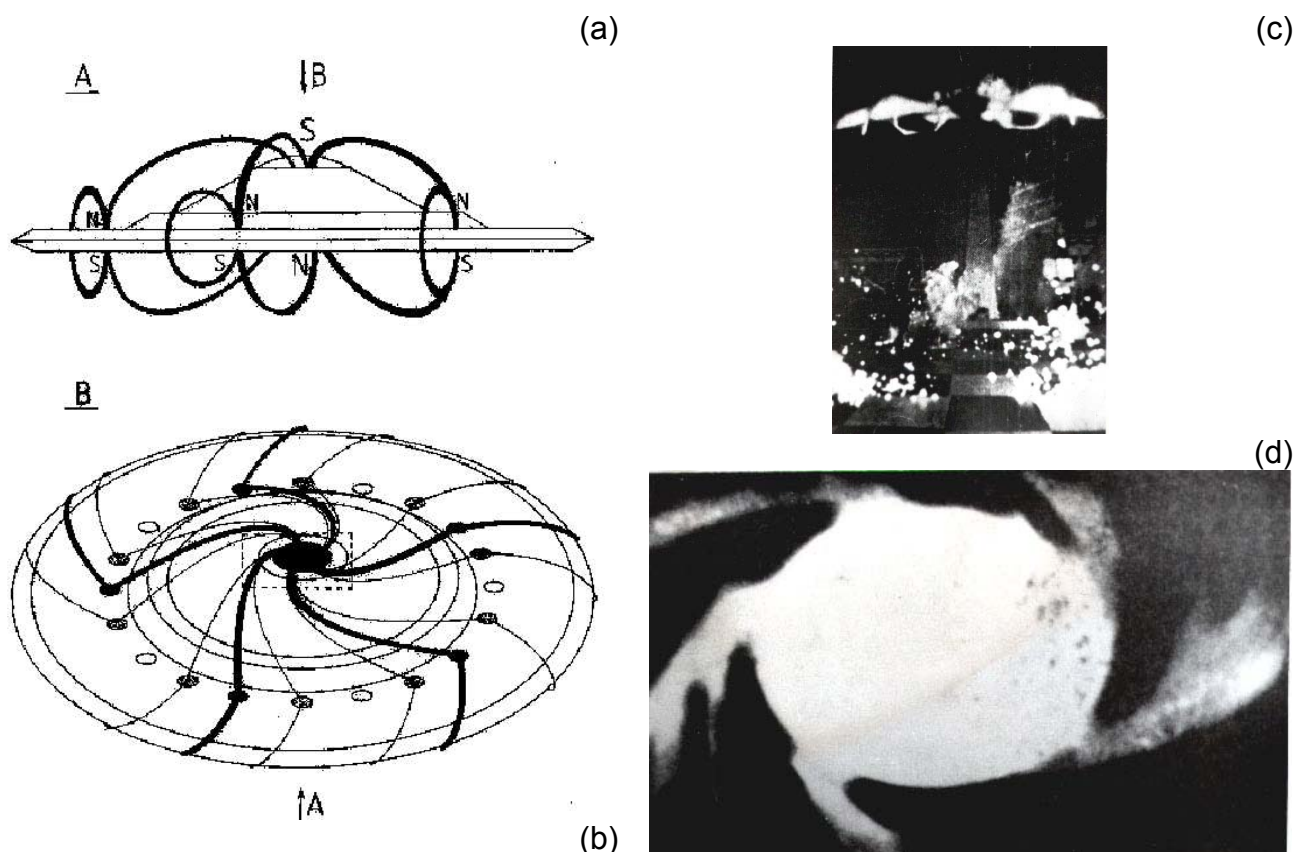
Rys. H4. Pulsujące pole UFO. Powyższe dwa przykłady fotografii UFO ukazują że pole magnetyczne tych statków posiada "bijący" charakter identyczny do tego przewidzianego w napędzie magnokraftu. Na każdej z obu tych fotografii możliwym było jedynie zaobserwowanie fragmentu obwodów magnetycznych statku zwróconych do osoby fotografującej. (Formowanie obwodów magnetycznych w magnokraftach/UFO zostało objaśnione na rysunku H5). Warto zauważyć, że z powodu słabej widoczności (noc i wieczór) oraz dużej szybkości fotografowanych UFO, powyższe fotografie uchwyciły jedynie rozbłyski powietrza zjonizowanego przez obwody magnetyczne statków, podczas gdy ich powłoki pozostawały niewidoczne w ciemności. Naukowa analiza pokazanych tu rozbłysków może być źródłem cennych informacji o sterowaniu kapsuł dwukomorowych UFO.

(a) Objasnienie zasady formowania przez wehikuly magnokrafto-podobne zwiokrotnionego obrazu ich obwodów magnetycznych na nocnych fotografiach wykonanych podczas pulsujacego trybu dzialania pednikow tych statkow. W poszczegolnych czesciach tego objaśnienia uwidoczniłono: (a) Zarys magnokraftu/UFO na którym zaznaczono warstewkę jarzacego się powietrza łączącego przeciwstawne wyloty jednego z pedników bocznych (t.j. odzwierciedla przebieg bocznego obwodu magnetycznego). Ponieważ warstewka ta "błyska" w takt pulsowań pola magnetycznego pedników zaś jej jarzenie się trwa chwilę, stąd szybki ruch statku pozostawia szereg błysków rozpostartych wzdłuż jego trajektorii. Symbole występujące w tej części rysunku: V - prędkość liniowa statku, T - okres pulsowań strumienia magnetycznego F wytwarzanego przez pedniki boczne statku, t - czas. (b) Fotografia tego samego wehikulu wykonana w nocy. W ciemności powłoka statku staje się niewidoczna, stąd zdjęcie uchwytuje jedynie szereg rozbłysków powietrza zjonizowanego przez obwody magnetyczne zwrócone do fotografującego. Rozrzucenie tych rozbłysków w przestrzeni odzwierciedla ruch statku podczas przedziału czasu zdefiniowanego czasem naświetlania fotografującego aparatu. (c) Krzywa zmiany strumienia magnetycznego produkowanego przez pedniki statku: $F=f(t)$. Krzywa ta reprezentuje tzw. "krzywą dudnienia" powstałą w efekcie odejmowania od siebie dwóch przebiegów sinusoidalnych (patrz opis dzialania kapsuly dwukomorowej - podrozdział C6.1 i rysunek C6). Składa się ona z linii prostej (t.j. pola stalego o natężeniu F_0), na które co okres T nałożony jest krótki "puls" o amplitudzie F. Pole magnetyczne jakiego natężenie pulsuje zgodnie z przebiegiem takiej krzywej będzie jonizowało powietrze jedynie gdy jego wartość przebiega przez kolejny "puls".

(b) Fotografia szybko poruszającego się UFO, wykonana dnia 17 października 1973 roku, około godziny 22, przez Ken'a Chamberlain, nad Outerbelt, Ohio, USA, - patrz książka [1J2], strona 205. Fotografia ta pokazuje szereg rozbłysków identycznych do tych objaśnionych w części #1 niniejszego rysunku.

(c) Fotografia innego UFO wykonana dnia 26 lutego 1962 roku przez Karl'a Maier, nad miejscowością Wolfsburg, Niemcy Zachodnie - patrz książka [1J2] strona 235. Formowanie rozbłysków pokazanych na tym zdjęciu jest dokładnie takie samo jak dla fotografii #2, tylko że do fotografującego zwrócony został inny obwód magnetyczny UFO.

(d) Fotografia szeregu rozbłysków pochodzących od jeszcze innych obwodów magnetycznych UFO.



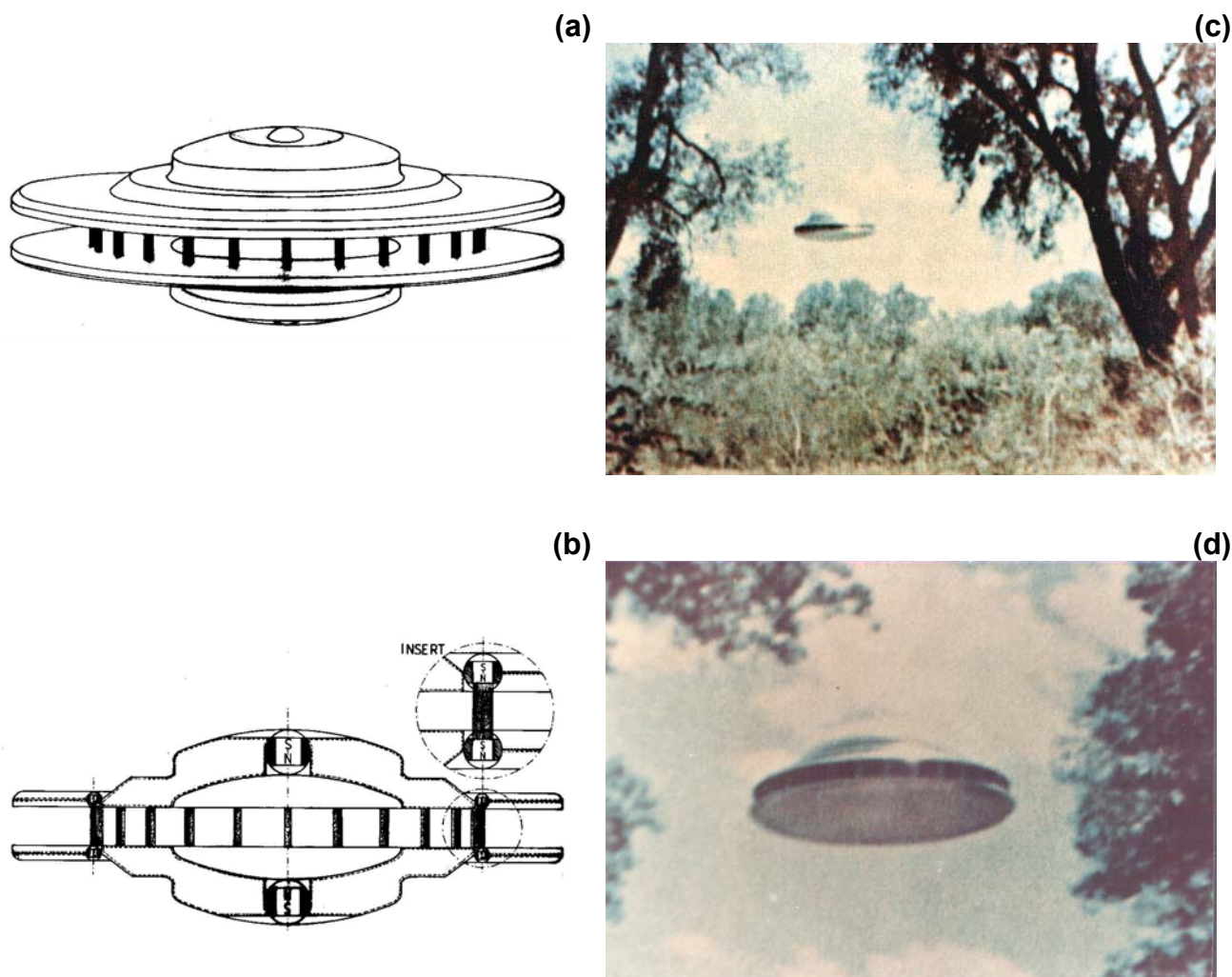
Rys. H5. Obwody magnetyczne UFO. Obwody takie teoretycznie przewidziane zostały dla magnokraftu. Ponieważ formalnie udowodniono że "UFO to już istniejące magnokrafty", obwody takie muszą więc występować również i u UFO. Po wprowadzeniu w ruch wirowy linie sił tych obwodów formują rodzaj wirującej szczotki która w chwili zawieszenia statku nad powierzchnią ziemi dokładnie omiata jej powierzchnię. Szczotka ta przygina i precyzyjnie ukierunkowuje wszystkie źdźbła roślin, formując charakterystyczne lądowiska UFO znane jako tzw. "kręgi zbożowe".

(a) magnokraft typu K6 (t.j. dla którego $K=D/H=6$) pokazany z boku. Zaznaczono biegunowość N, S jego pędników. Linie sił pola magnetycznego wytwarzanego przez te pędniki układają się w charakterystyczne obwody magnetyczne zobrazowane tu czarnymi pętlami. Obwody te pokazano podczas jednego z wielu możliwych stadiów ruchu wirowego spowodowanego wprowadzeniem 90 przesunięcia fazowego do pulsowań wydatku kolejnych pędników bocznych.

(b) Wirujące obwody magnetyczne z (a) pokazane we widoku z góry. Przerzywaną ramką zaznaczono fragment statku utrwalony na zdjęciu z części (d). Sinusoidalny rozkład przesunięcia fazowego w pulsowaniach wydatku pędników bocznych powoduje charakterystyczną zmianę grubości wiązek linii sił w obwodach magnetycznych łączących pędnik główny z poszczególnymi pędnikami bocznymi. Przykładowo, jeśli w pierwszym pędniku bocznym U (o zaczerwionym wylocie) wydatek osiąga maksimum (co powoduje maksymalną grubość obwodu magnetycznego łączącego ten pędnik z pędnikiem głównym), w następnym V (o zakropkowanym wylocie) spada on do połowy wartości, w kolejnym W (pustym) jest równy zero, zaś w dalszym X (zakropkowanym) wzrasta do połowy wartości, po czym dla dalszych pędników bocznych cały cykl sinusoidalnych zmian wydatku się powtarza. Spirale uformowane przez takie wirujące wiązki pola o sinusoidalnie zmieniających się grubościami są podobne do kształtów strumieni wody rozpryskiwanej przez wirujący zraszacz ogrodowy.

(c) Nocna fotografia latającego klastera uformowanego z dwóch pojedynczych UFO typu K6. Została ona opublikowana w dwumiesięczniku [1Rys.H5] UFO Sightings (S.J. Publications, Inc., 1141 Broadway, New York, N.Y. 10001, USA), styczeń 1981 roku, strona 15. Ujawnia ona istnienie obwodów magnetycznych u UFO, uchwyconych w widoku bocznym zilustrowanym w części (a). Przebieg tych obwodów stał się widoczny dzięki świeceniu w ich obrębie powietrza zjonizowanego silnym polem magnetycznym.

(d) Fotografia środkowego fragmentu powłoki UFO typu K6 pokazująca wylot pędnika głównego oraz rozbiegające się z niego spirale wirujących obwodów magnetycznych. Powyższe zdjęcie wykonane zostało przez Enrique Hausmann'a nad Mallorka (Wyspa Palma, Hiszpania), 24 kwietnia 1950 roku - patrz [1J2] strona 218.



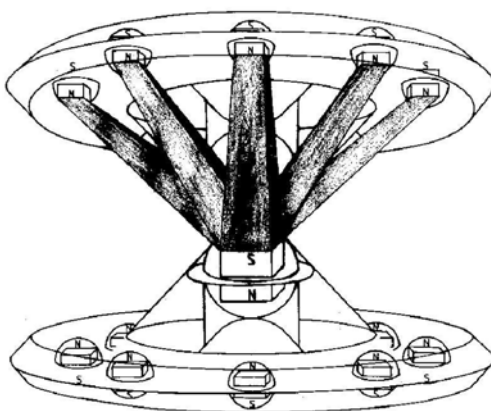
Rys. 11. Zestaw niezespólny UFO ukazujący przebieg tzw. "czarnych belek" jakich przekrój poprzeczny musi odzwierciedlać kształt urządzeń (komór oscylacyjnych) wytwarzających pole magnetyczne.

(a) Przewidywany wygląd boczny dwóch magnokraftów typu K7 sprzęgniętych w zestaw niezespólny (patrz też część #3 na rysunku D3). Widoczne są "czarne belki" łączące wyloty pędników bocznych obu wehikułów.

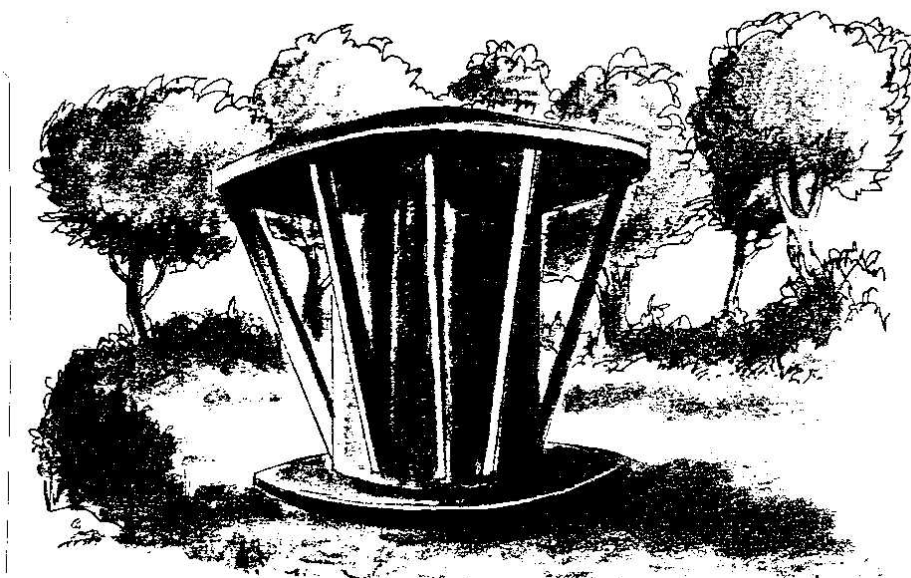
(b) Przekrój poprzeczny przez zestaw niezespólny z wehikułów typu K7 pokazany w części (a). Powiększenie (INSERT) ukazuje wzajemne zorientowanie biegunów magnetycznych (N, S) w pędnikach bocznych obu statków.

(c), (d) Dwie klatki ze serii kolorowych zdjęć UFO lecącego na niewielkiej wysokości, wykonanych dnia 16 czerwca 1963 roku przez Paul'a Villa z Alberquerque, New Mexico, USA. Najlepsza reprodukcja tych zdjęć opublikowana była w jednym z wsześniejszych wydań OMNI (najprawdopodobniej z 1979 roku). Niektóre z tych fotografii były też zreprodukowane w czasopiśmie [111.1] "The Unexplained", Vol 1, No 1, 1980, strona 10 (w kolorze); oraz w książkach [211.1] strona 210 i [311.1] strony 110-111. Pokazane na nich UFO stanowi konfigurację niezespólną utworzoną z dwóch wehikułów typu K7, jakich sposób sprzęgania wyjaśniony został w częściach (a) i (b). Zarysy dolnego wehikułu, lecącego w pozycji odwróconej, zawinięte zostały polem soczewki magnetycznej, stąd można je zobaczyć tylko częściowo. Na wysokiej jakości kopiach tego zdjęcia doskonale jest widoczne jednaście "czarnych belek" łączących wyloty pędników bocznych dolnego i górnego wehikułu. Kształt tych belek niestety jest trudny do określenia tutaj. Jednakże naocni świadkowie tego typu połączeń opisali ten kształt jako kwadratowy w przekroju poprzecznym (patrz podrozdział 11.1).

(e) Fotografia zestawu niezespólnego sprzężonego z dwóch UFO typu K7, lecącego w konwencji telekinetycznej (zauważ białe jarzenie pochłaniania nadające wehikułom wygląd jakby "naoliwionych światłem" w folklorze i mitologii uznawany za "nadprzyrodzony"). Ta w oryginale kolorowa fotografia opublikowana była w czasopiśmie [411.1] "The Unexplained. Mysteries of Mind, Space & Time", Volume 1, Issue 1, 1980, strona 4. Pokazany zestaw uchwycony został w trakcie pojedynczego pulsu stanu telekinetycznego, kiedy dokonywał on elementarnego przesunięcia po swym zdekomponowaniu do formy wzoru energetycznego. Stąd zdjęcie to ujmuje ten sam zestaw znajdujący się "w dwóch miejscach równocześnie". Zauważ iż wytwarza on rodzaj "czarnych belek" a także wyraźnie widoczny efekt soczewki magnetycznej.



The ship that carried da Silva away.



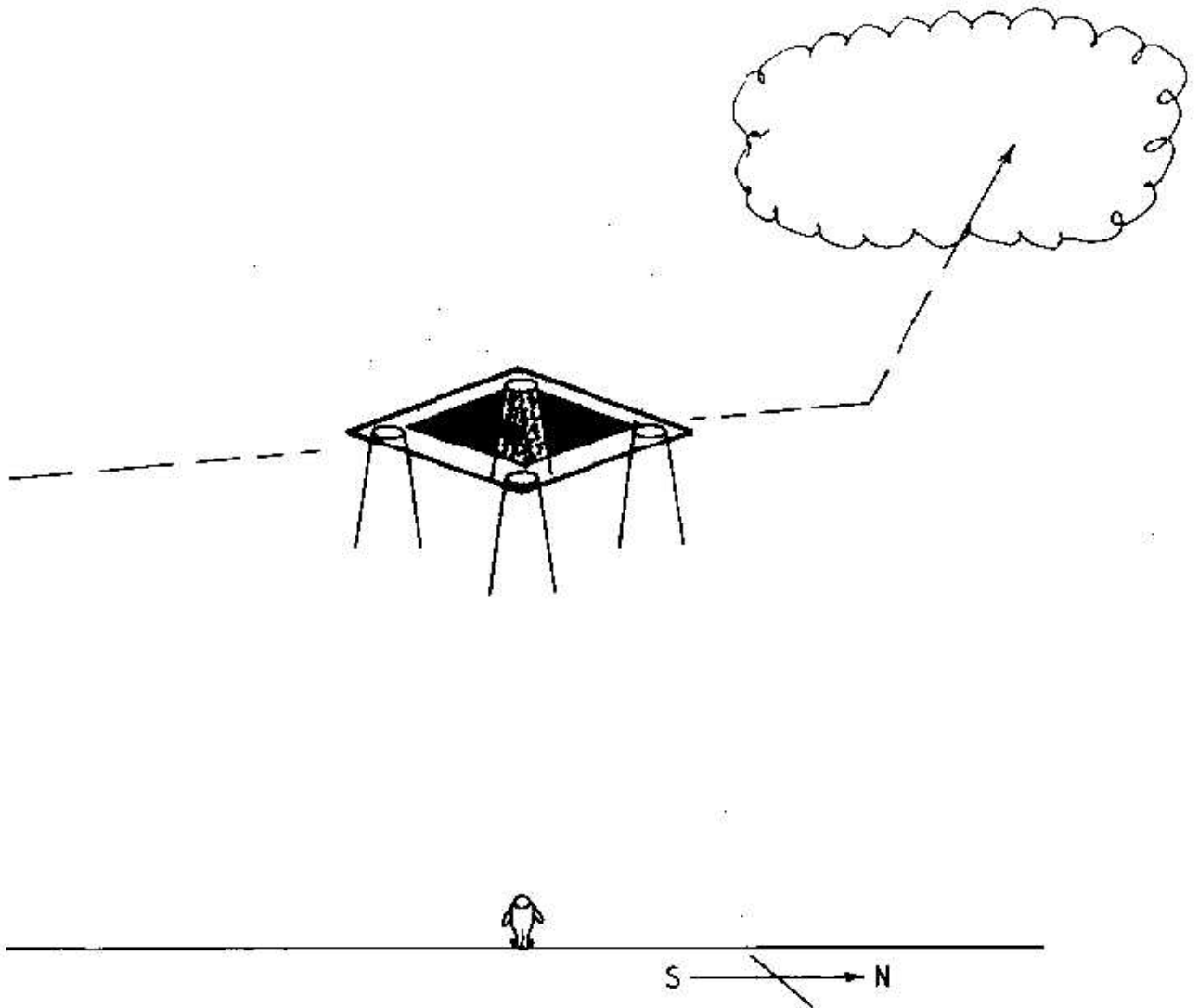
Rys. 12. "Czarne belki" z pola UFO. Powyższy rysunek wyraźnie ukazuje iż belki te, formowane z wysoko skoncentrowanego pola magnetycznego produkowanego przez pędniki UFO, są kwadratowe w przekroju poprzecznym. To zaś dostarcza kolejnego dowodu, iż pędniki UFO wykorzystują komory oscylacyjne dla wytwarzania swego pola magnetycznego.

(Góra) Zestaw semi-zespolony uzyskiwany poprzez sprzęgnięcie razem kopułami kulistymi dwóch magnokraftów typu K3 - patrz także klasa #4 na rysunku D3. Teoria Magnokraftu wyjaśnia, iż w takiej konfiguracji magnokraftów pomiędzy pędnikiem głównym dolnego wehikułu oraz pędnikami bocznymi górnego wehikułu muszą pojawić się kolumny wysoko skoncentrowanego pulsującego pola magnetycznego jakie więzi światło i dlatego jest widoczne jako "czarne belki". Belki takie zostały właśnie uwidocznione na powyższym rysunku. Przekrój poprzeczny tych belek musi odzwierciedlać kształt urządzeń wytwarzających pole magnetyczne w pędnikach danego wehikułu, t.j. przy użyciu w tym celu komór oscylacyjnych pierwszej generacji kształt ten musi być kwadratowy.

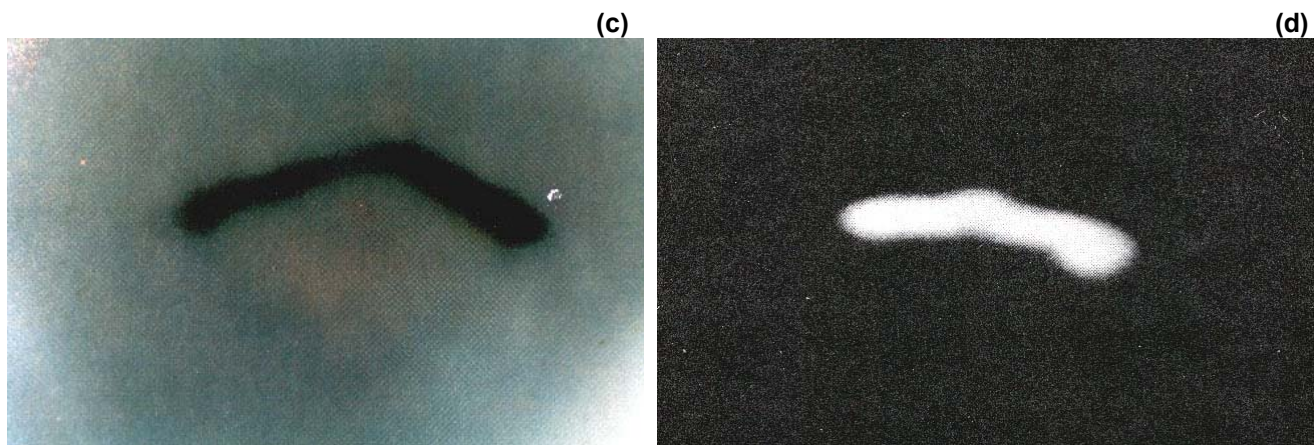
(Dół) Odtworzony na podstawie zeznań świadka kształt UFO jakie dnia 9 maja 1969 roku wprowadziło żołnierza o nazwisku Jose Antonio da Silva z prowincji Victoria w Brazylii. Żołnierz ten znaleziony został 4 dni później w Bebedouro oddalonym o 800 kilometrów. Powyższy rysunek UFO w kształcie szpulki opublikowany jest w książce [511.1], strona 11. Z punktu widzenia Teorii Magnokraftu zilustrowany tu wehikuł reprezentuje zestaw semi-zespolony jakiego wydedukowany teoretycznie kształt pokazany został w lewej stronie rysunku. Ponieważ "czarne belki" uformowane z pola tego UFO faktycznie posiadają przekrój kwadratowy, stąd ich zarys na powyższym rysunku dostarcza kolejnego potwierdzenia iż UFO używają właśnie komór oscylacyjnych do generowania swego pola.



Rys. 13. Wypalone na trawie zarysy kapsuły dwukomorowej. Zdjęcie to przedstawia ślady wypalone przez UFO podczas lądowania na trawie boiska piłkarskiego należącego do "Pirates Football Club" z Dunedin, Nowa Zelandia. UFO to wylądowało w pozycji "wiszącej" (t.j. z kopułą skierowaną ku dołowi), lekko nachylone ku północy magnetycznej, zaś wylot jego pędnika głównego niemalże dotykał trawy. Stąd też ślady jakie jego pędniki wypaliły w trawie składają się z dwóch oddzielnych części: z lekka zdeformowanego (t.j. posiadającego wklęsłość po swej stronie północnej) pierścienia nagiej gleby, o średnicy 8.5 metra, oraz kwadratowego śladu wypalonego w środku tego pierścienia. (Na powyższym rysunku okrąg referencyjny o średnicy dokładnie 1 metra został wstawiony niedaleko tego kwadratu w celu zilustrowania jego wymiarów. Strzałka tego okręgu wskazuje północ magnetyczną.) Kwadratowy wypalony ślad posiada bok o długości 1.55 metra, zaś kwadracik trawy pozostawionej w stanie niezniszczonym w jego wnętrzu posiada bok o długości 0.89 metra. Powyższe oznacza iż pędnik główny tego UFO pracował w trybie "dominacji pola ZEWNĘTRZNEGO" - patrz rysunek C5 "b" i zdjęcie z prawej strony rysunku I5. Lądowanie to miało miejsce około 15 stycznia 1989 roku, jednakże autor sfotografował pokazane tu lądowisko dopiero 17 lutego 1990 roku. Niezależnie od wypalenia powyższego śladu, to samo UFO także spłaszczyło lampę oświetlającą owo boisko, wypalając pod nią podobny pierścień. Kathy Morrison (17 Taupo Street, Ravensbourne, Dunedin) zaobserwowała owo UFO kiedy podchodziło ono do lądowania.



Rys. 14. Rysunek kapsuły dwukomorowej wznoszącego się UFO. Zaobserwowana ona została o 11:30 wieczorem, dnia 20 grudnia 1978 roku przez Wayne Hill z Invercargill, Nowa Zelandia. Kapsuła ta oglądana była dokładnie spod jej spodu, gdy zawisała ona na wysokości około 30 metrów. Posiadała ona kształt dwóch sześcianów, jeden we wnętrzu drugiego, których wylot czołowy skierowany był ku obserwatorowi. Długość boku zewnętrznej komory wynosiła około $a_M=10$ metrów (oznacza to iż zaobserwowane UFO najprawdopodobniej było typu K9 - patrz tablica D1). Ścianki zewnętrznego sześcianu oświetlone były przez żółte światło, podczas gdy wewnętrzny sześcian pozostawał całkowicie czarny. Owo silne, żółte światło zdawało się być bardziej skoncentrowane w narożach kostki zewnętrznej z których wydzielano ono smugi rozprzestrzeniające się ku dołowi. Pozostała, nieświecząca się przestrzeń pomiędzy obu sześcianami posiadała szary kolor. Obserwacja ta miała miejsce około 7 kilometrów na południe od Nelson, Nowa Zelandia, i trwała przez około 20 sekund. Początkowo UFO to leciało w kierunku z południa ku północy po czym zatrzymało swój ruch dokładnie ponad obserwatorem - jak to pokazano na rysunku. Działanie soczewki magnetycznej ukrywało zarysy pozostałych części wehikułu i jedynie komory oscylacyjne z pędnika głównego pozostawały widoczne (t.j. wewnętrzna czarna, zaś zewnętrzna jarząca się światłem) - patrz także wyjaśnienia z podrozdziału D3 i rysunku D2.



Rys. 15. Fotografie kapsuł dwukomorowych UFO. Oprócz udowodnienia iż te konfiguracje komór oscylacyjnych już obecnie wykorzystywane są w pędnikach UFO, zdjęcia te dokumentują także formowanie soczewki magnetycznej przez pole magnetyczne tych wehikułów. Obie te fotografie zostały wykonane w okolicznościach wyjaśnionych na rysunku D2, kiedy to fotografujący był w stanie jedynie zaobserwować kapsułę dwukomorową z pędnika głównego statku, podczas gdy pozostała część powłoki wehikułu pozostawała dla niego niewidzialna. Warto podkreślić że na obu tych fotografiach grubości przestrzeni zawartej pomiędzy komorą zewnętrzną i komorą wewnętrzną spełniają równanie (C9): $a_0 = a_i \cdot 3$.

(lewa) Jedno z najlepszych kolorowych fotografii kapsuły dwukomorowej UFO działającej w trybie "dominacji strumienia wewnętrznego" utrwalonej w świetle dziennym. Zostało ono wykonane przez nauczyciela na Hawajach i opublikowane w książce [3I1.3] "Into the Unknown", Reader's Digest, Sydney, Australia, 1982, ISBN 0-909486-92-1, strona 315. Na wyższej jakości odbitkach tego zdjęcia stożek pola magnetycznego pod komorą wewnętrzną jest dobrze widoczny. Stożek ten przesłania zarysy dwóch tylnych krawędzi kapsuły. Pole przechwycone w strumień krążący działa jak "czarna dziura" opisywana w podręcznikach optyki, wytwarzając widoczną na zdjęciu czarną przestrzeń. Z uwagi na działanie soczewki magnetycznej, oprócz kapsuły dwukomorowej z pędnika głównego, cała reszta UFO pozostaje niewidoczna.

(prawa) Nocna fotografia kapsuły dwukomorowej UFO pracującej w trybie "dominacji strumienia zewnętrznego". Została ona wykonana przez dziennikarza ponad Clovis, New Mexico, dnia 23 stycznia 1976 roku - patrz książka [5I1.1] Joshua Strickland, "There are aliens on earth! Encounters", Grosset & Dunlop, New York, 1979, ISBN 0-448-15078-6, strona 49. Na fotografii tej strumień wynikowy jest odprowadzany do otoczenia przez komorę zewnętrzną. Strumień ten jonizuje powietrze, stąd na fotografii jest on widoczny jako wycinek świetlistego rombu. Komora wewnętrzna produkuje strumień krążący jaki pojawia się w formie czarnego kwadratu zlewającego się z czarnym otoczeniem.

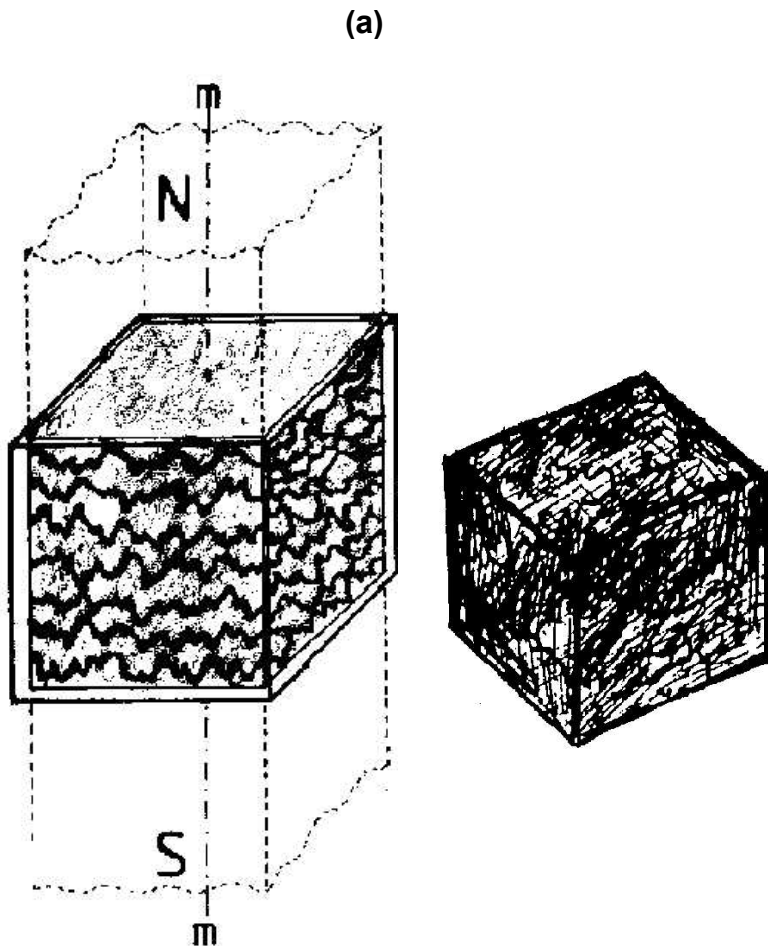


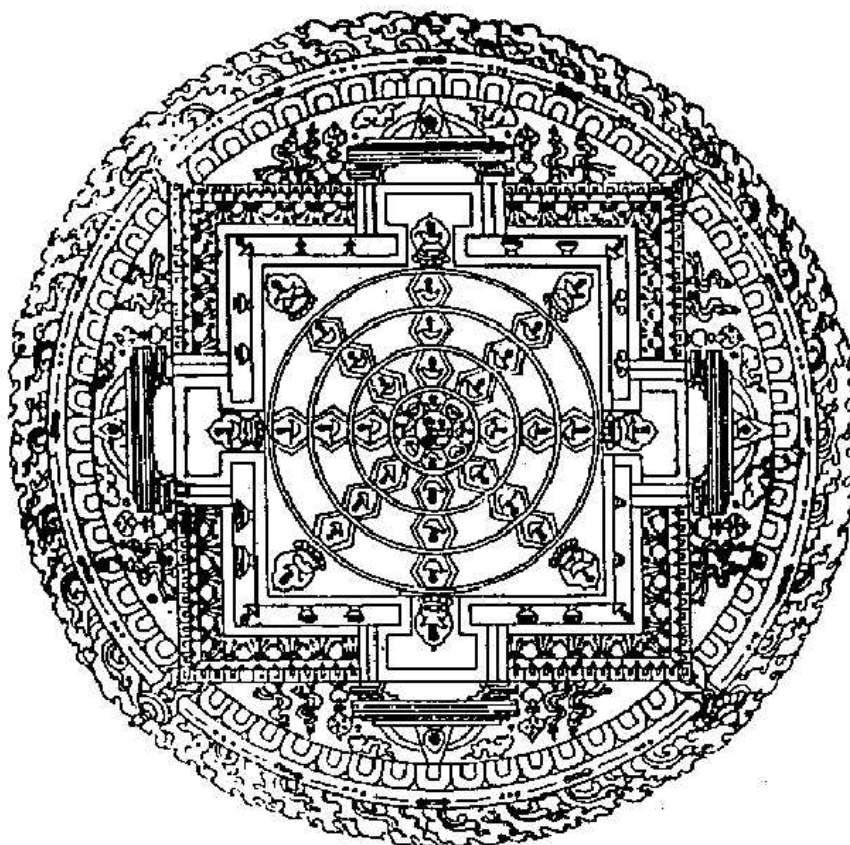
Figure 13. Glass or crystal cube with motionless black smoke and lightning

Rys. 16. Rysunek komory oscylacyjnej zaobserwowanej w UFO. Owa przezroczysta kostka sześcienna zawierająca pęki migoczących iskier elektrycznych wyglądających jak zamrożona błyskawica, zaobserwowana została na pokładzie UFO przez Robert'a Luca (porównaj niniejszy rysunek z rysunkiem C2 pokazującym przewidywany wygląd komory oscylacyjnej). Powyższy rysunek oraz jego opis zostały zreprodukowane z książki [211.4] pióra Raymond'a E. Fowler, "The Andreasson Affair, Phase Two" (Prentice Hall, Inc. Englewood Cliffs, New Jersey 07632, USA, 1982, ISBN 0-13-036624-2), strona 70, za osobistym pozwoleniem Betty A. Luca, posiadacza praw copyright. Pokazuje on zewnętrzną komorę oscylacyjną użytą w pędniku głównym tego UFO. Rysunek ten wprowadza przełom w naszej pewności zasad działania urządzeń opisanych w niniejszej monografii. Nie tylko bowiem za pośrednictwem bezpośredniej relacji naocznego widza potwierdza on że komory oscylacyjne są już wykorzystywane w UFO, ale także dowodzi iż nasze zamiary zbudowania komory oscylacyjnej są uzasadnione i pewne końcowego sukcesu.

Oto cytowanie opisu tego urządzenia podanego przez Robert'a Luca: "Potem tam jest ta kostka na drugiej stronie za owym wzniesieniem w podłodze i po wstaniu mogę ją oglądać. Wygląda jak sześcienna skrzynka ze szkła i fascynuje mnie ponieważ jest wypełniona jakby czarnym dymem. Wygląda przy tym iż zawiera błyskawice w swym wnętrzu czy coś złotego. Przypomina to przeplatające się przez nią złote włókna - błyszczące się jasne złoto. Jest ona w kształcie sześcianu, być może jeden yard szerokości. Nie, jest mniej niż trzy stopy i zawiera wszystkie te błyskawice w swoim wnętrzu. Jest cała czarna z tymi obiegającymi ją złotymi żyłkami (rysunek 13). Wygląda to jakby błyskawica została zamrożona w swym locie."

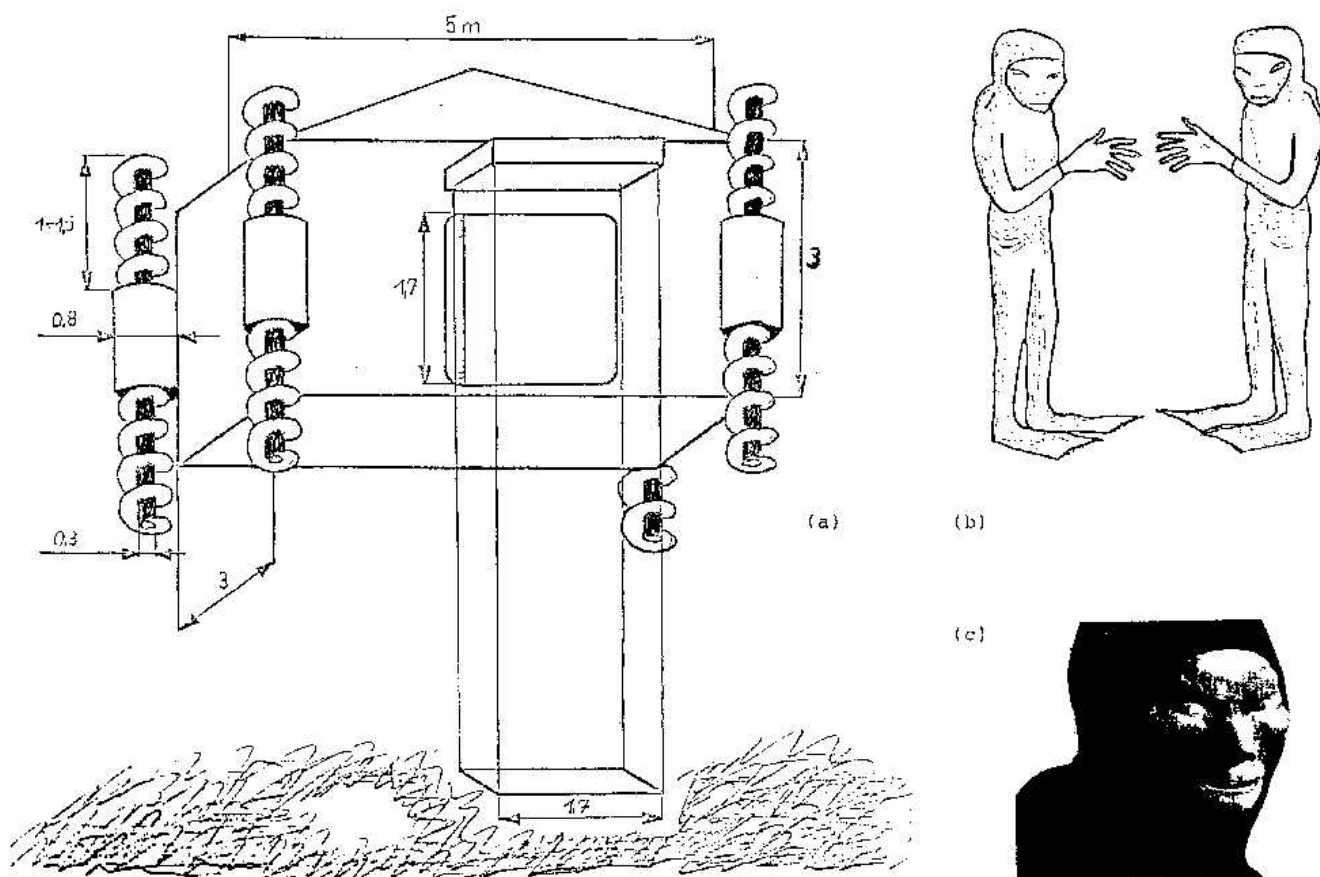
(Lewy) Przewidywany wygląd komory oscylacyjnej (patrz też "rys. C2").

(Prawy) Rysunek komory oscylacyjnej widzianej w UFO przez Robert'a Luca.



Rys. 17. Rysunek ten prawdopodobnie przedstawia starożytny schemat komory oscylacyjnej. Ryszard Zudzin z Bydgoszczy znalazł go w książce [1Rys.17] pióra A. David-Neel "Mistycy i cudotwórcy Tybetu", Wydawnictwo Przedświt, gdzie został on zreprodukowany ze starego manuskryptu Buddystów Tybetańskich. Zudzin postuluje (i autor się z tym zgadza) że schemat ten może przedstawiać stylizowany rysunek konstrukcyjny bądź to pojedynczej komory oscylacyjnej albo też całego kulistego pędnika zawierającego taką komorę. Podczas analizy tego rysunku możliwe jest zauważenie zgrupowań igieł jakie dokładnie odpowiadają następującemu opisowi komory oscylacyjnej z UFO dostarczonemu przez Mrs Betty A. Luca (patrz koniec podrozdziału I1.4): "wewnątrz zawierała ona cienkie wystające igielki z maleńkimi szklistymi kropelkami na końcach" (w oryginale angielskojęzycznym: "inside had thin protruding stems with tiny glass droplets on the end").

Z rysunkiem tym wydaje się też posiadać związek informacja, iż prawie wszystkie starożytne rzeźby Buddy pokazują go jako posiadającego wyjątkowo długie uszy (niepodobne do typowo ludzkich) zwisające aż do ramion, podczas gdy na tych samych rzeźbach inne otaczające go osoby posiadają normalne, ludzkie uszy. Buddyjska legenda z Chin o tzw. "osiemnastu nieśmiertelnych" (Eighteen Immortals) przyznaje otwarcie że osoby z takimi właśnie długimi uszami nie były zwykłymi śmiertelnikami, a istotami wykazującymi zdolności nadprzyrodzone podobne do możliwości dzisiejszych UFOonautów. Przykładowo jeden z owych osiemnastu nieśmiertelnych, noszący nazwisko "Nantimitolo" lub "Timing Dragon Lohan" i przebywający na Ziemi w czasach gdy władca mórz zalał Chiny (t.j. najprawdopodobniej po eksplozji Tapanui - patrz [5]), znany był ze swej umiejętności oblatywania mitologicznego stwora zwanego wtedy "dragon" (który najprawdopodobniej stanowi jedną z kilku starożytnych interpretacji dla wehikułu UFO - patrz też podrozdział K4). Z drugiej strony naoczni świadkowie relacjonują iż niektórzy UFOnauci posiadają właśnie taki rodzaj uszu. Aczkolwiek więc Budda uznawany jest za postać historyczną i we wielu współczesnych publikacjach przypisuje mu się "ludzki" życiorys, sporo faktów o nim pozostaje niewyjaśnionych, zaś niektóre dawne źródła wprost twierdzą iż był on jednym z nieśmiertelnych posiadających moce nadprzyrodzone. Stąd tak istotny szczegół anatomiczny jak "uszy nieśmiertelnego" u Buddy może oznaczać iż jego pierwsi kapłani mieli dostęp do pozaziemskich technologii i faktycznie mogli być obznajomieni z konstrukcją komory oscylacyjnej.

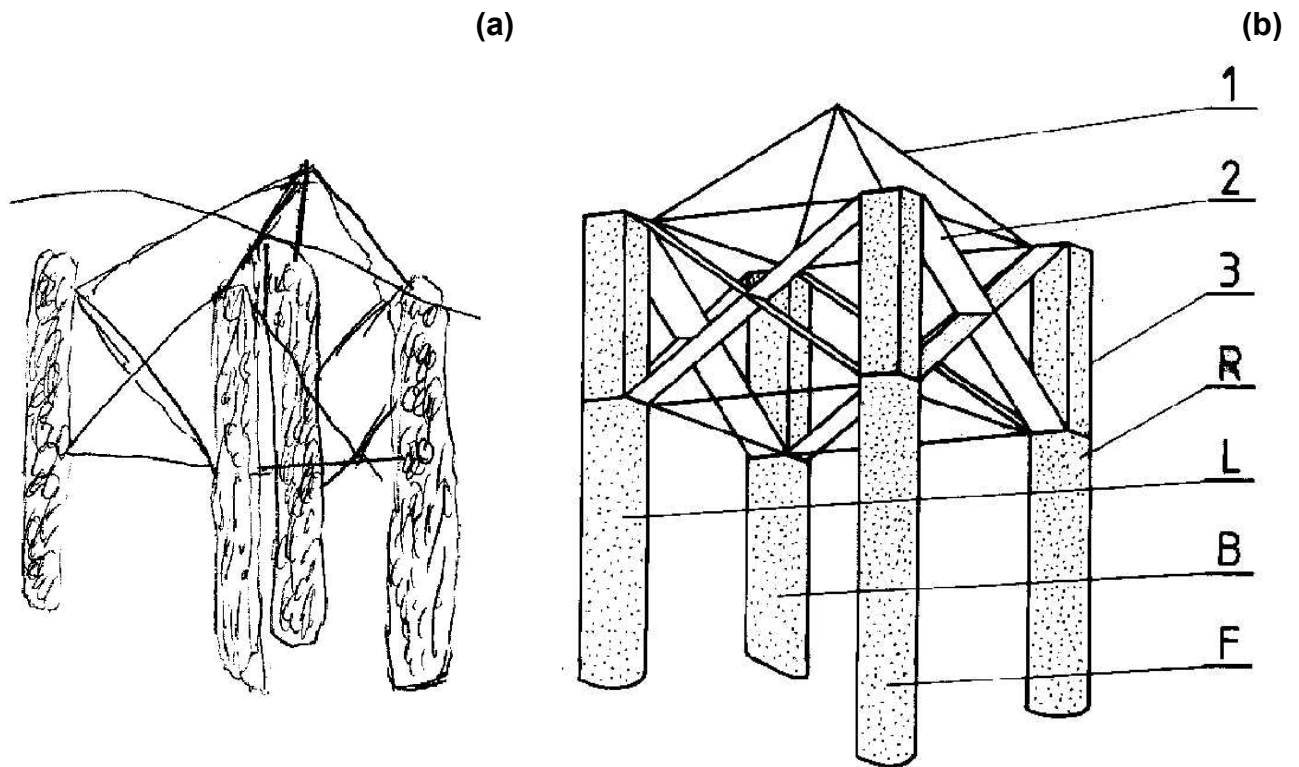


Rys. J1. Czteropędnikowe UFO śp. Jana Wolskiego zilustrowane na podstawie relacji naocznych świadków. Rysunek ten adaptowano (po skorygowaniu kształtu jego dachu i podłogi na podstawie innych obserwacji czteropędnikowego UFO) z opracowania [1Rys.J1] "Emilcin 1978 - 88 retrospektywne spojrzenie na CE-III", przygotowanego przez Wrocławski Klub Popularyzacji i Badań UFO (D.K. "Agora, Pl. Piłsudskiego 2, 51-152 Wrocław; Tel: 251483), Wrocław 1988 rok. Pokazuje on wygląd czteropędnikowego UFO jakie 10 maja 1978 roku zaobserwował śp. Jan Wolski, rolnik z Emilcina koło Opola Lubelskiego. Wehikuł ten posiadał kształt bezkiennej chatki lub "kostki", z dachem jak stodoła (w/g innych obserwacji "piramidkowym") i prostokątnymi drzwiami. W centrum spodniej strony jego podłogi widoczna była jakby protokątna kłapa o kształcie i wymiarach przystających do obrysu dachu na około wysokości. Na jego narożnikach osadzone były cztery pionowe beczko-kształtne pędniki. Produkowały one długie, cienkie i niezmiernie szybko obracające się kolumny, jakie Wolski opisał jako przypominające mu "czarne wiertła". Ich obroty nie powodowały widocznego zawirowania powietrza. UFO posiadało pojedyncze prostokątne pomieszczenie w środku, z płaskim sufitem jaki nie odpowiadał kształtowi dachu. Załoga oraz Wolski weszli do niego przez wyglądającą na niestabilną (lecz sztywną pod stopami) windkę jaka wyniosła ich do drzwi wehikułu za pomocą czterech plastikowych lin.

(a) Kształt i wymiary tego UFO. Pod względem danych konstrukcyjnych zestawionych w tablicy I1, może reprezentować ono czteropędnikowe UFO typu T4 o kształcie prostokątym (t.j. dla którego $l_w \neq l_b \neq l$). W takim przypadku jego teoretyczne wymiary wynosiłyby $l_w=5.37$, $l_b=3.10$, $G=3.29$ [metrów] - porównaj powyższy rysunek z rysunkiem I1 i tablicą I1. Gdyby zaś wehikuł ten był sześciennym UFO tego samego typu T4, jedynie subiektywnie odebrany jako prostokątny, jego wymiary wynosiłyby: $l=4.38$ (gdzie $l=l_w=l_b$), $G=3.29$ [metrów].

(b) Sylwetki UFOautów którzy uprowadzili śp. Wolskiego, w/g rysunku Krzysztofa Piechoty (z w/w opracowania WKPiB UFO).

(c) Zarys twarzy tych UFOautów, w/g programu TV polskiej, prawdopodobnie z 1978 roku (z w/w opracowania WKPiB UFO).



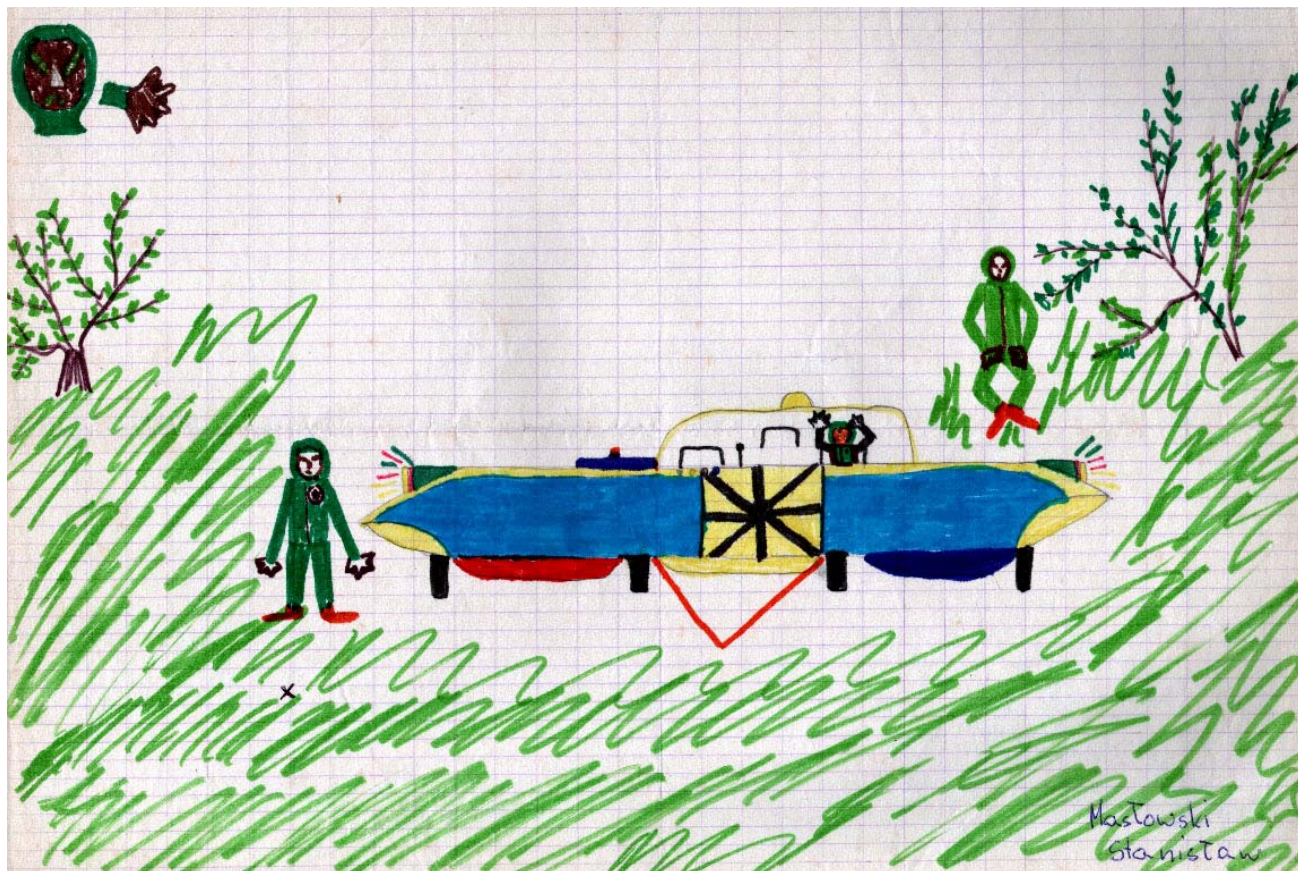
Rys. J2. Nocny wygląd czteropędnikowego UFO zawisającego nieruchomo. Jedynymi widocznymi elementami były pasma biało-niebieskiego światła emanowanego przez powietrze zjonizowane wzdłuż obwodów magnetycznych wehikułu oraz na jego ostrych krawędziach (w czasie dnia przypuszczalny wygląd tego UFO pokrywa się z magnokraftem zilustrowanym na rysunku E1). Świecenie po tylnej stronie wehikułu też można było zauważyć przez jego przezroczysty kadłub. Pokazane tu UFO zostało zaobserwowane w Nowej Zelandii o 2:56 nad ranem, dnia 23 marca 1989 roku, na przedmieściu Dunedin zwanym Roseneath. Zawisało ono około 10 metrów nad powierzchnią ziemi ponad niezamieszkałym zboczem góry lokalnie nazywanej "Blue Skin Hill". Podczas obserwacji obiekt ten odległy był od obserwatora o około 1 kilometr, usytuowany w stosunku do niego w kierunku NNW (t.j. na azymucie magnetycznym 330).

(a) Oryginalny szkic świadka wykonany z pamięci w cztery dni po obserwacji.

(b) Rekonstrukcja autora dokładnego wyglądu tego UFO, wykonana w konsultacji ze świadkiem, oraz bazująca na teorii magnokraftu czteropędnikowego i badaniach wykonanych na miejscu zdarzenia. Pokazane zostały: R, L, B, F - prawa (right), lewa (left), tylnia (back) i przednia (forth) kolumna ziarnistych iskerek jakie wyglądem przypominały tzw. "biały szum" (po angielsku "white noise") występujący na ekranie niedostrojonego telewizora (kolumny te były formowane przez wirujące obwody magnetyczne czterech pędników wehikułu); 1 - warstewka zjonizowanego powietrza świecąca niebiesko-biało jaka podkreślała wszystkie ostre krawędzie statku; 2 - przekątne pasma świecącego powietrza zjonizowanego na drodze obwodów magnetycznych statku (obwody te przebiegały od każdego bieguna każdego z pędników do przeciwnego bieguna pędników do nich sąsiednich); 3 - przezroczyste ścianki głównej komory oscylacyjnej z każdego pędnika.



Rys. J3. Fotografia czteropędnikowego UFO (oryginalnie w kolorze) wykonana o 11:30 wieczorem dnia 23 marca 1974 roku koło Albiosc w górach Vosges w Francji, przez lokalnego lekarza który życzył sobie pozostać anonimowym - patrz [1J2] Adolf Schneider, Hubert Malthaner: "Das Geheimnis der unbeakantten Flugobjekte" (means: "The secret of the unidentified flying objects"). Hermann Bauer Verlag KG - Freiburg im Breisgau, West Germany, 1976, ISBN 3-7626-0197-6, strona 223. Ukazuje ona ten wehikuł wznoszący się w górę w trybie wiru magnetycznego. Jego kabina załogi otoczona jest chmurą zjonizowanego powietrza świecąca czerwonym kolorem. Należy zauważyć że w Nowej Zelandii (półkula południowa) to czerwone świecenie zastąpione jest przez niebieski kolor - patrz rysunek J2. To z kolei dokładnie odpowiada kolorystyce świecenia powietrza spodziewanej w zasięgu biegunów magnetycznych wehikułu (t.j. żółto-czerwony kolor koło bieguna N oraz zielono-niebieski koło bieguna S - patrz też rysunek H3). W czterech narożach pokazanego tu UFO widoczne są białe, świecące kolumny wirującego powietrza zjonizowanego polem magnetycznym pędników. Wytworzenie takich wirujących kolumn pola może tylko nastąpić przez pędniki jakie wykorzystują konfiguracje krzyżowe. Wzajemne zorientowanie tych kolumn na powyższej fotografii, a także wzajemne proporcje wymiarowe, wykazują iż pokazany tu wehikuł stanowi właśnie UFO czteropędnikowe, podobne do wehikułu pokazanego na rysunku E1.



Rys. K1. Rysunek trzech UFOonautów oraz ich wehikułu wykonany przez 9-letniego Stanisława Masłowskiego zaraz po ich napotkaniu dnia 29 sierpnia 1979 roku w Parku Popowickim we Wrocławiu. Na przekór jego dziecięcego stylu rysowania, wehikuł pokazany przez Stanisława jest bardzo podobny do Magnokraftu typu K3 pokazanego w ramce ponad jego rysunkiem (i zilustrowanego także na rysunku D1). Zaznaczone zostały cztery "czarne belki" pola magnetycznego odchodzące w dół od pędników bocznych tego wehikułu. Dwóch UFOonautów, ubranych w obcisłe zielone kombinezony z kapturami oraz czerwonymi pasami i butami, właśnie opuściło kabinę załogi, podczas gdy pilot pozostawał w swoim siedzeniu. (Z badań autora wynika iż procedura bezpieczeństwa UFOonautów nakazuje im aby conajmniej jeden z pilotów zawsze pozostawał we wehikule gotowy do natychmiastowej interwencji). Najbliższy UFOnauta, zawisający w powietrzu w pozycji stojącej tylko około 2 metrów od Stanisława, posiadał obie nogi w charakterystycznym rozkroku. Dalszy z nich zawisał w powietrzu z podkulonymi nogami. Oboje zawisali około 50 cm ponad poziomem trawy. Trawa silnie falowała pod stopami ich butów, aczkolwiek nie było wtedy wiatru. Stanisław zauważył iż krwisto-czerwone włosy na twarzy i rękach najbliższego UFOnauty stały dęba (naelektryzowanie!). Kiedy wehikuł wzleciał w powietrze, kształty całego jego korpusu stopniowo rozpląły się z widoku, za to w środku podstawy ukazała się kapsuła dwukomorowa z pędnika głównego (patrz wyjaśnienie tego zjawiska na rysunku D2). Stanisław opisał tą kapsułę jako urządzenie w kształcie rombu (on sam użył sformułowania "w kształcie dzwonka z kart do gry"), jakie emanowało silne, ciemno-żółte światło (patrz też podrozdział I1.3). Warto tu dodać iż kształt rombu uzyskuje się podczas patrzenia na kwadrat pod kątem od strony jego naroża.



Rys. K2. Rekonstrukcja wyglądu UFOnauty z jarzącym się pasem. UFOnauta ten dnia 23 lipca 1977 roku około 1 nad ranem zaobserwowany został w Lindley, New York, USA, przez dwie dziewczyny o imionach Janine (13 lat) i Monika (26 lat) - ich nazwiska nie zostały ujawnione. UFOnauta posiadał pas z którego emanowało zielone światło. W jego rękę trzymana też była latarka. UFOnauta spowodował uniesienie się w powietrze kamienia nagrobkowego poprzez skierowanie na niego promienia świetlnego z tej latarki (patrz opis "beaming" z podrozdziału G1). Podczas trwania tego incydentu obie obserwujące go dziewczyny doznały silnego bólu głowy, dzwonienia w uszach, suchych gardła, oraz skróconego poczucia czasu (zdawało im się iż trzygodzinna obserwacja zajęła im jedynie około godziny). Wszystko to może sugerować iż znajdowały się one pod wpływem silnego pola wytwarzanego przez napęd osobisty tego UFOnauty.

Niniejsza ilustracja publikowana była w książce [211.1] Allan'a Hendry, "The UFO handbook", Sphere Books Limited, 1979, strona 123.



Rys. K3. Jedno z czterech zdjęć szybko lecącego UFO nauty. Zdjęcia te wykonane zostały z lampą błyskową dnia 17 października 1963 roku, zaraz po 10 wieczorem, przez oficera policji Jeff'a Greenhaw, na odludnym polu na zachód od miasteczka zwanego Falkville, Alabama, USA. Na wszystkich czterech zdjęciach UFO nauta utrzymuje nogi w stacjonarnym rozkroku. Ponieważ wszystkie te zdjęcia wykonane zostały kiedy przemieszczał się on z niezwykłą szybkością, wskazuje więc to iż musiał on używać swego napędu osobistego którego pędniki główne zawarte były w podeszwach butów. UFO nauta był rozmiarów dużego człowieka, cały odziany w srebrzysty kombinezon wyglądający jak wykonany z folii metalowej. Antena zdawała się odchodzić od jego głowy.

Warto tu zaznaczyć iż po wykonaniu tych zdjęć, Mr Greenhaw stracił pracę ponieważ jego przełożeni zdecydowali, że nie mogą oni więcej już ufać osobie która sfotografowała UFO (nie jest on zresztą jedyną ofiarą oficjalnej anty-UFO kampanii).

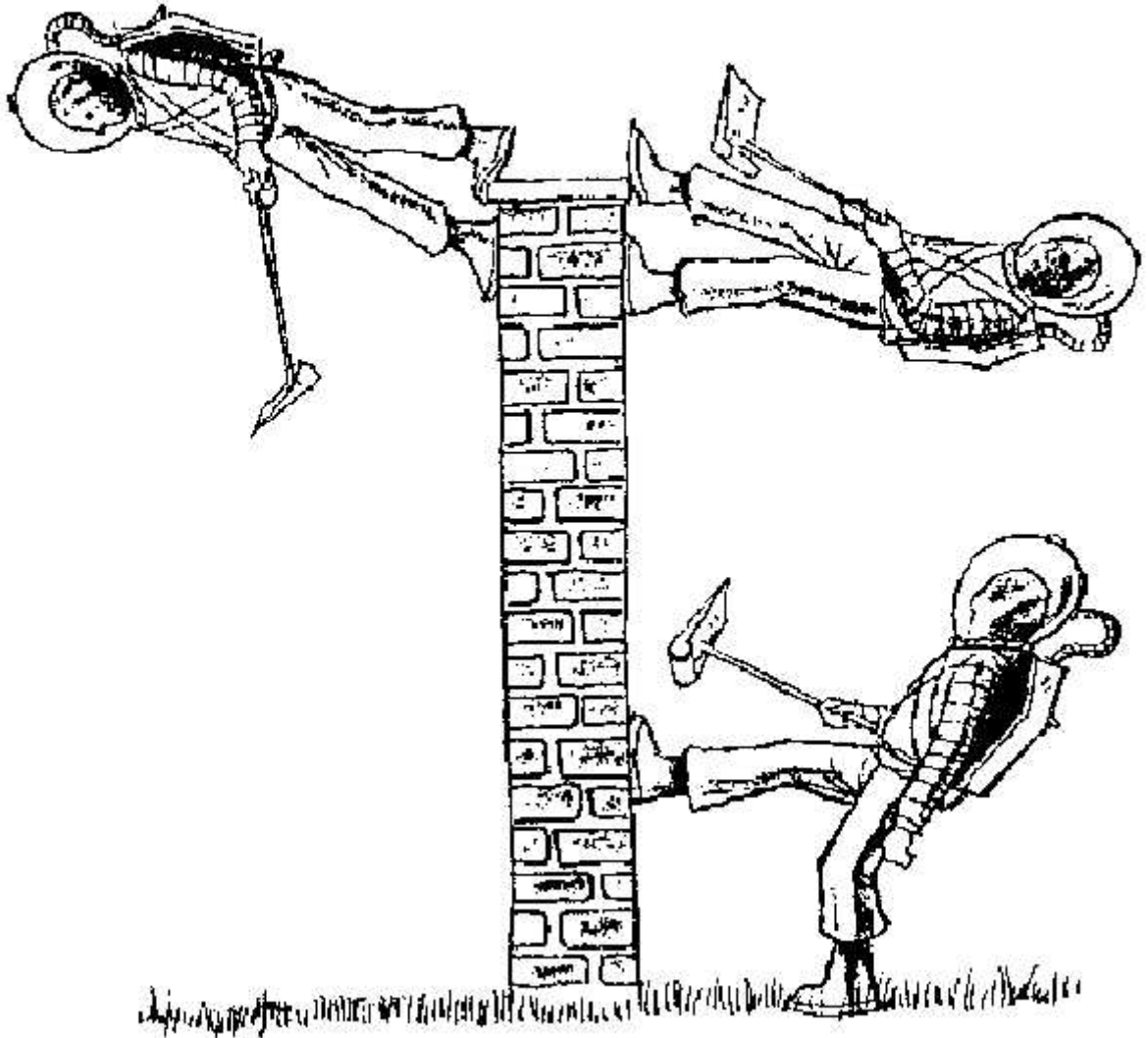


The tall humanoid seen by Carl Higdon.

Rys. K4. UFOnauta nazywający siebie "Ausso". Niniejsza ilustracja ukazuje wygląd odtworzony ze zeznań uprowadzonego. Dnia 25 października 1974 roku Ausso uprowadził Carl'a Higdon'a polującego na jelenie na północnym skraju puszczy zwanej Medicine Bow National Forest (south of Rawlins), Wyoming, USA. Przebieg tego uprowadzenia opisany jest w książce [511.1] pióra Joshua Strickland, "There are aliens on earth! Encounters", ISBN 0-448-15078-6, strona 16. UFOnauta był wzrostu około 1.88 metra i ważył w przybliżeniu 82 kilogramy. Ubrany był w obcisły czarny kombinezon z czarnymi butami, przypominający wyglądem ubiór pletwonurka. Na biodrach posiadał bardzo ciężki pas spięty sprzączką ze żółtą gwiazdą sześcioramienną oraz jakimś emblematem pod jej spodem. Ausso miał łukowate nogi, schodzącą się stożkowo głowę bez podbródka, oraz pojedynczą długą "różdżkę" w miejscu każdej z dłoni. Jego włosy były rzadkie i stały dęba (autor wierzy iż naelektryzowane od pędników głównych w jego epoletach).

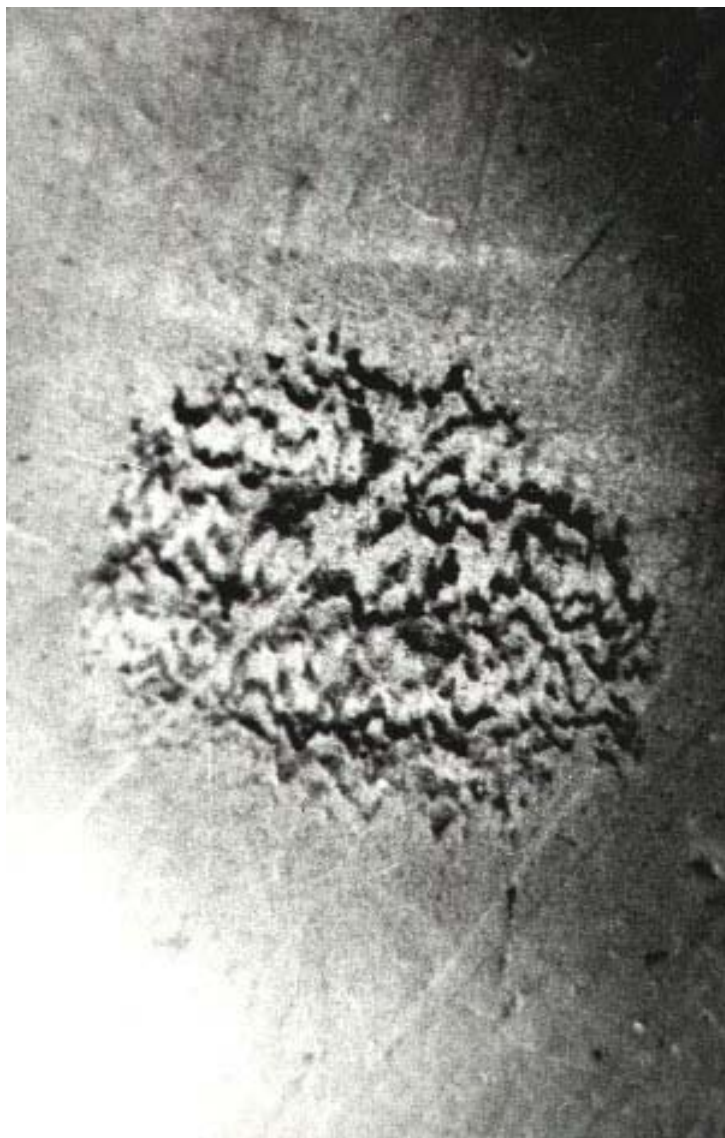
Z punktu widzenia teorii zaprezentowanych w rozdziale F, Ausso przywdziewał wersję napędu osobistego z pędnikami głównymi osadzonymi w epoletach (zauważ skrzyżowane szelki wzmacniające łączące pas z epoletami, oraz chmurki zjonizowanego powietrza unoszące się nad epoletami) - patrz też rysunek F3 "a". Na końcach jego rąk (t.j. w "różdżkach") ukryte były dodatkowe pędniki wspomagające, jakie wspierały jego działania fizyczne.

How M. Ivorde's little man climbed the back wall.



Rys. K5. UFOauta przekraczający mur. Pokazany tu sposób wchodzenia na pionową ścianę zaprzecza naszemu rozumieniu praw fizycznych. Niemniej M. Ivorde z Belgii zaobserwował nocą na swoim ogródku UFOautę który właśnie przekraczał mur w ten niezwykle sposób. W swoim sprawozdaniu opisał on zielonkawego ludzika, około 1 metra wysokiego, w hełmie i kombinezonie kosmicznym, trzymającego w ręku coś co przypominało wykrywacz metali używany przez saperów. UFOauta miał zastrzone uszy (typu "psiego") oraz wielkie oczy jarzące się żółtym światłem i otoczone zielonymi obrzeżami. Kiedy UFOauta przymykał powieki, jego twarz pozbawiona światła z oczu stawała się niewidoczna w cieniu (tak silna luminescencja oczu sugeruje iż UFOauta ten używał napędu z pędnikami w pobliżu swej głowy - t.j. w epoletach). Kiedy M. Ivorde oświetlił go swoją latarką, UFOauta pośpiesznie uciekł poza ścianę przekraczając ją w pokazany tu sposób (a nam się zdaje iż tylko owady potrafią chodzić w taki sposób).

Powyższy rysunek opublikowany był w książce [511.1] pióra Joshua Strickland, "There are aliens on earth! Encounters", ISBN 0-448-15078-6, strona 14.



Rys. K6. Jeden ze siedemnastu śladów kroczących UFO-nauty. Ślady te wypalane zostały przez pędniki główne UFO-nauty jako dnia 4 września 1979 roku przespacerował się po podłodze wyłożonej płytkami PCW w mieszkaniu Jerzego Wasilewskiego z Wrocławia. Każdy z tych śladów początkowo wyglądał jak kredowo-biała kropla upadła na niebiesko-szary płytkę. Jednakże z upływem czasu ich kolor powracał do oryginalnego według "krzywej połowicznego zaniku" o okresie wynoszącym około 120 dni. W marcu 1982 roku zlewał się on już zupełnie z kolorem płytek. Ślady były średnio około 13 milimetrowej średnicy i posiadały czarny zafalowany wzór na swej powierzchni. Jak wykazały badania ów wzór pochodził z działania aktywnego ozonu jaki zareagował z cząsteczkami PCW. Wszystkie wypalenia tworzyły rodzaj "kroczącego śladu", wiodącego wzdłuż podłogi wyłożonej płytkami PCW (PoliChloru Winyłu). Średni odstęp pomiędzy poszczególnymi stąpanieniami wynosił około 40 cm. Badania dokonane przez zespół z Instytutu Chemii Nieorganicznej Politechniki Wrocławskiej ujawniły, iż ślady te zostały wypalane wysoko skoncentrowanym polem magnetycznym oddziaływującym na powierzchnię płytek PCW. Stąd płytki te reprezentują rozstrzygający dowód iż UFO-nauci już obecnie używają magnetycznego napędu osobistego.

Urowadzenie Miss Nosbocaj na pokład UFO

W grudniu 1980 roku mieszkanka Nowej Zelandii zabrana została na pokład UFO. Tam dokonano na niej bliżej niezdefiniowanych zabiegów czy eksperymentów genetycznych oraz poddano ją przeglądowi medycznemu. W dwa lata później złożyła ona szczegółowy raport ze swego uprowadzenia. Raport ten jest jednym z najbardziej komunikatywnych i bogatych w szczegóły techniczne sprawozdań z pobytu ziemianki na pokładzie UFO z jakimi autor zetknął się w swoich dotychczasowych badaniach. Urowadzona prosiła aby nie ujawniać jej prawdziwego nazwiska. W tej monografii występuje więc ona jako "Miss Nosbocaj". Niniejszy załącznik ma na celu przedstawienie znanych autorowi szczegółów dotyczących jej uprowadzenia, oraz przytoczenie pełnego raportu uprowadzonej (w tłumaczeniu autora) udzielonego przez nią podczas seansu hipnotycznego.

W chwili uprowadzenia Miss Nosbocaj pracowała właśnie przy zbiorze pomidorów na plantacji położonej niedaleko od Auckland, w Nowej Zelandii. Właściciele tej plantacji posiadali niewielką piramidkę zbudowaną ze sklejki, jakiej używali oni w celach wypoczynkowych. (W Nowej Zelandii panuje "moda" na budowanie sobie w ogródku kilkumetrowej piramidki, wiernie kopiującej piramidę Heopsa, z niewielką leżanką umieszczoną na jednej trzeciej jej wysokości. We wnętrzu takich piramidek ich użytkownicy spędzają czas przeznaczony na odpoczynek, zwykle medytując lub po prostu drzemiąc w pozycji leżącej.) Często nakłaniali ją aby tam się położyła, chociaż ona sama nie była skłonna tego uczynić ponieważ uważała to za rodzaj dziwactwa. Ulegając jednak namowom, podczas jednej przerwy na lunch Miss Nosbocaj położyła się w owej piramidce. Stamtąd została ona "beamed up" na pokład UFO zawisającego w dosyć sporej odległości od Ziemi. Pierwszy fragment jej seansu hipnotycznego poświęcony jest właśnie opisowi wrażeń doznawanych podczas telekinetycznego lotu z piramidki do UFO, włączając w to dreszcze zimna wynikające z telekinetycznej absorpcji ciepła z jej ciała, oraz odczucie impaktu gdy jej ciało uderzyło i przeniknęło powłokę wehikułu. Jej przemieszczenie na pokład UFO nastąpiło za pomocą telekinetycznego promienia podnoszącego opisanego w podrozdziale G1. Po dotarciu do gabinetu medycznego tego wehikułu, lekarz pokładowy UFO dokonał najpierw na niej zabiegu czy eksperymentu genetycznego, którego cel i przebieg okazał się niemożliwy do ustalenia z powodu "wymazania pamięci" uprowadzonej obejmującego prawie wszystko co zabiegu tego dotyczyło. Potem zaś przeprowadził on na niej różnorodne badania i testy medyczne. Po ich zakończeniu, zgodnie ze zwyczajem UFOautów, uprowadzonej zaproponowano wycieczkę po wnętrzu statku. (Oceniając po jego wymiarach zilustrowanych autorowi przez uprowadzoną, najprawdopodobniej był to statek typu K9 - patrz tablica D1.) Pokazano jej wszystkie najważniejsze pomieszczenia tego UFO, włączając w to - używając terminologii z naszych statków: mostek kapitański (albo kabinę pilotów), pomieszczenie nawigacyjne zawierające niezwykle trójwymiarowy atlas/model wszechświata, oraz maszynownię (t.j. kabinę nadzoru i komputerowego sterowania komorami oscylacyjnymi oraz zasobami energii statku). Jedno z odwiedzanych pomieszczeń było rodzajem sali kinowej czy kabiny rekreacyjnej gdzie wyświetlono jej trójwymiarowy film na temat "dokąd to ziemianie zdążają w swoim obecnym barbarzyństwie". Film ten głównie sprowadzał się do zademonstrowania użycia różnych narzędzi jakie na przestrzeni wieków ludzie powymyślali aby wyzabić się nawzajem, oraz do zilustrowania konsekwencji ewentualnego użycia posiadanej obecnie przez ziemian broni jądrowej (m.in. pokazano jej obraz jakiejś planety po zakończeniu na niej wojny nuklearnej w obliczu jakiej ziemianie obecnie stoją; atmosfera tej planety była zielona od panującej radioaktywności i nasilającego się rozkładu). Dużo do myślenia daje też odwiedzone przez nią podczas tego oprowadzania po UFO oddzielne pomieszczenie jakie

możnaby nazwać "inkubatornią". O inkubatorni tej nie miała okazji opowiedzieć w przytoczonym tutaj raporcie aczkolwiek próbuje nawiązać do niej aż kilkakrotnie. Stąd dokładny opis tego pomieszczenia przekazała autorowi dopiero podczas osobistej z nim rozmowy. Zawierało ono regały całe wypełnione dużymi przezroczystymi cylindrami (próbówkami) podłączonymi do urządzeń imitujących funkcje organizmu matki. Uprowadzona komentowała nawet autorowi o tych próbkach, iż posiada wewnętrzne przekonanie że niezidentyfikowany zabieg czy eksperyment jakiemu została poddana na pokładzie UFO ma coś z nimi do czynienia, oraz że jej wkład do owej inkubatorni odbywa się w sposób ciągły (kontynuowany przez dłuższy okres czasu) nie zaś ograniczony tylko do jednorazowego wprowadzenia. Po zakończeniu zwiedzania UFO, Miss Nosbocaj została przeniesiona z powrotem na Ziemię poprzez cofnięcie do tyłu jej czasu. Znalazła się więc ponownie w swej piramidce w sposób jakiego nie potrafiła ani sama zrozumieć ani potem komukolwiek wyjaśnić. Mimo spędzenia w UFO znacznego okresu czasu, jakiego nawet zgrubne opowiedzenie zajęło jej ponad półtorej godziny, ciągle pozostawało jej do wykorzystania nieco z jednogodzinnej przerwy na lunch. Jej wprowadzenie posiadało więc charakter "podróży w jedną stronę", jak to opisano w podrozdziale G3.

Aczkolwiek samo wprowadzenie miało miejsce w 1980 roku, Miss Nosbocaj utrzymywała je w tajemnicy przez dosyć długi czas, i jak autor się przekonał nie przyznała się do niego nawet własnemu bratu. W 1982 i początku 1983 roku kilka nowozelandzkich gazet opublikowało artykuły omawiające badania UFO dokonywane przez autora. To prawdopodobnie wyzwoliło w Miss Nosbocaj potrzebę opowiedzenia o swoich przeżyciach. Niestety w owym czasie mieszkała ona w Auckland podczas gdy autor wykładał w Invercargill (Invercargill jest położone w stosunku do Auckland o prawie 1000 kilometrów bardziej ku dołowi Nowej Zelandii i bliżej południowego bieguna Ziemi). Dopiero więc podczas kolejnego urlopu/wakacji mogła sobie pozwolić na przyjazd do Invercargill. Tam jednak okazało się iż autor właśnie odwiedza znajomych w Christchurch. Pojechała więc do Christchurch niestety kilka godzin wcześniej autor powrócił do Invercargill. Na szczęście w Christchurch zwróciła się do przyjaciół autora którzy również zajmowali się badaniami UFO. Po ustaleniu więc celu wizyty Miss Nosbocaj, szybko zorganizowali dla niej seans hipnotyczny. Brało w nim udział dwoje przyjaciół autora, t.j. zawodowa hipnotyzerka - referujemy tu do niej "Helen", oraz badacz UFO - referujemy tu do niego "John". Seans trwał około półtorej godziny. Helen zahipnotyzowała Miss Nosbocaj oraz zadawała jej bardzo rzeczowe pytania. Natomiast John starał się nagrać cały przebieg na taśmę magnetofonową. Niestety nie miał on doświadczenia w takim nagrywaniu i trzymał cały czas mikrofon zbyt daleko od ust zahipnotyzowanej. W efekcie pod względem jakości dźwiękowej nagranie to pozostawia sporo do życzenia. Niemniej ciągle umożliwia ono zapoznanie się z tym co Miss Nosbocaj miała nam do przekazania.

Uprowadzona sporządziła także rysunki UFO nauty dokonującego na niej zabiegu czy eksperymentu genetycznego, oraz rysunki mapy nieba (oba w posiadaniu autora).

Po otrzymaniu taśmy z oryginalnym nagraniem, podczas następnych wakacji letnich w rok później autor z drugą znajomą - ze zawodu sekretarką, referujemy tu do niej jako do "Prudence", zdecydowali się poprawić jego czytelność poprzez sporządzenie transkryptu (maszynopisu) z całego seansu hipnotycznego. Po kilku tygodniach pracy maszynopis ten był gotowy. Kopię tego transkryptu, wraz z kopią oryginalnej taśmy z nagraniem seansu hipnotycznego autor rozesłał do znanych sobie badaczy UFO. Kilka tych kopii wysłał on też do różnych badaczy UFO z naszego kraju. Być może więc że niektórzy czytelnicy spotkali się z nimi już wcześniej.

(*) Jako niezwykle ciekawostkę warto tu dodać do powyższego opisu, iż autor zaobserwował tajemnicze zjawisko jakby stopniowej zmiany treści raportu Miss Nosbocaj postępującej w miarę upływu czasu. Takie samo wrażenie zresztą odniosła też Prudence. Przykładowo początkowo precyzyjne i pełne opisy mechanizmu w jaki działa czas, z wolna stawały się coraz bardziej niejednoznaczne i ogólnikowe, tak jakby celowo zastąpione zostały przez inne. Zmiany te sprawiały wrażenie jakby ktoś przemieszczał się w naszą przyszłość, monitorował jakie następstwa ten szczególny raport wyrze na przyszłe zdarzenia na Ziemi, zaś potem powracał do chwili owego wprowadzenia i odpowiednio

zmieniał przebieg spotkania jej autorki z UFOautką - tak aby cywilizacja ziemska nie otrzymała nie zaadresowanej dla niej wiedzy. Z kolei zmiany w przebiegu spotkania spowodowały cały łańcuch zmian w zdarzeniach jakie nastąpiły w jego efekcie. Oczywiście owe subiektywnie odnotowane przez autora jakby zmiany i poprawki nanoszone później do cytowanego tu raportu można też "uracjonalnić", t.j. potraktować zgodnie z naszym obecnym poziomem wiedzy. Wtedy dadzą się one po prostu wyjaśnić jako zwykłe przeinaczenia ("tricks") pamięci. Niemniej autor sugerowałby czytelnikom powrócić do ponownego przeczytania tego raportu po upływie jakiegoś okresu czasu (np. po roku czy dwóch) i samemu się przekonać czy zgodnie z ich pamięcią jego treść w międzyczasie uległa zmianie.

Każde odkrycie kolejnej zmiany treści raportu Miss Nosbocaj jest ogromnym szokiem dla autora. Uzmysławia ono mu bowiem już po raz któryś tam z rzędu iż nasze obecne zrozumienie mechanizmu w jaki czas działa jest ciągle ogromnie naiwne i dalekie od rzeczywistości. Przykładowo popularne powiedzenie "co się już stało to się nie odstanie" całkowicie mija się z prawdą i przy odpowiednim poziomie zaawansowania technologicznego naszą przeszłością daje się tak samo manipulować jak naszą przyszłością. Na początku 1994 roku, t.j. już po napisaniu poprzedniego paragrafu (*) i w 11 lat po sesji hipnotycznej w Christchurch, autor odkrył kolejną zmianę treści raportu Miss Nosbocaj wprowadzoną dosłownie na jego oczach. Zmiana ta była bardzo niewielka i sprowadzała się do zastąpienia jednego słowa przez inne, niemniej była ona tak samo szokująca jak wszystkie poprzednie. Właściwie to sprawiała wrażenie jakby wprowadzonej celowo w celu upewnienia autora i czytelników iż opisywane tu obserwacje manipulowania przeszłością faktycznie mają miejsce. Oto historia wykrycia tej zmiany. Na końcu 1993 i początku 1994 roku autor tłumaczył raport Miss Nosbocaj na język polski w celu przytoczenia go jako załącznika do niniejszej monografii. Jednym z wyrażenń wprowadzonej jakie sprawiło mu najwięcej trudności przy tym tłumaczeniu było jej określenie "baby business" użyte w ostatnim zdaniu akapitu N-92. Zarówno bowiem treść samego tego akapitu, jak i późniejsza rozmowa autora z wprowadzoną na temat jego znaczenia uświadamiały iż Miss Nosbocaj miała na myśli swoją kontrybucję do rodzaju kosmicznego przedsiębiorstwa które produkuje dzieci w sposób taśmowy. Nistety angielski termin "business" nie posiada dosłownego odpowiednika w języku polskim. Stąd po wielu przemyśleniach autor zdecydował się użyć nieco zbliżonego terminu "wytwórnia dzieci" jako najlepiej oddającego intencję wprowadzonej. Po końcowym sformułowaniu monografii, włączając w to przytoczoną tutaj już bez późniejszych zmian treść paragrafu oznaczonego (*) jaki bezpośrednio poprzedza niniejszy akapit, autor jeszcze raz powrócił do oryginalnego raportu Miss Nosbocaj aby dodatkowo porównać jego zawartość z przytoczonym w tym załączniku tłumaczeniem. Jednakże ku swemu największemu zaskoczeniu w oryginalnym transkrypcie raportu już nie występował zwrot "baby business" którego przetłumaczenie sprawiło mu poprzednio tak wiele trudności, lecz inny zwrot "baby thing". Zamiana więc zwrotów została dokonana dosłownie na oczach autora, zaś do zmiany wybrany został ten szczególny zwrot który autor pamiętał najlepiej z całego raportu, sprawiając wrażenie jakby ktoś wprowadził go tam celowo jedynie w celu upewnienia autora iż jego szokujące odkrycia na temat działania czasu faktycznie pokrywają się z prawdą. Natychmiast po wykryciu owej zmiany autor zdecydował się dodać niniejszy paragraf do monografii, tak aby podzielić się z czytelnikami tym niezwykłym faktem.

Autor aż dwukrotnie wybrał się do Auckland aby osobiście spotkać Miss Nosbocaj. Za pierwszym razem, w grudniu 1984 roku, nie było jej w domu. Do spotkania doszło więc dopiero za drugim wyjazdem w styczniu 1985 roku.

W chwili spotkania z autorem Miss Nosbocaj okazała się cichą dziewczyną o krępej budowie i niskim wzroście. Wyglądała wtedy na jakieś 23 lata. Podczas rozmowy, uderzała u niej wysoka inteligencja, znajomość życia (jaką doskonale wyraziłoby nasze przysłowie na temat "jedzenia chleba z niejednego pieca"), oraz wyjątkowa spostrzegawczość i wrażliwość. Właśnie dzięki tym atrybutom okazała się ona tak doskonałą obserwatorką, przekazując nam wielokrotnie więcej szczegółów z pokładu UFO niż potrafili to zaobserwować inni wprowadzeni, czasami posiadający wyższe wykształcenie lub

techniczne zainteresowania. O swoich przygodach opowiadała z wyraźną nieśmiałością i jakby lękiem że słuchający zaczną się z niej śmiać. Po każdym nowym szczególe wyraźnie sprawdzała czy nie sprawia on niepożądanego wrażenia na rozmówcy. Powyższe uświadamia iż poprzednio musiała ona mieć raczej nieprzyjemne doświadczenia przy próbach opowiedzenia swej przygody. Sama zresztą się przyznała iż próbowała kiedyś opowiedzieć o swoich przeżyciach kilku zaufanym osobom, niemniej nie znalazła u nich zrozumienia. W czasie spotkania z autorem skarżyła się nawet że jej chłopak całkowicie nie wierzy w UFO, jednakże "dobrotliwie przyzwala jej aby ona wierzyła w co tylko zechce". Ponieważ autor zauważył iż niechętnie mówiła o swojej rodzinie, nie wypytywał więc o szczegóły. Podczas spotkania z autorem wspominała jednak swego brata - także mieszkającego w Auckland (ponieważ autor spotkał tego brata, ocenia iż prawdopodobnie jego wiek różnił się jedynie o jeden rok od wieku Miss Nosbocaj). Wykształcenie Miss Nosbocaj było podstawowe. Pracowała ona fizycznie, często zmieniając zatrudnienie i miejsce zamieszkania (to czyniło z niej osobę tak trudno uchwytną). W chwili spotkania z autorem zatrudniona była jako rodzaj salowej/kelnerki i jednocześnie pomocy kuchennej w nowozelandzkim odpowiedniku dla naszego baru mlecznego. Do czasu uprowadzenia nie interesowała się ani UFO ani też żadnymi zjawiskami o podobnej naturze. W czasie spotkania z autorem sugerowała iż chciałaby już zapomnieć o całym wydarzeniu, niestety zakodowane w jej podświadomości nakazy narazie jej to uniemożliwiały. Do nakazów tych referowała jako do "białych kul wiedzy" jakie odczuwała jakby dosłownie osadzone one były w jej ciele i oczekiwały tam uwolnienia gdy nadejdzie ku temu najodpowiedniejszy czas. Swój raport z Christchurch traktowała jedynie jako uwolnienie kilku pierwszych z owych kul.

Informacje o owych "białych kulach wiedzy" zawarte są w akapitach N-38, N-126 i N-140. Autor poleca czytelnikowi przegłębienie ich ze szczególną uwagą, bowiem ujawniają one zupełnie odmienną technikę zdobywania wiedzy niż technika używana dotychczas na Ziemi. Ta pozaziemska technika polega na "wkładaniu wiedzy wprost do głowy" zamiast naszego tradycyjnego "uczenia się". W tym miejscu warto tu podkreślić, że różne prognozy futurystyczne zakładają że kiedyś w dalekiej przyszłości takie "wkładanie wiedzy wprost do głowy" stanie się również możliwe na Ziemi. Jednakże jak narazie nie jest nam znana ani zasada na jakiej będzie się to odbywało, ani też technika osiągnięcia takiego efektu. Tymczasem UFO-nauci zdają się już posiadać efektywną technologię (t.j. technikę wraz z odpowiednimi urządzeniami ją egzekwującymi) dokonywania takiego "wkładania" w sposób praktyczny. Wygląda więc na to że członkowie tej cywilizacji wcale nie muszą się już uczyć w szkołach i uczelniach jak nasze dzieci, lecz po prostu poddawani zostają jakiemuś szybkiemu i niemęczącemu zabiegowi zaopatrywania ich w "białe kule wiedzy". Kule te potem "otwierają się" w miarę jak zawarta w nich wiedza staje się potrzebna swemu nosicielowi. Dodatkowym atrybutem owych "kul wiedzy" formowanych przez UFO-nauców jest iż ich otwieranie się uwarunkowywane może zostać odpowiednim wymogiem definiującym poziom dojrzałości emocjonalnej i intelektualnej swego nosiciela. W ten sposób wiedza której waga przerasta dany poziom dojrzałości może zostać zabezpieczona przed wpadnięciem w niepowołane ręce (np. wiedza jak zbudować bombę atomową zostanie otwarta jedynie w przypadku gdy jej nosiciel jest wystarczająco dojrzały aby nie użyć tej bomby na swoich współziomkach). Powyższe z kolei uświadamia iż, aczkolwiek członkowie obcych cywilizacji uwolnieni już zostali od mozolnego "wkuwania" potrzebnej im wiedzy, ciągle muszą oni "zapracowywać" nieustannym podnoszeniem swojej dojrzałości intelektualnej i emocjonalnej na otwarcie się określonych fragmentów tej wiedzy dla ich dostępu i użytku.

Podczas osobistej rozmowy z Miss Nosbocaj autor najbardziej był zainteresowany szczegółami technicznymi jej statku (t.j. kształtem, wymiarami, rozmieszczeniem pomieszczeń w jego wnętrzu, liczbą członków załogi i ich stanowiskami pracy, komorą oscylacyjną, itp.). W czasie wielogodzinnej rozmowy uprowadzona dodała wiele szczegółów technicznych do swego wcześniejszego raportu udzielonego w Christchurch pod hipnozą. Jednym z takich szczegółów mających związek z treścią niniejszej monografii, jest obserwacja iż centralna komora oscylacyjna w jej UFO prawdopodobnie nie posiadała kształtu kostki sześciennej, a jakąś bardziej złożoną formę jakiej uprowadzona niestety nie

była w stanie dokładnie zdefiniować z uwagi na ogrom tego urządzenia (na podstawie jej opisów autor jednak sądzi że najprawdopodobniej był to kształt równoległocianu szesnastobocznego). Szerokość każdej ze ścianek komory w tym UFO według jej określenia wynosiła około 4 metrów. Natomiast jej wysokość była tak duża że ta sama komora centralna widoczna była aż z trzech różnych poziomów (pięter) statku. Prawdopodobnie więc wysokość tej komory przekraczała conajmniej 9 metrów.

Urowadzenie nieco przypominające przypadek Miss Nosbocaj, opisane jest też w książce [1Z] pióra Budd'a Hopkins, "Intruders: the incredible visitations at Copley Woods", Random House, Inc., New York 1987, ISBN 0-394-56076-0.

Losy Miss Nosbocaj po styczniu 1985 roku nie są autorowi dokładnie znane. Prawdopodobnie nie nadszedł też właściwy czas na uwolnienie następnej ze zamkniętych w niej białych kul wiedzy. Jedynie przez przypadek udało mu się usłyszeć iż około 1987 roku urodziła córeczkę, oraz że nadal mieszkała wtedy w Nowej Zelandii.

Ponieważ raport Miss Nosbocaj doskonale uzupełnia zawartość niniejszej monografii, autor postanowił osobiście przetłumaczyć go na język Polski i przytoczyć jego całość w tym załączniku. Jako iż tłumaczenie to przygotowane zostało w celach naukowych, stara się ono jak najwierniej oddawać informacje przekazywane przez uprowadzoną, używając jej zwrotów, jej powiedzeń, oraz jej stylu mówienia. W sensie polszczyzny nie jest więc ono retuszowane, sprostowywane, wygładzane ani też upiękkszane.

Poniżej przytoczono owo tłumaczenie pełnej treści raportu uprowadzonej udzielonego podczas jej seansu hipnotycznego w Christchurch. W tłumaczeniu tym autor przyjął następującą konwencję oznaczeń: przez literę "N" oznaczone zostały wypowiedzi Miss Nosbocaj, przez literę "H" oznaczone zostały wypowiedzi jej hipnotyzerki, zaś zaraz po tych literach przytoczono numer kolejny danego ustępu jaki ma służyć ułatwieniu odnajdywania określonych opisów w celu ściślejszego referowania do nich, w nawiasach klamrowych {jak ten} przytoczono dodatkowe wyjaśnienia autora nieobecne w oryginalnym tekście, w miejscach wykreślonych _ wypowiedziane zostało imię uprowadzonej (którego autor zobowiązał się nie publikować), w miejscach ... na oryginalnej taśmie zawarte były słowa lub zdania z powodu złej jakości technicznej nagrania niemożliwe do zrozumienia, natomiast przez użycie dużych liter w zwrocie ON (i pochodnych) podkreślone zostało iż zwrot ten odnosi się do UFO nauty odpowiedzialnego za uprowadzenie (t.j. aby jednoznacznie odróżnić go od zwrotu "on" odnoszącego się przykładowo do stołu, kombinezonu, czy wehikułu). Oto tłumaczenie pełnej treści omawianego raportu:

* * *

{Część I: rozmowa hipnotyzerki z uprowadzoną poprzedzająca właściwe zahipnotyzowanie i raport udzielony pod hipnozą.}

H-1: Środa, dnia 6 kwietnia 1983 roku. Twoje przejścia _ miały miejsce jakieś dwa lata temu?

N-2: Mmm.

H-3: Ciekawa jestem czy mogłabyś opowiedzieć mi coś niecoś na ich temat. Zdarzyło się to w Auckland?

N-4: Tak.

H-5: I gdzie dokładnie to nastąpiło w Auckland? Jak mi się zdaje wspominałaś coś o domu przyjaciele.

N-6: Ja pracowałam wtedy dla plantatorów pomidorów,

H-7: uhm,

N-8: i weszłam, oni tam mieli piramidę na swojej posiadłości i ciągle mnie namawiali abym weszła do niej podczas którejś z przerw na lunch i położyła się na chwilę, to jakoby miało być bardzo dobre dla odprężenia.

H-9: Jak duża byłaby ta piramida?

N-10: Oh, sądzę że około ośmiu lub dziewięciu stóp {ok. 3 metrów}.

H-11: Taka była na zewnątrz?

N-12: Mmm.

H-13: Z czego była wykonana?

N-14: Sądzę iż ze sklejki.

H-15: Mmm. Dobrze, czy chciałabyś teraz kontynuować swe opowiadanie.

N-16: A więc weszłam do środka, położyłam się i leżałam tam przez kilka minut, zaś w środku było zupełnie ciemno, nagle jednak dookoła zjawilo się to jasne światło. Wyglądało jakby padało na mnie z wierzchołka piramidy i sprawiało wrażenie jakby rozszczepiało ono moje ciało na maleńkie cząsteczki, ale światło także było wykonane z cząsteczek, mniejszych od moich i wchodziło ono pomiędzy cząsteczki mojego ciała zaś ja odczuwałam że zaczynam się przemieszczać i zaczęłam odczuwać zimne mrowienie/ciarki i wzlatywałam w górę smugi tego światła.

H-17: I co stało się potem _?

N-18: Oh, ja wzlatywałam wzwyż tej smugi światła, zaś następną rzeczą jaką pamiętam to że byłam w tym pomieszczeniu, ale nie pamiętam, ja tylko pamiętam niewyraźnie fragmenty jakie opowiedziałam i był tam mężczyzna i ON, ON mnie, ON użył na mnie wszystkie te niezwykle maszyny i przeprowadził różnego rodzaju badania medyczne i,

H-19: Gdzie były te maszyny, w której części pomieszczenia, czy były one porzucane po całym pomieszczeniu czy też były rozmieszczone w jakiś określony sposób i gdzie Ty byłaś w tym pomieszczeniu?

N-20: Pamiętam jedną z nich. Ja byłam, to był jakby długi stół i ja leżałam na nim. Zdawał się być wykonany z metalu zaś ja leżałam na nim i byłam, ja byłam całkiem naga zaś ON jakby wsunął, wsunął mnie do środka, głową naprzód do tej okrągłej rzeczy, maszyny, zaś to zaczęło obracać się dookoła, okrążyło mnie i zdaje mi się iż czułam jakby rodzaj promieni wchodzących w mnie i sprawdzających moje ciało.

H-21: Czy ON pozwolił sobie aby Cię dotknąć?

N-22: Nie jestem w stanie sobie przypomnieć.

H-23: Czy widziałaś JEGO ręce?

N-24: Mmm.

H-25: Czy mogłabyś je opisać?

N-26: Były długie i bardzo piękne, bardzo długie palce.

H-27: Czy zauważyłaś ile palców?

N-28: Nie sądzą.

H-29: Czy mogłabyś opisać tego mężczyznę?

N-30: A więc ON był znacznie wyższy niż normalnie i miał bardzo jasne włosy, delikatny blond, były one niemalże przezroczyste tak delikatne, zdaje mi się iż ktoś mógłby niemal pomyśleć że ON był łysy gdyby nie przyglądnał mu się wystarczająco dobrze i ON miał podłużną twarz, białą skórę, bardzo delikatną i było też coś dziwnego z jego oczami, nie mogę sobie przypomnieć i dał mi odczucie prawdziwej ufności. Ja wcale się nie martwiłam, to znaczy, nigdy przedtem GO nie widziałam i ON dokonywał na mnie te dziwne rzeczy i to wcale mnie nie martwiło co ON przeprowadza. I ON ubrany był w rodzaj kombinezonu jaki czuło się, to jest on fascynował mnie tak bardzo i zdawał się być tak pięknego kroju zaś ON nie miał nic przeciwko i pozwolił mi go dotknąć, że z czegokolwiek był on wykonany - i ja pamiętam jak dotykałam go przez dłuższy czas i starałam się porównać go do czegokolwiek co już znam ale nie mogłam, nie mogłam znaleźć niczego co możnaby do niego porównać, był on jak, jakby z jakiegoś rodzaju metalu ale miał kompozycję bardzo, bardzo delikatnej tkaniny i był on, myślę że był on jakby połączony w pasie z grubszym pasmem takiego samego czegoś, płótna, oraz naokoło nadgarstków i także buty jakie ON nosił były z tego samego materiału tyle tylko iż nieco grubszego i były one połączone ze spodniami na kostkach za pomocą taśmy tego samego,

H-31: Czy ON mówił coś do Ciebie?

N-32: ON powiedział mi wiele rzeczy ale teraz nie mogę sobie przypomnieć czy ON przekazał mi myśli, JEGO myśli do mojej głowy, czy też użył ON słów.

H-33: Czy czytałaś wiele o kosmitach?

N-34: Ja czytałam jakieś dwie książki ostatniego roku, znalazłam dwie książki o NICH. Było to dla mnie duże zaskoczenie dowiedzieć się iż inni ludzie mieli bardzo podobne doświadczenia.

H-35: Jakie książki czytałaś _?

N-36: Jedna była o niejakim George Adamskim i była też inna, nie potrafię sobie przypomnieć autora, było to po prostu wiele krótkich opowieści jakie zaczerpnięte zostały z wycinków gazetowych i innych źródeł.

H-37: Aha.

N-38: Na dodatek, miałam wrażenie iż ON przekazał mi rodzaj białych kul wiedzy, tak to tylko mogłabym opisać, wstawiając mi je do środka, to czuło się jakby do środka mojego ciała, w moje łono, jakby ON wślizgnął je tam i one osiadły tam razem z resztą zawartości i niektóre z nich miały niemal grubsze skorupki od innych i niektóre byłoby łatwiej otworzyć inne zaś byłyby, byłoby bardziej ciężko, jako iż są one głębiej i bardziej skomplikowane, ja nie mogłabym ich zrozumieć i niektóre jakbym zrozumiała, jako iż czuję że wiem teraz rzeczy jakich nie wiedziałam poprzednio. Później nie potrafiłabym powiedzieć które rzeczy, ale one tam ciągle istnieją.

{Część II: hipnotyzowanie.}

H-39: Teraz delikatnie do tyłu. I możesz ponownie przeżyć swoje doświadczenia w piramidzie. Odpręż się, bardzo, bardzo wygodnie. Możesz teraz pamiętać wszystko wyraźnie, wszystkie rzeczy, widoki, dźwięki w piramidzie. Jest to jakbyś była tam ponownie, leżąc w piramidzie. Chciałabym abyś doświadczyła wszystkiego wyraźnie, wszystkiego co Ci się przydarzy i opowiedziała mi o tym gdy to się przydarzy. Możesz mówić bardzo łatwo i wyraźnie w swoim bardzo odprężonym stanie, możesz także rozumieć niektóre z rzeczy jakie były niedostępne dla Ciebie poprzednio. Tak więc opowiadałaś mi o podróżowaniu w smudze światła. Chciałabym abyś doświadczyła je teraz i opowiedziała mi o odczuciu w swym ciele i o tym świetle. Opowiedz mi co w tej chwili przeżywasz _.

{Część III: raport udzielony już po zahipnotyzowaniu.}

N-40: Jest, jest bardzo ciemno. Mogę tylko zobaczyć szczyt piramidy i właśnie się zastanawiam co ja tu robię. Musiało mi się zwario, to znaczy, chyba zwariowałam, ale ja to zniosę przez krótką chwilkę jeśli zaoszczędzi mi to ... Zresztą to osłania mnie przed słońcem, zaś na dworze jest przecież dosyć gorąco. Poleżę sobie tutaj przez chwilkę i pomyślę że wszystko to tylko mi się zdaje. Myślę że, że ja, ponieważ ja nie, ja faktycznie nie wiem co za chwilę nastąpi ale myślę że mi się to wydaje bo moje ciało zaczyna właśnie przechodzić dreszcze {mrówki}.

H-41: Czy jest to przyjemne uczucie?

N-42: Tak, tak to jest, jakby poczucie stania się lżejszym. I teraz taka rzecz, czy tam, czy tam jest światło? Nie jestem pewna, ale to wygląda na to, mam właśnie uczucie iż tam jest światło przybywające skądś, zaś ja go się wcale nie spodziewałam, nie, nie tutaj.

H-43: Czy jest ono jakiegoś szczególnego koloru, to światło?

N-44: Jest rodzaju, jest mi trudno zobaczyć, wiesz uczucie jakby powracało ale jest trudno zobaczyć. Myślę, myślę że jest jakby złotawego koloru, zaczyna się jakby jakieś uczucie światła ale uzyskuje ono jakby złocisty kolor kiedy zaczyna się nasilać i wchodzić w mnie i gdy zaczyna naprawdę wdrażać się w mnie jest coraz złociściejsze, głębszy złoty kolor kiedy ja zaczynam całą cierpnąć i wszystko nagle zaczyna przyspieszać w górę, zaś ja czuję iż się trzęsę z zimna, tak jakbym dostała drgawek, tak jak to czyni ktoś kiedy jest mu zimno i tak, jest ono złote, zaczyna się nasilać i moje ciało czuje się jakby stało się naprawdę ogromne, jest teraz kolosalne i ciągle się powiększa i zaczyna tracić formę, teraz jest już jak ogromna okrągła masa i jeszcze ciągle się powiększa i powiększa i rozszerza i ja czuję się jakbym była w środku swego ciała i jakbym stawała się bardzo maleńka, jestem faktycznie maleńka zaś moje ciało jest naokoło mnie i staje się tak duże, iż rozpościera się na ogromną odległość odemnie, ale to może być ponieważ faktycznie ja jestem mniejsza i, i, i moje ciało jest tak duże bo ja czuję się tak mała. Nie jestem pewna, być może iż stało się jak to czuję, nie potrafię powiedzieć. I to jest takie dziwne uczucie i ja, ja się trzęsę z zimna, to daje się odczuć naprawdę dziwnie, i, i światło wchodzi pomiędzy i porusza się, porusza się tak szybko, to światło przemieszcza się tak szybko że ja zaczynam lecieć razem z nim, lecę z tą samą szybkością i zaczynam czuć że jestem teraz częścią tego światła, i czuję iż jestem częścią tego światła i poruszam się z nim i to jest, to jest naprawdę przyjemne, to jest, to jest lot, jest dynamiczny, jest daleki, jest bardzo szybki i, i miękki, i jest

on przez bardzo dużą przestrzeń, jest to naprawdę przyjemne odczucie i ja naprawdę nim się delektuję. Ja nie mam pojęcia gdzie ja lecę ani dlaczego ja lecę, naprawdę nie wiem, takie coś nie przytrafiło mi się nigdy przedtem. Ja ... ja naprawdę ... ja mam to dziwne uczucie jakby, szczęśliwości, jestem bardzo szczęśliwa że to się dzieje, jestem dosyć ukontentowana, to jest jakby, to zdarzało się każdego dnia, nigdy mi się to nie przytrafiło przedtem ale to się czuje jakby zdarzyło się każdego dnia i jestem bardzo szczęśliwa bez powodu, jestem szczęśliwa i ciągle lecę, kontynuuję swój lot, poruszając się z tym światłem, wyżej i wyżej i jest to bardzo długa droga. Ciągle lecę.

H-45: Dobrze, kontynuuj swój lot. Powiedz mi teraz co stało się potem.

N-46: Dolatuję do czegoś, mogę to już odczuć iż dolatuję do czegoś i jestem coraz bliżej zmierzając w tego kierunku. Jak dotąd nie mam pojęcia co to jest i nie wiem gdzie ja jestem ale zbliżam się do czegoś i zmierzam w tego kierunku i oh! Właśnie przemieszczam się przez, przenikam przez jakiś rodzaj powłoki, czy obiektu i właśnie czuję uderzenie swego ciała gdy przeniknęłam przez to i ciągle mam dreszcze, ciągle odczuwam te drsz, jakbym była no wiesz zeszywniała ze zimna, i wyraźnie mogę odczuć to wewnętrzne dygotanie, i właśnie przenikam gdzieś i jest tam, jest tam dużo światła, to jest pomieszczenie czy coś, jest ono oświetlone, i jest tam już ktoś, ktoś tam już stoi i ON jest ubrany w srebro, w lśniące srebro, i ON jest, ON czeka na mnie przy czymś, przy czymś wykonanym z tego samego materiału jaki on ubiera tylko że on ubiera miękką odmianę podczas gdy to jest, to jest solidne, to się nie porusza, jak, jak szpitalne łóżko na kółkach, tylko że to nie jest łóżko szpitalne ale jakby podobne do niego i ON stoi przy nim i patrzy na mnie obserwując mnie gdy się zbliżam do NIEGO, chociaż ja nie wiem jak ja się do NIEGO zbliżam, jednak ON stoi tam przy tym łóżku i czeka aż tam się dostanę i wygląda bardzo zadowolony, sądzę iż się nawet uśmiecha. On stoi tam i ma swoje ręce splecione przed sobą w geście czekania tam cierpliwie jakby, no wiesz, powstrzymując swoją ciekawość, i spodziewając się mnie i oto ja jestem. Nie mogę dostrzec nikogo więcej, i właśnie zbliżam się do niego, zaś ON, ON coś mi robi.

H-47: Czy to boli?

N-48: Nie wiem.

H-49: Co ON Ci robi?

N-50: ON robi to tak że ja nie jestem w stanie powiedzieć. ON, ON robi to w sposób że ja, ja nie mogę, ON nie, ON nie chce, ON nie chce aby zbyt wiele, ON nie chce abyś Ty, ON robi, ON nie, ON nie chce,

H-51: Czego ON nie chce _?

N-52: Niektóre rzeczy ON Ci powie, i niektóre rzeczy ON chce abyś Ty poznała, ale są takie rzeczy jakich ON nie chce abyś Ty wiedziała i jedną z nich jest co, co się stało od czasu gdy ja najpierw dotarłam i zobaczyłam, i zobaczyłam JEGO aż do czasu gdy znalazłam się na tym stole zaś on wsuwa mnie do tej maszyny i wszystko pomiędzy tymi momentami, ON, zaszyły wydarzenia ON nie chce abyś Ty poznała, i ON, ON wkłada coś w mnie i, i ja nie mogę przedrzeć się poza to wydarzenie. ON wkłada, nie wiem co to jest, to jest, to nie jest ... Ja zawsze sądziłam że ON był naprawdę dobry, zawsze dawał mi odczuć że jest taki naprawdę, zawsze od czasu powrotu, i miałam wszystkie te lata przyjemnych wspomnień i zawsze sądziłam że ON był naprawdę dobry dla mnie, ale tam jest coś co ON uczynił i czego ON nie chce abym komukolwiek opowiedziała ponieważ, mogę to odczuć, jest tam jakaś ogromna zaporą, jest ona jakby ściana czy coś w tym rodzaju. Jednak ja naprawdę chciałabym wiedzieć co to jest ponieważ ja wierzę iż to jest moja pamięć i ON nie ma prawa stawiać w niej takich zapor.

H-53: Dlaczego ON nałożył tą zaporę?

N-54: Dla mojego własnego dobra.

H-55: Mmm.

N-56: ON nie ma prawa. To jest, to jest moje ciało. Nie mam nic przeciwko dopomożeniu MU z jego eksperymentami lub czymkolwiek innym ON chce wiedzieć o naszej planecie jeśli ON zamierza dopomóc ludziom, ale nie sądzę, nie sądzę ON, no wiesz, ja bym uczyniła dla NIEGO to samo co bym uczyniła dla Ciebie ale ON nie ma prawa aby,

H-57: Dlaczego ON przeprowadza te eksperymenty? Co jest JEGO celem?

N-58: ON stara się nas pilnować.

H-59: Dlaczego?

N-60: My jesteśmy niebezpieczni i idziemy w złym kierunku w niektórych sprawach.

H-61: Jak my jesteśmy niebezpieczni i dla kogo jesteśmy niebezpieczni? Spraw aby Ci to powiedział.

N-62: Jest to trudne ponieważ, widzisz, co ON mi pozwolił, ON to pozostawił, umożliwił mi zatrzymać w mojej pamięci tylko to co ON chciał abym pamiętała, ... błędzić w kółko. Kiedy jednak Ty zaczynasz zadawać mi te pytania ON stawia tą zaporę, to zaś oznacza iż czyni ona niemożliwym ponieważ pozostałe wiadomości są trudne,

H-63: Opowiedz więc rzeczy jakie ON chce abyśmy poznali.

N-64: Mmm. Zobaczę czy potrafię sobie przypomnieć rozmowę z NIM.

H-65: Ty właśnie teraz rozmawiasz z NIM ponownie.

N-66: Ja nie mam żadnego ubrania na sobie i leżę na grzbiecie na tym niby łóżku, i ON się zainteresował, ON, ON, nie to jest potem, to jest po, ah tak ON coś robi, ON coś robi i potem. To coś ma do czynienia z dziećmi!

H-67: Mmm.

N-68: To ma coś do czynienia z dziećmi. Czy coś uczyniliśmy tam z dziećmi? Czy zmieniliśmy dzieci, czy, czy ONI zmieniają dzieci? Co to ma do dzieci, co jest tak złego z dziećmi? Lub co, co dzieci, dzieci, coś wspólnego z dziećmi, dużo dzieci. Nie wiem, to jakby, ONI wprowadzali jakieś różnice, czy my powodujemy różnice, czy?

H-69: Coś jednak do czynienia z dziećmi.

N-70: Tak.

H-71: Mmm.

N-72: I to jest co ja nie powinnam powiedzieć? Czuję iż muszę to wrywać z pamięci, wyciągać na siłę z takimi oporami, ponieważ jest tam coś co czyni to tak trudnym, że ja naprawdę muszę próbować i jakby wyciągać to na zewnątrz, poza zaporę, to się czuje jakby ON spowodował iż gdy mówię lub myślę o tym ponownie on przykrył to czymś w mnie tak że gdy myślę o tym to czyni, to staje się porozdrabniane i ja nie jestem w stanie poskładać tych kawałków z powrotem i dlatego to przykrycie czyni bardzo trudnym dla mnie wydobyć czegoś z mojej pamięci tak aby ktoś inny się dowiedział, stąd jeśli Ty nie masz nic na przeszkodzie, uporanie się z tym,

H-73: Wszystko w porządku, radzisz sobie naprawdę doskonale, kontynuuj tak dalej.

N-74: Ja złapałam to przez moment. To ma coś do czynienia z dziećmi przedtem zanim się one narodzą, czy coś w tym rodzaju. Mam podstawę tak uważać bo widzisz jest tam mnóstwo małych dzieci i wszystkie one znajdują się jakby w pozycji płodowej. Czy ONI zmieniają te dzieci, czy robią coś z nimi, czy sprawdzają, czy robią coś i chcą być może zmienić niektórych ludzi gdy Ci są jeszcze bardzo młodzi zaś potem ONI kontynuują sprawdzanie jak ci dorastają, i ONI mają czy ONI czynią, ONI, my nie wiemy, my, zresztą nie sądzę iż my powinniśmy to wiedzieć.

H-75: Ah tak. Czy Ty czujesz iż powinnaś powiedzieć coś jeszcze na ten temat?

N-76: Nie, chociaż jeśli sobie życzysz jestem w stanie powiedzieć tak wiele jak tylko Ty zechcesz.

H-77: W porządku, kontynuuj swoje opowiadanie.

N-78: To jest, to jest że istnieje ta mała szczególna tajemnica. Widzisz, myślę iż ONI dokonali tych eksperymentów, tajemniczych eksperymentów, pierwszych po moim przybyciu, zaś ja nie powinnam o nich nikomu powiedzieć, zaś potem ONI dokonali tych następnych które ja już mogę pamiętać, i te jakie ja mogę sobie przypomnieć następują po tamtych i jakby ONI musieli dokonać tamtych najpierw, to jest, widzisz, trochę skomplikowane ale coś, coś mi się zdaje iż to ma wiele do czynienia z butelkami różnego, w miejscu gdzie ja się znajduję są te butelki różnych, różnych płynów, czy czegoś, i jest coś w tych butelkach i to jest zakonserwowane, są to maleńkie kawałki jakichś rzeczy i ONI przez nie utrzymują kontrolę nad sprawami, ONI są w stanie dokonywać bardzo dokładnych sprawdzeń na tych kawałkach ponieważ tam są bardzo skomplikowane maszyny, tam jest wiele, dużo guzików jakich ja nigdy przedtem nie widziałam i, i, widzisz to jest ogromny

pulpit pełen guzików jakie mają różne światła i wszystkie te małe, jakby próbówki, ale one nie są próbówkami lecz raczej rodzajem małych cylindrów zawierających płyn i odczynniki ustawione w rzędach na górze i, i te guziki oraz urządzenia są w stanie kontrolować dokładnie co się dzieje, temperaturę, skład, stan, różne rodzaje rzeczy. Sądzę iż ONI, ONI nawet mogą hodować tam różne rzeczy, kawałki czegoś, genów lub chromosomów, czy kawałki czegoś, ja nie wiem. Ponieważ ON pokazał mi naokoło statku i ja byłam bardzo zainteresowana. ON pokazał mi też tamte

H-79: Czy ON powiedział Ci cokolwiek o sobie?

N-80: Tak.

H-81: Skąd on pochodzi?

N-82: ON pokazał mi duży, duży fragment nieba i potem pokazał mi ten bardzo bardzo czarny, ON pokazał mi skąd ON przybył i jak ON przyleciał stamtąd do nas.

H-83: Czy ON podał nazwę miejsca z którego ON pochodzi?

N-84: Tak. Ale ON podał ją jako nazwę myślową, nie zaś nazwę mówioną ponieważ jest różnica pomiędzy tymi dwoma. Ty nie mogłabyś zamienić jej na słowo ponieważ ona nie jest słowem a myślą zaś ON przybył stamtąd tutaj.

H-85: Ty jesteś w stanie pamiętać skąd ON przybył ponieważ pamiętasz tą część nieba którą ON Ci wskazał,

N-86: Mmm.

H-87: i za chwilę kiedy Ty się zbudzisz ponownie będziesz w stanie narysować mi ten fragment nieba. Będziesz w stanie narysować mi dokładnie ten fragment jaki ON Ci pokazał, i także będziesz też w stanie narysować JEGO i faktycznie będziesz w stanie narysować to wszystko nawet zanim się zbudzisz. Będziesz teraz w stanie otworzyć swe oczy i pozostać w transie i będziesz w stanie narysować ICH i będziesz w stanie narysować fragment nieba. Ale w tej chwili kontynuuj swoją opowieść ponieważ właśnie obchodzisz statek naokoło.

N-88: Tak. Ja GO zapytałam skąd pochodzi JEGO moc napędowa.

H-89: Tak.

N-90: I ON popatrzył na mnie i się uśmiechnął, tu jest tak wiele ja nie potrafiłabym zrozumieć. Częściowo to jest, ONI podróżują przez przestrzeń przez odmienne, odmienne warstwy przestrzeni, ONI wnikają pomiędzy te warstwy i to wcale nie wymaga wiele mocy ponieważ to nie jest, częściowo to jest poprzez moc, i, i istnieje odmienny sposób ale, ale ONI, ONI nie zużywają wiele ze swoich zasobów energii, dopóki ONI nie znajdą się w atmosferze to nie jest konieczne. Widziałam tam duży, sądzę że jest tam też ogromny cylinder biegnący w dół w środku statku; wygląda on jak wykonany z kryształu czy czegoś podobnego ale jestem pewna iż zawiera on jakiś duży jarzący się blok {w oryginale użyto niewyraźnego słowa "rock" - t.j. kamień albo minerał, lub "block" - t.j. kostka albo blok} czy coś w tym rodzaju. Ma to coś do czynienia z mocą, błyskawicami, czy czymś tego rodzaju. ON jest znacznie wyższy niż ja. ON jest teraz bardzo miły, ON, ON skończył teraz wszystkie te eksperymenty i rzeczy i jest teraz bardzo miły i ON jest bardzo, bardzo czarujący zaś ja już tak się nie martwię, także nie ma teraz już tej zapory uniemożliwiającej mówienie i ON pokazuje mi wszystkie te medyczne, tak ON jest, ON jest wyspecjalizowany w medycznej stronie spraw, ON jest, ON jest lekarz, ON jest, ON jest odpowiedzialny za medyczną stronę spraw, ponieważ tam każdy posiada inną specjalizację.

H-91: A więc są tam też inne istoty?

N-92: A tak, ale ja nie mogłam z NIMI porozmawiać ponieważ oczywiście ONI byli zajęci wykonywaniem swoich rzeczy i, i oczywiście ON nie zamierzał przeszkadzać IM z, ze mną ponieważ ja jestem po prostu, wiesz, jedną z małych myszek ONI złapali w celu dokonania swoich eksperymentów. Być może, być może ONI sprawdzali mnie już wcześniej, nie jestem tego pewna zaś ONI, ja mam taki rodzaj odczucia że jest tu jakiś rodzaj ciągłego zaangażowania, jest tu coś zabawnego dosłownie jakbym miała coś do czynienia z tą, z tą wytwórnią dzieci, z tą, nie jestem pewna, wszystko jedno.

H-93: Czy uważasz że ON uczynił coś z Twoją płodnością?

N-94: Tak. Tak on uczynił.

H-95: Zapytaj go na ten temat. Zapytaj czy on może to wyjaśnić.

N-96: To jest wszystko, tak, tak. ON powiedział, chemiczne zapobieganie niepożądaney ciąży, chemikalia jakie są używane na tej planecie nie są dobre dla dzieci, także nie są dobre dla kobiet, jest, ich użycie jest bardzo szkodliwe, nie używaj ich, Ty masz coś znacznie lepszego w sobie samej dla sprawowania kontroli, staraj więc się używać co masz w sobie, jeśli Ty, jeśli Ty nie chcesz zająć w ciążę po prostu użyj, Ty przecież wiesz jak to użyć, wszystko to jest w Twoim umyśle, Twój, Twój umysł jest bardzo potężny, staraj się więc go użyć. Nie używaj chemikalii one czynią Ci szkodę. One wszystkie są bardzo szkodliwe. Ludzie na planecie Ziemia nie rozumieją zapłodnienia, chwila zapłodnienia jest niezwykle ważną rzeczą. Odziaływanie na nią chemikaliami kiedy oni nie rozumieją co czynią jest, jest niezwykle niebezpieczne, Ty nie masz prawa czynić tego nienarodzonym dzieciom. Dlaczego tak jest dopiero obecnie niektórzy ludzie zaczynają myśleć ale to nie dotrze do powszechnej wiadomości przez wiele, wiele lat, i minie prawdopodobnie ponad piętnaście lat lub nawet więcej, zanim ludzie złączą zdawać sobie z tego sprawę.

H-97: Jak Ty powinnaś użyć swój umysł aby kontrolować zapłodnienie?

N-98: Istnieje męska i żeńska energia jakie łączą się ze sobą w momencie zapłodnienia. Wszystko co jest wymagane to odrzucić, znaczy nie zaakceptować męskiej mocy... pozytywne i wszystko we wszechświecie obraca się wokół pozytywów i negatywów. Ty, Ty jesteś żeńskim negatywem więc zamknij swoje ciało na pozytyw, nie pozwól aby tych dwoje się zeszło w jedno co jest właśnie momentem zapłodnienia i wtedy zapłodnienie nie nastąpi. ... ciągle co Ty narodzisz, ale czyn to w taki właśnie sposób i nie używaj chemikalii. Chemikalia są szkodliwe, niedobre, nigdy ich nie używaj. Oczywiście decyzja należy do każdej osoby, Ty nie opowiadaj ludziom, Ty nie opowiadaj że chemikalia są szkodliwe, to jest ich sprawa, oni sami zadecydują albo też idea będzie im dana jednakże dla siebie Ty staraj się nie używać chemikalii w celu kontroli zapłodnienia. Cały wszechświat działa na zasadzie pozytywów i negatywów, z tego pochodzi nasza moc, to umożliwia nam loty, wykorzystując pozytywy i negatywy, to jest jak Ty właściwie myślisz, to jest jak, jak świat jest trzymany w kupie, a więc prosta sprawa taka jak zapłodnienie może łatwo być kontrolowana, z pomocą zrozumienia pozytywów i negatywów. Są rzeczy, niektóre rzeczy jakie Ty powinnaś wiedzieć i niektóre rzeczy MY powiemy Ci teraz zaś Ty zatrzymasz je na później. Tu jest, wejdz, wejdz ze MNĄ do tego pomieszczenia, JA Ci pokaże co się zdarzyło w przeszłości, co się dzieje dzisiaj i co się stanie w przyszłości. Twój świat jest bardzo brutalny, zawsze był, ludzie są bardzo, bardzo okrutni, oni, te obrazy pokazują wojny. W przeszłości było to bardzo proste, po prostu ktoś łapał maczugę i powalał kogoś kto mu się nie podobał. Przemysł, fabryki po prostu produkują większe i bardziej zróżnicowane formy morderstwa. Technologia to tylko zwiększa - obraz Ci pokaże. Czy Ty sądzisz że to są rodzaje broni z przyszłości? To są rodzaje broni jakie istnieją na Ziemi już teraz i Twój Świat, Twój ludzie, Twój własni ludzie przygotowali to aby użyć przeciwko innym ludziom jacy żyją na tej samej planecie. Oni zabiliby ich bez wahania, oni, czy Ty teraz widzisz dlaczego MY staramy się zapobiec niebezpieczeństwu skoro wy nie potraficie uczynić tego nawet na jednej maleńkiej planecie.

H-99: Czy to jest powodem iż ON przybył aby zapobiec?

N-100: To jest jednym z powodów. Tutaj jest tak wiele śmierci i cierpienia.

H-101: Czy więc ON zamierza, ON i jego przyjaciele, czy ONI zamierzają zapobiec niektórym z tych śmierci i cierpień.

N-102: ONI, ONI mogą nam uświadomić co ludzie są w stanie uczynić. To znaczy, co ONI są w stanie uczynić, czy są w stanie zatrzymać to czy też nie, ja nie mam pojęcia, co jednak jest dziwne to że ONI raczej będą stali i patrzyli i chociaż teraz czynią co w ich mocy potem nie próbowaliby nic zatrzymać, ONI nie przyszliby tu aby wszystko zatrzymać, chociaż ONI staraliby się uczynić nas świadomymi tego co czynimy, zaś świadomość jest wiedzą podczas gdy wiedza jest odpowiedzialnością i my jesteśmy odpowiedzialni za nasze losy, wiedza jest odpowiedzialnością. To nadchodzi. Zaś my, to nie jest ograniczone do planety Ziemia. Te okropności my czynimy, one ulecą w przestrzeń, ludzie rozprzestrzeniają je w kosmos, oni polecą aby powodować kłopoty w innych miejscach lub oni rozprzestrzeniają je przez kosmos, nie jestem pewna, ale wiem iż ludzie powodują kłopoty w

innych miejscach kiedy nie mają ku temu prawa, nawet jeśli wysadzimy w powietrze własną planetę nie mamy prawa czynić złego w innych światach i dla innych istot, szczególnie jeśli jak wierzę większość z NICH pragnie nam pomóc. My jesteśmy teraz jak małe dziecko rzucające się w napadach złych humorów podczas dorastania, kiedy zaś tak wzrasta ciągle jeszcze ma ono tyle do poznania i nie powinno przy tym próbować się samo zabić w trakcie pobierania swoich lekcji.

H-103: Są tam też jakieś inne rzeczy ON chce abyśmy wiedzieli?

N-104: Mmm.

H-105: Czy możesz mi je przekazać?

N-106: Nie bardzo rozumiem co ON mówi. Niektóre z tych rzeczy są bardzo głębokie, dla ludzi którzy mają, którzy studiowali być może filozofię, lub, lub umysł lub coś w tym rodzaju ja zaś czuję iż nie mam słów podczas gdy ON przekazuje mi to w formie myśli i ja teraz staram się zamienić JEGO myśli na słowa i przychodzi mi to z wielkim, nie widzę sposobu abym naprawdę mogła powtórzyć Ci co ON starał się mi przekazać.

H-107: Mmm. Co Ty myślisz ON starał się powiedzieć?

N-108: ON się martwi.

H-109: Mmm.

N-110: ON się rozwodził na temat jak, znaczy obecnie ONI mniej lub bardziej są dobroczyńcami zaś my jesteśmy złoczyńcami. Dlatego my naprawdę powinniśmy zacząć zachowywać się bardziej przyzwoicie, aha, powinniśmy zacząć bardziej liczyć się z innymi ludźmi ponieważ my jesteśmy, ludzie są najbardziej cennym skarbem jaki mamy na tej planecie zaś my zdajemy się ich tracić z oczu i pozostawiać w tyle. Chodzi tu głównie o "kochaj swego bliźniego" zasadę. Dlaczego, dlaczego tak się dzieje, że jeśli ON zdaje się taki dobry i taki zatroskany o nas ludzi, dlaczego ON nie chce abym mówiła o niektórych sprawach? Dlaczego tak jest że martwi mnie to jakby,

H-111: Mmm. Spytaj co ON powie na ten temat?

N-112: ON nic nie chce powiedzieć. Ja nie sądzę aby ON zechciał, aby zechciał rozmawiać o dzieciach. ON, wiem że ON powiedział, że są istoty, no wiesz są istoty z kosmosu które, które przylatują na Ziemię na krótki okres czasu, które jakby mieszają się z tłumem i sądzę ONE mogą w niewielki sposób wpłynąć na losy niektórych spraw. ONI mają bardzo silne umysły i stąd mogą wpłynąć na bardzo istotne wydarzenia i ON pokazał, ON zademonstrował mi jak używać, tak, ON pokazał mi jak używać mój własny umysł i, i ja używałam go przez jakiś czas i ciągle to czynię ale nie zdaję sobie już sprawy iż używam go przez cały czas. Wielokrotnie na początku starałam się stosować do JEGO nauk i zaczęłam, i nawet to nieco przeraziło mnie bowiem ... człowiek czyni się leniwy i przestaje pracować nad zaleconymi technikami. ON, ON przekazał mi kilka technik uczenia się aby, aby nauczyć się używać mojego umysłu w sposób podobny jak niektórzy uczą się robotki na drutach lub pisanie czy czytania. Jest to po prostu jeszcze jeden organ.

H-113: Czy mogłabyś opowiedzieć nam o tych technikach.

N-114: Dyscyplina, akceptacja, trening (udoskonalanie się), posłuszeństwo, oraz skromność. ON powiedział iż mam bardzo, bardzo silne ego i powinnam być raczej ostrożna ponieważ mogę, nie wolno mi tego używać dla podbudowania swego ego stąd ja muszę, ON powiedział, czy raczej przykazał mi to: nie powiedz teraz tego nikomu bowiem następstwa Cię przerosną. Po dwóch latach Ty będziesz miała, Ty pojedziesz do, za dwa lata Ty zwrócisz się do właściwych ludzi zaś MY postaramy się to tak zorganizować aby wszystko zostało wykorzystane jak najwłaściwiej. Jeśli zaś uczynisz to teraz po prostu wyładujesz robiąc ze siebie publiczne pośmiewisko co jest zwykłą stratą czasu.

H-115: W porządku, za dwa lata Ty się zwrócisz do właściwych ludzi. Być może mogłabyś mi teraz powiedzieć na temat akceptacji czego, posłuszeństwa wobec kogo.

N-116: Akceptacja, kiedy coś się staje zaś Ty wiesz że to nadchodzi, kiedy możesz nadużyć tej wiedzy, prowadzić karcianą grę w której Ty znasz każdą kartę jaką mają inni w swoich rękach i wiesz jaka karta ukaże się jako następna i dochodzisz do stanu że czujesz się winnym z powodu zagrania pięciuset z każdą osobą ponieważ Ty wiesz że wygrasz - możesz stracić wielu przyjaciół w ten sposób. Ty akceptujesz że to nie jest imaginacja, akceptujesz że to faktycznie się staje. Posłuszeństwo, to gra zgodnie z zasadami, to

nieużywanie swych mocy aby skrzywdzić kogokolwiek, ponieważ prawo pozytywu i negatywu działa też w sposób iż cokolwiek Ty czynisz wróci to z powrotem do Ciebie, ponieważ Ty, Twój mózg działa w określony sposób i kiedy on wyśle produkt swojej pracy, tak jest on już zbudowany że ten wysyłany wzór ustawia mózg w określony układ czy porządek jaki czyni iż staje się on otwarty dla otrzymania z powrotem tego samego typu rzeczy jakie Ty spowodowałaś aby Twój mózg wysłał od siebie. Stąd jeśli spowodujesz aby Twój mózg wysłał dobre rzeczy tym samym ustawiasz ten mózg w odpowiedni wzór do odebrania takich samych dobrych rzeczy. I ten rodzaj, ten rodzaj posłuszości, to - tak prawda, to nie krzywdzenie nikogo, i co było następne? Ja właśnie zamierzałam,

H-117: Myślę że powiedziałaś o skromności.

N-118: Tak, a więc to jest,

H-119: Tak. Ale ja przerwałam Ci wtedy. Czy zamierzałaś powiedzieć coś jeszcze?

N-120: Tak, posłuszość. Ona obejmuje przyczynę i, pozytyw i negatyw, przyczynę i skutek, oraz tak, bardzo istotną rzecz, wiedza to odpowiedzialność.

H-121: To jest bardzo ważne, czyż nie?

N-122: Oh tak. ON powiedział że to jest tak ważne i jeśli, jeśli ja nie mogę być odpowiedzialna za wiedzę którą obecnie posiadam, wtedy wiedza ta będzie zamrożona aż do czasu gdy stanę się odpowiedzialną stąd upłyną dwa lata zanim ja powinnam coś z tym uczynić.

H-123: A więc po dwóch latach kiedy Ty uczynisz coś z tą wiedzą, kiedy podzielisz się z tą wiedzą, co wtedy się stanie?

N-124: Oczywiście ja muszę być odpowiedzialna.

H-125: Mmm. A więc jest w porządku jeśli po dwóch latach Ty podzielisz się tą wiedzą kiedy poczujesz się odpowiedzialna i przyjdiesz do siebie po tym zdarzeniu?

N-126: Wydaje mi się że niektóra wiedza jest, niektóra zaś nie. Wydaje mi się że ON, nie sądzę iż ON, nie wierzę iż powiedziałam Ci wszystko. Mogę gdzieś ujrzyć białe kule, długi rząd białych kul wiedzy ale nie sądzę aby ON, nie myślę iż ON pozwala im przedostać się na zewnątrz, no wiesz, ON jakby trzyma je tam przez nie wiem jak długo. Myślę iż ON, czasem ON, zdaje mi się iż ON czasem ciągle przychodzi aby się ze mną spotkać, bo widzisz czas jest, ON opowiedział mi także o czasie, że czas faktycznie nie płynie a to my poruszamy się przez niego,

H-127: Tak.

N-128: tak że my możemy spotkać się raz w życiu lub zejść razem raz w życiu, a potem możemy powtórzyć to spotkanie wiele razy.

H-129: Hm.

N-130: Stąd on może faktycznie spotkać mnie także i w przyszłości jeśli zechce, tak iż czasami mam wrażenie że właśnie byłam w nocy aby z nim się ponownie spotkać czy coś w tym rodzaju chociaż faktycznie wystarczy abym spotkała go tylko raz i abyśmy zeszli się razem tylko jednorazowo w tym punkcie czasowym, jednak, jednak ponieważ czas nie płynie on może, on może; oh jak ja powinnam to wyjaśnić. Ale te punkty czasowe naszego spotkania istnieją dla NIEGO w przestrzeni czasowej tak aby mógł tam czekać ponownie gdy ja przez nie przechodzę,

H-131: Tak.

N-132: stąd to jest przyczyną dla której czasami mam wrażenie iż ON spotkał się tam ze mną ponownie.

H-133: Czy ON powiedział dlaczego ON wybrał właśnie Ciebie?

N-134: Nie jestem tak naprawdę przywiązana do nikogo. Tak, tak. ON uważa iż ja nie jestem zależna od nikogo, nigdzie do nikogo, oczywiście mam swoich braci i siostry, ale jestem, wielu ludzi ma rodziców którzy mówią im co czynić a potem ... idą w tym kierunku podczas gdy ja, jakby rozpracowywuję, ja staram się rozpracować, wypracować rzeczy samodzielnie i czy Ty wiesz to nie zawsze, ja nie zawsze, to nie zawsze działa prawidłowo ale to zdarzenie nie jest w stanie wpłynąć na mnie zbyt mocno ponieważ to jest moje życie i ja muszę je przeżyć ale oczywiście nasze spotkanie spowoduje niewielkie w nim zmiany. Jeśli więc ON zacznie zmieniać moje życie ponieważ ja nie posiadam tak wielu połączeń i więzów, wtedy to dla kogoś kto ma takie związki i jest przywiązany do wielu ludzi i kto ma

życie jakie właśnie nie pasuje do tych zmian, lub jakiego idee nie pasują do tych idei. Oh, jak ON się wyraził. Ich idee, ich, oni mają swoje własne drogi, własne ścieżki aby nimi podążać i te drogi w znacznej części zostały wytyczone dla nich przez ich bliskich, zaś oni decydują czym coś jest nie sami a poprzez ludzi ze swego otoczenia, gdzie, ponieważ oni posiadają silne związki podczas gdy ja faktycznie nie mam żadnych, i ja w rzeczywistości nie wiem co kiedyś uczynię, stąd zaszłe wydarzenia prawdopodobnie mniej wpłyną na zmianę mojego życia ponieważ, to jest ja nie mogę GO obwiniać za jakiegokolwiek zmiany, jako iż chciałabym uważać iż ON postawił na moje życie ponieważ ja nim steruję sama i to jest jedną z przyczyn jak sądzę.

H-135: Czy Ty GO spytałaś czy istnieje jakiś szczególny porządek w naszym wszechświecie?

N-136: Tak.

H-137: Co ON Ci miał do powiedzenia na ten temat?

N-138: Istnieje porządek. Wszechświat składa się z odmiennych poziomów, odmiennych warstewek. Jeśli ktoś potrafi wślizgnąć się pomiędzy te warstewki zamiast poruszać się przez nie wtedy on ma, jeśli ktoś idzie wzdłuż warstwy wtedy ma przeciwko sobie tarcie i czas i odległość do pokonania. Jeśli jednak ktoś może wślizgnąć się pomiędzy nimi, a jest na to tylko jedna metoda, wtedy przestaje dla niego istnieć ani czas, tarcie czy odległość stąd dla tego kogoś nie istnieje ten problem, my myślimy w kategoriach odległości i czasu, jednak dla takiego kogoś nie jest to już problemem i może on podróżować naprawdę efektywnie. ON przybył z odległości tak wielu lat świetlnych, siedem, dwadzieścia-siedem? Nie jestem pewna próbuję tylko zgadnąć, nie potrafię sobie dobrze przypomnieć, zaś ON, JEGO planeta, ONI mają planety istot jakie ich przewyższają i planety jakie są poniżej nich i my jesteśmy właśnie poniżej i to nie w sensie miejsca, czasu czy czegoś takiego, a po prostu w rozwoju, i w rzeczywistości, jak ON to wyraził i zawsze podkreślał, wiedza jest odpowiedzialnością, ONI wiedzą o nas. Stąd ONI mają odpowiedzialność dopomożenia nam tak samo jak istoty wyższe od NICH mają odpowiedzialność dopomożenia IM, i teraz właśnie my wychodzimy z okresu ciemności i teraz albo przejdziemy w nawet bardziej ciemne czasy, albo też wyjdziemy do światła. Zaś ONI chcą być w pobliżu aby podać nam pomocną rękę, szczególnie jeśli my wyjdziemy do światła ponieważ my wtedy będziemy bardzo potrzebowali takiej pomocnej ręki. Jeśli jednak my pójdziemy w ciemne czasy, w jeszcze większą ciemnotę, ONI prawdopodobnie odlecą i będą obserwowali z dystansu jak my sami siebie niszczymy. Cóż bowiem innego mogą wtedy uczynić? Jeśli jednak, jeśli my będziemy gotowi zaakceptować ICH i zaczniemy się uczyć i postaramy się wyjść do światła ONI udostępnią nam tak dużo pomocy jak tylko będą mogli. To jest ICH odpowiedzialnością i ONI to uczynią. Ponieważ co my uważamy za moralność faktycznie jest prawami wszechświata. Dawanie i otrzymywanie, pozytywy i negatywy, wszystkie te prawa o jakich Ci już opowiedziałam. Prawa te stosują się do wszystkiego, nie zaś tylko do trenowania umysłu, one stosują się do życia, do, do wszystkiego, i to są ludzie, albo część ludzi będzie, część świata zacznie zdawać sobie sprawę z tych praw i zacznie się do nich stosować, podczas gdy inna część świata pozostanie w ciemności, może nawet dojść do wojny z tego powodu, ale wtedy z kolei, widzisz, jeśli ludzie zaczną walczyć z powodu światła i ciemności to oznacza iż ci którzy wyszli do światła muszą iść przeciwko temu za czym sami się opowiadają i dlatego ja nie bardzo to wszystko rozumiem. Te maszyny, badania medyczne jakie na mnie dokonał i jakie zdawały się tak ważne dla mnie kiedy ja, te które pamiętam, w rzeczywistości nie są takie ważne w tym wszystkim co się stało.

H-139: Mmm. Cóż więc były te najbardziej ważne rzeczy jakie się zdarzyły?

N-140: ON przekazujący mi te prawa oraz fakt iż ja prawdopodobnie będę teraz żyła zgodnie z nimi, lub, lub iż nie będę szczęśliwa tak długo aż zacznę żyć zgodnie z nimi. ON powiedział iż w swoim życiu powinnam, że ja już wiem iż powinnam uczyć się na temat swojego umysłu i jego użycia ponieważ ja prawdopodobnie, ja po prostu będę błędziła niezadowolona tak długo aż ja faktycznie sobie to zorganizuję i że ja faktycznie powinnam znaleźć kogoś kto wie co czyni ponieważ w przeciwnym przypadku ja mogę zboczyć w ślepa uliczkę i zgubić się ponieważ wiedza jest odpowiedzialnością, zaś ja mogę być

nieodpowiedzialna. Ale ON zdawał się być, no wiesz, ON jakby powiedział mi to iż jest zainteresowany w mojej przyszłości i ON opowiedział mi tak wiele na temat, czy przekazał mi sposób w jaki działa czas i przestrzeń i inne rzeczy ale ja, mi po prostu brakuje teraz słów. Myśli które on mi przekazał są jak małe białe kule światła i są one zawarte w mnie i tak wiele z nich teraz właśnie wyszło na zewnątrz, ja po prostu nie mogę w to uwierzyć.

H-141: To wspaniale, czyż nie?

N-142: Oh, to jest naprawdę niezwykle.

H-143: W porządku. To wszystko jest naprawdę bardzo, bardzo interesujące, radzisz sobie wspaniale i ja chciałabym abyś ciągle pozostała w swym transie. Ja chciałabym abyś pozostała w swym transie ale chciałabym abyś otworzyła swoje oczy jeśli możesz i narysowała mi TEGO mężczyznę oraz tamten fragment nieba.

N-144: Jasno niebieskie lub białe. Oh, oh, pamiętam, teraz wiem co to było. ONI mieli, ich źrenice, czy nie mieli ich wcale czy całe oko było źrenicą? Coś dziwnego z ich źrenicami, tam były, wydaje mi się że tam wcale nie było źrenic ponieważ ja pamiętam wpatrywanie się w JEGO oczy i tam nie było, wcale nie było w nich czerni. Ja nie mam pojęcia jak ON mógł widzieć ale ON powiedział że ON widzi poprzez inne fale świetlne niż my. To także dlaczego JEGO uszy były inne, ponieważ one były adaptowane do odmiennego powietrza, do innych fal dźwiękowych.

H-145: Mmm.

N-146: Tak. Przypuszczam iż także prawdopodobnie jego skóra posiadała odmienne zmysły, nie jestem jednak pewna.

H-147: Jakiego koloru była jego skóra.

N-148: Ona była blada, bardzo biała, nie sądzę iż lubiała ona być wystawianą na działanie słońca czy czegokolwiek.

H-149: Mmm.

N-150: I wszystkie części garderoby były wykonane z tego samego materiału, tyle tylko że o różnych grubościach.

H-151: Mmm.

N-152: Były one jakby, schodziły się do dołu w ten sposób. Oto jak, jak wyglądały jego stopy.

H-153: W porządku, dziękuję. To wygląda wspaniale. Czy teraz mogłabyś narysować fragment nieba? Tamten fragment kosmosu?

N-154: ON pokazał mi to na mapie o dużej skali {z odległości},

H-155: Tak.

N-156: oraz na szczegółowej mapie {w zbliżeniu}, i ja nie, zaczekaj, zaczekaj. Na jednej z nich była tam ogromna, ogromna kula tutaj i miała ona pierścień naokoło siebie, jak ten, i także była mała gwiazda jak ta w tym miejscu, oraz niewielkie ciało tutaj, oraz inne znacznie większe w tym miejscu - a może nieco bardziej ku dołowi, nie było to bardzo wyraźne, to właściwie mogło być nawet bardziej ku dołowi, i tutaj były różne inne gwiazdy rozsiane naokoło ale tutaj były te trzy gwiazdy ON mi pokazał i to, to mogło być nieco inne, ta kula mogła mieć odmienny pierścień, inne kolory w nim, pamiętam że tu była ta gwiazda, była ona większa, znacznie większa i, ale to mogło być tutaj lub też mogło być tutaj bardziej ku dołowi, i tutaj była ta gwiazda z której ONI przylecieli, ONI przybyli w przybliżeniu z tej okolicy. ONI albo przybyli z góry z tego miejsca, albo też z tej okolicy ale było tam coś co, i to mogło być czerwone, i to jest wszystko co ja mogę sobie przypomnieć, ale ah,

H-157: Czy ON powiedział skąd ON pochodzi w odniesieniu do tych? Czy ON pokazał Ci dokładnie skąd ON pochodzi?

N-158: Tak. Znaczący ON pokazał mi tą mapę i, i widzisz to było, to było, ja pamiętam, trzy rzeczy jakie pamiętam, to to, to i to, zaś ON przybył albo skądś w tym miejscu, albo też to był ten punkt lub gdzieś w tej okolicy.

H-159: Tak, w porządku.

N-160: Oh, nie potrafię, to było gdzieś w tej okolicy.

H-161: Czy ON pokazał Ci też gdzie jest Ziemia w odniesieniu do nich, czy to było głównie skąd ON pochodzi?

N-162: Głównie skąd ON pochodzi. Sądzę że to była ich duża główna mapa ONI używają do nawigacji. Ale widzisz, tak, ON nie był z personelu nawigacyjnego. ON nie był nawigatorem, ON był w medycynie nie zaś w tym. ON, więc pokazał mi to ale ON, ale ICH nawigacja jest taka, jest tak odmienna ponieważ ONI faktycznie, ONI przemieszczają się we więcej niż trzech wymiarach, to jest w pięciu, sześciu, siedmiu, to jest ponieważ ONI przenikają przez przestrzeń i przez czas, przez nieciągłości przestrzeni tam i z powrotem, oh dosłownie przez wszystko, ONI nie tylko, widzisz to nie tylko polegało na przeniknięciu przez te tak że, te mapy były, ON powiedział że one faktycznie nie wystarczyły aby naprawdę wyjaśnić skąd ON pochodzi oraz jak ON tutaj dotarł. One były nieodpowiednie ale były wszystkim co ON mógł użyć aby mi pokazać,

H-163: Doskonale.

N-164: i ON, zresztą ON i tak naprawdę nie mógł dostarczyć mi dokładnych wyjaśnień ponieważ to nie była jego specjalizacja.

H-165: W porządku. Czy jest tutaj jeszcze cokolwiek innego co chciałabyś dodać czy to już wszystko i Ty sądzisz iż one są wystarczająco kompletne?

N-166: Tutaj było także więcej gwiazd na dole w tej okolicy. Ale jestem pewna że to było czerwone i że posiadało pierścień naokoło siebie i to byłoby wszystko co mogę sobie przypomnieć. Ale, te są planetami ONI wykorzystują dla nawigacji zaś ta okolica jest im doskonale znana, widzisz ta mapa, to nie była zwykła płaska mapa jak nasze zawieszane na ścianie. ONI mogą patrzeć na nią pod dowolnym kątem na ten wycinek nieba po prostu poprzez przyciśnięcie guzika, poprzez, dowolny kąt, w dół i w górę, lub nadjeżdżać do środka, no wiesz, ONI mogą najeżdżać na daną planetę, wjechać do jej środka i patrzeć na jej wnętrze, lub mogą patrzeć co jest poza nią, lub pod dowolnym kątem, lub też objeżdżać ją naokoło, no wiesz, zależy co tylko zechcą zobaczyć, ale ONI używają te trzy gwiazdy jako swoje punkty orientacyjne dla nawigacji, ponieważ ONI zawsze wiedzą gdzie ich poszukać o określonym, zdefiniowanym czasie.

H-167: Rozumiem.

N-168: Oto dlaczego ON pokazał mi tę mapę oraz powiedział że te trzy gwiazdy byłyby rozpoznawalne dla ludzi z planety Ziemia.

H-169: Aha. One byłyby.

N-170: Tak. Ale ON nie dał, ON nie podał, nie mogę sobie przypomnieć jakie nazwy ... nie mam pojęcia, nie potrafiłabym też tego wypowiedzieć.

H-171: Czy Ty wiesz cokolwiek na temat astronomii w swoim świadomym stanie?

N-172: Nie, prawie nic.

H-173: W porządku.

N-174: A prawda, tutaj jest osłabienie {nieciągłość przestrzeni}, tak, ONI przylatują tutaj ponieważ w tej okolicy jest coś osłabione w przestrzeni, zaś ONI wnikają pomiędzy warstewki właśnie w miejscu tego osłabienia, ponieważ wszechświat jakby zawija się na siebie zaś ONI mogą prześlizgnąć się pomiędzy warstewkami i wtedy nie muszą, tak wszechświat nie rozciąga się w prostych liniach, a raczej układa się w formę wielu fałd {zawijasów} i także jakby zawijał się w rolkę na siebie samego, tak że można, ah, gdybyśmy byli na planetach jakie są okrągłe wtedy my, oczywiście sądzilibyśmy iż ta linia jest prosta, podczas faktycznie podążając wzdłuż niej przemieszczalibyśmy się naokoło w ten sposób, ale ONI wiedzą że to zaokrągliła się w taki sposób dlatego też ONI lecą przed siebie na skróty i w ten sposób oszczędzają sobie pokonywania całej tej odległości.

H-175: Tak widzę. ... Czy jest cokolwiek na temat statku kosmicznego co byś sobie przypomniła.

N-176: Tak. Powiedziałam, on wygląda jak coś z tego, kiedyś był taki program w telewizji.

H-177: Mmm.

N-178: Zwyczyliśmy go oglądać, był on o podróżowaniu przez kosmos, było to kilka lat temu, jacyś ludzie zatrzymali się w naszym domu kiedy myśmy wyjechali na wakacje i oni wypożyczyli telewizor i potem zostawili go w domu i począwszy od wtedy zawsze mieliśmy ten wypożyczony telewizor i był tam ten program o Dokto, o Doktorze Spok czy coś w tym rodzaju {"Star Trek"}, więc ja powiedziałam do NIEGO, ten, jest coś z tym co wygląda

bardzo podobnie, ten, ten statek kosmiczny, no wiesz, on wygląda bardzo podobnie jak w tym programie można zobaczyć w telewizji {"Enterprise"}, i ja powiedziałam ja muszę więc sobie to wszystko tylko wyobrazić, wtedy ON powiedział, oh widzisz, a Ty myślałaś że skąd ci ludzie na planecie Ziemia biorą swoje idee? i wtedy ja zrozumiałam że to jest wszystko takie zdumiewające. Ponieważ, ON powiedział, to jest bardzo wolnym procesem, ale ONI ... we wszystkich miejscach teraz ludzie zaczynają wpadać na zupełnie nowe idee.

H-179: W porządku. Ty ko-operowałaś bardzo, bardzo dobrze, zamknij więc teraz oczy. Zamknij oczy. ... {Koniec raportu i zbudzenie z hipnozy}.

Przykładowe tematy prac dyplomowych poświęconych budowie komory oscylacyjnej

Gdy niniejsza polskojęzyczna monografia [2p] opisująca komorę oscylacyjną w końcu stała się rzeczywistością, otwarta przez nią została możliwość aby naukowcy, wykładowcy, nauczyciele, studenci, oraz uczniowie z uczelni i techników w Polsce włączyli się aktywnie do prac badawczych nad zbudowaniem tego urządzenia. Naturalną bowiem konsekwencją faktu że idea tego niezwykłego urządzenia wywodzi się właśnie z Polski jest iż uzdolnionym technicznie przedstawicielom tego kraju powinna być dana szansa na dołożenie własnego wkładu do jego budowy. Aby jak najbardziej ułatwić włączenie się rodaków do zbudowania tej komory, autor postanowił przygotować kilka przykładowych tematów prostych prac dyplomowych przeznaczonych dla studentów i uczni ostatniego roku specjalizacji elektrycznych, elektronicznych, lub fizycznych. Trzy takie przykłady przytoczone zostały w ramach niniejszego załącznika.

Za pośrednictwem tego załącznika autor niniejszym chciałby więc zaprosić czytelników którzy mają przyjemność wykładania na uczelniach technicznych lub szkołach średnich o profilu elektrycznym, elektronicznym, lub fizycznym, do włączenia się do prac rozwojowych nad komorą oscylacyjną. Ich włączenie się polegałoby na próbie rozwiązania w ramach prac dyplomowych wykonywanych na ostatnim roku, któregoś z problemów budowy komory oscylacyjnej opisanych etapami 1, 2 i 3 z podrozdziału C7.2. Jako temat takiej początkowej pracy dyplomowej o komorze użyty mógłby zostać albo któryś z przykładowych tematów przytoczonych w niniejszym załączniku, albo też jeszcze inny temat specjalnie opracowany na podstawie podrozdziału C7.2 i odpowiednio dostosowany do lokalnych warunków.

Jeśli po rozpatrzeniu załączonych tu przykładowych tematów prac dyplomowych oraz po zapoznaniu się z odnośnymi rozdziałami niniejszej monografii (szczególnie rozdziałami C i I) czytelnik skłonny byłby przyłączyć się do tego ambitnego projektu, wtedy autor sugerowałby podjęcie następującej procedury działania: (1) wybrać lub sformułować temat pracy dyplomowej jaki najlepiej odpowiadałby własnej specjalizacji badawczej, ukierunkowaniu dydaktycznemu prowadzonych przez siebie studentów lub uczni, wyposażeniu lokalnego laboratorium, itp. (dla pierwszej pracy prowadzonej przez daną osobę temat ten powinien też znajdować się możliwie najbliżej początku eksperymentów nad komorą oscylacyjną zdefiniowanego punktem 1 (a) w podrozdziale C7.2 - tak aby nie przeskoczyć od razu do eksperymentów zbyt zaawansowanych), (2) rozpocząć praktyczne realizowanie wybranego tematu (np. zaproponować dany temat do wykonania wybranym studentom, na codzień ukierunkowywać ich badania, monitorować uzyskiwane przez nich wyniki, napisać do autora w sprawie dostania pełnej kopii tej monografii do używanej przez danych studentów biblioteki, itp.), (3) skontaktować się z autorem w celu listowej dyskusji wybranego przez siebie tematu, klaryfikacji szczegółów technicznych nie wyjaśnionych dokładnie treścią niniejszej monografii, wytypowania biblioteki której sprezentowana powinna zostać kopia monografii dla użytku studenta(ów) podejmującego dany temat, itp.

Poprowadzenie załączonych tematów prac dyplomowych mogłoby się odbywać na jednej z dwóch odmiennych zasad. Pierwsza z nich (oczywiście preferowana przez autora) byłaby w ramach współpracy międzynarodowej - jeśli tylko pozwolą na nią lokalne przepisy. Przy jej realizacji dana praca miałaby aż dwóch prowadzących, t.j. kogoś ze strony polskiej oraz autora (oczywiście z powodów praktycznych jej konsultowanie i ocenianie niemal w całości musiałyby zostać dokonywane przez osobę reprezentującą stronę polską). Drugą możliwością, na której urzeczywistnienie autor też z góry wyraża zgodę, byłoby że praca ta miałaby tylko jednego prowadzącego (t.j. kogoś ze strony polskiej) zaś autor jedynie poinformowany zostałby o jej końcowych wynikach. Oczywiście przy wdrażaniu tej drugiej

możliwości nagłówki załączonych tu tematów prac powinny zostać przeredagowane na pojedynczego prowadzącego.

Jeśli chodzi o dostępność pełnej kopii monografii [2p] dla użytku studenta/ów lub ucznia/ów podejmujących badania nad komorą oscylacyjną, to autor jest otwarty na sugestie w tym względzie. Najchętniej jednak rozwiązanie tego problemu widziałby on poprzez przysłanie mu adresu którejś z lokalnych bibliotek najłatwiej dostępnej dla zainteresowanego studenta lub ucznia. Bibliotece tej potem sprezentowałby on pełną kopię monografii [2p]. Kopię tą osoba podejmująca problematykę komory oscylacyjnej wypożyczyłaby następnie na okres wykonywania swej pracy. Głównym powodem dla którego autor najchętniej wysłałby monografię na adres biblioteki (a nie prywatny) jest iż ma on nadzieję, że po zakończeniu tej pierwszej pracy dyplomowej i zwróceniu owej kopii, biblioteka ta udostępniłaby ją potem także do użytku innych wykładowców i studentów. W ten sposób następne etapy ewentualnych badań nad zbudowaniem komory oscylacyjnej nie wymagałyby już kosztownego produkowania i wysyłania dalszych kopii tej monografii.

Oto przykładowe tematy wspomnianych tu prac dyplomowych:

Temat (#1) Interdyscyplinarnej Pracy Dyplomowej

Temat: "Eksperymentalne badania bezcewkowych obwodów oscylacyjnych"

Abstract:

Dotychczasowe obwody oscylacyjne zawsze zaopatrywane były w cewkę dostarczającą im wymaganej inercji elektrycznej (induktancji). Jednakże wykorzystywany w działaniu cewek przepływ prądu przez zwoje przewodnika nie jest jedynym znanym zjawiskiem zdolnym do dostarczenia wymaganej inercji elektrycznej. Innym dobrze znanym takim zjawiskiem jest zwykła iskra elektryczna. Stąd istnieje możliwość że odpowiednio zaprojektowane snopy wielu iskier elektrycznych przeskakujących po równoległych trajektoriach w niektórych obwodach oscylacyjnych będą w stanie zastąpić cewki indukcyjne. Obwód jaki najlepiej spełniałby wszystkie warunki nakładane przy takim zastępowaniu to konwencjonalny obwód Henry'ego. Jego cechą jest bowiem że dla prawidłowego działania wymaga on obecności elektrod produkujących iskry. Stąd iskry stanowią w nim naturalną manifestację dostarczanej przez niego oscylacyjnej odpowiedzi na początkowe naładowanie elektryczne.

Celem tej pracy jest takie zmodyfikowanie tradycyjnego obwodu Henry'ego aby zdolny był on do dostarczenia oscylacyjnej odpowiedzi wyłącznie w efekcie inercji snopów wytwarzanych przez siebie iskier elektrycznych i całkowicie bez użycia zewnętrznej cewki roboczej.

Praca ta jest eksperymentalna i obejmuje ona (1) zbudowanie obwodu oscylacyjnego Henry'ego, (2) skompletowanie na nim wymaganych badań, (3) zmodyfikowanie tego obwodu i powtarzanie badań aż nałożony cel końcowy zostanie osiągnięty.

Eksperymenty powinny być prowadzone na obwodzie oscylacyjnym Henry'ego (zbudowanym przez studenta podejmującego ten temat) który jest relatywnie prosty do zbudowania i modyfikowania.

W przypadku sukcesu w zrealizowaniu celu tej pracy, osiągnięte wyniki posiadałyby istotne znaczenie naukowe i mogłyby dostarczyć danych dla przygotowania publikacji naukowej.

Literatura:

Cele, sposoby ich osiągnięcia, oraz podłoże naukowe dla niniejszej pracy opisane zostały w podrozdziale C7.2 (patrz etap 1 (c) opisanych tam eksperymentów) następującej monografii naukowej:

Pająk J.: "Komora Oscylacyjna czyli magnes jaki wzniesie nas do gwiazd". Monografia, Dunedin, Nowa Zelandia, 1994, ISBN 0-9597946.

Temat (#2) Interdyscyplinarnej Pracy Dyplomowej

Temat: "System do samoregulacji 90 przesunięcia fazowego w układzie dwóch obwodów oscylacyjnych z iskrownikiem".

Abstract: Jak dotychczas pole magnetyczne wytwarzane jest na Ziemi przy użyciu tylko jednej zasady działania zrealizowanej w postaci urządzenia zwanego elektromagnesem. Zasada ta posiada jednakże wiele ograniczeń i wad wrodzonych które powodują iż uzyskiwane dotychczas wydatki pola są stosunkowo niskie i niewystarczające dla wielu istotnych zastosowań praktycznych (np. dla napędu wehikułów latających). Z tego też powodu ostatnio podjęte zostały prace badawcze nad zupełnie inną zasadą wytwarzania pola, która zrealizowana zostanie w urządzeniu zwanym "komora oscylacyjna". W zasadzie tej źródłem pola będzie iskra elektryczna rotująca po obwodzie kwadratu. Jednym z problemów czekających rozwiązania już w początkowej fazie realizacji tej zasady jest takie samoregulowanie dwóch niezależnych od siebie obwodów oscylacyjnych z iskrownikiem, aby wytwarzane przez nie iskry przeskakiwały ze wzajemnym przesunięciem fazowym wynoszącym 90 . Niniejsza praca służy właśnie próbie eksperymentalnego wypracowania takiego prostego systemu samoregulującego.

Celem tej pracy jest takie zmodyfikowanie dwóch konwencjonalnych obwodów oscylacyjnych Henry'ego aby zdolne one były do samoregulacji 90 przesunięcia fazowego w wytwarzanych przez nie iskrach (przeskakujących po dwóch prostopadłych i nawzajem krzyżujących się trajektoriach).

Praca ta jest eksperymentalna i obejmuje ona (1) zbudowanie dwóch obwodów oscylacyjnych Henry'ego tak aby formowały one "model komory oscylacyjnej" opisany w punkcie 2 (a) rozdziału C7.2 tej monografii, (2) skompletowanie na nich wymaganych badań, (3) zmodyfikowanie tych obwodów i powtarzanie badań aż nałożony cel końcowy zostanie osiągnięty.

Eksperymenty powinny być prowadzone na dwóch nawzajem skrzyżowanych obwodach oscylacyjnych Henry'ego opisanych dla etapu 1 (a) z rozdziału C7.2 tej monografii (zbudowanych przez studenta podejmującego ten temat) które są relatywnie proste do zbudowania i modyfikowania.

W przypadku sukcesu z zrealizowaniem celu tej pracy, osiągnięte wyniki posiadałyby istotne znaczenie naukowe i mogłyby dostarczyć danych dla przygotowania publikacji naukowej.

Literatura: Cele, sposoby ich osiągnięcia, oraz podłoże naukowe dla niniejszej pracy opisane zostały w podrozdziale C7.2 (patrz etap 2 (a) opisanych tam eksperymentów) następującej monografii naukowej:

Pająk J.: "Komora Oscylacyjna czyli magnes jaki wzniesie nas do gwiazd". Monografia, Dunedin, Nowa Zelandia, 1994, ISBN 0-9597946.

Temat (#3) Interdyscyplinarnej Pracy Dyplomowej

Temat: "Magnetyczne zasilanie obwodów oscylacyjnych z iskrownikiem".

Abstract:

Większość dotychczasowych obwodów oscylacyjnych zasilana jest w energię za pomocą impulsów elektrycznych. Jednakże w niektórych przypadkach znacznie korzystniejsze byłoby ich zasilanie impulsami pola magnetycznego dostarczanego w sposób bezdotykowy. Dla przykładu takie zasilanie za pośrednictwem sprzężenia magnetycznego umożliwiłoby wymianę energii pomiędzy obwodami drgającymi o różniących się parametrach pracy.

Celem tej pracy jest zbudowanie najprostrzego możliwie zasilacza magnetycznego, jaki za pomocą impulsów pola zasilalby w energię tradycyjny obwód oscylacyjny Henry'ego.

Praca ta jest eksperymentalna i obejmuje ona (1) zbudowanie obwodu oscylacyjnego Henry'ego stanowiącego obiekt zasilania w energię, (2) zbudowanie najprostrzego możliwie zasilacza jaki dostarczałby energię do obwodu Henry'ego za pomocą impulsów magnetycznych, (3) badania obu urządzeń mające na celu ustalenie warunków efektywnego przepływu energii od zasilacza do obwodu Henry'ego, (4) takie modyfikowanie zasilacza i powtarzanie badań aż urządzenie zasilające będzie w stanie samoczynnie wzbudzić oscylacje iskrowe w obwodzie Henry'ego.

W raporcie końcowym z tej pracy, oprócz jej przebiegu i efektów, uwypuklone też powinny zostać znalezione warunki najefektywniejszego przepływu energii ze zasilacza do obwodu Henry'ego, oraz praktycznie użyte sposoby spełnienia tych warunków. Dzięki temu praca ta i zasilacz zbudowany w jej efekcie stanowiłyby eksperyment początkowy (pilotujący) dla bardziej zaawansowanych badań prowadzonych w roku następnym. Te dalsze badania ukierunkowane byłyby na podniesienie efektywności, wydajności i uniwersalności (np. zakresu częstotliwości roboczych) opracowywanego urządzenia zasilającego.

W przypadku sukcesu w zrealizowaniu celu tej pracy, osiągnięte wyniki posiadałyby istotne znaczenie naukowe i mogłyby dostarczyć danych dla przygotowania publikacji naukowej.

Literatura:

Cele, sposoby ich osiągnięcia, oraz podłoże naukowe dla niniejszej pracy opisane zostały w podrozdziale C7.2 (patrz etap 3 (a) opisanych tam eksperymentów) następującej monografii naukowej:

Pająk J.: "Komora Oscylacyjna czyli magnes jaki wzniesie nas do gwiazd". Monografia, Dunedin, Nowa Zelandia, 1994, ISBN 0-9597946.